

Sur les Corrections de la Géométrie Thermodynamique des Trous Noirs

Bhupendra Nath Tiwari

Mots-clés:

Les géométries thermodynamiques, la théorie de la gravité des dérivées supérieures, le principe d'incertitude généralisée, la physique des trous noirs et des branes noirs.

PACS: 04.70.-s, 04.70.Dy, 11.25.-w

Table des Matières

1	Introduction	1
2	L'origine de la géométrie thermodynamique	10
2.1	Ensemble Canonique	10
2.2	Ensemble Grand Canonique	13
2.3	Géométrie Thermodynamique	16
3	Les géométries thermodynamiques des trous noirs	21
3.1	La géométrie thermodynamique de Ruppenier	22
3.1.1	Les trous noirs de deux paramètres	22
3.1.2	Les trous noirs de trois paramètres	23
3.1.3	La géométrie thermodynamique de Wienhold	24
3.2	L'entropie des trous noirs	27
3.3	La théorie des cordes topologiques	32
3.4	La géométrie de Ruppenier des trous noirs de Reissner-Nordström.	40
3.5	La géométrie de Wienhold des trous noirs dilatoniques.	42

3.6	La géométrie de Wienhold des solutions de M_2 - branes: Les trous noirs de Reissner-Nordström dans la nappe de Poincaré de ADS_4	55
4	Les corrections de l_P dans la géométrie thermodynamique	75
4.1	Les trou noirs de Reissner-Nordström.	78
4.2	Les trous noirs chargés magnétiquement.	88
5	Les corrections de α' dans la géométrie thermodynamique	101
5.1	La géométrie de Ruppenier des trous noirs dyoniques extrémaux supersymétriques en quatre dimensions.	104
5.2	La géométrie de Ruppenier des trous noirs dyoniques extrémaux non-supersymétriques en quatre dimensions.	126
5.2.1	À l'ordre de $(\alpha')^0$	127
5.2.2	À l'ordre de $(\alpha')^1$	145
5.2.3	À l'ordre de $(\alpha')^2$	165
5.2.4	À l'ordre de $(\alpha')^3$	185
5.2.5	À l'ordre de $(\alpha')^4$	206
5.3	La nature de la courbure scalaire de Ruppenier d'après les corrections de α' des trous noirs dyoniques extrémaux non-supersymétriques en quatre dimensions.	230
5.4	À l'ordre arbitraire de α'	232
6	La géométrie de Ruppenier des solutions non-extrémales de branes D_1D_5 et $D_2D_6NS_5$ en dimensions $D = 10$	238

6.1	La géométrie de Ruppenier des solutions non-extrémales de branes D_1D_5 :	239
6.1.1	À l'ordre de $(\alpha')^0$	239
6.1.2	À l'ordre de α'	253
6.2	La géométrie de Ruppenier des solutions non-extrémales de branes $D_2D_6NS_5$:	269
6.2.1	À l'ordre de $(\alpha')^0$	270
6.2.2	À l'ordre de α'	288
7	La géométrie de Ruppenier des trous noirs extrémaux en rotation en quatre dimensions	312
7.1	Les trous noirs de Kerr-Newman dans la théorie d'Einstein-Maxwell:	313
7.2	Les trous noirs extrémaux de Kaluza-Klein dans la théorie d'Einstein-Maxwell:	320
7.3	Les trous noirs extrémaux de la théorie des cordes hétérotiques compactifiée toroidalement:	336
8	Remarques et conclusions	368
A	Les symboles de Christoffel du premier type	372
A.1	La gomtrie de Wienhold des trous noirs dilatoniques	372
A.2	La gomtrie de Wienhold des solutions de M_2 -branes	374
A.3	Les corrections de l_P dans la gomtrie thermodynamique:	378
A.3.1	La gomtrie de Ruppenier des trous noirs de Reissner-Nordström	378
A.3.2	La gomtrie de Ruppenier des trous noirs chargs magniquement	379
A.4	Les corrections de α' dans la gomtrie thermodynamique:	380

A.4.1	La gomtrie de Ruppenier des trous noirs dyoniques extrémaux supersymtriques en quatre dimensions	380
A.4.2	La gomtrie de Ruppenier des trous noirs dyoniques extrémaux non-supersymtriques en quatre dimensions	383
A.5	La gomtrie de Ruppenier des solutions non-extrmales de branes D_1D_5 et $D_2D_6NS_5$ en dimensions $D = 10$:	406
A.5.1	La gomtrie de Ruppenier des solutions non-extrmales de branes D_1D_5	406
A.5.2	La gomtrie de Ruppenier des solutions non-extrmales de branes $D_2D_6NS_5$	410
A.6	La gomtrie de Ruppenier des trous noirs extrémaux en rotation en quatre dimensions	416
A.6.1	Les trous noirs de Kerr-Newman dans la thorie d'Einstein-Maxwell:	416
A.6.2	Les trous noirs de Kaluza-Klein dans la thorie d'Einstein-Maxwell: .	417
A.6.3	Les trous noirs de la thorie des cordes hétérotiques compactifie toroidalement:	419
B	La géométrie thermodynamique de Ruppenier des trous noirs de trois paramètres	425
C	La géométrie thermodynamique de Ruppenier des trous noirs dyoniques extrémaux non-supersymétriques	432
C.1	À l'ordre de $(\alpha')^2$	432
C.2	À l'ordre de $(\alpha')^3$	434
C.3	À l'ordre de $(\alpha')^4$	438

À mes parents et mes professeurs

Remerciements

Je remercie le professeur Ashoke Sen pour les discussions utiles sur la fonction de l'entropie et l'entropie des trous noirs au cours de $\langle\langle$ String School- 2006 $\rangle\rangle$ à l' $\langle\langle$ Institute of Physics, Bhubaneswar, India $\rangle\rangle$ et les issues de l'AdS/CFT lors de sa visite à l' $\langle\langle$ IIT-Kanpur-2008 $\rangle\rangle$.

Je suis reconnaissant au professeur Jean de Boer pour les discussions de l'AdS/CFT et pour les calculs de l'entropie microscopique de certains branes noirs en $\langle\langle$ String School-2006 $\rangle\rangle$ à l' $\langle\langle$ Institute of Physics, Bhubaneswar, India $\rangle\rangle$ et à l' $\langle\langle$ ICTP Spring String School-2007 $\rangle\rangle$ au ICTP, Italie.

Je souhaite remercier Yogesh K. Srivastava pour les intéressantes discussions sur l'entropie microscopique de trous noirs et branes noirs au cours du $\langle\langle$ Indian String Meeting-2007, Harish-Chandra Research Institute, Allahabad, India $\rangle\rangle$.

Je voudrais remercier professeur Amandine Almarche, Vincent Régnier, Vinod Chandra, professeur Shubha Karnick et Arjun Basu pour l'aide de la langue française ce qu'ils m'ont apportée pendant la préparation de ce travail.

Je remercie également le $\langle\langle$ CSIR- New Delhi, India $\rangle\rangle$ pour la bourse de recherche au titre des subventions: $\langle\langle$ CSIR-SRF-9/92(343)/2004-EMR-I $\rangle\rangle$.

AVANT PROPOS

Nous étudions la géométrie thermodynamique des certains trous noirs et branes noirs avec ou sans les corrections du principe d'incertitude généralisée et les corrections de α' à l'entropie. Dans cette perspective, nous analysons la géométrie Ruppenier des trous noirs de Reissner-Nordström et démontrons que cela est bien définie et correspond à un système sans interaction statistique globale. Dans la domaine de Poincaré de AdS_4 , nous étudions les propriétés de la géométrie Weinhold des trous noirs dilatoniques, et montrons que cela est partout régulière que des patches de la grande masse des trous noirs de Reissner-Nordström, qui contient des certains nombres restreints, et donc la configuration sous-jacente de ces trous noirs est thermodynamiquement instable dans une région de l'espace d'état. Nous obtenons que la géométrie de Ruppenier corrigée par le principe d'incertitude généralisée des trous noirs de Reissner-Nordström correspond à un système statistique sans interactions, et cela est au contraire des propriétés d'un ensemble des trous noirs magnétiques. Nous montrons que les corrections de α' de la théorie des cordes n'introduisent pas de singularité dans la géométrie de l'espace d'état des trous noirs non-supersymétriques extrémaux en dimensions $D = 4$. Intéressamment, le degré de la courbure scalaire et ceci du déterminant de la géométrie de Ruppenier peut être écrit comme un entier multiple de l'ordre des corrections de α' . De plus, nous montrons que la géométrie d'espace d'état des trous noirs supersymétriques extrémaux est partout régulière et corrigée par des corrections de Gauss-Bonnet en dimensions $D = 4$, et ainsi que celle des branes noirs non-extrémaux D_1D_5 et $D_2D_6NS_5$ corrigée par les corrections de α' en dimensions $D = 10$. En outre, aux trous noirs en rotation en quatre dimensions, la géométrie thermodynamique des trous noirs extrémaux de Kerr-Newman dans la théorie d'Einstein-Maxwell est partout mal définie, et celle des trous noirs de Kaluza-Klein dans la théorie d'Einstein-Maxwell ou bien des trous noirs obtenus par la compactification de la théorie des cordes hétérotiques est mal définie seulement aux succursales ergos.

Abstract

We study thermodynamic geometry of certain black holes and black branes with and without generalized uncertainty principle or stringy α' -corrections to the entropy. From this perspective, we analyze Ruppeiner geometry of Reissner-Nordström black holes and show that it is well defined and corresponds to a non-interacting statistical system. We investigate that the Weinhold geometry of dilatonic black holes is regular everywhere and that of large mass Reissner-Nordström black holes in the Poincaré patch of AdS_4 contains certain narrow range of thermodynamically unstable regions in the state-space. We obtain that the generalized uncertainty principle corrected Ruppeiner geometry of Reissner-Nordström black holes correspond to a non-interacting statistical system unlike the magnetically charged black holes. We show that the stringy α' -corrections do not introduce singularity in the statespace geometry of non-supersymmetric extremal black holes in $D = 4$. Interestingly, the degree of scalar curvature and that of the determinant of this Ruppeiner geometry can be written as an integer multiple of the order of α' -correction. We further show that the statespace geometry of Gauss-Bonnet corrected supersymmetric extremal black holes in $D = 4$ as well as that of the non-extremal D_1D_5 and $D_2D_6NS_5$ black branes in $D = 10$ under the α' -correction is regular everywhere. Furthermore, the thermodynamic geometry of four dimensional rotating Kerr-Newman extremal black holes in Einstein-Maxwell theory is everywhere ill-defined and that of the Kaluza-Klein black holes in Einstein-Maxwell theory or the one arising from the heterotic string compactification is ill-defined only at the points of ergo-branch.

Keywords: Thermodynamic Geometries, Higher Derivative Gravity, Generalized Uncertainty Principle, Black Hole Physics.

PACS numbers: 04.70.-s: Physics of black holes; 04.70.Dy: Quantum aspects of black holes, evaporation, thermodynamics; 11.25.-w: Strings and branes.

Liste des Figures

3.1	La composante SS de la métrique tenseure tracé comme la fonction de $\{Q, S\}$, en décrivant les fluctuations dans la configuration des trous noirs dilatoniques.	45
3.2	La composante QQ de la métrique tenseure tracé comme la fonction de $\{Q, S\}$, en décrivant les fluctuations dans la configuration des trous noirs dilatoniques.	46
3.3	La composante SQ de la métrique tenseure tracé comme la fonction de $\{Q, S\}$, en décrivant les fluctuations dans la configuration des trous noirs dilatoniques.	47
3.4	Le déterminant de la métrique tenseure tracée comme la fonction de $\{Q, S\}$, en décrivant les fluctuations de la configuration des trous noirs dilatoniques.	49
3.5	Le premier mineur de la métriquetenseure tracée comme la fonction de $\{Q, S\}$, en décrivant les fluctuations de la configuration des trous noirs dilatoniques.	50
3.6	La courbure scalaire tracée en fonction de $\{Q, S\}$, décrivant les variations dans la configuration des trous noirs dilatoniques dans la gamme $S, Q \in (0, 1)$.	53
3.7	La courbure scalaire tracée en fonction de $\{Q, S\}$, décrivant les variations dans la configuration des trous noirs dilatoniques dans la gamme $S, Q \in (-2, 2)$	54

3.8	La composante SS de la métrique tenseure tracée en fonction de $\{Q, M\}$, en décrivant les fluctuations dans la configuration des trous noirs RN- AdS_4 .	59
3.9	La composante Q_1Q_1 de la métrique tenseure tracée en fonction de $\{Q, M\}$, en décrivant les fluctuations dans la configuration des trous noirs RN- AdS_4 .	60
3.10	La composante Q_2Q_2 de la métrique tenseure tracée en fonction de $\{Q, M\}$, en décrivant les fluctuations dans la configuration des trous noirs RN- AdS_4 .	61
3.11	La composante SQ_1 de la métrique tenseure tracée en fonction de $\{Q, M\}$, en décrivant les fluctuations dans la configuration des trous noirs RN- AdS_4 .	62
3.12	La composante SQ_2 de la métrique tenseure tracée en fonction de $\{Q, M\}$, en décrivant les fluctuations dans la configuration des trous noirs RN- AdS_4 .	63
3.13	La composante Q_1Q_2 de la métrique tenseure tracée en fonction de $\{Q, M\}$, en décrivant les fluctuations dans la configuration des trous noirs RN- AdS_4 .	64
3.14	Le déterminant de la métrique tenseure tracée comme la fonction de $\{Q, M\}$, en décrivant les fluctuations dans la configuration des trous noirs RN- AdS_4 .	67
3.15	Le mineur de surface de la métrique tenseure tracée comme la fonction de $\{Q, M\}$, en décrivant les fluctuations dans la configuration des trous noirs RN- AdS_4 .	68
3.16	Le premier mineur de la métrique tenseure tracée comme la fonction de $\{Q, M\}$, en décrivant les fluctuations dans la configuration des trous noirs RN- AdS_4 .	69
3.17	La courbure scalaire tracée en fonction de $\{Q, M\}$, décrivant les variations dans la configuration des trous noirs RN- AdS_4 dans la gamme $S, Q \in (0, 1)$.	72
3.18	La courbure scalaire tracée en fonction de $\{Q, M\}$, décrivant les variations dans la configuration des trous noirs RN- AdS_4 dans la gamme $S, Q \in (-2, 2)$.	73

4.1	La composante MM de la métrique tenseure tracée comme la fonction de $\{Q, M\}$, en décrivant les fluctuations de la configuration des trous noirs de RN.	81
4.2	La composante QQ de la métrique tenseure tracée comme la fonction de $\{Q, M\}$, en décrivant les fluctuations de la configuration des trous noirs de RN.	82
4.3	La composante MQ de la métrique tenseure tracée comme la fonction de $\{Q, M\}$, en décrivant les fluctuations de la configuration des trous noirs de RN.	83
4.4	Le déterminant de la métrique tenseure tracée comme la fonction de $\{Q, M\}$, en décrivant les fluctuations de la configuration des trous noirs de RN. . .	85
4.5	Le premier mineur de la métrique tenseure tracée comme la fonction de $\{Q, M\}$, en décrivant les fluctuations de la configuration des trous noirs de RN.	86
4.6	La composante MM de la métrique tenseure tracée comme la fonction de $\{Q, M\}$, en décrivant les fluctuations de la configuration des trous noirs chargés magnétiquement.	91
4.7	La composante QQ de la métrique tenseure tracée comme la fonction de $\{Q, M\}$, en décrivant les fluctuations de la configuration des trous noirs chargés magnétiquement.	92
4.8	La composante MQ de la métrique tenseure tracée comme la fonction de $\{Q, M\}$, en décrivant les fluctuations de la configuration des trous noirs chargés magnétiquement.	93
4.9	Le déterminant de la métrique tenseure tracée comme la fonction de $\{Q, M\}$, en décrivant les fluctuations de la configuration de trous noirs chargés magnétiquement.	95

4.10	Le premier mineur de la métrique tenseure tracée comme la fonction de $\{Q, M\}$, en décrivant les fluctuations de la configuration de trous noirs chargés magnétiquement.	96
4.11	Le courbure scalaire tracée en fonction de $\{Q, M\}$, décrivant les variations dans la configuration des trous noirs chargés magnétiquement dans la gamme $M \in (0, 1)$ et $Q \in (-1, 1)$	98
4.12	Le courbure scalaire tracée en fonction de $\{Q, M\}$, décrivant les variations dans la configuration des trous noirs chargés magnétiquement dans la gamme $M \in (-1, 1)$ et $Q \in (-2, 2)$	99
5.1	La composante nn de la métrique tenseure tracé comme la fonction de $\{n, N\}$, en décrivant les fluctuations dans la configuration des trous noirs supersymétriques corrigés par les termes de Gauss-Bonnet.	108
5.2	La composante ww de la métrique tenseure tracé comme la fonction de $\{n, N\}$, en décrivant les fluctuations dans la configuration des trous noirs supersymétriques corrigés par les termes de Gauss-Bonnet.	109
5.3	La composante NN de la métrique tenseure tracé comme la fonction de $\{n, N\}$, en décrivant les fluctuations dans la configuration des trous noirs supersymétriques corrigés par les termes de Gauss-Bonnet.	110
5.4	La composante WW de la métrique tenseure tracé comme la fonction de $\{n, N\}$, en décrivant les fluctuations dans la configuration des trous noirs supersymétriques corrigés par les termes de Gauss-Bonnet.	111
5.5	La composante nw de la métrique tenseure tracé comme la fonction de $\{n, N\}$, en décrivant les fluctuations dans la configuration des trous noirs supersymétriques corrigés par les termes de Gauss-Bonnet.	112

5.6	La composante nN de la métrique tenseure tracé comme la fonction de $\{n, N\}$, en décrivant les fluctuations dans la configuration des trous noirs supersymétriques corrigés par les termes de Gauss-Bonnet.	113
5.7	La composante nW de la métrique tenseure tracé comme la fonction de $\{n, N\}$, en décrivant les fluctuations dans la configuration des trous noirs supersymétriques corrigés par les termes de Gauss-Bonnet.	114
5.8	La composante wN de la métrique tenseure tracé comme la fonction de $\{n, N\}$, en décrivant les fluctuations dans la configuration des trous noirs supersymétriques corrigés par les termes de Gauss-Bonnet.	115
5.9	La composante wW de la métrique tenseure tracé comme la fonction de $\{n, N\}$, en décrivant les fluctuations dans la configuration des trous noirs supersymétriques corrigés par les termes de Gauss-Bonnet.	116
5.10	La composante NW de la métrique tenseure tracé comme la fonction de $\{n, N\}$, en décrivant les fluctuations dans la configuration des trous noirs supersymétriques corrigés par les termes de Gauss-Bonnet.	117
5.11	Le déterminant de la métrique tenseure tracé comme la fonction de $\{n, N\}$, en décrivant les fluctuations dans la configuration des trous noirs supersymétriques corrigés par les termes de Gauss-Bonnet.	119
5.12	Le mineur d'hypersurface de la métrique tenseure tracé comme la fonction de $\{n, N\}$, en décrivant les fluctuations dans la configuration des trous noirs supersymétriques corrigés par les termes de Gauss-Bonnet.	120
5.13	Le premier mineur de la métrique tenseure tracé comme la fonction de $\{n, N\}$, en décrivant les fluctuations dans la configuration des trous noirs supersymétriques corrigés par les termes de Gauss-Bonnet.	121

5.14	La courbure scalaire tracé comme la fonction de $\{n, N\}$, en décrivant les fluctuations dans la configuration des trous noirs supersymétriques corrigés par les termes de Gauss-Bonnet dans la gamme $n \in (-10, 0)$ et $N \in (0, 10)$.	124
5.15	La courbure scalaire tracé comme la fonction de $\{n, N\}$, en décrivant les fluctuations dans la configuration des trous noirs supersymétriques corrigés par les termes de Gauss-Bonnet dans la gamme $n, N \in (-30, 30)$	125
5.16	La composante nn de la métrique tenseure tracée comme la fonction de $\{n, N\}$, décrivant les fluctuations dans la configuration des trous noirs chargés non-supersymétriques à l'ordre dominant.	129
5.17	La composante ww de la métrique tenseure tracée comme la fonction de $\{n, N\}$, décrivant les fluctuations dans la configuration des trous noirs chargés non-supersymétriques à l'ordre dominant.	130
5.18	La composante NN de la métrique tenseure tracée comme la fonction de $\{n, N\}$, décrivant les fluctuations dans la configuration des trous noirs chargés non-supersymétriques à l'ordre dominant.	131
5.19	La composante WW de la métrique tenseure tracée comme la fonction de $\{n, N\}$, décrivant les fluctuations dans la configuration des trous noirs chargés non-supersymétriques à l'ordre dominant.	132
5.20	La composante nw de la métrique tenseure tracée comme la fonction de $\{n, N\}$, décrivant les fluctuations dans la configuration des trous noirs chargés non-supersymétriques à l'ordre dominant.	133
5.21	La composante nN de la métrique tenseure tracée comme la fonction de $\{n, N\}$, décrivant les fluctuations dans la configuration des trous noirs chargés non-supersymétriques à l'ordre dominant.	134

5.22	La composante nW de la métrique tenseure tracée comme la fonction de $\{n, N\}$, décrivant les fluctuations dans la configuration des trous noirs chargés non-supersymétriques à l'ordre dominant.	135
5.23	La composante wN de la métrique tenseure tracée comme la fonction de $\{n, N\}$, décrivant les fluctuations dans la configuration des trous noirs chargés non-supersymétriques à l'ordre dominant.	136
5.24	La composante wW de la métrique tenseure tracée comme la fonction de $\{n, N\}$, décrivant les fluctuations dans la configuration des trous noirs chargés non-supersymétriques à l'ordre dominant.	137
5.25	La composante NW de la métrique tenseure tracée comme la fonction de $\{n, N\}$, décrivant les fluctuations dans la configuration des trous noirs chargés non-supersymétriques à l'ordre dominant.	138
5.26	Le mineur d'hypersurface de la métrique tenseure tracée comme la fonction de $\{n, N\}$, décrivant les fluctuations dans la configuration des trous noirs chargés non-supersymétriques à l'ordre dominant.	140
5.27	Le premier mineur de la métrique tenseure tracée comme la fonction de $\{n, N\}$, décrivant les fluctuations dans la configuration des trous noirs chargés non-supersymétriques à l'ordre dominant.	141
5.28	La courbure scalaire tracée en fonction de $\{n, N\}$, décrivant les fluctuations de la configuration des trous noirs chargés non-supersymétriques à l'ordre dominant dans la gamme $n \in (-10, 0)$ et $N \in (0, 10)$	143
5.29	La courbure scalaire tracée en fonction de $\{n, N\}$, décrivant les fluctuations de la configuration des trous noirs chargés non-supersymétriques à l'ordre dominant dans la gamme $n, N \in (-30, 30)$	144

5.30	La composante nn de la métrique tenseure tracée comme la fonction de $\{n, N\}$, décrivant les fluctuations de la configuration des trous noirs chargés non-supersymétriques aux corrections de premier ordre de α'	147
5.31	La composante ww de la métrique tenseure tracée comme la fonction de $\{n, N\}$, décrivant les fluctuations de la configuration des trous noirs chargés non-supersymétriques aux corrections de premier ordre de α'	148
5.32	La composante NN de la métrique tenseure tracée comme la fonction de $\{n, N\}$, décrivant les fluctuations de la configuration des trous noirs chargés non-supersymétriques aux corrections de premier ordre de α'	149
5.33	La composante WW de la métrique tenseure tracée comme la fonction de $\{n, N\}$, décrivant les fluctuations de la configuration des trous noirs chargés non-supersymétriques aux corrections de premier ordre de α'	150
5.34	La composante nw de la métrique tenseure tracée comme la fonction de $\{n, N\}$, décrivant les fluctuations de la configuration des trous noirs chargés non-supersymétriques aux corrections de premier ordre de α'	151
5.35	La composante nN de la métrique tenseure tracée comme la fonction de $\{n, N\}$, décrivant les fluctuations de la configuration des trous noirs chargés non-supersymétriques aux corrections de premier ordre de α'	152
5.36	La composante nW de la métrique tenseure tracée comme la fonction de $\{n, N\}$, décrivant les fluctuations de la configuration des trous noirs chargés non-supersymétriques aux corrections de premier ordre de α'	153
5.37	La composante wN de la métrique tenseure tracée comme la fonction de $\{n, N\}$, décrivant les fluctuations de la configuration des trous noirs chargés non-supersymétriques aux corrections de premier ordre de α'	154

5.38	La composante wW de la métrique tenseure tracée comme la fonction de $\{n, N\}$, décrivant les fluctuations de la configuration des trous noirs chargés non-supersymétriques aux corrections de premier ordre de α'	155
5.39	La composante NW de la métrique tenseure tracée comme la fonction de $\{n, N\}$, décrivant les fluctuations de la configuration des trous noirs chargés non-supersymétriques aux corrections de premier ordre de α'	156
5.40	Le déterminant de la métrique tenseure tracée comme la fonction de $\{n, N\}$, décrivant les fluctuations de la configuration des trous noirs chargés non-supersymétriques aux corrections de premier ordre de α'	159
5.41	Le mineur d'hypersurface de la métrique tenseure tracée comme la fonction de $\{n, N\}$, décrivant les fluctuations de la configuration des trous noirs chargés non-supersymétriques aux corrections de premier ordre de α'	160
5.42	Le premier mineur de la métrique tenseure tracée comme la fonction de $\{n, N\}$, décrivant les fluctuations de la configuration des trous noirs chargés non-supersymétriques aux corrections de premier ordre de α'	161
5.43	La courbure scalaire tracée comme la fonction de $\{n, N\}$, décrivant les fluctuations de la configuration des trous noirs chargés non-supersymétriques aux corrections de premier ordre de α' dans la gamme $n \in (-10, 0)$ et $N \in (0, 10)$	163
5.44	La courbure scalaire tracée comme la fonction de $\{n, N\}$, décrivant les fluctuations de la configuration des trous noirs chargés non-supersymétriques aux corrections de premier ordre de α' dans la gamme $n, N \in (-30, 30)$	164
5.45	La composante nn de la métrique tenseure tracée comme la fonction de $\{n, N\}$, décrivant les fluctuations de la configuration des trous noirs chargés non-supersymétriques aux corrections de second ordre de α'	167

5.46	La composante ww de la métrique tenseure tracée comme la fonction de $\{n, N\}$, décrivant les fluctuations de la configuration des trous noirs chargés non-supersymétriques aux corrections de second ordre de α'	168
5.47	La composante NN de la métrique tenseure tracée comme la fonction de $\{n, N\}$, décrivant les fluctuations de la configuration des trous noirs chargés non-supersymétriques aux corrections de second ordre de α'	169
5.48	La composante WW de la métrique tenseure tracée comme la fonction de $\{n, N\}$, décrivant les fluctuations de la configuration des trous noirs chargés non-supersymétriques aux corrections de second ordre de α'	170
5.49	La composante nw de la métrique tenseure tracée comme la fonction de $\{n, N\}$, décrivant les fluctuations de la configuration des trous noirs chargés non-supersymétriques aux corrections de second ordre de α'	171
5.50	La composante nN de la métrique tenseure tracée comme la fonction de $\{n, N\}$, décrivant les fluctuations de la configuration des trous noirs chargés non-supersymétriques aux corrections de second ordre de α'	172
5.51	La composante nW de la métrique tenseure tracée comme la fonction de $\{n, N\}$, décrivant les fluctuations de la configuration des trous noirs chargés non-supersymétriques aux corrections de second ordre de α'	173
5.52	La composante wN de la métrique tenseure tracée comme la fonction de $\{n, N\}$, décrivant les fluctuations de la configuration des trous noirs chargés non-supersymétriques aux corrections de second ordre de α'	174
5.53	La composante wW de la métrique tenseure tracée comme la fonction de $\{n, N\}$, décrivant les fluctuations de la configuration des trous noirs chargés non-supersymétriques aux corrections de second ordre de α'	175

5.54	La composante NW de la métrique tenseure tracée comme la fonction de $\{n, N\}$, décrivant les fluctuations de la configuration des trous noirs chargés non-supersymétriques aux corrections de second ordre de α'	176
5.55	Le déterminant de la métrique tenseure tracée comme la fonction de $\{n, N\}$, décrivant les fluctuations de la configuration des trous noirs chargés non-supersymétriques aux corrections de second ordre de α'	179
5.56	Le mineur d'hypersurface de la métrique tenseure tracée comme la fonction de $\{n, N\}$, décrivant les fluctuations de la configuration des trous noirs chargés non-supersymétriques aux corrections de second ordre de α'	180
5.57	Le premier mineur de la métrique tenseure tracée comme la fonction de $\{n, N\}$, décrivant les fluctuations de la configuration des trous noirs chargés non-supersymétriques aux corrections de second ordre de α'	181
5.58	La courbure scalaire tracée comme la fonction de $\{n, N\}$, décrivant les fluctuations de la configuration des trous noirs chargés non-supersymétriques aux corrections de second ordre de α' dans la gamme $n \in (-10, 0)$ et $N \in (0, 10)$	183
5.59	La courbure scalaire tracée comme la fonction de $\{n, N\}$, décrivant les fluctuations de la configuration des trous noirs chargés non-supersymétriques aux corrections de second ordre de α' dans la gamme $n, N \in (-30, 30)$	184
5.60	La composante nn de la métrique tenseure tracée comme la fonction de $\{n, N\}$, décrivant les fluctuations de la configuration des trous noirs chargés non-supersymétriques aux corrections de troisième ordre de α'	187
5.61	La composante ww de la métrique tenseure tracée comme la fonction de $\{n, N\}$, décrivant les fluctuations de la configuration des trous noirs chargés non-supersymétriques aux corrections de troisième ordre de α'	188

5.62	La composante NN de la métrique tenseure tracée comme la fonction de $\{n, N\}$, décrivant les fluctuations de la configuration des trous noirs chargés non-supersymétriques aux corrections de troisième ordre de α'	189
5.63	La composante WW de la métrique tenseure tracée comme la fonction de $\{n, N\}$, décrivant les fluctuations de la configuration des trous noirs chargés non-supersymétriques aux corrections de troisième ordre de α'	190
5.64	La composante nw de la métrique tenseure tracée comme la fonction de $\{n, N\}$, décrivant les fluctuations de la configuration des trous noirs chargés non-supersymétriques aux corrections de troisième ordre de α'	191
5.65	La composante nN de la métrique tenseure tracée comme la fonction de $\{n, N\}$, décrivant les fluctuations de la configuration des trous noirs chargés non-supersymétriques aux corrections de troisième ordre de α'	192
5.66	La composante nW de la métrique tenseure tracée comme la fonction de $\{n, N\}$, décrivant les fluctuations de la configuration des trous noirs chargés non-supersymétriques aux corrections de troisième ordre de α'	193
5.67	La composante wN de la métrique tenseure tracée comme la fonction de $\{n, N\}$, décrivant les fluctuations de la configuration des trous noirs chargés non-supersymétriques aux corrections de troisième ordre de α'	194
5.68	La composante wW de la métrique tenseure tracée comme la fonction de $\{n, N\}$, décrivant les fluctuations de la configuration des trous noirs chargés non-supersymétriques aux corrections de troisième ordre de α'	195
5.69	La composante NW de la métrique tenseure tracée comme la fonction de $\{n, N\}$, décrivant les fluctuations de la configuration des trous noirs chargés non-supersymétriques aux corrections de troisième ordre de α'	196

5.70	Le déterminant de la métrique tenseure tracée comme la fonction de $\{n, N\}$, décrivant les fluctuations de la configuration des trous noirs chargés non-supersymétriques aux corrections de troisième ordre de α'	199
5.71	Le mineur d'hypersurface de la métrique tenseure tracée comme la fonction de $\{n, N\}$, décrivant les fluctuations de la configuration des trous noirs chargés non-supersymétriques aux corrections de troisième ordre de α'	200
5.72	Le premier mineur de la métrique tenseure tracée comme la fonction de $\{n, N\}$, décrivant les fluctuations de la configuration des trous noirs chargés non-supersymétriques aux corrections de troisième ordre de α'	201
5.73	La courbure scalaire tracée comme la fonction de $\{n, N\}$, décrivant les fluctuations de la configuration des trous noirs chargés non-supersymétriques aux corrections de troisième ordre de α' dans la gamme de $n \in (-10, 0)$ et $N \in (0, 10)$	204
5.74	La courbure scalaire tracée comme la fonction de $\{n, N\}$, décrivant les fluctuations de la configuration des trous noirs chargés non-supersymétriques aux corrections de troisième ordre de α' dans la gamme de $n \in (-10, 0)$ et $N \in (0, 10)$	205
5.75	La composante nn de la métrique tenseure tracée comme la fonction de $\{n, N\}$, décrivant les fluctuations de la configuration des trous noirs chargés non-supersymétriques aux corrections de quatrième ordre de α'	209
5.76	La composante ww de la métrique tenseure tracée comme la fonction de $\{n, N\}$, décrivant les fluctuations de la configuration des trous noirs chargés non-supersymétriques aux corrections de quatrième ordre de α'	210
5.77	La composante NN de la métrique tenseure tracée comme la fonction de $\{n, N\}$, décrivant les fluctuations de la configuration des trous noirs chargés non-supersymétriques aux corrections de quatrième ordre de α'	211

5.78	La composante WW de la métrique tenseure tracée comme la fonction de $\{n, N\}$, décrivant les fluctuations de la configuration des trous noirs chargés non-supersymétriques aux corrections de quatrième ordre de α'	212
5.79	La composante nw de la métrique tenseure tracée comme la fonction de $\{n, N\}$, décrivant les fluctuations de la configuration des trous noirs chargés non-supersymétriques aux corrections de quatrième ordre de α'	213
5.80	La composante nN de la métrique tenseure tracée comme la fonction de $\{n, N\}$, décrivant les fluctuations de la configuration des trous noirs chargés non-supersymétriques aux corrections de quatrième ordre de α'	214
5.81	La composante nW de la métrique tenseure tracée comme la fonction de $\{n, N\}$, décrivant les fluctuations de la configuration des trous noirs chargés non-supersymétriques aux corrections de quatrième ordre de α'	215
5.82	La composante wN de la métrique tenseure tracée comme la fonction de $\{n, N\}$, décrivant les fluctuations de la configuration des trous noirs chargés non-supersymétriques aux corrections de quatrième ordre de α'	216
5.83	La composante wW de la métrique tenseure tracée comme la fonction de $\{n, N\}$, décrivant les fluctuations de la configuration des trous noirs chargés non-supersymétriques aux corrections de quatrième ordre de α'	217
5.84	La composante NW de la métrique tenseure tracée comme la fonction de $\{n, N\}$, décrivant les fluctuations de la configuration des trous noirs chargés non-supersymétriques aux corrections de quatrième ordre de α'	218
5.85	Le déterminant de la métrique tenseure tracée comme la fonction de $\{n, N\}$, décrivant les fluctuations de la configuration des trous noirs chargés non-supersymétriques aux corrections de quatrième ordre de α'	222

5.86	Le mineur d'hypersurface de la métrique tenseure tracée comme la fonction de $\{n, N\}$, décrivant les fluctuations de la configuration des trous noirs chargés non-supersymétriques aux corrections de quatrième ordre de α'	223
5.87	Le premier mineur de la métrique tenseure tracée comme la fonction de $\{n, N\}$, décrivant les fluctuations de la configuration des trous noirs chargés non-supersymétriques aux corrections de quatrième ordre de α'	224
5.88	La courbure scalaire tracée comme la fonction de $\{n, N\}$, décrivant les fluctuations de la configuration des trous noirs chargés non-supersymétriques aux corrections de quatrième ordre de α' dans la gamme $n \in (-10, 0)$ et $N \in (0, 10)$	227
5.89	La courbure scalaire tracée comme la fonction de $\{n, N\}$, décrivant les fluctuations de la configuration des trous noirs chargés non-supersymétriques aux corrections de quatrième ordre de α' dans la gamme $n, N \in (-30, 30)$	228
6.1	La composante $N_1 N_1$ de la métrique tenseure tracée comme la fonction de $\{N, W\}$, en décrivant les fluctuations dans la configuration des trous noirs chargés nonextremaux $D_1 D_5$ à l'ordre dominant.	241
6.2	La composante $N_5 N_5$ de la métrique tenseure tracée comme la fonction de $\{N, W\}$, en décrivant les fluctuations dans la configuration des trous noirs chargés nonextremaux $D_1 D_5$ à l'ordre dominant.	242
6.3	La composante $N_R N_R$ de la métrique tenseure tracée comme la fonction de $\{N, W\}$, en décrivant les fluctuations dans la configuration des trous noirs chargés nonextremaux $D_1 D_5$ à l'ordre dominant.	243
6.4	La composante $N_1 N_5$ de la métrique tenseure tracée comme la fonction de $\{N, W\}$, en décrivant les fluctuations dans la configuration des trous noirs chargés nonextremaux $D_1 D_5$ à l'ordre dominant.	244

6.5	La composante $N_1 N_R$ de la métrique tenseure tracée comme la fonction de $\{N, W\}$, en décrivant les fluctuations dans la configuration des trous noirs chargés nonextremaux $D_1 D_5$ à l'ordre dominant.	245
6.6	La composante $N_5 N_R$ de la métrique tenseure tracée comme la fonction de $\{N, W\}$, en décrivant les fluctuations dans la configuration des trous noirs chargés nonextremaux $D_1 D_5$ à l'ordre dominant.	246
6.7	Le déterminant de la métrique tenseure tracée comme la fonction de $\{N, W\}$, en décrivant les fluctuations dans la configuration des trous noirs chargés nonextremaux $D_1 D_5$ à l'ordre dominant.	248
6.8	Le premier mineur de la métrique tenseure tracée comme la fonction de $\{N, W\}$, en décrivant les fluctuations dans la configuration des trous noirs chargés nonextremaux $D_1 D_5$ à l'ordre dominant.	249
6.9	La courbure scalaire tracée comme la fonction de $\{N, W\}$, en décrivant les fluctuations dans la configuration des trous noirs chargés nonextremaux $D_1 D_5$ à l'ordre dominant dans la gamme des charges $N, W \in (0, 10)$	251
6.10	La courbure scalaire tracée comme la fonction de $\{N, W\}$, en décrivant les fluctuations dans la configuration des trous noirs chargés nonextremaux $D_1 D_5$ à l'ordre dominant dans la gamme des charges $N, W \in (-10, 10)$	252
6.11	La composante $N_1 N_1$ de la métrique tenseure tracée comme la fonction de $\{N, W\}$, en décrivant les fluctuations dans la configuration des trous noirs chargés nonextremaux $D_1 D_5$ à l'ordre de α'	255
6.12	La composante $N_5 N_5$ de la métrique tenseure tracée comme la fonction de $\{N, W\}$, en décrivant les fluctuations dans la configuration des trous noirs chargés nonextremaux $D_1 D_5$ à l'ordre de α'	256

6.13	La composante $N_R N_R$ de la métrique tenseure tracée comme la fonction de $\{N, W\}$, en décrivant les fluctuations dans la configuration des trous noirs chargés nonextremaux $D_1 D_5$ à l'ordre de α'	257
6.14	La composante $N_1 N_5$ de la métrique tenseure tracée comme la fonction de $\{N, W\}$, en décrivant les fluctuations dans la configuration des trous noirs chargés nonextremaux $D_1 D_5$ à l'ordre de α'	258
6.15	La composante $N_1 N_R$ de la métrique tenseure tracée comme la fonction de $\{N, W\}$, en décrivant les fluctuations dans la configuration des trous noirs chargés nonextremaux $D_1 D_5$ à l'ordre de α'	259
6.16	La composante $N_5 N_R$ de la métrique tenseure tracée comme la fonction de $\{N, W\}$, en décrivant les fluctuations dans la configuration des trous noirs chargés nonextremaux $D_1 D_5$ à l'ordre de α'	260
6.17	Le déterminant de la métrique tenseure tracée comme la fonction de $\{N, W\}$, en décrivant les fluctuations dans la configuration des trous noirs chargés nonextremaux $D_1 D_5$ à l'ordre de α'	263
6.18	Le mineur de surface de la métrique tenseure tracée comme la fonction de $\{N, W\}$, en décrivant les fluctuations dans la configuration des trous noirs chargés nonextremaux $D_1 D_5$ à l'ordre de α'	264
6.19	Le premier mineur de la métrique tenseure tracée comme la fonction de $\{N, W\}$, en décrivant les fluctuations dans la configuration des trous noirs chargés nonextremaux $D_1 D_5$ à l'ordre de α'	265
6.20	La courbure scalaire tracée comme la fonction de $\{N, W\}$, en décrivant les fluctuations dans la configuration des trous noirs chargés nonextremaux $D_1 D_5$ à l'ordre de α' dans la gamme des charges $N, W \in (0, 10)$	267

6.21	La courbure scalaire tracée comme la fonction de $\{N, W\}$, en décrivant les fluctuations dans la configuration des trous noirs chargés nonextremaux D_1D_5 à l'ordre de α' dans la gamme des charges $N, W \in (-10, 10)$	268
6.22	La composante N_2N_2 de la métrique tenseure tracée comme la fonction de $\{N, W\}$, en décrivant les fluctuations dans la configuration des trous noirs chargés nonextremaux $D_2D_6NS_5$ à l'ordre dominant.	272
6.23	La composante N_6N_6 de la métrique tenseure tracée comme la fonction de $\{N, W\}$, en décrivant les fluctuations dans la configuration des trous noirs chargés nonextremaux $D_2D_6NS_5$ à l'ordre dominant.	273
6.24	La composante N_5N_5 de la métrique tenseure tracée comme la fonction de $\{N, W\}$, en décrivant les fluctuations dans la configuration des trous noirs chargés nonextremaux $D_2D_6NS_5$ à l'ordre dominant.	274
6.25	La composante N_RN_R de la métrique tenseure tracée comme la fonction de $\{N, W\}$, en décrivant les fluctuations dans la configuration des trous noirs chargés nonextremaux $D_2D_6NS_5$ à l'ordre dominant.	275
6.26	La composante N_2N_6 de la métrique tenseure tracée comme la fonction de $\{N, W\}$, en décrivant les fluctuations dans la configuration des trous noirs chargés nonextremaux $D_2D_6NS_5$ à l'ordre dominant.	276
6.27	La composante N_2N_5 de la métrique tenseure tracée comme la fonction de $\{N, W\}$, en décrivant les fluctuations dans la configuration des trous noirs chargés nonextremaux $D_2D_6NS_5$ à l'ordre dominant.	277
6.28	La composante N_2N_R de la métrique tenseure tracée comme la fonction de $\{N, W\}$, en décrivant les fluctuations dans la configuration des trous noirs chargés nonextremaux $D_2D_6NS_5$ à l'ordre dominant.	278

6.29	La composante N_6N_5 de la métrique tenseure tracée comme la fonction de $\{N, W\}$, en décrivant les fluctuations dans la configuration des trous noirs chargés nonextremaux $D_2D_6NS_5$ à l'ordre dominant.	279
6.30	La composante N_6N_R de la métrique tenseure tracée comme la fonction de $\{N, W\}$, en décrivant les fluctuations dans la configuration des trous noirs chargés nonextremaux $D_2D_6NS_5$ à l'ordre dominant.	280
6.31	La composante N_5N_R de la métrique tenseure tracée comme la fonction de $\{N, W\}$, en décrivant les fluctuations dans la configuration des trous noirs chargés nonextremaux $D_2D_6NS_5$ à l'ordre dominant.	281
6.32	Le mineur d'hypersurface de la métrique tenseure tracée comme la fonction de $\{N, W\}$, en décrivant les fluctuations dans la configuration des trous noirs chargés nonextremaux $D_2D_6NS_5$ à l'ordre dominant.	283
6.33	Le premier mineur de la métrique tenseure tracée comme la fonction de $\{N, W\}$, en décrivant les fluctuations dans la configuration des trous noirs chargés nonextremaux $D_2D_6NS_5$ à l'ordre dominant.	284
6.34	La courbure scalaire tracée comme la fonction de $\{N, W\}$, en décrivant les fluctuations dans la configuration des trous noirs chargés nonextremaux $D_2D_6NS_5$ à l'ordre dominant dans la gamme $n \in (-10, 0)$ et $N \in (0, 10)$	286
6.35	La courbure scalaire tracée comme la fonction de $\{N, W\}$, en décrivant les fluctuations dans la configuration des trous noirs chargés nonextremaux $D_2D_6NS_5$ à l'ordre dominant dans la gamme $n, N \in (-10, 10)$	287
6.36	La composante N_2N_2 de la métrique tenseure tracée comme la fonction de $\{N, W\}$, en décrivant les fluctuations dans la configuration des trous noirs chargés nonextremaux $D_2D_6NS_5$ à l'ordre de α'	291

6.37	La composante N_6N_6 de la métrique tenseure tracée comme la fonction de $\{N, W\}$, en décrivant les fluctuations dans la configuration des trous noirs chargés nonextremaux $D_2D_6NS_5$ à l'ordre de α'	292
6.38	La composante N_5N_5 de la métrique tenseure tracée comme la fonction de $\{N, W\}$, en décrivant les fluctuations dans la configuration des trous noirs chargés nonextremaux $D_2D_6NS_5$ à l'ordre de α'	293
6.39	La composante N_RN_R de la métrique tenseure tracée comme la fonction de $\{N, W\}$, en décrivant les fluctuations dans la configuration des trous noirs chargés nonextremaux $D_2D_6NS_5$ à l'ordre de α'	294
6.40	La composante N_2N_6 de la métrique tenseure tracée comme la fonction de $\{N, W\}$, en décrivant les fluctuations dans la configuration des trous noirs chargés nonextremaux $D_2D_6NS_5$ à l'ordre de α'	295
6.41	La composante N_2N_5 de la métrique tenseure tracée comme la fonction de $\{N, W\}$, en décrivant les fluctuations dans la configuration des trous noirs chargés nonextremaux $D_2D_6NS_5$ à l'ordre de α'	296
6.42	La composante N_2N_R de la métrique tenseure tracée comme la fonction de $\{N, W\}$, en décrivant les fluctuations dans la configuration des trous noirs chargés nonextremaux $D_2D_6NS_5$ à l'ordre de α'	297
6.43	La composante N_6N_5 de la métrique tenseure tracée comme la fonction de $\{N, W\}$, en décrivant les fluctuations dans la configuration des trous noirs chargés nonextremaux $D_2D_6NS_5$ à l'ordre de α'	298
6.44	La composante N_6N_R de la métrique tenseure tracée comme la fonction de $\{N, W\}$, en décrivant les fluctuations dans la configuration des trous noirs chargés nonextremaux $D_2D_6NS_5$ à l'ordre de α'	299

6.45	La composante $N_5 N_R$ de la métrique tenseure tracée comme la fonction de $\{N, W\}$, en décrivant les fluctuations dans la configuration des trous noirs chargés nonextremaux $D_2 D_6 N S_5$ à l'ordre de α'	300
6.46	Le déterminant de la métrique tenseure tracée comme la fonction de $\{N, W\}$, en décrivant les fluctuations dans la configuration des trous noirs chargés nonextremaux $D_2 D_6 N S_5$ à l'ordre de α'	303
6.47	Le mineur d'hypersurface de la métrique tenseure tracée comme la fonction de $\{N, W\}$, en décrivant les fluctuations dans la configuration des trous noirs chargés nonextremaux $D_2 D_6 N S_5$ à l'ordre de α'	304
6.48	Le mineur de surface de la métrique tenseure tracée comme la fonction de $\{N, W\}$, en décrivant les fluctuations dans la configuration des trous noirs chargés nonextremaux $D_2 D_6 N S_5$ à l'ordre de α'	305
6.49	Le premier mineur de la métrique tenseure tracée comme la fonction de $\{N, W\}$, en décrivant les fluctuations dans la configuration des trous noirs chargés nonextremaux $D_2 D_6 N S_5$ à l'ordre de α'	306
6.50	La courbure scalaire tracée comme la fonction de $\{N, W\}$, en décrivant les fluctuations dans la configuration des trous noirs chargés nonextremaux $D_2 D_6 N S_5$ à l'ordre de α' dans la gamme $n \in (-10, 0)$ et $N \in (0, 10)$	309
6.51	La courbure scalaire tracée comme la fonction de $\{N, W\}$, en décrivant les fluctuations dans la configuration des trous noirs chargés nonextremaux $D_2 D_6 N S_5$ à l'ordre de α' dans la gamme $n, N \in (-10, 10)$	310
7.1	La composante qq de la métrique tenseure tracée comme la fonction de $\{q, J\}$, en décrivant les fluctuations dans la configuration des trous noirs de Kerr-Neumann.	315

7.2	La composante JJ de la métrique tenseure tracée comme la fonction de $\{q, J\}$, en décrivant les fluctuations dans la configuration des trous noirs de Kerr-Neumann.	316
7.3	La composante qJ de la métrique tenseure tracée comme la fonction de $\{q, J\}$, en décrivant les fluctuations dans la configuration des trous noirs de Kerr-Neumann.	317
7.4	Le premier mineur de la métrique tenseure tracée comme la fonction de $\{q, J\}$, en décrivant les fluctuations dans la configuration des trous noirs de Kerr-Neumann.	319
7.5	La composante PP de la métrique tenseure tracée comme la fonction de $\{Q, J\}$, en décrivant les fluctuations dans la configuration des trous noirs de Kaluza-Klein.	322
7.6	La composante QQ de la métrique tenseure tracée comme la fonction de $\{Q, J\}$, en décrivant les fluctuations dans la configuration des trous noirs de Kaluza-Klein.	323
7.7	La composante JJ de la métrique tenseure tracée comme la fonction de $\{Q, J\}$, en décrivant les fluctuations dans la configuration des trous noirs de Kaluza-Klein.	324
7.8	La composante PQ de la métrique tenseure tracée comme la fonction de $\{Q, J\}$, en décrivant les fluctuations dans la configuration des trous noirs de Kaluza-Klein.	325
7.9	La composante PJ de la métrique tenseure tracée comme la fonction de $\{Q, J\}$, en décrivant les fluctuations dans la configuration des trous noirs de Kaluza-Klein.	326

7.10	La composante QJ de la métrique tenseure tracée comme la fonction de $\{Q, J\}$, en décrivant les fluctuations dans la configuration des trous noirs de Kaluza-Klein.	327
7.11	Le déterminant de la métrique tenseure tracée comme la fonction de $\{Q, J\}$, en décrivant les fluctuations dans la configuration des trous noirs de Kaluza-Klein.	329
7.12	Le mineur de surface de la métrique tenseure tracée comme la fonction de $\{Q, J\}$, en décrivant les fluctuations dans la configuration des trous noirs de Kaluza-Klein.	330
7.13	Le premier mineur de la métrique tenseure tracée comme la fonction de $\{Q, J\}$, en décrivant les fluctuations dans la configuration des trous noirs de Kaluza-Klein.	331
7.14	La courbure scalaire tracée comme la fonction de $\{Q, J\}$, en décrivant les fluctuations dans la configuration des trous noirs de Kaluza-Klein dans la gamme de $Q, J \in (-10, 10)$	334
7.15	La courbure scalaire tracée comme la fonction de $\{Q, J\}$, en décrivant les fluctuations dans la configuration des trous noirs de Kaluza-Klein dans la gamme de $Q \in (-10, 0)$ et $J \in (0, 10)$	335
7.16	La composante P_1P_1 de la métrique tenseure tracée comme la fonction de $\{Q, J\}$, en décrivant les fluctuations dans la configuration des trous noirs de la théorie des cordes hétérotiques.	340
7.17	La composante Q_2Q_2 de la métrique tenseure tracée comme la fonction de $\{Q, J\}$, en décrivant les fluctuations dans la configuration des trous noirs de la théorie des cordes hétérotiques.	341

7.18	La composante P_3P_3 de la métrique tenseure tracée comme la fonction de $\{Q, J\}$, en décrivant les fluctuations dans la configuration des trous noirs de la théorie des cordes hétérotiques.	342
7.19	La composante Q_4Q_4 de la métrique tenseure tracée comme la fonction de $\{Q, J\}$, en décrivant les fluctuations dans la configuration des trous noirs de la théorie des cordes hétérotiques.	343
7.20	La composante JJ de la métrique tenseure tracée comme la fonction de $\{Q, J\}$, en décrivant les fluctuations dans la configuration des trous noirs de la théorie des cordes hétérotiques.	344
7.21	La composante P_1Q_2 de la métrique tenseure tracée comme la fonction de $\{Q, J\}$, en décrivant les fluctuations dans la configuration des trous noirs de la théorie des cordes hétérotiques.	345
7.22	La composante P_1P_3 de la métrique tenseure tracée comme la fonction de $\{Q, J\}$, en décrivant les fluctuations dans la configuration des trous noirs de la théorie des cordes hétérotiques.	346
7.23	La composante P_1Q_4 de la métrique tenseure tracée comme la fonction de $\{Q, J\}$, en décrivant les fluctuations dans la configuration des trous noirs de la théorie des cordes hétérotiques.	347
7.24	La composante P_1J de la métrique tenseure tracée comme la fonction de $\{Q, J\}$, en décrivant les fluctuations dans la configuration des trous noirs de la théorie des cordes hétérotiques.	348
7.25	La composante Q_2P_3 de la métrique tenseure tracée comme la fonction de $\{Q, J\}$, en décrivant les fluctuations dans la configuration des trous noirs de la théorie des cordes hétérotiques.	349

7.26	La composante Q_2Q_4 de la métrique tenseure tracée comme la fonction de $\{Q, J\}$, en décrivant les fluctuations dans la configuration des trous noirs de la théorie des cordes hétérotiques.	350
7.27	La composante Q_2J de la métrique tenseure tracée comme la fonction de $\{Q, J\}$, en décrivant les fluctuations dans la configuration des trous noirs de la théorie des cordes hétérotiques.	351
7.28	La composante P_3Q_4 de la métrique tenseure tracée comme la fonction de $\{Q, J\}$, en décrivant les fluctuations dans la configuration des trous noirs de la théorie des cordes hétérotiques.	352
7.29	La composante P_3J de la métrique tenseure tracée comme la fonction de $\{Q, J\}$, en décrivant les fluctuations dans la configuration des trous noirs de la théorie des cordes hétérotiques.	353
7.30	La composante Q_4J de la métrique tenseure tracée comme la fonction de $\{Q, J\}$, en décrivant les fluctuations dans la configuration des trous noirs de la théorie des cordes hétérotiques.	354
7.31	Le déterminant de la métrique tenseure tracée comme la fonction de $\{Q, J\}$, en décrivant les fluctuations dans la configuration des trous noirs de la théorie des cordes hétérotiques.	357
7.32	Le mineur d'hypersurface p_4 de la métrique tenseure tracée comme la fonction de $\{Q, J\}$, en décrivant les fluctuations dans la configuration des trous noirs de la théorie des cordes hétérotiques.	358
7.33	Le mineur d'hypersurface p_3 de la métrique tenseure tracée comme la fonction de $\{Q, J\}$, en décrivant les fluctuations dans la configuration des trous noirs de la théorie des cordes hétérotiques.	359

7.34	Le mineur de surface p_2 de la métrique tenseure tracée comme la fonction de $\{Q, J\}$, en décrivant les fluctuations dans la configuration des trous noirs de la théorie des cordes hétérotiques.	360
7.35	Le premier mineur de la métrique tenseure tracée comme la fonction de $\{Q, J\}$, en décrivant les fluctuations dans la configuration des trous noirs de la théorie des cordes hétérotiques.	361
7.36	La courbure scalaire tracée comme la fonction de $\{Q, J\}$, en décrivant les fluctuations dans la configuration des trous noirs de la théorie des cordes hétérotiques dans la gamme de $Q, J \in (-5, 10)$	365
7.37	La courbure scalaire tracée comme la fonction de $\{Q, J\}$, en décrivant les fluctuations dans la configuration des trous noirs de la théorie des cordes hétérotiques dans la gamme de $Q \in (-10, 0.01)$ et $J \in (0, 10)$	366

Chapitre 1

Introduction

Motivés par la méthode de la fonction de l'entropie de Sen et le principe d'incertitude généralisée, nous examinons la géométrie thermodynamique associée à l'entropie ou à la masse des différents trous noirs ou branes noirs. Nous avons considéré une série de systèmes de trous noirs et analysons leur géométrie thermodynamique. Notre perspective de l'étude géométrique est divisée en deux parties: la première est les corrections dans l'entropie des trous noirs en raison du principe d'incertitude généralisée et la seconde est les corrections supérieures à l'entropie des trous noirs par la méthode de la fonction de l'entropie de Sen [1].

Microscopiquement, les propriétés thermodynamiques, du trou noir de la théorie des cordes, sont élégamment résumées par l'assignment d'une entropie du trou noir [2]. Il existe une structure riche dans le cadre des trous noirs demi-BPS dans les théories des supercordes en $\mathcal{N} = 2$ et $D \geq 4$, par le biais de certaines compactifications des dimensions supérieures des théories des supercordes. En raison de la compactification, certains champs scalaires apparaissent dans la théorie, avec des valeurs proche de l'horizon sont déterminées uniquement par les charges portées par le trou noir. Les valeurs proches de l'horizon sont donc indépendantes de leur valeur asymptotique. Ces champs scalaires constituent l'espace de modules scalaires sur lesquels l'entropie des trous noirs est indépendante

[1, 3–6]. Ces trous noirs, des supercordes compactifiées, ont le pouvoir d’être liés au système dynamique par ce mécanisme attracteur. C’est-à-dire les équations de la structure complexe appelées les équations d’attracteur pour les charges, ont certaines conditions sur les structures d’Hodge de la variété complexe, particulièrement avec le tore T_6 ou la variété de Calabi-Yau.

En revanche, l’entropie des différents trous noirs dépend des termes dérivés supérieures se figurant dans le prepotentiel généralisé [7–10]. De plus, dans certain cas, la partie réelle de l’espace des modules scalaires des multiples vecteurs est proportionnelle aux champs magnétiques, alors que la partie imaginaire est proportionnelle aux champs électriques à l’horizon du trou noir [1, 10]. Cette propriété de dépendance de l’entropie des trous noirs des termes dérivés supérieures peut être codée dans le nombre de la deuxième classe de Chern de l’espace topologique sous-jacent sur lequel la théorie des supercordes est compactifiée. En outre, à proximité de l’horizon des trous noirs de la théorie des supercordes de $\mathcal{N} = 2$, il est bien connu que tous les termes de la densité langrangienne s’éclipsent, à l’exception d’un seul terme proportionnel à la partie imaginaire du prepotentiel généralisé. L’une des plus intéressantes corrections de la densité lagrangienne dans le cas de la courbure carré de l’espace-temps à l’aire de l’horizon des trous noirs, est le terme: $4\pi \text{Im}(\Upsilon F_\Upsilon)$ [7–10].

Comme il est désormais bien connu, la méthode de la fonction de Sen de l’entropie est la meilleure méthode pour calculer les contributions de α' des dérivées supérieures d’une classe de trous noirs découlant des théories des cordes. Un exemple de base de notre compréhension du mécanisme attracteur et de l’entropie d’un trou noir extrémal avec les charges électriques et magnétiques, est la solution de Reissner-Nordström. Cette solution décrit un trou noir chargé et sphériquement symétrique, dans les quatre dimensions de la théorie d’Einstein-Maxwell. Il s’agit d’une solution classique exacte pour toute distance finie r qui décrit une sphère ordinaire S^2 de deux dimensions et un espace-temps bidimensionnel connu AdS_2 . Donc, cette solution décrit également la gravité d’Einstein en deux dimensions avec une valeur négative de la constante de cosmologie.

De plus, cette situation a une isométrie de $SO(3)$ agissant sur la sphère S^2 , qui reflète la symétrie sphérique du trou noir original et est présente également dans la solution complète de ce trou noir. Elle a également une isométrie de $SO(2, 1)$ agissant sur l'espace de AdS_2 , alors qu'elle n'était pas présente initialement dans la solution complète de ce trou noir. Dans ce cas, il est facile de montrer que la métrique et les champs de jauge peuvent être écrits invariablement par la transformation de $SO(2, 1) \times SO(3)$. En fait, cette manière de définir un trou noir extrémal fonctionne en général bien avec les dérivées supérieures de la théorie de la gravité. En particulier, $\langle\langle$ dans toute la théorie de la gravité généralement covariante et conjuguée aux champs de la matière, la géométrie proche de l'horizon d'un trou noir extrémal présentent une symétrie de la sphère en quatre dimensions a l'isométrie de $SO(2, 1) \times SO(3)\rangle\rangle$ [11, 12].

En outre, l'entropie des trous noirs chargés extrémaux et en rotation est bien connue dans la théorie des cordes hétérotiques depuis très longtemps [13]. Sen et. al. considèrent que dans la théorie générale de la gravité des dérivées supérieures, qui est conjuguée aux champs de jauge et aux champs scalaires neutres, l'entropie ainsi que l'arrière-plan proche de l'horizon d'un trou noir extrémal en rotation, peuvent être déterminés par extrémisation de la fonction d'entropie de Sen. Actuellement, il ne dépend que des paramètres de caractérisation de l'horizon comme par exemple, les charges électriques, les charges magnétiques et le moment cinétique du trou noir. Toutes les solutions de trous noirs extrémaux, comme dans le cas du trou noir extrémal de Kerr-Newmann ou celui de Kaluza-Klein dans la théorie d'Einstein-Maxwell, ou bien aussi des trous noirs extrémaux découlant de la théorie des cordes hétérotiques compactifiée toroidalement, ont également deux types différents de limites extrémales que l'on appelle la branche d'ergonomie et la branche d'ergonomie libre. Dans la limite extrémale correspondante à la branche d'ergonomie, l'expression de l'entropie du trou noir extrémal de la théorie des cordes hétérotiques compactifiée toroidalement peut être obtenue par la méthode de la fonction de l'entropie de Sen qui est donnée par

$$S(P_1, Q_2, P_3, Q_4, J) := 2\pi \sqrt{J^2 + P_1 Q_2 P_3 Q_4}, \quad (1.1)$$

où P_1, P_3 et Q_2, Q_4 sont respectivement des charges magnétiques et des charges électriques dans la théorie des cordes hétérotiques tronquée [14]. Il est également bien connu que cette entropie est invariante par la transformation de la dualité dans le cadre d'une transformation de $SO(2, 2)$ pour les vecteurs des charges électriques et magnétiques caractérisant la solution du trou noir.

Nous pourrions bien sûr refaire le même genre de calcul dans le cas des trous noirs ou branes noirs non-extrémaux. Pour cela, on a démontré que le formalisme de la fonction de l'entropie fonctionne de Sen bien pour certains cas spéciaux des trous noirs non-extrémaux et également pour des branes noirs non-extrémaux, malgré le fait que l'horizon de ces branes n'est pas attracteur. Selon l'explication du mécanisme d'attracteur considéré par Kallosh et. al. [15], la distance physique à partir d'un point arbitraire de l'horizon attracteur est infinie. Explicitement, au niveau de la supergravité, cette distance propre d'un point arbitraire de l'horizon est finie ou infinie, selon le cas des trous noirs considérés comme un trou noir non-extrémal ou trou noir extrémal. Par exemple, on a démontré que la fonction de l'entropie de Sen a un extremum proche de l'horizon d'un trou noir extrémal [16,17]. C'est-à-dire, le formalisme de la fonction de l'entropie de Sen ne doit pas être quelque chose de spécifique pour les trous noirs extrémaux. On a aussi spéculé que le formalisme de la fonction de l'entropie de Sen est utilisable pour les trous noirs/ branes non-extrémaux, dont les géométries proches de l'horizon sont des extensions de l'espace d'AdS, comme le trou noir de Schwarzschild dans AdS [18]. Maintenant, compte tenu des corrections spécifiques des dérivées plus élevées des contributions de la courbure tenseure de Weyl, comme les corrections des termes dérivés supérieurs de la théorie effective. Ensuite, pour les cas des termes dérivés plus élevées qui respectent la symétrie des solutions au niveau de l'arbre, l'entropie de ces systèmes de branes est donnée par la valeur de la fonction de l'entropie aux extremums. En outre, les corrections de $(\alpha')^3$ n'ont pas d'effets

sur la température du système thermodynamique sous-jacente, mais elles diminuent la valeur de l'entropie [16, 19]. En fait, Pour incorporer les corrections de α' à l'entropie d'un trou noir ou brane noir, la méthode de la fonction de l'entropie de Sen est une des techniques les plus efficaces. Cela n'exige pas que la fonction de l'entropie de Sen doit avoir un minimum local à proximité de l'horizon.

D'autre part, afin de décrire les structures de l'espace-temps à petite échelle de manière adéquate, une extension de la mécanique quantique pourrait être nécessaire. Et afin de tenir compte de la gravité, nous avons besoin de modifier la géométrie classique continue, voir par exemple la géométrie non-commutative de Connes [20]. Et bien, le principe d'incertitude généralisée peut être analysé à travers les concepts de base de la limite et de la transformation de Fourier. Ensuite, la gravité quantique ou la théorie des cordes peut être étudiée dans la perspective d'une fonction complexe, avec certaines modifications des conditions quantificatives dans la théorie quantique. En particulier, on peut décrire le principe d'incertitude généralisée de la théorie des cordes aux conditions d'analyticité d'une certaine fonction complexe selon le mélange d'UV/IR [21]. Cette considération est fondée sur le fait que l'échelle de Planck est la longueur minimale de la nature; ainsi, il existe une longueur maximale de la nature.

En outre, l'existence des symétries de la dualité non-perturbative de la théorie des cordes indique que les théories des cordes ne distinguent pas les petites échelles de l'espace-temps à partir des grandes échelles de l'espace-temps. Cela nécessite une modification du principe d'incertitude d'Heisenberg, comme par exemple pour les énergies au-delà de l'échelle de Planck, la taille de la corde grandit avec le temps au lieu de chuter. À la suite de la théorie des cordes, une introduction sur cette description de l'espace-temps T-duale est donnée par Witten [22, 23], où en dessous de la longueur de Planck, le concept même de l'espace-temps change son sens et le principe d'incertitude d'Heisenberg a besoin d'être modifié. Le principe d'incertitude généralisée est aussi motivé par l'étude du comportement pour les petites distances de la théorie des cordes [24–27], la physique des trous noirs [28] et les espaces de de-Sitter [29]. On peut révéler des indices thermody-

namiquement importants avec les corrections existentes dans la nature mais aussi l'origine géométrique de la M-théorie fondamentale [30, 31].

De plus, l'analyse des perturbations linéarisées des trous noirs de Reissner-Nordström du grand anti-de Sitter en quatre dimensions est importante pour avoir la dichotomie de la physique des trous noirs, comme l'instabilité thermodynamique. Par exemple, au cours des dernières années, on a exposé l'existence de certains modes tachyoniques de ces trous noirs [32, 33]. En outre, dans la limite de grands trous noirs, il existe un écart, et lorsque ce trou noir devient thermodynamiquement instable, le tachyon apparaît dans le grand espace d'anti-de Sitter. Il y a eu des progrès remarquables dans la compréhension de la mécanique statistique microscopique compte tenu de la thermodynamique des trous noirs, en utilisant les constructions de la théorie des cordes comme les D-branes [34]. Il y a une règle générale pour les solutions des trous noirs quasi-extrémaux obtenus par les compactifications aux dimensions $D = 4, 5$ de la théorie des cordes avec plusieurs charges électriques, magnétiques et une masse saturant presque la limite de BPS, qui ont sans exception une chaleur spécifique positive. C'est parce que la mécanique statistique de l'entropie repose sur une théorie des champs des D-branes de basse énergie à partir de laquelle les trous noirs sont construits [35–40].

Dans le prolongement de ces trous noirs les plus pertinentes dans la théorie des cordes comme les trous noirs d'astrophysiques, une étape naturelle examiner les variantes des trous noirs thermodynamiquement instable pour lesquels la théorie des cordes donne une description duale de la théorie des champs conformes. Le plus simple exemple d'une telle solution est la solution de Reissner-Nordström dans l'espace d'AdS. Cette solution démontre son instabilité thermodynamique et que la solution est instable dans une analyse linéarisée [41]. On a aussi conjecturé dans le passé qu'il existe une relation générale entre l'instabilité thermodynamique et l'instabilité de Gregory-Laflamme pour les branes noirs [42, 43]. Voir pour plus de détails dans le cas de l'évolution des trous noirs instables dans l'espace d'anti-de Sitter [32, 33].

Dans l'étude géométrique de la thermodynamique, il existe deux importantes types de géométries thermodynamiques. L'une dans la représentation de l'entropie qui s'appelle la géométrie de Ruppeiner et l'autre dans la représentation de la masse qui est dite la géométrie de Wienhold. En fait, il est bien connu que ces deux géométries thermodynamiques sont liées par une transformation conforme avec le facteur conforme à la température du système considéré [44, 45]. De cette manière, nous pouvons calculer la métrique de la géométrie thermodynamique dans n'importe quelle représentation et puis l'obtenir dans l'autre représentation seulement en tenant compte d'un facteur, comme en ce cas de la température. C'est-à-dire que les enquêtes d'une géométrie sont équivalentes à celles de l'autre. Donc, nous pouvons obtenir la métrique d'une géométrie thermodynamique par une autre déjà connue, et ainsi calculer facilement les quantités géométriques dans la représentation souhaitée. C'est pourquoi dans la plupart des cas de notre étude, nous avons analysé le rôle des corrections de la géométrie thermodynamique que nous avons examiné, soit pour la géométrie de Ruppeiner, soit pour la géométrie de Wienhold.

Dans le Ref. [46], nous avons déjà analysé la géométrie thermodynamique des trous noirs de BTZ. Nous avons montré que l'espace d'état n'a pas d'interactions thermodynamiques et la courbure scalaire de Ruppeiner est partout nulle, et ceci reste également le cas avec les corrections de Chern-Simons. De plus, les interactions thermodynamiques sont finies et non-nulles lorsque les petites fluctuations thermiques de l'ensemble canonique sont prises en compte. Cela reste le cas avec une petite courbure scalaire de Ruppeiner, pour des trous noirs de BTZ ou bien ceux de BTZ-Chern-Simons, si bien qu'on choisit le paramètre de rotation $J = 0$, voir [46] pour le détails. Hormis cela, nous avons étudié la géométrie de Ruppeiner de certains trous noirs et branes noirs extrémaux. Nous avons montré que la géométrie thermodynamique des branes noirs D_1D_5 et $D_2D_6NS_5$ extrémaux en $D = 10$ découlant de la théorie des cordes de type-II, et les petits trous noirs en $D = 4$ découlant de la théorie des cordes hétérotiques, est bien définie [47]. Ensuite, il est analysé que la courbure scalaire de Ruppeiner est partout régulière, et la nature reste inchangée, si on ajoute les corrections de α' . Bien que la correction de α' de l'ordre premier modi-

fié l'entropie des petits trous noirs, la géométrie thermodynamique n'est pas bien définie, mais les corrections de α' des ordres supérieurs la rendent bien définie et partout régulière.

Dans cet ouvrage, nous étudions la géométrie thermodynamique et les effets des corrections des dérivées supérieures de la géométrie thermodynamique. En particulier, nous étudions les corrections de la géométrie thermodynamique due au principe d'incertitude généralisée, et celles en raison des corrections de α' de la théorie des cordes. Le reste de cette recherche est organisé en plusieurs chapitres. Le premier chapitre introduit les problèmes et les motivations. Dans le chapitre 2, nous avons examiné les origines de la géométrie thermodynamique dans la mécanique statistique. Nous avons expliqué que la géométrie thermodynamique se pose naturellement dans l'approximation gaussienne de la fonction de partition d'un ensemble grand canonique, alors que l'ensemble des canoniques a seulement la transformation de l'échelle. Dans le chapitre 3, nous avons analysé la géométrie thermodynamique de certains trous noirs et branes noirs de la théorie des cordes. De plus, nous avons donné une reformulation du problème en termes de l'énergie libre topologique du trou noir et ainsi de la fonction de partition d'un ensemble des trous noirs. Ceci est comptable pour le cas des petits trous noirs que l'ensemble doit être un ensemble mélangé. En particulier, nous considérons la géométrie de Ruppenier des trous noirs de Reissner-Nordström et également la géométrie de Wienhold des trous noirs dilatoniques et de la solution de Reissner-Nordström dans la nappe de Poincaré de ADS_4 . Dans le chapitre 4, nous avons incorporé les corrections dues au principe d'incertitude généralisée dans la géométrie thermodynamique. Ici, nous analysons la géométrie de Ruppenier corrigée par le principe d'incertitude généralisée pour le cas de trous noirs de Reissner-Nordström et celui des trous noirs chargés magnétiquement.

Dans le chapitre 5, en prenant les corrections de α' de la théorie des cordes, nous considérons la géométrie de Ruppenier corrigée par les termes de α' des trous noirs extrémaux dans $D = 4$. Nous avons montré que dans le cas des trous noirs non-supersymétriques, les corrections de α' d'ordre différents n'introduisent pas la singularité dans la courbure de Ruppenier, et le sous-espace d'état est partout régulier. En fait, nous trouvons que

cela reste également vrai pour les corrections de Gauss-Bonnet aux trous noirs supersymétriques extrémaux dans $D = 4$. En outre, nous avons observé une tendance bien définie pour la courbure scalaire de Ruppenier et pour le déterminant de la métrique comme le polynômes. Aussi, il est intéressant de noter que le degré de ces courbures de Ruppenier et celui des déterminants peuvent être déterminés par l'ordre supérieur des corrections de α' , à tous les ordres de α' plus grand qu'un. Dans le chapitre 6, nous examinons la géométrie de Ruppenier des branes noirs D_1D_5 et $D_2D_6NS_5$ non-extrémaux en $D = 10$ et montrons que ces systèmes thermodynamiques sont partout réguliers et bien définis. Dans le chapitre 7, nous concentrons notre attention sur les trous noirs en rotation, comme les trous noirs de Kerr-Newman, les trous noirs de Kaluza-Klein et les trous noirs obtenus à partir de la théorie des cordes. Dans le cas des trous noirs extrémaux de la théorie des cordes hétérotiques compactifiée toroidalement, nous avons expliqué que la courbure sous-jacente de Ruppenier diverge aux succursales ergos et en ces points, la géométrie thermodynamique devient mal définie. Enfin, le chapitre 8 contient des questions et des remarques de conclusion pour l'avenir.

Chapitre 2

L'origine de la géométrie thermodynamique

Dans ce chapitre, nous allons faire une petite introduction de la géométrie thermodynamique. Tout d'abord, le but de ce chapitre est principalement de placer les notations et les conventions qui seront suivies dans le reste de cette recherche.

Commençons en considérant les dispositions de bases nécessaires de la mécanique statistique [48, 49] et donc nous allons expliquer les conceptions de la géométrie thermodynamique. À la fin de ce chapitre, nous montrons que la géométrie thermodynamique découle naturellement de la théorie des ensembles.

2.1 Ensemble Canonique

Il est bien connu que la fonction de cloison de l'ensemble canonique est donnée par

$$\mathcal{Z} = \sum_E e^{-\frac{E}{kT}}. \quad (2.1)$$

Quand l'énergie E augmente continuellement, la fonction de cloison de l'ensemble

canonique \mathcal{Z} peut être écrite comme

$$\begin{aligned}\mathcal{Z} &= \int \Gamma(E) e^{-\frac{E}{kT}} dE \\ &= \int e^{-\frac{1}{kT}\{E-TS(E)\}} dE,\end{aligned}\tag{2.2}$$

où $\Gamma(E)$ est le nombre des micro-états entre l'énergie E et $E + dE$. Avec l'hypothèse de Boltzmann, on peut voir que l'entropie canonique est définie par

$$S = k \ln \Gamma(E).\tag{2.3}$$

Puisque $E - TS \sim \heartsuit(N)$ dans la limite $N \rightarrow \infty$, et ainsi cet intégral est dominé par le minimum de $E - TS$. Pour une énergie $E = \bar{E}$, nous voyons que la condition d'un minimum de $E - TS$ est obtenue par

$$1 = T \left(\frac{\partial S}{\partial E} \right)_{\bar{E}}.\tag{2.4}$$

Ça va dire que la température est définie par la relation

$$T^{-1} = \left(\frac{\partial S}{\partial E} \right)_{\bar{E}}.\tag{2.5}$$

Cette relation est bien connu comme une relation thermodynamique entre l'entropie et la température du système, et donc \bar{E} est l'énergie thermodynamique. L'expansion de Taylor de $E - TS(E)$ au point $E = \bar{E}$ est simplement donnée par

$$\begin{aligned}
E - TS &= \bar{E} + E - \bar{E} - TS(\bar{E}) - T\left(\frac{\partial S}{\partial E}\right)_{\bar{E}}(\Delta E) + \frac{T}{2}\left(\frac{\partial^2 S}{\partial E^2}\right)(\Delta E)^2 + \heartsuit((\Delta E)^3) + \dots \\
&\simeq \bar{F} - \frac{T}{2}\frac{\partial}{\partial E}\left(\frac{1}{T}\right)(\Delta E)^2 \\
&= \bar{F} + \frac{(\Delta E)^2}{2TC},
\end{aligned} \tag{2.6}$$

où

$$\bar{F} = \bar{E} - TS(\bar{E}) \tag{2.7}$$

est l'énergie libre, c'est-à-dire que \bar{F} est une valeur minimum de $(E - TS)$ quand la correction est positive, ce qui se produit, ssi on a une constante C tel que $C > 0$. En d'autre terme, l'intégral est dominé ssi la chaleur spécifique C est positive. Donc, on voit que la fonction de cloison de l'ensemble canonique est donnée par

$$\mathcal{Z} = e^{-\frac{\bar{F}}{kT}} \int e^{-\frac{\Delta E^2}{2kT^2C}} dE. \tag{2.8}$$

Il implique que la distribution canonique correspond aux fluctuations gaussiennes avec la moyenne énergie thermodynamique \bar{E} . On peut voir facilement que la limite

$$\mathcal{Z} \sim \heartsuit(\sqrt{C}) \sim \heartsuit(\sqrt{N}) \tag{2.9}$$

entraîne

$$\ln \mathcal{Z} = -\frac{\bar{F}}{kT} + \ln(\heartsuit(\sqrt{N})). \tag{2.10}$$

Donc, en ce cas, on obtient la limite thermodynamique, c'est-à-dire que la condition

où le terme $\ln(\heartsuit(\sqrt{N}))$ ne domine pas, parce qu'on a

$$-\frac{\overline{F}}{kT} \sim \heartsuit(N). \quad (2.11)$$

Enfin, on a une relation entre la mécanique statistique et la thermodynamique qui sont respectivement représentés par les fonctions Z et F . Selon cette relation, l'énergie libre thermodynamique est donnée par

$$\overline{F} = kT \ln Z. \quad (2.12)$$

2.2 Ensemble Grand Canonique

De la même manière, la fonction de cloison de l'ensemble grand canonique est donné par

$$\mathcal{Q} = \int \Gamma(E, N) e^{-\frac{1}{kT}(E - \mu N)} dE dN, \quad (2.13)$$

où $\Gamma(E, N)$ est le nombre des états avec l'énergie E et nombre des particules N . En ce cas, on peut écrire facilement que

$$\mathcal{Q} = \int e^{-\frac{1}{kT}(E - TS - \mu N)} dE dN. \quad (2.14)$$

Dans la limite, $N \rightarrow \infty$, l'intégral va dominer par le minimum de $(E - TS - \mu N)$, à qui les conditions extrêmes sont:

$$\begin{aligned} T^{-1} &= \left(\frac{\partial S}{\partial E}\right)_{V,N}, \text{ et} \\ \mu &= T \left(\frac{\partial S}{\partial N}\right)_{V,E}. \end{aligned} \quad (2.15)$$

On peut résoudre ces équations avec les solutions: $E = \bar{E}$, $N = \bar{N}$ en écrivant

$$\begin{aligned}
 (E - TS - \mu N) &= \bar{E} - \mu \bar{N} - TS(\bar{E}, \bar{N}) - \frac{T}{2} \left\{ \left(\frac{\partial^2 S}{\partial E^2} \right)_{N,V} (\Delta E)^2 \right. \\
 &\quad \left. + 2 \frac{\partial^2 S}{\partial E \partial N} (\Delta E \Delta N) + \left(\frac{\partial^2 S}{\partial N^2} \right)_{E,V} (\Delta N)^2 + \dots \right\} \\
 &\simeq -PV + \frac{T}{2} \{ \alpha (\Delta E)^2 + 2\beta (\Delta E \Delta N) + \gamma (\Delta N)^2 \}, \quad (2.16)
 \end{aligned}$$

où $\{\bar{E}, \bar{N}\}$ sont respectivement les valeurs thermodynamiques de $\{E, N\}$. Ici, dans la deuxième ligne de l'équation Eqn. (2.16), nous avons défini

$$\begin{aligned}
 \alpha &:= \left(\frac{\partial^2 S}{\partial E^2} \right)_{N,V}, \\
 \beta &:= \left(\frac{\partial^2 S}{\partial E \partial N} \right)_{V}, \text{ et} \\
 \gamma &:= \left(\frac{\partial^2 S}{\partial N^2} \right)_{E,V}. \quad (2.17)
 \end{aligned}$$

Anfin d'avoir le minimum de la fonction $(E - TS - \mu N)$, la forme quadratique, dans la parenthèse $\{..\}$, doit être positive définie, ce qui est ainsi bien tenue, ssi

$$\alpha > 0, \quad \beta > 0, \quad \text{et} \quad \alpha\gamma > \beta^2. \quad (2.18)$$

Notez bien que les conditions $\alpha > 0$ et $\beta > 0$ représentent la stabilité locale d'un système statistique. Ici, les paramètres α et β s'appellent les capacités de chaleurs. En outre, la condition $\alpha\gamma > \beta^2$ représente la stabilité globale du système considéré. À la suite de ce chapitre, nous allons montrer que la positivité de la fonction

$$g(E, N) := \alpha\gamma - \beta^2 \quad (2.19)$$

donne la stabilité globale du système de deux paramètres $\{E, N\}$. Donc, à la perspective de la théorie des distributions, nous avons

$$\mathcal{Q} = e^{\frac{PV}{kT}} \int d(E - \bar{E})d(N - \bar{N})e^{\frac{-1}{2k}\{\alpha(\Delta E)^2 + 2\beta(\Delta E\Delta N) + \gamma(\Delta N)^2\}}. \quad (2.20)$$

À la mesure que $N \rightarrow \infty$, nous voyons trivialement que

$$kT \ln \mathcal{Q} = PV + \heartsuit(\ln \sqrt{N}). \quad (2.21)$$

Ainsi la distribution grande canonique est une distribution quadratique des fluctuations dans E et N . En d'autres termes, la distribution grande canonique est équivalente à une distribution gaussienne des fluctuations de l'énergie et le nombre des particules.

Et bien, les lois thermodynamiques ne sont pas fondamentales mais elles viennent des propriétés microscopiques du système. En fait, il s'avère que nous avons

$$TdS = dE + PdV - \mu dN, \quad (2.22)$$

où l'entropie $S(U, V, N)$ joue un rôle important. Dans ce cas, si la dépendance de l'entropie $S(U, V, N)$ aux variables U, V, N est connue, alors la connaissance complète de tous les paramètres thermodynamiques peut être obtenue. En effet, il est facile de voir que l'entropie du système caractérise les fluctuations thermiques de l'énergie et du nombre de particules du système. Définissons l'élément de la distance par

$$ds^2 := \alpha dE^2 + 2\beta dEdN + \gamma dN^2 \quad (2.23)$$

avec la métrique tenseure thermodynamique

$$g_{ij}(x) = \begin{pmatrix} \alpha & \beta \\ \beta & \gamma \end{pmatrix}, \quad (2.24)$$

où $x := \begin{pmatrix} E \\ N \end{pmatrix}$. Nous allons examiner quand g_{ij} est symétrique et positive définie pour toute la variable thermodynamique $x \in R^2$. On peut observer que l'entropie statistique de ce système est

$$S = k_B \ln \Gamma(U, V, N), \quad (2.25)$$

où Γ représente le nombre quantique de tous les constituants des sous-ensembles. De plus, nous avons $\Gamma = 1$ si il n'y a aucun désordre.

2.3 Géométrie Thermodynamique

Comme dans le cas de l'ensemble grand canonique, on peut voir pour un corps macroscopique dans certain équilibre que les quantités physiques ont généralement de petites déviations de la leurs valeurs moyennes. Donc, nous voulons trouver une distribution de probabilité de ces fluctuations thermiques en considérant le nombre des micro-états

$$\Gamma = A e^S \quad (2.26)$$

comme un commencement de la théorie des fluctuations. En générale, soit P une distribution de probabilité, c'est-à-dire que

$$P \propto e^S. \quad (2.27)$$

En particulier, considérons la distribution gaussienne de plusieurs quantités thermodynamiques et leurs fluctuations simultanées de la leurs valeurs moyennes. Nous pouvons définir l'entropie $S(x_1, x_2, \dots, x_n)$ d'un corps macroscopique dans l'équilibre en dependant sur $\{x_i\}$ avec la leurs déviations par l'expension de Taylor juaqu'à le deuxième ordre:

$$S = S_0 - \frac{1}{2} \sum_{i,j=1}^n g_{ij} x^i x^j, \quad (2.28)$$

où, selon les Refs. [44–47, 50–52], la métrique tenseure g_{ij} est définie par

$$g_{ij} := - \frac{\partial^2 S}{\partial x^i \partial x^j}. \quad (2.29)$$

Ainsi la distribution de probabilité peut être écrite simplement:

$$P = A e^{-\frac{1}{2} g_{ij} x^i x^j}. \quad (2.30)$$

Avec la normalisation

$$\int \prod_{i=1}^n dx_i P(\{x_j\}_{j=1}^n) = 1, \quad (2.31)$$

il est facile d'obtenir que

$$A = \frac{\sqrt{g}}{(2\pi)^{\frac{n}{2}}}, \quad (2.32)$$

où g est définit comme le déterminant de la métrique tenseure

$$g = \|g_{ij}\|. \quad (2.33)$$

Donc, nous voyons que la limite gaussienne donne la distribution de probabilité

$$P = \frac{\sqrt{g}}{(2\pi)^{\frac{n}{2}}} e^{-\frac{1}{2}g_{ij}x^i x^j}. \quad (2.34)$$

En fait, nous pouvons définir la géométrie riemannienne en considérant l'élément de la ligne entre les deux états arbitraires d'un équilibre comme la somme

$$ds^2 := \sum_{i,j} g_{ij} dx^i dx^j. \quad (2.35)$$

Ainsi, selon la transformation de Legendre

$$X_i = \frac{\partial S}{\partial x^i} = g_{ij} x_j, \quad (2.36)$$

on peut observer que les fonctions de corrélations des paires sont données par

$$\langle x_i x_j \rangle = g^{ij} = \langle X_i X_j \rangle. \quad (2.37)$$

Nous pouvons appeler $\{X_i\}$ comme variables thermodynamiques et assigner g_{ij} pour être une métrique intrinsèque parce que X^i est conjugué à x^i pour chaque i . Nous pouvons obtenir les propriétés thermodynamiques en limitant nous-même, aux coordonnées qui sont des paramètres extensives d'une configuration thermodynamique. Cette considération est un modèle de la géométrie riemannienne ordinaire qui est ici basé sur la théorie des fluctuations d'un ensemble et les axiomes de la thermodynamique d'équilibre.

Cette géométrie (\mathcal{M}, g) est appelée la géométrie thermodynamique de Ruppenier. C'est la géométrie dans laquelle les états d'équilibre peuvent être représentés par les points d'une variété riemannienne (\mathcal{M}, g) , et dans cet inclusion, la distance entre ces points d'équilibre est liée aux fluctuations thermiques entre eux. De cette façon, nous pouvons avoir une relation entre la géométrie et la théorie de probabilité, en particulier, nous avons « moins probable » signifie que « dans le lointain ».

Dans chapitre 4, nous allons considérer la géométrie de Ruppenier et celle de Wienhold des systèmes de trous noirs. Cette géométrie donne une méthode directe pour analyser les points critiques d'une configuration des trous noirs. Notez aussi que cette méthode géométrique est un domaine important de la recherche courante pour comprendre la thermodynamique des trous noirs. En effet, les observations de cette recherche sont importantes parce que la courbure scalaire thermodynamique de Ruppenier est proportionnelle au volume de la corrélation ce qui signifie l'interaction du système statistique fondamental. C'est-à-dire que nous avons les cas: soit ξ est la longueur des corrélation statistiques, puis $\forall(x^1, \dots, x^n) \in (\mathcal{M}_n, g)$, on a

$$R \sim \xi^d, \quad (2.38)$$

où d est la dimension spatiale du système statistique [44]. En fait, c'est la base d'un modèle géométrique qui est basée sur l'inclusion de la théorie de fluctuations dans les axiomes de la thermodynamique d'équilibre. C'est pourquoi, dans ce modèle géométrique qui est lié à la théorie de probabilité, où on peut définir un élément de la ligne entre les deux états équilibres arbitraires par la métrique tenseure

$$g_{ij} = -\partial_i \partial_j S(x^1, \dots, x^n). \quad (2.39)$$

Dans le cas particulier des configurations de deux paramètres $\{x^1, x^2\}$, il y existe

des états équilibres qui peuvent être représentés par les points de la surface bidimensionnelle \mathcal{M}_2 , et ainsi la distance entre les points arbitraires sur la variété \mathcal{M}_2 est liée aux fluctuations entre les états équilibres correspondants de la configuration statistique.

Chapitre 3

Les géométries thermodynamiques des trous noirs

Dans ce chapitre, nous avons analysé la géométrie thermodynamique d'un système équilibre des états de trous noirs et montrons que les configurations de la théorie des cordes et celle de la M -théorie fondamentale possèdent des caractéristiques géométriquement intéressantes. En effet, la géométrie thermodynamique peut être appliquée pour étudier la nature de l'entropie des trous noirs qui sont chargés soit électriquement soit magnétiquement, ou bien soit par les deux charges. Et surtout, le produit intérieur de l'espace d'état d'une configuration thermodynamique dans un équilibre, dans la représentation d'énergie, a été fournie par Weinhold, ainsi que la matrice Hessienne de l'énergie intérieure ou celle de la masse d'un système des trous noirs, en respectant la vaste caractéristique thermodynamique de ces variables, a été déjà expliquée dans l'introduction. Après tout, il s'avère que les corrections thermiques disparaissent dans la limite thermodynamique où l'entropie canonique d'un tel système et l'ensemble micro-canonique sous-jacent d'un trou noir considéré deviennent identiques. Bien que l'origine statistique de l'entropie des trous noirs est encore incertaine, il va de soi que d'un trou noir en équilibre avec le rayonnement thermique d'Hawking à un terme fixe de la température d'Hawking qu'elle est bien décrite par l'ensemble canonique des micro-états. Dans ce chapitre, nous allons maintenant discuter

de la géométrie thermodynamique des trous noirs avec des plusieurs charges et la masse ou l'entropie. Par-ce que l'entropie d'un trou noir est la valeur extremum de la fonction de l'entropie de Sen. C'est pourquoi, la géométrie thermodynamique des trous noirs peut être déterminée par le référence à l'ensemble canonique ce qu'elle vienne par la fonction de l'entropie de Sen aux points fixes de l'attracteur. En particulier, l'enquête de la géométrie thermodynamique covariante de Ruppeiner et celle de Wienhold d'une configuration des trous noirs peut être mise en lumière aux aspects intéressantes comme la transition des phases et les géométries de l'espace des modules d'un trou noir considéré.

3.1 La géométrie thermodynamique de Ruppeiner

Dans cette section, nous allons expliquer la géométrie thermodynamique d'un système des trous noirs de deux et trois paramètres.

3.1.1 Les trous noirs de deux paramètres

Dans le cas de la géométrie thermodynamique de Ruppeiner, nous pouvons paramétriser l'entropie comme une fonction de la masse M et de la charge Q d'un ensemble des trous noirs comme l'application

$$S : \mathcal{M}_2 \rightarrow \mathbb{R} \quad (3.1)$$

par une valeur de l'entropie $S(M, Q)$. Et alors, nous voyons en générale que la métrique de Ruppeiner est donnée par l'élément de la ligne:

$$ds^2 = -\frac{\partial^2 S(M, Q)}{\partial M^2} dM^2 - 2\frac{\partial^2 S(M, Q)}{\partial M \partial Q} dM dQ - \frac{\partial^2 S(M, Q)}{\partial Q^2} dQ^2. \quad (3.2)$$

De plus, il est très facile de voir que le déterminant de la métrique tenseure est

$$\|g\| = \frac{\partial^2 S(M, Q)}{\partial M^2} \frac{\partial^2 S(M, Q)}{\partial Q^2} - \left(\frac{\partial^2 S(M, Q)}{\partial M \partial Q} \right)^2. \quad (3.3)$$

Nous voyons que la courbure scalaire de Ruppenier est simplement donnée par:

$$\begin{aligned} R = & \frac{1}{2\|g\|^2} \left(- \frac{\partial^2 S(M, Q)}{\partial M^2} \left(\frac{\partial^3 S(M, Q)}{\partial Q^2 \partial M} \right)^2 + \frac{\partial^2 S(M, Q)}{\partial M^2} \frac{\partial^3 S(M, Q)}{\partial Q \partial M^2} \frac{\partial^3 S(M, Q)}{\partial Q^3} \right. \\ & - \frac{\partial^2 S(M, Q)}{\partial Q \partial M} \frac{\partial^3 S(M, Q)}{\partial M^3} \frac{\partial^3 S(M, Q)}{\partial Q^3} + \frac{\partial^3 S(M, Q)}{\partial Q^2 \partial M} \frac{\partial^3 S(M, Q)}{\partial M^3} \frac{\partial^2 S(M, Q)}{\partial Q^2} \\ & \left. + \frac{\partial^3 S(M, Q)}{\partial Q \partial M^2} \frac{\partial^2 S(M, Q)}{\partial M \partial Q} \frac{\partial^3 S(M, Q)}{\partial Q^2 \partial M} - \left(\frac{\partial^3 S(M, Q)}{\partial Q \partial M^2} \right)^2 \frac{\partial^2 S(M, Q)}{\partial Q^2} \right). \quad (3.4) \end{aligned}$$

3.1.2 Les trous noirs de trois paramètres

Dans cette sous-section, nous allons examiner le cas générale des trous noirs de trois paramètres. Un exemple typique de cette géométrie de Ruppenier vient par une configuration des trous noirs en rotations [14]. Ici, nous voyons que la géométrie thermodynamique de Ruppenier est bien définie et les quantités de la géométrie de Ruppenier peuvent être écrites facilement. Pour la raison de la simplicité, par rapport à le cas des configurations de trous noirs de deux paramètres, nous pouvons écrire la paramétrisation de l'entropie $S \equiv S(P, Q, J)$ comme l'application

$$S : \mathcal{M}_3 \rightarrow R, \quad (3.5)$$

et ainsi par la définition de la métrique tenseure de Ruppenier, il s'aère que l'élément de la ligne sous-jacente peut être écrite comme:

$$\begin{aligned}
ds^2 := & -\frac{\partial^2 S}{\partial P^2} dP^2 - 2\frac{\partial^2 S}{\partial P \partial Q} dP dQ - 2\frac{\partial^2 S}{\partial P \partial J} dP dJ \\
& -\frac{\partial^2 S}{\partial Q^2} dQ^2 - 2\frac{\partial^2 S}{\partial Q \partial J} dQ dJ - \frac{\partial^2 S}{\partial J^2} dJ^2.
\end{aligned} \tag{3.6}$$

Alors, le déterminant de la métrique tenseure est simplement:

$$\begin{aligned}
\|g\| = & -\frac{\partial^2 S}{\partial P^2} \frac{\partial^2 S}{\partial Q^2} \frac{\partial^2 S}{\partial J^2} + \frac{\partial^2 S}{\partial P^2} \left(\frac{\partial^2 S}{\partial Q \partial J}\right)^2 + \left(\frac{\partial^2 S}{\partial Q \partial P}\right)^2 \frac{\partial^2 S}{\partial J^2} \\
& -2\frac{\partial^2 S}{\partial Q \partial P} \frac{\partial^2 S}{\partial P \partial J} \frac{\partial^2 S}{\partial Q \partial J} + \left(\frac{\partial^2 S}{\partial P \partial J}\right)^2 \frac{\partial^2 S}{\partial Q^2}.
\end{aligned} \tag{3.7}$$

Nous voyons maintenant que la courbure scalaire de Ruppenier est donnée par:

$$R = \frac{1}{2} \left(\frac{(r_1 - \tilde{r}_1) + 2(r_2 - \tilde{r}_2) + 3(r_3 - \tilde{r}_3) + 4r_4 + 6r_6}{\|g\|^2} \right), \tag{3.8}$$

où les fonctions $\{r_i, \tilde{r}_j \mid i = 1, 2, 3, 4, 6, j = 1, 2, 3\}$ sont définies dans l'annexe [B].

3.1.3 La géométrie thermodynamique de Wienhold

Par le biais de la géométrie thermodynamique, nous pouvons bien sûr étudier la stabilité des trous noirs dilatoniques topologiques. La stabilité d'un système thermodynamique avec les petites fluctuations thermiques est analysé par le comportement de l'entropie $S(Q, M)$ autour de l'équilibre considéré. Pour avoir la stabilité locale dans n'importe quel ensemble, nous exigeons que $S(Q, M)$ doit être une fonction convexe des variables extensives. En d'autres termes, c'est la transforme de Legendre où M doit être une fonction concave des variables intensives. La stabilité est également bien obtenue par le comportement de l'énergie $M(S, Q)$ en ce qui concerne les variables extensives, ce qui dans ce cas-ci devrait être une fonction convexe. Ainsi la stabilité locale en principe peut être

analysée en obtenant le déterminant de la matrice d'Hessienne de la masse $M(S, Q)$ avec les variables extensives du trou noir. En considérant S et Q comme ensemble complet des variables extensives pour la masse $M(S, Q)$, Ref. [68] montre que nous pouvons définir les paramètres intensifs conjugués aux S et Q qui sont respectivement associées à la température T et au potentiel électrique ϕ , ce qui sont donnés par

$$\begin{aligned} T &:= \left(\frac{\partial M}{\partial S}\right)_Q, \text{ et} \\ \phi &:= \left(\frac{\partial M}{\partial Q}\right)_S \end{aligned} \quad (3.9)$$

se satisfont facilement la première loi de la thermodynamique:

$$dM = TdS + \phi dQ. \quad (3.10)$$

En ce cas, en considérant $\forall x^a = (S, Q) \in \mathcal{M}_2$, comme une application

$$S : \mathcal{M}_2 \rightarrow R \quad (3.11)$$

avec la paramétrisation $M(S, Q)$ de la masse, nous voyons que la métrique tenseure de Wienhold peut être exprimée comme:

$$g_{ab} := \frac{\partial^2}{\partial x^a \partial x^b} M(S, Q), \quad (3.12)$$

et alors que l'élément de la ligne de cette variété thermodynamique (\mathcal{M}_2, g) peut être écrite comme:

$$ds^2 = \left(\frac{\partial^2 M(S, Q)}{\partial S^2}\right)dS^2 + 2\left(\frac{\partial^2 M(S, Q)}{\partial S \partial Q}\right)dSdQ + \left(\frac{\partial^2 M(S, Q)}{\partial Q^2}\right)dQ^2. \quad (3.13)$$

Alors que la masse de ce trou noir chargé dilatonique topologique est donnée par un formule de Smarr, voir le Ref. [68] pour le plus des détails. De toute façon, il est facile d'obtenir que le déterminant de la métrique tenseure de Wienhold est donné par

$$\|g^W\| = \frac{\partial^2 M(S, Q)}{\partial S^2} \frac{\partial^2 M(S, Q)}{\partial Q^2} - \left(\frac{\partial^2 M(S, Q)}{\partial S \partial Q} \right)^2. \quad (3.14)$$

Avec la symétrie dans les deux premiers indices, nous constatons que les symboles de Christoffel du premier type sont donnés par

$$\begin{aligned} \Gamma_{SSS} &= \frac{1}{2} \left(\frac{\partial^3}{\partial S^3} M(S, Q) \right), \\ \Gamma_{SSQ} &= \frac{1}{2} \left(\frac{\partial^3}{\partial S^2 \partial Q} M(S, Q) \right), \\ \Gamma_{SQS} &= \frac{1}{2} \left(\frac{\partial^3}{\partial S^2 \partial Q} M(S, Q) \right), \\ \Gamma_{SQQ} &= \frac{1}{2} \left(\frac{\partial^3}{\partial S \partial Q^2} M(S, Q) \right), \\ \Gamma_{QQS} &= \frac{1}{2} \left(\frac{\partial^3}{\partial S \partial Q^2} M(S, Q) \right), \\ \Gamma_{QQQ} &= \frac{1}{2} \left(\frac{\partial^3}{\partial Q^3} M(S, Q) \right). \end{aligned} \quad (3.15)$$

En ce cas, nous voyons que la courbure scalaire de Wienhold est:

$$\begin{aligned} R^W &= -\frac{1}{2\|g^W\|^2} \left(-\frac{\partial^2 M(S, Q)}{\partial S^2} \left(\frac{\partial^3 M(S, Q)}{\partial Q^2 \partial S} \right)^2 + \frac{\partial^2 M(S, Q)}{\partial S^2} \frac{\partial^3 M(S, Q)}{\partial Q \partial S^2} \frac{\partial^3 M(S, Q)}{\partial Q^3} \right. \\ &\quad - \frac{\partial^2 M(S, Q)}{\partial Q \partial S} \frac{\partial^3 M(S, Q)}{\partial S^3} \frac{\partial^3 M(S, Q)}{\partial Q^3} + \frac{\partial^3 M(S, Q)}{\partial Q^2 \partial S} \frac{\partial^3 M(S, Q)}{\partial S^3} \frac{\partial^2 M(S, Q)}{\partial Q^2} \\ &\quad \left. + \frac{\partial^3 M(S, Q)}{\partial Q \partial S^2} \frac{\partial^2 M(S, Q)}{\partial S \partial Q} \frac{\partial^3 M(S, Q)}{\partial Q^2 \partial S} - \left(\frac{\partial^3 M(S, Q)}{\partial Q \partial S^2} \right)^2 \frac{\partial^2 M(S, Q)}{\partial Q^2} \right). \end{aligned} \quad (3.16)$$

Dans la suite de ce chapitre, nous ferons une brève introduction sur les fondements

basics des trous noirs, puis nous introduirons la géométrie thermodynamique par la fonction de cloison d'un ensemble des trous noirs donnés, et ainsi l'énergie libre des cordes topologiques trouve sa place dans cet étude. En fait, ce sont des deux outils fondamentaux importants que nous pouvons également utiliser avec l'aide de la conjecture d'OSV, donc nous concluons ce chapitre en parlant du lien entre des trous noirs de la théorie des cordes et l'un des ces trous noirs de la M -théorie et les leurs géométries thermodynamiques de Ruppenier et de Wienhold [44–47, 50–52]. De toute manière, ces représentations sont aussi bien motivées par l'étude des configurations thermodynamiques [48, 49] comme nous les avons déjà prévue dans le chapitre 2.

3.2 L'entropie des trous noirs

Nous savons qu'un trou noir est une solution classique de la relativité générale, ce qu'on puisse pensé comme une particule pointuelle de très grande masse. Comme, tous les trous noirs ont une grande force d'attraction et notez bien le fait même que la lumière ne peut pas aussi l'échapper une surface associé à le trou noir considéré. Ce fait conduit à la notion d'un événement horizon d'un trou noir, dont pas d'une particule physique peut la franchir. Dans les années 1970, Hawking et Bekenstein ont constaté par la voix de la mécanique quantique [53–55] que le trou noir est un objet thermique avec certains temperature non-nulle. Comme tout les systèmes thermiques, un trou noir vient avec certaine entropie liée à la domaine de l'événement horizon, ce qui est donné par la formule célèbre suivante

$$S_{BH} = \frac{A}{4}. \quad (3.17)$$

En outre, du point de vue de la mécanique statistique, cet entropie est liée à un problème de comptage pour un ensemble des charges avec certaine énergie fixe ou celle d'une masse fixe du trou noir. Précisément, selon les conceptions de la mécanique statistique [48, 49], nous voyons que cette relation est donnée par

$$S_{micro} = \ln \Omega(\vec{Q}, \vec{P}, M), \quad (3.18)$$

où $\Omega(\vec{Q}, \vec{P}, M)$ est la dégénéraence des états avec diverses charges électriques, magnétiques et la masse M du système. En d'autres termes, un trou noir a l'entropie qui réponde jusqu'à la deuxième loi de la thermodynamique. De plus, les systèmes en ayant une plus grande entropie sont thermodynamiquement plus susceptibles de subvenir à la nature.

Souvenons-nous, comment un trou noir peut être comprise à partir des notions de la théorie des cordes. Il est bien connu que les particules élémentaires sont caractérisées par les états vibrationnels d'une corde. En outre, il n'y a que cinq théories des cordes cohérentes [56, 57], en particulier, ces sont du type- I , du type- IIA , du type- IIB , hétérotique $E_8 \times E_8$ et hétérotique $SO(32)$; qui tous vivent dans les dimensions de l'espace-temps $D = (9 + 1)$. Pour venir près des observations physiques des dimensions $D = (3 + 1)$, nous utilisons la procédure de la compactification pour les six dimensions intérieures et donc les six dimensions compactifiées ne sont pas vues dans les accélérateurs presents. De plus, chacun de ces spectres de la théorie des cordes contient le graviton, qui est le médiateur de la gravité. Comme nous le savons qu'une corde peut être pensée d'une collection des oscillateurs harmoniques de nombre infini et chaque une des corde a des états quantiques ou excitations d'un nombre infini. C'est-à-dire, la quantification d'une corde donne une tour de l'infinie des états qui peuvent être décrits les différentes particules élémentaires. En particulier, les états d'une grande masse ne sont pas observables dans les expériences des laboratoires présentes.

Maintenant, pour avoir une idée de la dégénérescence, on peut la définir comme le nombre des états ayant certaine énergie fixe ou celle d'une masse fixe. On sait que la dégénérescence augmente rapidement, dont la masse est augmentée. Pour l'ensemble de diverses charges électriques et magnétiques (\vec{Q}, \vec{P}) en caractérisant un système statistique des trous noirs, l'entropie de comptage associée au système est définie comme

$$S_{micro} = \ln \Omega(\vec{Q}, \vec{P}, M). \quad (3.19)$$

Une importante question pour demander est: Est-ce que on est

$$S_{micro} = S_{BH} \in R ? \quad (3.20)$$

Pour avoir une réponse, nous allons examiner la théorie des cordes hétérotiques qu'elle peut être compactifiée soit sur l'espace $E_8 \times E_8$ soit sur l'espace $SO(32)$ avec certains nombre d'enroulement w enroulée sur un tore. En général, cela correspond au nombre des modes de gauche et ceux de droite de la théorie des cordes qui se déplacent avec les conditions périodiques de la frontière des champs bosoniques. En outre, ces modes de gauche et ceux de droite peuvent s'affronter et s'annihiler au temps ce qui correspond à un système instable. C'est la compréhension microscopique des instabilités thermodynamiques en termes des états élémentaires des cordes hétérotiques. Afin d'examiner les états stables, nous devons considérer seulement les états qui mouvement à gauche ou ceux qui mouvement à droite, ce que l'on appelle les états de BPS.

Ces états sont décrites par deux nombres quantiques: le nombre d'enroulement et l'élan total portée par les oscillations

$$n/k, n \in Z. \quad (3.21)$$

C'est-à-dire qu'on a un simple problème de la quantification d'une particule dans une boîte. Ici, le ratio $w := n/k$ et l'élan n sont les deux nombres quantiques qui nivelent le niveau des états quantiques d'une corde hétérotique. Maintenant, soit $\Omega(n, w)$ le nombre des états avec des nombres quantiques w et n . Puis, dans la limite des grandes charges

$$w, n \rightarrow \infty, \quad (3.22)$$

le Ref. [58] montre que la théorie des cordes hétérotiques comporte un trou noir avec la dégénérescence des états comme

$$\Omega(n, w) = \exp(4\pi\sqrt{nw}). \quad (3.23)$$

C'est-à-dire, l'entropie de comptage de la mécanique statistique est donnée par

$$S_{micro} = 4\pi\sqrt{nw}. \quad (3.24)$$

Afin d'avoir une compréhension microscopique d'un trou noir à partir de la théorie des cordes, nous avons justement besoin d'avoir

$$S_{micro} = S_{BH}. \quad (3.25)$$

Il n'est pas surprenant qu'il existe les différentes corrections, par exemple:

1. les corrections de α' qui arrivent dûe au fait que les cordes ne sont pas des particules pointuelles, et seulement aux grandes distances, les cordes se comportent comme des particules pointuelles.
2. les corrections quantiques qui arrivent par la considération que la gravité elle-même, est une théorie quantique et pas seulement une théorie de la supergravité. C'est-à-dire qu'un trou noir est considéré comme un objet quantique.

Du fait même que le champ de dilaton peut définir comme un paramètre de ces effets

quantiques, comme le terme $1/\sqrt{nw}$. Bien que les effets quantiques sont très faibles dans la limite des grandes charges, mais les corrections de α' sont d'ordre de l'unité. En fait, dans cette limite, Sen a montré que les symétries de la théorie des cordes heterotiques classiques avec les corrections de α' donnent lieu à:

$$S_{micro} = a\pi\sqrt{nw}, \quad (3.26)$$

où le paramètre a dépend sur les corrections de α' . Par conséquent, nous voyons que la théorie des cordes fournit une explication microscopiques de la théorie des trous noirs. En fait, ces trous noirs considérés sont uniquement électriquement chargées et ce sont appelés les petits trous noirs. Dans ce cas, Sen a également montré qu'au niveau d'arbre de α' , l'entropie macroscopique de ces petits trous noirs est:

$$S_{BH} = A/4 = 0, \quad (3.27)$$

pour des détails voir le Ref. [59]. En revanche, dans la théorie des cordes de type-II, il y a des grand trous noirs pour que nous pouvons maintenant considérer l'entropie de Bekenstein-Hawking. En générale, les grand trous noirs viennent avec l'entropie

$$S_{BH} = A/4 \neq 0, \quad (3.28)$$

et ainsi notez bien qu'ils sont chargés électriquement et magnétiquement, pour des détails voir les Refs. [34, 60]. Dans ce cas, le comptage microscopique comporte sur certaines D-branes et on peut récupérer dans la limite des grandes charges [35–40] que

$$S_{micro} = S_{BH}. \quad (3.29)$$

Maintenant, sans la charge magnétique, c'est-à-dire, quant à la valeur $p = 0$, on a

$$S_{BH} = 0 \tag{3.30}$$

ce qui coïncide avec les petits trous noirs chargés électriquement découlant dans la théorie des cordes hétérotiques.

3.3 La théorie des cordes topologiques

Donc, la théorie effective, dans la limite d'une énergie faible, de la supergravité de $\mathcal{N} = 2$ interagissant avec le multiple des vecteurs, en suivant de la théorie des cordes, implique qu'on a non-nulles corrections des courbures supérieures. En fait, les effets des dérivées supérieures modifient la loi d'aire d'Hawking-Bekenstein et introduisent les corrections d'ordres supérieures à l'entropie thermodynamique des trous noirs. À l'échelle macroscopique, l'entropie résulte par le traitement de Walds de la gravité des courbures supérieures généralement covariantes, comme une intégrante de la surface d'horizon du trou noir par une densité de la charge de Noether. En outre, les corrections des dérivées supérieures sont encodées dans le prepotentiel généralisé qui est une fonction homogène, holomorphes des degrés deux des champs scalaires rescaladés et la partie de l'anti-selfduale du champ graviphoton. Le mécanisme attracteur continue à tenir en présence des dérivée supérieures et une application de l'analyse de Walds donne l'entropie macroscopique d'un ces trou noir. De plus, les équations attracteurs peuvent être résolues, et afin de déterminer les champs scalaires en termes des charges, ce qui garantit à l'horizon que l'entropie macroscopique des trous noirs attracteurs est seulement une fonction des charges portées. Comme, nous avons expliqué précédemment, les solutions de ces trous noirs tombent dans deux distinctes catégories:

1. les grands trous noirs qui ont une zone non-nulle au lors de niveaux des deux dérivées,

2. les petits trous noirs qui ont une zone nulle et transportent uniquement des charges électriques.

Pour une configuration des grands trous noirs de la théorie des cordes de type-*IIA* compactifiée sur une variété de Calabi-Yau, on a une description en termes des certaines branes sur les cycles non-triviaux [6]. L'entropie microscopique est alors déterminé en termes de comptage des micro-états. Plus précisément, ça vient par la formule de Cardy de la théorie bidimensionnelle des champs conformes associée à la frontière sous-jacente d'un ensemble de ces branes. Ceci est perturbativement en accord avec la précision ordonnance de l'entropie macroscopique. De plus, on a une reformulation du problème en terme de l'énergie libre topologique du trou noir lié au logarithme de la fonction de partition d'un ensemble des trous noirs qui indique dans le cas des petits trous noirs que l'ensemble sous-jacent doit être un ensemble mélangé.

En fait, il est vraiment intéressant de savoir la question qu'elles sont les significations thermodynamiques des grands et des petits trous noirs. Selon la théorie microscopique de ces trous noirs, nous pouvons les caractériser comme les suivants:

1. la méthode de la fonction d'entropie fournissant certaines équations d'attracteurs ou non-attracteurs en présence des termes dérivés supérieurs de l'espace-temps.
2. des equations d'attracteurs sous la méthode de la fonction d'entropie mènent pendant que (i) les équations de mouvement et l'autre de la théorie effective viennent comme une configuration non-supersymétrique, et (ii) les états de la théorie effective suivent les conditions de la supersymétrie.

En général, ceux-ci sont les équations qui peuvent nous mener à comprendre un ensemble possible associé au trou noir correspondant. Plus rigoureusement, les équations d'attracteurs pour les trous noirs BPS, dans le cas de $\mathcal{N} = 2, D = 4$ avec l'aide de la conjoncture d'Ooguri-Strominger-Vafa (OSV) [6] définissent que la fonction de cloison de la configuration des trous noirs correspondants est donnée par:

$$\begin{aligned} \mathcal{Z}_{BH}(p, \phi) &:= |\exp(f_{top}(p + \frac{i}{2}\phi))|^2 \\ &= |\mathcal{Z}_{top}|^2. \end{aligned} \quad (3.31)$$

C'est-à-dire que pour tout prepotential F , l'entropie du trou noir $S_{BH}(\vec{p}, \vec{q})$ est égal à la transformation de Legendre d'une fonction $f := f_{top}$, ce qu'elle aux points attracteurs peut être définie par

$$f = \text{Im}(F)|_{\text{attracteur}}. \quad (3.32)$$

Donc, nous voyons que

$$S_{BH}(\vec{p}, \vec{q}) = f(\vec{e}, \vec{p}) - e^I \frac{\partial}{\partial e^I} f(\vec{e}, \vec{p}), \quad (3.33)$$

où $\forall \vec{Q} := (\vec{q}, \vec{p})$, les potentiels électriques sont définis par

$$e^I := -\frac{\partial}{\partial q_I} S_{BH}(\vec{p}, \vec{q}), \quad (3.34)$$

et les charges électriques correspondantes peuvent être exprimées comme

$$q_I = \frac{\partial}{\partial e^I} f(\vec{e}, \vec{p}). \quad (3.35)$$

En ce cas, le Ref. [6] montre que la configuration correspondante de ces trous noirs extermaux correspond à un ensemble mélangé.

Du fait même, ce système statistique correspond à un ensemble microcanonique du point de vue magnétique dont les variables p_i sont maintenues fixe, tandis qu'on a besoin

d'employer l'ensemble canonique aux charges électriques avec les potentiels électriques e^I ce qui sont définies par Eqn. (3.34). Et ainsi, nous pouvons définir la fonction de cloison de cet ensemble mélangé pour ces trous noirs comme

$$\mathcal{Z}_{BH}(\vec{e}, \vec{p}) = \sum_{\vec{q}} \Omega(\vec{p}, \vec{q}) e^{\vec{e} \cdot \vec{p}}, \quad (3.36)$$

où $\Omega(\vec{p}, \vec{q})$ est le nombre entier qui définit la dégénérescence des trou noir sous-jacents. De cette façon nous avons:

$$\begin{aligned} \mathcal{Z}_{BH}(\vec{e}, \vec{p}) &= \sum_{\vec{q}} e^{\ln \Omega(\vec{p}, \vec{q}) + \vec{e} \cdot \vec{p}} \\ &= e^{f(\vec{e}, \vec{p})}, \end{aligned} \quad (3.37)$$

où nous avons défini

$$f(\vec{e}, \vec{p}) = S_{micro}(\vec{p}, \vec{q}) + \vec{e} \cdot \vec{p}. \quad (3.38)$$

Puisque la fonction de cloison $\mathcal{Z}_{BH}(\vec{e}, \vec{p})$ est une fonction de cloison de l'ensemble mélangée, tellement a priori il n'est pas assez clair que la fonction $f(\vec{e}, \vec{p})$ puisse être interprétée comme l'énergie libre de la configuration statistique sous-jacente de ces trous noirs ou pas. N'importe comment, l'entropie microscopique d'un ensemble des trous noirs en suivant la théorie des cordes est donnée par

$$S_{micro} = \ln \Omega(p^I, q_I). \quad (3.39)$$

Donc, la dégénérescence peut être obtenue en tant que la transformation inverse de Laplace de la fonction f pour être selon l'équation

$$\Omega(\vec{p}, \vec{q}) = \int e^{f(\vec{e}, \vec{p}) - \vec{e} \cdot \vec{p}} d\vec{e}, \quad (3.40)$$

où

$$d\vec{e} := \prod_I de^I \quad (3.41)$$

est une mesure produite. Nous pouvons noter pour les trous noirs grand qu'on peut utiliser l'approximation de point-saddelle ce qui entraîne l'équivalence entre les entropies microscopique et macroscopique comme:

$$S_{micro}(p^I, q_I) = S_{BH}(p^I, q_I). \quad (3.42)$$

Nous savons que l'énergie libre des cordes topologiques peut être identifiée avec la fonction de cloison d'un ensemble des trous noirs [6]. Ainsi, nous pouvons voir que l'énergie libre $\mathcal{F}(p, \phi)$ et la fonction de cloison $\mathcal{Z}_{BH}(p, \phi)$ peuvent être écrites par

$$\pi\mathcal{F}(p, \phi) = \ln \mathcal{Z}_{BH}(p, \phi). \quad (3.43)$$

En fait, par la transformation de Legendre, nous avons

$$S_{macro}(p, q) := \pi(\mathcal{F}(p, \phi) - q_I \phi^I), \quad (3.44)$$

où

$$q_I := \frac{\partial \mathcal{F}}{\partial \phi^I}. \quad (3.45)$$

De plus, il existe une fonction holomorphe dans les variables ϕ_i tels que la fonction de cloison d'un ensemble des trous noirs peut être écrite comme :

$$\begin{aligned} \mathcal{Z}_{BH}(p, \phi) &= \sum_q \Omega(p, q) e^{iq_I \phi^I} \\ &= e^{\pi \mathcal{F}(p, \phi)}. \end{aligned} \quad (3.46)$$

C'est l'énergie libre qui est définie thermodynamiquement comme une fonction de la fonction de cloison de l'ensemble canonique en considérant le volume occupé dans l'espace de Γ peut être simplement donné par

$$\mathcal{Q}_N(V, T) := e^{-\frac{1}{kT} \mathcal{F}(V, T)}, \quad (3.47)$$

par exemple, il s'avère que l'énergie libre d'Helmholtz est définie par

$$\mathcal{F} := M - TS, \quad (3.48)$$

où

$$T := \frac{\partial M}{\partial S}. \quad (3.49)$$

Ainsi, nous pouvons écrire simplement la transformation inverse de Legendre comme

$$\mathcal{F} = \phi \cdot q + S \quad (3.50)$$

avec

$$\phi_I = -\frac{\partial S}{\partial q^I}. \quad (3.51)$$

De cette façon, l'élément de la ligne de la géométrie thermodynamique peut être paramétrisée en termes d'énergie libre des cordes topologiques:

$$ds^2 = \frac{1}{k_B} \frac{\partial^2 \mathcal{F}}{\partial Q^i \partial Q^j} dQ^i dQ^j, \quad (3.52)$$

où nous avons pris $\vec{Q} = (\vec{q}, \vec{p})$. Donc, la métrique tenseure $g_{ij}^{\mathcal{F}}$ est définie par

$$g_{ij}^{\mathcal{F}} := \frac{1}{k_B} \frac{\partial^2 \mathcal{F}}{\partial Q^i \partial Q^j}. \quad (3.53)$$

Dans le cas des deux variables, nous pouvons voir que cette métrique tenseure peut être écrite comme

$$g^{\mathcal{F}} = \frac{1}{k_B} \begin{pmatrix} \frac{\partial^2 \mathcal{F}}{\partial p^2} & \frac{\partial^2 \mathcal{F}}{\partial \phi \partial p} \\ \frac{\partial^2 \mathcal{F}}{\partial \phi \partial p} & \frac{\partial^2 \mathcal{F}}{\partial \phi^2} \end{pmatrix}. \quad (3.54)$$

Nous pouvons également donner la métrique en termes de la fonction de cloison \mathcal{Z}_{BH} par-ce que nous savons

$$\mathcal{F}(p, \phi) = \frac{1}{\pi} \ln \mathcal{Z}_{BH}(p, \phi). \quad (3.55)$$

Donc, il est facile de voir en cette terme que la métrique peut être donnée par

$$g^{\mathcal{Z}} := \frac{1}{\pi k_B \mathcal{Z}_{BH}^2} \begin{pmatrix} \mathcal{Z}_{BH} \partial_p \partial_p \mathcal{Z}_{BH} - (\partial_p \mathcal{Z}_{BH})^2 & \mathcal{Z}_{BH} \partial_\phi \partial_p \mathcal{Z}_{BH} - \partial_p \mathcal{Z}_{BH} \partial_\phi \mathcal{Z}_{BH} \\ \mathcal{Z}_{BH} \partial_\phi \partial_p \mathcal{Z}_{BH} - \partial_p \mathcal{Z}_{BH} \partial_\phi \mathcal{Z}_{BH} & \mathcal{Z}_{BH} \partial_\phi \partial_\phi \mathcal{Z}_{BH} - (\partial_\phi \mathcal{Z}_{BH})^2 \end{pmatrix} \quad (3.56)$$

Il est bien connu [35–38, 61] que la fonction de cloison $\mathcal{Z}_{BH}(p, \phi)$ d'un ensemble de ces trous noirs soit associée à la théorie des cordes topologiques, à la géométrie de Calabi Yau, à l'AdS/CFT, à l'holographie . . . etc. C'est pourquoi nous avons des grands intérêts d'analyser les significations et les interprétations géométriques et thermodynamiques en termes des \mathcal{Z}_{BH} ou bien \mathcal{F} . En particulier, il est vraiment une question importante de la mode qu'elles sont les significations thermodynamiques des équations d'attracteur en présence des dérivées supérieures de l'espace-temps?

De plus, les résultats de l'entropie macroscopiques et ceux de microscopiques pour les petites corrections de α' sont perturbativement les mêmes importance et ainsi nous devons avoir:

$$S_{BH} > A/4 + \dots, \quad (3.57)$$

où . . . représentent les corrections de α' à l'entropie macroscopique du système considéré des trous noirs. Pour le cas de zéro magnétique charge, Dabholker [62] a montré, dans la limite des grandes charges, que nous avons:

$$S_{micro} = 4\pi\sqrt{nw}. \quad (3.58)$$

Pour les trous noirs petits des deux charges, nous avons analysé la géométrie thermodynamique aux ordres différents de corrections de α' , voir [47] pour le détails. Nous avons démontré que la géométrie thermodynamique des petits trous noirs corrigée par les dérivées supérieures au premier ordre des corrections de α' est mal définie. Cependant, avec les prochaines ordres de corrections de α' , la géométrie thermodynamique des petits trous noirs est bien définie et l'espace des états est partout ordinaire. Dans l'analyse des branes noirs extrémaux D_1D_5 et $D_2D_6NS_5$, nous trouvons que la géométrie thermodynamique de ces branes est bien définie et la courbure de Ruppenier reste partout

finie avec et sans les corrections de α' . Maintenant, dans la suite de cet ouvrage, nous allons analyser la géométrie thermodynamique des trous noirs de Reissner-Nordström, des trous noirs dilatoniques topologiques, des trous noirs de Reissner-Nordström dans la nappe de Poincaré de ADS_4 , des trous noirs de Reissner-Nordström corrigé par le principe d'incertitude généralisée et celle des trous noirs magnétisés. Ensuite, nous allons voir les corrections de α' des trous noirs dyoniques extrémaux supersymétriques et celle des non-supersymétriques, des solutions non-extrémales de branes D_1D_5 et $D_2D_6NS_5$, des trous noirs extrémaux en rotation comme les trous noirs extrémaux de Kerr-Newman dans la théorie d'Einstein Maxwell, les trous noirs extrémaux de Kaluza-Klein dans la théorie d'Einstein-Maxwell et les trous noirs extrémaux de la théorie des cordes hétérotiques compactifiée toroidalement. Nous allons montrer que les résultats de la géométrie thermodynamique sont éclairantes et sont en accord avec les notions de la thermodynamique et la mécanique statistique des trous noirs et branes noirs.

3.4 La géométrie de Ruppenier des trous noirs de Reissner-Nordström.

Dans cette section, nous analysons la géométrie de Ruppenier d'un ensemble des trous noirs de Reissner-Nordström. C'est le plus simple système des trous noirs pour lequel il est facilement possible d'analyser la géométrie thermodynamique. Du point de vue de la thermodynamique des trous noirs, l'enquête de la géométrie thermodynamique covariante de Ruppeiner peut être appliquée pour étudier la nature de l'entropie des trous noirs de Reissner-Nordström. Cela a été explorée pour la première fois dans le contexte des configurations de trous noirs extrémaux chargés de BPS de la supergravité de $\mathcal{N} = 2$ [63]. Ensuite, il y avait des plusieurs auteurs qui ont essayé de comprendre ce sujet [52, 64–66], à la fois pour les trous noirs supersymétriques, et bien aussi quelque fois les trous noirs non-supersymétriques. Les trous noirs chargés extrémaux de la supergravité de $\mathcal{N} = 2$ interagissant avec le multiple des vecteurs et celui du multiple des hypers sont décrits

par la métrique tenseure de l'espace-temps de Reissner-Nordström. Ce sont les BPS-solitons en interpolant entre l'espace asymptotiquement plat de Minkowski et celui de la géométrie proche de l'horizon de trou noir de Bertotti-Robinson. Du mécanisme attracteur, l'entropie macroscopique de ces trous noirs est déterminée uniquement, comme une fonction des charges du trou noir et donc est indépendante des valeurs asymptotiques des modules de champs. Cette solution a un point fixe d'attracteur est atteinte à l'horizon du trou noir. Et ainsi, l'aire de l'horizon du trou noir est définie par l'extremum de la charge centrale d'espace des modules.

De toute manière, l'entropie est une fonction de la masse et des charges électriques et magnétiques du trou noir. Cela correspond à l'entropie d'Hawking-Bekenstein aux deux dérivés. De plus, ce système est un exemple typique d'un trou noir extrémal sphériquement symétrique dans quatre dimensions sans avoir à proximité de l'horizon singulier, la géométrie de l'horizon est $AdS_2 \times S^2$. Et donc, le trou noir de Reissner-Nordström a une symétrie de $SO(2, 1) \times SO(3)$. Dans la théorie d'Einstein-Maxwell en quatre dimensions, nous savons par la fonction de l'entropie de Sen [11] que l'entropie du trou noir de Reissner-Nordström est donnée par:

$$S_{BH}(q, p) = \frac{1}{4}(p^2 + q^2). \quad (3.59)$$

Ainsi, la métrique tenseure covariante thermodynamique de Ruppenier de trou noir de Reissner-Nordstrom est donnée par:

$$\begin{aligned} g_{ij}(x) &:= -\frac{\partial^2 S(x)}{\partial x^i \partial x^j} \\ &= \begin{pmatrix} -\frac{1}{2} & 0 \\ 0 & -\frac{1}{2} \end{pmatrix}. \end{aligned} \quad (3.60)$$

Dans ce cas, le premier résultat est immédiat de voir que le déterminant de la métrique tenseure est donné par

$$g = 1/4, \tag{3.61}$$

et bien aussi il s'avère que tous les symbols de Christoffel sont trivialement nuls. Donc, on voit très simplement que la courbure scalaire de Ruppenier est aussi nulle. En conclusion, cette géométrie thermodynamique est bien définie et décrit un système statistique sans interaction.

3.5 La géométrie de Wienhold des trous noirs dilatoniques.

Dans cette section, nous étudions une famille des trous noirs dans la théorie de la gravitation. Dans le cadre de la théories de gravitation dilatonique inspirée par les théories des cordes, nous considérons les effets thermodynamiques de quelques nouvelles solutions de trous noirs ou branes noires ce qui sont asymptotiquement non-plates. Puis nous calculons les leurs effets thermodynamiques comme l'interaction, la transition des phases, ..., etc dans les systèmes de ces trous noirs. Ici, les tous ce qu'il concerne à nous, sont les produits et accessoires de la géométrie thermodynamique, voir la section précédente pour la gémétrie de Ruppenier d'une famille des trous noirs de deux paramètres.

Ici, nous considérons maintenant la géométrie thermodynamique des trous noirs chargés dilatoniques topologiques [67]. En particulier, nous expliquons une autre géométrie pour le cas de ces trous noirs dilatoniques topologiques, qui est associée conformement à la géométrie de Ruppenier ce qu'elle est bien importante dans cet étude. Cette géométrie thermodynamique s'appelle la géométrie de Wienhold. Afin de faire ceci, considérons une $(n + 1)$ dimensionnelle configuration arbitraire de la gravité dilatonique d'Einstein-Maxwell pour tout $n \geq 3$. En fait, nous avons besoin d'obtenir la masse M de trou noir comme une fonction des quantités extensives $\{S, Q\}$ et alors, nous avons un type du formule de Smarr [67], ce qui est donné par:

$$\begin{aligned}
M(S, Q) = & -\frac{k(n-1)(n-2)(\alpha^2+1)b^{-\alpha^2}}{16\pi(\alpha^2-1)(\alpha^2+n-2)}(4S)^{\frac{\alpha^2+n-2}{n-1}} \\
& +\frac{\Lambda}{8\pi}\frac{(\alpha^2+1)b^{\alpha^2}}{\alpha^2-n}(4S)^{\frac{n-\alpha^2}{n-1}} +\frac{2\pi(\alpha^2+1)b^{\alpha^2}}{\alpha^2+n-2}Q^2(4S)^{\frac{\alpha^2+n-2}{1-n}}, \quad (3.62)
\end{aligned}$$

où k détermine la nature de l'horizon du trou noir ou celle de l'horizon cosmologique. En particulier, les valeurs $k = 0, 1, -1$ respectivement donnent des hypersurfaces de l'espace-temps avec des courbures scalaires constantes plates, elliptiques et hyperboliques. Dans cette considération, le paramètre α est une constante d'accouplement du dilaton, b est une constante arbitraire et le paramètre libre

$$\Lambda := -\frac{n(n-1)}{2l^2} \quad (3.63)$$

joue le rôle de la constante de cosmologie. En fait, par le biais de la géométrie thermodynamique, nous pouvons bien sûr étudier la stabilité des trous noirs dilatoniques topologiques. En considérant S et Q comme l'ensemble complet des variables extensives pour la masse $M(S, Q)$ de trou noir. Alors que la masse de ce trou noir chargé dilatonique topologique est donnée par une formule de Smarr, voir Eqn. (3.62) ci-dessus. En ce cas, il est facile de voir que les composantes de la métrique de Wienhold sont données par:

$$\begin{aligned}
g_{SS} = & \frac{k(n-2)(\alpha^2+1)b^{-\alpha^2}(1-\alpha^2)}{16\pi(\alpha^2-1)S^2(n-1)}(4S)^{\frac{\alpha^2+n-2}{n-1}} \\
& +\frac{\Lambda(\alpha^2+1)b^{\alpha^2}(n^2-\alpha^2)(n^2-\alpha^2-n+1)}{8\pi(\alpha^2-1)(n-1)^2S^2}(4S)^{\frac{n^2-\alpha^2}{n-1}} \\
& +\frac{2\pi b^{\alpha^2}(\alpha^2+1)Q^2(\alpha^2+2n-3)}{(1-n)^2S^2}(4S)^{\frac{\alpha^2+n-2}{1-n}}, \\
g_{SQ} = & \frac{4\pi b^{\alpha^2}(\alpha^2+1)Q}{(1-n)S}(4S)^{\frac{\alpha^2+n-2}{1-n}}, \\
g_{QQ} = & \frac{4\pi b^{\alpha^2}(\alpha^2+1)}{\alpha^2+n-2}(4S)^{\frac{\alpha^2+n-2}{1-n}}. \quad (3.64)
\end{aligned}$$

Pour la valeur de $n = 3$, $k = -1$, $b = 1$, $\alpha = 2$ et $\Lambda = -3$, les Figs. (3.1, 3.2) montrent la nature des composantes $\{g_{SS}, g_{QQ}\}$ de la métrique tenseure de Wienhold. Dans le régime de $Q \in (0, 1)$ et $S \in (0, 1)$, on trouve que l'amplitude de $\{g_{SS}\}$ prend la valeur à l'ordre de $2.5 \times 10^{+06}$. Dans cette gamme de $\{S, Q\}$, on observe que la composante $\{g_{QQ}\}$ se situe dans la gamme de $(0, 1000)$. Dans ce cas, nous voyons que la gamme de la croissance des amplitudes de $\{g_{SS}\}$ et $\{g_{QQ}\}$ reste dans la même limite de S . Explicitement, les Figs. (3.1, 3.2) indiquent que la croissance de la première composante est à lieu dans la limite d'une petite S . Cela signifie que les trous noirs dilatoniques sont thermodynamiquement instables dans la limite d'une petite entropie. Du fait même, la Fig. (3.3) montre que la nature de la composante $\{g_{SQ}\}$ de la métrique tenseure thermodynamique. Nous constatons que la composante mixe $\{g_{SQ}\}$ prend une grande valeur à l'ordre de -6000 dans la limite d'une grande Q et une petite S . Ainsi, les compressibilités de chaleurs, telle que représentées dans les Figs. (3.1, 3.2, 3.3) illustrent les propriétés paramétrique des fluctuations de la configuration des trous noirs dilatoniques. Par la présente, nous remarquons que les fluctuations d'auto-paires en impliquant $\{S, Q\}$, qui sont définies par la métrique tenseure $\{g_{ii} \mid i = S, Q\}$, ont des valeurs numériques positives, tandis que cela ne marche pas pour la composante mixe $\{g_{SQ}\}$.

On peut voir que le déterminant de la métrique de Wienhold est donné par:

$$\begin{aligned}
\|g_{ab}\| &= g_{SS}g_{QQ} - g_{SQ}^2 \\
&= -\frac{(\alpha^2 + 1)^2 b^{\alpha^2} (4S)^{-\frac{\alpha^2+n-2}{n-1}}}{4(\alpha^2 + n - 2)(\alpha^2 - n)(n - 1)^2 S^2} [2\Lambda b^{\alpha^2} f_1(\alpha)(4S)^{-\frac{\alpha^2-n^2}{n-1}} \\
&\quad + 32\pi^2 b^{\alpha^2} Q^2 f_2(\alpha)(4S)^{-\frac{\alpha^2+n-2}{n-1}} + kb^{-\alpha^2} f_3(\alpha)(4S)^{\frac{\alpha^2+n-2}{n-1}}], \quad (3.65)
\end{aligned}$$

où

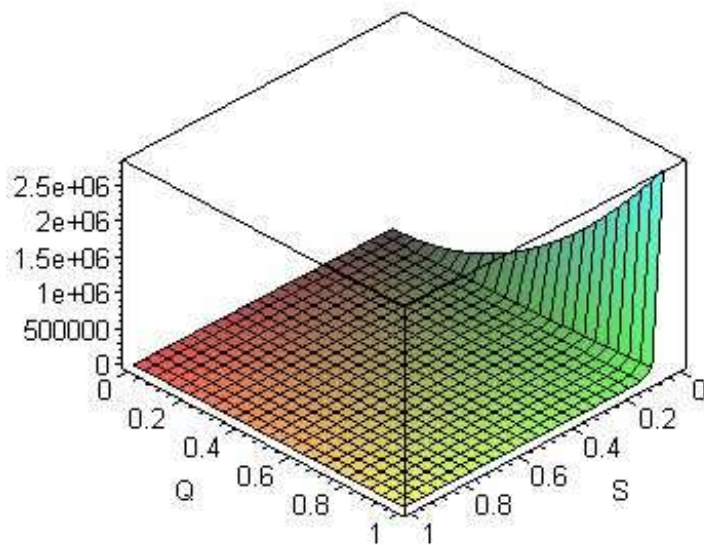


Figure 3.1: La composante SS de la métrique tenseure tracé comme la fonction de $\{Q, S\}$, en décrivant les fluctuations dans la configuration des trous noirs dilatoniques.

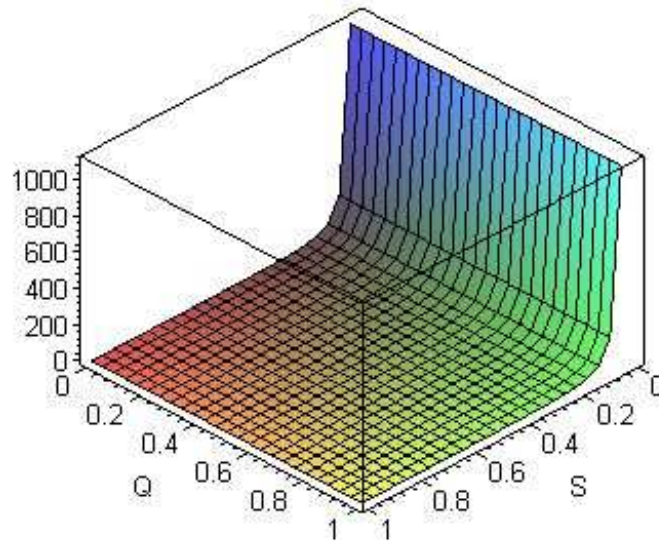


Figure 3.2: La composante QQ de la métrique tenseure tracé comme la fonction de $\{Q, S\}$, en décrivant les fluctuations dans la configuration des trous noirs dilatoniques.

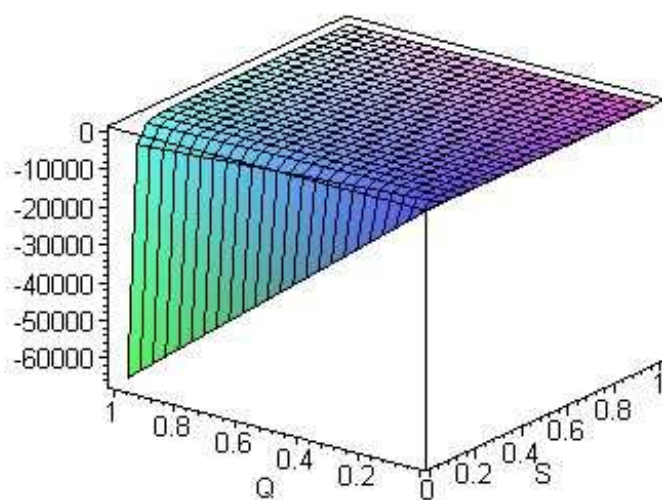


Figure 3.3: La composante SQ de la métrique tenseure tracé comme la fonction de $\{Q, S\}$, en décrivant les fluctuations dans la configuration des trous noirs dilatoniques.

$$\begin{aligned}
f_1(\alpha) &= -\alpha^4 + \alpha^2 - n^4 - n^2 + n^3 - n\alpha^2 + 2n^2\alpha^2, \\
f_2(\alpha) &= n + \alpha^4 - n\alpha^2 - \alpha^2, \\
f_3(\alpha) &= -3n\alpha^2 + 2\alpha^2 + n^2\alpha^2 - 2n + 3n^2 - n^3.
\end{aligned} \tag{3.66}$$

À ce stade, nous constatons que la stabilité d'un ensemble des trous noirs dilatoniques peut être déterminé en termes des valeurs de paramètres $\{S, Q\}$. Cela découle du comportement de déterminant de la métrique tenseure thermodynamique. Dans ce cas, nous trouvons que le déterminant de la métrique tenseure tend vers une valeur négative. Pour le cas de $Q \in (0, 1)$ et $S \in (0, 1)$, la Fig.(3.4) montre que le déterminant de la métrique tenseure réside dans l'intervalle $(-1.2 \times 10^{09}, 0)$. Avis que la négativité de g augmente à mesure que la valeur de Q est augmenté, en passant de zéro à 1. En outre, la surface définie par les fluctuations de (S, Q) est instable en raison d'une valeur négative du déterminant de la métrique tenseure correspondante. Lorsque seul le paramètre S est autorisé à varier, la stabilité des configurations trous noirs dilatoniques est déterminé par la positivité du premier mineur principe $p_1 := g_{SS}$. Une vue rotatée de p_1 est montré dans la Fig. (3.5). Par la présente, pour une petite valeur de S , nous voyons que p_1 augmente à mesure que la fonction de la charge électrique Q . Les propriétés graphiques, mentionnées ci-dessus, et la positivité des mineurs principaux fournent la notion qualitative de la stabilité statistique des trous noirs dilatoniques de deux paramètres $\{S, Q\}$.

Comme nous avons fourni les Γ_{abc} dans l'annex [A], maintenant, nous pouvons calculer les R_{abcd}, R_{ab} et alors la courbure scalaire de Wienhold est obtenue pour être:

$$\begin{aligned}
R &= -\frac{16\pi(\alpha^2 - n)(\alpha^2 + n - 2)}{\alpha^2 + 1} \left(2\Lambda b^{\alpha^2} f_1(\alpha)(4S)^{-\frac{\alpha^2 - n^2}{n-1}} \right. \\
&\quad \left. + 32\pi^2 b^{\alpha^2} Q^2 f_2(\alpha)(4S)^{-\frac{\alpha^2 + n - 2}{n-1}} + kb^{-\alpha^2} f_3(\alpha)(4S)^{\frac{\alpha^2 + n - 2}{n-1}} \right)^{-2} \\
&\quad \times \left(kb^{-\alpha^2} f_4(\alpha)(4S)^{\frac{\alpha^2 + n - 2}{n-1}} + \Lambda b^{\alpha^2} f_5(\alpha)(4S)^{-\frac{\alpha^2 - n^2}{n-1}} \right),
\end{aligned} \tag{3.67}$$

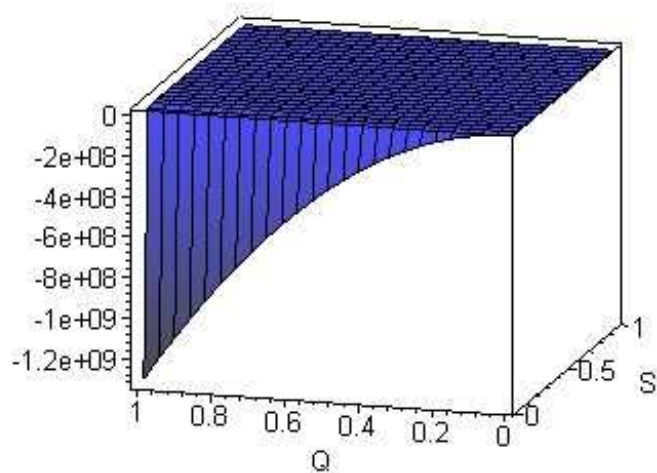


Figure 3.4: Le déterminant de la métrique tenseur tracée comme la fonction de $\{Q, S\}$, en décrivant les fluctuations de la configuration des trous noirs dilatoniques.

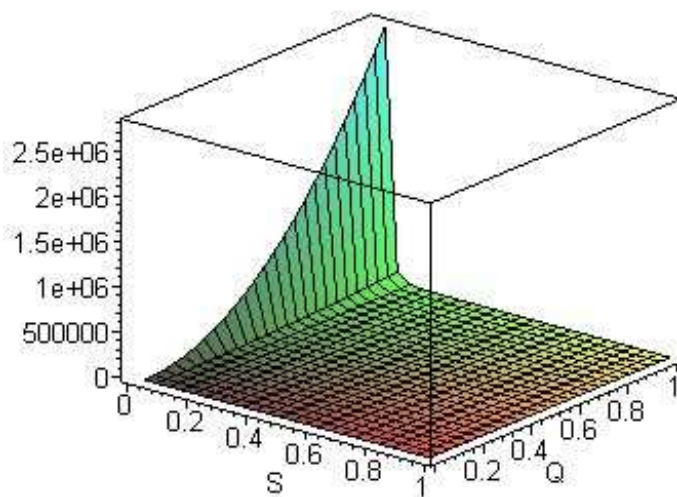


Figure 3.5: Le premier mineur de la métrique tenseur tracée comme la fonction de $\{Q, S\}$, en décrivant les fluctuations de la configuration des trous noirs dilatoniques.

où

$$\begin{aligned}
f_4(\alpha) &= -2\alpha^2 + 2\alpha^4 + 2n - n^3\alpha^2 + n\alpha^2 \\
&\quad - 3n\alpha^4 + 2n^2\alpha^2 + n^2\alpha^4 - 3n^2 + n^3, \\
f_5(\alpha) &= -2n^4 + 2n^5 - n^6 + 2n^4\alpha^2 - n^2\alpha^4 \\
&\quad + 2n^2\alpha^2 - 3n^3\alpha^2 + n\alpha^4 - n\alpha^2 + n^3.
\end{aligned} \tag{3.68}$$

Nous voyons pour toutes les paramétrisations q'elles sont bien définies par la géométrie thermodynamique que cette courbure de Wienhold est partout régulière. Donc, il s'agit d'un système thermodynamique stable et il n'ya pas d'instabilité dans l'espace thermodynamique à la représentation de l'énergie des trous noirs chargés dilatoniques topologiques.

En outre, il y certains cas de α pour que la courbure scalaire de Wienhold soit égale à la zéro. Ces valeurs de α sont données par les equations suivantes:

$$(n^2 - 3n + 2)\alpha^4 - (n^3 - 2n^2 - n + 2)\alpha^2 + n^3 - 3n^2 + 2n = 0 \tag{3.69}$$

et

$$(1 - n)\alpha^4 + (2n^3 - 3n^2 + 2n - n)\alpha^2 + n^2 - 2n^3 + 2n^4 - n^5 = 0. \tag{3.70}$$

Ce sont les valeurs de la constante d'accouplement du dilaton dont lesquelles la courbure scalaire de Wienhold est nulle. Ces solutions sont simplement

$$|\alpha| = \{1/2(n^2 - 3n + 2)^{-1}(n^3 - 2n^2 - n + 2 \pm \sqrt{\tilde{\alpha}(n)})\}^{1/2}, \tag{3.71}$$

où $\tilde{\alpha}(n) = n^6 - 8n^5 + 26n^4 + 60n^3 + 41n^2 - 8n + 4$ et l'autre est

$$|\alpha| = \{1/2(n-1)^{-1}(2n^3 - 3n^2 + 2n - 1 \mp \sqrt{n^4 - 6n^2 - 4n + 1})\}^{1/2}. \quad (3.72)$$

De plus, les cas de

$$n^6 - 8n^5 + 26n^4 + 60n^3 + 41n^2 - 8n + 4 \geq 0 \quad (3.73)$$

et

$$n^4 - 6n^2 - 4n + 1 \geq 0 \quad (3.74)$$

impliquent des valeurs physiques de la constante d'accouplement du dilaton, et ainsi ça nous permet de déterminer le rôle de la constante de cosmologie ou celui de la dimension de l'espace-temps des théories de la gravité dilatonique dans la cadre d'Einstein-Maxwell. C'est-à-dire que $\forall 2 < n \in \mathbb{Z}$, la constante d'accouplement du dilaton appartient à une configuration statistique sans les interactions, dont lesquels n satisfait ces deux équations du système.

Les propriétés de la stabilité globale des trous noirs dilatoniques découlent par le comportement de la courbure scalaire thermodynamique. En particulier, dans la gamme de $S \in (0, 1)$ et $Q \in (0, 1)$, la Fig. (3.6) montre que la courbure scalaire a une grande amplitude positive à l'ordre de 300000. Cela montre que la configuration sous-jacente de ces trous noirs est un système statistique fortement répulsif. Le signe positif de la courbure scalaire signifie la nature répulsive des interactions statistiques. La Fig. (3.7) signifie la nature de ce qui précède de la courbure scalaire dans une range égale des paramètres $S, Q \in (-2, 2)$. Dans ce cas, nous remarquons de la Fig. (3.7) qu'il existe des nombreuses régions globale des interactions statistiques. En comparaison des interactions apparaissant dans la gamme de $S, Q \in (-2, 2)$, l'amplitude des interactions statistiques globales semble

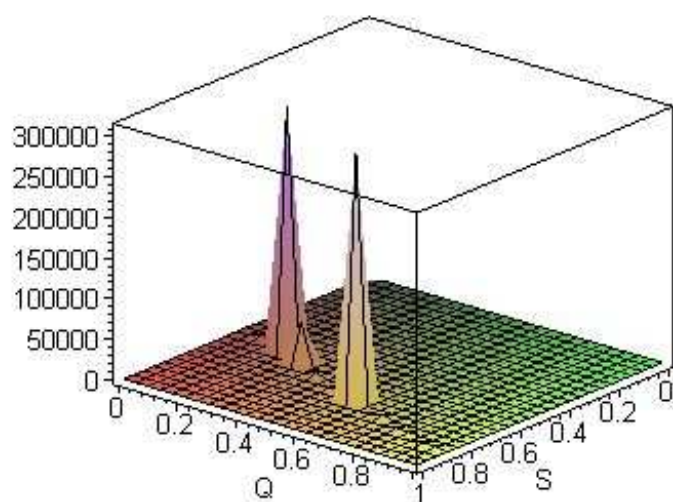


Figure 3.6: La courbure scalaire tracée en fonction de $\{Q, S\}$, décrivant les variations dans la configuration des trous noirs dilatoniques dans la gamme $S, Q \in (0, 1)$.

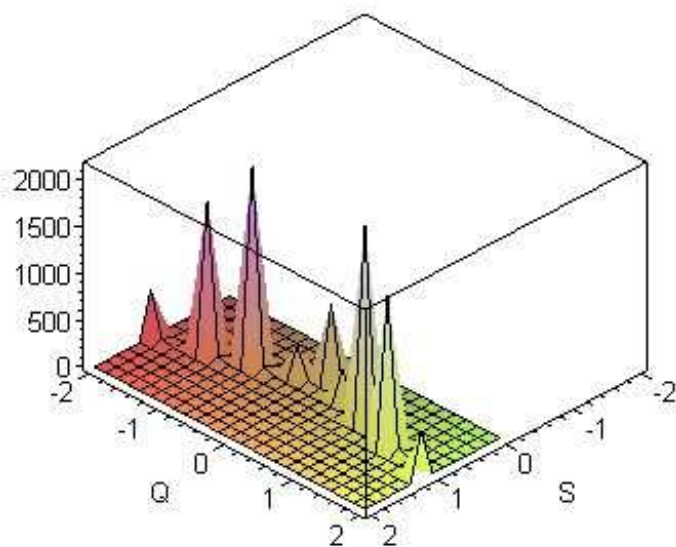


Figure 3.7: La courbure scalaire tracée en fonction de $\{Q, S\}$, décrivant les variations dans la configuration des trous noirs dilatoniques dans la gamme $S, Q \in (-2, 2)$.

être beaucoup plus petites que celle qui figure dans la gamme de $S, Q \in (0, 1)$. De plus, nous voyons que la valeur typique du ratio des courbures scalaires de l'espace d'état qui apparaît est à l'ordre de 150. En bref, les chiffres ci-dessus indiquent que les trous noirs dilatoniques correspondent à une configuration statistique instable, lorsque les deux paramètres $\{S, Q\}$ sont autorisés à fluctuer.

3.6 La géométrie de Wienhold des solutions de M_2 -branes: Les trous noirs de Reissner-Nordström dans la nappe de Poincaré de AdS_4 .

Dans cette section, nous analysons la géométrie thermodynamique de Wienhold des trous noirs de la M -théorie qui découlent naturellement comme une solution des trous noirs de Reissner-Nordström dans l'espace AdS_4 . La relation entre l'instabilité thermodynamique et celle de Gregory-Laflamme est un problème important pour comprendre la condensation de certains bosons ayant en charge globale, par exemple le cas des trous noirs chargés électriquement dans l'espace AdS_5 . Maintenant, nous allons examiner le plongement de la solution de Reissner-Nordström de AdS_4 dans la M -théorie fondamentale. Cette incorporation peut être faite comme la suite: Envisageons un grand nombre des M_2 -branes qui coïncident de la supergravité d'onze dimensions, avec la géométrie de proche de l'horizon de $AdS_4 \times S^7$ du trou noir sous-jacent. Puis, il y a huit dimensions transversales aux M_2 -branes, et les quatre moments angulaires indépendants ce que les branes peuvent acquérir, s'ils sont proches de la limite de l'extrémité. Pour l'ensemble des quatre moments angulaires à l'égalité, la solution est un produit enroulé de la solution de Reissner-Nordström dans l'espace AdS_4 et une déformation de S^7 , voir le Ref. [69] pour avoir plus des détails.

Précisément, la réduction de la filature sur S^7 , pour la solution quasi-extrémale des M_2 -branes noirs asymptotiquement plats dans l'espace-temps de la dimension $D = 11$, est une limite de la solution de Reissner-Nordström dans l'espace AdS_4 . Cette solution est la réduction bien connue dans la supergravité d'onze dimensions qui est asymptotiquement

réduite à l'espace $AdS_4 \times S^7$. C'est par-ce que la solution de Reissner-Nordström dans l'espace AdS_4 est une solution dans la supergravité jaugée de $\mathcal{N} = 8$, dont le vide de l'espace AdS_4 est la réduction supersymétrique maximum de Kaluza-Klein du vide de l'espace $AdS_4 \times S^7$ de la M -théorie. De plus, la supergravité jaugée de $\mathcal{N} = 8$ est une truncation consistante de la supergravité de la dimension $D = 11$ de l'espace-temps [70]. Donc, toutes les solutions classiques de la théorie de $D = 4$ ont des ascenseurs à une solution exacte classique de la théorie de $D = 11$. Ainsi, toute les instabilités actuelles en $D = 4$ sont garantiement à persister dans la dimension $D = 11$ de l'espace-temps. Notez bien que seulement pour une gamme spécifique des paramètres, comme l'entropie, charges, masse et d'autres, s'il y a, nous avons les solutions souhaitées de ces trous noirs. Sinon, les solutions ont tendance à avoir certaines singularités nues. Par exemple, nous considérons certaines charges physiques conservées en correspondant aux quatre indépendantes moments angulaires des M_2 -branes vivant en onze dimensions de l'espace-temps.

En ce qui concerne ici est la correspondance d'AdS/CFT, dont Maldacena a conjecturé [2, 35] qu'il y a une théorie de la supergravité en $D = 11$ sur l'espace $AdS_4 \times S^7$ qui est physiquement équivalente à la limite de grand N de certaine théorie des champs conformes vivant à la frontière de l'espace AdS_4 et représentent la limite de l'énergie basse de la dynamique de $\langle\langle$ worldvolume $\rangle\rangle$ des M_2 -branes coïncidant de nombre N . Donc, les charges électriques de la théorie deviennent les charges globales de la R -symétrie de la théorie des champs conformes à la frontière. Pour une masse suffisamment grande, les solutions correspondentes aux états thermiques de la théorie des champs conformes avec les potentiels chimiques lors que les charges globales sont non-nulles. En fait, pour le cas des trous noirs avec les charges électriques dans l'espace AdS_5 , la description duale de l'instabilité thermodynamique est une instabilité vers la condensation des bosons transportant les charges globales des certains nombres finis de $U(1)$. Pour les raisons de la simplicité, nous tournons maintenant pour le cas de $Q_1 = Q_3$ et $Q_2 = Q_4$ et allons de ne pas considérer que la limite de grands trous noirs: $M/L \gg 1$. Comme $M/L \rightarrow \infty$, on

obtient une solution des branes noirs dans la nappe de Poincaré de l'espace AdS_4 [32,33]. Dans cette limite, la S^2 est remplacé par R^2 dans la métrique de l'espace-temps, et ainsi la masse de ces trous noirs de Reissner-Nordström est donnée par une expression simple:

$$M(S, Q_1, Q_2) := \frac{1}{2\pi L^2} \sqrt{\frac{S^3}{\pi} + \pi L^2(Q_1^2 + Q_2^2)S + \frac{\pi^3 L^4}{S} Q_1^2 Q_2^2}. \quad (3.75)$$

Donc, les composantes de la métrique tenseure de Wienhold sont données par

$$\begin{aligned} g_{SS} &= -\frac{1}{8} \frac{\left(\frac{3S^2}{\pi} + \pi L^2 Q_1^2 + \pi L^2 Q_2^2 - \frac{\pi^3 L^4 Q_1^2 Q_2^2}{S^2}\right)^2}{\pi L^2 \left(\frac{S^3}{\pi} + \pi L^2 Q_1^2 S + \pi L^2 Q_2^2 S + \frac{\pi^3 L^4 Q_1^2 Q_2^2}{S}\right)^{3/2}} \\ &\quad + \frac{\frac{3S}{2\pi} + \frac{\pi^3 L^4 Q_1^2 Q_2^2}{2S^3}}{\pi L^2 \sqrt{\frac{S^3}{\pi} + \pi L^2 Q_1^2 S + \pi L^2 Q_2^2 S + \frac{\pi^3 L^4 Q_1^2 Q_2^2}{S}}}, \\ g_{SQ_1} &= -\frac{1}{4} \frac{(\pi L^2 Q_1 S + \frac{\pi^3 L^4 Q_1 Q_2^2}{S})(3\frac{S^2}{\pi} + \pi L^2 Q_1^2 + \pi L^2 Q_2^2 - \frac{\pi^3 L^4 Q_1^2 Q_2^2}{S^2})}{\pi L^2 \left(\frac{S^3}{\pi} + \pi L^2 Q_1^2 S + \pi L^2 Q_2^2 S + \frac{\pi^3 L^4 Q_1^2 Q_2^2}{S}\right)^{3/2}} \\ &\quad + \frac{\frac{\pi L^2 Q_1}{2} - \frac{\pi^3 L^4 Q_1 Q_2^2}{2S^2}}{\pi L^2 \sqrt{\frac{S^3}{\pi} + \pi L^2 Q_1^2 S + \pi L^2 Q_2^2 S + \frac{\pi^3 L^4 Q_1^2 Q_2^2}{S}}}, \\ g_{SQ_2} &= -\frac{1}{4} \frac{(\pi L^2 Q_2 S + \frac{\pi^3 L^4 Q_2 Q_1^2}{S})(3\frac{S^2}{\pi} + \pi L^2 Q_1^2 + \pi L^2 Q_2^2 - \frac{\pi^3 L^4 Q_1^2 Q_2^2}{S^2})}{\pi L^2 \left(\frac{S^3}{\pi} + \pi L^2 Q_1^2 S + \pi L^2 Q_2^2 S + \frac{\pi^3 L^4 Q_1^2 Q_2^2}{S}\right)^{3/2}} \\ &\quad + \frac{\frac{\pi L^2 Q_2}{2} - \frac{\pi^3 L^4 Q_1^2 Q_2}{2S^2}}{\pi L^2 \sqrt{\frac{S^3}{\pi} + \pi L^2 Q_1^2 S + \pi L^2 Q_2^2 S + \frac{\pi^3 L^4 Q_1^2 Q_2^2}{S}}}, \end{aligned} \quad (3.76)$$

$$\begin{aligned}
 g_{Q_1 Q_1} &= -\frac{1}{2} \frac{(\pi L^2 Q_1 S + \frac{\pi^3 L^4 Q_1 Q_2^2}{S})^2}{\pi L^2 (\frac{S^3}{\pi} + \pi L^2 Q_1^2 S + \pi L^2 Q_2^2 S + \frac{\pi^3 L^4 Q_1^2 Q_2^2}{S})^{3/2}} \\
 &\quad + \frac{\frac{\pi L^2 S}{2} + \frac{\pi^3 L^4 Q_2^2}{2S}}{\pi L^2 \sqrt{\frac{S^3}{\pi} + \pi L^2 Q_1^2 S + \pi L^2 Q_2^2 S + \frac{\pi^3 L^4 Q_1^2 Q_2^2}{S}}}, \\
 g_{Q_1 Q_2} &= -\frac{1}{2} \frac{(\pi L^2 Q_1 S + \frac{\pi^3 L^4 Q_1 Q_2^2}{S})(\pi L^2 Q_2 S + \frac{\pi^3 L^4 Q_2 Q_1^2}{S})}{\pi L^2 (\frac{S^3}{\pi} + \pi L^2 Q_1^2 S + \pi L^2 Q_2^2 S + \frac{\pi^3 L^4 Q_1^2 Q_2^2}{S})^{3/2}} \\
 &\quad + \frac{\pi^2 L^2 Q_1 Q_2}{S \sqrt{\frac{S^3}{\pi} + \pi L^2 Q_1^2 S + \pi L^2 Q_2^2 S + \frac{\pi^3 L^4 Q_1^2 Q_2^2}{S}}}, \\
 g_{Q_2 Q_2} &= -\frac{1}{2} \frac{(\pi L^2 Q_2 S + \frac{\pi^3 L^4 Q_1^2 Q_2}{S})^2}{\pi L^2 (\frac{S^3}{\pi} + \pi L^2 Q_1^2 S + \pi L^2 Q_2^2 S + \frac{\pi^3 L^4 Q_1^2 Q_2^2}{S})^{3/2}} \\
 &\quad + \frac{\frac{\pi L^2 S}{2} + \frac{\pi^3 L^4 Q_1^2}{2S}}{\pi L^2 \sqrt{\frac{S^3}{\pi} + \pi L^2 Q_1^2 S + \pi L^2 Q_2^2 S + \frac{\pi^3 L^4 Q_1^2 Q_2^2}{S}}}. \tag{3.77}
 \end{aligned}$$

Dans le cas des valeurs de $L = -3$, et des charges $Q_1 = Q$ et $Q_2 = Q$, on retrouve dans la gamme de $Q \in (0, 1)$ et $S \in (0, 1)$ que la composante $\{g_{SS}\}$ prend une valeur maximale à l'ordre de 1600. Alors, nous voyons que les composantes $\{g_{Q_1 Q_1}, g_{Q_2 Q_2}\}$ prennent une valeur typique dans l'intervalle $(0, 4)$. Cela montre que les trous noirs RN- AdS_4 correspondent localement à une configuration statistique stable. En fait, la gamme de la croissance de $\{g_{SS}\}$ et $\{g_{Q_1 Q_1}, g_{Q_2 Q_2}\}$ se trouve être à la limite opposée des paramètres $\{S, Q\}$. Explicitement, par les Figs. (3.8, 3.9, 3.10), on observe que la croissance de g_{SS} est a lieu dans la limite d'une grande Q et d'une petite S . D'autre part, les Figs. (3.9, 3.10) montrent que la croissance de $\{g_{Q_1 Q_1}, g_{Q_2 Q_2}\}$ est placée dans la limite d'une petite Q et une petite S . Du fait même, les compressibilités de chaleurs en impliquant deux paramètres distincts de la configuration des trous noirs de RN- AdS_4 ont été représentés par les Fig. (3.11, 3.12, 3.13). Dans ce cas, nous remarquons que la Fig. (3.13) montre une caractéristique unique de la composante $Q_1 Q_2$ des fluctuations thermodynamiques. Pour des trous noirs RN- AdS_4 donnés, les composantes de la métrique tenseure $\{g_{ij} \mid i, j = S, Q_1, Q_2\}$ indiquent que ces fluctuations en impliquant des charges

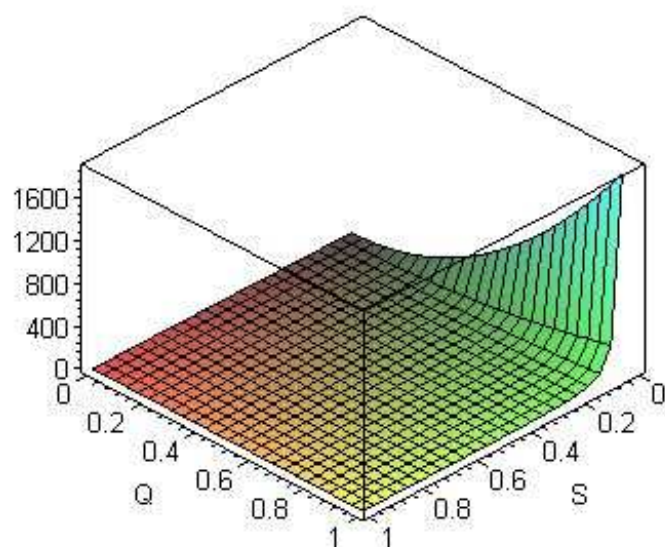


Figure 3.8: La composante SS de la métrique tenseure tracée en fonction de $\{Q, M\}$, en décrivant les fluctuations dans la configuration des trous noirs RN- AdS_4 .

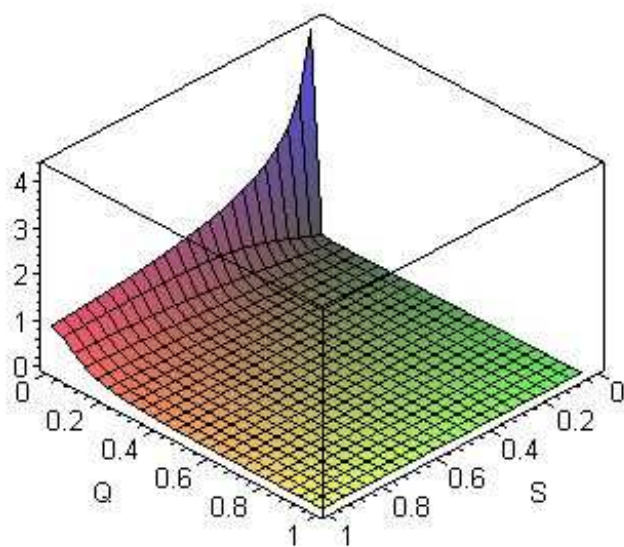


Figure 3.9: La composante $Q_1 Q_1$ de la métrique tenseure tracée en fonction de $\{Q, M\}$, en décrivant les fluctuations dans la configuration des trous noirs RN- AdS_4 .

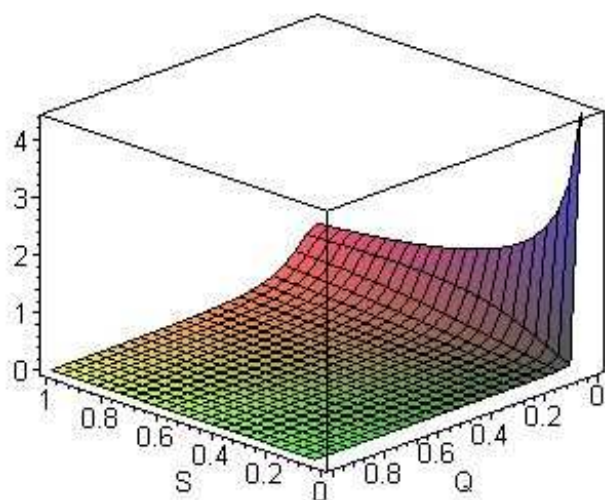


Figure 3.10: La composante Q_2Q_2 de la métrique tenseure tracée en fonction de $\{Q, M\}$, en décrivant les fluctuations dans la configuration des trous noirs RN- AdS_4 .

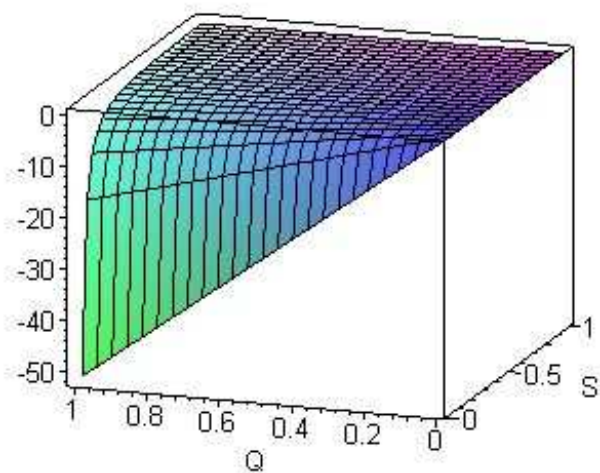


Figure 3.11: La composante SQ_1 de la métrique tenseure tracée en fonction de $\{Q, M\}$, en décrivant les fluctuations dans la configuration des trous noirs RN- AdS_4 .

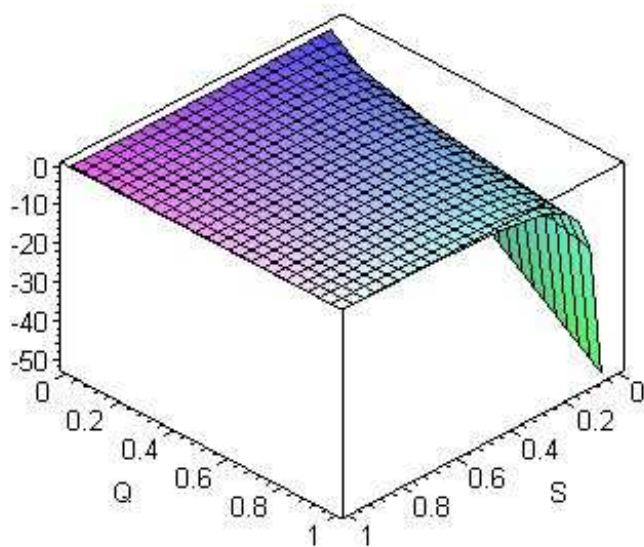


Figure 3.12: La composante SQ_2 de la métrique tenseure tracée en fonction de $\{Q, M\}$, en décrivant les fluctuations dans la configuration des trous noirs RN- AdS_4 .

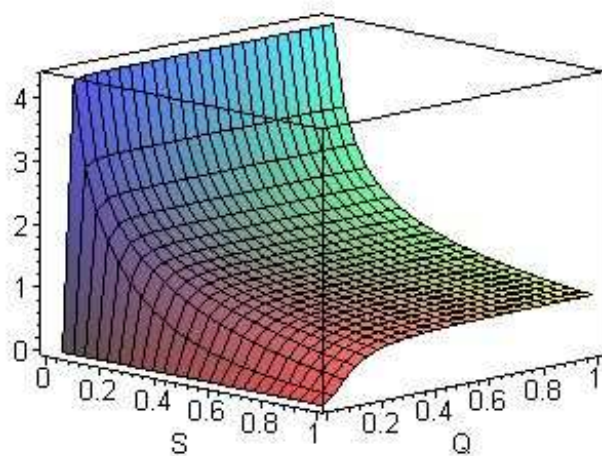


Figure 3.13: La composante Q_1Q_2 de la métrique tenseure tracée en fonction de $\{Q, M\}$, en décrivant les fluctuations dans la configuration des trous noirs RN- AdS_4 .

$\{Q_1, Q_2\}$ prennent relativement des valeurs numériques positives à l'égard de ceux en impliquant l'entropie S des trous noirs de RN- AdS_4 .

Nous voyons que les fluctuations d'un ensemble des trous noirs de Reissner-Nordström dans la nappe de Poincaré de ADS_4 respectent des conclusions physiquement bien attendues. En particulier, les capacités de chaleurs, définies comme les paires d'auto-corrélations, restent positives pour des paramètres $\{S, Q_1, Q_2\}$ venant par la solution des M_2 -branes. Un calcul simple démontre la nature globale des fluctuations paramétriques. Il s'ère que l'ensemble sous-jacent des trous noirs de Reissner-Nordström dans la nappe de Poincaré de ADS_4 est stable dans la limite des fluctuations gaussiennes, si les mineurs principaux $\{p_2, p_3\}$ restent cerataines fonctions positives sur la variété (M_3, g) de l'espace des états. Dans ce cas, il s'ensuit que le mineur de surface est donné par

$$p(S, Q_1, Q_2) = \frac{1}{16 \pi L^2 S^3} \frac{p_n}{p_d}, \quad (3.78)$$

où les fonctions $\{p_n(S, Q_1, Q_2), p_d(S, Q_1, Q_2)\}$ sont définies par

$$\begin{aligned} p_n &= 3S^6 + 6S^4 \pi^2 L^2 Q_2^2 - S^4 \pi^2 L^2 Q_1^2 - \pi^4 L^4 Q_2^4 S^2 \\ &\quad + 2S^2 \pi^4 L^4 Q_1^2 Q_2^2 - \pi^6 L^6 Q_2^4 Q_1^2, \\ p_d &= S^4 + \pi^2 L^2 S^2 Q_1^2 + \pi^2 L^2 S^2 Q_2^2 + \pi^4 L^4 Q_1^2 Q_2^2. \end{aligned} \quad (3.79)$$

Par la suite, un calcul explicite montre que la contrainte de la stabilité sur toute la configuration (M_3, g) , comme une fonction de létropie S et des charges $\{Q_1, Q_2\}$ est déterminée par le déterminant de la métrique tenseur $g := p_3$. Ainsi, le déterminant de la métrique tenseure de Wienhold est simplement donné par

$$g = -\left\{ \frac{S^4 + \pi^2 L^2 Q_1^2 S^2 + \pi^2 L^2 Q_2^2 S^2 + \pi^4 L^4 Q_1^2 Q_2^2}{\pi S} \right\}^{-5/2} \frac{\tilde{g}(S, Q_1, Q_2)}{32\pi^3 L^2 S^6}, \quad (3.80)$$

où la fonction $\tilde{g}(S, Q_1, Q_2)$ est définie par

$$\begin{aligned}
 \tilde{g}(S, Q_1, Q_2) = & \pi^6 L^6 S^6 Q_2^6 + \pi^6 L^6 S^6 Q_2^4 Q_1^2 - 7\pi^4 L^4 S^8 Q_1^2 Q_2^2 + 5\pi^8 L^8 S^4 Q_1^4 Q_2^4 \\
 & - \pi^4 L^4 S^8 Q_2^4 - \pi^4 L^4 S^8 Q_1^4 + 3\pi^{10} L^{10} S^2 Q_2^4 Q_1^6 + \pi^6 L^6 S^6 Q_1^4 Q_2^2 \\
 & + 3\pi^8 L^8 S^4 Q_1^6 Q_2^2 + 3\pi^{10} L^{10} S^2 Q_2^6 Q_1^4 + \pi^6 L^6 S^6 Q_1^6 + \pi^{12} L^{12} Q_2^6 Q_1^6 \\
 & - 3S^{12} + 3\pi^8 L^8 S^4 Q_2^6 Q_1^2 - 5\pi^2 L^2 S^{10} Q_1^2 - 5\pi^2 L^2 S^{10} Q_2^2. \quad (3.81)
 \end{aligned}$$

Notez bien que le déterminant de la métrique tenseure de Wienhold, donné dans l'Eq. (3.80), peut avoir une valeur positive, si la fonction $\tilde{g}(S, Q_1, Q_2)$, définie par l'Eqns. (3.81), prend une valeur négative sur la variété (M_3, g) .

Comme une fonction de $\{S, Q\}$, la condition de la stabilité d'un ensemble des trous noirs de RN- AdS_4 découle par la positivité du déterminant de la métrique tenseure. Dans ce cas, nous constatons que le déterminant de la métrique tenseure génériquement tend vers une valeur négative. Pour une valeur typique de $S \in (0, 1)$ et $Q \in (0, 1)$, la Fig. (3.14) montre que le déterminant de la métrique tenseure réside dans l'intervalle $(0, -12000)$. Donc, pour une petite S , nous observons que le déterminant de la métrique tenseure a une valeur approximative à l'ordre de -12000 . Dans la limite d'une grande Q , le déterminant de la métrique reste tout d'abord à près d'une constante valeur petite, puis, dans la limite de la petite S , il augmente brusquement à une grande valeur négative à l'ordre de -12000 . La stabilité correspondante de la surface définie par une valeur constante de la charge Q_2 est montré dans la Fig. (3.15). Dans cette gamme de $\{S, Q\}$, nous voyons que le mineur principe p_2 réside dans la gamme de $(-2500, 0)$. Dans la limite d'une petite S , nous constatons que la négativité de p_2 augmente à la mesure que la valeur de Q est augmenté de zéro à 1. Lorsque S est le seul paramètre qui est permis de varier, la stabilité de la configuration sous-jacente est déterminée par la positivité du premier mineur principe $p_1 := g_{SS}$. Dans ce cas, nous observons de la Fig. (3.16) que p_1 a une amplitude positive à l'ordre de 2000. En fait, pour une petite valeur de S , le premier mineur principe p_1

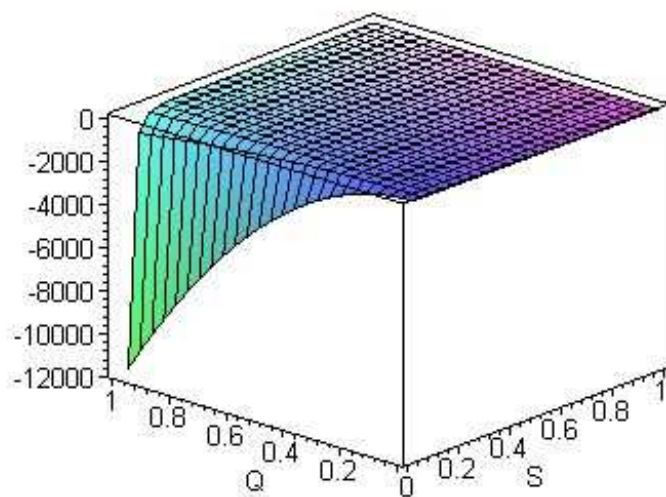


Figure 3.14: Le déterminant de la métrique tenseure tracée comme la fonction de $\{Q, M\}$, en décrivant les fluctuations dans la configuration des trous noirs RN- AdS_4 .

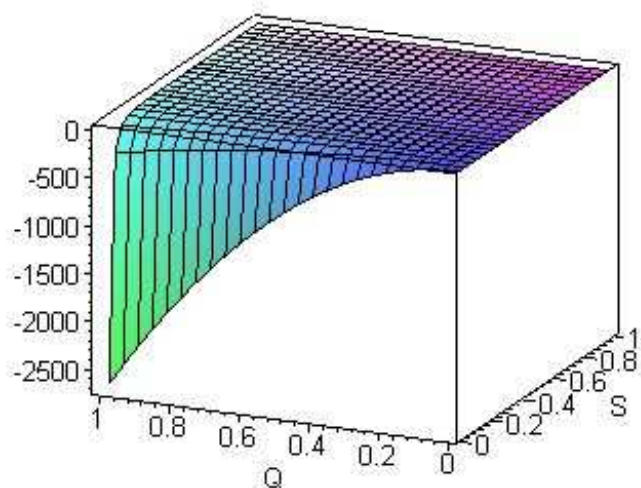


Figure 3.15: Le mineur de surface de la métrique tenseure tracée comme la fonction de $\{Q, M\}$, en décrivant les fluctuations dans la configuration des trous noirs RN- AdS_4 .

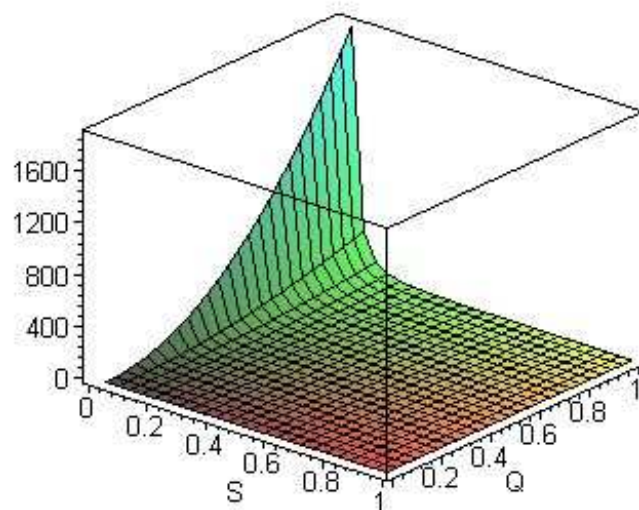


Figure 3.16: Le premier mineur de la métrique tenseure tracée comme la fonction de $\{Q, M\}$, en décrivant les fluctuations dans la configuration des trous noirs RN- AdS_4 .

augmente continuellement comme la fonction de la charge Q . Ainsi, les descriptions graphiques ci-dessus des mineurs principaux fournent la notion qualitative de la stabilité statistique des trous noirs de RN- ADS_4 .

De plus, comme nous avons fourni les Γ_{abc} dans l'annex [A], il n'est pas difficile de calculer une expression exacte de la courbure scalaire de Wienhold, décrivant les corrélations globales paramétriques intrinsèques d'un ensemble des trous noirs de Reissner-Nordström dans la nappe de Poincaré de ADS_4 . Alors, en définissant un ensemble des fonctions horizons de ces trous noirs, nous pouvons voir que la courbure scalaire sous-jacente peut être présentée en général. Explicitement, nous voyons que la courbure scalaire de Wienhold peut être obtenue à:

$$R = -(3\pi^2 L^2 S) \sqrt{\frac{S^4 + \pi^2 L^2 Q_1^2 S^2 + \pi^2 L^2 Q_2^2 S^2 + \pi^4 L^4 Q_1^2 Q_2^2}{\pi S}} \frac{r_4}{r_1 r_2 r_3}, \quad (3.82)$$

où les fonctions $\{r_i(S, Q_1, Q_2) \mid i = 1, 2, 3, 4\}$ sont définies par

$$\begin{aligned} r_1 &= S^2 + \pi^2 L^2 Q_2^2, \\ r_2 &= \pi^4 L^4 Q_1^2 Q_2^2 + \pi^2 L^2 Q_1^2 S^2 + \pi^2 L^2 Q_2^2 S^2 - 3S^4, \\ r_3 &= \pi^6 L^6 Q_1^4 Q_2^2 + \pi^4 L^4 Q_1^4 S^2 + 2\pi^4 L^4 Q_1^2 S^2 Q_2^2 - 2\pi^2 L^2 Q_1^2 S^4 + \pi^2 L^2 S^4 Q_2^2 - 3S^6, \\ r_4 &= \pi^8 L^8 Q_1^4 Q_2^4 + 2\pi^6 L^6 Q_1^4 S^2 Q_2^2 + 2\pi^6 L^6 Q_2^4 S^2 Q_1^2 + \pi^4 L^4 Q_1^4 S^4 \\ &\quad - 12\pi^4 L^4 S^4 Q_1^2 Q_2^2 + \pi^4 L^4 Q_2^4 S^4 - 14\pi^2 L^2 S^6 Q_1^2 - 14\pi^2 L^2 S^6 Q_2^2 + S^8. \end{aligned} \quad (3.83)$$

Dans la limite de grande masse, cette solution des branes noirs dans la nappe de Poincaré de AdS_4 a l'instabilité thermodynamique locale dont les comportements peuvent être vus facilement par la courbure scalaire de Wienhold, comme ci-dessus nous avons montré par l'Eqn. (3.82). Nous voyons que l'instabilité thermodynamique locale peut être étudiée par la géométrie de Wienhold dont la métrique tenseure est définie comme la

matrice d'Hessienne de la masse $M(S, Q_1, Q_2)$, et donc cette géométrie décrit la convexité de la fonction de la masse de ces trous noirs. Nous avons observé, si on augmente l'une des charges électriques alors l'autre diminue qui ne peut se produire que lorsqu'elle détient localement sur un compte de la conservation de la charge globale [71].

Ici, nous voyons clairement que la courbure scalaire de Wienhold diverge pour toute entropie donnée par les équations suivantes:

$$\begin{aligned}\pi^2 L^2 Q_2^2 + S^2 &= 0, \\ \pi^4 L^4 Q_1^2 Q_2^2 + \pi^2 L^2 (Q_1^2 + Q_2^2) S^2 - 3S^4 &= 0, \\ \pi^6 L^6 Q_1^4 Q_2^2 + \pi^4 L^4 Q_1^2 (Q_1^2 + 2Q_2^2) S^2 + \pi^2 L^2 (Q_2^2 - 2Q_1^2) S^4 - 3S^6 &= 0. \quad (3.84)\end{aligned}$$

Il est important de noter qu'il existe certaines gammes qu'elles sont thermodynamiquement limitées par les instabilités aux cas des trous noirs de Reissner-Nordström dans la nappe de Poincaré de l'espace AdS_4 . Par exemple, les racines réelles d'une entropie ci-dessus des trous noirs sous-jacents sont données par l'équation quadratique:

$$S = \frac{\pi L}{6} \{Q_1^2 + Q_2^2 + \sqrt{Q_1^4 + Q_2^4 + 12Q_1^2 Q_2^2}\}^{1/2} \quad (3.85)$$

ou bien celles d'autres sont données par les racines réelles de l'équation cubique ci-dessus, dont lesquelles, on a les frontières des solutions de l'entropie avec lesquelles les singularités thermodynamiques bien existent. En outre, la courbure scalaire de Wienhold est nulle dont l'entropie est donnée par,

$$\begin{aligned}\pi^8 L^8 Q_1^4 Q_2^4 + 2\pi^6 L^6 Q_1^4 S^2 Q_2^2 + 2\pi^6 L^6 Q_2^4 S^2 Q_1^2 + \pi^4 L^4 Q_1^4 S^4 \\ - 12\pi^4 L^4 S^4 Q_1^2 Q_2^2 + \pi^4 L^4 Q_2^4 S^4 - 14\pi^2 L^2 S^6 Q_1^2 - 14\pi^2 L^2 S^6 Q_2^2 + S^8 &= 0. \quad (3.86)\end{aligned}$$

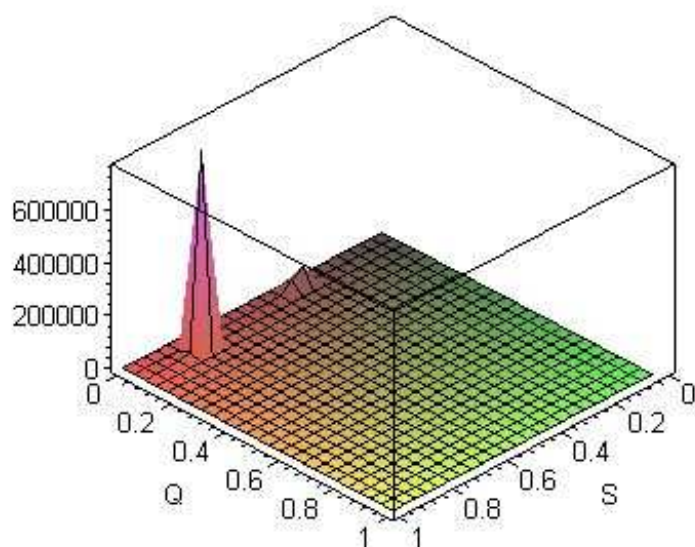


Figure 3.17: La courbure scalaire tracée en fonction de $\{Q, M\}$, décrivant les variations dans la configuration des trous noirs RN- AdS_4 dans la gamme $S, Q \in (0, 1)$.

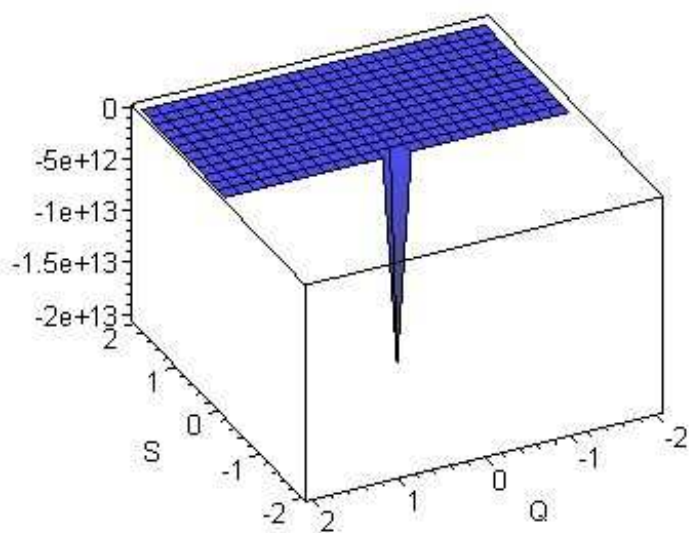


Figure 3.18: La courbure scalaire tracée en fonction de $\{Q, M\}$, décrivant les variations dans la configuration des trous noirs RN- AdS_4 dans la gamme $S, Q \in (-2, 2)$.

Sous la fluctuation des charges $\{Q_1, Q_2\}$ et de l'entropie S , les propriétés de la stabilité globale des trous noirs de RN- AdS_4 sont montrées dans les Figs. (3.17, 3.18). Dans la gamme de $S \in (0, 1)$ et $Q \in (0, 1)$, il résulte de la Fig. (3.17) que la courbure scalaire de Winhold acquiert un grand pic positif. En fait, dans la limite d'une petite Q , la Fig. (3.17) montre que la courbure scalaire a certaines domaines très interagissantes. En particulier, dans une petite valeur de Q , la Fig. (3.17) montre que la courbure scalaire de Winhold a une grande amplitude positive à l'ordre de 800000. Ainsi, on peut noter que la configuration des trous noirs sous-jacente est un système statistiques interagissant fortement, dans cette limite des charges et de l'entropie. Comme mentionné dans le cas de celle des trous noirs dilatoniques, les fluctuations des charges et de l'entropie rendent un signe positif à la courbure scalaire. Cela signifie que les trous noirs de RN- ADS_4 sont répulsive dans la leur nature. La Fig. (3.18) décrit la nature de la courbure scalaire de Wienhold dans une range égale des paramètres $S, Q \in (-2, 2)$. Notamment, nous voyons de la Fig. (3.18) qu'il y a une moitié coupée pique négative de l'amplitude des interactions globales. À la comparaison avec des interactions apparaissant dans la gamme de $S \in (0, 1)$ et $Q \in (0, 1)$, les interactions changent leurs natures et ainsi ces trous noirs deviennent plutôt attractifs dans la gamme de $S, Q \in (-2, 2)$. La valeur typique de l'amplitude des courbures scalaires correspondantes semble être à l'ordre de -2×10^{13} . Les propriétés graphiques de cette comparaison suivent des Figs. (3.17, 3.18). Qualitativement, les représentations graphiques ci-dessus des courbures scalaires indiquent que les trous noirs de RN- ADS_4 sont des configurations instables dans la limite des petites paramètres. Comme prévu, nous constatons que les trous noirs de RN- ADS_4 sont bien comportés, faiblement interactifs, et ainsi il s'avère que ces trous noirs correspondent à une configuration relativement stable dans la limite des grandes charges.

Dans les chapitres suivantes nous allons considéré les corrections à la géométrie thermodynamique des trous noirs qu'elles viennent par (i) le principe d'incertitude généralisée, et (ii) les dérivés supérieures de la théorie des cordes.

Chapitre 4

Les corrections de l_P dans la géométrie thermodynamique

Dans ce chapitre, motivés par la théorie des cordes, nous étudions les effets du principe d'incertitude généralisée (GUP) sur la géométrie thermodynamique des trous noirs. En fait, la nature non-commutative de l'espace-temps à l'échelle de Plank [72–75] implique qu'il existe la distance observable minimale de l'ordre de la longueur de Plank où toutes les mesures de la limite d'extrême de la gravité quantique sont gouvernées. Cette distance minimale des observables dite que le principe d'incertitude généralisée [21] peut être écrit comme:

$$\Delta x \geq \frac{\hbar}{\Delta p} + \frac{\tilde{\alpha} l_p^2}{\hbar} \Delta p. \quad (4.1)$$

Bien que dans toutes les théories générales, les contributions de l'ordre supérieur peuvent être non-nulles mais la longueur minimale dans la théorie est simplement régie par le paramètre $\tilde{\alpha}$, comme au-dessus voir l'Eqn. (4.1). Le principe d'incertitude généralisée montre qu'il y a une dispersion minimale Δx pour toute valeur Δp du moins aussi longtemps ce que les deux premiers termes de l'Eqn. (4.1) expansion soient non-nulles.

Un exemple de cette motivation provient grâce à l'étude des conditions d'analyticité

d'une fonction complexe conduisant au principe d'incertitude complètement généralisée, laquelle fait apparaître les concepts physiques bien connues [21]. Nous avons étudié ces effets sur la notion physique du principe d'incertitude et avons expliqué que le principe d'incertitude de la théorie des cordes se pose naturellement de l'analyse des fonctions holomorphes et anti-holomorphes. Ces considérations illustrent le récit de la forme et de la taille correspondant du principe d'incertitude d'Heisenberg, lesquelles sont bien connues pour toutes fonctions arbitraires de type L^2 . De plus, nous pouvons arriver au principe d'incertitude de la théorie des cordes avec toutes les corrections d'un ordre fini des dérivés supérieures, la physique de la gravité quantique, la physique des trous noirs, l'existence des échelles de la longueur minimale et la longueur maximale de la nature, la géométrie aux distances courtes versus la théorie des cordes, la transformation de Fourier par rapport à la théorie des distributions. Voir [21] pour les détails de l'état actuel des corrections de l_P . Dans les deux prochaines sections, nous souhaitons analyser les effets de principe d'incertitude généralisée sur la géométrie thermodynamique des trous noirs de Reissner-Nordström et ceux des trous noirs chargés magnétiquement.

Maintenant, nous ferons donc une brève rappelle de la géométrie thermodynamique de Ruppenier et ensuite l'appliquons à l'entropie de ces trous noirs corrigé par les corrections du principe d'incertitude généralisée. De plus, nous allons voir, les quelles sont les effets des corrections de l_P dans la géométrie thermodynamique de Ruppenier? Pour ça, définissons la métrique thermodynamique pour être:

$$g_{ij}(x) = - \begin{pmatrix} S_{MM} & S_{QM} \\ S_{QM} & S_{QQ} \end{pmatrix} \quad (4.2)$$

avec $i, j = M, Q$ [46, 47]. Alors, il s'avère que l'élément de la ligne est:

$$ds^2 = -S_{MM}dM^2 - 2S_{MQ}dMdQ - S_{QQ}dQ^2, \quad (4.3)$$

dont le déterminant de la la métrique tenseure est justement donné par

$$\det(g) = S_{MM}S_{QQ} - S_{MQ}^2. \quad (4.4)$$

En utilisant cette forme générale de la métrique thermodynamique, il n'est pas difficile de voir que les symboles de Christoffel, qui sont définis comme:

$$\Gamma_{ijk} := g_{ij,k} + g_{ik,j}g_{jk,i}, \quad (4.5)$$

sont donnés par les expressions suivantes:

$$\begin{aligned} \Gamma_{MMM} &= -\frac{1}{2}S_{MMM}, \\ \Gamma_{QQQ} &= -\frac{1}{2}S_{QQQ}, \\ \Gamma_{MMQ} &= -\frac{1}{2}S_{QMM}, \\ \Gamma_{MQM} &= -\frac{1}{2}S_{QMM}, \\ \Gamma_{MQQ} &= -\frac{1}{2}S_{MQQ}, \\ \Gamma_{QQM} &= -\frac{1}{2}S_{QQM}; \end{aligned} \quad (4.6)$$

avec les symétries reliant les autres composantes. Ensuite, nous pouvons voir facilement qu'il y a la seule composante différente de zéro de la courbure tenseure de Riemann-Christoffel, laquelle peut être obtenue comme:

$$\begin{aligned} R_{MQMQ} &= \frac{1}{4(S_{MM}S_{QQ} - S_{QM}^2)} (-S_{QM}S_{MMM}S_{QQQ} + S_{QQM}S_{MMM}S_{QQ} \\ &\quad - S_{MM}S_{QQM}^2 + S_{MM}S_{QMM}S_{QQQ} + S_{QMM}S_{QM}S_{QQM} - S_{QMM}^2S_{QQ}) \end{aligned} \quad (4.7)$$

Nous pouvons contracter cette courbure de Riemann-Christoffel R_{MQMQ} avec la métrique g^{ij} et obtenir R_{ij} . En fait, nous voyons facilement que la courbure scalaire de Ruppenier, définie comme $g^{ij}R_{ij}$, est donnée par:

$$R = \frac{1}{2(S_{MM}S_{QQ} - S_{QM}^2)^2}(-S_{QM}S_{MMM}S_{QQQ} + S_{QQM}S_{MMM}S_{QQ} - S_{MM}S_{QQM}^2 + S_{MM}S_{QMM}S_{QQQ} + S_{QMM}S_{QM}S_{QQM} - S_{QMM}^2S_{QQ}). \quad (4.8)$$

Enfin, dans ce cas, il n'est pas difficile de voir que la courbure scalaire de Ruppenier est reliée avec la courbure de Riemann-Christoffel par:

$$R = \frac{2}{\det(g)}R_{MQMQ}. \quad (4.9)$$

4.1 Les trous noirs de Reissner-Nordström.

La métrique de l'espace-temps de trou noir de Reissner-Nordström avec la masse M et la charge électrique Q est donné par:

$$ds^2 = -f(r)dt^2 + \frac{dr^2}{f(r)} + r^2d\theta^2 + r^2\sin^2\theta d\phi^2, \quad (4.10)$$

où

$$f(r) = 1 - \frac{2M}{r} + \frac{Q^2}{r^2}. \quad (4.11)$$

L'horizon intérieur et extérieur sont simplement définies par,

$$r_{\mp} = M \mp \sqrt{M^2 - Q^2}. \quad (4.12)$$

Nous pouvons voir que la température est donnée par

$$T = \frac{\kappa}{2\pi} = \frac{r_+ - r_-}{4\pi r_+^2}, \quad (4.13)$$

où κ est la gravité de la surface du trou noir. On a vu récemment [76] qu'il n'y a aucune nécessité de la limite de Brick-Wall dans le calcul de l'entropie par-ce qu'on peut avoir un champ scalaire satisfaisant l'équation de Klein-Gordon, avec laquelle dans l'approximation de WKB, t'Hooft [77] a montré que le nombre des états quantiques est fini, qui reste également le même à l'horizon d'un trou noir.

En considérant une couche mince entre r_+ et $r_+ + \epsilon$, nous allons analyser un trou noir non-extrémal de Reissner-Nordström. Puisque la densité des états est dominante près de l'horizon du trou noir de Reissner-Nordström, quand on fait le comptage des modes. C'est-à-dire que, soit

$$x = \frac{\omega}{2k_B T} \rightarrow 0 \quad (4.14)$$

et ainsi

$$x_0 = \frac{\mu\sqrt{f}}{2k_B T} \quad (4.15)$$

puis près de l'horizon, il s'avère que la longueur minimum du GUP est

$$2\sqrt{\lambda} = \sqrt{\frac{2\epsilon}{\kappa}}, \quad (4.16)$$

ce qui entraîne à l'entropie suivante du trou noir de Reissner-Nordström:

$$S(M, Q) = \frac{4\pi r_+^2}{3\lambda} \left(\frac{\pi}{24} - \frac{25}{32\pi} + \frac{\zeta(3)}{\pi} \right), \quad (4.17)$$

ce qui est finie dans la limite près de l'horizon. Cette entropie peut être écrite comme

$$S(M, Q) = \left(\frac{1}{4} A_H \right) \frac{\delta}{\lambda}, \quad (4.18)$$

où le paramètre δ est défini [76] par

$$\delta := \frac{1}{3} \left[\frac{4}{\pi} \zeta(3) - \frac{25}{8\pi} - \frac{\pi}{6} \right]. \quad (4.19)$$

En mettant la valeur de la r_+ , nous pouvons écrire l'entropie comme la suivante:

$$S(M, Q) = \frac{\pi\delta}{\lambda} [2M^2 - Q^2 + 2M\sqrt{M^2 - Q^2}]. \quad (4.20)$$

Pour cette entropie de trou noir de Reissner-Nordström avec des corrections de l_P , les composantes de la métrique de Ruppenier $\{g_{ij}\}_{i,j \in \{M, Q\}}$ sont données par:

$$\begin{aligned} g_{MM} &= \frac{\pi\delta}{\lambda} \left(-4 - \frac{6M}{\sqrt{M^2 - Q^2}} + \frac{2M^3}{(M^2 - Q^2)^{3/2}} \right), \\ g_{MQ} &= \frac{\pi\delta}{\lambda} \left(\frac{2Q}{\sqrt{M^2 - Q^2}} - \frac{2M^2Q}{(M^2 - Q^2)^{3/2}} \right), \\ g_{QQ} &= \frac{\pi\delta}{\lambda} \left(2 + \frac{2M}{\sqrt{M^2 - Q^2}} + \frac{2MQ^2}{(M^2 - Q^2)^{3/2}} \right). \end{aligned} \quad (4.21)$$

Pour $L = 0.01$, les Figs. (4.1, 4.2) montrent la nature des capacités de chaleurs $\{g_{MM}, g_{QQ}\}$ de la métrique tenseure de l'espace d'état. Dans le régime de $M \in (0, 1)$ et $Q \in (-1, 2)$, on observe que l'amplitude de $\{g_{MM}\}$ prend une valeur à l'ordre de 10^{+15} .

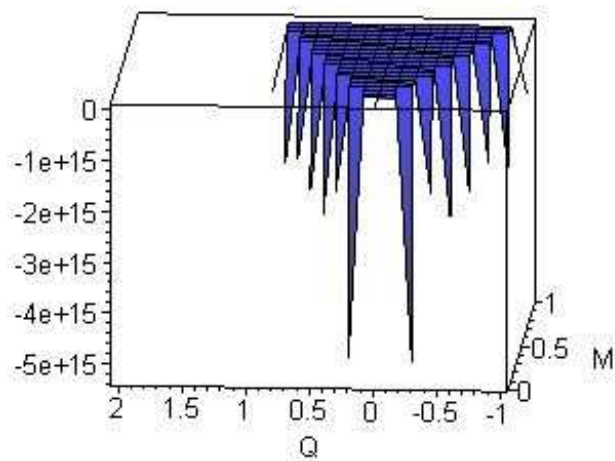


Figure 4.1: La composante MM de la métrique tenseur tracée comme la fonction de $\{Q, M\}$, en décrivant les fluctuations de la configuration des trous noirs de RN.

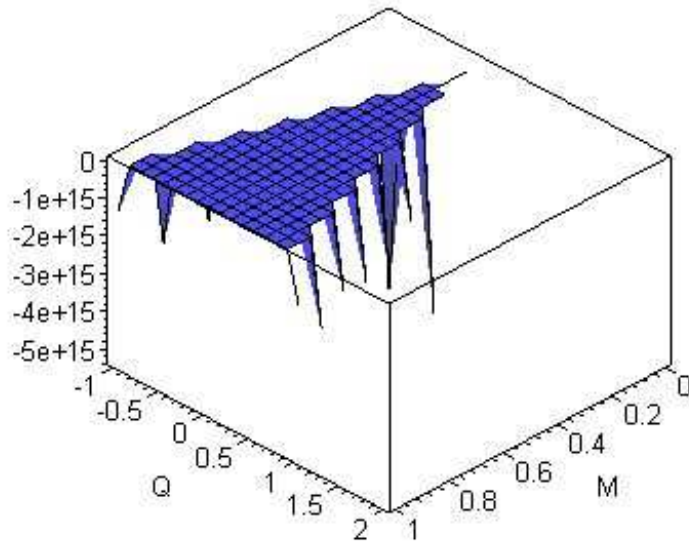


Figure 4.2: La composante QQ de la métrique tenseure tracée comme la fonction de $\{Q, M\}$, en décrivant les fluctuations de la configuration des trous noirs de RN.

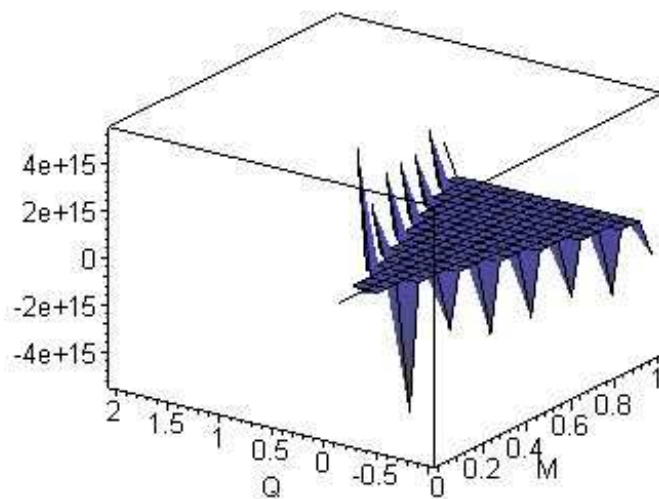


Figure 4.3: La composante MQ de la métrique tenseure tracée comme la fonction de $\{Q, M\}$, en décrivant les fluctuations de la configuration des trous noirs de RN.

Dans cette gamme des paramètres $\{M, Q\}$, nous constatons que la composante $\{g_{MM}\}$ réside dans la gamme de $(-5 \times 10^{+15}, 0)$. Dans ce cas, nous voyons que la gamme de la croissance de l'amplitude de $\{g_{QQ}\}$ reste presque dans la même limite de $\{Q, M\}$. Explicitement, cela signifie que les trous noirs de RN sont thermodynamiquement instables dans la limite de petite charge et de petite masse. Du fait même, la Fig. (4.3) montre que la nature de la composante $\{g_{MQ}\}$ de la métrique tenseure de l'espace d'état. Nous constatons que la composante mixte $\{g_{MQ}\}$ prend une grande valeur à l'ordre de $\pm 10^{+15}$ dans la limite d'une petite Q et une petite M . Dans cette limite de $\{M, Q\}$, les compressibilités de chaleurs, telle que représentées dans les Figs. (4.1, 4.2, 4.3) illustrent les propriétés de la fluctuation des trous noirs de RN. En bref, les paires pures des fluctuations en impliquant $\{M, Q\}$, tel que définies par la métrique tenseure $\{g_{ii} \mid i = M, Q\}$, ont des valeurs numériques positives, tandis que la composante mixte $\{g_{MQ}\}$ prend les deux signatures.

Dans ce cas, le déterminant de cette métrique de Ruppenier peut être obtenus à:

$$\begin{aligned} \det(g) = & -\frac{4\pi^2\delta^2}{\lambda^2(Q^2 - M^2)^2}(4M^4 - 5M^2Q^2 + Q^4 + 2MQ^2\sqrt{M^2 - Q^2} \\ & + 5M(M^2 - Q^2)^{3/2} - M^3\sqrt{M^2 - Q^2}). \end{aligned} \quad (4.22)$$

Notez bien que la stabilité d'un ensemble des trous noirs de RN peut être déterminé en termes des valeurs de la masse M et de la charge Q . Cela découle du comportement de déterminant de la métrique tenseure de l'espace d'état. Donc, nous constatons que le déterminant de la métrique tenseure tend vers une grande valeur négative. Pour le cas de $M \in (0, 1)$ et $Q \in (-1, 2)$, la Fig. (4.4) montre que le déterminant de la métrique tenseure réside dans l'intervalle $(-6 \times 10^{+17}, 0)$. En fait, nous constatons que la négativité de g augmente à mesure que les valeurs de Q, M sont variées de 1 à zéro. Ainsi, la surface définie par les fluctuations de $\{M, Q\}$ est instables en raison d'une valeur négative du déterminant de la métrique tenseure. Lorsque le seul paramètre M est autorisé à varier,

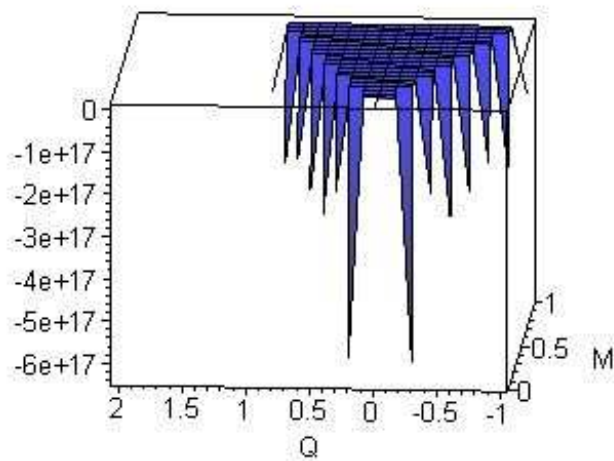


Figure 4.4: Le déterminant de la métrique tenseure tracée comme la fonction de $\{Q, M\}$, en décrivant les fluctuations de la configuration des trous noirs de RN.

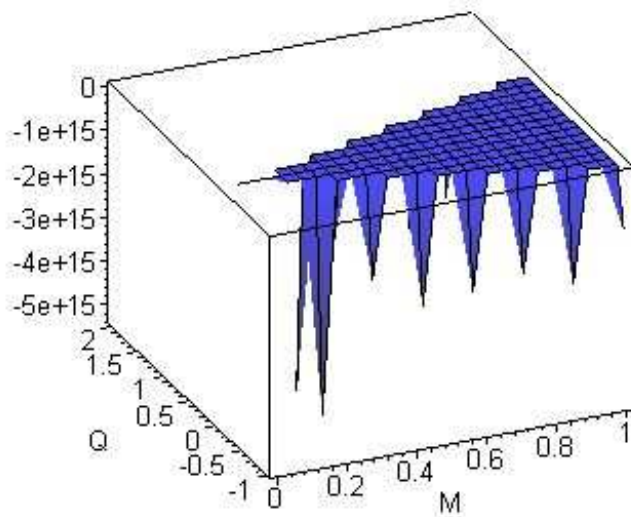


Figure 4.5: Le premier mineur de la métrique tenseure tracée comme la fonction de $\{Q, M\}$, en décrivant les fluctuations de la configuration des trous noirs de RN.

la stabilité de la configuration des trous noirs de RN est déterminé par la positivité du premier mineur principe $p_1 := g_{MM}$. Une vue rotatée de p_1 est montrée dans la Fig. (4.5). Ci-dessus, les propriétés graphiques et la positivité des mineurs principaux, comme les quantités de l'espace d'état fournent la notion qualitative de la stabilité statistique des trous noirs de RN de deux paramètres sous les corrections du principe d'incertitude généralisé.

Ici, comme nous avons fourni les Γ_{abc} dans l'annex [A], nous pouvons voir facilement qu'on a la courbure de Ruppenier-Riemann-Christoffel:

$$R_{MQMQ} = 0 \quad (4.23)$$

qui entraîne que la courbure scalaire de Ruppenier est

$$R = 0. \quad (4.24)$$

En conclusion, bien qu'on ajoute les corrections de l_P à l'entropie du trou noir de Reissner-Nordström, on trouve que le configuration thermodynamique sous-jacente est bien défini, et reste également un système statistique sans interaction. De plus, les propriétés globales de la stabilité des trous noirs de RN découlent de la courbure scalaire de l'espace d'état. En général, il s'avère que la courbure scalaire est identiquement nulle pour toute valeur de la masse et de la charge. Cela montre que les trous noirs de RN sous les corrections du principe d'incertitude généralisée correspondent à une configuration statistique non-interagissante. En bref, les observations ci-dessus de la géométrie de l'espace d'état indiquent que les trous noirs de RN sont, bien que non-interagissants, mais correspondent à une configuration statistiquement instable, lorsque les paramètres $\{M, Q\}$ sont autorisés à fluctuer. Il est convient de mentionner que l'instabilité survit même à l'échelle locale au niveau des capacités de chaleurs.

4.2 Les trous noirs chargés magnétiquement.

Maintenant, considérons un système non-trivial des trous noirs, en particulier les trous noirs magnétisés. Dans ce cas-ci, soit

$$ds^2 = -f(r)dt^2 + \frac{dr^2}{f(r)} + R(r)^2 d\Omega_2^2 \quad (4.25)$$

la métrique de l'espace-temps. Puis dans l'approximation entre r_+ and $r_+ + \epsilon$ où $\epsilon \rightarrow 0$, nous pouvons écrire:

$$f(r) = \kappa(r - r_+) + \frac{f''(R_+)}{2}(r - r_+)^2 + \dots \quad (4.26)$$

et

$$R(r)^2 = R(r_+)^2 + \frac{d}{dr}R(r_+)^2(r - r_+) + \frac{1}{2}\frac{d^2}{dr^2}R(r_+)^2(r - r_+)^2 + \dots \quad (4.27)$$

Soit λ le paramètre de GUP, alors qu'il peut être écrit comme:

$$2\sqrt{\lambda} \simeq \frac{\sqrt{\epsilon}}{\sqrt{\kappa}}\left(2 - \frac{f''\epsilon}{6\kappa}\right). \quad (4.28)$$

Le trou noir magnétisé avec un accouplement arbitraire a:

$$\begin{aligned} f(r) &= 1 - \frac{r_+}{r}, \\ R(r)^2 &= r(r - r_-), \\ 2M &= r_+, \\ Q &= \frac{r_+ r_-}{2}. \end{aligned} \quad (4.29)$$

Pour le cas non-extrémal, nous pouvons voir trivialement que la température d'Hawking est donné par:

$$T_{BH} = \frac{1}{2\pi r_+}. \quad (4.30)$$

Et ainsi, avec la superficie de l'horizon d'événement

$$A_H = 4\pi(r_+ - r_-), \quad (4.31)$$

le paramètre λ de GUP entraîne que l'entropie [78] à l'ordre de λ^0 est

$$S_{BH} = \frac{a_H}{4G_N} + \frac{4}{9}\zeta(3) + \frac{2r_-}{r_+}\zeta(7) + \heartsuit(\lambda). \quad (4.32)$$

Comme dans le cas dernier, en ce cas, nous avons:

$$\begin{aligned} r_+ &= 2M, \\ r_- &= \frac{Q^2}{M}. \end{aligned} \quad (4.33)$$

Donc, en termes de paramètres thermodynamiques, c'est à dire la masse M et la charge magnétique Q , l'entropie du trou noir magnétisé peut être écrite à:

$$S_{BH}(M, Q) = \frac{4}{9}\zeta(3) + 8\pi(2M^2 - Q^2) + \frac{Q^2}{M^2}\zeta(7) + \heartsuit(\lambda). \quad (4.34)$$

Pour ce cas de trou noir magnétisé avec le paramètre λ du principe d'incertitude généralisée, les composantes de la métrique g_{ij} de Ruppenier sont simplement:

$$\begin{aligned}
g_{MM} &= -32\pi - \frac{6Q^2\zeta(7)}{M^4}, \\
g_{MQ} &= \frac{4Q\zeta(7)}{M^3}, \\
g_{QQ} &= 16\pi - \frac{2\zeta(7)}{M^2}.
\end{aligned} \tag{4.35}$$

La nature des capacités de chaleurs $\{g_{MM}, g_{QQ}\}$ de la métrique tenseure de l'espace d'état est représentée dans les Figs. (4.6, 4.7). Dans le régime de $M \in (0, 1)$ et $Q \in (-1, 1)$, nous voyons que l'amplitude de $\{g_{MM}\}$ prend une valeur à l'ordre de 10^{+06} . Dans cette gamme de paramètres $\{M, Q\}$, nous constatons que la composante $\{g_{MM}\}$ réside dans la gamme de $(-8 \times 10^{+06}, 0)$. Dans ce cas, nous observons que la gamme de la croissance de l'amplitude de $\{g_{QQ}\}$ est assez distinctes, dans la même limite de $\{Q, M\}$. Ça signifie que les trous noirs chargés magnétiquement sous les corrections du principe d'incertitude généralisée sont thermodynamiquement instable dans la limite d'une petite charge et une petite masse. De plus, nous remarquons de la Fig. (4.8) que la composante mixte $\{g_{MQ}\}$ de la métrique tenseure de l'espace d'état a à la fois les des valeurs positifs et négatifs, sous les fluctuations de $\{M, Q\}$. Dans la limite d'une petite M , nous trouvons que $\{g_{MQ}\}$ prend une grande valeur positive à l'ordre de 100000 et une grande valeur négative à l'ordre de -60000 . Dans cette limite des paramètres, nous voyons que les compressibilités thermiques, décrivent dans les Figs. (4.6, 4.7, 4.8), illustrent les propriétés graphiques des fluctuations d'un ensemble des trous noirs chargés magnétiquement. En fait, les fluctuations d'auto-paires en impliquant $\{M, Q\}$, tel que défini par la métrique tenseure $\{g_{ii} \mid i = M, Q\}$, ont seulement certaine valeur négative numérique, tandis que la composante mixte $\{g_{MQ}\}$ a à la fois les deux valeurs.

Ainsi, nous voyons immédiatement que le déterminant de cette métrique est,

$$\det(g) = -\frac{4}{M^6}\tilde{g}(M, Q), \tag{4.36}$$

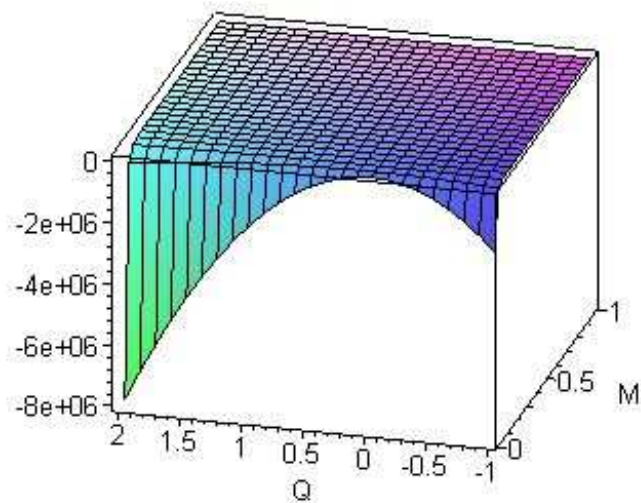


Figure 4.6: La composante MM de la métrique tenseure tracée comme la fonction de $\{Q, M\}$, en décrivant les fluctuations de la configuration des trous noirs chargés magnétiquement.

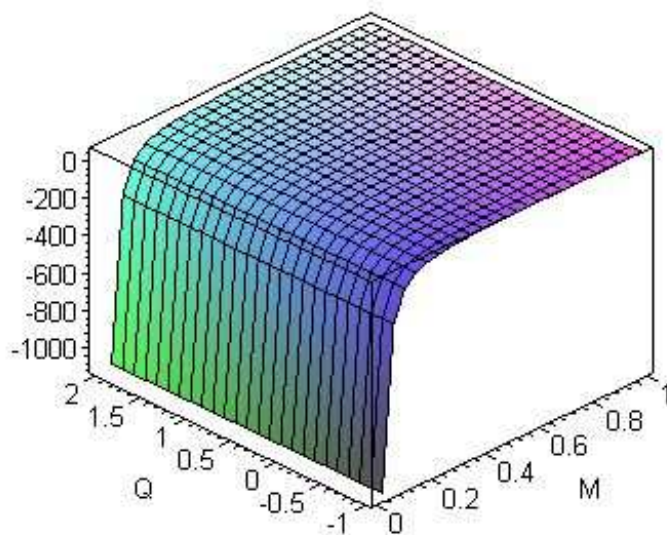


Figure 4.7: La composante QQ de la métrique tenseure tracée comme la fonction de $\{Q, M\}$, en décrivant les fluctuations de la configuration des trous noirs chargés magnétiquement.

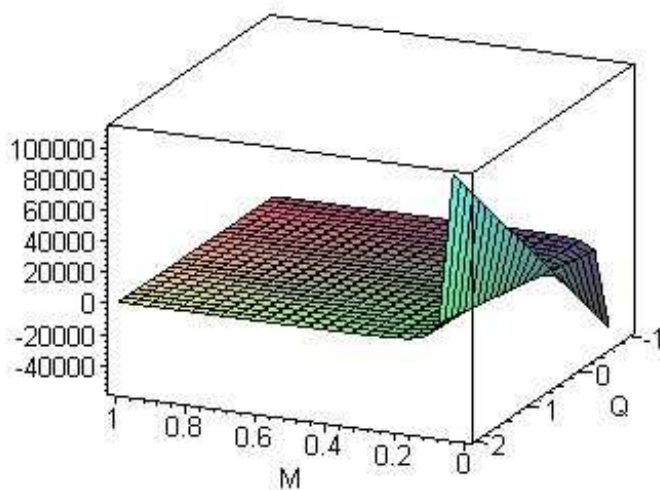


Figure 4.8: La composante MQ de la métrique tenseure tracée comme la fonction de $\{Q, M\}$, en décrivant les fluctuations de la configuration des trous noirs chargés magnétiquement.

où la fonction $\tilde{g}(M, Q)$ est définie par

$$\tilde{g}(M, Q) := 128\pi^2 M^6 - 16\pi\zeta(7)M^4 + 24\pi\zeta(7)Q^2M^2 + \zeta(7)^2Q^2. \quad (4.37)$$

Comme dans le cas des trous noirs de RN, la stabilité d'un ensemble des trous noirs chargés magnétiquement et corrigés par le principe d'incertitude généralisée peuvent être également déterminée en termes des valeurs de la masse M et de la charge Q . Par ailleurs, cela découle du comportement de déterminant de la métrique tenseure de l'espace d'état. Avis que le déterminant de la métrique tenseure tend à une grande valeur négative à l'ordre de 10^{09} . Pour le cas de $M \in (-1, 1)$ et $Q \in (-1, 2)$, la Fig. (4.9) montre que le déterminant de la métrique tenseure réside dans l'intervalle $(-3, 5 \times 10^{+09}, 0)$. Dans ce cas, nous constatons que la négativité de g augmente, quand la valeur de Q est passé de -1 à 2 . Ainsi, la surface définie par les fluctuations de $\{M, Q\}$ est instables en raison d'une valeur négative du déterminant de la métrique tenseure. Lorsque le seul paramètre M est autorisé à varier, la stabilité des trous noirs chargés magnétiquement et corrigés par le principe d'incertitude généralisée est déterminée par la positivité du premier mineur principe $p_1 := g_{MM}$. Nous offrons une vue rotatée de p_1 dans la Fig. (4.10). Physiquement, les propriétés graphiques ci-dessus des quantités de l'espace d'état, en invoquant les deux paramètres $\{M, Q\}$, illustrent l'image qualitative de la stabilité statistique des trous noirs chargés magnétiquement sous les corrections du principe d'incertitude généralisée.

Avec les Γ_{abc} comme nous les avons fournis dans l'annex [A], Il n'est pas difficile d'obtenir que la courbure scalaire de Ruppenier est:

$$R = 8\pi\zeta(7)^2 M^4 (\tilde{g}(M, Q))^{-2} (3Q^2 - 2M^2). \quad (4.38)$$

Les divergences de cette equation sont données par une equation cubique dans une variable $N := M^2$ qui sont seulement les points zéros du déterminant, ou bien les solutions

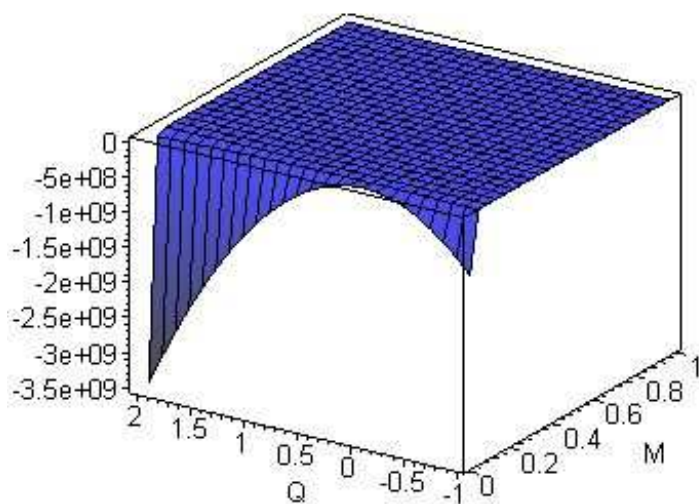


Figure 4.9: Le déterminant de la métrique tenseure tracée comme la fonction de $\{Q, M\}$, en décrivant les fluctuations de la configuration de trous noirs chargés magnétiquement.

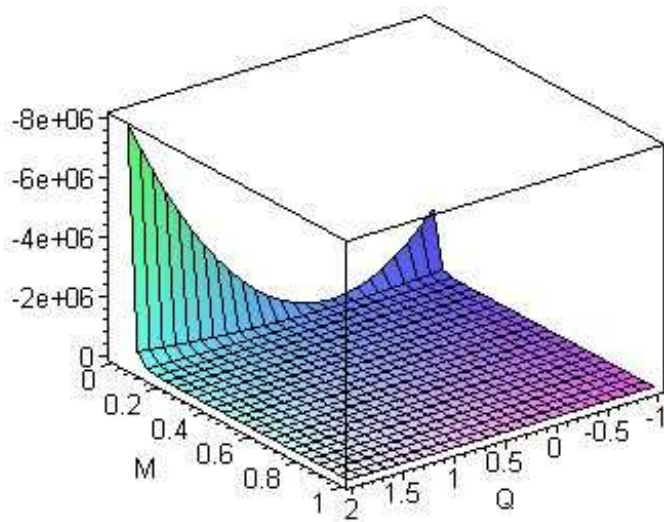


Figure 4.10: Le premier mineur de la métrique tenseure tracée comme la fonction de $\{Q, M\}$, en décrivant les fluctuations de la configuration de trous noirs chargés magnétiquement.

de $\tilde{g}(M, Q) = 0$, lesquels sont données par l'équation:

$$128\pi^2 N^3 - 16\pi\zeta(7)N^2 + 24\pi\zeta(7)Q^2N + \zeta(7)^2Q^2 = 0, \quad (4.39)$$

dont nous n'avons pas beaucoup d'intérêt ici, par-ce que la variété (\mathcal{M}_2, g) est dégénérée avec la condition $\det(g) = 0$. Cependant, il y a des autres intérêts lesquels nous allons parler dans une autre recherche. Maintenant, nous pouvons voir facilement qu'aux racines de cette equation cubique, la géométrie de Ruppenier n'est pas bien définie. Sinon aux tous les autre points de la variété de l'espace d'état, cette curbure scalaire est partout régulière. En outre, il y a les deux cas particulières de la charge

$$Q = \pm\sqrt{\frac{2}{3}}M \quad (4.40)$$

dont lesquelles, nous voyons que (i) ce système n'a pas d'interaction statistique, (ii) la curbure scalaire correspondante de Ruppenier est nulle.

Les propriétés globales de la stabilité des trous noirs chargés magnétiements et corrigées par le principe d'incertitude généralisée découlent de la courbure scalaire correspondante de l'espace d'état. En particulier, dans la gamme de $M \in (0, 1)$ et $Q \in (-1, 1)$, la Fig. (4.11) montre que la courbure scalaire a une amplitude négative à l'ordre de 70. Cela montre que la configuration des trous noirs sous-tendants correspond à un système statistique interactif. Le signe négatif de la courbure scalaire signifie la nature attractive des interactions statistiques. La Fig. (4.12) signifie la nature de la courbure scalaire ci-dessus dans une range égale des paramètres $\{M, Q\}$. Pour le cas de $M \in (-1, 1)$ et $Q \in (-2, 2)$, on constate de la Fig. (4.12) qu'il y existe deux régions identiques des interactions statistiques globales. De plus, en comparaison des interactions apparaissant dans la gamme de $M \in (0, 1)$ et $Q \in (-1, 1)$, nous voyons que l'amplitude de l'échelle des interactions statistiques semble être beaucoup plus petite dans la gamme de $M \in (-1, 1)$ et

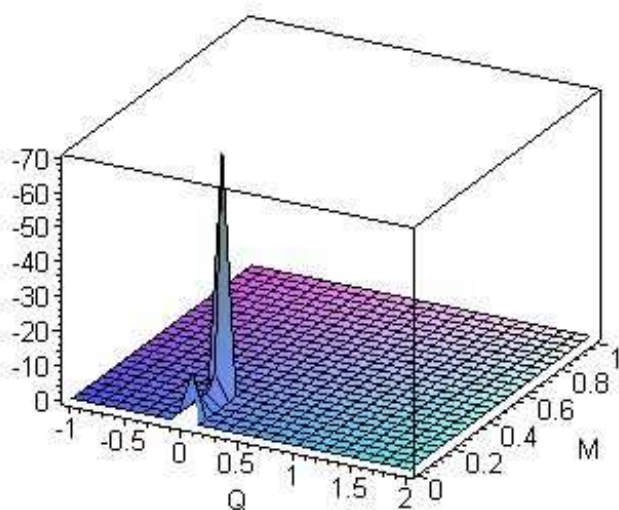


Figure 4.11: Le courbure scalaire tracée en fonction de $\{Q, M\}$, décrivant les variations dans la configuration des trous noirs chargés magnétiquement dans la gamme $M \in (0, 1)$ et $Q \in (-1, 1)$.

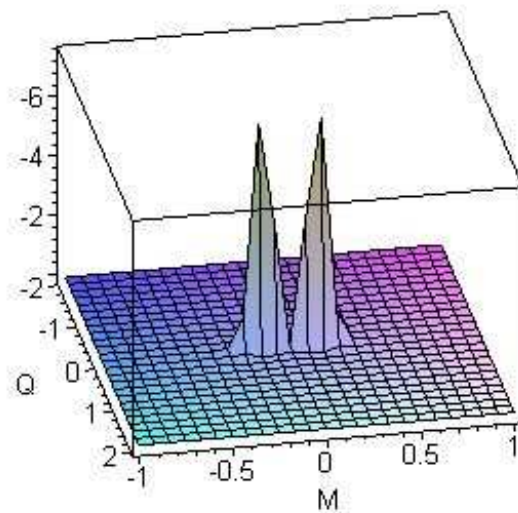


Figure 4.12: Le courbure scalaire tracée en fonction de $\{Q, M\}$, décrivant les variations dans la configuration des trous noirs chargés magnétiquement dans la gamme $M \in (-1, 1)$ et $Q \in (-2, 2)$.

$Q \in (-2, 2)$. En outre, nous constatons que le ratio d'une valeur typique de ces courbures scalaires de l'espace d'état qui apparaissent ci-dessus, est à l'ordre de 10. En bref, lorsque les paramètres $\{M, Q\}$ sont autorisés à fluctuer, l'analyse ci-dessus de la géométrie thermodynamique d'une configuration des trous noirs chargés magnétiquement et corrigées par le principe d'incertitude généralisée correspondent à un système statistique interactive et globalement instable.

Chapitre 5

Les corrections de α' dans la géométrie thermodynamique

Dans ce chapitre, nous considérons la géométrie thermodynamique des trous noirs dont les entropies, corrigées par les corrections de α' , sont obtenues par la fonction de l'entropie de Sen [1]. En fait, nous avons également enquêté sur l'utilisation de la géométrie de Ruppenier dans certains bien connu systèmes de trous noirs, et indiquons que la courbure scalaire de cette géométrie fournit quelques résultats intéressants en cas de la physique des trous noirs. Ensuite, nous avons obtenu une généralisation de la courbure de cette géométrie à l'ordre supérieur arbitraires des corrections de α' en termes des quantités sous-jacentes de l'espace d'état. Comme, tous les trous noirs extrémaux ont une géométrie proche de la leurs horizons d'espace $AdS_2 \times S^{D-2}$, ce qui s'est appelée le vide de Robinson-Bertotti, et dans le cas habituelle des trous noirs de $D = 4$, cette géométrie de l'horizon est réduite à $AdS_2 \times S^2$. De plus, il s'avère que tous les champs de la théorie de $D = 4$ doivent respecter la symétrie de $SO(2, 1) \times SO(3)$. Dans ce cadre, l'entropie d'un trou noir extrémal est définie par Sen [1], comme la limite suivante:

$$S_{BH}^{(ext)} = \lim_{h \rightarrow 0} S_{BH}, \quad (5.1)$$

où

$$h = r_+ - r_- \quad (5.2)$$

est la différence entre les distances de l'horizon extérieur et l'intérieur du trou noir. Cette limitation dans la procédure de Sen est nécessaire car les trous noirs extrémaux n'ont pas de l'horizon bifurquant de Killing. En général, quand nous considérons la théorie covariante de la gravité des dérivées supérieures de deux, les Refs. [79–82] montrent que la lagrangienne correspondante est donnée par:

$$\mathcal{L} := \mathcal{L}[g_{\mu\nu}, Dg_{\mu\nu}, \dots; \Phi_s, D\Phi_s, \dots; F_{\mu\nu}^i, DF_{\mu\nu}^i, \dots; \gamma] \quad (5.3)$$

qui peut être aussi écrite dans une forme manifestement covariante. Notez aussi qu'il est bien connue par le théorème de remplacement de Thomos que la lagrangienne \mathcal{L} est indépendante de la base γ . Dans la consideration de Sen, cette théorie de Wald à l'intérêt par-ce que les dérivées covariantes de tous les champs tenseurs disparaissent, de sorte que la formule de Walds de l'entropie peut être donnée par:

$$S_{BH} := 8\pi \frac{\partial \mathcal{L}}{R_{\alpha\beta\gamma\delta}} g_{\alpha\gamma} g_{\beta\delta} A_H, \quad (5.4)$$

où A_H est la zone d'horizon de l'événement. De plus, l'entropie d'un n'importe quel trou noir extrémal peut être obtenu par la méthode de la fonction de l'entropie de Sen. À la façon en suivante les Refs. [1, 11], définissions une fonction:

$$f(\vec{u}, \vec{v}, \vec{e}, \vec{p}) := \int \int_{S^2} \sqrt{-\det g} \mathcal{L} d\theta d\phi, \quad (5.5)$$

où les paramètres (θ, ϕ) définissent l'élément sur S^2 , ce qui est l'horizon du trou noir

dans les dimensions $D = 4$ de l'espace-temps. Ensuite, la fonction de l'entropie de Sen reste consistante avec les équations du mouvement, est donnée par:

$$F_{BH} := 2\pi(e_i \frac{\partial f}{\partial e_i} - f), \quad (5.6)$$

où les fonctions e_i sont les (rt) -composantes d'une force tenseure des champs de jauges, peuvent être définies comme

$$F_{\mu\nu}^i := \partial_\mu A_\nu^i - \partial_\nu A_\mu^i. \quad (5.7)$$

Ici, les charges électriques $\{q_i\}$ sont mesurées par la transformation de Legendre

$$q_i := \frac{\partial f}{\partial e_i}. \quad (5.8)$$

Ainsi, la méthode de la fonction de l'entropie de Sen peut être considérée comme une manière la plus suggestive du mécanisme attracteur. Ensuite, l'entropie de ces trous noirs est définie par l'extremum de $F(\vec{u}, \vec{v}, \vec{e}, \vec{p})$ à l'égard des valeurs horizons de paramètres \vec{u}, \vec{v} . C'est-à-dire que nous avons

$$S_{BH} := F(\vec{u}, \vec{v}, \vec{e}, \vec{p})|_{(\vec{u}_0, \vec{v}_0)}. \quad (5.9)$$

Donc, la géométrie de Ruppenier est définie comme les fluctuations gaussiennes de la fonction de distribution des probabilités ou la négative d'Hessienne de l'entropie à l'égard des charges invariantes N^a , où $a = 1, 2, \dots, N$. Ici, nous considérons la géométrie thermodynamique de l'entropie par la matrice d'Hessienne de l'entropie d'un trou noir extrémal obtenu par la fonction de l'entropie de Sen tel que la métrique de Ruppenier est définie comme ci-dessous:

$$g_{ij}^R := -\partial_i \partial_j S(M, N^a), \quad (5.10)$$

où $a = 1, 2, \dots, N$ et les derivatives partielles ∂_i sont définies sur l'ensemble de la masse M et des charges N^a . Nous voyons qu'il s'agit une forme bilinéaire symétrique et positive définie. Pour un ensemble donné de $\{M, N^1, N^2, \dots, N^N\}$, l'élément de la ligne de la géométrie de l'espace d'état [44–46] est simplement donnée par:

$$dS^2 := g_{ij}^R(M, N^a) dx^i dx^j. \quad (5.11)$$

En outre, notez que ce cadre géométrique est attrayant, comme nous allons considérer seulement l'entropie, et nous allons travailler habituellement aux points fixes d'attracteur de l'espace sous-soujacent des modules. Cela tient du fait que l'entropie d'un trou noir extrémal est l'extremum de la fonction de l'entropie de Sen.

5.1 La géométrie de Ruppenier des trous noirs dyoniques extrémaux supersymétriques en quatre dimensions.

Dans cette section, nous examinons les corrections de α' dans la géométrie thermodynamique dûes aux termes de Gauss-Bonnet de la théorie effective d'une boucle de l'action de la forme:

$$\Delta S = \int d^4x \sqrt{-\det g} \phi(a, s) (R_{\mu\nu\rho\sigma} R^{\mu\nu\rho\sigma} - 4R_{\mu\nu} R^{\mu\nu} + R^2), \quad (5.12)$$

où $R_{\mu\nu\rho\sigma}$ est la courbure tenseure de Riemann-Christoffel construite par la métrique canonique:

$$g_{\mu\nu} = sG_{\mu\nu}, \quad (5.13)$$

et la fonction $\phi(a, s)$ apparaissant ci-dessus, dans l'Eqn (5.12), est définie dans le Ref. [83]. Pour calculer cette fonction $\phi(a, s)$, on peut voir dans la revue d'Ashoke Sen [11], où le résultat est donné par:

$$\phi(a, s) = -\frac{1}{64\pi^2}((k+2)\ln s + \ln g(a+is) + \ln g(a-is)) + \text{constant}. \quad (5.14)$$

Dans cette formule, le paramètre k est égale à la moitié du nombre des certaines formes invariantes harmoniques de type (1, 1) sur \mathcal{M} qui dépend sur les détails de la compactification et la fonction $g(\tau)$ est donnée par:

$$g(\tau) = e^{2\pi\hat{\alpha}\tau} \prod_{n=1}^{\infty} \prod_{r=0}^{N-1} (1 - e^{2\pi ir/N} e^{2\pi in\tau})^{s_r}. \quad (5.15)$$

Ici, il est bien connu que les paramètres s_r comptent les nombres des formes harmoniques de type p sur \mathcal{M} avec les valeurs propres $e^{2\pi ir/N}$ pondérée par $(-1)^p$ et $\hat{\alpha}$ est la caractéristique d'Euler de la variété \mathcal{M} divisé par 24 qui est respectivement égal à (1, 0) pour \mathcal{M} d'être (K_3, T^4) ce qui est la même inquiétude dans la description de la dualité entre la théorie des cordes hétérotiques et la théorie des cordes de type-II.

D'autre part, les corrections à l'entropie d'un trou noir dûe aux termes de Gauss-Bonnet peuvent être obtenus en considérant des corrections au niveau d'arbres de la théorie des supercordes à certaine action effective. Puis, par la définition de la fonction de l'entropie de Sen [11], on peut avoir les corrections en raison des termes de Gauss-Bonnet à l'entropie de ces trous noirs supersymétriques. Par souci de la simplicité, considérons maintenant une classe spéciale des trous noirs pour lesquels, les vecteurs de charges électriques et magnétiques sont données par:

$$Q = \begin{pmatrix} n \\ 0 \\ w \\ 0 \end{pmatrix}, \quad P = \begin{pmatrix} 0 \\ W \\ 0 \\ N \end{pmatrix}. \quad (5.16)$$

Puis dans le cas de $N, W \gg n, w$ avec $N, W > 0$ et $n, w < 0$ dont au près de l'horizon du trou noir, la fonction $\phi(a, s)$ devient de sorte qu'on a:

$$\phi \simeq \frac{1}{16\pi} \hat{\alpha} \sqrt{\frac{nw}{NW + 4\hat{\alpha}}}. \quad (5.17)$$

Donc, enfin de ce calcul, on obtient l'entropie des trous noirs avec les inclusions des termes de Gauss-Bonnet, qui per le Ref. [11] est donnée par

$$S_{BH} = 2\pi \sqrt{nw(NW + 4\hat{\alpha})}. \quad (5.18)$$

Maintenant pour voir les idées comme les interaction thermodynamiques, la transition des phases \dots etc des configurations thermodynamiques des trous noirs, nous avons besoin d'examiner les fluctuations thermodynamiques qui sont bien codées dans la géométrie thermodynamique pour que l'élément de la ligne soit définie par:

$$ds^2 = g_{ab} dN^a dN^b, \quad (5.19)$$

où $N^a = (n, w, N, W)$ sont les grandes charges comme nous les avons définies dans le chapitre 3. Puis, il n'est pas difficile de d'écrire que les composantes de la métrique tenseure de Ruppenier associées avec cet entropie, peuvent être données simplement par:

$$\begin{aligned}
 g_{nn} &= \frac{\pi}{2n} \sqrt{\frac{w}{n}(NW + 4\hat{\alpha})}, \\
 g_{nw} &= -\frac{\pi}{2} \sqrt{\frac{NW + 4\hat{\alpha}}{nw}}, \\
 g_{nN} &= -\frac{\pi W}{2} \sqrt{\frac{w}{n(NW + 4\hat{\alpha})}}, \\
 g_{nW} &= -\frac{\pi N}{2} \sqrt{\frac{w}{n(NW + 4\hat{\alpha})}}, \tag{5.20}
 \end{aligned}$$

$$\begin{aligned}
 g_{ww} &= \frac{\pi}{2w} \sqrt{\frac{w}{n}(NW + 4\hat{\alpha})}, \\
 g_{wN} &= -\frac{\pi W}{2} \sqrt{\frac{n}{w(NW + 4\hat{\alpha})}}, \\
 g_{wW} &= -\frac{\pi N}{2} \sqrt{\frac{n}{w(NW + 4\hat{\alpha})}}, \\
 g_{NN} &= \frac{\pi W^2 \sqrt{nw}}{2(NW + 4\hat{\alpha})^{3/2}}, \\
 g_{NW} &= -\frac{\pi \sqrt{nw}(NW + 8\hat{\alpha})}{2(NW + 4\hat{\alpha})^{3/2}}, \\
 g_{WW} &= \frac{\pi N^2 \sqrt{nw}}{2(NW + 4\hat{\alpha})^{3/2}}. \tag{5.21}
 \end{aligned}$$

Puisqu'il y a des quatre variables indépendantes, en particulier les nombres de branes $\{n, w, N, W\}$, donc en afin d'offrir leur vue graphique en trois dimensions, nous allons considérer la limite $n = w$ et $N = W$. Pour une correction donnée de Gauss-Bonnet aux trous noirs extrêmes supersymétriques, nous allons choisir la valeur du paramètre des corrections dérivées supérieures de la théorie des cordes d'être $\hat{\alpha} = 0.1$ tout au long du présent chapitre. Ainsi, dans le régime de $n \in (-10, 0)$ et $N \in (0, 10)$, nous observons que l'amplitude des capacités de chaleurs $\{g_{nn}, g_{ww}\}$ corrigées par les α' prend une valeur à l'ordre de 10^{17} . Dans cette gamme de n, N , les capacités de chaleurs $\{g_{NN}, g_{WW}\}$ reliaient dans la gamme de $(0, 10)$. En conformément à la prédiction de la géométrie de l'espace

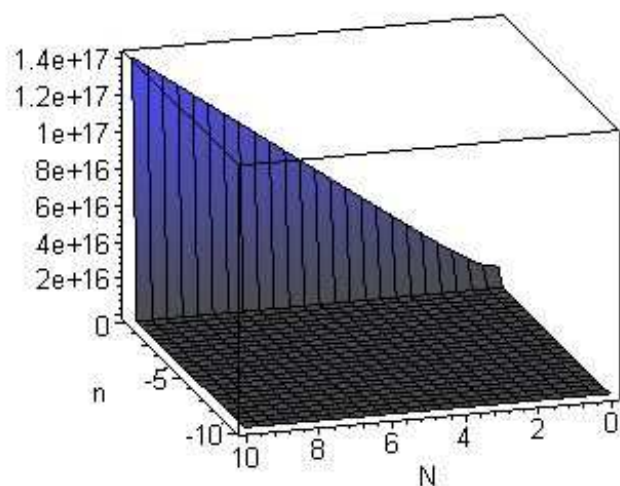


Figure 5.1: La composante nn de la métrique tenseure tracé comme la fonction de $\{n, N\}$, en décrivant les fluctuations dans la configuration des trous noirs supersymétriques corrigés par les termes de Gauss-Bonnet.

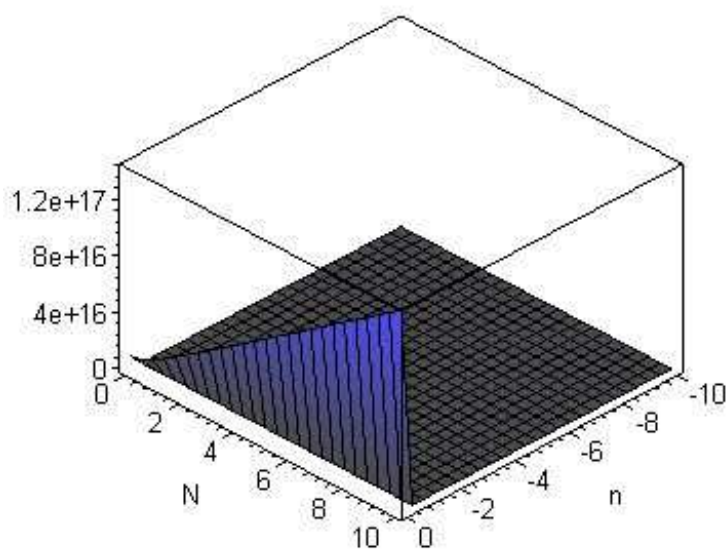


Figure 5.2: La composante ww de la métrique tenseure tracé comme la fonction de $\{n, N\}$, en décrivant les fluctuations dans la configuration des trous noirs supersymétriques corrigés par les termes de Gauss-Bonnet.

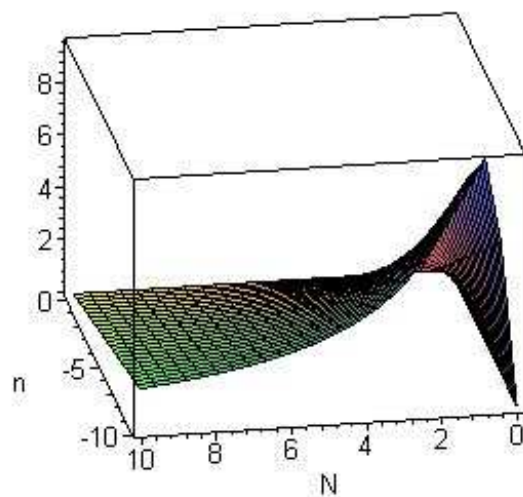


Figure 5.3: La composante NN de la métrique tenseure tracé comme la fonction de $\{n, N\}$, en décrivant les fluctuations dans la configuration des trous noirs supersymétriques corrigés par les termes de Gauss-Bonnet.

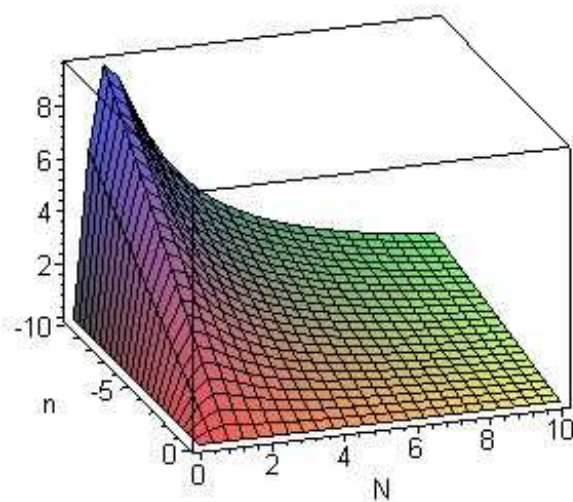


Figure 5.4: La composante WW de la métrique tenseure tracé comme la fonction de $\{n, N\}$, en décrivant les fluctuations dans la configuration des trous noirs supersymétriques corrigés par les termes de Gauss-Bonnet.

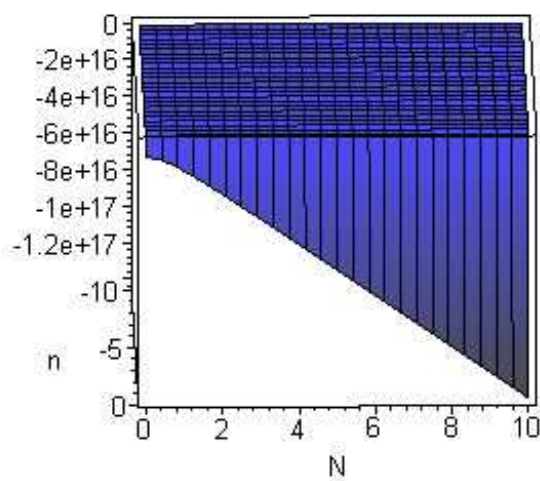


Figure 5.5: La composante nw de la métrique tenseur tracé comme la fonction de $\{n, N\}$, en décrivant les fluctuations dans la configuration des trous noirs supersymétriques corrigés par les termes de Gauss-Bonnet.

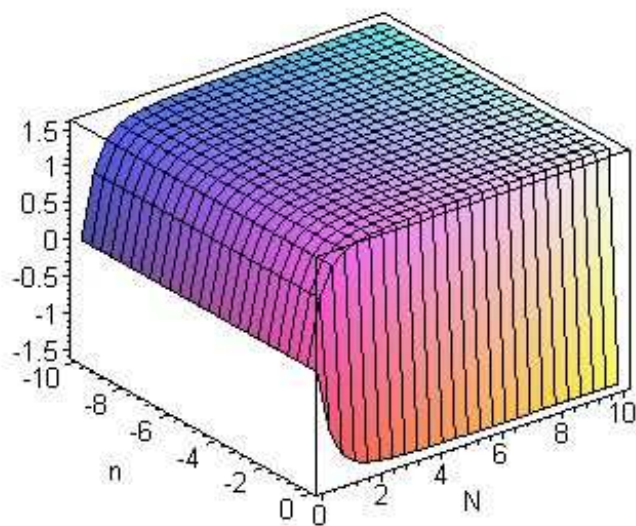


Figure 5.6: La composante nN de la métrique tenseure tracé comme la fonction de $\{n, N\}$, en décrivant les fluctuations dans la configuration des trous noirs supersymétriques corrigés par les termes de Gauss-Bonnet.

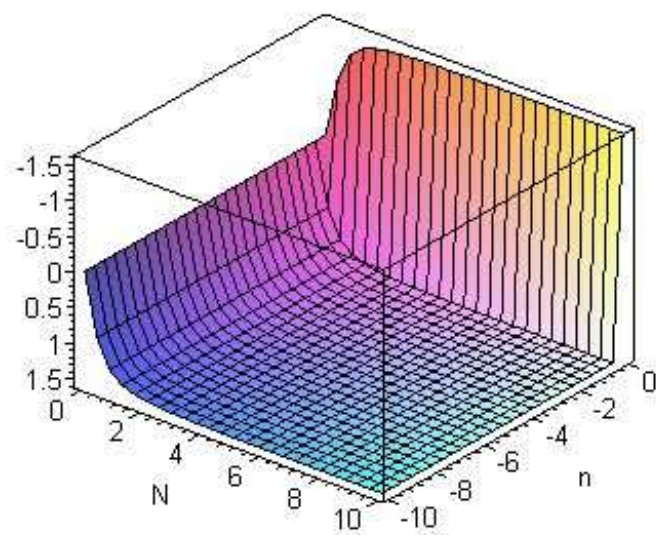


Figure 5.7: La composante nW de la métrique tenseure tracé comme la fonction de $\{n, N\}$, en décrivant les fluctuations dans la configuration des trous noirs supersymétriques corrigés par les termes de Gauss-Bonnet.

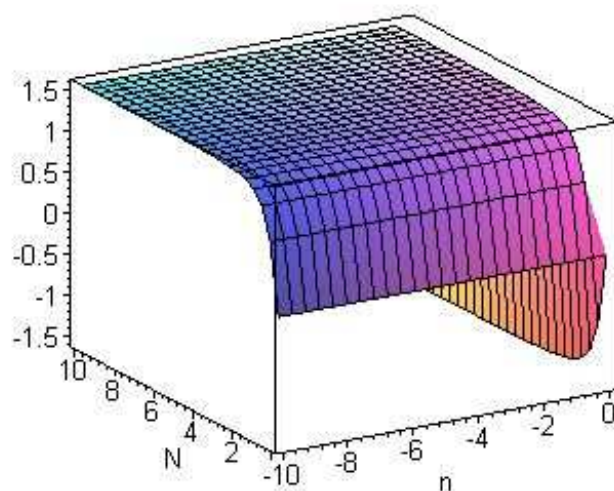


Figure 5.8: La composante wN de la métrique tenseure tracé comme la fonction de $\{n, N\}$, en décrivant les fluctuations dans la configuration des trous noirs supersymétriques corrigés par les termes de Gauss-Bonnet.

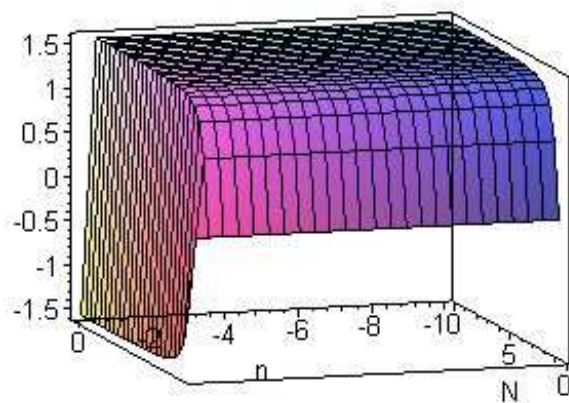


Figure 5.9: La composante wW de la métrique tenseure tracé comme la fonction de $\{n, N\}$, en décrivant les fluctuations dans la configuration des trous noirs supersymétriques corrigés par les termes de Gauss-Bonnet.

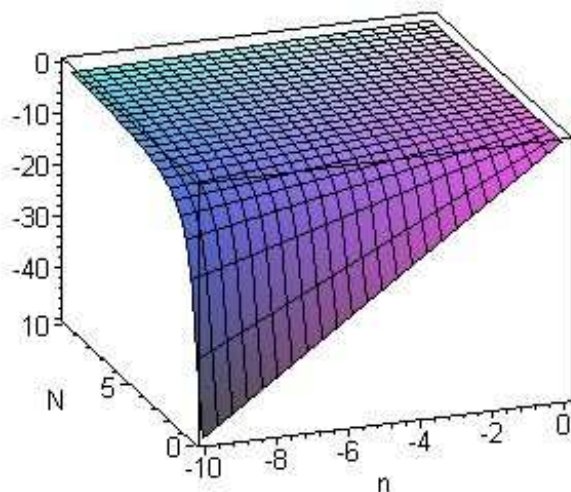


Figure 5.10: La composante NW de la métrique tenseure tracé comme la fonction de $\{n, N\}$, en décrivant les fluctuations dans la configuration des trous noirs supersymétriques corrigés par les termes de Gauss-Bonnet.

d'état, nous constatons que la gamme de croissance de la première ensemble et de la deuxième ensemble des capacités de chaleur reste dans la limite opposée des paramètres $\{n, N\}$. À savoir, la première série de capacités de chaleurs augmente avec la valeur de N , tandis que l'autre croissante diminue. Du fait même, les Figs. (5.1, 5.2) montrent que la croissance de premier ensemble des capacités de chaleurs $\{g_{nn}, g_{ww}\}$ prend place dans la limite d'un grand N et un petit n . En outre, les Figs. (5.3, 5.4) montrent que la croissance de $\{g_{NN}, g_{WW}\}$ a lieu dans la limite d'un petit N et un grand n . De plus, les compressibilités de chaleurs, en impliquant deux paramètres distincts de la configuration de ces trous noirs, sont représentés dans les Figs. (5.5, 5.6, 5.7, 5.8, 5.9, 5.10). En fait, les fluctuations en impliquant les paramètres $\{n, w\}$, tel que défini par la métrique tenseure de l'espace d'état $\{g_{ij} \mid i, j = n, w\}$, ont relativement des plus grande valeurs numériques en comparaison de celles qui impliquant les paramètres $\{N, W\}$.

Par ailleurs, pour la métrique tenseure ci-dessus, il n'est pas difficile de montrer que les mineurs principaux $\{p_1, p_2, p_3\}$ sous-jacents peuvent être exprimé comme

$$\begin{aligned} p_1 &= \frac{\pi}{2n} \sqrt{\frac{w}{n} (NW + 4\hat{\alpha})}, \\ p_2 &= 0, \\ p_3 &= -\frac{1}{2} \frac{\pi^3 W^2}{\sqrt{nw(NW + 4\hat{\alpha})}}. \end{aligned} \tag{5.22}$$

Nous voyons sans aucune difficulté que le déterminant de cette métrique est:

$$g = -\pi^4 \frac{NW}{NW + 4\hat{\alpha}}. \tag{5.23}$$

Comme une fonction des paramètres $\{N, W\}$, la stabilité d'un ensemble des trous noirs supersymétriques extrémaux, corrigées par les termes de Gauss-Bonnet, suivit de la positivité du déterminant de la métrique tenseure. Dans ce cas, nous remarquons que le déterminant de la métrique tenseure g est indépend des paramètres $\{n, w\}$. En effet, nous

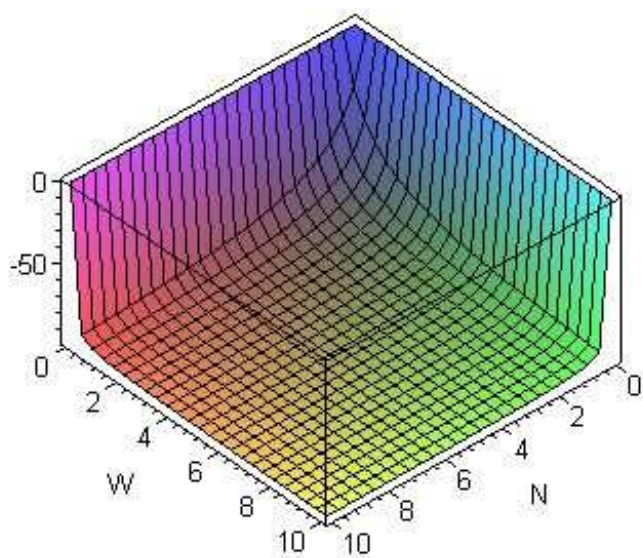


Figure 5.11: Le déterminant de la métrique tenseure tracé comme la fonction de $\{n, N\}$, en décrivant les fluctuations dans la configuration des trous noirs supersymétriques corrigés par les termes de Gauss-Bonnet.

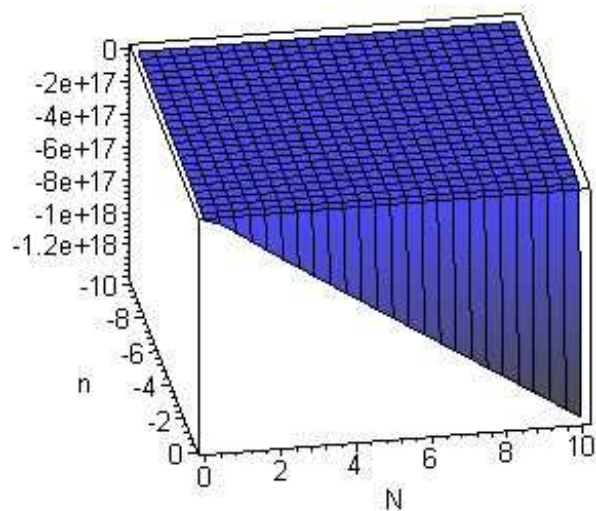


Figure 5.12: Le mineur d'hypersurface de la métrique tenseure tracé comme la fonction de $\{n, N\}$, en décrivant les fluctuations dans la configuration des trous noirs supersymétriques corrigés par les termes de Gauss-Bonnet.

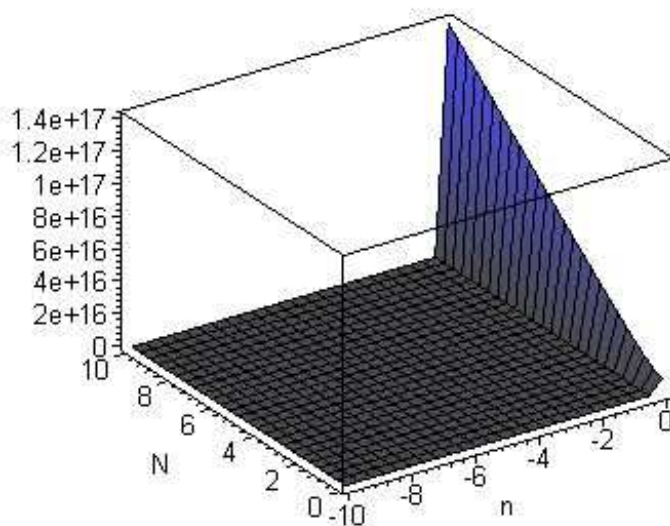


Figure 5.13: Le premier mineur de la métrique tenseure tracé comme la fonction de $\{n, N\}$, en décrivant les fluctuations dans la configuration des trous noirs supersymétriques corrigés par les termes de Gauss-Bonnet.

constatons que $g \in (-100, 0)$ pour une valeur typique de $N \in (0, 10)$ et $W \in (0, 10)$. En ce cas, la Fig. (5.11) offre la nature graphique du déterminant de la métrique tenseure g . Pour le choix de $n = w$, $N = W$, la stabilité de l'hypersurface définie par une constante valeur de W est montré dans la Fig. (5.12). Par la présente, nous pouvons voir que le mineur p_3 réside dans la gamme de $(-1.2 \times 10^{+18}, 0)$. Notez bien en cas de $n \in (-10, 0)$ et $N \in (0, 10)$ que la négativité de p_3 augmente à mesure que la valeur de N est passée de zéro à 10. En outre, la surface définie par les fluctuations de (n, w) est instable à cause du fait même que le mineur principe correspondant est identiquement nulle, à savoir que nous avons $p_2 = 0$. Enfin, lorsque le seul paramètre n est autorisé à varier, la stabilité de la configuration des trous noirs sous-jacents est donnée par la positivité du premier mineur principe $p_1 := g_{nn}$. Une vue rotatée de p_1 est montrée dans la Fig. (5.13). Les propriétés ci-dessus de l'espace de l'état et la positivité des mineurs principes concernés fournissent la notion qualitative de la stabilité statistique des trous noirs supersymétriques extrémaux corrigées par les termes de Gauss-Bonnet.

De plus, comme nous avons fourni les Γ_{abc} dans l'annex [A], il est aussi facile d'obtenir pour cette $g_{ab}(n, w, N, W)$ que la courbure scalaire de Ruppenier est simplement:

$$R = \frac{3}{2\pi NW} \frac{2\hat{\alpha} + NW}{\sqrt{nw(NW + 4\hat{\alpha})}}, \quad (5.24)$$

qu'elle est partout régulière. On voit que cette courbure scalaire de Ruppenier est nulle pour tous (N, W) tel que

$$NW = -2\hat{\alpha}, \quad (5.25)$$

qui est possible si et seulement si $\hat{\alpha} < 0$, pour le cas de $N, W > 0$. Il est aussitôt de voir que sans les corrections de α' , le déterminant de la métrique tenseure $g_{ab}(n, w, N, W)$

et la courbure scalaire sont respectivement données par

$$g = -\pi^4 \tag{5.26}$$

et

$$R = \frac{3}{2\pi\sqrt{nwNW}}. \tag{5.27}$$

En générale, les propriétés statistiques globales découlent du comportement de la courbure scalaire de l'espace d'état. Dans la gamme de $n \in (-10, 0)$ et $N \in (0, 10)$, la Fig. (5.14) montre que la courbure scalaire a une grande amplitude positive à l'ordre de 10^{+08} . Nous observons que la configuration sous-jacente des trous noirs est un système statistique fortement interagissant dans cette gamme des paramètres. Physiquement, le signe positif de la courbure scalaire signifie que les interactions statistiques sont répulsives dans leur nature. La Fig. (5.15) illustre le comportement de ce qui précède de la courbure scalaire dans la gamme des paramètres $n, N \in (-30, 30)$. En fait, lorsque la gamme de n et N est prise dans le multiple de 3, alors nous remarquons de la Fig. (5.15) qu'il existe quatre régions disjointes similaires des interactions statistiques globales. En comparaison des interactions apparaissant dans la gamme de $n \in (-10, 0)$ et $N \in (0, 10)$, l'amplitude des interactions statistiques globales se révèle être beaucoup plus petite dans la gamme de $n, N \in (-30, 30)$. Sous les corrections de dérivées supérieures de α' , nous constatons que le ratio des valeurs typiques de l'amplitude de ces courbures scalaires de l'espace d'état est à l'ordre de 10^{-10} . La vue graphique de la comparaison mentionnée ci-dessus de la courbure scalaire est apparente dans les Figs. (5.14, 5.15). Qualitativement, en cas de petite valeur des paramètres $\{n, N\}$, nous voyons par les représentations de l'espace d'état indiquent que la configuration des trous noirs supersymétriques extrémaux corrigées par les termes de Gauss-Bonnet correspond à un système statistique globalement instable en vertu des variations de paramètres $\{n, w, N, W\}$.

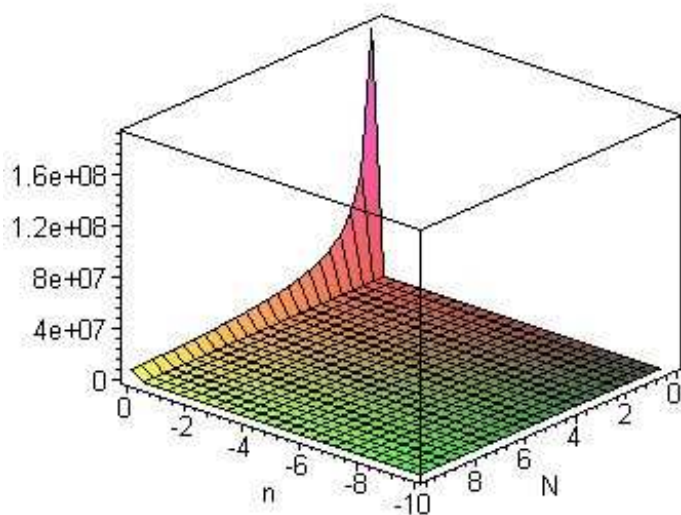


Figure 5.14: La courbure scalaire tracé comme la fonction de $\{n, N\}$, en décrivant les fluctuations dans la configuration des trous noirs supersymétriques corrigés par les termes de Gauss-Bonnet dans la gamme $n \in (-10, 0)$ et $N \in (0, 10)$.

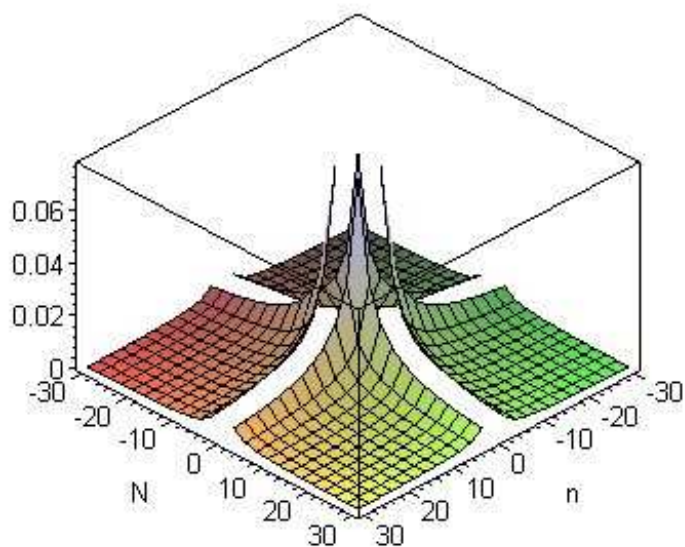


Figure 5.15: La courbure scalaire tracé comme la fonction de $\{n, N\}$, en décrivant les fluctuations dans la configuration des trous noirs supersymétriques corrigés par les termes de Gauss-Bonnet dans la gamme $n, N \in (-30, 30)$.

En fait, il bien connu dans la géométrie de Ruppenier avec quatre charges que sans les corrections de α' , g et R prennent ces formes, voir [47] pour les détails. En outre, cela reste toute vraie aussi pour le cas des trous noirs extrémaux non-supersymétriques en quatre dimensions de l'espace-temps ce que nous allons analyser dans la section suivante. Et bien aussi, voyez la section, sans les corrections de α' , pour les branes noirs $D_2D_6NS_5$ non-extrémaux en dimensions $D = 10$ de l'espace-temps.

5.2 La géométrie de Ruppenier des trous noirs dyoniques extrémaux non-supersymétriques en quatre dimensions.

Nous somme maintenant en mesure de calculer les contributions perturbatives de α' à la géométrie thermodynamique de Ruppenier pour les trous noirs dyoniques extrémaux non-supersymétriques en quatre dimensions. Il est bien connu que l'entropie de ces trous noirs extrémaux supersymétriques et bien aussi les trous noirs non-supersymétriques dans la théorie des supergravités en $\mathcal{N} = 2$ en quatre dimensions avec les corrections des dérivées supérieures de α' peut être calculée facilement par la méthode de la fonction d'entropie de Sen [84]. En particulier, les trous noirs extrémaux, dans le modèle de STU avec les trois multiplets de vecteurs, peuvent être écrits d'un sous-secteur d'énergie faible de l'action effective pour la théorie des cordes hétérotiques au niveau d'arbre sur le tore T^6 ou $K_3 \times T^2$. Nous savons que ce modèle contient également les trous noirs extrémaux supersymétriques et aussi les trous noirs extrémaux non-supersymétriques. Surtout, il s'avère qu'on peut obtenir ces trous noirs des valeurs différentes de charges vecteurs. Il est intéressant de noter que l'entropie de ces trous noirs peut être obtenue par l'extrémisation de la fonction d'entropie de Sen. Alors, au niveau d'arbre de la théorie des cordes hétérotiques, nous avons une forme simple de l'entropie d'un trou noir extrémal non-supersymétrique qui est peut être donnée généralement par la méthode de la fonction d'entropie de Sen [11]. Par souci de simplicité, nous allons considérer les vecteurs charges de la théorie avec les

conditions $N', W', \hat{n} > 0$ et $\hat{w} < 0$ aux formes:

$$Q = \begin{pmatrix} \hat{n} \\ 0 \\ \hat{w} \\ 0 \end{pmatrix}, \quad P = \begin{pmatrix} 0 \\ W' \\ 0 \\ N' \end{pmatrix}. \quad (5.28)$$

5.2.1 À l'ordre de $(\alpha')^0$

Ensuite, avec les normes de la supersymétrie de $\mathcal{N} = 2$ et celles de $\mathcal{N} = 4$, les relations entres des champs scalaires, il s'avère par le Ref. [11] que dans ce cas des paramètres $(\hat{n}, \hat{w}, N', W')$ le résultat de l'entropie d'un trou noir extrémal non-supersymétrique est:

$$S_{BH}^{ns} = 2\pi\sqrt{|\hat{n}\hat{w}|N'W'}. \quad (5.29)$$

Maintenant nous définissons la géométrie thermodynamique avec un vecteur, $\vec{N} := (n, w, N, W)$, où $w = |\hat{w}|$. Ici, le \vec{N} parametrize l'entropie ci-dessus comme:

$$S_{BH}^{ns} = 2\pi\sqrt{nwNW}. \quad (5.30)$$

Cette représentation de l'entropie écarte les calculs de la géométrie thermodynamique de la configuration sous-jacente. Donc, avec ces quatre charges électriques et magnétiques, on peut écrire simplement que les composantes de la métrique de Ruppenier associées avec cet entropie sont données par:

$$\begin{aligned}
 g_{nn} &= \frac{\pi}{2n} \sqrt{\frac{wNW}{n}}, \\
 g_{nw} &= -\frac{\pi}{2} \sqrt{\frac{NW}{nw}}, \\
 g_{nN} &= -\frac{\pi}{2} \sqrt{\frac{wW}{nN}}, \\
 g_{nW} &= -\frac{\pi}{2} \sqrt{\frac{wN}{nW}},
 \end{aligned} \tag{5.31}$$

$$\begin{aligned}
 g_{ww} &= \frac{\pi}{2w} \sqrt{\frac{nNW}{w}}, \\
 g_{wN} &= -\frac{\pi}{2} \sqrt{\frac{nW}{wN}}, \\
 g_{wW} &= -\frac{\pi}{2} \sqrt{\frac{nN}{wW}}, \\
 g_{NN} &= \frac{\pi}{2N} \sqrt{\frac{nwW}{N}}, \\
 g_{NW} &= -\frac{\pi}{2} \sqrt{\frac{nw}{NW}}, \\
 g_{WW} &= \frac{\pi}{2W} \sqrt{\frac{nwN}{W}}.
 \end{aligned} \tag{5.32}$$

À la limite de $n = w$ et $N = W$, on observe dans l'intervalle de $n \in (-10, 0)$ et $N \in (0, 10)$ que l'amplitudes des capacités de chaleurs $\{g_{nn}, g_{ww}\}$ prennent la valeur maximale à l'ordre de 2×10^{09} . Du fait même, les capacités de chaleurs $\{g_{NN}, g_{WW}\}$ prennent une valeur typique entre $(0, 40)$. Nous observons que la gamme de croissance de la première ensemble et celle de la deuxième ensemble des capacités de chaleurs se trouve être à la limite opposée des paramètres $\{n, N\}$. Explicitement, par les Figs. (5.16, 5.17), nous constatons que la croissance des capacités de chaleurs $\{g_{nn}, g_{ww}\}$ a lieu dans la limite d'un grand N et d'un petit n . D'autre part, par les Figs. (5.18, 5.19), nous voyons que la croissance de $\{g_{NN}, g_{WW}\}$ a lieu dans la limite d'un petit N et un grand

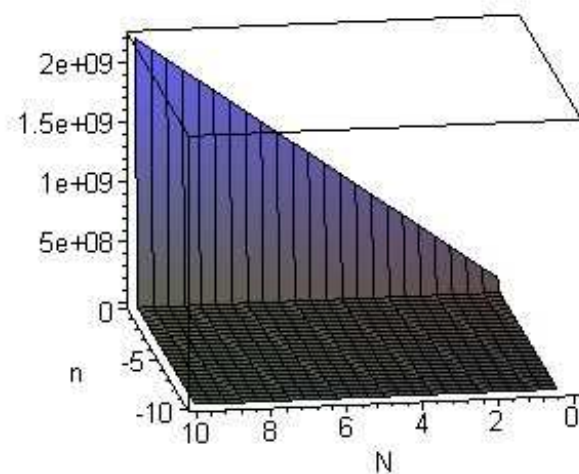


Figure 5.16: La composante nn de la métrique tenseure tracée comme la fonction de $\{n, N\}$, décrivant les fluctuations dans la configuration des trous noirs chargés non-supersymétriques à l'ordre dominant.

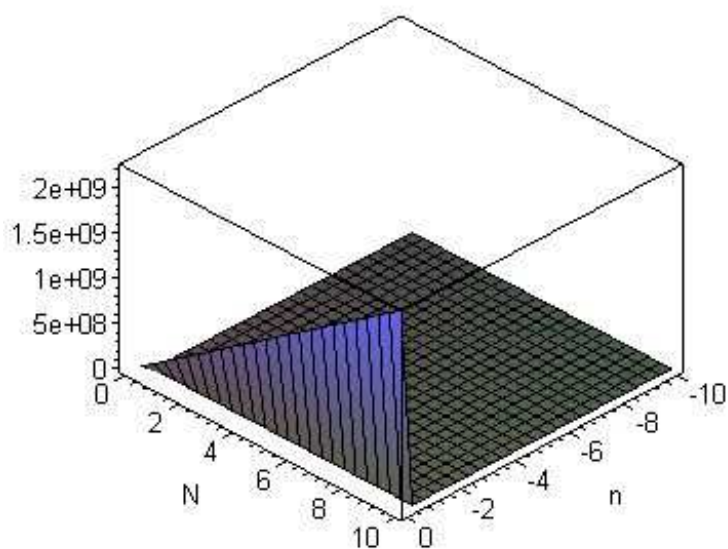


Figure 5.17: La composante ww de la métrique tenseure tracée comme la fonction de $\{n, N\}$, décrivant les fluctuations dans la configuration des trous noirs chargés non-supersymétriques à l'ordre dominant.

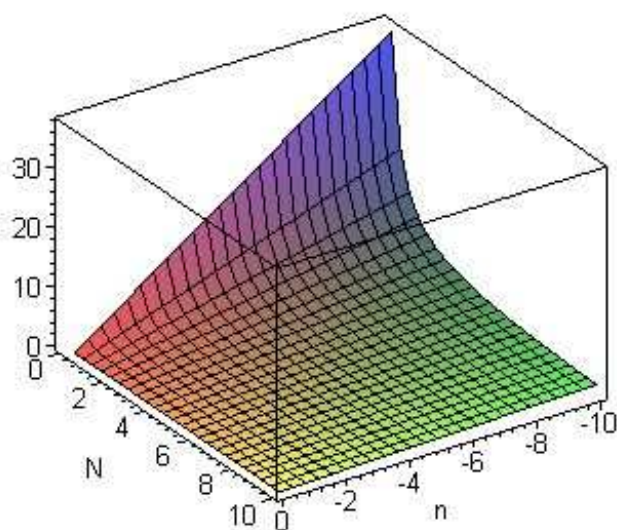


Figure 5.18: La composante NN de la métrique tenseure tracée comme la fonction de $\{n, N\}$, décrivant les fluctuations dans la configuration des trous noirs chargés non-supersymétriques à l'ordre dominant.

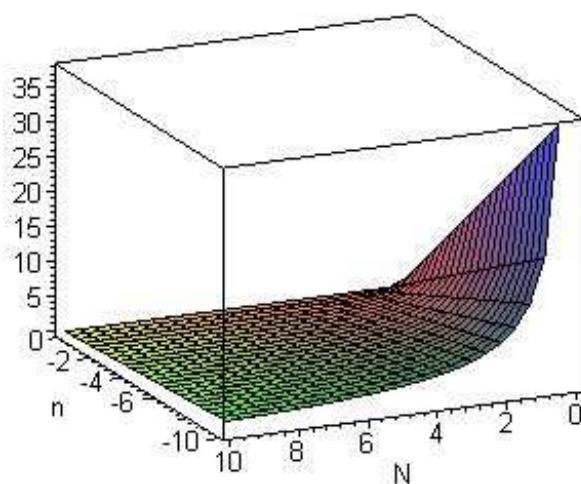


Figure 5.19: La composante WW de la métrique tenseure tracée comme la fonction de $\{n, N\}$, décrivant les fluctuations dans la configuration des trous noirs chargés non-supersymétriques à l'ordre dominant.

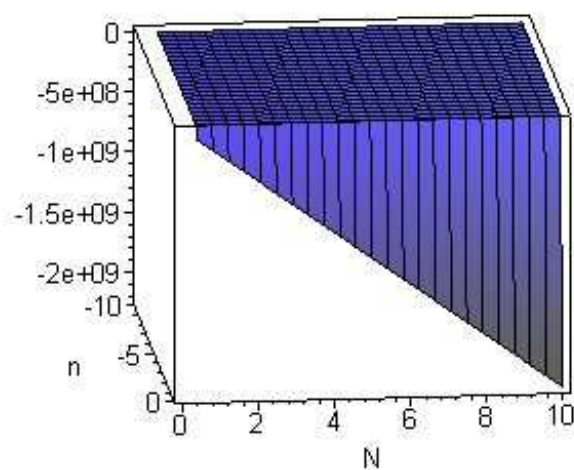


Figure 5.20: La composante nw de la métrique tenseure tracée comme la fonction de $\{n, N\}$, décrivant les fluctuations dans la configuration des trous noirs chargés non-supersymétriques à l'ordre dominant.

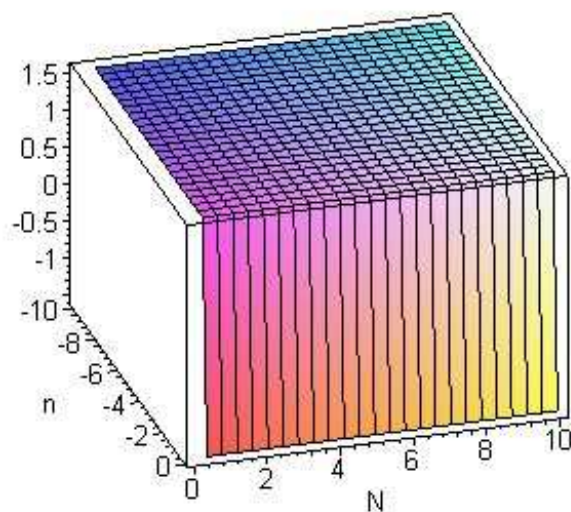


Figure 5.21: La composante nN de la métrique tenseur tracée comme la fonction de $\{n, N\}$, décrivant les fluctuations dans la configuration des trous noirs chargés non-supersymétriques à l'ordre dominant.

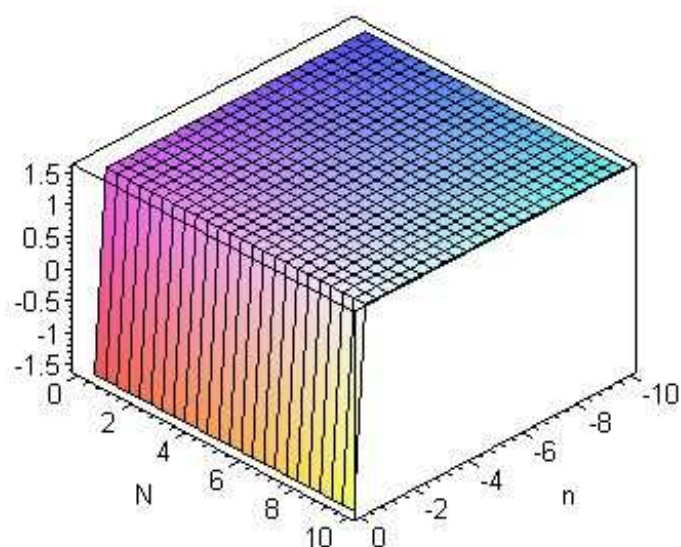


Figure 5.22: La composante nW de la métrique tenseur tracée comme la fonction de $\{n, N\}$, décrivant les fluctuations dans la configuration des trous noirs chargés non-supersymétriques à l'ordre dominant.

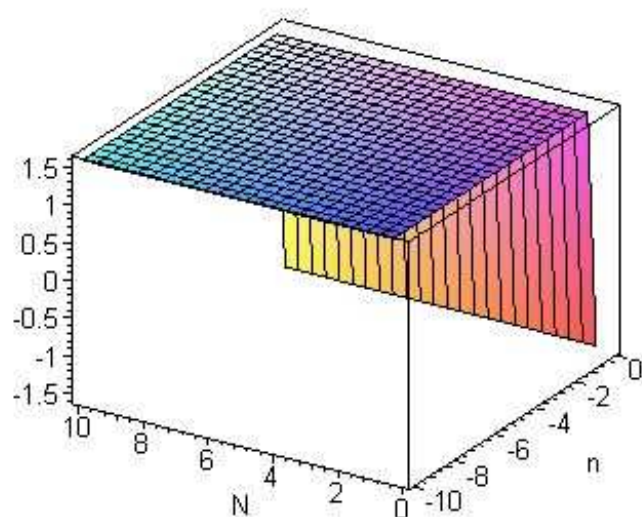


Figure 5.23: La composante wN de la métrique tenseur tracée comme la fonction de $\{n, N\}$, décrivant les fluctuations dans la configuration des trous noirs chargés non-supersymétriques à l'ordre dominant.

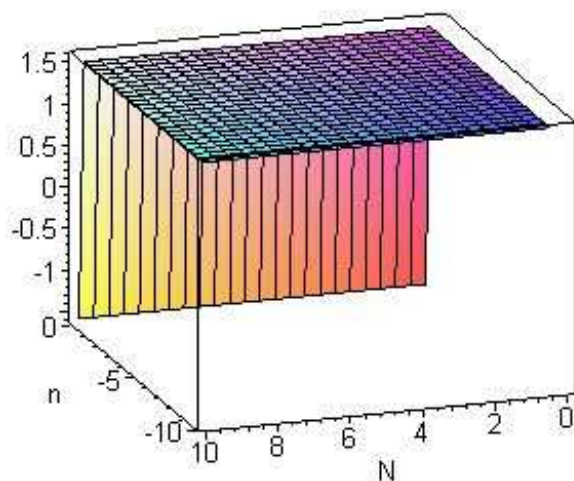


Figure 5.24: La composante wW de la métrique tenseure tracée comme la fonction de $\{n, N\}$, décrivant les fluctuations dans la configuration des trous noirs chargés non-supersymétriques à l'ordre dominant.

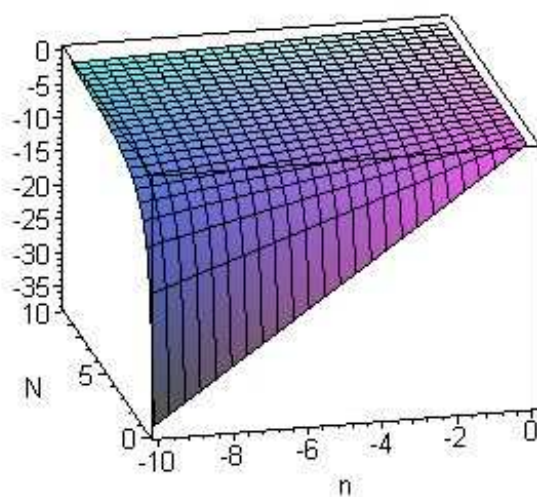


Figure 5.25: La composante NW de la métrique tenseure tracée comme la fonction de $\{n, N\}$, décrivant les fluctuations dans la configuration des trous noirs chargés non-supersymétriques à l'ordre dominant.

n . De plus, les compressibilités de chaleures en impliquant deux paramètres distincts de la configuration de ces trous noirs non-supersymétriques ont représentées dans les Figs. (5.20, 5.21, 5.22, 5.23, 5.24, 5.25). Par la définition de la métrique tenseure de l'espace d'état $\{g_{ij} \mid i, j = n, w, N, W\}$, nous observer que les fluctuations en impliquant $\{n, w\}$ ont relativement une plus grande valeur numérique de celles qui impliquant $\{N, W\}$.

Par l'expression de la métrique tenseure, on constate que les mineurs principaux sont donnés par

$$\begin{aligned} p_1 &= \frac{\pi}{2n} \sqrt{\frac{w N W}{n}}, \\ p_2 &= 0, \\ p_3 &= -\frac{\pi^3 W}{2} \sqrt{\frac{W}{n w N}}. \end{aligned} \tag{5.33}$$

Il est très claire de voir que le déterminant de la métrique tenseure est:

$$g = -\pi^4. \tag{5.34}$$

Comme une fonction de $\{n, N\}$, la condition de la stabilité d'un ensemble de ces trous noirs non-supersymétriques découle de la positivité du déterminant de la métrique tenseure. Dans ce cas, nous voyons que le déterminant de la métrique tenseure prend la valeur négative de $-\pi^4$. Pour une valeur typique de $n \in (-10, 0)$ et $N \in (0, 10)$, la stabilité de l'hypersurface définie par une valeur constante de W est présentée dans la Fig. (5.26). De la Fig. (5.26), nous voyons que le mineur p_3 réside dans l'intervalle $(0, -2 \times 10^{10})$. Notez bien que la négativité du mineur p_3 augmente quand la valeur de N est passée de zéro à 10. Par ailleurs, le surface définie par des fluctuations de $\{n, w\}$ est instable à cause du fait que le mineur principe correspondant est identiquement nulle, à savoir que nous avons $p_2 = 0$. Lorsque le seul paramètre n est autorisé à varier, nous constatons que la stabilité de la configuration de ces trous noirs concernés est donnée par

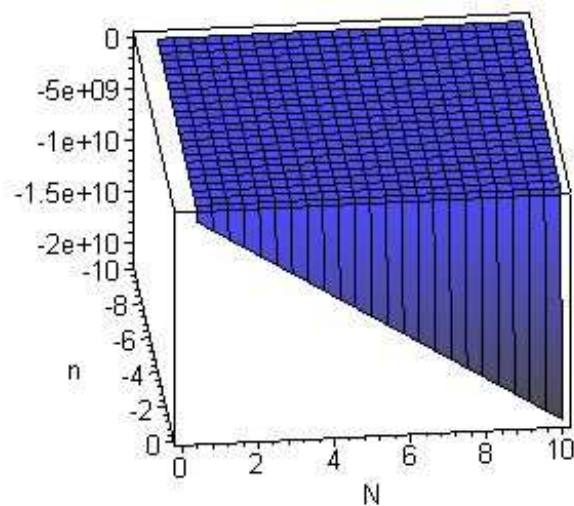


Figure 5.26: Le mineur d'hypersurface de la métrique tenseure tracée comme la fonction de $\{n, N\}$, décrivant les fluctuations dans la configuration des trous noirs chargés non-supersymétriques à l'ordre dominant.

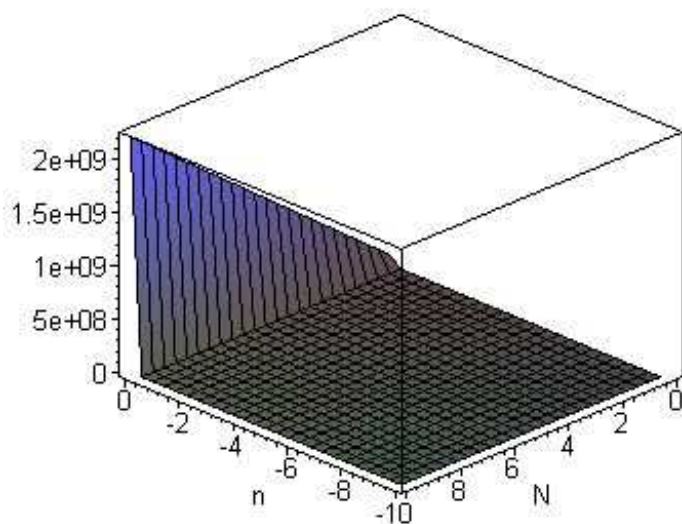


Figure 5.27: Le premier mineur de la métrique tenseure tracée comme la fonction de $\{n, N\}$, décrivant les fluctuations dans la configuration des trous noirs chargés non-supersymétriques à l'ordre dominant.

la positivité du premier mineur principe $p_1 := g_{nn}$. Comme montré dans la Fig. (5.27), nous observons que le premier mineur principe p_1 réside dans la gamme de $(0, 2 \times 10^{19})$. Les propriétés graphiques ci-dessus des composantes et la positivité des mineurs principaux de l'espace d'état fournent la notion qualitative de la stabilité statistique des trous noirs non-supersymétriques à l'ordre dominant.

En fait, comme nous avons fourni les Γ_{abc} dans l'annex [A], nous pouvons également facilement obtenir pour cette métrique tenseure $g_{ab}(n, w, N, W)$ que la courbure scalaire de Ruppenier est donnée par:

$$R = \frac{3}{2\pi\sqrt{nwNW}}, \quad (5.35)$$

qu'elle est partout régulière $\forall \vec{N}$ tel que les paramètres $\{n, w, N, W\}$ sont non-nulles.

Les propriétés globales de la stabilité découlent par le comportement de la courbure scalaire de l'espace d'état. En particulier, dans la gamme des paramètres $n \in (-10, 0)$ et $N \in (0, 10)$, la Fig. (5.28) montre que l'amplitude de la courbure scalaire de l'espace d'état tend vers une très grande valeur positive. On peut remarquer que la configuration sous-jacente des trous noirs est un système statistique fortement interagissant. Physiquement, le signe positif de la courbure scalaire signifie une répulsion de ces interactions. La Fig. (5.29) illustre la nature de ce qui précède de la courbure scalaire dans une range égale de $n, N \in (-30, 30)$. En tant que, en effet, lorsque la gamme de n et N est prise dans le multiple de 3, par exemple $(-30, 30)$, alors que nous voyons de la Fig. (5.29) qu'il y a quatre régions disjointes similaires de ces interactions statistiques globales. En comparaison des interactions apparaissant dans la gamme de $n \in (-10, 0)$ et $N \in (0, 10)$, l'amplitude de ces interactions se révèle être beaucoup plus petite dans la gamme des paramètres $n, N \in (-30, 30)$. En ce cas, nous observons que le ratio d'une amplitude typique de ces courbures scalaires semble être à l'ordre de 10^{-10} . La vue graphique ci-dessus mentionnée de cette comparaison des interactions statistiques globales découle par les Figs. (5.28,

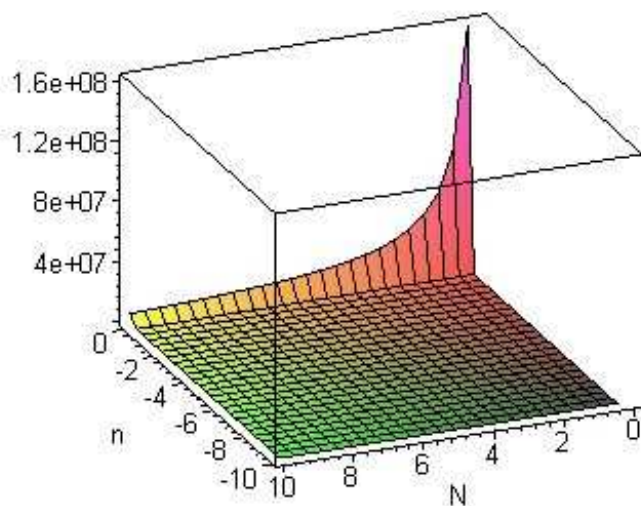


Figure 5.28: La courbure scalaire tracée en fonction de $\{n, N\}$, décrivant les fluctuations de la configuration des trous noirs chargés non-supersymétriques à l'ordre dominant dans la gamme $n \in (-10, 0)$ et $N \in (0, 10)$.

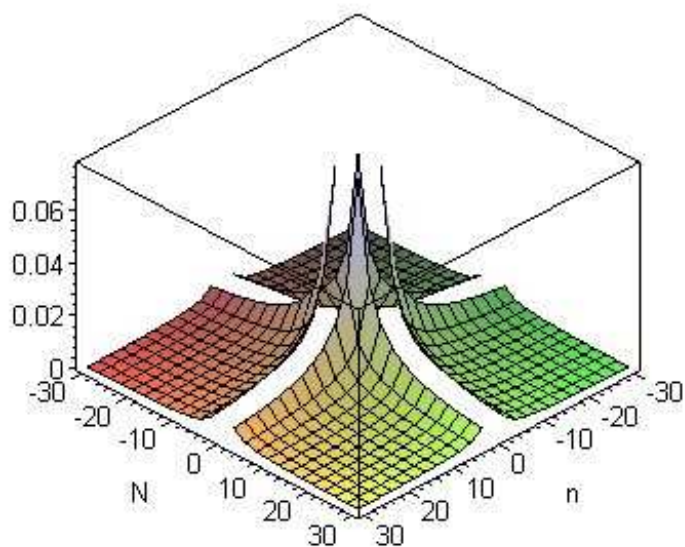


Figure 5.29: La courbure scalaire tracée en fonction de $\{n, N\}$, décrivant les fluctuations de la configuration des trous noirs chargés non-supersymétriques à l'ordre dominant dans la gamme $n, N \in (-30, 30)$.

5.29). Qualitativement, dans une petite valeur des n, N , les Figs. (5.28, 5.29) indiquent que les trous noirs non-supersymétriques correspondent à une configuration statistique interactive qu'elle est globalement instable.

Par conséquent, sans les corrections de α' , les trous noirs dyoniques extrémaux non-supersymétriques ont aussi le même déterminant de la métrique et la même courbure scalaire de Ruppenier comme les trous noirs dyoniques extrémaux supersymétriques, comme nous les avons vus dans la section précédente.

5.2.2 À l'ordre de $(\alpha')^1$

Maintenant, nous allons examiner les corrections de α' dans cette géométrie, en considérant la théorie des supercordes au niveau d'arbre de l'action effective. Soit $\hat{\alpha}$ le coefficient des dérivées supérieures, alors les contributions d'ordre premier de la théorie des supercordes à l'action effective donnent que l'entropie d'un trou noir dyonique non-supersymétrique [11] est donnée par:

$$S_{BH}^{ns} = 2\pi\sqrt{nwNW} + \frac{5\pi\hat{\alpha}}{4}\sqrt{\frac{nw}{NW}}. \quad (5.36)$$

On peut voir que les composantes de la métrique de Ruppenier sont:

$$\begin{aligned} g_{nn} &= \frac{\pi}{2n}\sqrt{\frac{wNW}{n}} + \frac{5\pi\hat{\alpha}}{16n}\sqrt{\frac{w}{nNW}}, \\ g_{nw} &= -\frac{\pi}{2}\sqrt{\frac{NW}{nw}} - \frac{5\pi\hat{\alpha}}{16\sqrt{nwNW}}, \\ g_{nN} &= -\frac{\pi}{2}\sqrt{\frac{wW}{nN}} + \frac{5\pi w\hat{\alpha}}{16N\sqrt{nwNW}}, \\ g_{nW} &= -\frac{\pi}{2}\sqrt{\frac{wN}{nW}} + \frac{5\pi w\hat{\alpha}}{16W\sqrt{nwNW}}, \end{aligned} \quad (5.37)$$

$$\begin{aligned}
 g_{ww} &= \frac{\pi}{2w} \sqrt{\frac{nNW}{w}} + \frac{5\pi n\hat{\alpha}}{16w\sqrt{nwNW}}, \\
 g_{wN} &= -\frac{\pi}{2} \sqrt{\frac{nW}{wN}} + \frac{5\pi n\hat{\alpha}}{16N\sqrt{nwNW}}, \\
 g_{wW} &= -\frac{\pi}{2} \sqrt{\frac{nN}{wW}} + \frac{5\pi n\hat{\alpha}}{16W\sqrt{nwNW}}, \\
 g_{NN} &= \frac{\pi}{2N} \sqrt{\frac{nwW}{N}} - \frac{15\pi\hat{\alpha}}{16N^2} \sqrt{\frac{nw}{NW}}, \\
 g_{NW} &= -\pi \sqrt{\frac{nw}{NW}} - \frac{5\pi\hat{\alpha}}{16NW} \sqrt{\frac{nw}{NW}}, \\
 g_{WW} &= \frac{\pi}{2W} \sqrt{\frac{nwN}{W}} - \frac{15\pi\hat{\alpha}}{16W^2} \sqrt{\frac{nw}{NW}}.
 \end{aligned} \tag{5.38}$$

Dans la limite de $n = w$, $N = W$ et $\hat{\alpha} = 0.1$, nous observons pour $n \in (-10, 0)$ et $N \in (0, 10)$ que l'amplitude des capacités de chaleurs $\{g_{nn}, g_{ww}\}$ prend la valeur maximale à l'ordre de $2 \times 10^{+09}$. Alors, les capacités de chaleurs $\{g_{NN}, g_{WW}\}$ prennent une valeur typique entre $(-4, 14)$. En fait, la gamme de la croissance de la première ensemble et la deuxième ensemble des capacités de la chaleur se trouvent être à la limite opposée des paramètres $\{n, N\}$. Explicitement, par les Figs. (5.30, 5.31), nous constatons que la croissance des capacités de chaleurs $\{g_{nn}, g_{ww}\}$ a lieu dans la limite d'un grand N et un petit n . D'autre part, par les Figs. (5.32, 5.33), nous pouvons voir facilement que la croissance de $\{g_{NN}, g_{WW}\}$ a lieu dans la limite d'un petit N et un grand n . Du fait même, les compressibilités de chaleurs en impliquant deux paramètres distincts de la configuration de ces trous noirs sont représentées dans les Figs. (5.34, 5.35, 5.36, 5.37, 5.38, 5.39). Dans ce cas, on observe que les fluctuations en impliquant $\{n, w\}$, tel qu'elle sont définies par les composantes de la métrique tenseure de l'espace d'état $\{g_{ij} \mid i, j = n, w\}$, ont relativement des plus grande valeurs numériques par rapport à celles qui impliquant $\{N, W\}$.

Par rapport à la métrique tenseure ci-dessus, nous trouvons que les corrections dérivés supérieures à l'ordre dominant conduisent les mineurs principaux suivants

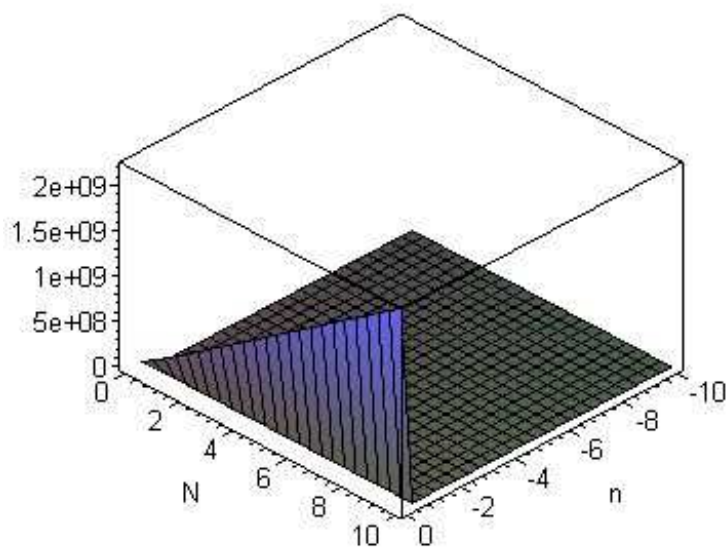


Figure 5.30: La composante nn de la métrique tenseure tracée comme la fonction de $\{n, N\}$, décrivant les fluctuations de la configuration des trous noirs chargés non-supersymétriques aux corrections de premier ordre de α' .

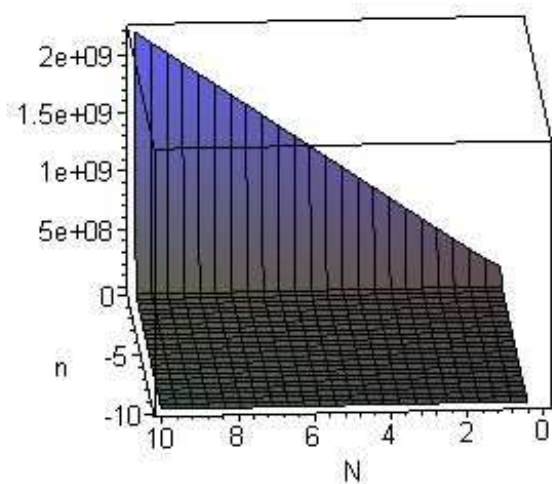


Figure 5.31: La composante ww de la métrique tenseure tracée comme la fonction de $\{n, N\}$, décrivant les fluctuations de la configuration des trous noirs chargés non-supersymétriques aux corrections de premier ordre de α' .

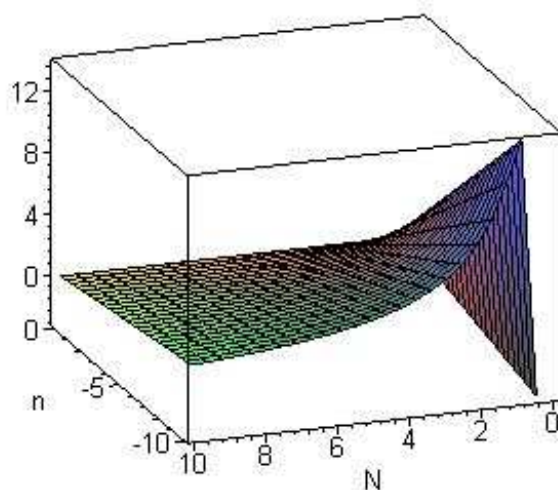


Figure 5.32: La composante NN de la métrique tenseure tracée comme la fonction de $\{n, N\}$, décrivant les fluctuations de la configuration des trous noirs chargés non-supersymétriques aux corrections de premier ordre de α' .

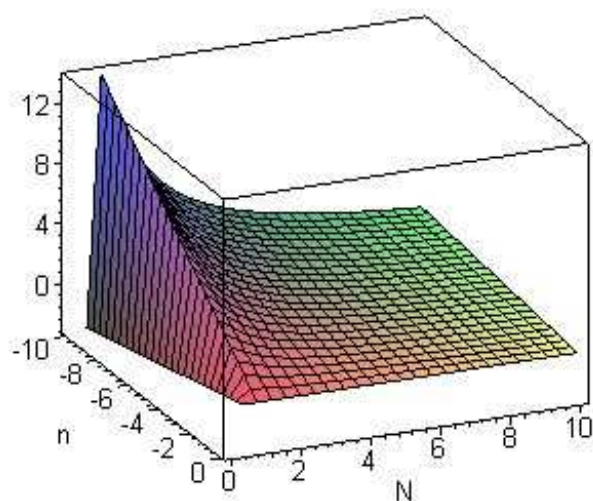


Figure 5.33: La composante WW de la métrique tenseure tracée comme la fonction de $\{n, N\}$, décrivant les fluctuations de la configuration des trous noirs chargés non-supersymétriques aux corrections de premier ordre de α' .

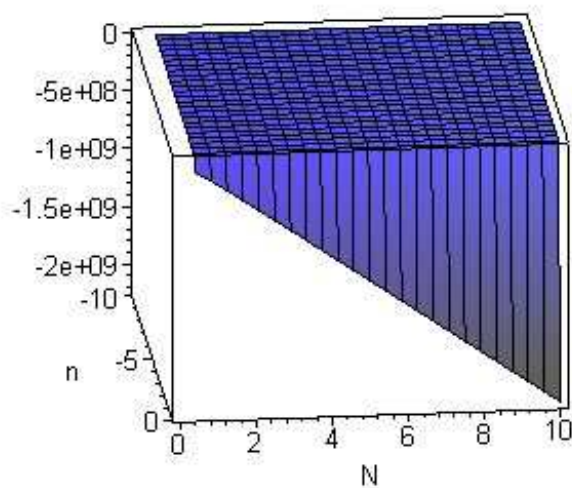


Figure 5.34: La composante nw de la métrique tenseure tracée comme la fonction de $\{n, N\}$, décrivant les fluctuations de la configuration des trous noirs chargés non-supersymétriques aux corrections de premier ordre de α' .

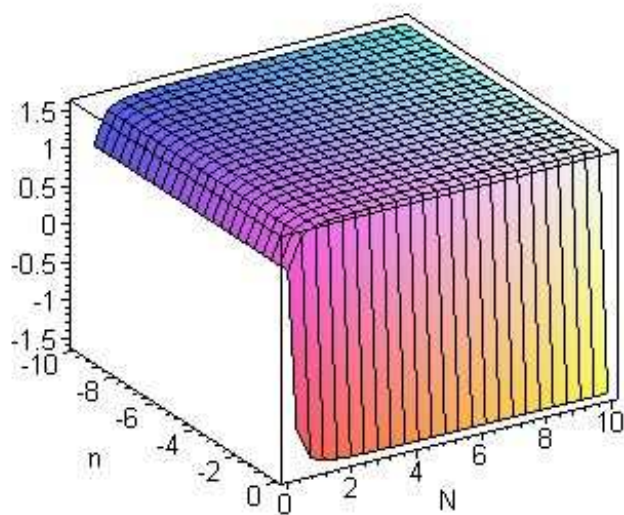


Figure 5.35: La composante nN de la métrique tenseure tracée comme la fonction de $\{n, N\}$, décrivant les fluctuations de la configuration des trous noirs chargés non-supersymétriques aux corrections de premier ordre de α' .

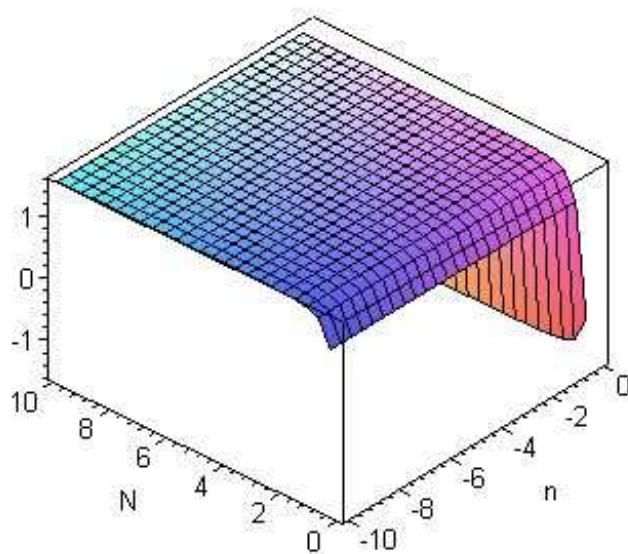


Figure 5.36: La composante nW de la métrique tenseur tracée comme la fonction de $\{n, N\}$, décrivant les fluctuations de la configuration des trous noirs chargés non-supersymétriques aux corrections de premier ordre de α' .

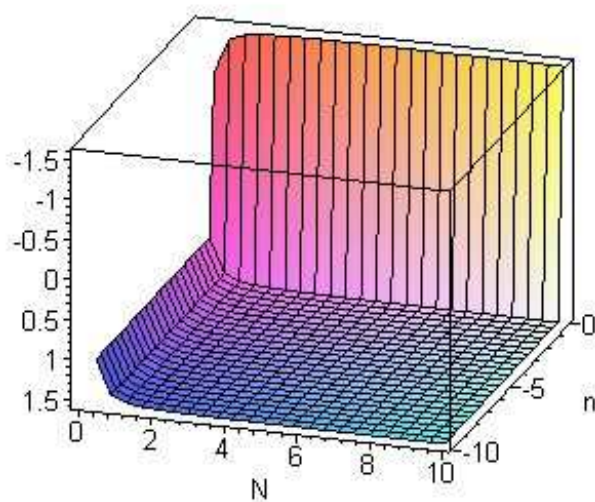


Figure 5.37: La composante wN de la métrique tenseur tracée comme la fonction de $\{n, N\}$, décrivant les fluctuations de la configuration des trous noirs chargés non-supersymétriques aux corrections de premier ordre de α' .

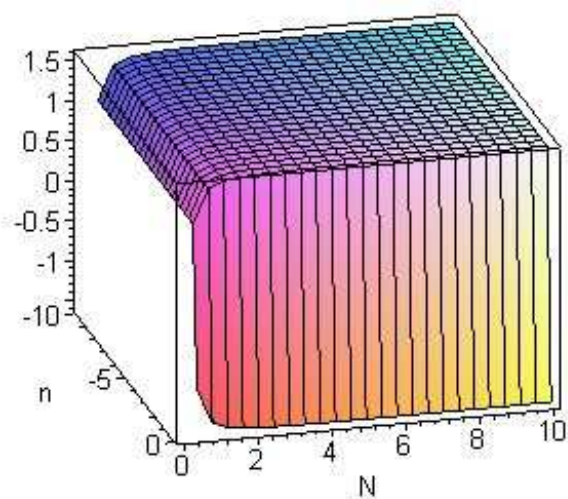


Figure 5.38: La composante wW de la métrique tenseur tracée comme la fonction de $\{n, N\}$, décrivant les fluctuations de la configuration des trous noirs chargés non-supersymétriques aux corrections de premier ordre de α' .

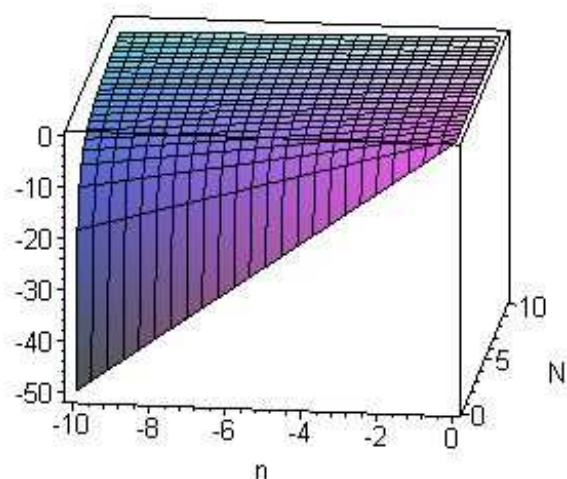


Figure 5.39: La composante NW de la métrique tenseure tracée comme la fonction de $\{n, N\}$, décrivant les fluctuations de la configuration des trous noirs chargés non-supersymétriques aux corrections de premier ordre de α' .

$$\begin{aligned}
 p_1 &= \frac{\pi}{16n} \sqrt{\frac{w}{nNW}} \tilde{p}_1(\hat{\alpha}), \\
 p_2 &= 0, \\
 p_3 &= -\frac{1}{1024} \frac{\pi^3}{(N^3 W \sqrt{nwNW})} \tilde{p}_3(\hat{\alpha}).
 \end{aligned} \tag{5.39}$$

où les fonctions $\{\tilde{p}_1(\hat{\alpha}), \tilde{p}_3(\hat{\alpha})\}$ sont définies par

$$\begin{aligned}
 \tilde{p}_1(\hat{\alpha}) &:= 5\hat{\alpha} + 8WN, \\
 \tilde{p}_3(\hat{\alpha}) &:= 125\hat{\alpha}^3 - 200NW\hat{\alpha}^2 - 320N^2W^2\hat{\alpha} + 512N^3W^3.
 \end{aligned} \tag{5.40}$$

Nous pouvons voir que le déterminant de la métrique tenseure est donné par:

$$g = \frac{\pi^4}{4096(NW)^4} \tilde{g}(N, W), \tag{5.41}$$

où la fonction $\tilde{g}(N, W)$, comme une fonction de $\hat{\alpha}$ est définie par

$$\tilde{g}(N, W) := 625\hat{\alpha}^4 - 2000\hat{\alpha}^3(NW) + 5120\hat{\alpha}(NW)^3 - 4096(NW)^4. \tag{5.42}$$

Ainsi, nous voyons que la configuration sous-jacente de ces trous noirs est assez stable dans les régions où le mineur d'hypersurface et le déterminant de la métrique tenseure sont positifs. Notamment, ça pose comme une valeur spécifique du paramètre $\hat{\alpha}$ des corrections tel que les conditions suivantes sont remplies: (i) le polynôme linéaire $\tilde{p}_1(\hat{\alpha})$ a un signe positif, (ii) le polynôme cubique $\tilde{p}_3(\hat{\alpha})$ a un signe négatif et (iii) le polynôme quartique $\tilde{g}(\hat{\alpha})$ a un signe positif. Pour tout $\hat{\alpha}$ tels que les conditions $\tilde{p}_1(\hat{\alpha}) > 0$, $\tilde{p}_3(\hat{\alpha}) < 0$ et $\tilde{g}(\hat{\alpha}) > 0$ sont remplies, la solution sous-tendante des trous noirs vienne être relativement plus stables. En fait, la stabilité relative de ces trous noirs au-dessus, c'est-à-dire que les

valeurs spécifiques du paramètre $\hat{\alpha}$ peuvent être déterminées comme les racines communes des équations cubiques et quartiques ci-dessus. Notez cependant que la disparition de la surface de mineurs, c'est-à-dire que nous avons $p_2 = 0$ évite la stabilité complète de la configuration sous-jacente de ces trous noirs.

Comme une fonction de $\{n, N\}$, la condition de la stabilité d'un ensemble de ces trous noirs découle de la positivité du déterminant de la métrique tenseure. Dans ce cas, nous voyons que le déterminant de la métrique tenseure tend vers une valeur négative. Pour une valeur typique de $n \in (-10, 0)$ et $N \in (0, 10)$, la Fig. (5.40) montre que le déterminant de la métrique tenseure réside dans l'intervalle $(-30, -100)$. En outre, la stabilité de l'hypersurface définie par une valeur constante de W est montrée dans la Fig. (5.41). Par la présente, nous voyons que le mineur p_3 réside dans la gamme de $(-2 \times 10^{+10}, 0)$. Notez bien que la négativité de p_3 augmente à mesure que la valeur de N est passée de zéro à 10. Par ailleurs, il s'avère que la surface définies par les fluctuations de $\{n, w\}$ est instable en raison du fait même que le mineur principe correspondant disparaît, à savoir que nous avons $p_2 = 0$. Quand le seulement paramètre n est autorisé à varier, la stabilité de la configuration de ces trous noirs est donnée par la positivité du premier mineur principe $p_1 := g_{nn}$. Une vue rotatée de p_1 est présentée dans la Fig. (5.42). Les propriétésgraphiques ci-dessus des mineurs principaux et la positivité des composants de la métrique tenseure de l'espace d'état fournent la notion qualitative de la stabilité statistique des non-supersymétriques trous noirs.

En fait, avec les valeurs des Γ_{abc} comme nous les avons fournis dans l'annex [A], it n'est pas difficile de voir que la courbure scalaire de Ruppenier est

$$R = -\frac{96}{\pi} \left(\frac{NW}{nw} \right)^{1/2} \frac{r_2}{\tilde{g}(N, W) r_1^2}, \quad (5.43)$$

où les fonctions $\{r_1(N, W), r_2(N, W)\}$ sont définies par:

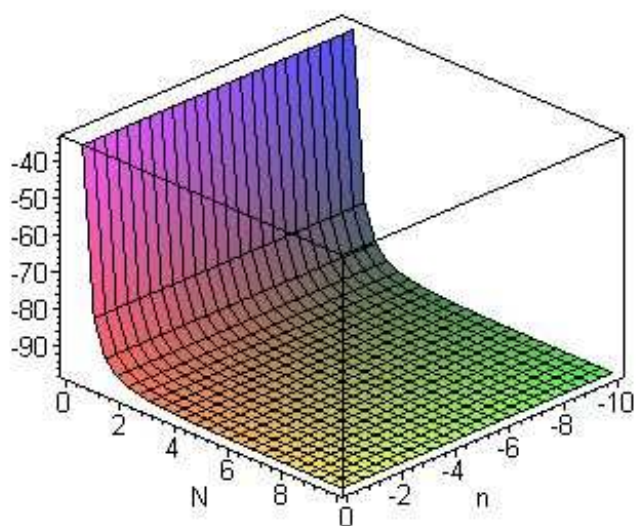


Figure 5.40: Le déterminant de la métrique tenseur tracée comme la fonction de $\{n, N\}$, décrivant les fluctuations de la configuration des trous noirs chargés non-supersymétriques aux corrections de premier ordre de α' .

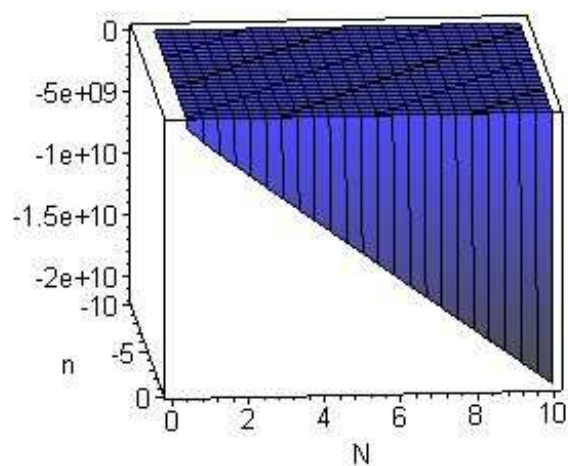


Figure 5.41: Le mineur d'hypersurface de la métrique tenseure tracée comme la fonction de $\{n, N\}$, décrivant les fluctuations de la configuration des trous noirs chargés non-supersymétriques aux corrections de premier ordre de α' .

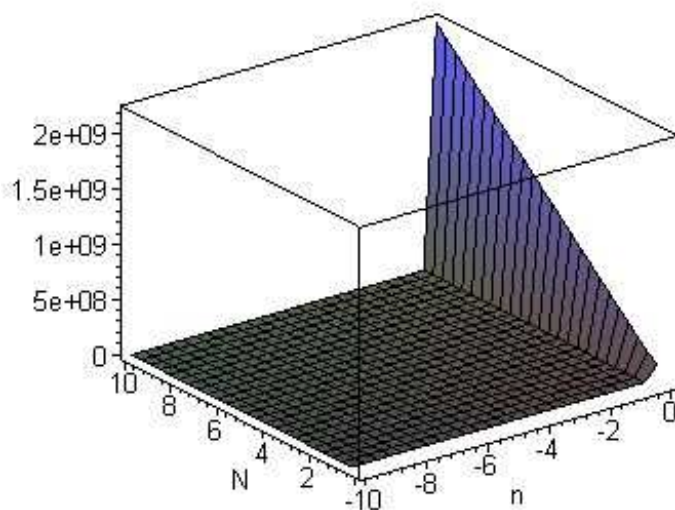


Figure 5.42: Le premier mineur de la métrique tenseur tracée comme la fonction de $\{n, N\}$, décrivant les fluctuations de la configuration des trous noirs chargés non-supersymétriques aux corrections de premier ordre de α' .

$$\begin{aligned}
 r_1 &:= 25\hat{\alpha}^2 - 80\hat{\alpha}NW + 64(NW)^2, \\
 r_2 &:= 15625\hat{\alpha}^6 - 150000\hat{\alpha}^5NW + 600000\hat{\alpha}^4(NW)^2 - 1280000\hat{\alpha}^3(NW)^3 \\
 &\quad + 1536000\hat{\alpha}^2(NW)^4 - 983040\hat{\alpha}(NW)^5 + 262144(NW)^6.
 \end{aligned} \tag{5.44}$$

Il peut sembler qu'il existe quelques divergences dans cette courbure scalaire de Ruppenier qui sont données par l'équation quadratique $r_1 = 0$. C'est-à-dire que

$$25\hat{\alpha}^2 - 80\hat{\alpha}NW + 60(NW)^2 = 0. \tag{5.45}$$

Mais cet équation implique simplement qu'on a $\{N, W\}$ tel que

$$NW = (-8 \pm \sqrt{59})\frac{\hat{\alpha}}{12}. \tag{5.46}$$

En fait, pour la configuration des charges que nous avons considéré, ça n'est pas possible parce que $N, W > 0$. Et bien, nous voyons que ces divergences de la courbure scalaire devient être vraiment possible si et seulement si $\hat{\alpha} < 0$ parce que nous avons considéré les vecteurs charges (Q, P) tel que $N', W', \hat{n} > 0$ et $\hat{w} < 0$.

De plus, les propriétés de la stabilité globale résultent du comportement de la courbure scalaire de l'espace d'état. En particulier, dans la gamme de $n \in (-10, 0)$ et $N \in (0, 10)$, la Fig. (5.43) montre que la courbure scalaire a une grande positive amplitude. On peut noter que la configuration des trous noirs sous-tendants est un système statistique fortement interagissant. Le signe positif de la courbure scalaire signifie une répulsion de ces interactions. La Fig. (5.44) illustre la nature de la courbure scalaire ci-dessus dans une range égale de $n, N \in (-30, 30)$. En fait, lorsque la gamme de n et N est prise dans le multiple de 3, par exemple $(-30, 30)$, alors que nous voyons de la Fig. (5.44) qu'il y a quatre régions disjointes similaires des interactions statistiques

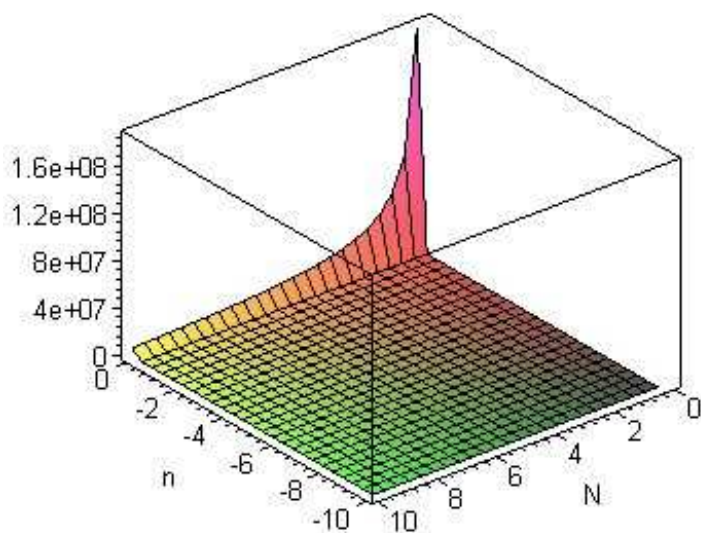


Figure 5.43: La courbure scalaire tracée comme la fonction de $\{n, N\}$, décrivant les fluctuations de la configuration des trous noirs chargés non-supersymétriques aux corrections de premier ordre de α' dans la gamme $n \in (-10, 0)$ et $N \in (0, 10)$.

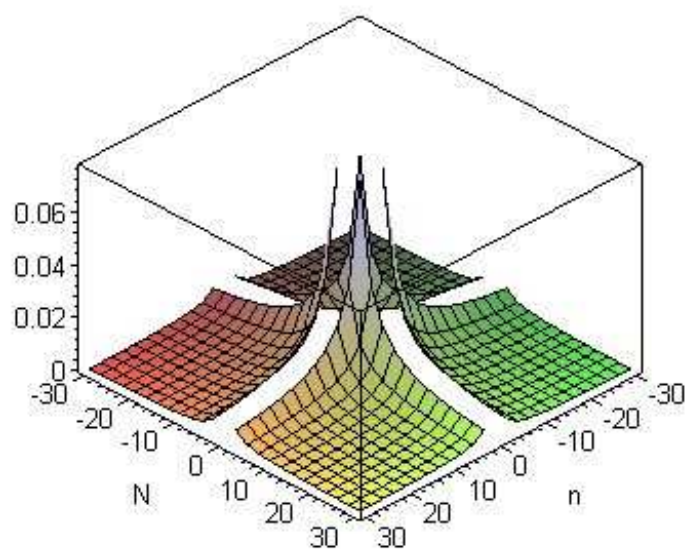


Figure 5.44: La courbure scalaire tracée comme la fonction de $\{n, N\}$, décrivant les fluctuations de la configuration des trous noirs chargés non-supersymétriques aux corrections de premier ordre de α' dans la gamme $n, N \in (-30, 30)$.

globales. En comparaison des interactions apparaissant dans la gamme de $n \in (-10, 0)$ et $N \in (0, 10)$, l'amplitude de l'interaction se révèle être beaucoup plus petit dans la gamme de $n, N \in (-30, 30)$. Le ratio de la valeur typique de l'amplitude de ces courbures scalaires semble être 10^{-10} . La vue graphique de la comparaison ci-dessus découle des Figs. (5.43, 5.44). Qualitativement, dans une petite valeur des n, N , les représentations graphiques ci-dessus indiquent que la configuration des trous noirs non-supersymétriques correspond à un système statistique instable aux corrections de premier ordre de α' .

5.2.3 À l'ordre de $(\alpha')^2$

Dans la suite, nous nous intéresserons uniquement à la cosideration d'un ordre supérieur prochain des corrections de α' . Maintenant, le Ref. [11] montre que nous pouvons étudier la géométrie thermodynamique avec les corrections de $(\alpha')^2$. En ce cas, l'entropie d'un trou noir dyonique non-supersymétrique est modifiée comme la suivante

$$S_{BH}^{ns} = 2\pi\sqrt{nwNW} + \frac{5\pi\hat{\alpha}}{4}\sqrt{\frac{nw}{NW}} - \frac{29\pi\hat{\alpha}^2}{64}\frac{\sqrt{nw}}{(NW)^{3/2}}. \quad (5.47)$$

Maintenant, les composantes de la métrique de Ruppenier sont:

$$\begin{aligned} g_{nn} &= \frac{\pi}{2n}\sqrt{\frac{wNW}{n}} + \frac{5\pi\hat{\alpha}}{16n}\sqrt{\frac{w}{nNW}} - \frac{29\pi\hat{\alpha}^2}{256nNW}\sqrt{\frac{w}{nNW}}, \\ g_{nw} &= -\frac{\pi}{2}\sqrt{\frac{NW}{nw}} - \frac{5\pi\hat{\alpha}}{16\sqrt{nwNW}} + \frac{29\pi\hat{\alpha}^2}{256NW\sqrt{nwNW}}, \\ g_{nN} &= -\frac{\pi}{2}\sqrt{\frac{wW}{nN}} + \frac{5\pi\hat{\alpha}}{16NW}\sqrt{\frac{wW}{nN}} - \frac{87\pi\hat{\alpha}^2}{256(NW)^2}\sqrt{\frac{wW}{nN}}, \\ g_{nW} &= -\frac{\pi}{2}\sqrt{\frac{wN}{nW}} + \frac{5\pi\hat{\alpha}}{16NW}\sqrt{\frac{wN}{nW}} - \frac{87\pi\hat{\alpha}^2}{256(NW)^2}\sqrt{\frac{wN}{nW}}, \end{aligned} \quad (5.48)$$

$$\begin{aligned}
 g_{ww} &= \frac{\pi}{2w} \sqrt{\frac{nNW}{w}} + \frac{5\pi\hat{\alpha}}{16w} \sqrt{\frac{n}{wNW}} - \frac{29\pi\hat{\alpha}^2}{256wNW} \sqrt{\frac{n}{wNW}}, \\
 g_{wN} &= -\frac{\pi}{2} \sqrt{\frac{nW}{wN}} + \frac{5\pi\hat{\alpha}}{16N} \sqrt{\frac{n}{wNW}} - \frac{87\pi\hat{\alpha}^2}{256(N^2W)} \sqrt{\frac{n}{wNW}}, \\
 g_{wW} &= -\frac{\pi}{2} \sqrt{\frac{nN}{wW}} + \frac{5\pi\hat{\alpha}}{16NW} \sqrt{\frac{nN}{wW}} - \frac{87\pi\hat{\alpha}^2}{256(NW)^2} \sqrt{\frac{nN}{wW}}, \\
 g_{NN} &= \frac{\pi}{2N} \sqrt{\frac{nwW}{N}} - \frac{15\pi\hat{\alpha}}{16N^2} \sqrt{\frac{nw}{NW}} + \frac{435\pi\hat{\alpha}^2}{256(N^3W)} \sqrt{\frac{nN}{wW}}, \\
 g_{NW} &= -\pi \sqrt{\frac{nw}{NW}} - \frac{5\pi\hat{\alpha}}{16NW} \sqrt{\frac{nw}{NW}} + \frac{261\pi\hat{\alpha}^2}{256(NW)^2} \sqrt{\frac{nw}{NW}}, \\
 g_{WW} &= \frac{\pi}{2W} \sqrt{\frac{nwN}{W}} - \frac{15\pi\hat{\alpha}}{16W^2} \sqrt{\frac{nw}{NW}} + \frac{435\pi\hat{\alpha}^2}{256(NW^3)} \sqrt{\frac{nw}{NW}}. \tag{5.49}
 \end{aligned}$$

Dans la limite de $n = w$, $N = W$ et $\hat{\alpha} = 0.1$, sous le second ordre des corrections de dérivées supérieures de α' , nous observons dans le régime de $n \in (-10, 0)$ et $N \in (0, 10)$ que l'amplitudes des capacités de chaleurs $\{g_{nn}, g_{ww}\}$ prend la valeur maximale à l'ordre de $2 \times 10^{+09}$. Dans cette gamme de $\{n, N\}$, nous constatons que les capacités de chaleurs $\{g_{NN}, g_{WW}\}$ restent dans la gamme de $(0, 14)$. Comme prévu au premier ordre des corrections de α' , nous voyons que la gamme de la croissance de la première ensemble et celle de la la deuxième ensemble des capacités de chaleurs reste dans la limite opposée des paramètres $\{n, N\}$. Explicitement, les Figs. (5.45, 5.46), montrent que la croissance de la première ensemble des capacités de chaleurs $\{g_{nn}, g_{ww}\}$ a lieu dans la limite d'un grand N et un petit n . De même, les Fig. (5.47, 5.48) montrent que la croissance de $\{g_{NN}, g_{WW}\}$ a lieu dans la limite d'un petit N et d'un grand n . D'autre part, les compressibilités de chaleurs en impliquant deux paramètres distincts de la configuration des trous noirs non-supersymétriques sont décrits dans les Figs.(5.49,5.50, 5.51, 5.52,5.53, 5.54). Dans ce cas, nous observons que les fluctuations en impliquant $\{n, w\}$, qui sont définies par les composantes de la métrique tenseure de l'espace d'état $\{g_{ij} \mid i, j = n, w, N, W\}$, ont relativement une grandes valeurs numériques par rapport à celles qui impliquent des paramètres $\{N, W\}$.

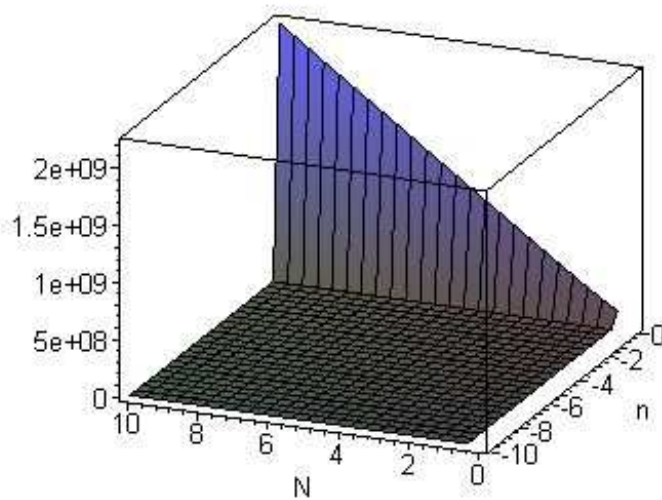


Figure 5.45: La composante nn de la métrique tenseure tracée comme la fonction de $\{n, N\}$, décrivant les fluctuations de la configuration des trous noirs chargés non-supersymétriques aux corrections de second ordre de α' .

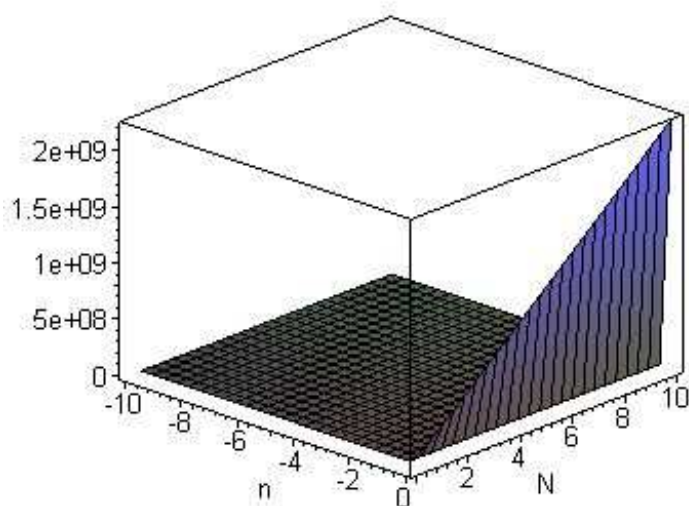


Figure 5.46: La composante ww de la métrique tenseure tracée comme la fonction de $\{n, N\}$, décrivant les fluctuations de la configuration des trous noirs chargés non-supersymétriques aux corrections de second ordre de α' .

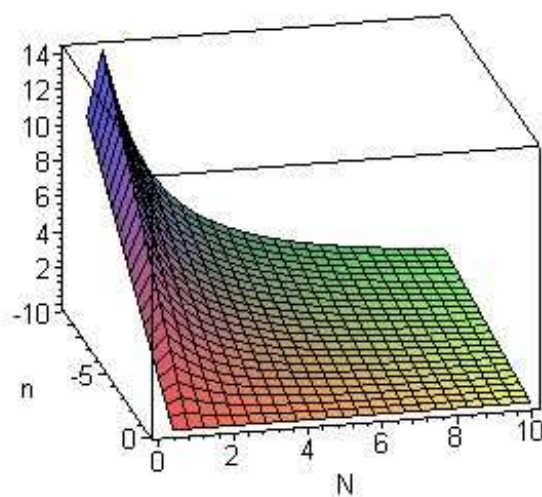


Figure 5.47: La composante NN de la métrique tenseure tracée comme la fonction de $\{n, N\}$, décrivant les fluctuations de la configuration des trous noirs chargés non-supersymétriques aux corrections de second ordre de α' .

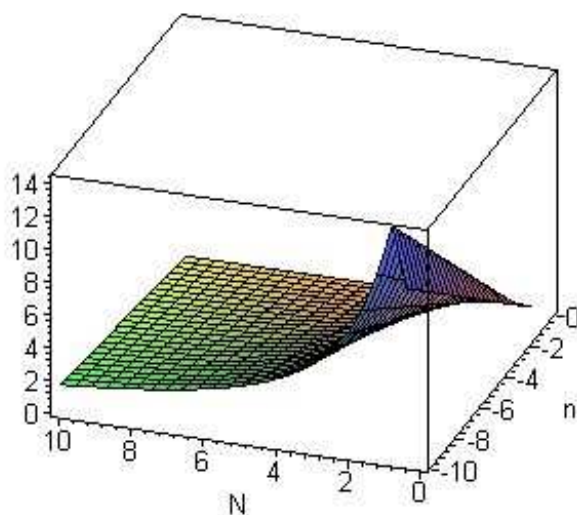


Figure 5.48: La composante WW de la métrique tenseure tracée comme la fonction de $\{n, N\}$, décrivant les fluctuations de la configuration des trous noirs chargés non-supersymétriques aux corrections de second ordre de α' .

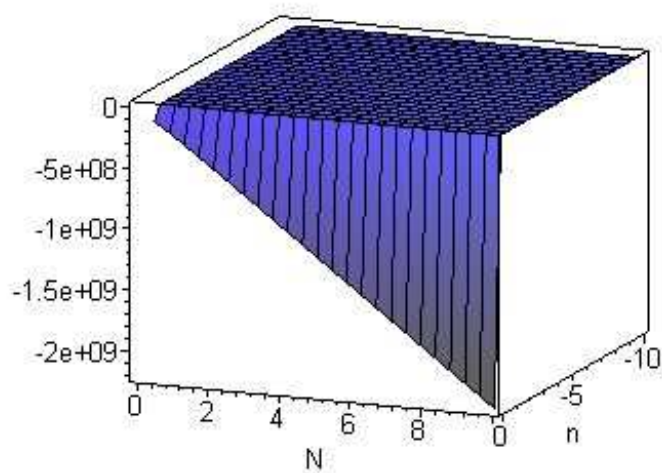


Figure 5.49: La composante nw de la métrique tenseure tracée comme la fonction de $\{n, N\}$, décrivant les fluctuations de la configuration des trous noirs chargés non-supersymétriques aux corrections de second ordre de α' .

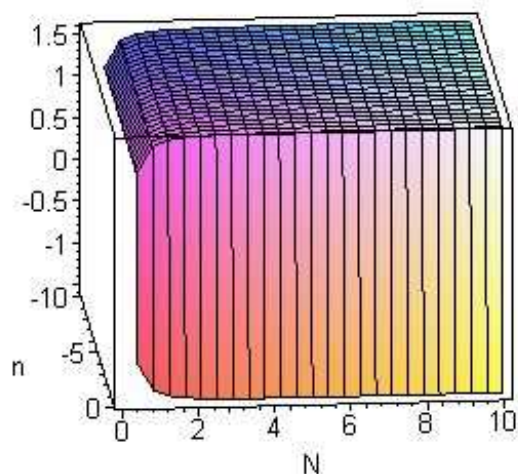


Figure 5.50: La composante nN de la métrique tenseure tracée comme la fonction de $\{n, N\}$, décrivant les fluctuations de la configuration des trous noirs chargés non-supersymétriques aux corrections de second ordre de α' .

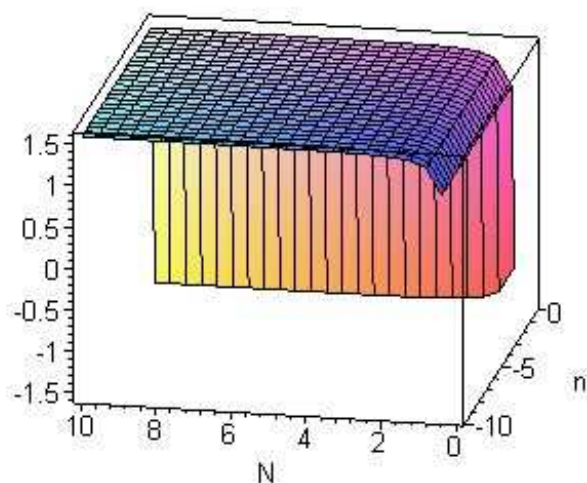


Figure 5.51: La composante nW de la métrique tenseure tracée comme la fonction de $\{n, N\}$, décrivant les fluctuations de la configuration des trous noirs chargés non-supersymétriques aux corrections de second ordre de α' .

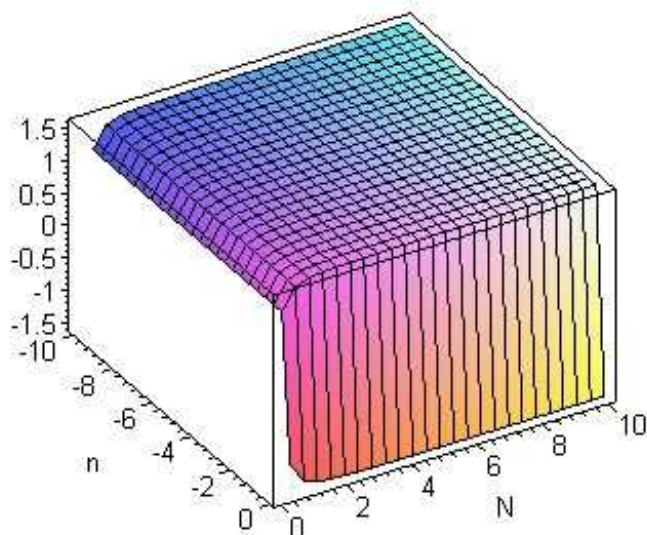


Figure 5.52: La composante wN de la métrique tenseur tracée comme la fonction de $\{n, N\}$, décrivant les fluctuations de la configuration des trous noirs chargés non-supersymétriques aux corrections de second ordre de α' .

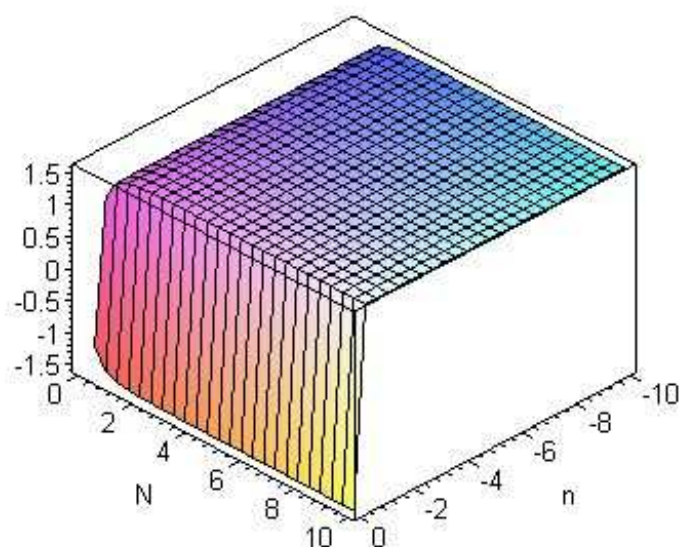


Figure 5.53: La composante wW de la métrique tenseure tracée comme la fonction de $\{n, N\}$, décrivant les fluctuations de la configuration des trous noirs chargés non-supersymétriques aux corrections de second ordre de α' .

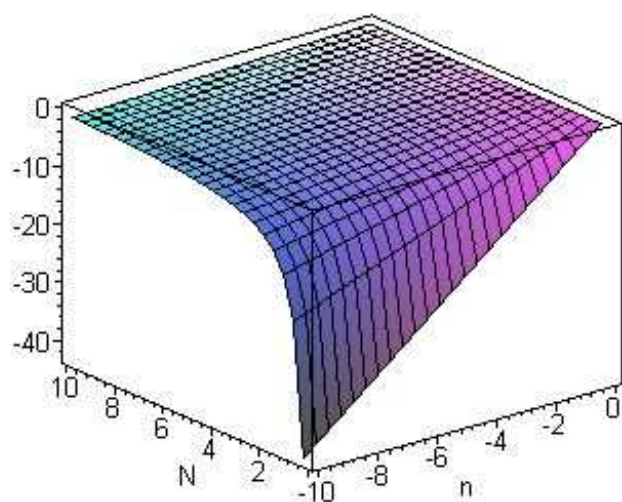


Figure 5.54: La composante NW de la métrique tenseure tracée comme la fonction de $\{n, N\}$, décrivant les fluctuations de la configuration des trous noirs chargés non-supersymétriques aux corrections de second ordre de α' .

Puisque la métrique tenseure ci-dessus est modifiés par les corrections dérivées supérieures d'ordre prochain, nous constatons que les mineurs principaux sont modifiés comme les suivants

$$\begin{aligned} p_1 &= -\frac{1}{256} \frac{\pi \sqrt{w}}{(n N W)^{(3/2)}} \tilde{p}_1(\hat{\alpha}), \\ p_2 &= 0, \\ p_3 &= \frac{1}{4194304} \frac{\pi^3}{N^{(13/2)} W^{(9/2)} \sqrt{n} \sqrt{w}} \tilde{p}_3(\hat{\alpha}). \end{aligned} \quad (5.50)$$

où les fonctions $\{\tilde{p}_1(\hat{\alpha}), \tilde{p}_3(\hat{\alpha})\}$, comme les polynômes du paramètre $\hat{\alpha}$, peuvent être exprimés par

$$\begin{aligned} \tilde{p}_1(\hat{\alpha}) &:= 29 \hat{\alpha}^2 - 80 \hat{\alpha} N W - 128 N^2 W^2, \\ \tilde{p}_3(\hat{\alpha}) &:= 219501 \hat{\alpha}^6 - 1009200 N W \hat{\alpha}^5 + 976256 N^2 W^2 \hat{\alpha}^4 \\ &\quad - 1105920 N^3 W^3 \hat{\alpha}^3 - 1556480 N^4 W^4 \hat{\alpha}^2 \\ &\quad + 1310720 N^5 W^5 \hat{\alpha} - 2097152 N^6 W^6. \end{aligned} \quad (5.51)$$

On voit sans problème que le déterminant de la métrique tenseure est:

$$g = \frac{\pi^4}{268435456 (N W)^8} \tilde{g}(N, W), \quad (5.52)$$

où la fonction $\tilde{g}(N, W)$, comme une fonction de $\hat{\alpha}$, est définie par:

$$\begin{aligned} \tilde{g}(N, W) &:= -a_0^{(2)} (N W)^8 + a_1^{(2)} \hat{\alpha} (N W)^7 - a_2^{(2)} \hat{\alpha}^2 (N W)^6 + a_3^{(2)} \hat{\alpha}^3 (N W)^5 + a_4^{(2)} \hat{\alpha}^4 (N W)^4 \\ &\quad - a_5^{(2)} \hat{\alpha}^5 (N W)^3 + a_6^{(2)} \hat{\alpha}^6 (N W)^2 - a_7^{(2)} \hat{\alpha}^7 (N W) + a_8^{(2)} \hat{\alpha}^8; \end{aligned} \quad (5.53)$$

où les constantes réelles positives $\{a_i^{(2)}\}_{i=0}^8$ sont données dans l'annex [C].

Sous les corrections de α' à l'ordre de deux, nous voyons que la configuration sous-jacente de ces trous noirs est assez stable dans les régions où les valeurs des mineurs de hypersurface et de déterminant de la métrique tenseure sont positifs. Notamment, lorsque le paramètre $\hat{\alpha}$ des corrections est tel que (i) le polynôme quadratic $\tilde{p}_1(\hat{\alpha})$ a un signe négatif, (ii) le polynôme de degré six $\tilde{p}_3(\hat{\alpha})$ a un signe positif et (iii) le polynôme de degré huit $\tilde{g}(\hat{\alpha})$ a un signe positif. Pour tout $\hat{\alpha}$ tels que les mineurs principaux $\tilde{p}_1(\hat{\alpha}) < 0$, $\tilde{p}_3(\hat{\alpha}) > 0$ et le déterminant de la métrique tenseure $\tilde{g}(\hat{\alpha}) > 0$ sont satisfaites, la solution sous-jacente de ces trous noirs est relativement stable. Ainsi, la stabilité relative de ces trous noirs au-dessus, c'est-à-dire que la valeur spécifique du paramètre $\hat{\alpha}$, peut être déterminé comme les racines communes des équations au-dessus des degrés six et huit. En outre, l'avis de la disparition du mineur de la surface, voilà, $p_2 = 0$, indique que la configuration de ces trous noirs au-dessus reste instable à ce niveau des corrections dérivées supérieures de α' à l'entropie de trou noir.

Comme une fonction de $\{n, N\}$, la stabilité de cet ensemble découle de la positivité du déterminant de la métrique tenseure. Dans ce cas, nous remarquons que le déterminant de la métrique tenseure tend vers une valeur négative. Pour une valeur typique de $n \in (-10, 0)$ et $N \in (0, 10)$, la Fig. (5.55) montre que le déterminant de la métrique tenseure réside dans l'intervalle $(-30, -100)$. De plus, la stabilité de l'hypersurface définie par une valeur constante de W est montré dans la Fig. (5.56). Par la présente, nous voyons que le mineur p_3 réside dans la gamme de $(-2.5 \times 10^{10}, 0)$. Avis que la négativité de p_3 augmente à mesure que la valeur de N est augmenté de zéro à 10. Par ailleurs, la surface définie par les fluctuations de $\{n, w\}$ est instable en raison du fait que le mineur principe correspondant est identiquement nulle, à savoir que nous avons $p_2 = 0$. Lorsque seul le paramètre n est autorisé à varier, la stabilité de la configuration de ces trous noirs est donnée par la positivité du premier mineur principe $p_1 := g_{nn}$. Une vue rotatée de p_1 est montré dans la Fig. (5.57). Les vues graphiques ci-dessus de l'espace d'état et les propriétés de la positivité des mineurs principaux concernés fournent la notion qualitative de la stabilité statistique des trous noirs non-supersymétriques.

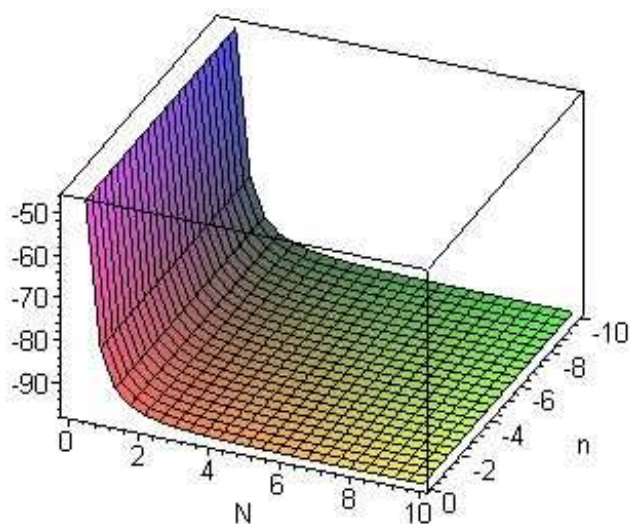


Figure 5.55: Le déterminant de la métrique tenseur tracée comme la fonction de $\{n, N\}$, décrivant les fluctuations de la configuration des trous noirs chargés non-supersymétriques aux corrections de second ordre de α' .

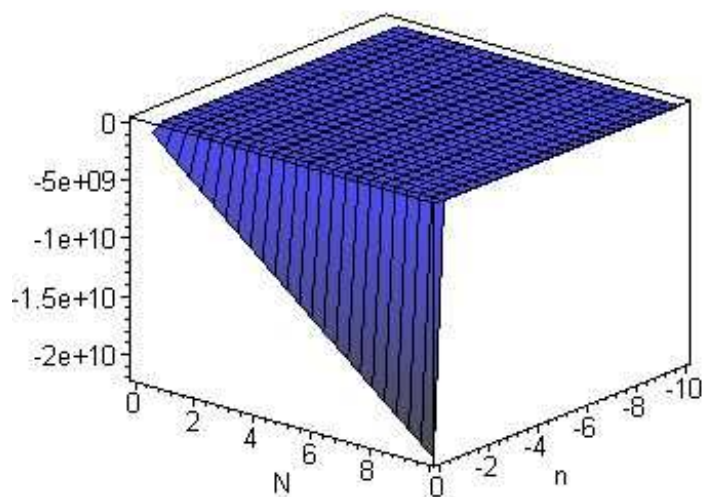


Figure 5.56: Le mineur d'hypersurface de la métrique tenseure tracée comme la fonction de $\{n, N\}$, décrivant les fluctuations de la configuration des trous noirs chargés non-supersymétriques aux corrections de second ordre de α' .

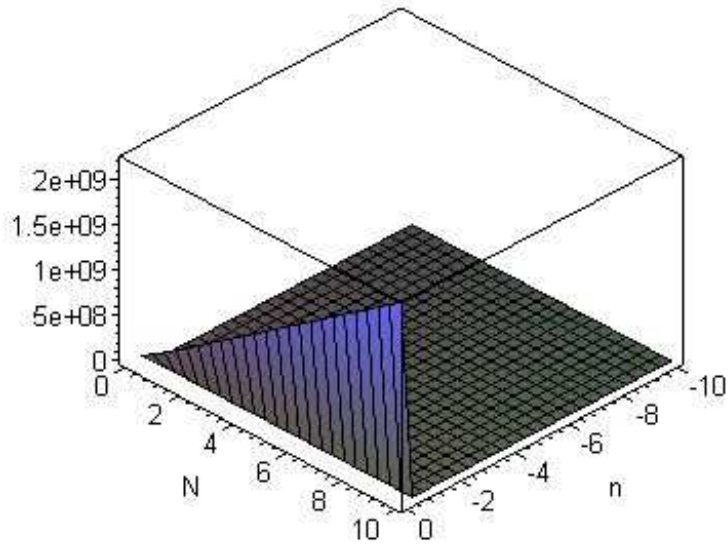


Figure 5.57: Le premier mineur de la métrique tenseure tracée comme la fonction de $\{n, N\}$, décrivant les fluctuations de la configuration des trous noirs chargés non-supersymétriques aux corrections de second ordre de α' .

Finalement, comme nous avons fourni les Γ_{abc} dans l'annex [A], nous pourrions bien sûr refaire le même genre de calcul avec cette $g_{ab}(n, w, N, W)$ corrigée par les corrections de $(\alpha')^2$. En fait, nous obtenons que la courbure scalaire de Ruppenier est donnée par:

$$R = -\frac{192}{\pi}(NW)\left(\frac{NW}{nw}\right)^{1/2}\frac{r(N, W)}{\tilde{g}(N, W)^3}, \quad (5.54)$$

où la fonction $r(N, W)$ est définie par

$$\begin{aligned} r(N, W) := & b_0^{(2)}(NW)^{22} - b_1^{(2)}(NW)^{21}\hat{\alpha} + b_2^{(2)}(NW)^{20}\hat{\alpha}^2 - b_3^{(2)}(NW)^{19}\hat{\alpha}^3 \\ & + b_4^{(2)}(NW)^{18}\hat{\alpha}^4 - b_5^{(2)}(NW)^{17}\hat{\alpha}^5 + b_6^{(2)}(NW)^{16}\hat{\alpha}^6 + b_7^{(2)}(NW)^{15}\hat{\alpha}^7 \\ & - b_8^{(2)}(NW)^{14}\hat{\alpha}^8 + b_9^{(2)}(NW)^{13}\hat{\alpha}^9 - b_{10}^{(2)}(NW)^{12}\hat{\alpha}^{10} + b_{11}^{(2)}(NW)^{11}\hat{\alpha}^{11} \\ & - b_{12}^{(2)}(NW)^{10}\hat{\alpha}^{12} - b_{13}^{(2)}(NW)^9\hat{\alpha}^{13} + b_{14}^{(2)}(NW)^8\hat{\alpha}^{14} - b_{15}^{(2)}(NW)^7\hat{\alpha}^{15} \\ & + b_{16}^{(2)}(NW)^6\hat{\alpha}^{16} - b_{17}^{(2)}(NW)^5\hat{\alpha}^{17} + b_{18}^{(2)}(NW)^4\hat{\alpha}^{18} - b_{19}^{(2)}(NW)^3\hat{\alpha}^{19} \\ & + b_{20}^{(2)}(NW)^2\hat{\alpha}^{20} - b_{21}^{(2)}(NW)\hat{\alpha}^{21} + b_{22}^{(2)}\hat{\alpha}^{22}, \end{aligned} \quad (5.55)$$

où les constantes réelles positives $\{a_i^{(2)}\}_{i=0}^8$ ce qui apprirent à la fonction $\tilde{g}(N, W)$ et $\{b_i^{(2)}\}_{i=0}^{22}$ et ce qui apprirent à la fonction $r(N, W)$ sont données dans l'annex [C]. En ce cas, $\forall \tilde{g}(N, W) \neq 0$ on voit que cette curbure scalaire de Ruppenier est partout régulière.

De plus, les propriétés de la stabilité globale résulte du comportement de la courbure scalaire de l'espace d'état. En particulier, dans la gamme de $n \in (-10, 0)$ et $N \in (0, 10)$, la Fig. (5.58) montre que la courbure scalaire a une grande amplitude positive. On peut noter bien que la configuration des trous noirs sous-tendants est un système statistique fortement interagissant. Le signe positif de la courbure scalaire signifie la nature répulsive des interactions statistiques. La Fig. (5.59) illustre la nature de la courbure scalaire ci-dessus dans une range égale des paramètres $n, N \in (-30, 30)$. En fait, lorsque la gamme de n et N est prise en le multiple de 3, par exemple $(-30, 30)$, alors que nous voyons de la Fig.

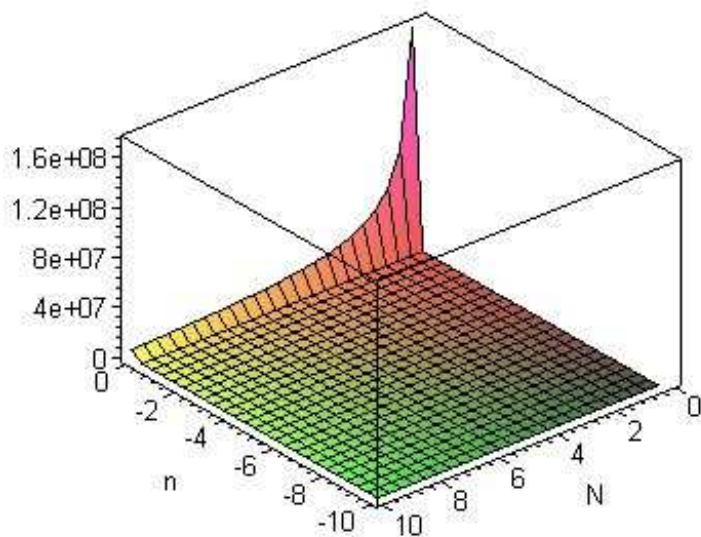


Figure 5.58: La courbure scalaire tracée comme la fonction de $\{n, N\}$, décrivant les fluctuations de la configuration des trous noirs chargés non-supersymétriques aux corrections de second ordre de α' dans la gamme $n \in (-10, 0)$ et $N \in (0, 10)$.

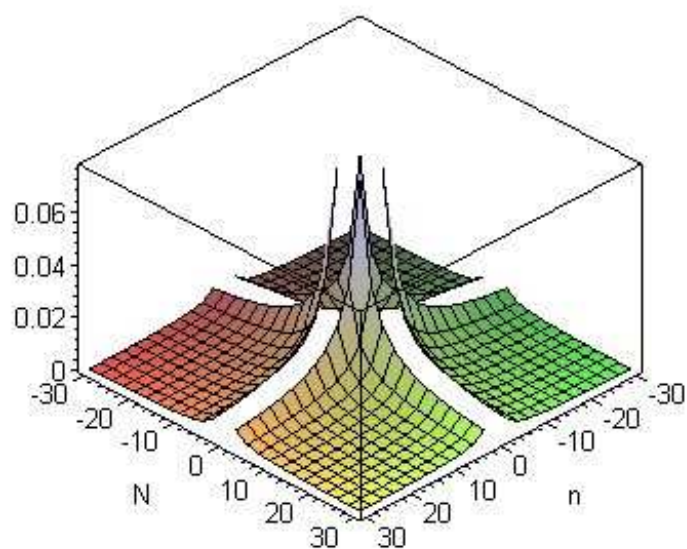


Figure 5.59: La courbure scalaire tracée comme la fonction de $\{n, N\}$, décrivant les fluctuations de la configuration des trous noirs chargés non-supersymétriques aux corrections de second ordre de α' dans la gamme $n, N \in (-30, 30)$.

(5.59) qu'il existe quatre régions disjointes similaires de l'interaction statistique globale. En comparaison des interactions apparaissant dans la gamme de $n \in (-10, 0)$ et $N \in (0, 10)$, l'amplitude des interactions statistiques globales se révèlent être beaucoup plus petit ce qui figurant dans la gamme de $n, N \in (-30, 30)$. Comme mentionné avant pour le cas de premier ordre des corrections de α' , le ration de la valeur typique de l'amplitude de ces courbures scalaires de l'espace d'état semble être 10^{-10} . La vue graphique de la comparaison ci-dessus découle par les Figs. (5.58, 5.59). Qualitativement, dans les petites valeurs de n, N , les représentations graphiques ci-dessus indiquent que ces trous noirs non-supersymétriques de la théorie des cordes correspondent aux configurations statistiques instables aux corrections de second ordre de α' .

5.2.4 À l'ordre de $(\alpha')^3$

Ensuite, nous enquêtons sur la géométrie thermodynamique avec les corrections de $(\alpha')^3$ d'un autre ordre supérieur prochain, à l'entropie d'un trou noir dyonique non-supersymétriques [11] qu'elle est modifié à:

$$S_{BH}^{ns} = 2\pi\sqrt{nwNW} + \frac{5\pi\hat{\alpha}}{4}\sqrt{\frac{nw}{NW}} - \frac{29\pi\hat{\alpha}^2}{64}\frac{\sqrt{nw}}{(NW)^{3/2}} - \frac{119\pi\hat{\alpha}^3}{512}\frac{\sqrt{nw}}{(NW)^{5/2}}. \quad (5.56)$$

Cette fois, on voit que les composantes de la métrique tenseure de Ruppenier sont:

$$\begin{aligned} g_{nn} &= \frac{\pi}{2n}\sqrt{\frac{wNW}{n}} + \frac{5\pi\hat{\alpha}}{16n}\sqrt{\frac{w}{nNW}} - \frac{29\pi\hat{\alpha}^2}{256nNW}\sqrt{\frac{w}{nNW}} - \frac{119\pi\hat{\alpha}^3}{2048n(NW)^2}\sqrt{\frac{w}{nNW}}, \\ g_{nw} &= -\frac{\pi}{2}\sqrt{\frac{NW}{nw}} - \frac{5\pi\hat{\alpha}}{16\sqrt{nwNW}} + \frac{29\pi\hat{\alpha}^2}{256NW\sqrt{nwNW}} + \frac{119\pi\hat{\alpha}^3}{2048(NW)^2\sqrt{nwNW}}, \\ g_{nN} &= -\frac{\pi}{2}\sqrt{\frac{wW}{nN}} + \frac{5\pi\hat{\alpha}}{16NW}\sqrt{\frac{wW}{nN}} - \frac{87\pi\hat{\alpha}^2}{256(NW)^2}\sqrt{\frac{wW}{nN}} - \frac{595\pi\hat{\alpha}^3}{2048(NW)^3}\sqrt{\frac{wW}{nN}}, \\ g_{nW} &= -\frac{\pi}{2}\sqrt{\frac{wN}{nW}} + \frac{5\pi\hat{\alpha}}{16NW}\sqrt{\frac{wN}{nW}} - \frac{87\pi\hat{\alpha}^2}{256(NW)^2}\sqrt{\frac{wN}{nW}} - \frac{595\pi\hat{\alpha}^3}{2048(NW)^3}\sqrt{\frac{wN}{nW}}, \end{aligned} \quad (5.57)$$

$$\begin{aligned}
 g_{ww} &= \frac{\pi}{2w} \sqrt{\frac{nNW}{w}} + \frac{5\pi\hat{\alpha}}{16w} \sqrt{\frac{n}{wNW}} - \frac{29\pi\hat{\alpha}^2}{256wNW} \sqrt{\frac{n}{wNW}} - \frac{119\pi\hat{\alpha}^3}{2048w(NW)^2} \sqrt{\frac{n}{wNW}}, \\
 g_{wN} &= -\frac{\pi}{2} \sqrt{\frac{nW}{wN}} + \frac{5\pi\hat{\alpha}}{16NW} \sqrt{\frac{nW}{wN}} - \frac{87\pi\hat{\alpha}^2}{256(NW)^2} \sqrt{\frac{nW}{wN}} - \frac{595\pi\hat{\alpha}^3}{2048(NW)^3} \sqrt{\frac{nW}{wN}}, \\
 g_{wW} &= -\frac{\pi}{2} \sqrt{\frac{nN}{wW}} + \frac{5\pi\hat{\alpha}}{16NW} \sqrt{\frac{nN}{wW}} - \frac{87\pi\hat{\alpha}^2}{256(NW)^2} \sqrt{\frac{nN}{wW}} - \frac{595\pi\hat{\alpha}^3}{2048(NW)^3} \sqrt{\frac{nN}{wW}}, \\
 g_{NN} &= \frac{\pi}{2N} \sqrt{\frac{nwW}{N}} - \frac{15\pi\hat{\alpha}}{16N^2} \sqrt{\frac{nw}{NW}} + \frac{435\pi\hat{\alpha}^2}{256(N^3W)} \sqrt{\frac{nw}{NW}} + \frac{4165\pi\hat{\alpha}^3}{2048(N^4W^2)} \sqrt{\frac{nw}{NW}}, \\
 g_{NW} &= -\frac{\pi}{2} \sqrt{\frac{nw}{NW}} - \frac{5\pi\hat{\alpha}}{16NW} \sqrt{\frac{nw}{NW}} + \frac{261\pi\hat{\alpha}^2}{256(NW)^2} \sqrt{\frac{nw}{NW}} + \frac{2975\pi\hat{\alpha}^3}{2048(NW)^3} \sqrt{\frac{nw}{NW}}, \\
 g_{WW} &= \frac{\pi}{2W} \sqrt{\frac{nwN}{W}} - \frac{15\pi\hat{\alpha}}{16W^2} \sqrt{\frac{nw}{NW}} + \frac{435\pi\hat{\alpha}^2}{256(NW^3)} \sqrt{\frac{nw}{NW}} + \frac{4165\pi\hat{\alpha}^3}{2048(N^2W^4)} \sqrt{\frac{nw}{NW}}. \tag{5.58}
 \end{aligned}$$

Comme mentionné dans la section précédente, nous allons bien continuer à offrir les représentations graphiques dans la limite de $n = w$, $N = W$ et $\hat{\alpha} = 0.1$. Sous les corrections du troisième ordre de α' , nous trouvons dans le régime de $n \in (-10, 0)$ et $N \in (0, 10)$ que l'amplitude des capacités de chaleurs $\{g_{nn}, g_{ww}\}$ prend la valeur maximale à l'ordre de $2 \times 10^{+09}$. Dans cette gamme de $\{n, N\}$, nous observons que les capacités de chaleurs $\{g_{NN}, g_{WW}\}$ se situent dans la gamme de $(0, 70)$. Comme prévu au second ordre des corrections de α' , nous voyons en ce cas aussi que la gamme de la première ensemble et celle de la deuxième ensemble des capacités de chaleurs reste dans la limite opposée des paramètres $\{n, N\}$. Explicitement, les Figs. (5.60, 5.61) indiquent que la croissance de premier ensemble des capacités de chaleurs $\{g_{nn}, g_{ww}\}$ a lieu dans la limite d'un grand N et un petit n . Cela signifie que les corrections de dérivées supérieures ne modifient pas significativement le comportement thermodynamique de la configuration des trous noirs non-supersymétriques. De plus, les Figs. (5.62, 5.63) montrent que la croissance de $\{g_{NN}, g_{WW}\}$ a lieu dans la limite d'un petit N et d'un grand n . D'autre part, les compressibilités de chaleurs en impliquant deux paramètres distincts d'une configuration donnée des trous noirs non-supersymétriques de la théorie des cordes sont représentés dans les Figs. (5.64, 5.65, 5.66, 5.67, 5.68, 5.69). A cet ordre des corrections de dérivées

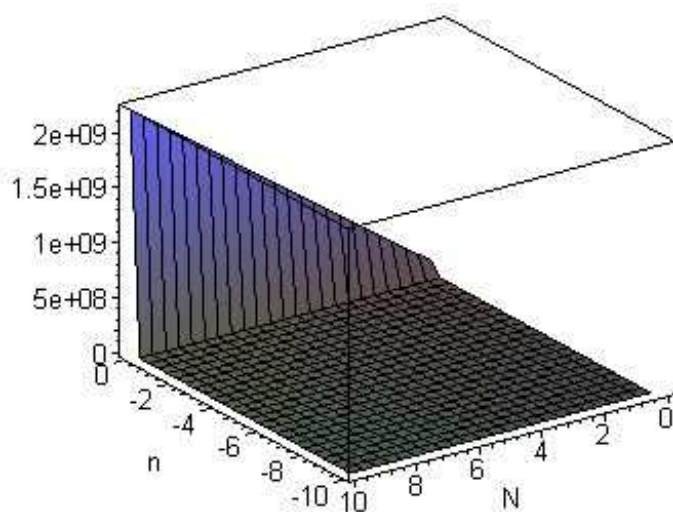


Figure 5.60: La composante nn de la métrique tenseure tracée comme la fonction de $\{n, N\}$, décrivant les fluctuations de la configuration des trous noirs chargés non-supersymétriques aux corrections de troisième ordre de α' .

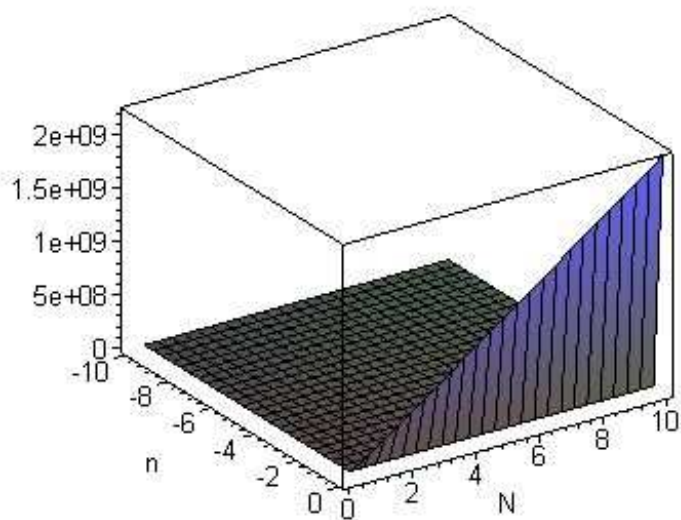


Figure 5.61: La composante $w w$ de la métrique tenseure tracée comme la fonction de $\{n, N\}$, décrivant les fluctuations de la configuration des trous noirs chargés non-supersymétriques aux corrections de troisième ordre de α' .

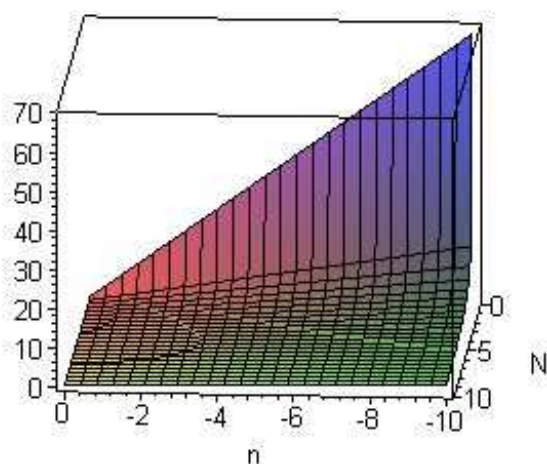


Figure 5.62: La composante NN de la métrique tenseure tracée comme la fonction de $\{n, N\}$, décrivant les fluctuations de la configuration des trous noirs chargés non-supersymétriques aux corrections de troisième ordre de α' .

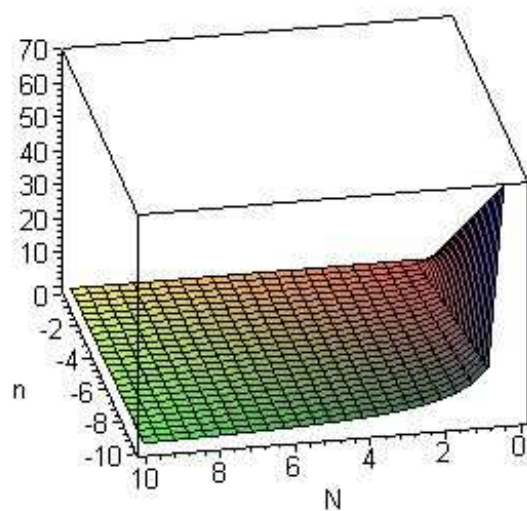


Figure 5.63: La composante WW de la métrique tenseure tracée comme la fonction de $\{n, N\}$, décrivant les fluctuations de la configuration des trous noirs chargés non-supersymétriques aux corrections de troisième ordre de α' .

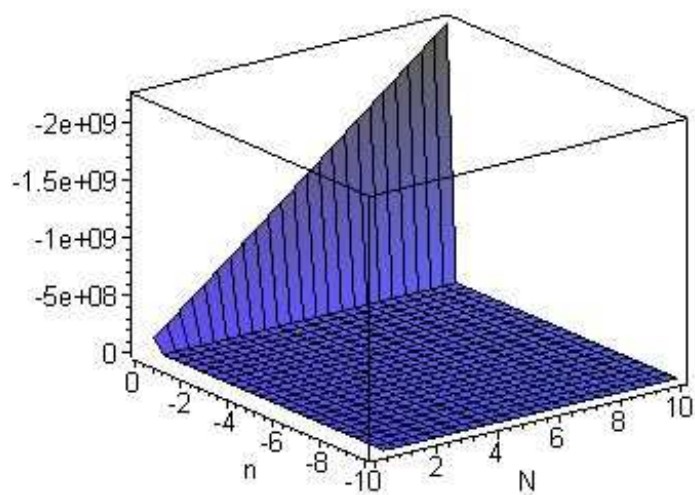


Figure 5.64: La composante nw de la métrique tenseure tracée comme la fonction de $\{n, N\}$, décrivant les fluctuations de la configuration des trous noirs chargés non-supersymétriques aux corrections de troisième ordre de α' .

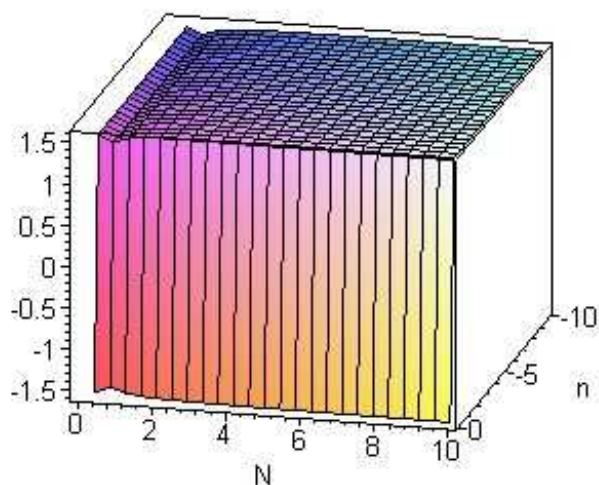


Figure 5.65: La composante nN de la métrique tenseure tracée comme la fonction de $\{n, N\}$, décrivant les fluctuations de la configuration des trous noirs chargés non-supersymétriques aux corrections de troisième ordre de α' .

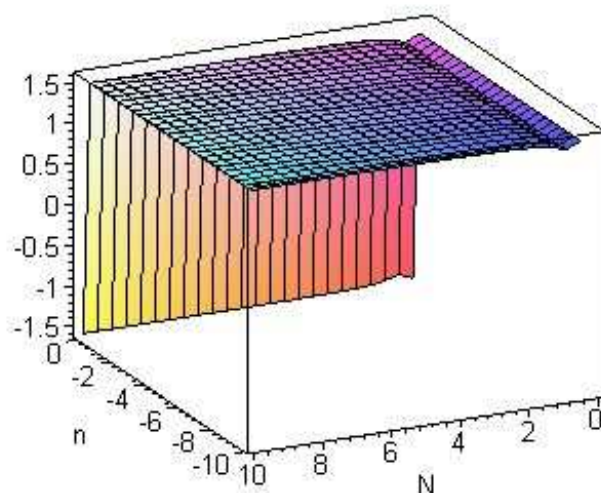


Figure 5.66: La composante nW de la métrique tenseur tracée comme la fonction de $\{n, N\}$, décrivant les fluctuations de la configuration des trous noirs chargés non-supersymétriques aux corrections de troisième ordre de α' .

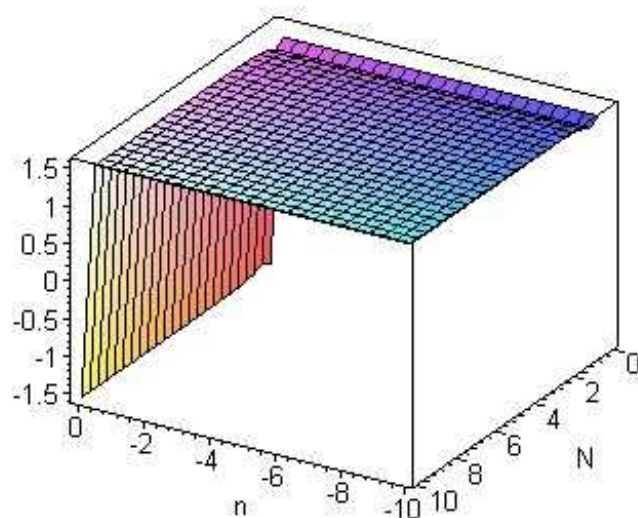


Figure 5.67: La composante wN de la métrique tenseure tracée comme la fonction de $\{n, N\}$, décrivant les fluctuations de la configuration des trous noirs chargés non-supersymétriques aux corrections de troisième ordre de α' .

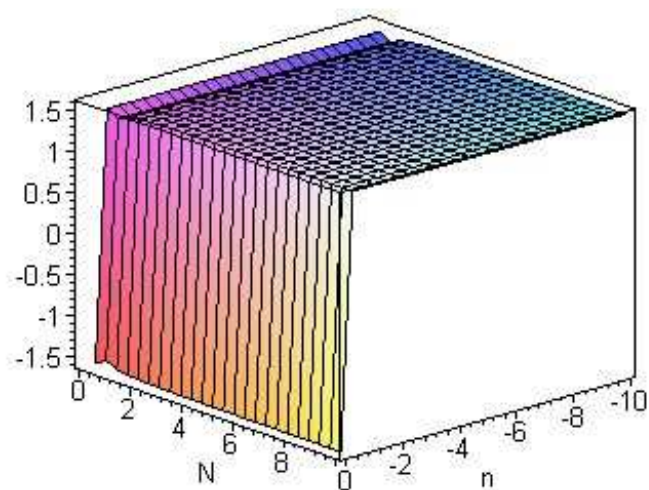


Figure 5.68: La composante wW de la métrique tenseure tracée comme la fonction de $\{n, N\}$, décrivant les fluctuations de la configuration des trous noirs chargés non-supersymétriques aux corrections de troisième ordre de α' .

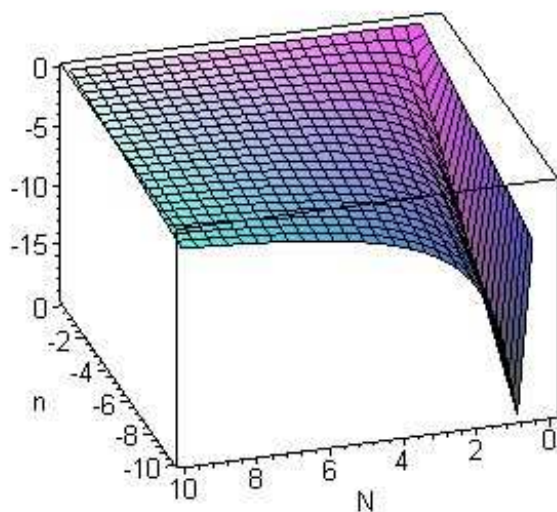


Figure 5.69: La composante NW de la métrique tenseure tracée comme la fonction de $\{n, N\}$, décrivant les fluctuations de la configuration des trous noirs chargés non-supersymétriques aux corrections de troisième ordre de α' .

supérieures de α' aux trous noirs non-supersymétriques, nous remarquons que les fluctuations, en impliquant $\{n, w\}$, tel qu'elle sont définies par les composantes de la métrique tenseure de l'espace d'état $\{g_{ij} \mid i, j = n, w, N, W\}$, ont relativement des plus grande valeurs numériques en comparision de celles qui impliquant $\{N, W\}$.

Par la métrique tenseure donn'ee ci-dessus, nous constatons que l'ordre immédiatement des corrections dérivées supérieures conduisent les mineurs principaux suivants

$$\begin{aligned}
 p_1 &= -\frac{1}{2048} \frac{\pi \sqrt{w}}{n^{(3/2)} (N W)^{(5/2)}} \tilde{p}_1(\hat{\alpha}), \\
 p_2 &= 0, \\
 p_3 &= \frac{1}{2147483648} \frac{\pi^3}{N^{(19/2)} W^{(15/2)} \sqrt{nw}} \tilde{p}_3(\hat{\alpha}).
 \end{aligned} \tag{5.59}$$

où les fonctions $\{\tilde{p}_1(\hat{\alpha}), \tilde{p}_3(\hat{\alpha})\}$ sont définies comme

$$\begin{aligned}
 \tilde{p}_1(\hat{\alpha}) &:= +119 \hat{\alpha}^3 + 232 \hat{\alpha}^2 N W - 640 N^2 W^2 \hat{\alpha} - 1024 N^3 W^3, \\
 \tilde{p}_3(\hat{\alpha}) &:= +42128975 \hat{\alpha}^9 + 180694360 N W \hat{\alpha}^8 - 67409216 N^2 W^2 \hat{\alpha}^7 \\
 &\quad - 917907968 N^3 W^3 \hat{\alpha}^6 - 376332288 N^4 W^4 \hat{\alpha}^5 \\
 &\quad + 343867392 N^5 W^5 \hat{\alpha}^4 - 1689255936 N^6 W^6 \hat{\alpha}^3 \\
 &\quad - 796917760 N^7 W^7 \hat{\alpha}^2 + 671088640 N^8 W^8 \hat{\alpha} \\
 &\quad - 1073741824 N^9 W^9.
 \end{aligned} \tag{5.60}$$

Il n'est pas aussi difficile de voir que le déterminant de la métrique tenseure est:

$$g = \frac{\pi^4}{1099511627776 (N W)^{12}} \tilde{g}(N, W), \tag{5.61}$$

où la fonction $\tilde{g}(N, W)$, comme une fonction de $\hat{\alpha}$, est définie par:

$$\begin{aligned}
 \tilde{g}(N, W) = & -a_0^{(3)}(NW)^{12} + a_1^{(3)}(NW)^{11}\hat{\alpha} - a_2^{(3)}(NW)^{10}\hat{\alpha}^2 - a_3^{(3)}(NW)^9\hat{\alpha}^3 \\
 & + a_4^{(3)}(NW)^8\hat{\alpha}^4 - a_5^{(3)}(NW)^7\hat{\alpha}^5 - a_6^{(3)}(NW)^6\hat{\alpha}^6 + a_7^{(3)}(NW)^5\hat{\alpha}^7 \\
 & - a_8^{(3)}(NW)^4\hat{\alpha}^8 - a_9^{(3)}(NW)^3\hat{\alpha}^9 + a_{10}^{(3)}(NW)^2\hat{\alpha}^{10} + a_{11}^{(3)}(NW)\hat{\alpha}^{11} \\
 & + a_{12}^{(3)}\hat{\alpha}^{12}, \tag{5.62}
 \end{aligned}$$

où les constantes réelles positives $\{a_i^{(3)}\}$ sont données dans l'annex [C].

Sous le troisième ordre des corrections dérivées supérieures de α' , nous constatons que la configuration sous-jacente de ces trous noirs est relativement stable dans les régions où les mineurs de l'hypersurface correspondante et le déterminant de la métrique tenseure prennent des valeurs positives. Notamment, lorsque le paramètre $\hat{\alpha}$ des corrections est tel que (i) le polynôme cubique $\tilde{p}_1(\hat{\alpha})$ a un signe négatif, (ii) le polynôme $\tilde{p}_3(\hat{\alpha})$ de degré neuf a un signe positif et (iii) le polynôme $\tilde{g}(\hat{\alpha})$ de degré douze a un signe positif. Pour tout $\hat{\alpha}$ tels que les mineurs principaux $\tilde{p}_1(\hat{\alpha}) < 0$, $\tilde{p}_3(\hat{\alpha}) > 0$ et le déterminant de la métrique tenseure $\tilde{g}(\hat{\alpha}) > 0$ sont satisfaites, la solution sous-jacente de ces trous noirs est relativement stable. Ainsi, la stabilité relative de ces trous noirs au-dessus, c'est-à-dire que la valeur spécifique du paramètre $\hat{\alpha}$ peut être déterminée comme les racines communes des polynômes ci-dessus. Par ailleurs, la disparition de mineur de surface $p_2 = 0$ montre que la configuration sous-jacente de ces trous noirs reste instable au troisième ordre des corrections dérivés supérieures à l'entropie. Par la suite, nous supposons que les corrections perturbatives de la théorie des cordes ne sont pas suffisantes pour produire la stabilité thermodynamique des trous noirs non-supersymétriques de quatre dimensions.

Comme mentionné précédemment, la stabilité d'un ensemble de système de ces trous noirs chargés non-supersymétriques peut être déterminée comme la fonction de $\{n, N\}$. Cela découle de la positivité du déterminant de la métrique tenseure. Dans ce cas, nous constatons que le déterminant de la métrique tenseure tend vers une valeur négative. Pour une valeur typique de $n \in (-10, 0)$ et $N \in (0, 10)$, la Fig. (5.70) montre que le

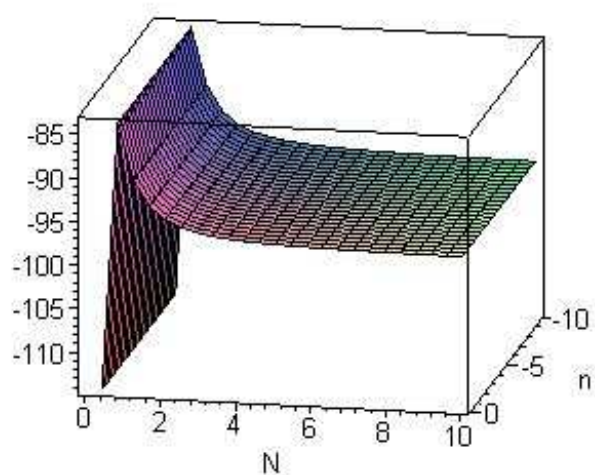


Figure 5.70: Le déterminant de la métrique tenseure tracée comme la fonction de $\{n, N\}$, décrivant les fluctuations de la configuration des trous noirs chargés non-supersymétriques aux corrections de troisième ordre de α' .

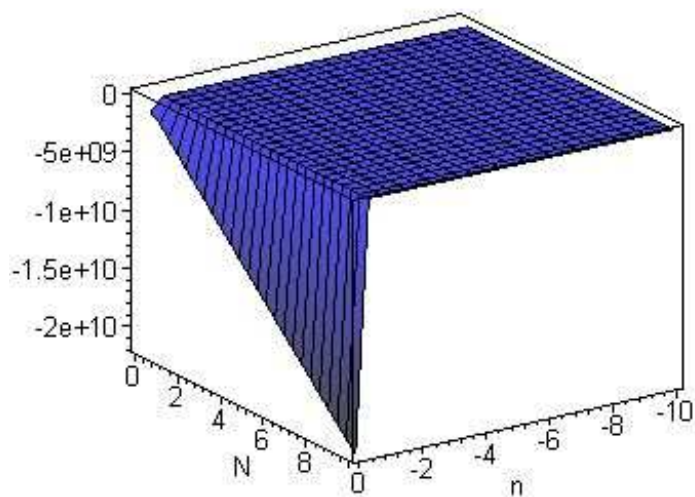


Figure 5.71: Le mineur d'hypersurface de la métrique tenseure tracée comme la fonction de $\{n, N\}$, décrivant les fluctuations de la configuration des trous noirs chargés non-supersymétriques aux corrections de troisième ordre de α' .

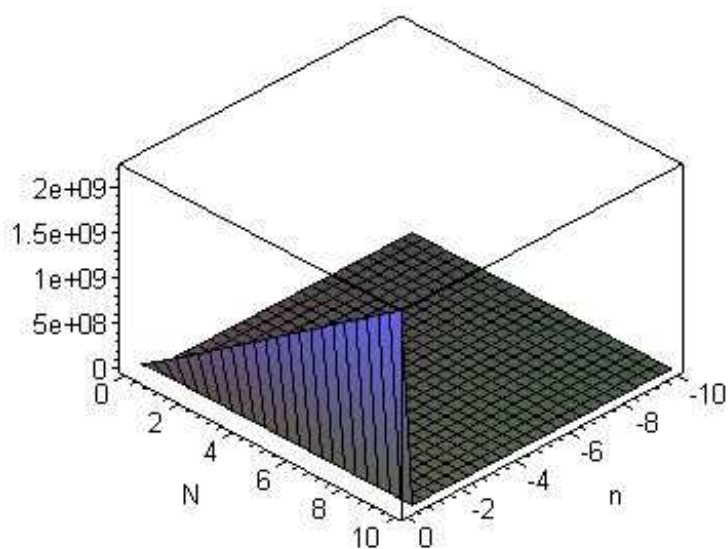


Figure 5.72: Le premier mineur de la métrique tenseure tracée comme la fonction de $\{n, N\}$, décrivant les fluctuations de la configuration des trous noirs chargés non-supersymétriques aux corrections de troisième ordre de α' .

déterminant de la métrique tenseure réside dans l'intervalle $(-80, -120)$. En outre, la stabilité de l'hypersurface définie par une valeur constante de W est montré dans la Fig. (5.71). Par la présente, nous observons que les mineurs p_3 réside dans la gamme de $(-2.5 \times 10^{10}, 0)$. Notez que la négativité de p_3 augmente à mesure que la valeur de N est passée de zéro à 10. En outre, la surface définie par les fluctuations du $\{n, w\}$ est instable en raison du fait que le mineur principe correspondant est identiquement nulle, à savoir que nous avons $p_2 = 0$. Lorsque le seul paramètre n est autorisé à varier, la stabilité de la configuration des trous noirs chargés non-supersymétriques est donné par la positivité du premier mineur principe $p_1 := g_{nn}$. Une vue rotatée de p_1 est montrée dans la Fig. (5.72). Les propriétés graphiques ci-dessus de l'espace d'état et la positivité des mineurs principaux concernés fournent la notion qualitative de la stabilité statistique des trous noirs non-supersymétriques corrigées à l'ordre de troisième ordre de α' .

Et bien encore à cette fois, par les Γ_{abc} donnés dans l'annex [A], nous voyons avec cette $g_{ab}(n, w, N, W)$ corrigée par les corrections de $(\alpha')^3$ que la courbure scalaire de Ruppenier est partout régulière, $\forall \tilde{g}(N, W) \neq 0$, et elle est donnée par:

$$R = -\frac{3072(NW)^2}{\pi} \sqrt{\frac{NW}{nw}} \frac{r(N, W)}{\tilde{g}(N, W)^3}, \quad (5.63)$$

où la fonction $r(N, W)$ est définie par:

$$\begin{aligned}
r(N, W) := & b_0^{(3)}(NW)^{33} - b_1^{(3)}(NW)^{32}\hat{\alpha} + b_2^{(3)}(NW)^{31}\hat{\alpha}^2 - b_3^{(3)}(NW)^{30}\hat{\alpha}^3 \\
& + b_4^{(3)}(NW)^{29}\hat{\alpha}^4 + b_5^{(3)}(NW)^{28}\hat{\alpha}^5 - b_6^{(3)}(NW)^{27}\hat{\alpha}^6 + b_7^{(3)}(NW)^{26}\hat{\alpha}^7 \\
& + b_8^{(3)}(NW)^{25}\hat{\alpha}^8 - b_9^{(3)}(NW)^{24}\hat{\alpha}^9 + b_{10}^{(3)}(NW)^{23}\hat{\alpha}^{10} + b_{11}^{(3)}(NW)^{22}\hat{\alpha}^{11} \\
& - b_{12}^{(3)}(NW)^{21}\hat{\alpha}^{12} + b_{13}^{(3)}(NW)^{20}\hat{\alpha}^{13} + b_{14}^{(3)}(NW)^{19}\hat{\alpha}^{14} - b_{15}^{(3)}(NW)^{18}\hat{\alpha}^{15} \\
& + b_{16}^{(3)}(NW)^{17}\hat{\alpha}^{16} + b_{17}^{(3)}(NW)^{16}\hat{\alpha}^{17} - b_{18}^{(3)}(NW)^{15}\hat{\alpha}^{18} + b_{19}^{(3)}(NW)^{14}\hat{\alpha}^{19} \\
& + b_{20}^{(3)}(NW)^{13}\hat{\alpha}^{20} - b_{21}^{(3)}(NW)^{12}\hat{\alpha}^{21} + b_{22}^{(3)}(NW)^{11}\hat{\alpha}^{22} + b_{23}^{(3)}(NW)^{10}\hat{\alpha}^{23} \\
& - b_{24}^{(3)}(NW)^9\hat{\alpha}^{24} - b_{25}^{(3)}(NW)^8\hat{\alpha}^{25} + b_{26}^{(3)}(NW)^7\hat{\alpha}^{26} - b_{27}^{(3)}(NW)^6\hat{\alpha}^{27} \\
& - b_{28}^{(3)}(NW)^5\hat{\alpha}^{28} - b_{29}^{(3)}(NW)^4\hat{\alpha}^{29} + b_{30}^{(3)}(NW)^3\hat{\alpha}^{30} + b_{31}^{(3)}(NW)^2\hat{\alpha}^{31} \\
& + b_{32}^{(3)}(NW)\hat{\alpha}^{32} + b_{33}^{(3)}\hat{\alpha}^{33}, \tag{5.64}
\end{aligned}$$

où les constantes réelles positives $\{a_i^{(3)}\}$ et $\{b_i^{(3)}\}$ sont données dans l'annex [C].

Les propriétés globales de la stabilité statistique découle par le comportement de la courbure scalaire de l'espace d'état. En particulier, dans la gamme de $n \in (-10, 0)$ et $N \in (0, 10)$, la Fig. (5.73) offre que la courbure scalaire a une grande amplitude positive. Nous trouvons que la configuration sous-jacente des trous noirs est un système statistique fortement interagissant. Le signe positif de la courbure scalaire signifie une nature répulsive des interactions statistiques. La Fig. (5.74) signifie la nature de la courbure scalaire ci-dessus dans une range égale des paramètres $n, N \in (-30, 30)$. En fait, lorsque la gamme de n et N est prise dans les multiples de 3, par exemple $(-30, 30)$, nous remarquons par la Fig. (5.74) qu'il existe quatre régions similaires disjointes des interactions statistiques globales. En comparaison des interactions apparaissant dans la gamme de $n \in (-10, 0)$ et $N \in (0, 10)$, les interactions statistiques globales semble être beaucoup plus petits de celles qui apparaissant dans la gamme de $n, N \in (-30, 30)$. Comme mentionné précédemment au second ordre des corrections de α' , nous voyons que le ration de la valeur typique de l'amplitude de la courbure scalaire de l'espace d'état semble être 10^{-10} . En bref, la conclusion graphique de la comparaison ci-dessus découle

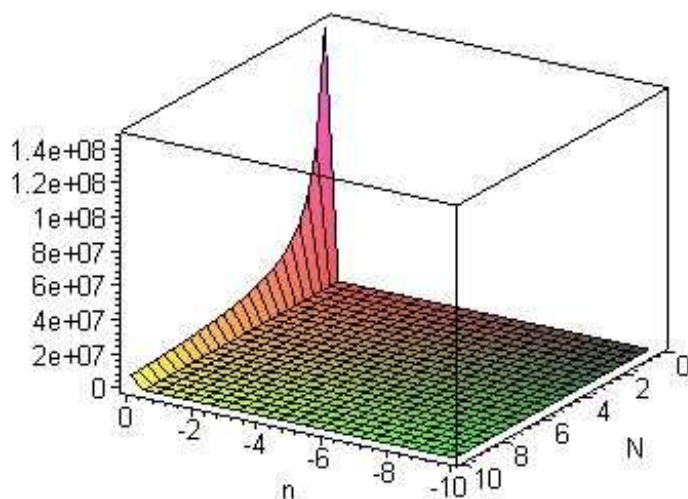


Figure 5.73: La courbure scalaire tracée comme la fonction de $\{n, N\}$, décrivant les fluctuations de la configuration des trous noirs chargés non-supersymétriques aux corrections de troisième ordre de α' dans la gamme de $n \in (-10, 0)$ et $N \in (0, 10)$.

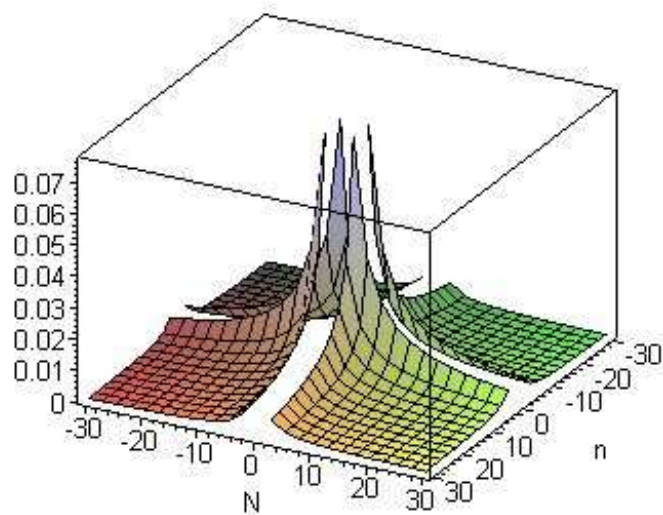


Figure 5.74: La courbure scalaire tracée comme la fonction de $\{n, N\}$, décrivant les fluctuations de la configuration des trous noirs chargés non-supersymétriques aux corrections de troisième ordre de α' dans la gamme de $n \in (-10, 0)$ et $N \in (0, 10)$.

des Figs. (5.73, 5.74). Dans le cas des petite valeur des paramètres n, N , nous voyons que les trous noirs non-supersymétriques sont intéreactifs et correspondent à une configuration statistique instable sous le troisième ordre de α' .

Bien que'on ait ajouté les correction de α' de l'ordre trois, nous voyons encore le même résultat que la curbure scalaire de Ruppenier reste partout régulière, sauf le cas où $\tilde{g}(N, W) = 0$. Enfin de confirmer cet observation, nous allons faire la question: comment la géométrie thermodynamique d'un ensemble des trous noirs dyoniques non-supersymétriques se comporte avec un prochain ordre des corrections de α' ?

5.2.5 À l'ordre de $(\alpha')^4$

Pour voir ça, considérons les corrections suivantes de α' dans l'entropie du trou noir dyonique non-supersymétrique, selon le Ref. [11], on l'a modifié à:

$$\begin{aligned}
 S_{BH}^{ns} = & 2\pi\sqrt{nwNW} + \frac{5\pi\hat{\alpha}}{4} \sqrt{\frac{nw}{NW}} - \frac{29\pi\hat{\alpha}^2}{64} \frac{\sqrt{nw}}{(NW)^{3/2}} \\
 & - \frac{119\pi\hat{\alpha}^3}{512} \frac{\sqrt{nw}}{(NW)^{5/2}} - \frac{2237\pi\hat{\alpha}^4}{16384} \frac{\sqrt{nw}}{(NW)^{7/2}}.
 \end{aligned} \tag{5.65}$$

Dans ce cas de l'entropie de ce trou noir, il est également facile d'obtenir que les composantes de la métrique tenseure de Ruppenier sont:

$$\begin{aligned}
 g_{nn} &= \frac{\pi}{2n} \sqrt{\frac{wNW}{n}} + \frac{5\pi\hat{\alpha}}{16n} \sqrt{\frac{w}{nNW}} - \frac{29\pi\hat{\alpha}^2}{256nNW} \sqrt{\frac{w}{nNW}} \\
 &\quad - \frac{119\pi\hat{\alpha}^3}{2048n(NW)^2} \sqrt{\frac{w}{nNW}} - \frac{2237\pi\hat{\alpha}^4}{65536n(NW)^3} \sqrt{\frac{w}{nNW}}, \\
 g_{nw} &= -\frac{\pi}{2} \sqrt{\frac{NW}{nw}} - \frac{5\pi\hat{\alpha}}{16\sqrt{nwNW}} + \frac{29\pi\hat{\alpha}^2}{256NW\sqrt{nwNW}} \\
 &\quad + \frac{119\pi\hat{\alpha}^3}{2048(NW)^2\sqrt{nwNW}} + \frac{2237\pi\hat{\alpha}^4}{65536(NW)^3\sqrt{nwNW}}, \\
 g_{nN} &= -\frac{\pi}{2} \sqrt{\frac{wW}{nN}} + \frac{5\pi\hat{\alpha}}{16NW} \sqrt{\frac{wW}{nN}} - \frac{87\pi\hat{\alpha}^2}{256(NW)^2} \sqrt{\frac{wW}{nN}} \\
 &\quad - \frac{595\pi\hat{\alpha}^3}{2048(NW)^3} \sqrt{\frac{wW}{nN}} - \frac{15695\pi\hat{\alpha}^4}{65536(NW)^4} \sqrt{\frac{wW}{nN}}, \\
 g_{nW} &= -\frac{\pi}{2} \sqrt{\frac{wN}{nW}} + \frac{5\pi\hat{\alpha}}{16NW} \sqrt{\frac{wN}{nW}} - \frac{87\pi\hat{\alpha}^2}{256(NW)^2} \sqrt{\frac{wN}{nW}} \\
 &\quad - \frac{595\pi\hat{\alpha}^3}{2048(NW)^3} \sqrt{\frac{wN}{nW}} - \frac{15659\pi\hat{\alpha}^4}{65536(NW)^4} \sqrt{\frac{wN}{nW}}, \tag{5.66}
 \end{aligned}$$

$$\begin{aligned}
 g_{ww} &= \frac{\pi}{2w} \sqrt{\frac{nNW}{w}} + \frac{5\pi\hat{\alpha}}{16w} \sqrt{\frac{n}{wNW}} - \frac{29\pi\hat{\alpha}^2}{256wNW} \sqrt{\frac{n}{wNW}} \\
 &\quad - \frac{119\pi\hat{\alpha}^3}{2048w(NW)^2} \sqrt{\frac{n}{wNW}} - \frac{2237\pi\hat{\alpha}^4}{65536w(NW)^3} \sqrt{\frac{n}{wNW}}, \\
 g_{wN} &= -\frac{\pi}{2} \sqrt{\frac{nW}{wN}} + \frac{5\pi\hat{\alpha}}{16NW} \sqrt{\frac{nW}{wN}} - \frac{87\pi\hat{\alpha}^2}{256(NW)^2} \sqrt{\frac{nW}{wN}} \\
 &\quad - \frac{595\pi\hat{\alpha}^3}{2048(NW)^3} \sqrt{\frac{nW}{wN}} - \frac{15659\pi\hat{\alpha}^4}{65536(NW)^4} \sqrt{\frac{nW}{wN}}, \\
 g_{wW} &= -\frac{\pi}{2} \sqrt{\frac{nN}{wW}} + \frac{5\pi\hat{\alpha}}{16NW} \sqrt{\frac{nN}{wW}} - \frac{87\pi\hat{\alpha}^2}{256(NW)^2} \sqrt{\frac{nN}{wW}} \\
 &\quad - \frac{595\pi\hat{\alpha}^3}{2048(NW)^3} \sqrt{\frac{nN}{wW}} - \frac{15659\pi\hat{\alpha}^4}{65536(NW)^4} \sqrt{\frac{nN}{wW}}, \\
 g_{NN} &= \frac{\pi}{2N} \sqrt{\frac{nwW}{N}} - \frac{15\pi\hat{\alpha}}{16N^2} \sqrt{\frac{nw}{NW}} + \frac{435\pi\hat{\alpha}^2}{256(N^3W)} \sqrt{\frac{nw}{NW}} \\
 &\quad + \frac{4165\pi\hat{\alpha}^3}{2048(N^4W^2)} \sqrt{\frac{nw}{NW}} + \frac{140931\pi\hat{\alpha}^4}{65536(N^5W^3)} \sqrt{\frac{nw}{NW}}, \\
 g_{NW} &= -\frac{\pi}{2} \sqrt{\frac{nw}{NW}} - \frac{5\pi\hat{\alpha}}{16NW} \sqrt{\frac{nw}{NW}} + \frac{261\pi\hat{\alpha}^2}{256(NW)^2} \sqrt{\frac{nw}{NW}} \\
 &\quad + \frac{2975\pi\hat{\alpha}^3}{2048(NW)^3} \sqrt{\frac{nw}{NW}} + \frac{1099613\pi\hat{\alpha}^4}{65536(NW)^4} \sqrt{\frac{nw}{NW}}, \\
 g_{WW} &= \frac{\pi}{2W} \sqrt{\frac{nwN}{W}} - \frac{15\pi\hat{\alpha}}{16W^2} \sqrt{\frac{nw}{NW}} + \frac{435\pi\hat{\alpha}^2}{256(NW^3)} \sqrt{\frac{nw}{NW}} \\
 &\quad + \frac{4165\pi\hat{\alpha}^3}{2048(N^2W^4)} \sqrt{\frac{nw}{NW}} + \frac{140931\pi\hat{\alpha}^4}{65536(N^3W^5)} \sqrt{\frac{nw}{NW}}. \tag{5.67}
 \end{aligned}$$

Comme à la correction précédente des dérivées supérieure de troisième ordre de α' , pour la cas de $n = w$, $N = W$ et $\hat{\alpha} = 0.1$, nous observons pour $n \in (-10, 0)$ et $N \in (0, 10)$ que l'amplitude des capacités de chaleurs $\{g_{nn}, g_{ww}\}$ se prend la valeur maximale à l'ordre de $2 \times 10^{+09}$. Alors, les capacités de chaleurs $\{g_{NN}, g_{WW}\}$ prennent une valeur typique dans l'intervalle $(0, 90)$. Cela montre que les trous noirs non-supersymétriques corrigés par des corrections quatrième ordre de α' correspondent à une configuration statistique localement stable. En fait, les gammes de la croissance de la première ensemble et celle

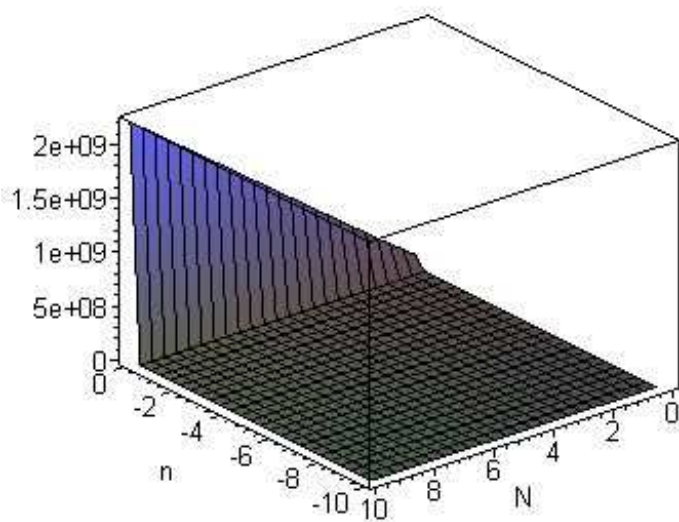


Figure 5.75: La composante nn de la métrique tenseure tracée comme la fonction de $\{n, N\}$, décrivant les fluctuations de la configuration des trous noirs chargés non-supersymétriques aux corrections de quatrième ordre de α' .

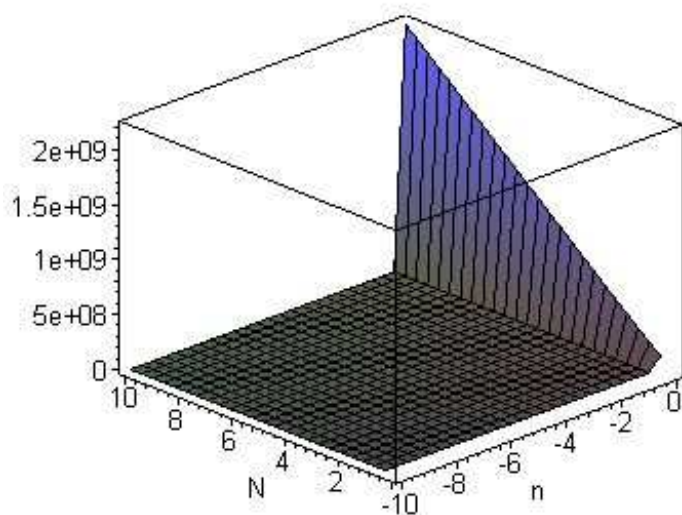


Figure 5.76: La composante ww de la métrique tenseure tracée comme la fonction de $\{n, N\}$, décrivant les fluctuations de la configuration des trous noirs chargés non-supersymétriques aux corrections de quatrième ordre de α' .

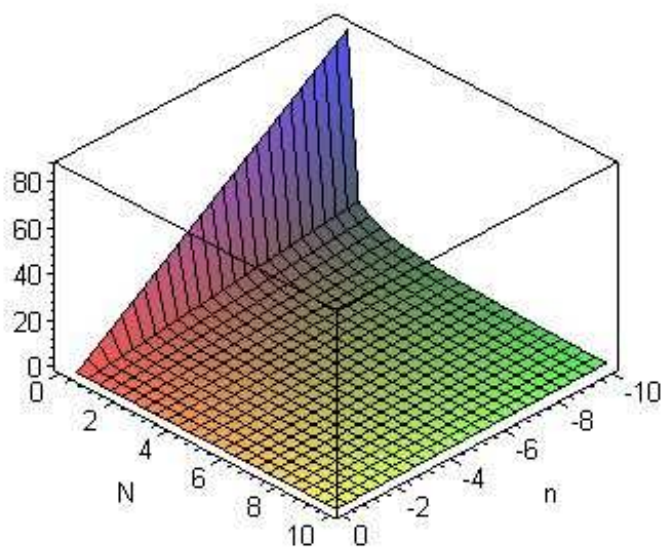


Figure 5.77: La composante NN de la métrique tenseure tracée comme la fonction de $\{n, N\}$, décrivant les fluctuations de la configuration des trous noirs chargés non-supersymétriques aux corrections de quatrième ordre de α' .

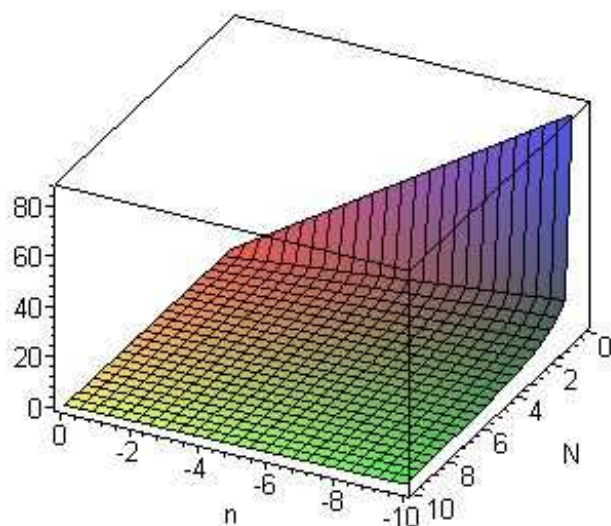


Figure 5.78: La composante WW de la métrique tenseure tracée comme la fonction de $\{n, N\}$, décrivant les fluctuations de la configuration des trous noirs chargés non-supersymétriques aux corrections de quatrième ordre de α' .

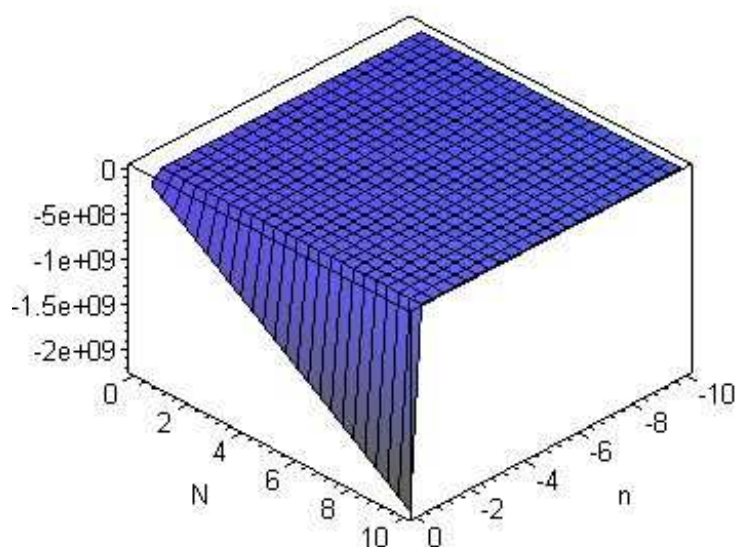


Figure 5.79: La composante nw de la métrique tenseure tracée comme la fonction de $\{n, N\}$, décrivant les fluctuations de la configuration des trous noirs chargés non-supersymétriques aux corrections de quatrième ordre de α' .

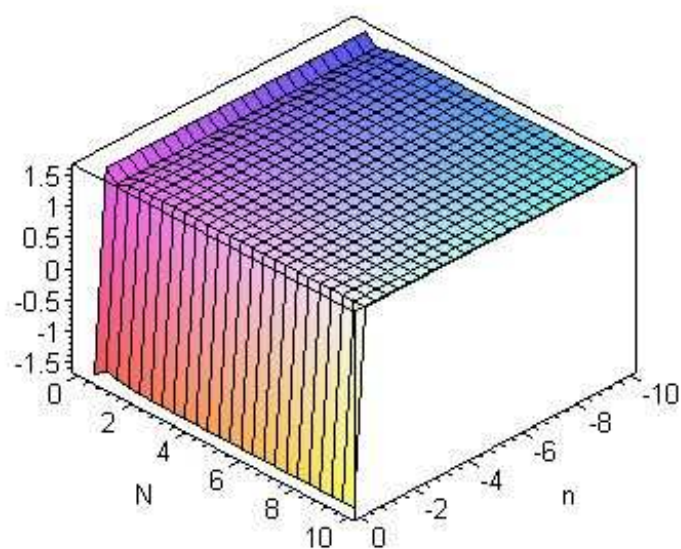


Figure 5.80: La composante nN de la métrique tenseure tracée comme la fonction de $\{n, N\}$, décrivant les fluctuations de la configuration des trous noirs chargés non-supersymétriques aux corrections de quatrième ordre de α' .

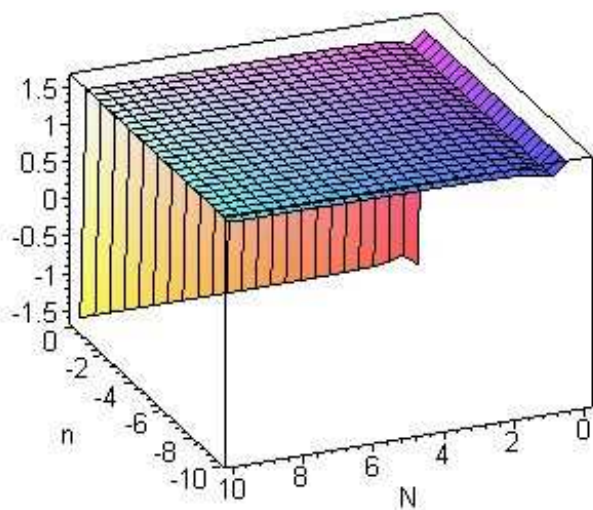


Figure 5.81: La composante nW de la métrique tenseur tracée comme la fonction de $\{n, N\}$, décrivant les fluctuations de la configuration des trous noirs chargés non-supersymétriques aux corrections de quatrième ordre de α' .

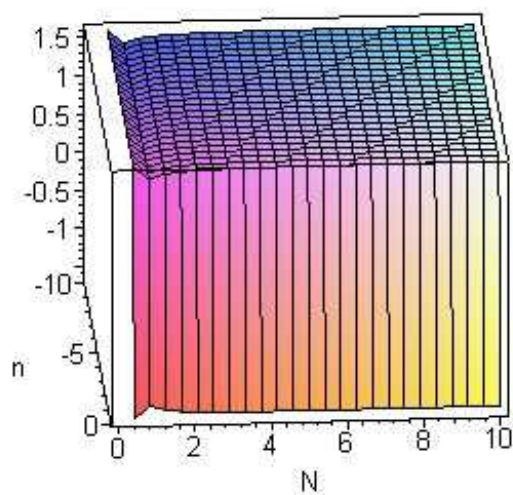


Figure 5.82: La composante wN de la métrique tenseur tracée comme la fonction de $\{n, N\}$, décrivant les fluctuations de la configuration des trous noirs chargés non-supersymétriques aux corrections de quatrième ordre de α' .

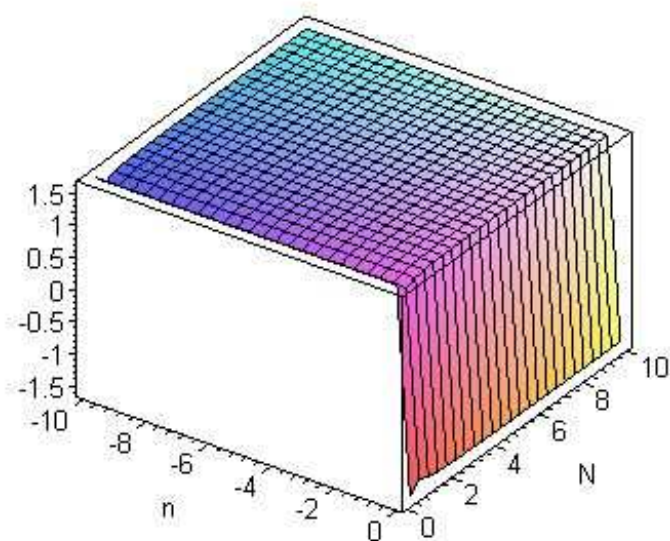


Figure 5.83: La composante wW de la métrique tenseur tracée comme la fonction de $\{n, N\}$, décrivant les fluctuations de la configuration des trous noirs chargés non-supersymétriques aux corrections de quatrième ordre de α' .

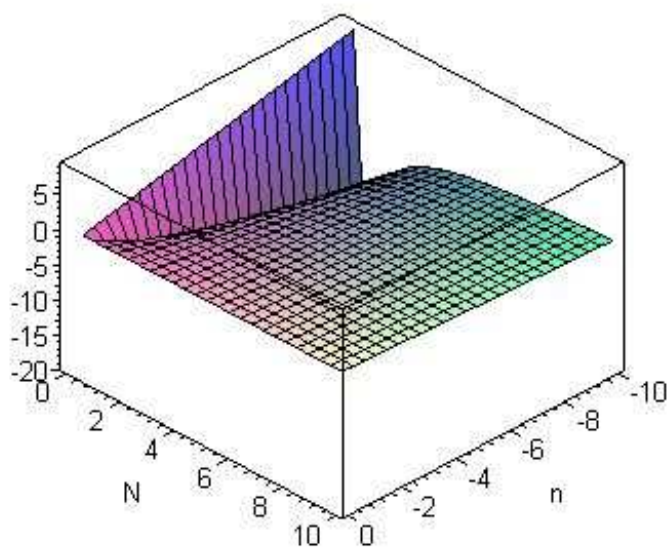


Figure 5.84: La composante NW de la métrique tenseure tracée comme la fonction de $\{n, N\}$, décrivant les fluctuations de la configuration des trous noirs chargés non-supersymétriques aux corrections de quatrième ordre de α' .

la deuxième ensemble des capacités de chaleurs se trouvent être dans la limite opposée des paramètres $\{n, N\}$. Explicitement, par les Figs. (5.75, 5.76), nous constatons que la croissance des capacités de chaleurs $\{g_{nn}, g_{ww}\}$ a lieu dans la limite d'un grand N et un petit n . D'autre part, les Figs. (5.77, 5.78) montrent que la croissance des $\{g_{NN}, g_{WW}\}$ a lieu dans la limite d'un petit N et un grand n . De même, les compressibilités de chaleurs en comprenant deux paramètres distincts de ces trous noirs sont représentées dans les Figs. (5.79, 5.80, 5.81, 5.82, 5.83, 5.84). Dans ce cas, on peut bien noter que la Fig. (5.84) montre une caractéristique unique de la composante NW des fluctuations statistiques des trous noirs non-supersymétriques. Les composantes tel qui sont définies par les composantes de la métrique tenseure de l'espace d'état $\{g_{ij} \mid i, j = n, w, N, W\}$, le quatrième ordre des corrections de α' indiquent que les fluctuations, en impliquant les paramètres $\{n, w\}$, prennent relativement des plus grande valeurs numériques par rapport à celles qui sont définies ci-dessus en impliquant les paramètres $\{N, W\}$.

De la métrique tenseure donnée ci-dessus, nous trouvons que les corrections de α' à l'ordre quatre conduisent les mineurs principaux suivants

$$\begin{aligned}
 p_1 &= -\frac{1}{65536} \frac{\pi \sqrt{w}}{n^{(3/2)} N^{(7/2)} W^{(7/2)}} \tilde{p}_1(\hat{\alpha}), \\
 p_2 &= 0, \\
 p_3 &= \frac{1}{70368744177664} \frac{\pi^3}{N^{(25/2)} W^{(21/2)} \sqrt{n} \sqrt{w}} \tilde{p}_3(\hat{\alpha}).
 \end{aligned} \tag{5.68}$$

où les fonctions $\{\tilde{p}_1(\hat{\alpha}), \tilde{p}_3(\hat{\alpha}), \tilde{g}(\hat{\alpha})\}$, comme les polynômes du paramètre $\hat{\alpha}$, peuvent être exprimés par

$$\begin{aligned}
 \tilde{p}_1(\hat{\alpha}) &:= 2237 \hat{\alpha}^4 + 3808 N W \hat{\alpha}^3 + 7424 N^2 W^2 \hat{\alpha}^2 \\
 &\quad - 20480 N^3 W^3 \hat{\alpha} - 32768 N^4 W^4, \\
 \tilde{p}_3(\hat{\alpha}) &:= 548521976597 \hat{\alpha}^{12} + 2267649190688 N W \hat{\alpha}^{11} \\
 &\quad + 6462387622656 N^2 W^2 \hat{\alpha}^{10} + 3904169873408 N^3 W^3 \hat{\alpha}^9 \\
 &\quad - 9929322037248 N^4 W^4 \hat{\alpha}^8 - 36136556691456 N^5 W^5 \hat{\alpha}^7 \\
 &\quad - 27976292892672 N^6 W^6 \hat{\alpha}^6 - 15334106988544 N^7 W^7 \hat{\alpha}^5 \\
 &\quad - 19957639282688 N^8 W^8 \hat{\alpha}^4 - 55353538510848 N^9 W^9 \hat{\alpha}^3 \\
 &\quad - 26113401159680 N^{10} W^{10} \hat{\alpha}^2 + 21990232555520 N^{11} W^{11} \hat{\alpha} \\
 &\quad - 35184372088832 N^{12} W^{12}. \tag{5.69}
 \end{aligned}$$

On peut avoir facilement que le déterminant de cette métrique tenseure est:

$$g = \frac{\pi^4}{1152921504606846976(NW)^{16}} \tilde{g}(N, W), \tag{5.70}$$

où la fonction $\tilde{g}(N, W)$, comme une fonction de $\hat{\alpha}$ est définie par:

$$\begin{aligned}
 \tilde{g}(N, W) &:= -a_0^{(4)}(NW)^{16} + a_1^{(4)}(NW)^{15}\hat{\alpha} - a_2^{(4)}(NW)^{14}\hat{\alpha}^2 + a_3^{(4)}(NW)^{13}\hat{\alpha}^3 \\
 &\quad - a_4^{(4)}(NW)^{12}\hat{\alpha}^4 - a_5^{(4)}(NW)^{11}\hat{\alpha}^5 - a_6^{(4)}(NW)^{10}\hat{\alpha}^6 - a_7^{(4)}(NW)^8\hat{\alpha}^7 \\
 &\quad - a_8^{(4)}(NW)^8\hat{\alpha}^8 - a_9^{(4)}(NW)^7\hat{\alpha}^9 - a_{10}^{(4)}(NW)^6\hat{\alpha}^{10} - a_{11}^{(4)}(NW)^5\hat{\alpha}^{11} \\
 &\quad + a_{12}^{(4)}(NW)^4\hat{\alpha}^{12} - a_{13}^{(4)}(NW)^3\hat{\alpha}^{13} + a_{14}^{(4)}(NW)^2\hat{\alpha}^{14} + a_{15}^{(4)}(NW)\hat{\alpha}^{15} \\
 &\quad + a_{16}^{(4)}\hat{\alpha}^{16}, \tag{5.71}
 \end{aligned}$$

où les constantes réels positifs $\{a_i^{(4)}\}$ sont données dans l'annex [C].

À la perspective des corrections de α' de l'ordre quatre à l'entropie des trous noirs

non-supersymétriques, nous voyons que la configuration sous-jacente des trous noirs est assez stable dans les régions où les mineurs d'hypersurface et le déterminant de la métrique tenseure sont positifs. Notamment, lorsque le paramètre $\hat{\alpha}$ des corrections est tel que les conditions suivantes sont saisfaites: (i) le polynôme quartique $\tilde{p}_1(\hat{\alpha})$ a un signe négatif, (ii) les polynôme $\tilde{p}_3(\hat{\alpha})$ de degré douze a un signe positif et (iii) le polynôme $\tilde{g}(\hat{\alpha})$ de degré seize a signe positif. Pour tout $\hat{\alpha}$ tels que les mineurs principaux $\tilde{p}_1(\hat{\alpha}) < 0$, $\tilde{p}_3(\hat{\alpha}) > 0$ et le déterminant de la métrique tenseure $\tilde{g}(\hat{\alpha}) > 0$ sont satisfaites, la solution sous-jacente de ces trous noirs est relativement stable. Ainsi, la stabilité relative des trous noirs au-dessus, c'est-à-dire que la valeur spécifique du paramètre $\hat{\alpha}$, peut être déterminée comme les racines communes des degrés deux, douze et seize des équations polynômes. Notez cependant que la disparition de mineur de surface, c'est dire $p_2 = 0$ évite la stabilité complète de la configuration sous-jacente de ces trous noirs. Donc, l'analyse de la géométrie de l'espace d'état montre que les corrections perturbative des dérivées supérieures de α' à l'entropie ne rendent pas la stabilité statistiques complète à la configuration des trous noirs non-supersymétriques.

Comme une fonction de $\{n, N\}$, la condition de stabilité d'un ensemble des trous noirs non-supersymétriques corrigés au quatrième ordre de α' découle de la positivité du déterminant de la métrique tenseure. Dans ce cas, nous voyons que le déterminant de la métrique tenseure tend d'une façon générique à une valeur négative. Pour une valeur typique de $n \in (-10, 0)$ et $N \in (0, 10)$, la Fig. (5.85) montre que le déterminant de la métrique tenseure réside dans l'intervalle $(-80, -140)$. Par la présente, pour $N \in (2, 10)$, nous voyons que le déterminant de la métrique tenseure a une valeur approximative de -97 . Dans l'intervalle $N \in (0, 2)$, le déterminant de la métrique tenseure à tout d'abord augmente à une valeur de -80 et puis il réduit fortement à une valeur de -140 . La stabilité correspondante de l'hypersurface définie par une valeur constante de W est montré dans la Fig. (5.86). Dans cette gamme de $\{n, N\}$, nous voyons que le mineur p_3 réside dans la gamme de $(-2 \times 10^{+10}, 0)$. Dans la limite d'un petit n , nous constatons que la négativité de p_3 augmente à mesure que la valeur de N est passée de zéro à 10. Par ailleurs, la

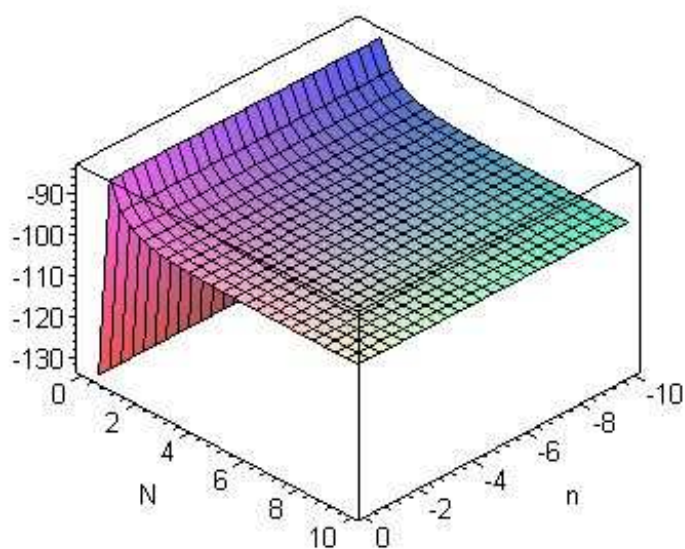


Figure 5.85: Le déterminant de la métrique tenseur tracée comme la fonction de $\{n, N\}$, décrivant les fluctuations de la configuration des trous noirs chargés non-supersymétriques aux corrections de quatrième ordre de α' .

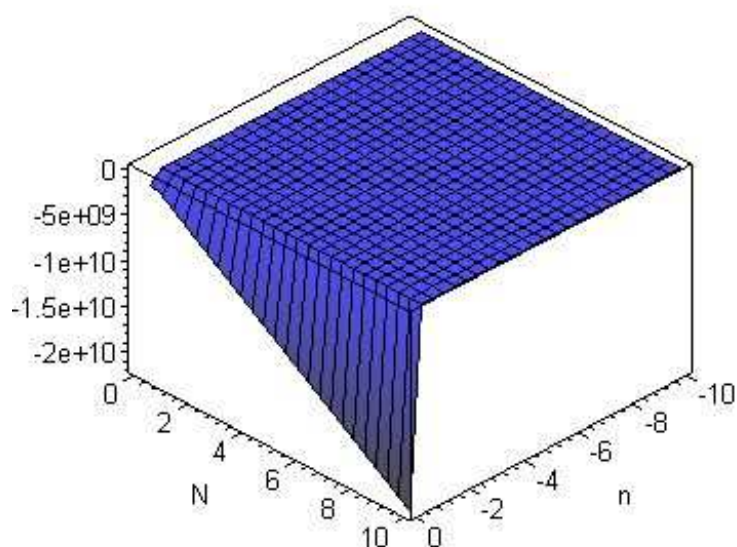


Figure 5.86: Le mineur d'hypersurface de la métrique tenseure tracée comme la fonction de $\{n, N\}$, décrivant les fluctuations de la configuration des trous noirs chargés non-supersymétriques aux corrections de quatrième ordre de α' .

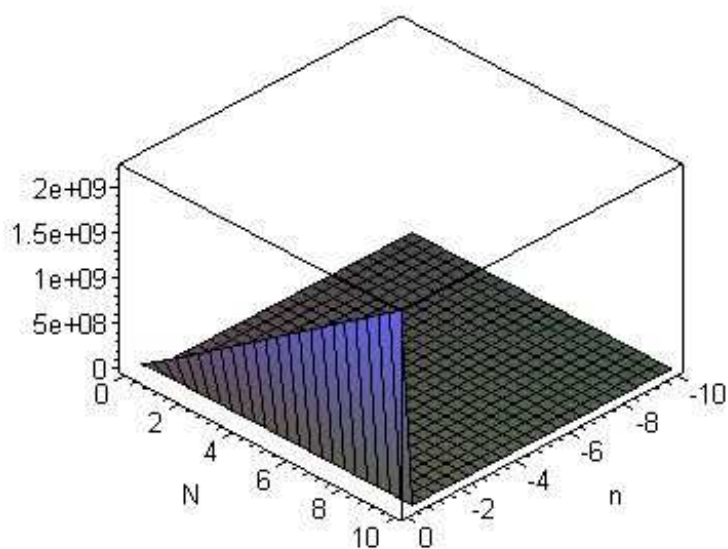


Figure 5.87: Le premier mineur de la métrique tenseur tracée comme la fonction de $\{n, N\}$, décrivant les fluctuations de la configuration des trous noirs chargés non-supersymétriques aux corrections de quatrième ordre de α' .

surface définie par les fluctuations de $\{n, w\}$ est instable par-ce que les mineurs principe correspondant disparaît identiquement, à savoir que nous avons $p_2 = 0$. Lorsque le seul paramètre n est autorisé à varier, la stabilité de la configuration est déterminée par la positivité du premier mineur principe $p_1 := g_{nn}$. Dans ce cas, pour un petit n et un grand N , on peut observer par la Fig. (5.87) que p_1 a une amplitude positive à l'ordre de 10^{+10} . En fait, pour une petite valeur de n , le premier mineur principe p_1 augmente à mesure que la fonction de N . Ainsi, les descriptions graphiques ci-dessus des mineurs principaux de l'espace d'état fournent la notion qualitative de la stabilité statistique des trous noirs non-supersymétriques sous les quatrième ordre des corrections de α' .

En fait, comme nous avons fourni les Γ_{abc} dans l'annex [A], il n'est pas très difficile de voir que la courbure scalaire de Ruppenier est:

$$R = -\frac{49152}{\pi} \sqrt{\frac{(NW)^7}{nw} \frac{r(N, W)}{\tilde{g}(N, W)^3}}, \quad (5.72)$$

où la fonction $r(N, W)$ est définie par:

$$\begin{aligned}
r(N, W) := & b_0^{(4)}(NW)^{44} - b_1^{(4)}(NW)^{43}\widehat{\alpha} + b_2^{(4)}(NW)^{42}\widehat{\alpha}^2 - b_3^{(4)}(NW)^{41}\widehat{\alpha}^3 \\
& + b_4^{(4)}(NW)^{40}\widehat{\alpha}^4 + b_5^{(4)}(NW)^{39}\widehat{\alpha}^5 + b_6^{(4)}(NW)^{38}\widehat{\alpha}^6 + b_7^{(4)}(NW)^{37}\widehat{\alpha}^7 \\
& + b_8^{(4)}(NW)^{36}\widehat{\alpha}^8 + b_9^{(4)}(NW)^{35}\widehat{\alpha}^9 + b_{10}^{(4)}(NW)^{34}\widehat{\alpha}^{10} + b_{11}^{(4)}(NW)^{33}\widehat{\alpha}^{11} \\
& + b_{12}^{(4)}(NW)^{32}\widehat{\alpha}^{12} + b_{13}^{(4)}(NW)^{31}\widehat{\alpha}^{13} + b_{14}^{(4)}(NW)^{30}\widehat{\alpha}^{14} + b_{15}^{(4)}(NW)^{29}\widehat{\alpha}^{15} \\
& + b_{16}^{(4)}(NW)^{28}\widehat{\alpha}^{16} + b_{17}^{(4)}(NW)^{27}\widehat{\alpha}^{17} + b_{18}^{(4)}(NW)^{26}\widehat{\alpha}^{18} + b_{19}^{(4)}(NW)^{25}\widehat{\alpha}^{19} \\
& + b_{20}^{(4)}(NW)^{24}\widehat{\alpha}^{20} + b_{21}^{(4)}(NW)^{23}\widehat{\alpha}^{21} + b_{22}^{(4)}(NW)^{22}\widehat{\alpha}^{22} + b_{23}^{(4)}(NW)^{21}\widehat{\alpha}^{23} \\
& + b_{24}^{(4)}(NW)^{20}\widehat{\alpha}^{24} + b_{25}^{(4)}(NW)^{19}\widehat{\alpha}^{25} + b_{26}^{(4)}(NW)^{18}\widehat{\alpha}^{26} + b_{27}^{(4)}(NW)^{17}\widehat{\alpha}^{27} \\
& + b_{28}^{(4)}(NW)^{16}\widehat{\alpha}^{28} + b_{29}^{(4)}(NW)^{15}\widehat{\alpha}^{29} - b_{30}^{(4)}(NW)^{14}\widehat{\alpha}^{30} - b_{31}^{(4)}(NW)^{13}\widehat{\alpha}^{31} \\
& - b_{32}^{(4)}(NW)^{12}\widehat{\alpha}^{32} - b_{33}^{(4)}(NW)^{11}\widehat{\alpha}^{33} - b_{34}^{(4)}(NW)^{10}\widehat{\alpha}^{34} - b_{35}^{(4)}(NW)^9\widehat{\alpha}^{35} \\
& - b_{36}^{(4)}(NW)^8\widehat{\alpha}^{36} + b_{37}^{(4)}(NW)^7\widehat{\alpha}^{37} + b_{38}^{(4)}(NW)^6\widehat{\alpha}^{38} + b_{39}^{(4)}(NW)^5\widehat{\alpha}^{39} \\
& + b_{40}^{(4)}(NW)^4\widehat{\alpha}^{40} + b_{41}^{(4)}(NW)^3\widehat{\alpha}^{41} + b_{42}^{(4)}(NW)^2\widehat{\alpha}^{42} + b_{43}^{(4)}(NW)\widehat{\alpha}^{43} \\
& + b_{44}^{(4)}\widehat{\alpha}^{44}, \tag{5.73}
\end{aligned}$$

où les constantes réelles positives $\{a_i^{(4)}\}$ et $\{b_i^{(4)}\}$ sont données dans l'annex [C].

À quatrième ordre des corrections de dérivée supérieures de α' , les propriétés de la stabilité globale des trous noirs non-supersymétriques sont présentés dans les . Fig. (5.88, 5.89). Dans la gamme de $n \in (-10, 0)$ et $N \in (0, 10)$, il résulte de la Fig. (5.88) que la courbure scalaire de l'espace d'état acquiert un pic à l'ordre de 10^{+08} dans la limite d'une petite valeur de n, N . En fait, dans la limite d'un petit n , la Fig. (5.88) montre que la courbure scalaire diminue à mesure que la fonction de N . En particulier, dans la cas de petite valeur de $\{n, N\}$, la Fig. (5.88) montre que la courbure scalaire a une grande amplitude positive à l'ordre de 10^{+08} . Ainsi, on peut noter que la configuration des trous noirs sous-tendants est un système statistique fortement interagissant dans cette limite des charges. Comme mentionné dans les cas précédents, le quatrième ordre des corrections de dérivés supérieures de α' rend le signe positif à la courbure scalaire. Cela

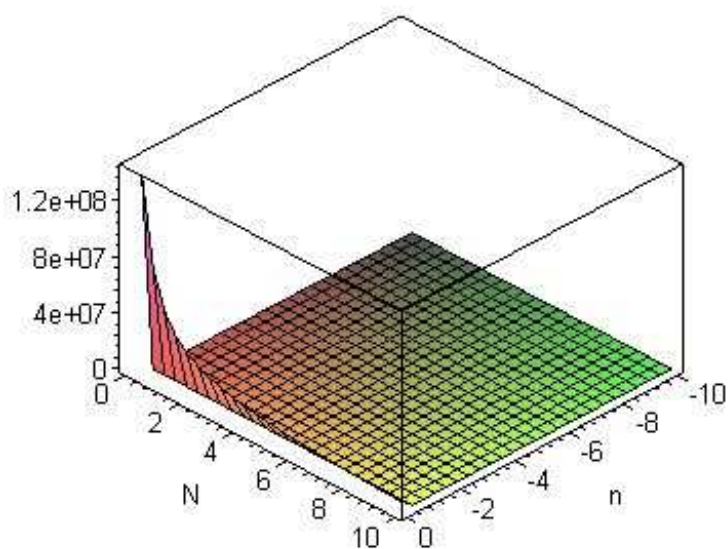


Figure 5.88: La courbure scalaire tracée comme la fonction de $\{n, N\}$, décrivant les fluctuations de la configuration des trous noirs chargés non-supersymétriques aux corrections de quatrième ordre de α' dans la gamme $n \in (-10, 0)$ et $N \in (0, 10)$.

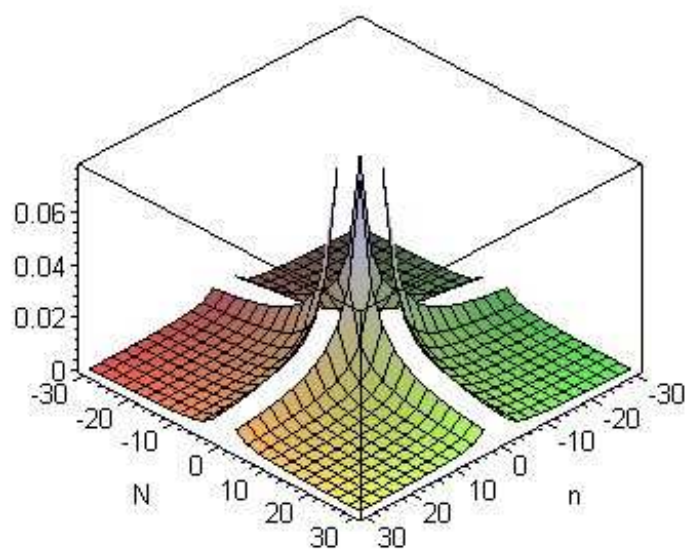


Figure 5.89: La courbure scalaire tracée comme la fonction de $\{n, N\}$, décrivant les fluctuations de la configuration des trous noirs chargés non-supersymétriques aux corrections de quatrième ordre de α' dans la gamme $n, N \in (-30, 30)$.

signifie que la configuration statistique de ces trous noirs a des interactions répulsives. La Fig. (5.89) illustre la nature de la courbure scalaire ci-dessus dans une range égale de $n, N \in (-30, 30)$. À savoir, quand n et N prennent des valeurs en multiple de 3, par exemple $(-30, 30)$, alors que nous voyons de la Fig. (5.89) qu'il y a quatre régions disjointes similaire des interactions statistiques globales. En comparaison des interactions apparaissant dans la gamme de $n \in (-10, 0)$ et $N \in (0, 10)$, l'amplitude des interactions demeure à une beaucoup plus petite valeur dans la gamme de $n, N \in (-30, 30)$. Le ration de la valeur typique de l'amplitude de ces courbures scalaires semble être à l'ordre de 10^{-10} . La vue graphique de cette comparaison est montré dans les Figs. (5.88, 5.89). Qualitativement, dans le cas des petites valeurs de $\{n, N\}$, les représentations graphiques ci-dessus de la courbure scalaire indiquent que les trous noirs non-supersymétriques sont globalement une configuration statistique instable bien qu'on aie ajouté le quatrième ordre des corrections de α' .

On voit clairement que la conclusion de la courbure scalaire de Ruppenier reste la même ce que nous avons annoncé avant dans le cas de $(\alpha')^3$. On peut aussi facilement continuer ce type de calcul et peut généralement montrer que cette conclusion reste la même, si bien qu'on ajoute les corrections suivantes de l'ordre fini de α' à l'entropie des trous noirs dyoniques non-supersymétriques extrémaux en quatre dimensions de l'espace-temps. À la fin de ce chapitre, nous allons montrer ce résultat exactement.

De toute manière, sur la base d'un schéma général ce que nous avons vu au-dessus aux ordres différents des corrections de α' à la géométrie thermodynamique de Ruppenier, comme le déterminant de la métrique tenseure et la courbure scalaire, des trous noirs dyoniques non-supersymétriques extrémaux en quatre dimensions, nous pouvons voir maintenant qu'elle satisfait l'observation suivante.

5.3 La nature de la courbure scalaire de Ruppenier d'après les corrections de α' des trous noirs dyoniques extrémaux non-supersymétriques en quatre dimensions.

Dans cette section, nous allons obtenir la nature des corrections de α' à la géométrie d'espace de l'état. En générale, soit l le plus grand exposant de α' dans l'entropie des trous noirs dyoniques non-supersymétriques extrémaux en quatre dimensions. Alors $\forall l > 1$, nous pouvons écrire que la courbure de Ruppenier d'un trou noir dyonique non-supersymétrique extrémal en quatre dimensions peut être donnée par une formule générale:

$$R^{(l)}(n, w, N, W) = -\frac{k}{\pi} \frac{(NW)^l}{\sqrt{nwNW}} \frac{f_2(NW)}{f_1(NW)^3}, \quad (5.74)$$

où k est une constante réelle et le degré des fonctions polynomiales $f_1(NW)$ et $f_2(NW)$ sont déterminées par le plus grand exposant de α' se figurant à l'entropie de ce trou noir. Pour une représentation donnée des fonctions $\{f_i \mid i = 1, 2\}$, soient les degrés de $f_1(NW)$ et $f_2(NW)$ sont respectivement l_1 et l_2 , c'est-à-dire que nous avons

$$\begin{aligned} \text{deg}(f_1) &= l_1, \\ \text{deg}(f_2) &= l_2 \end{aligned} \quad (5.75)$$

tels que la courbure scalaire de Ruppenier sans les corrections des dérivées supérieures de α' peut être écrite proportionnelle à

$$R \sim (nwNW)^{-1/2}. \quad (5.76)$$

C'est-à-dire que, quand on n'ajoute pas les corrections de α' , la courbure scalaire de Ruppenier doit être comme:

$$R = 3/(2\pi\sqrt{nwNW}). \quad (5.77)$$

Ensuite, dans le cas présent, il s'avère que nous avons:

$$l + l_2 - 3l_1 = 0. \quad (5.78)$$

Nous pouvons observer à partir des courbures de Ruppenier ce qui précèdent que le degré de la fonction f_1 est donné par la relation

$$l_1 = 4l. \quad (5.79)$$

Afin que nous ayons une formule simple pour le degré de la fonction f_1 , nous voyons que le degré de la fonction f_2 est justement donnée par comme la suivante:

$$l_2 = 11l. \quad (5.80)$$

Donc, comme une fonction de NW , le degré des fonctions f_i sont:

$$\text{deg}(f_1) = 4l, \quad \text{deg}(f_2) = 11l. \quad (5.81)$$

De cette façon, à tout ordre des corrections de α' à l'entropie des trous noirs non-supersymétriques extrémaux, nous pouvons déterminer facilement toutes les propriétés de l'espace d'état de la géométrie thermodynamique. De plus, $\forall l \geq 2$, le degré du

déterminant de la métrique de Ruppenier et celui de la numérateur de la courbure scalaire correspondante sont respectivement $4l$ et $11l$. Notez bien aussi que notre observation n'est pas valable pour le cas de $l = 1$. En fait, $\forall \widehat{\alpha} > 0$, nous pouvons voir dans le cas de $l = 1$ que la configuration sous-jacente de ces trous noirs n'est pas stable par-ce que les nombres N, W sont positives, comme nous les avons considérés thermodynamique géométriquement que l'entropie d'un trou noir doit être corrigée, par-ce qu'un trou noir extrémal peut être vu comme une collection finie des états quantiques de BPS [11], qui est un objet assez stable par rapport à la théorie des cordes.

En fait, pour tout ordre arbitraire $l > 1$, les corrections de α' à l'entropie des trous noirs non-supersymétriques extrémaux en quatre dimensions, la géométrie de Ruppenier est bien définie et partout régulière, $\forall f_1(N, W) \neq 0$. Donc, à la conclusion, notre observation est comme une conjoncture ce qu'elle puisse être énoncée comme la suivante.

L'observation

À tout ordre l grand qu'un des corrections de α' , la courbure scalaire de Ruppenier des trous noirs dyoniques non-supersymétriques extrémaux en quatre dimensions est donnée par une formule générale, comme la suivante:

$$R^{(l)}(n, w, N, W) = -\frac{k}{\pi} \frac{(NW)^l}{\sqrt{nwNW}} \frac{f_2(NW)}{f_1(NW)^3}, \quad k \in R, \quad (5.82)$$

où les degrés de $f_1(NW)$ et $f_2(NW)$ sont respectivement $4l$ et $11l$.

5.4 À l'ordre arbitraire de α'

À la perspective de cet examen de la géométrie thermodynamique, ce que nous l'avons expliquée ci-dessus au vers des corrections de α' , il s'avère en général que l'entropie des

trous noirs nonsupersymétriques [11] peut être exprimée comme

$$S(n, w, N, W) = \pi \sqrt{nwNW} \left(\sum_{k=0}^r c_k \left(\frac{\hat{\alpha}}{NW} \right)^k \right) \quad (5.83)$$

En général, les composantes de la métrique tenseure sont

$$\begin{aligned} g_{nn} &= \frac{1}{4} \frac{\pi w N W \left(\sum_{k=0}^r c_k \left(\frac{\hat{\alpha}}{N W} \right)^k \right)}{n \sqrt{nw N W}}, \\ g_{nw} &= -\frac{1}{4} \frac{\pi \left(\sum_{k=0}^r c_k \left(\frac{\hat{\alpha}}{N W} \right)^k \right) N W}{\sqrt{nw N W}}, \\ g_{nN} &= -\frac{1}{4} \frac{\pi w W \left(\left(\sum_{k=0}^r c_k \left(\frac{\hat{\alpha}}{N W} \right)^k \right) - 2 \left(\sum_{k=0}^r c_k \left(\frac{\hat{\alpha}}{N W} \right)^k k \right) \right)}{\sqrt{nw N W}}, \\ g_{nW} &= -\frac{1}{4} \frac{\pi w N \left(\left(\sum_{k=0}^r c_k \left(\frac{\hat{\alpha}}{N W} \right)^k \right) - 2 \left(\sum_{k=0}^r c_k \left(\frac{\hat{\alpha}}{N W} \right)^k k \right) \right)}{\sqrt{nw N W}}, \\ g_{ww} &= \frac{1}{4} \frac{\pi n N W \left(\sum_{k=0}^r c_k \left(\frac{\hat{\alpha}}{N W} \right)^k \right)}{w \sqrt{nw N W}}, \end{aligned} \quad (5.84)$$

$$\begin{aligned}
g_{wN} &= -\frac{1}{4} \frac{\pi n W \left(\left(\sum_{k=0}^r c_k \left(\frac{\hat{\alpha}}{N W} \right)^k \right) - 2 \left(\sum_{k=0}^r c_k \left(\frac{\hat{\alpha}}{N W} \right)^k k \right) \right)}{\sqrt{n w N W}}, \\
g_{wW} &= -\frac{1}{4} \frac{\pi n N \left(\left(\sum_{k=0}^r c_k \left(\frac{\hat{\alpha}}{N W} \right)^k \right) - 2 \left(\sum_{k=0}^r c_k \left(\frac{\hat{\alpha}}{N W} \right)^k k \right) \right)}{\sqrt{n w N W}}, \\
g_{NN} &= -\frac{1}{4} \frac{\pi n w W \left(- \left(\sum_{k=0}^r c_k \left(\frac{\hat{\alpha}}{N W} \right)^k \right) - 4 \left(\sum_{k=0}^r c_k \left(\frac{\hat{\alpha}}{N W} \right)^k k \right) + 4 \left(\sum_{k=0}^r c_k \left(\frac{\hat{\alpha}}{N W} \right)^k k (k+1) \right) \right)}{\sqrt{n w N W N}}, \\
g_{NW} &= -\frac{1}{4} \frac{\pi n w \left(\left(\sum_{k=0}^r c_k \left(\frac{\hat{\alpha}}{N W} \right)^k \right) - 4 \left(\sum_{k=0}^r c_k \left(\frac{\hat{\alpha}}{N W} \right)^k k \right) + 4 \left(\sum_{k=0}^r c_k \left(\frac{\hat{\alpha}}{N W} \right)^k k^2 \right) \right)}{\sqrt{n w N W}}, \\
g_{WW} &= -\frac{1}{4} \frac{\pi n w N \left(- \left(\sum_{k=0}^r c_k \left(\frac{\hat{\alpha}}{N W} \right)^k \right) - 4 \left(\sum_{k=0}^r c_k \left(\frac{\hat{\alpha}}{N W} \right)^k k \right) + 4 \left(\sum_{k=0}^r c_k \left(\frac{\hat{\alpha}}{N W} \right)^k k (k+1) \right) \right)}{\sqrt{n w N W W}} \quad (5.85)
\end{aligned}$$

Nous voyons que les mineurs principaux $\{p_1, p_2, p_3\}$ sont donnés par les expressions

$$\begin{aligned}
p_1 &= \frac{1}{4} \frac{\pi w N W \left(\sum_{k=0}^r c_k \left(\frac{\hat{\alpha}}{N W} \right)^k \right)}{n \sqrt{n w N W}}, \\
p_2 &= 0, \\
p_3 &= -\frac{1}{16} \pi^3 W^2 \left(\sum_{k=0}^r c_k \left(\frac{\hat{\alpha}}{N W} \right)^k \right) \left(\left(\sum_{k=0}^r c_k \left(\frac{\hat{\alpha}}{N W} \right)^k \right)^2 \right. \\
&\quad \left. - 4 \left(\sum_{k=0}^r c_k \left(\frac{\hat{\alpha}}{N W} \right)^k \right) \left(\sum_{k=0}^r c_k \left(\frac{\hat{\alpha}}{N W} \right)^k k \right) \right. \\
&\quad \left. + 4 \left(\sum_{k=0}^r c_k \left(\frac{\hat{\alpha}}{N W} \right)^k k \right)^2 \right) / \sqrt{n w N W}. \quad (5.86)
\end{aligned}$$

De plus, il n'est pas difficile de voir que le déterminant de la métrique tenseure est

donné par

$$g = \frac{1}{16} \pi^4 g_1 g_3 \quad (5.87)$$

où la fonction g_1 est la somme

$$g_1 = \sum_{k=0}^r c_k \left(\frac{\hat{\alpha}}{N\mathbb{W}} \right)^k \quad (5.88)$$

et la fonction g_3 est la produit des trois sommes

$$\begin{aligned} g_3 = & - \left(\sum_{k=0}^r c_k \left(\frac{\hat{\alpha}}{N\mathbb{W}} \right)^k \right)^3 + 4 \left(\sum_{k=0}^r c_k \left(\frac{\hat{\alpha}}{N\mathbb{W}} \right)^k \right)^2 \left(\sum_{k=0}^r c_k \left(\frac{\hat{\alpha}}{N\mathbb{W}} \right)^k k \right) \\ & + 2 \left(\sum_{k=0}^r c_k \left(\frac{\hat{\alpha}}{N\mathbb{W}} \right)^k \right)^2 \left(\sum_{k=0}^r (c_k \left(\frac{\hat{\alpha}}{N\mathbb{W}} \right)^k k^2 + c_k \left(\frac{\hat{\alpha}}{N\mathbb{W}} \right)^k k) \right) \\ & - 8 \left(\sum_{k=0}^r c_k \left(\frac{\hat{\alpha}}{N\mathbb{W}} \right)^k \right) \left(\sum_{k=0}^r c_k \left(\frac{\hat{\alpha}}{N\mathbb{W}} \right)^k k \right) \left(\sum_{k=0}^r (c_k \left(\frac{\hat{\alpha}}{N\mathbb{W}} \right)^k k^2 + c_k \left(\frac{\hat{\alpha}}{N\mathbb{W}} \right)^k k) \right) \\ & + 8 \left(\sum_{k=0}^r c_k \left(\frac{\hat{\alpha}}{N\mathbb{W}} \right)^k \right) \left(\sum_{k=0}^r c_k \left(\frac{\hat{\alpha}}{N\mathbb{W}} \right)^k k \right) \left(\sum_{k=0}^r c_k \left(\frac{\hat{\alpha}}{N\mathbb{W}} \right)^k k^2 \right) \\ & + 8 \left(\sum_{k=0}^r c_k \left(\frac{\hat{\alpha}}{N\mathbb{W}} \right)^k k \right)^2 \left(\sum_{k=0}^r (c_k \left(\frac{\hat{\alpha}}{N\mathbb{W}} \right)^k k^2 + c_k \left(\frac{\hat{\alpha}}{N\mathbb{W}} \right)^k k) \right) \\ & - 4 \left(\sum_{k=0}^r c_k \left(\frac{\hat{\alpha}}{N\mathbb{W}} \right)^k \right) \left(\sum_{k=0}^r c_k \left(\frac{\hat{\alpha}}{N\mathbb{W}} \right)^k k \right)^2 - 2 \left(\sum_{k=0}^r c_k \left(\frac{\hat{\alpha}}{N\mathbb{W}} \right)^k \right)^2 \\ & \times \left(\sum_{k=0}^r c_k \left(\frac{\hat{\alpha}}{N\mathbb{W}} \right)^k k^2 \right) - 8 \left(\sum_{k=0}^r c_k \left(\frac{\hat{\alpha}}{N\mathbb{W}} \right)^k k \right)^2 \left(\sum_{k=0}^r c_k \left(\frac{\hat{\alpha}}{N\mathbb{W}} \right)^k k^2 \right) \quad (5.89) \end{aligned}$$

À la fin, comme nous avons fourni les Γ_{abc} dans l'annex [A], il s'avère que la courbure scalaire prend la forme suivante

$$R = -\frac{3}{\pi \sqrt{n w N W}} \frac{r_1 - r_2}{g_1 g_3} \quad (5.90)$$

où les fonctions $\{r_1, r_2\}$ sont données par

$$\begin{aligned} r_1 = & \left(\sum_{k=0}^r c_k \left(\frac{\hat{\alpha}}{N W} \right)^k \right)^3 + \left(\sum_{k=0}^r c_k \left(\frac{\hat{\alpha}}{N W} \right)^k \right)^2 \left(\sum_{k=0}^r c_k \left(\frac{\hat{\alpha}}{N W} \right)^k k^2 \right) \\ & + \left(\sum_{k=0}^r c_k \left(\frac{\hat{\alpha}}{N W} \right)^k \right)^2 \left(\sum_{k=0}^r (c_k \left(\frac{\hat{\alpha}}{N W} \right)^k k^3 + c_k \left(\frac{\hat{\alpha}}{N W} \right)^k k^2) \right) \\ & + \left(\sum_{k=0}^r c_k \left(\frac{\hat{\alpha}}{N W} \right)^k \right)^2 \left(\sum_{k=0}^r (c_k \left(\frac{\hat{\alpha}}{N W} \right)^k k^2 + c_k \left(\frac{\hat{\alpha}}{N W} \right)^k k) \right) \\ & + 2 \left(\sum_{k=0}^r c_k \left(\frac{\hat{\alpha}}{N W} \right)^k \right) \left(\sum_{k=0}^r c_k \left(\frac{\hat{\alpha}}{N W} \right)^k k^2 \right)^2 + 2 \left(\sum_{k=0}^r c_k \left(\frac{\hat{\alpha}}{N W} \right)^k k \right) \\ & \times \left(\sum_{k=0}^r c_k \left(\frac{\hat{\alpha}}{N W} \right)^k \right) \left(\sum_{k=0}^r (c_k \left(\frac{\hat{\alpha}}{N W} \right)^k k^3 + 3 c_k \left(\frac{\hat{\alpha}}{N W} \right)^k k^2 + 2 c_k \left(\frac{\hat{\alpha}}{N W} \right)^k k) \right) \\ & + 4 \left(\sum_{k=0}^r c_k \left(\frac{\hat{\alpha}}{N W} \right)^k k \right)^2 \left(\sum_{k=0}^r c_k \left(\frac{\hat{\alpha}}{N W} \right)^k k^2 \right) + 6 \left(\sum_{k=0}^r c_k \left(\frac{\hat{\alpha}}{N W} \right)^k \right) \\ & \times \left(\sum_{k=0}^r c_k \left(\frac{\hat{\alpha}}{N W} \right)^k k \right) \left(\sum_{k=0}^r (c_k \left(\frac{\hat{\alpha}}{N W} \right)^k k^2 + c_k \left(\frac{\hat{\alpha}}{N W} \right)^k k) \right). \end{aligned} \quad (5.91)$$

$$\begin{aligned}
r_2 = & \left(\sum_{k=0}^r c_k \left(\frac{\hat{\alpha}}{N\mathbb{W}} \right)^k \right)^2 \left(\sum_{k=0}^r (c_k \left(\frac{\hat{\alpha}}{N\mathbb{W}} \right)^k k^3 + 3 c_k \left(\frac{\hat{\alpha}}{N\mathbb{W}} \right)^k k^2 + 2 c_k \left(\frac{\hat{\alpha}}{N\mathbb{W}} \right)^k k) \right) \\
& + 2 \left(\sum_{k=0}^r c_k \left(\frac{\hat{\alpha}}{N\mathbb{W}} \right)^k \right) \left(\sum_{k=0}^r (c_k \left(\frac{\hat{\alpha}}{N\mathbb{W}} \right)^k k^2 + c_k \left(\frac{\hat{\alpha}}{N\mathbb{W}} \right)^k k) \right)^2 \\
& + 2 \left(\sum_{k=0}^r c_k \left(\frac{\hat{\alpha}}{N\mathbb{W}} \right)^k k \right) \left(\sum_{k=0}^r c_k \left(\frac{\hat{\alpha}}{N\mathbb{W}} \right)^k \right) \left(\sum_{k=0}^r (c_k \left(\frac{\hat{\alpha}}{N\mathbb{W}} \right)^k k^3 + c_k \left(\frac{\hat{\alpha}}{N\mathbb{W}} \right)^k k^2) \right) \\
& + 4 \left(\sum_{k=0}^r c_k \left(\frac{\hat{\alpha}}{N\mathbb{W}} \right)^k k \right)^2 \left(\sum_{k=0}^r (c_k \left(\frac{\hat{\alpha}}{N\mathbb{W}} \right)^k k^2 + c_k \left(\frac{\hat{\alpha}}{N\mathbb{W}} \right)^k k) \right) \\
& + 4 \left(\sum_{k=0}^r c_k \left(\frac{\hat{\alpha}}{N\mathbb{W}} \right)^k \right)^2 \left(\sum_{k=0}^r c_k \left(\frac{\hat{\alpha}}{N\mathbb{W}} \right)^k k \right) \\
& + 6 \left(\sum_{k=0}^r c_k \left(\frac{\hat{\alpha}}{N\mathbb{W}} \right)^k \right) \left(\sum_{k=0}^r c_k \left(\frac{\hat{\alpha}}{N\mathbb{W}} \right)^k k \right) \left(\sum_{k=0}^r c_k \left(\frac{\hat{\alpha}}{N\mathbb{W}} \right)^k k^2 \right). \tag{5.92}
\end{aligned}$$

Chapitre 6

La géométrie de Ruppenier des solutions non-extrémales de branes D_1D_5 et $D_2D_6NS_5$ en dimensions $D = 10$

Dans ce chapitre, nous considérons les solutions non-extrémales de branes D_1D_5 et $D_2D_6NS_5$ en $D = 10$ de l'action effective de la théorie des cordes de type-II. Ces solutions non-extrémales de branes sont obtenues par l'application de la fonction de l'entropie de Sen par Ahmad Ghodsi et. al. [16]. Ces systèmes de branes noirs sont le plus simple système pour lesquels, il est immédiat d'analyser la géométrie thermodynamique. Ceux sont respectivement les branes noirs non-extrémaux avec trois et quatre charges. En d'autres termes, nous considérons les solutions non-extrémales de branes D_1D_5 et $D_2D_6NS_5$ découlant de l'action effective de la théorie des cordes de type-II [85].

Le contenu des champs de l'action effectif dans le cadre des cordes sont le champ de dilaton, le champ de NS-NS, le champ d'autoduale de RR. Ultérieurement, le Ref. [16] montre que l'application de formalisme de la fonction de l'entropie de Sen peut être faite pour les deux solutions non-extrémales de branes D_1D_5 et $D_2D_6NS_5$ dans l'approximation de la gorge, où ces solutions de branes respectivement représentent les trous noirs de

Schwarzschild dans $AdS_3 \times S^3 \times T_4$ et $AdS_3 \times S^2 \times S^1 \times T_4$. Donc, à la suite, nous voudrions voir comment les corrections de α' modifient la géométrie thermodynamique de ces solutions non-extrémales de branes D_1D_5 et $D_2D_6NS_5$.

6.1 La géométrie de Ruppenier des solutions non-extrémales de branes D_1D_5 :

Dans cette section, nous analysons la géométrie thermodynamique de Ruppenier des branes D_1D_5 non-extrémaux. Dans la théorie effective de type-IIB, la solution non-extrémales des branes D_1D_5 peut être décrite en prenant le champ de dilaton et les deux champs de RR $\{C_2, C_6\}$. En fait, cette configuration peut être décrite pour les moments du mouvement de droit et ceux de gauche à l'égalité et en considérant les branes D_1 dans la direction compacte de S^1 et les branes D_5 dans la direction compacte de $S^1 \times T^4$. En ce cas, le Ref. [16] montre que l'horizon de cette solution se développe à $r = r_0$ avec une géométrie de la gorge de $S^3 \times T^4$ dans la limite de grande distance: $r \ll Q_1$ et $r \ll Q_2$ qui est un trou noir de Schwarzschild dans l' AdS_3 . En outre, notez bien que cette solution se permet de réduire à la solution extrémale ordinaire des branes D_1D_5 pour certaine valeur du paramètre r_0 pour laquelle l'horizon est situé à $r_0 = 0$. L'analyse de la fonction de l'entropie de Sen, au niveau des deux dérivés et bien aussi avec les corrections de α' auxquelles la géométrie (de l'espace-temps) près de l'horizon est donnée par $S^1 \times S^3 \times T^4$, donne l'entropie de ce système des branes noirs.

6.1.1 À l'ordre de $(\alpha')^0$

Il est bien connu [16] que l'entropie est proportionnelle à la fonction de l'entropie de Sen et au niveau des deux dérivés, l'entropie de cette solution des branes D_1D_5 est:

$$S_{BH}(N_1, N_5, N_R) := 4\pi \sqrt{N_1 N_5 N_R}. \quad (6.1)$$

Donc, en considérant $\{N_1, N_5, N_R\}$ comme les variables de la fluctuation statistique, on peut voir que les composantes de la métrique tenseure de Ruppenier sont données par:

$$\begin{aligned}
 g_{N_1N_1} &= \frac{\pi}{N_1} \sqrt{\frac{N_5N_R}{N_1}}, \\
 g_{N_1N_5} &= -\pi \sqrt{\frac{N_R}{N_1N_5}}, \\
 g_{N_1N_R} &= -\pi \sqrt{\frac{N_5}{N_1N_R}}, \\
 g_{N_5N_5} &= \frac{\pi}{N_5} \sqrt{\frac{N_1N_R}{N_5}}, \\
 g_{N_5N_R} &= -\pi \sqrt{\frac{N_1}{N_5N_R}}, \\
 g_{N_RN_R} &= \frac{\pi}{N_R} \sqrt{\frac{N_1N_5}{N_R}}.
 \end{aligned} \tag{6.2}$$

Puisqu'il y a trois variables indépendantes, c'est-à-dire que nous avons les nombres $\{N_1, N_5, N_R\}$, et donc en afin d'offrir les vues graphiques de trois dimensions, nous allons considérer dans la limite de $N_1 = N$, $N_5 = N$ et $N_R = W$. Pour une configuration donnée des trous noirs D_1D_5 nonextremaux, les propriétés des fluctuations peuvent être exprimées par les caractérisation suivantes. Notamment, dans le régime de $N \in (0, 10)$ et $W \in (0, 10)$, on observe que l'amplitudes des les capacités de chaleurs $\{g_{N_1N_1}, g_{N_5N_5}\}$ prennent une valeur à l'ordre de 25. Dans cette gamme de N, W , la capacité de chaleur $\{g_{N_RN_R}\}$ se situe dans la gamme de $(0, 120)$. Conformément à la prédiction de la géométrie de l'espace d'état, nous constatons que les gammes de croissance de la première ensemble et celle de la deuxième ensemble des capacités de chaleurs restent dans la limite opposée des paramètres $\{N, W\}$. Plus précisément, pour une petite valeur donnée de N , la première série des capacités de chaleurs augmente quand on augmente la valeur de W . Cependant, pour une petite valeur donnée de W , la composante $g_{N_RN_R}$ augmente quand on augmente la valeur de N . Dans cette préoccupation, les Figs. (6.1, 6.2) montrent que la croissance de premier ensemble des capacités de chaleurs $\{g_{N_1N_1}, g_{N_5N_5}\}$ est liée dans la limite d'un

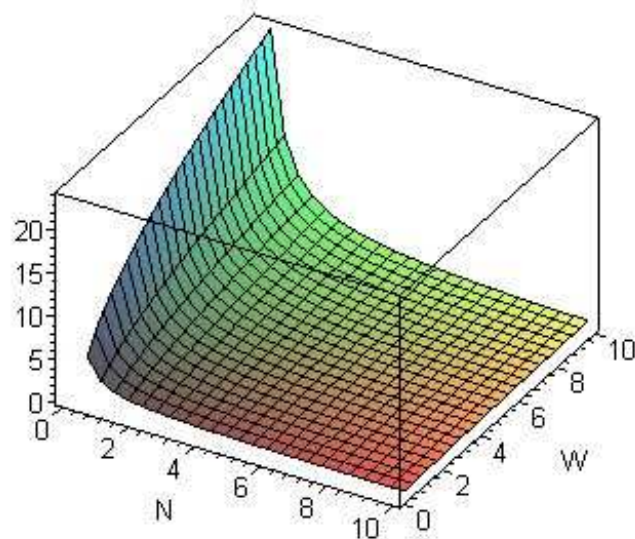


Figure 6.1: La composante N_1N_1 de la métrique tenseure tracée comme la fonction de $\{N, W\}$, en décrivant les fluctuations dans la configuration des trous noirs chargés non-extremaux D_1D_5 à l'ordre dominant.

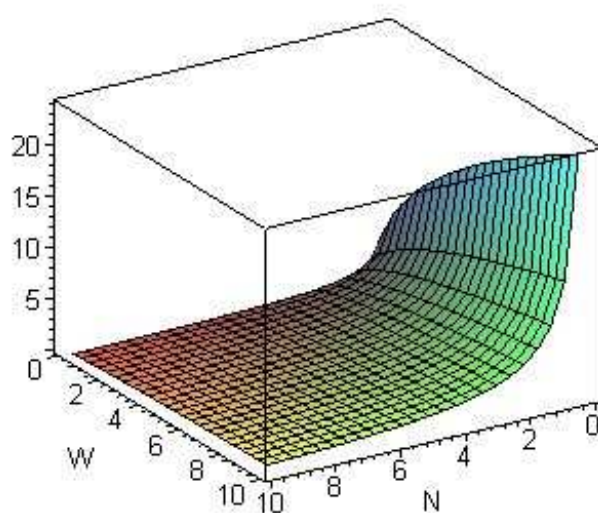


Figure 6.2: La composante N_5N_5 de la métrique tenseure tracée comme la fonction de $\{N, W\}$, en décrivant les fluctuations dans la configuration des trous noirs chargés nonextremaux D_1D_5 à l'ordre dominant.

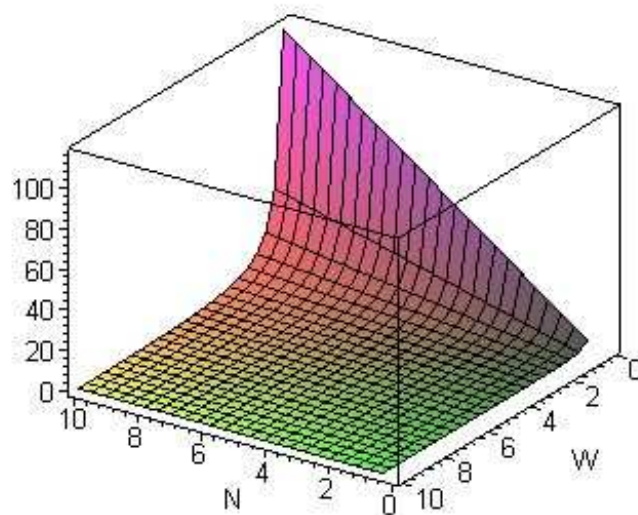


Figure 6.3: La composante $N_R N_R$ de la métrique tenseur tracée comme la fonction de $\{N, W\}$, en décrivant les fluctuations dans la configuration des trous noirs chargés nonextremaux D_1D_5 à l'ordre dominant.

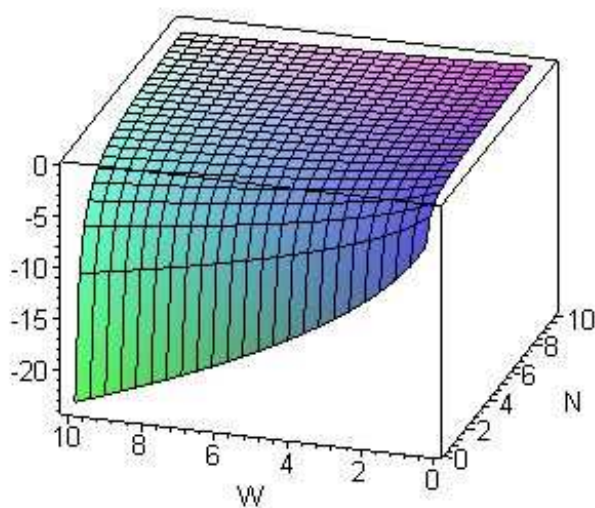


Figure 6.4: La composante N_1N_5 de la métrique tenseure tracée comme la fonction de $\{N, W\}$, en décrivant les fluctuations dans la configuration des trous noirs chargés nonextremaux D_1D_5 à l'ordre dominant.

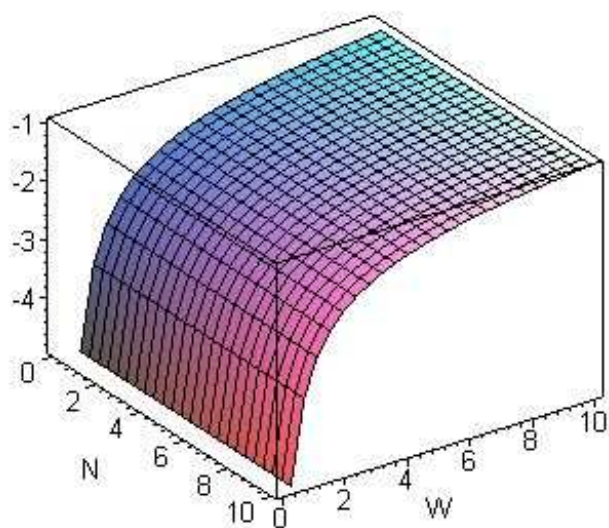


Figure 6.5: La composante N_1N_R de la métrique tenseur tracée comme la fonction de $\{N, W\}$, en décrivant les fluctuations dans la configuration des trous noirs chargés nonextremaux D_1D_5 à l'ordre dominant.

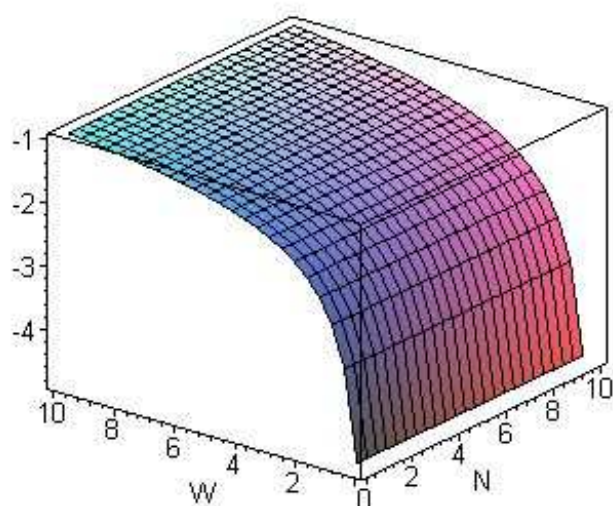


Figure 6.6: La composante $N_5 N_R$ de la métrique tenseur tracée comme la fonction de $\{N, W\}$, en décrivant les fluctuations dans la configuration des trous noirs chargés nonextremaux D_1D_5 à l'ordre dominant.

grand W et un petit N . Du fait même, la Fig. (6.3) montre que la croissance de $\{g_{N_R N_R}\}$ se situe dans la limite d'un petit W et un grand N . De plus, les compressibilités de chaleurs en impliquant deux paramètres distincts de la configuration des trous noirs sous-jacents sont représentés dans les Figs. (6.4,6.5, 6.6). En fait, nous constatons que l'amplitude de (i) $g_{N_1 N_5}$ est à l'ordre de -25 , (ii) $g_{N_1 N_R}$ est à l'ordre de -5 et (iii) $g_{N_5 N_R}$ est aussi à l'ordre de -5 . Par la présente, la métrique tenseure de l'espace d'état $\{g_{ij} \mid i, j = N_1, N_5, N_R\}$ tel qu'elle est décrite dans les Figs. (6.1, 6.2, 6.3) ce qui est montrée à l'ordre dominant de la configuration des trous noirs D_1D_5 nonextremaux, correspond à un ensemble statistique localement stable avec une positive valeur des capacités de chaleurs.

Dans ce cas, il s'avère que le mineur de surface est

$$p := g_{N_1 N_1} g_{N_5 N_5} - (g_{N_1 N_5})^2 \quad (6.3)$$

est identiquement nulle pour toute valeurs des nombres $\{N_1, N_5, N_R\}$.

Nous voyons que le déterminant de la métrique tenseure est:

$$g = -4\pi^3 (N_1 N_5 N_R)^{-1/2}. \quad (6.4)$$

Sous les fluctuations des paramètres $\{N_1, N_5, N_R\}$, la stabilité d'un ensemble de la configuration des trous noirs D_1D_5 nonextremaux découle de la positivité du déterminant de la métrique tenseure. Pour le choix de $N_1 = N$, $N_5 = N$ et $W = N_R$, nous trouvons que le déterminant de la métrique tenseure g prend une grande valeur négative quand nous diminuons les paramètres $\{N, W\}$. Dans ce cas, nous constatons que $g \in (-500, 0)$. Pour une valeur typique de $N \in (0, 10)$ et $W \in (0, 10)$, la Fig. (6.7) offre la nature graphique du déterminant de la métrique tenseure g . En outre, la surface définie par les fluctuations de $\{N_1, N_5\}$ est instable par-ce que le mineur principe correspondant est identiquement nulle, à savoir que nous avons $p_2 = 0$. Enfin d'alors que le seulement le paramètre N_1 est

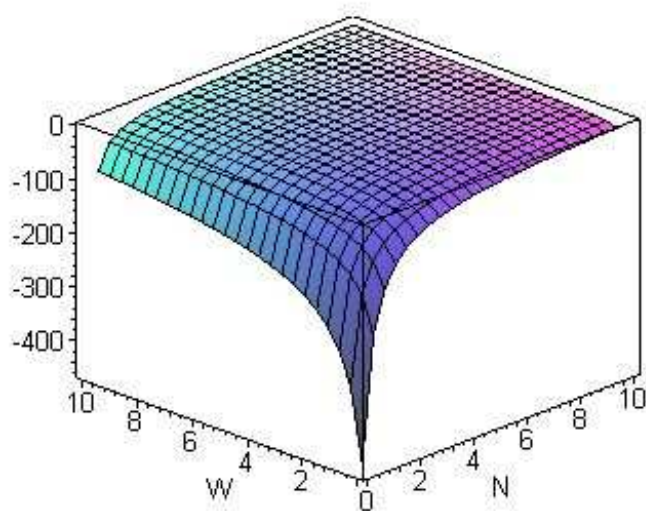


Figure 6.7: Le déterminant de la métrique tenseure tracée comme la fonction de $\{N, W\}$, en décrivant les fluctuations dans la configuration des trous noirs chargés nonextremaux D_1D_5 à l'ordre dominant.

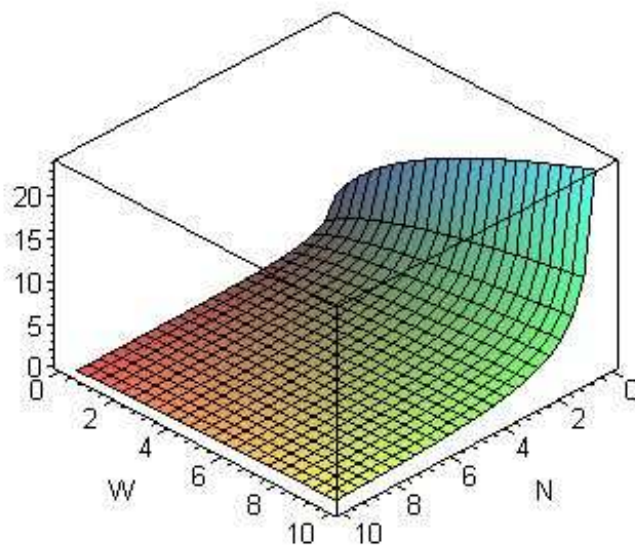


Figure 6.8: Le premier mineur de la métrique tenseure tracée comme la fonction de $\{N, W\}$, en décrivant les fluctuations dans la configuration des trous noirs chargés nonextremaux D_1D_5 à l'ordre dominant.

autorisé à varier, la stabilité de la configuration des trous noirs D_1D_5 nonextremaux est donnée par la positivité du premier principe mineur $p_1 := g_{N_1N_1}$. Une vue rotatée de p_1 est présentée dans la Fig. (6.8). Les propriétés ci-dessus de l'espace d'état et la positivité des mineurs principaux concernés décrivent le comportement qualitative de la stabilité statistique d'un ensemble des trous noirs D_1D_5 nonextremaux ce qui sont définis par la théorie des cordes.

Et bien aussi, comme nous avons fourni les Γ_{abc} dans l'annex [A], il s'avère que on voit que la courbure scalaire de Ruppenier est simplement:

$$R = \frac{3}{8\pi}(N_1N_5N_R)^{-1/2} \quad (6.5)$$

qu'elle est partout régulière, pour chaque non-nulle valeur des paramètres $\{N_1, N_5, N_R\}$.

Comme mentionné dans le chapitre précédent, la courbure scalaire de l'espace d'état offre les propriétés statistiques globales sous la fluctuation d'une configuration des trous noirs chargés D_1D_5 nonextremaux en terme de $\{N_1, N_5, N_R\}$. Dans la gamme de $N \in (0, 10)$ et $W \in (0, 10)$, la Fig. (6.9) montre que la courbure scalaire a une petite amplitude positive de l'ordre de 0.5. Dans cette gamme de paramètres, nous observons que la configuration sous-jacente de ces trous noirs D_1D_5 nonextremaux est un système statistique faiblement interactive. Physiquement, le signe positif de la courbure scalaire signifie que les interactions statistiques sont répulsives dans la leur nature. La Fig. (6.10) illustre le comportement de la courbure scalaire ci-dessus pour la range des paramètres $N, W \in (-10, 10)$. En fait, nous voyons que les interactions sont largement présents près de la ligne $N = 0$ et la courbure scalaire de l'espace d'état acquiert un grand pic à l'ordre de $4 \times 10^{+07}$ près de l'origine $(N, W) = (0, 0)$. Dans la gamme d'un petit W et un petit N , nous remarquons de la Fig. (6.10) que les interactions statistiques globales sont symétriques autour de la ligne $N = 0$. En comparaison des interactions apparaissant dans la gamme de $N, W \in (0, 10)$, l'amplitude des interactions statistiques

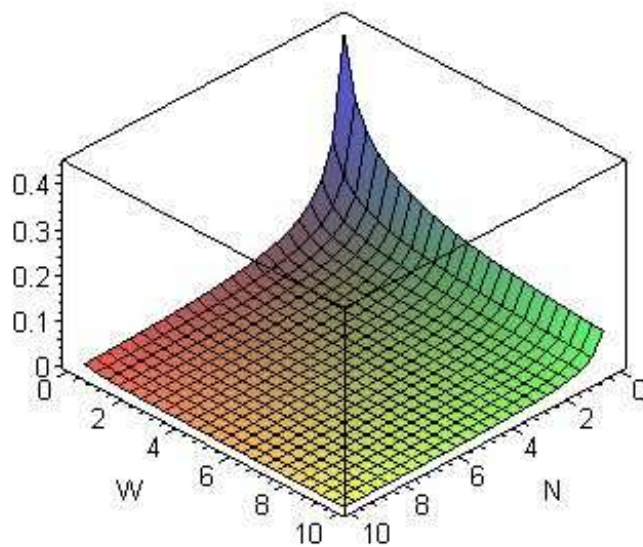


Figure 6.9: La courbure scalaire tracée comme la fonction de $\{N, W\}$, en décrivant les fluctuations dans la configuration des trous noirs chargés nonextremaux D_1D_5 à l'ordre dominant dans la gamme des charges $N, W \in (0, 10)$.

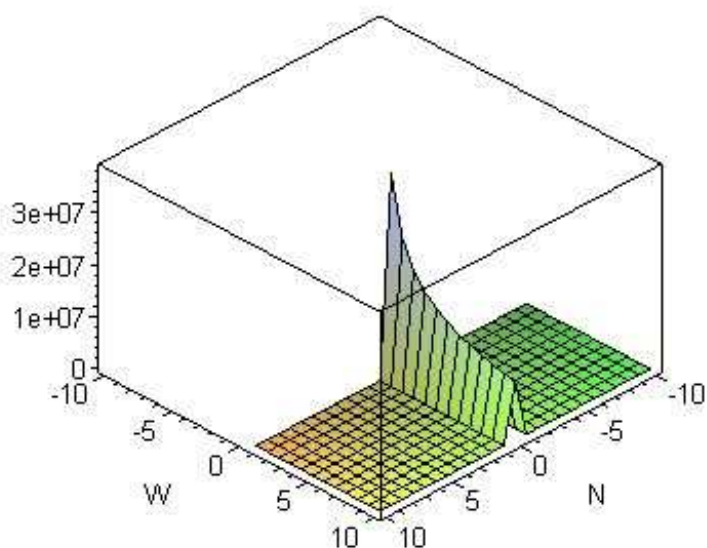


Figure 6.10: La courbure scalaire tracée comme la fonction de $\{N, W\}$, en décrivant les fluctuations dans la configuration des trous noirs chargés nonextremaux D_1D_5 à l'ordre dominant dans la gamme des charges $N, W \in (-10, 10)$.

globales se révèlent d'être beaucoup plus grande dans la gamme de $N, W \in (-10, 10)$. Précisément, nous constatons que le ratio des valeurs typiques de l'amplitude de ces courbures scalaires de l'espace d'état est à l'ordre de 10^{-08} . La vue graphique de cette comparaison ci-dessus mentionnée est apparente par les Figs. (6.9, 6.10). Qualitativement, par les représentations de l'espace d'état, nous observons que la configuration des trous noirs D_1D_5 nonextremaux sont interactives au niveau globale, et elles correspondent à un système statistique instable dans des deux dérivés de la gravité.

6.1.2 À l'ordre de α'

Maintenant, examinons les effets de la théorie des cordes, en particulier, les corrections de $(\alpha')^3$ venant de la courbure tenseure de Wey [16]. L'analyse de la fonction de l'entropie de Sen peut être faite pour la contribution non-nulle de la courbure tenseure de Weyl à l'entropie et ainsi la géométrie de l'espace-temps près de l'horizon peut être obtenues à l' $AdS_3 \times S^3 \times T^4$, comme dans le cas d'habitude des deux dérivées. En particulier, en tenant compte de ces effets de la théorie des cordes, nous considérons les corrections des dérivées supérieures au niveau de $(\alpha')^3$. Soit

$$\gamma = \frac{1}{8}\zeta(3)(\alpha')^3 \quad (6.6)$$

le coefficient de la contribution des dérivées supérieures à la densité lagrangienne effective. Alors, à l'aide de la méthode de la fonction d'entropie de Sen, le Ref. [16] montre que l'entropie de la configuration des branes D_1D_5 est:

$$S_{BH}(N_1, N_5, N_R) := 4\pi\sqrt{N_1N_5N_R} - \frac{4\pi b\sqrt{N_R}}{N_1N_5}, \quad (6.7)$$

où nous avons défini le paramètre b comme:

$$b = \gamma \left(\frac{(2\pi)^3 V_4}{16\pi G_{10}} \right)^{3/2}. \quad (6.8)$$

Donc, les composantes de la métrique de Ruppenier sont données par:

$$\begin{aligned} g_{N_1 N_1} &= \frac{\pi}{N_1} \sqrt{\frac{N_5 N_R}{N_1}} + \frac{8\pi b \sqrt{N_R}}{N_1^3 N_5}, \\ g_{N_1 N_5} &= -\pi \sqrt{\frac{N_R}{N_1 N_5}} + \frac{4\pi b \sqrt{N_R}}{N_1^2 N_5^2}, \\ g_{N_1 N_R} &= -\pi \sqrt{\frac{N_5}{N_1 N_R}} - \frac{2\pi b}{N_1^2 N_5 \sqrt{N_R}}, \\ g_{N_5 N_5} &= \frac{\pi}{N_5} \sqrt{\frac{N_1 N_R}{N_5}} + \frac{8\pi b \sqrt{N_R}}{N_1 N_5^3}, \\ g_{N_5 N_R} &= -\pi \sqrt{\frac{N_1}{N_5 N_R}} - \frac{2\pi b}{N_1 N_5^2 \sqrt{N_R}}, \\ g_{N_R N_R} &= \frac{\pi}{N_R} \sqrt{\frac{N_1 N_5}{N_R}} - \frac{\pi b}{N_1 N_5 N_R^{3/2}}. \end{aligned} \quad (6.9)$$

En suivant la convention des graphiques de la section précédente, nous allons continuer à la considération de $N_1 = N$, $N_5 = N$ et $N_R = W$. Ça offre une représentation des propriétés de la fluctuation en trois dimensions de la configuration des trous noirs D_1D_5 nonextremaux sous les corrections de α' . Dans le régime de $N \in (0, 10)$ et $W \in (0, 10)$, nous trouvons que l'amplitudes des capacités de chaleurs $\{g_{N_1 N_1}, g_{N_5 N_5}\}$ prend une valeur à l'ordre de 30. Dans cette gamme de N, W , les capacités de chaleurs $\{g_{N_R N_R}\}$ est dans l'intervalle $(0, 120)$. En conformant à la prédiction de lagéométrie de l'espace d'état sous les corrections de α' , on observe que l'augmentation de l'amplitude de la première ensemble et celle de la deuxième ensemble des capacités de chaleurs reste dans la limite opposée des paramètres $\{N, W\}$. Plus précisément, nous constatons que les corrections de α' ne modifie pas la nature graphique des capacités de chaleurs. En fait, pour une petite valeur donnée de N , nous pouvons noter que la première série des capacités de chaleurs

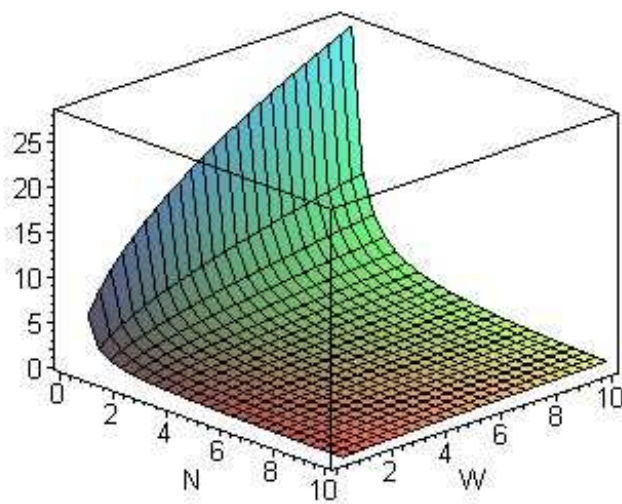


Figure 6.11: La composante N_1N_1 de la métrique tenseure tracée comme la fonction de $\{N, W\}$, en décrivant les fluctuations dans la configuration des trous noirs chargés nonextremaux D_1D_5 à l'ordre de α' .

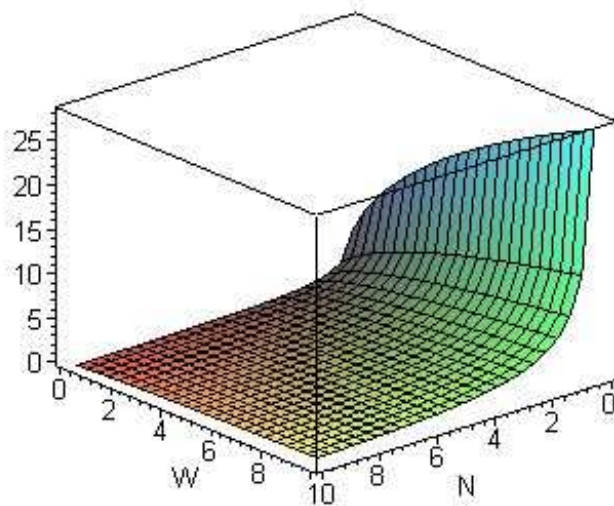


Figure 6.12: La composante $N_5 N_5$ de la métrique tenseur tracée comme la fonction de $\{N, W\}$, en décrivant les fluctuations dans la configuration des trous noirs chargés nonextremaux D_1D_5 à l'ordre de α' .

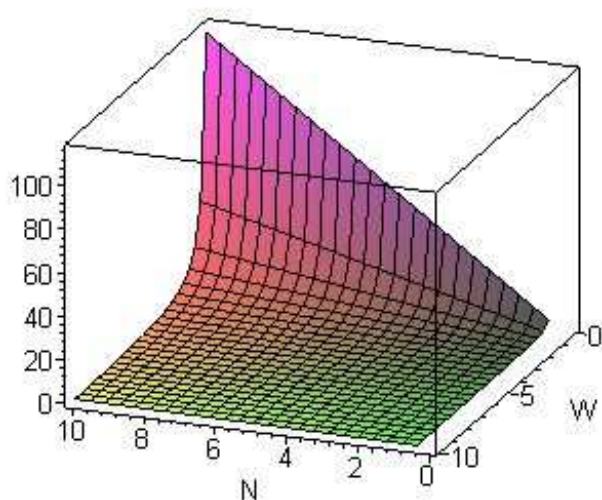


Figure 6.13: La composante $N_R N_R$ de la métrique tenseur tracée comme la fonction de $\{N, W\}$, en décrivant les fluctuations dans la configuration des trous noirs chargés nonextremaux D_1D_5 à l'ordre de α' .

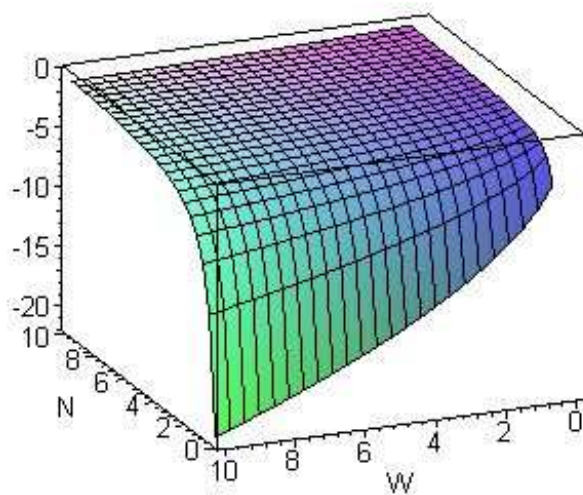


Figure 6.14: La composante N_1N_5 de la métrique tenseure tracée comme la fonction de $\{N, W\}$, en décrivant les fluctuations dans la configuration des trous noirs chargés nonextremaux D_1D_5 à l'ordre de α' .

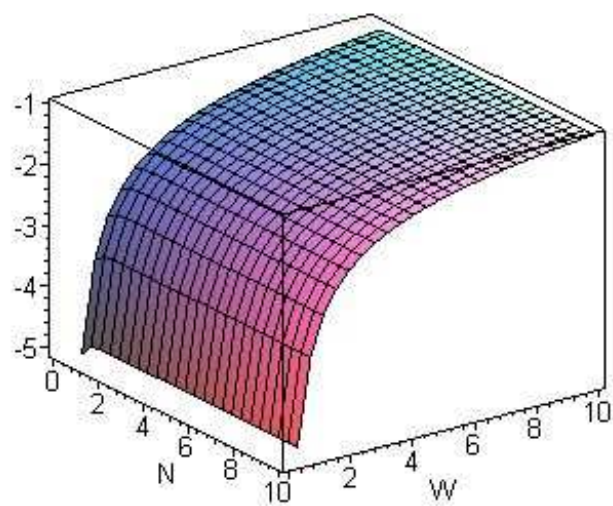


Figure 6.15: La composante N_1N_R de la métrique tenseur tracée comme la fonction de $\{N, W\}$, en décrivant les fluctuations dans la configuration des trous noirs chargés nonextremaux D_1D_5 à l'ordre de α' .

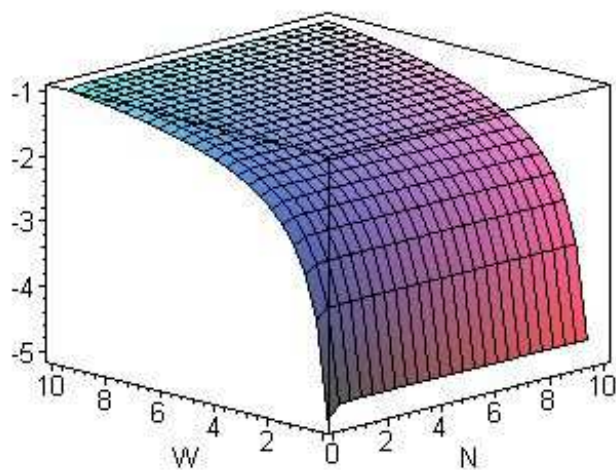


Figure 6.16: La composante $N_5 N_R$ de la métrique tenseur tracée comme la fonction de $\{N, W\}$, en décrivant les fluctuations dans la configuration des trous noirs chargés nonextremaux D_1D_5 à l'ordre de α' .

$\{g_{N_1N_1}, g_{N_5N_5}\}$ augmente, quand nous augmentons la valeur de W . Du fait même, pour une valeur donnée petite de W , on observe que la capacité thermique $g_{N_RN_R}$ augmente lorsque nous augmentons la valeur de N . Dans ce cas, les Figs. (6.11, 6.12) montrent que la croissance de premier ensemble des capacités de chaleurs $\{g_{N_1N_1}, g_{N_5N_5}\}$ a lieu dans la limite d'un grand W et un petite N . De plus, la Fig. (6.13) montre que l'amplitude de $\{g_{N_RN_R}\}$ a lieu dans la limite d'un petit W et un grand N . Il est à noter que les capacités de chaleurs de cet ensemble trouvent des positives numériques valeurs. D'autre part, les Figs. (6.14, 6.15, 6.16) représentent les compressibilités de chaleurs en impliquant deux paramètres distincts de la configuration des trous noirs D_1D_5 nonextremaux sous les corrections de α' . Par la présente, nous remarquons que l'amplitude de (i) $g_{N_1N_5}$ est à l'ordre de -22 , (ii) $g_{N_1N_R}$ est à l'ordre de -5 et (iii) $g_{N_5N_R}$ est aussi à l'ordre de -5 . Comme nous avons montré dans les Figs. (6.11, 6.12, 6.13), la métrique tenseure de l'espace d'état $\{g_{ij} \mid i, j = N_1, N_5, N_R\}$ illustre le fait que les corrections de α' à la configuration des trous noirs D_1D_5 nonextremaux correspondent à un système statistique localement stable.

Sous les corrections de dérivées supérieures de la théorie des cordes, nous constatons que le mineure de la surface

$$p_2 := g_{N_1N_1} g_{N_5N_5} - g_{N_1N_5}^2 \quad (6.10)$$

se réduit à une valeur non-nulle. En fait, il n'est pas difficile de voir que le mineur de surface comme défini au-dessus est donnée par

$$p_2 = 24 \pi^2 b N_R \frac{(N_5 N_1)^{3/2} + 2b}{(N_1 N_5)^4} \quad (6.11)$$

Il est facile de voir que le déterminant de la métrique tenseure est donné par:

$$g = -4\pi^3 (N_1 N_5)^{-5} (N_1 N_5 N_R)^{-1/2} \tilde{g}(N_1, N_5), \quad (6.12)$$

où la fonction $\tilde{g}(N_1, N_5)$ est définie par

$$\tilde{g}(N_1, N_5) := (N_1 N_5)^5 + 6b^2(N_1 N_5)^2 + 20b^3(N_1 N_5)^{1/2}. \quad (6.13)$$

Sous les fluctuations des paramètres $\{N_1, N_5, N_R\}$, la stabilité d'un ensemble de la configuration des trous noirs D_1D_5 nonextremaux peut être décrite de la positivité du déterminant de la métrique tenseure g . Sous les corrections de α' à la configuration des trous noirs D_1D_5 nonextremaux avec $N_1 = N$, $N_5 = N$ et $W = N_R$, nous constatons que le déterminant de la métrique tenseure g prend une grande valeur négative, quand nous diminuons les paramètres $\{N, W\}$. Ça montre que les corrections des dérivés supérieures de la théorie des cordes ne donnent pas la stabilité statistique aux trous noirs D_1D_5 nonextremaux. Dans ce cas, on peut aussi constater que $g \in (-500, 0)$. Pour une valeur typique de $N \in (0, 10)$ et $W \in (0, 10)$, la Fig. (6.17) décrit la vue graphique du déterminant de la métrique tenseure g . Fait intéressant, la surface définie par les fluctuations de $\{N_1, N_5\}$ devient stable sous les corrections de α' . Cela découle de la positivité de mineur principe correspondant p_2 . La vue graphique de p_2 est montré dans la Fig. (6.18). Dans ce cas, nous constatons que p_2 réside dans la gamme de $(0, 330)$. Pour une petite valeur donnée de N , notez bien que la positivité de p_2 augmente à mesure que nous augmentons la valeur de W de zéro à 10. Enfin, lorsque le seul paramètre N_1 est autorisé à varier, la stabilité de la configuration des trous noirs est donnée par la positivité du premier mineur principe $p_1 := g_{N_1 N_1}$. Avec une orientation différente, la vue graphique du mineur p_1 est montré dans la Fig. (6.19). Les propriétés ci-dessus de l'espace d'état et la positivité des mineurs principaux décrivent le comportement qualitatif des fluctuations statistiques de la configuration des trous noirs D_1D_5 nonextremaux sous les corrections de α' .

Avec les Γ_{abc} donnés dans l'annex [A], on peut aussi obtenir que la courbure scalaire de Ruppenier est:

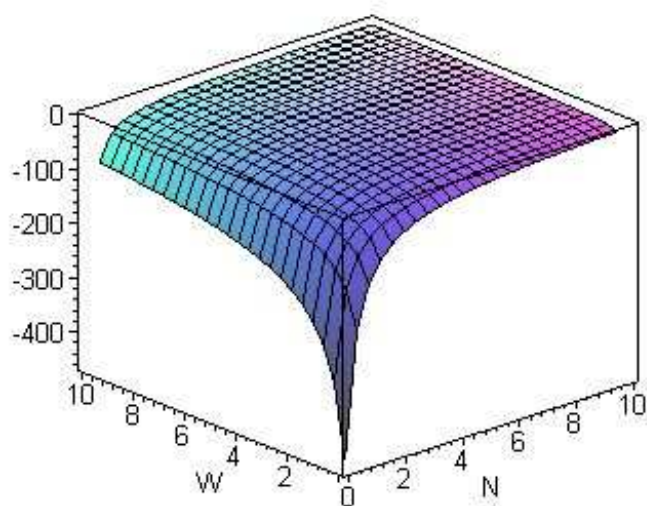


Figure 6.17: Le déterminant de la métrique tenseur tracée comme la fonction de $\{N, W\}$, en décrivant les fluctuations dans la configuration des trous noirs chargés nonextremaux D_1D_5 à l'ordre de α' .

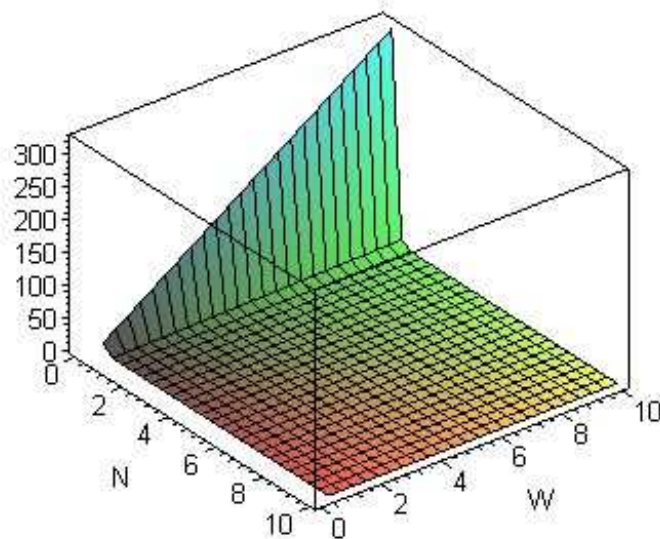


Figure 6.18: Le mineur de surface de la métrique tenseur tracée comme la fonction de $\{N, W\}$, en décrivant les fluctuations dans la configuration des trous noirs chargés nonextremaux D_1D_5 à l'ordre de α' .

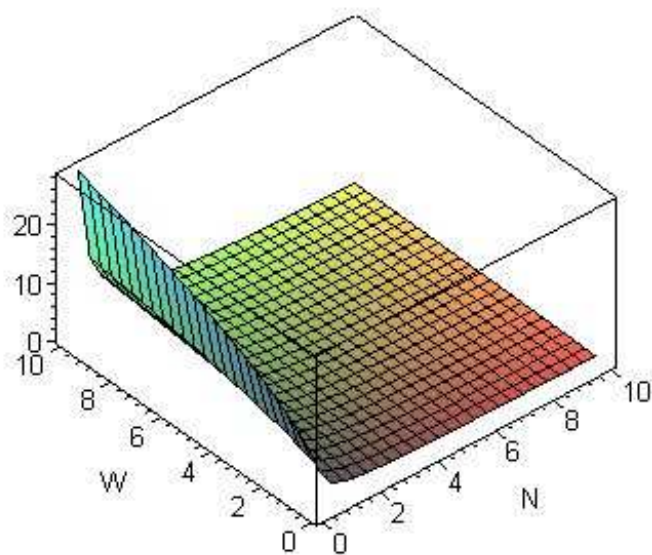


Figure 6.19: Le premier mineur de la métrique tenseure tracée comme la fonction de $\{N, W\}$, en décrivant les fluctuations dans la configuration des trous noirs chargés nonextremaux D_1D_5 à l'ordre de α' .

$$R = \frac{3}{8\pi} \frac{(N_1N_5)^2}{\sqrt{N_R}} \frac{r(N_1, N_5)}{\tilde{g}(N_1, N_5)^3}, \quad (6.14)$$

où la fonction $r(N_1, N_5)$ est définie par

$$\begin{aligned} r(N_1, N_5) := & (N_1N_5)^{25/2} - 48b^4(N_1N_5)^{13/2} + 8b^2(N_1N_5)^{19/2} \\ & + 6520b^6(N_1N_5)^{7/2} + 1700b^5(N_1N_5)^5 - 1600b^3(N_1N_5)^{1/2} \\ & + 1920b^7(N_1N_5)^2 + 256b^3(N_1N_5)^8 - 9b(N_1N_5)^{11}. \end{aligned} \quad (6.15)$$

On voit simplement qu'il n'y a pas des divergences dans l'espace d'état et cette courbure scalaire de Ruppenier est partout régulière pour chaque non-nulle \tilde{g} . Et bien aussi, on peut voir que la courbure scalaire de Ruppenier est devenue une fraction des deux polynômes. En fait, les equations Eqns. (6.13, 6.15), montrent que ces deux fonctions de deux variable peuvent être exprimées comme une fonction dans le produit des nombres de D_1 et D_5 . C'est-à-dire que nous avons un paramètre effectif

$$N := N_1N_5. \quad (6.16)$$

qui gouverne la configuration thermodynamique sous-jacente. De plus, dans le cas des trous noirs extrémaux des deux charges avec $N_R = 0$ avec ou sans les corrections de α' , nous voyons que la géométrie thermodynamique sous-jacente de Ruppenier est partout mal-définie. En particulier, le déterminant et la courbure scalaire de la géométrie thermodynamique de Ruppenier agrandissent dans l'espace d'état des branes noirs.

Comme mentionné dans le chapitre précédent, la description de la géométrie de l'espace d'état reste valable en vertu des corrections dérivées supérieures de α' . A savoir, la courbure scalaire offre les propriétés globales des fluctuations statistiques. Dans la gamme de $N \in (0, 10)$ et $W \in (0, 10)$, on observe de la Fig. (6.20) que la courbure

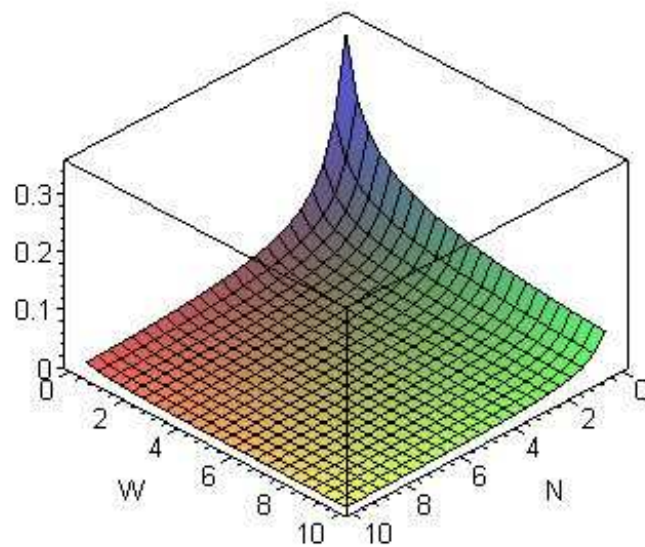


Figure 6.20: La courbure scalaire tracée comme la fonction de $\{N, W\}$, en décrivant les fluctuations dans la configuration des trous noirs chargés nonextremaux D_1D_5 à l'ordre de α' dans la gamme des charges $N, W \in (0, 10)$.

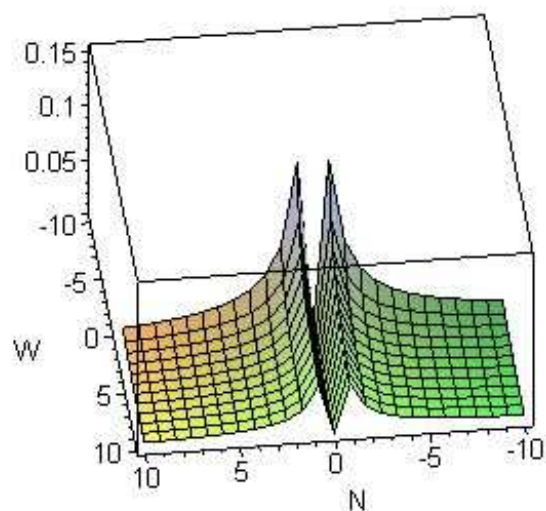


Figure 6.21: La courbure scalaire tracée comme la fonction de $\{N, W\}$, en décrivant les fluctuations dans la configuration des trous noirs chargés nonextremaux D_1D_5 à l'ordre de α' dans la gamme des charges $N, W \in (-10, 10)$.

scalaire a une petite positive amplitude à l'ordre de 0.4. Dans cette gamme des paramètres $\{N_1, N_5, N_R\}$, nous constatons que les trous noirs D_1D_5 nonextremaux corrigés par les termes de α' correspondent à une configuration statistique faiblement interactive. Comme mentionné précédemment, le signe positif de la courbure scalaire de l'espace d'état signifie que les interactions statistiques sont répulsives dans la leur caractère. En outre, la Fig. (6.21) illustre le comportement de ce qui précède, voilà, la courbure scalaire dans la gamme des paramètres $N, W \in (-10, 10)$. Justement, nous voyons que les interactions sont largement présentes près de la ligne $N = 0$, et la courbure scalaire sous-jacente de l'espace d'état acquiert un petit pic à l'ordre de 0.15 près de l'origine $(N, W) = (0, 0)$. Dans une petite gamme de N et W , on observe de la Fig. (6.21) que les interactions statistiques globales sont symétriques autour de la ligne $N = 0$. En comparaison des interactions apparaissant dans la gamme de $N, W \in (0, 10)$, l'amplitude de la courbure scalaire globale se révèle plus petits dans la gamme de $n, N \in (-10, 10)$. Aussi, à partir des Figs. (6.20, 6.21), nous constatons que la courbure scalaire de l'espace d'état dans ces deux intervalles ci-dessus reste près du même ordre. Qualitativement, les représentations de l'espace d'état indiquent que la configuration des trous noirs D_1D_5 nonextremaux corrigée par les termes de α' correspond à un système statistique faiblement interagissant et globalement instable. En bref, les corrections de dérivées supérieures de α' améliorent la stabilité de la configuration des trous noirs D_1D_5 nonextremaux. C'est-à-dire que, sous les fluctuation de $\{N_1, N_5, N_R\}$, les corrections de α' viennent (i) en offrant une surface de l'espace d'état avec une positive valeur de mineur p_2 et (ii) en réduisant le sommet sous-jacent de la courbure scalaire.

6.2 La géométrie de Ruppenier des solutions non-extrémales de branes $D_2D_6NS_5$:

Dans cette section, il est également intéressant d'analyser la géométrie thermodynamique de Ruppenier associée aux branes $D_2D_6NS_5$ non-extrémaux. Nous envisagerons main-

tenant que les solutions non-extrémales de branes $D_2D_6NS_5$ qui apparaissent dans l'action effective de la théorie des cordes de type *IIA*, peuvent être considérées comme la suite. Pour cette solution, nous pouvons considérer les branes de D_2 dans le sens des directions compactes de $S^1 \times S'^1$, les branes de D_6 dans des directions compactes de $S^1 \times S'^1 \times T_4$ et les branes de NS_5 dans des directions compactes de $S^1 \times T_4$, pour les détails voir les Refs. [2,86]. Selon cette considération, le résultat est intéressant que la géométrie de l'espace-temps est le produit de $S^3 \times T_4$ avec le trou noir de Schwarzschild dans l' AdS_3 . Afin d'appliquer le formalisme de la fonction de l'entropie de Sen aux branes $D_2D_6NS_5$ non-extrémaux, nous avons besoin de déformer la géométrie proche de l'horizon du système de ces branes à une forme générale du produit de l'espace de $S^1 \times S^2 \times T_4$ et le trou noir de Schwarzschild dans l'AdS. En particulier, nous prenons en compte sur les propriétés des solutions non-extrémales de branes $D_2D_6NS_5$, et ainsi nous examinons la géométrie thermodynamique sous-jacente de ces trous noirs dans le reste de ce chapitre.

6.2.1 À l'ordre de $(\alpha')^0$

Ensuite, la méthode de la fonction d'entropie de Sen donne l'entropie des branes $D_2D_6NS_5$ non-extrémaux au niveau de l'ordre des deux dérivés [16]. Donc, selon cette considération, en termes des nombres, ou les charges et les moments de branes, $\{N_2, N_6, N_5, N_R\}$, nous pouvons écrire au niveau des deux dérivés que l'entropie est donnée par:

$$S_{BH}(N_2, N_6, N_5, N_R) := 4\pi \sqrt{N_2 N_6 N_5 N_R}. \quad (6.17)$$

Ainsi, il est immédiat que les composantes de la métrique tenseure sont données par:

$$\begin{aligned}
 g_{N_2N_2} &= \frac{\pi}{N_2} \sqrt{\frac{N_6N_5N_R}{N_2}}, \\
 g_{N_2N_6} &= -\pi \sqrt{\frac{N_5N_R}{N_2N_6}}, \\
 g_{N_2N_5} &= -\pi \sqrt{\frac{N_6N_R}{N_2N_5}}, \\
 g_{N_2N_R} &= -\pi \sqrt{\frac{N_6N_5}{N_2N_R}},
 \end{aligned} \tag{6.18}$$

$$\begin{aligned}
 g_{N_6N_6} &= \frac{\pi}{N_6} \sqrt{\frac{N_2N_5N_R}{N_6}}, \\
 g_{N_6N_5} &= -\pi \sqrt{\frac{N_2N_R}{N_6N_5}}, \\
 g_{N_6N_R} &= -\pi \sqrt{\frac{N_2N_5}{N_6N_R}}, \\
 g_{N_5N_5} &= \frac{\pi}{N_5} \sqrt{\frac{N_2N_6N_R}{N_5}}, \\
 g_{N_5N_R} &= -\pi \sqrt{\frac{N_2N_6}{N_5N_R}}, \\
 g_{N_RN_R} &= \frac{\pi}{N_R} \sqrt{\frac{N_2N_6N_5}{N_R}}.
 \end{aligned} \tag{6.19}$$

Dans ce cas, puisqu'il y a quatre variables indépendantes, c'est-à-dire que nous avons les nombre $\{N_2, N_6, N_5, N_R\}$, et ainsi, dans le but d'offrir une vue tridimensionnelle des propriétés statistiques, nous considérons la mise de $N_2 = N$, $N_6 = N$, $N_5 = W$ et $N_R = W$. Pour une configuration donnée des trous noirs $D_2D_6NS_5$ nonextremaux, la propriété des fluctuations peut être exprimée par l'ensemble suivant. À savoir, dans le régime de $N \in (0, -10)$ et $W \in (0, 10)$, nous voyons que l'amplitude des capacités de chaleurs $\{g_{N_2N_2}, g_{N_6N_6}\}$ prend les valeurs à l'ordre de $4 \times 10^{+09}$. Dans cette gamme de N, W , les capacités de chaleurs $\{g_{N_5N_5}, g_{N_RN_R}\}$ restent dans l'intervalle $(0, 80)$. Conformément, à la prédiction de la géométrie de l'espace d'état, nous observons que les gammes de la première série et celle de la seconde série des capacités de chaleurs restent dans la limite

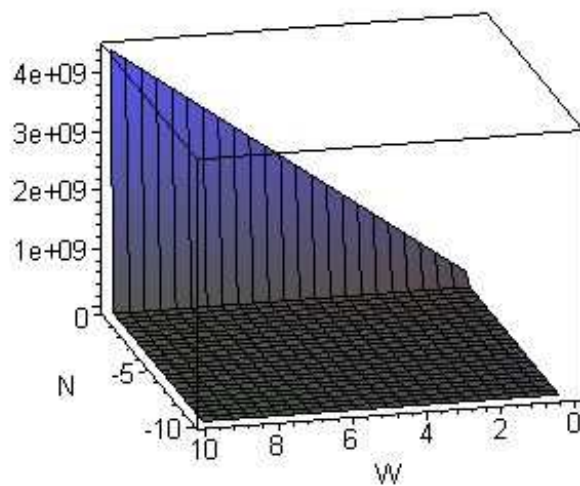


Figure 6.22: La composante N_2N_2 de la métrique tenseur tracée comme la fonction de $\{N, W\}$, en décrivant les fluctuations dans la configuration des trous noirs chargés nonextremaux $D_2D_6NS_5$ à l'ordre dominant.

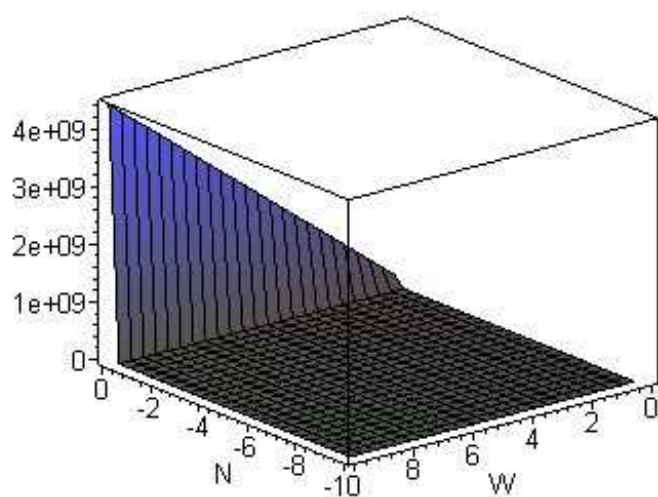


Figure 6.23: La composante $N_6 N_6$ de la métrique tenseur tracée comme la fonction de $\{N, W\}$, en décrivant les fluctuations dans la configuration des trous noirs chargés nonextremaux $D_2D_6NS_5$ à l'ordre dominant.

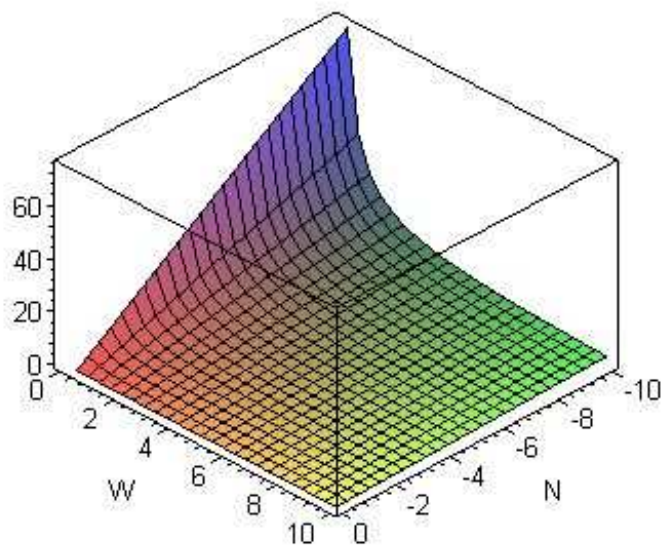


Figure 6.24: La composante N_5N_5 de la métrique tenseure tracée comme la fonction de $\{N, W\}$, en décrivant les fluctuations dans la configuration des trous noirs chargés nonextremaux $D_2D_6NS_5$ à l'ordre dominant.

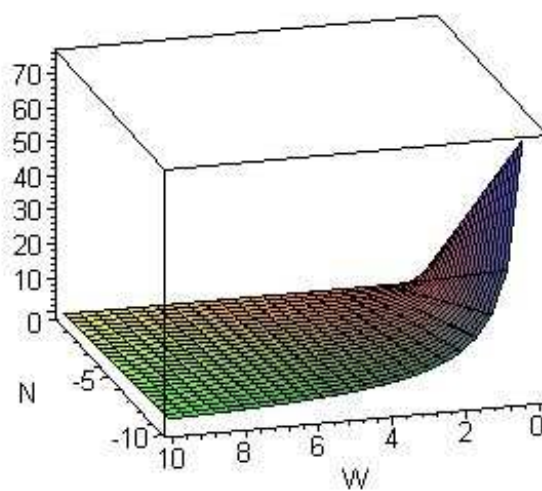


Figure 6.25: La composante $N_R N_R$ de la métrique tenseur tracée comme la fonction de $\{N, W\}$, en décrivant les fluctuations dans la configuration des trous noirs chargés nonextremaux $D_2D_6NS_5$ à l'ordre dominant.

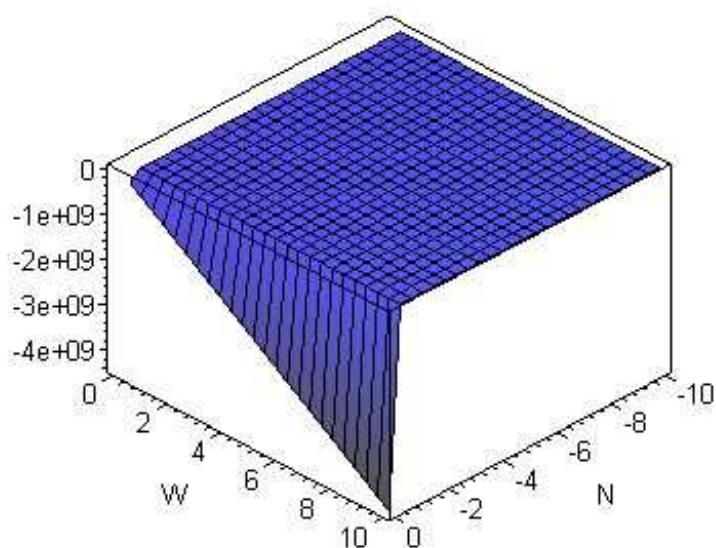


Figure 6.26: La composante N_2N_6 de la métrique tenseur tracée comme la fonction de $\{N, W\}$, en décrivant les fluctuations dans la configuration des trous noirs chargés nonextremaux $D_2D_6NS_5$ à l'ordre dominant.

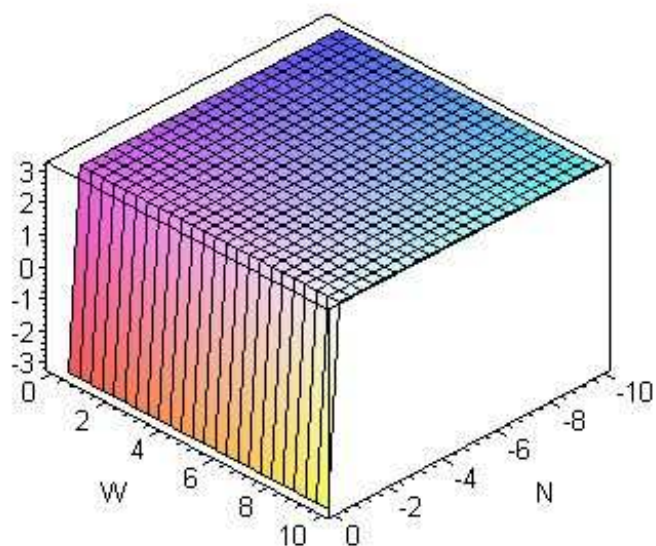


Figure 6.27: La composante N_2N_5 de la métrique tenseur tracée comme la fonction de $\{N, W\}$, en décrivant les fluctuations dans la configuration des trous noirs chargés nonextremaux $D_2D_6NS_5$ à l'ordre dominant.

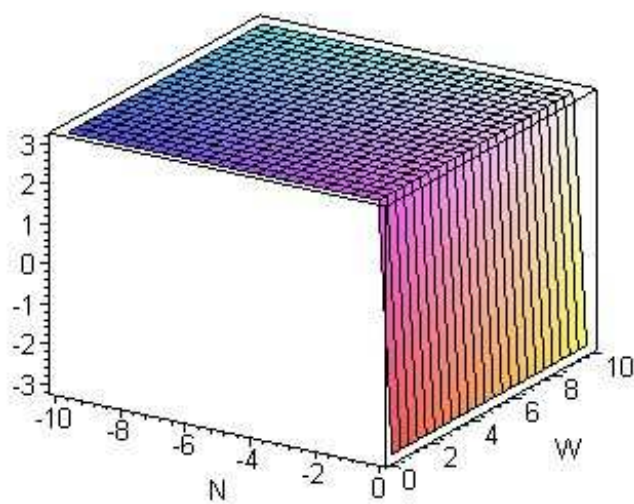


Figure 6.28: La composante N_2N_R de la métrique tenseur tracée comme la fonction de $\{N, W\}$, en décrivant les fluctuations dans la configuration des trous noirs chargés nonextremaux $D_2D_6NS_5$ à l'ordre dominant.

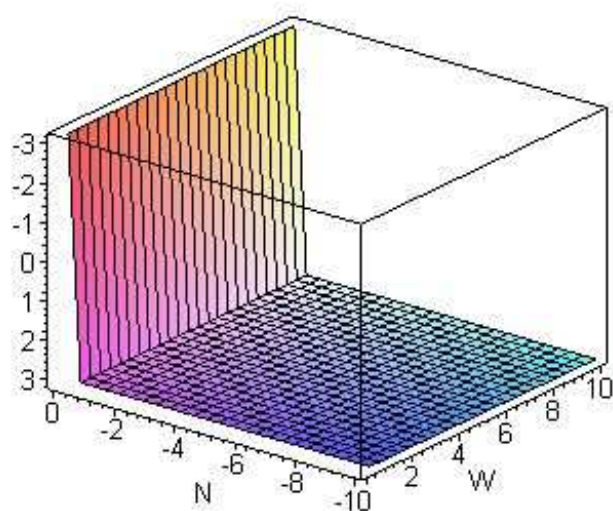


Figure 6.29: La composante $N_6 N_5$ de la métrique tenseur tracée comme la fonction de $\{N, W\}$, en décrivant les fluctuations dans la configuration des trous noirs chargés nonextremaux $D_2D_6NS_5$ à l'ordre dominant.

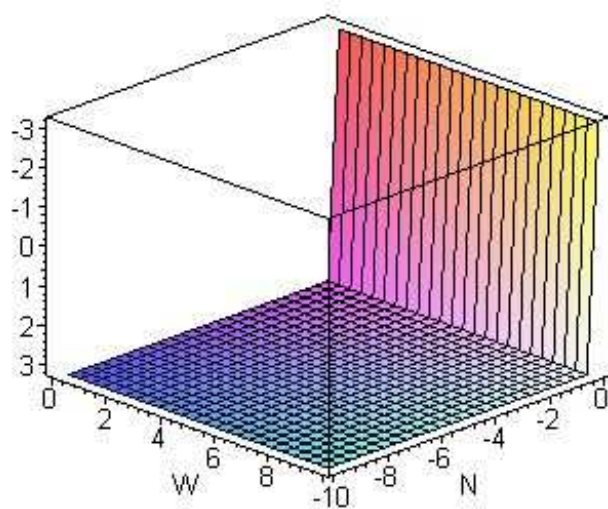


Figure 6.30: La composante $N_6 N_R$ de la métrique tenseur tracée comme la fonction de $\{N, W\}$, en décrivant les fluctuations dans la configuration des trous noirs chargés nonextremaux $D_2D_6NS_5$ à l'ordre dominant.

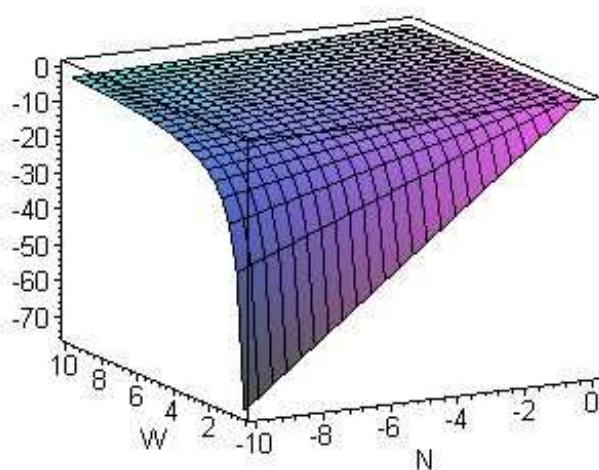


Figure 6.31: La composante $N_5 N_R$ de la métrique tenseure tracée comme la fonction de $\{N, W\}$, en décrivant les fluctuations dans la configuration des trous noirs chargés nonextremaux $D_2D_6NS_5$ à l'ordre dominant.

opposite des paramètres $\{N, W\}$. Plus précisément, pour une petite valeur donnée de N , la première série des capacités de chaleurs augmente lorsqu'on augmente le paramètre W . Cependant, pour une petite valeur donnée de W , l'autre série des composantes augmentent lorsqu'on augmente la valeur N . Dans ce cas, les Figs. (6.22, 6.23) montrent que la croissance de premier ensemble des capacités de chaleurs $\{g_{N_2N_2}, g_{N_6N_6}\}$ a lieu dans la limite d'un grand W et un petit $|N|$. Du fait même, les Figs. (6.24, 6.25) montrent que la croissance de $\{g_{N_5N_5}, g_{N_RN_R}\}$ a lieu dans la limite d'un petit W et un grand $|N|$. De plus, les compressibilités de chaleurs en impliquant deux paramètres distincts de la configuration des trous noirs sous-jacents sont représentés dans les Figs. (6.26, 6.27, 6.28, 6.29, 6.30, 6.31). Dans ce cas, nous constatons que l'amplitude de (i) $g_{N_2N_6}$ reste environ de -4×10^{09} , (ii) $g_{N_2N_5}$, $g_{N_6N_5}$, $g_{N_6N_R}$ et $g_{N_2N_R}$ reste dans l'intervalle $(-3, 3)$ et (iii) $g_{N_5N_R}$ reste dans l'intervalle $(0, -80)$. Ainsi, la représentation graphique de la métrique tenseure de l'espace d'état $\{g_{ij} \mid i, j = N_2, N_6, N_5, N_R\}$ montre que la configuration des trous noirs $D_2D_6NS_5$ nonextremaux, à l'ordre dominant de α' de la théorie de cordes, possède un ensemble des capacités de chaleurs positives, et donc elle correspond à un système statistique stables au niveau local.

En fait, il s'avère que les mineurs principaux de la configuration sous-jacente peuvent être simplifiés comme les expressions suivantes

$$\begin{aligned}
 p_1 &= \frac{\pi N_6^2 N_5^2 N_R^2}{(N_2 N_6 N_5 N_R)^{(3/2)}}, \\
 p_2 &= 0, \\
 p_3 &= -4 \frac{\pi^3 N_R^3 N_2 N_6 N_5}{(N_2 N_6 N_5 N_R)^{(3/2)}}.
 \end{aligned} \tag{6.20}$$

Ci-joint, nous voyons que le déterminant de la métrique tenseure est:

$$g = -16\pi^4. \tag{6.21}$$

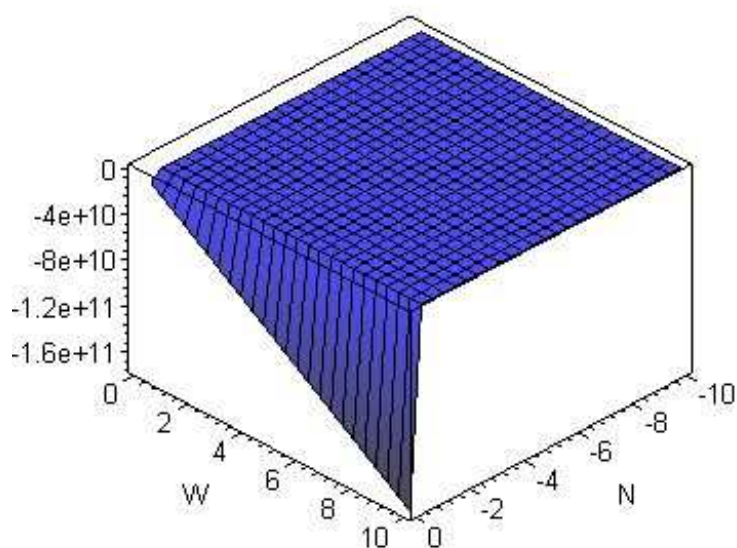


Figure 6.32: Le mineur d'hypersurface de la métrique tenseure tracée comme la fonction de $\{N, W\}$, en décrivant les fluctuations dans la configuration des trous noirs chargés nonextremaux $D_2D_6NS_5$ à l'ordre dominant.

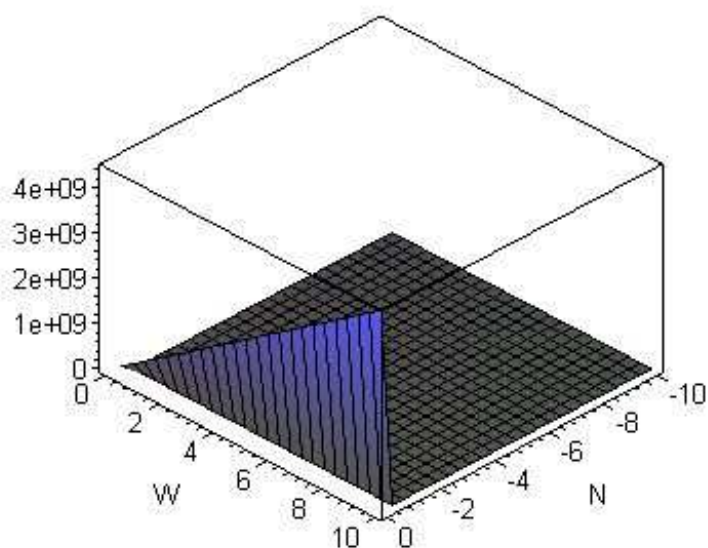


Figure 6.33: Le premier mineur de la métrique tenseur tracée comme la fonction de $\{N, W\}$, en décrivant les fluctuations dans la configuration des trous noirs chargés non-extremaux $D_2D_6NS_5$ à l'ordre dominant.

Sous les fluctuations des paramètres $\{N_2, N_6, N_5, N_R\}$, la stabilité d'un ensemble des trous noirs $D_2D_6NS_5$ nonextremaux découle de la positivité du déterminant de la métrique tenseure. Pour le choix des paramètres $N_2 = N$, $N_5 = N$ et $W = N_R$, nous constatons que le déterminant de la métrique tenseure g reste à une constante valeur négative. Dans ce cas, il s'avère que la valeur numérique de g est $-16\pi^4$. Par ailleurs, la stabilité de l'hypersurface définie par une valeur constante de N_R est montré dans la Fig. (6.32). Par la présente, nous voyons que le mineur p_3 réside dans la gamme de $(-1.6 \times 10^{+11}, 0)$. Pour une petite valeur donnée de N , on remarque que la négativité de p_3 diminué quand la valeur du paramètre N est passée de zéro à 10. Du plus, la surface définies par les fluctuations de $\{N_2, N_6\}$ est instable en raison du fait que le mineur principe correspondant est identiquement nulle, à savoir que nous avons $p_2 = 0$. Enfin, lorsque le seul paramètre N_1 est autorisé à varier, nous constatons que la stabilité de la configuration des trous noirs sous-jacents est donnée par la positivité de premier mineur principe $p_1 := g_{N_2N_2}$. Une vue rotatée de p_1 est donn'ee dans la Fig. (6.33). Ci-dessus, les propriétés de l'espace d'état et la positivité des mineurs principaux offrent le comportement qualitatif de la stabilité statistique de la configuration des trous noirs $D_2D_6NS_5$ nonextremaux.

Donc, comme nous avons offrir les Γ_{abc} dans l'annex [A], il est aussi immédiat de voir que la courbure scalaire de Ruppenier est:

$$R = \frac{3}{4\pi}(N_2N_6N_5N_R)^{-1/2} \quad (6.22)$$

qu'elle est partout régulière. Dans ce cas, on peut également voir dans les sections 5.1 et 5.2 qu'il y a une différence évidente sans les corrections des dérivées supérieures de α' , par exemple, comme nous avons montré ici, cela vient aussi dans la géométrie thermodynamique des trous noirs dyoniques extrémaux supersymétriques vivant en quatre dimensions et celle des trous noirs dyoniques extrémaux non-supersymétriques.

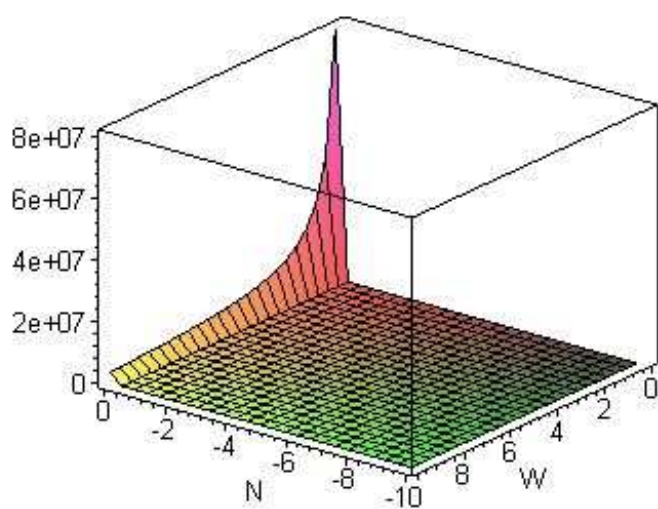


Figure 6.34: La courbure scalaire tracée comme la fonction de $\{N, W\}$, en décrivant les fluctuations dans la configuration des trous noirs chargés nonextremaux $D_2D_6NS_5$ à l'ordre dominant dans la gamme $n \in (-10, 0)$ et $N \in (0, 10)$.

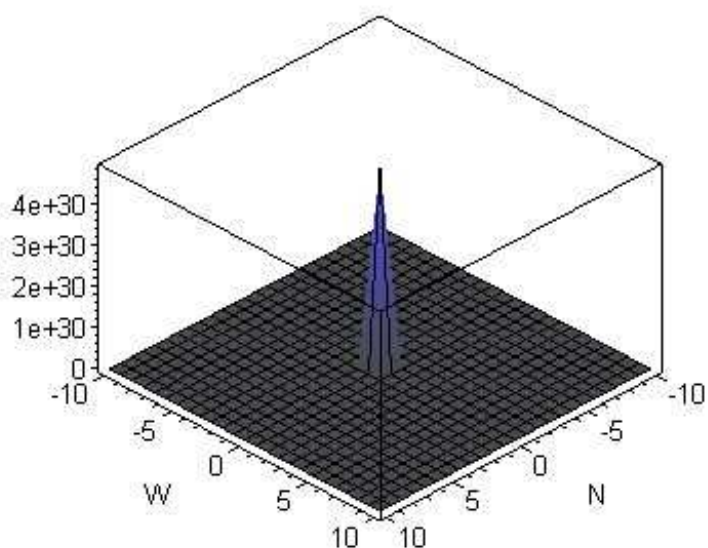


Figure 6.35: La courbure scalaire tracée comme la fonction de $\{N, W\}$, en décrivant les fluctuations dans la configuration des trous noirs chargés nonextremaux $D_2D_6NS_5$ à l'ordre dominant dans la gamme $n, N \in (-10, 10)$.

Comme mentionné dans le cas précédent, la courbure scalaire d'espace d'état offre les propriétés statistiques globales sous la fluctuation des paramètres $\{N_2, N_6, N_5, N_R\}$. Dans la gamme de $N \in (0, -10)$ et $W \in (0, 10)$, la Fig. (6.34) montre que la scalaire courbure sous-jacente a une grande amplitude positive à l'ordre de $8 \times 10^{+07}$. Dans cette gamme des paramètres, nous observons que la configuration sous-jacente des trous noirs est un système statistique fortement interagissant. Physiquement, le signe positif de la courbure scalaire signifie que les interactions statistiques sont répulsives dans la leur nature. La Fig. (6.35) illustre le comportement de la courbure scalaire ci-dessus pour la range des paramètres $N, W \in (-10, 10)$. Dans la gamme de $N \in (0, -10)$ et $W \in (0, 10)$, nous voyons que les interactions sont largement présents près de la ligne $N = 0$. Dans la gamme de $N, W \in (-10, 10)$, la courbure scalaire de l'espace d'état acquiert un grand pic à l'ordre de 4×10^{30} près de l'origine $(N, W) = (0, 0)$. Dans la gamme de petit N et un petit W , on constate de la Fig. (6.35) que les interactions statistiques globales ne sont présents près de l'origine. En comparaison des interactions apparaissant dans la gamme des paramètres $N, W \in (0, 10)$, nous voyons que l'amplitude des interactions statistiques globales se révèle être beaucoup plus grande dans la gamme de $N, W \in (-10, 10)$. Précisément, il s'ensuit que le ratio des valeurs typiques de l'amplitude de ces courbures scalaires de l'espace d'état est à l'ordre de 10^{-23} . La vue graphique de la comparaison mentionné ci-dessus est montrée par les Figs. (6.34, 6.35). Qualitativement, les représentations de l'espace d'état indiquent que la configuration des trous noirs $D_2D_6NS_5$ nonextremaux de la théorie des cordes correspond à un système statistique globalement instable et fortement interactive.

6.2.2 À l'ordre de α'

D'autre part, l'examen des contributions non-nulle de la courbure tenseure de Weyl de la théorie effective de type-IIA, en respectant les symétries de la solution au niveau de l'arbre nous permet d'analyser la configuration thermodynamique par la fonction d'entropie de Sen avec l'horizon de trou noir comme le produit $(S^1 \times S'^1 \times S^2 \times T_4)$, et ainsi selon le Ref. [16], nous pouvons écrire l'entropie de la solution non-extrémale des branes $D_2D_6NS_5$.

Dès que les termes des dérivées supérieures respectent la symétrie de la solution au niveau de l'arbre. En cette fois encore, le Ref. [16] montre que l'entropie est corrigé comme:

$$S_{BH}(N_2, N_6, N_5, N_R) := 4\pi\sqrt{N_2N_6N_5N_R} - \frac{4\pi b_1\sqrt{N_R}}{N_2N_6N_5^{5/2}}, \quad (6.23)$$

où b_1 est un coefficient des contributions de dérivées supérieures de α' à la densité lagrangienne effective [16]. Maintenant, soit \mathcal{M} une variété riemannienne avec la métrique tenseure de Ruppenier g_{ij} ce qu'elle puisse être aussi écrite comme:

$$g_{ij} := g_{ij}^{(arbre)} + g_{ij}^{(b_1)}. \quad (6.24)$$

On peut naturellement rapporter la correction $g_{ij}^{(b_1)}$ dans la métrique tenseure g_{ij} . C'est-à-dire qu'on a besoin d'apporter ces corrections à la métrique de cette variété de Ruppenier ce que la métrique tenseure de la \mathcal{M} soit proprement repérée au point des corrections dérivées supérieures de α' . Ensuite, il est aisé de constater que les composantes de la métrique avec les contributions de α' sont données par:

$$\begin{aligned} g_{N_2N_2} &= \frac{\pi}{N_2}\sqrt{\frac{N_6N_5N_R}{N_2}} + \frac{8\pi b_1\sqrt{N_R}}{N_2^3N_6N_5^{5/2}}, \\ g_{N_2N_6} &= -\pi\sqrt{\frac{N_5N_R}{N_2N_6}} + \frac{4\pi b_1\sqrt{N_R}}{N_2^2N_6^2N_5^{5/2}}, \\ g_{N_2N_5} &= -\pi\sqrt{\frac{N_6N_R}{N_2N_5}} + \frac{10\pi b_1\sqrt{N_R}}{N_2^2N_6N_5^{7/2}}, \\ g_{N_2N_R} &= -\pi\sqrt{\frac{N_6N_5}{N_2N_R}} - \frac{2\pi b_1}{N_2^2N_6N_5^{5/2}\sqrt{N_R}}, \end{aligned} \quad (6.25)$$

$$\begin{aligned}
 g_{N_6N_6} &= \frac{\pi}{N_6} \sqrt{\frac{N_2N_5N_R}{N_6}} + \frac{8\pi b_1 \sqrt{N_R}}{N_2N_6^3N_5^{5/2}}, \\
 g_{N_6N_5} &= -\pi \sqrt{\frac{N_2N_R}{N_6N_5}} + \frac{10\pi b_1 \sqrt{N_R}}{N_2N_6^2N_5^{7/2}}, \\
 g_{N_6N_R} &= -\pi \sqrt{\frac{N_2N_5}{N_6N_R}} - \frac{2\pi b_1}{N_2N_6^2N_5^{5/2}\sqrt{N_R}}, \\
 g_{N_5N_5} &= \frac{\pi}{N_5} \sqrt{\frac{N_2N_6N_R}{N_5}} + \frac{35\pi b_1 \sqrt{N_R}}{N_2N_6N_5^{9/2}}, \\
 g_{N_5N_R} &= -\pi \sqrt{\frac{N_2N_6}{N_5N_R}} - \frac{5\pi b_1}{N_2N_6N_5^{7/2}\sqrt{N_R}}, \\
 g_{N_RN_R} &= \frac{\pi}{N_R} \sqrt{\frac{N_2N_6N_5}{N_R}} - \frac{\pi b_1}{N_2N_6N_5^{5/2}N_R^{3/2}}.
 \end{aligned} \tag{6.26}$$

Comme mentionné précédemment, nous allons continuer avec la mise de $N_2 = N$, $N_6 = N$, $N_5 = W$ et $N_R = W$. Afin d'offrir les représentations graphiques de trois dimensions des fluctuations de la configuration des trous noirs $D_2D_6NS_5$ nonextremaux corrigés par le dominant terme de α' , nous pouvons choisir la valeur du paramètre des corrections dérivées supérieures de la théorie des cordes comme $b_1 = 0.001644670833$. Dans le régime de $N \in (-10, 0)$ et $W \in (0, 10)$, nous constatons que l'amplitude des capacités de chaleurs $\{g_{N_2N_2}, g_{N_6N_6}\}$ prend une valeur dans l'intervalle $(0, 10^{+32})$. Dans cette gamme de N, W , la capacité thermique $\{g_{N_5N_5}\}$ est comprise entre $(0, 1.2 \times 10^{+17})$. Cependant, la capacité thermique $\{g_{N_RN_R}\}$ change sa nature et elle se situe dans la gamme de $(-3, 5 \times 10^{+15}, 0)$. Le signe négatif de $\{g_{N_RN_R}\}$ montre une instabilité locale du système statistique de ces trous noirs. De ce qui précède de la prévision des corrections de α' à la géométrie de l'espace d'état, nous observons que la range de toutes les capacités de chaleurs $\{g_{N_2N_2}, g_{N_6N_6}, g_{N_5N_5}, g_{N_RN_R}\}$ apparaît dans la limite d'une petite valeur des paramètres $\{N, W\}$. Notez bien que les deux premières composantes ont des pics à l'ordre de 10^{+32} , la composante $g_{N_5N_5}$ a le pic à l'ordre de 10^{+17} et la composante $\{g_{N_RN_R}\}$ a le pic à l'ordre 10^{+15} . En fait, sous les corrections de α' , nous constatons que la nature graphique des capacités de chaleurs est altéré. Plus précisément, nous observons que les capacités

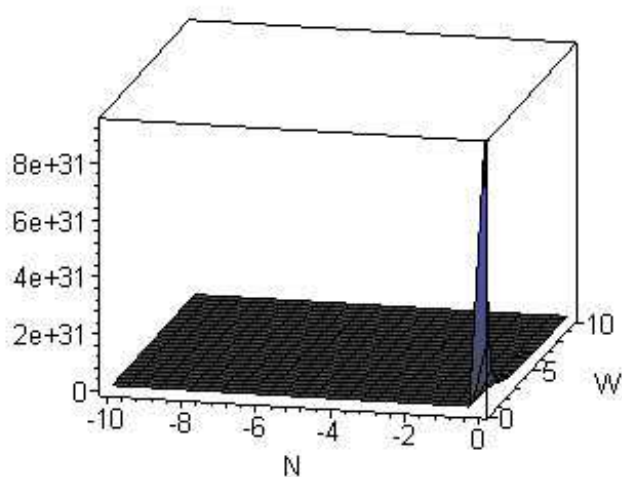


Figure 6.36: La composante N_2N_2 de la métrique tenseur tracée comme la fonction de $\{N, W\}$, en décrivant les fluctuations dans la configuration des trous noirs chargés nonextremaux $D_2D_6NS_5$ à l'ordre de α' .

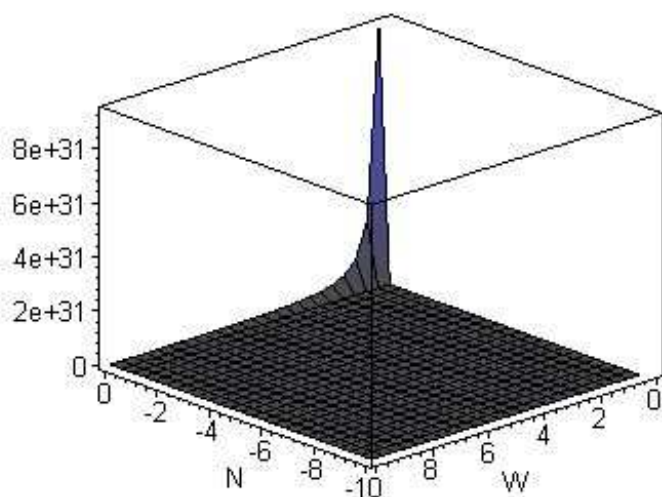


Figure 6.37: La composante N_6N_6 de la métrique tenseure tracée comme la fonction de $\{N, W\}$, en décrivant les fluctuations dans la configuration des trous noirs chargés nonextremaux $D_2D_6NS_5$ à l'ordre de α' .

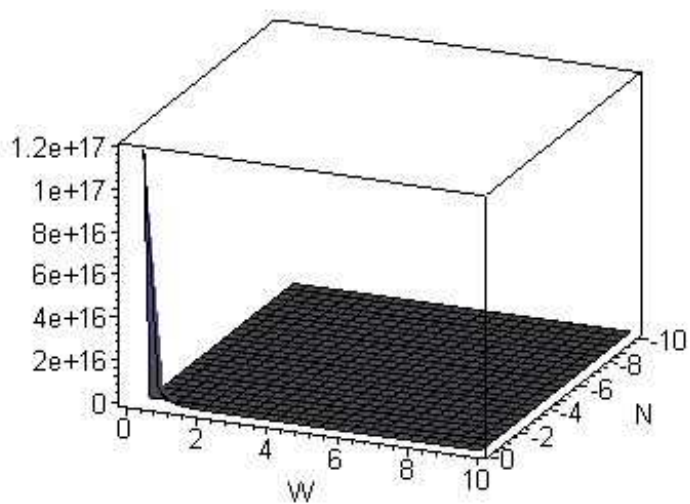


Figure 6.38: La composante $N_5 N_5$ de la métrique tenseur tracée comme la fonction de $\{N, W\}$, en décrivant les fluctuations dans la configuration des trous noirs chargés nonextremaux $D_2D_6NS_5$ à l'ordre de α' .

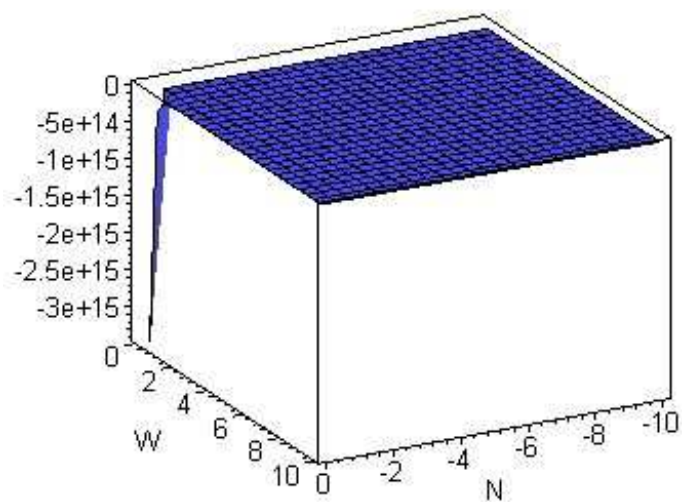


Figure 6.39: La composante $N_R N_R$ de la métrique tenseure tracée comme la fonction de $\{N, W\}$, en décrivant les fluctuations dans la configuration des trous noirs chargés nonextremaux $D_2D_6NS_5$ à l'ordre de α' .

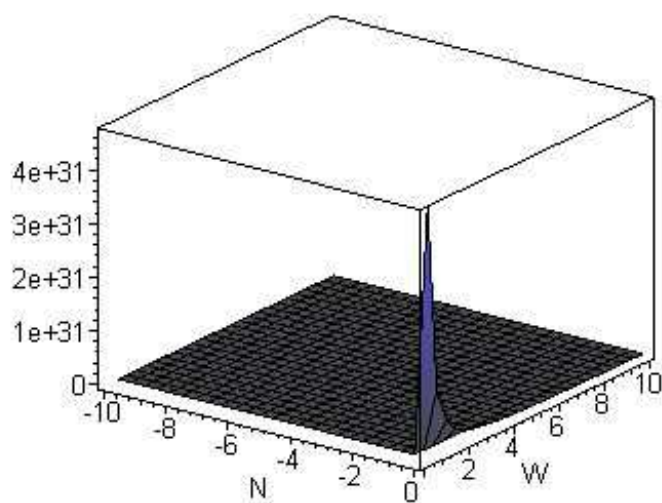


Figure 6.40: La composante N_2N_6 de la métrique tenseur tracée comme la fonction de $\{N, W\}$, en décrivant les fluctuations dans la configuration des trous noirs chargés nonextremaux $D_2D_6NS_5$ à l'ordre de α' .

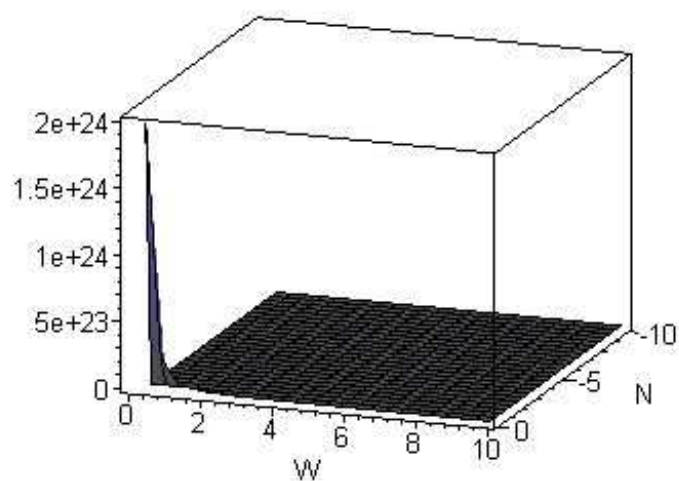


Figure 6.41: La composante N_2N_5 de la métrique tenseure tracée comme la fonction de $\{N, W\}$, en décrivant les fluctuations dans la configuration des trous noirs chargés nonextremaux $D_2D_6NS_5$ à l'ordre de α' .

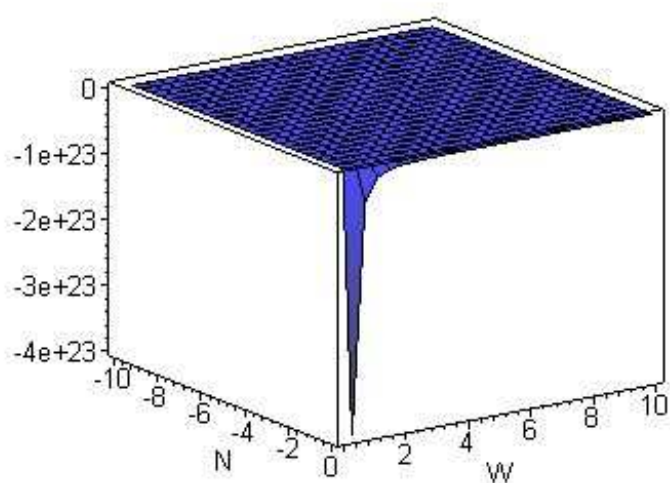


Figure 6.42: La composante N_2N_R de la métrique tenseure tracée comme la fonction de $\{N, W\}$, en décrivant les fluctuations dans la configuration des trous noirs chargés nonextremaux $D_2D_6NS_5$ à l'ordre de α' .

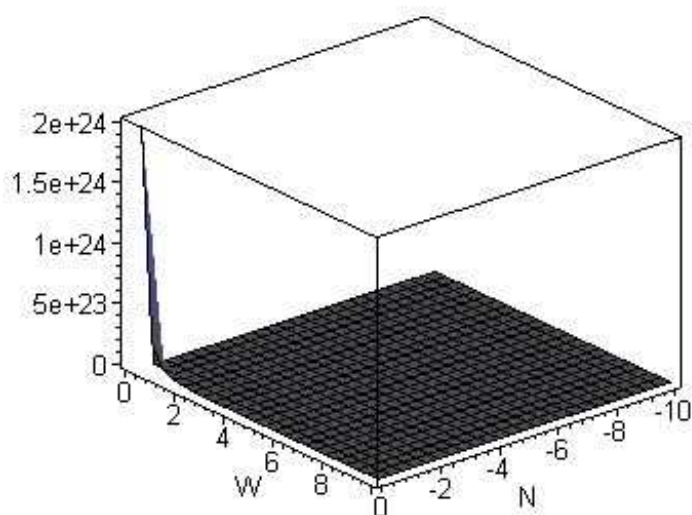


Figure 6.43: La composante $N_6 N_5$ de la métrique tenseur tracée comme la fonction de $\{N, W\}$, en décrivant les fluctuations dans la configuration des trous noirs chargés nonextremaux $D_2D_6NS_5$ à l'ordre de α' .

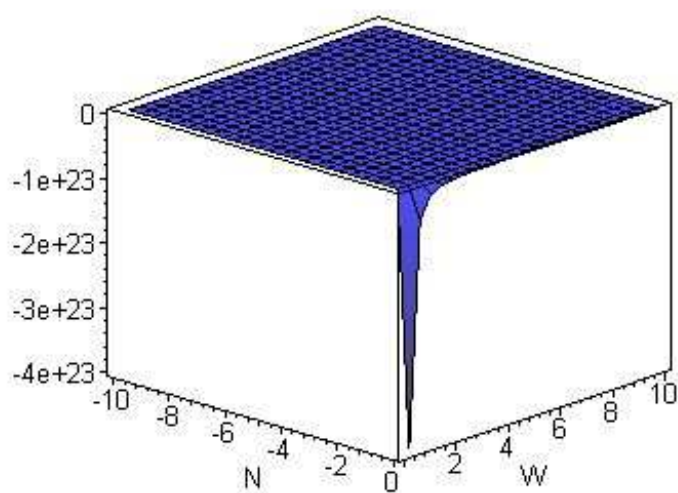


Figure 6.44: La composante N_6N_R de la métrique tenseur tracée comme la fonction de $\{N, W\}$, en décrivant les fluctuations dans la configuration des trous noirs chargés nonextremaux $D_2D_6NS_5$ à l'ordre de α' .

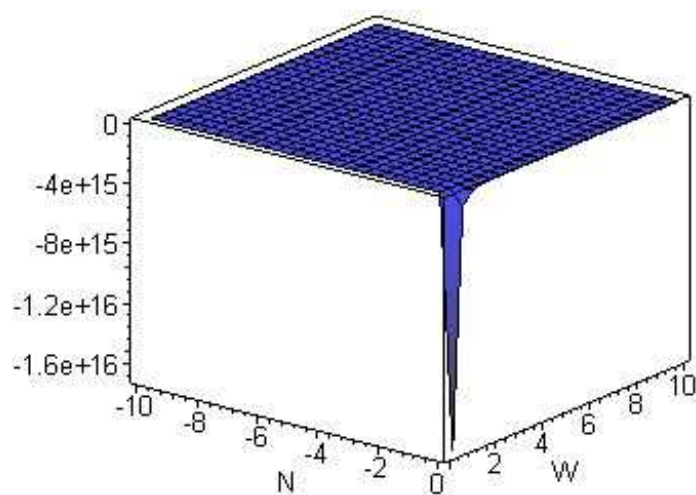


Figure 6.45: La composante $N_5 N_R$ de la métrique tenseur tracée comme la fonction de $\{N, W\}$, en décrivant les fluctuations dans la configuration des trous noirs chargés nonextremaux $D_2D_6NS_5$ à l'ordre de α' .

de chaleurs ont un grand pic pour certaines petites valeurs de $\{N, W\}$. Dans ce cas, les Figs. (6.36, 6.37) montrent que la croissance des capacités de chaleurs $\{g_{N_2N_2}, g_{N_6N_6}\}$ a lieu dans la limite d'un petit W et un petit $|N|$. De plus, les Figs. (6.38, 6.39) montrent que la croissance de $\{g_{N_5N_5}, g_{N_RN_R}\}$ a lieu dans la limite des petits W et $|N|$. Il est à noter que le premier trois des capacités de chaleurs trouvent un ensemble des valeurs numériques positives, tandis que la quatrième n'a pas. D'autre part, les Figs. (6.40, 6.41, 6.42, 6.43, 6.44, 6.45) dépeignent les compressibilités de chaleurs mélangés, en impliquant deux paramètres distincts des trous noirs $D_2D_6NS_5$ nonextremaux sous les corrections de α' . Par la présente, nous remarquons que l'amplitude des (i) $g_{N_2N_6}$ est à l'ordre de $10+31$, (ii) $g_{N_2N_5}$ est à l'ordre de $10+24$, (iii) $g_{N_2N_R}$ est à l'ordre de $-10+23$, (iv) $g_{N_6N_5}$ est à l'ordre de $10+24$, (v) $g_{N_6N_R}$ est à l'ordre de $-10+23$, et (vi) $g_{N_5N_R}$ est à l'ordre de $-10+16$. Comme montré ci-dessus par la représentation graphique, les composantes de la métrique tenseure de l'espace d'état $\{g_{ij} \mid i, j = N_2, N_6, N_5, N_R\}$ illustrent le fait que les trous noirs $D_2D_6NS_5$ nonextremaux corrigées par les α' correspondent à une configuration statistique localement stable.

En outre, sous les corrections de dérivées supérieures de la théorie des cordes, les mineurs de la ligne, surface et d'hypersurface sont simplifiées comme les suivants

$$\begin{aligned}
 p_1 &= \frac{\pi (N_2^3 N_6^3 N_R^2 N_5^{(9/2)} + 8 b_1 \sqrt{N_R} (N_2 N_6 N_5 N_R)^{(3/2)})}{(N_2 N_6 N_5 N_R)^{(3/2)} N_2^3 N_6 N_5^{(5/2)}}, \\
 p_2 &= 24 \frac{\pi^2 b_1 (N_2 N_5^{(5/2)} \sqrt{N_R} N_6 \sqrt{N_2 N_6 N_5 N_R} + 2 b_1 N_R)}{N_5^5 N_6^4 N_2^4}, \\
 p_3 &= 4\pi^3 N_R (24 N_2^3 N_6^3 \sqrt{N_R} N_5^6 b_1 \sqrt{N_2 N_6 N_5 N_R} \\
 &\quad + 162 N_2^2 N_6^2 N_R N_5^{(7/2)} b_1^2 + 220 b_1^3 \sqrt{N_R} \sqrt{N_2 N_6 N_5 N_R} \\
 &\quad - N_2^5 N_6^5 N_R N_5^{(19/2)}) (N_2^5 N_6^5 N_5^{(19/2)} \sqrt{N_2 N_6 N_5 N_R})^{(-1)}. \quad (6.27)
 \end{aligned}$$

Il est aussi immédiat que le déterminant de la métrique tenseure g_{ij} est donnée par:

$$g = -16\pi^4(N_2N_6N_5^2)^{-6}\tilde{g}(N_2, N_6, N_5), \quad (6.28)$$

où la fonction $\tilde{g}(N_2, N_6, N_5)$ est définie par

$$\begin{aligned} \tilde{g}(N_2, N_6, N_5) := & (N_2N_6N_5^2)^6 + 6b_1^2(N_2N_6N_5^2)^3 + 100b_1^4 \\ & + 50b_1^3(N_2N_6N_5^2)^{3/2} + 5b_1(N_2N_6N_5^2)^{9/2}. \end{aligned} \quad (6.29)$$

Dans ce cas, sous les fluctuations de $\{N_2, N_6, N_5, N_R\}$, la stabilité d'un ensemble des trous noirs $D_2D_6NS_5$ nonextremaux peut être décrite de la positivité du déterminant de la métrique tenseure g . Pour les trous noirs $D_2D_6NS_5$ nonextremaux corrigées par les termes de α' avec $N_2 = N$, $N_6 = N$, $N_5 = W$ et $N_R = W$, nous constatons que le déterminant de la métrique tenseure g prend une grande valeur négative, quant à nous diminuons les paramètres $\{|N|, W\}$. Cela montre que les corrections dérivées supérieures de la théorie des cordes à l'ordre dominant ne donnent pas de stabilité statistique. En fait, nous observons que $g \in (-4 \times 10^{+11}, 0)$. Pour une valeur typique de $N \in (-10, 1)$ et $W \in (0, 10)$, la Fig. (6.46) décrit la vue graphique du déterminant de la métrique tenseure g . Fait intéressant, la stabilité de l'hypersurface définie par une valeur constante de N_R est montré dans la Fig. (6.47). Notamment, nous voyons que le mineur de l'hypersurface p_3 réside dans la gamme de $(0, 8 \times 10^{+09})$. Pour une petite valeur donnée des paramètres $|N|, W$, on constate que le pic de p_3 augmente à mesure que nous approchons à l'origine. D'autre part, la surface définies par les fluctuations de $\{N_2, N_6\}$ acquiert la signature positive sous les corrections de α' . Cette positivité des mineurs principaux $\{p_2, p_3\}$ montre la stabilité interne du système de ces trous noirs. Pour $N \in (-10, 1)$ et $W \in (0, 10)$, la vue graphique du mineur p_2 est montré dans la Fig. (6.48). Dans ce cas, nous voyons que p_2 réside dans la gamme de $(0, 2 \times 10^{+07})$. En outre, nous remarquons par la Fig. (6.48) que le mineur p_2 a un grand pic positif près de l'origine. Enfin, lorsque le seul paramètre N_2 est autorisé à varier, la stabilité du système de ces trous noirs est donnée par la

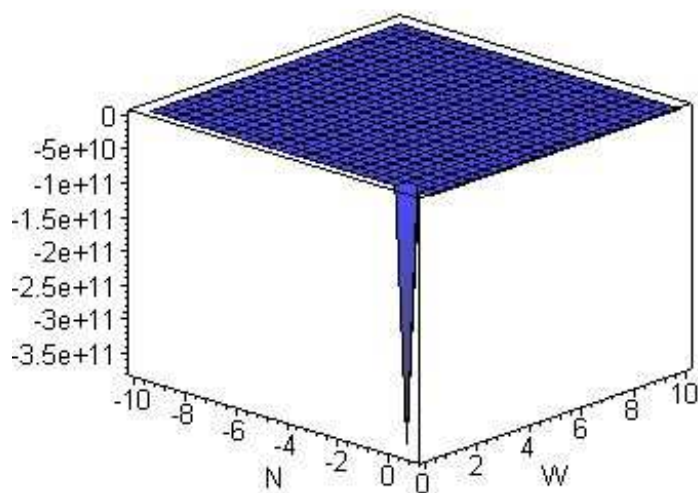


Figure 6.46: Le déterminant de la métrique tenseur tracée comme la fonction de $\{N, W\}$, en décrivant les fluctuations dans la configuration des trous noirs chargés nonextremaux $D_2D_6NS_5$ à l'ordre de α' .

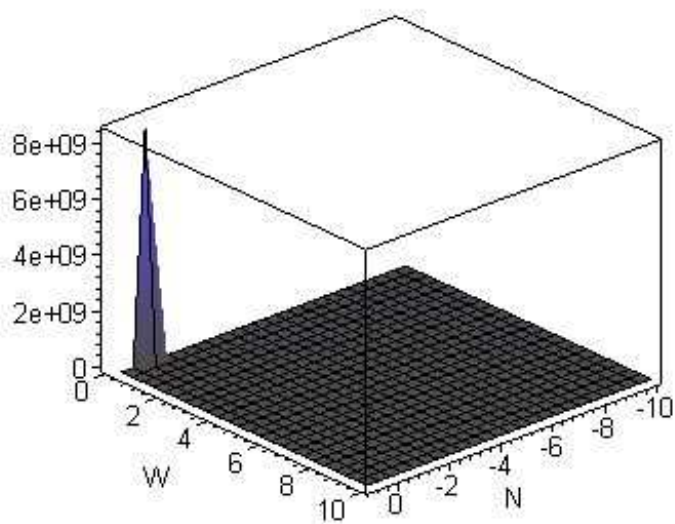


Figure 6.47: Le mineur d'hypersurface de la métrique tenseur tracée comme la fonction de $\{N, W\}$, en décrivant les fluctuations dans la configuration des trous noirs chargés nonextremaux $D_2D_6NS_5$ à l'ordre de α' .

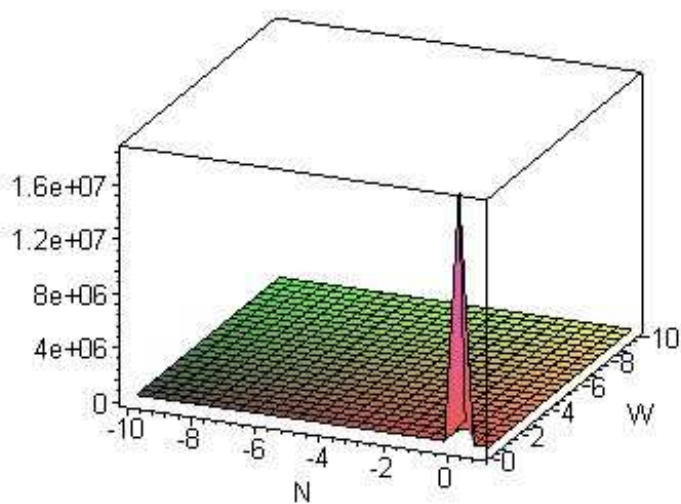


Figure 6.48: Le mineur de surface de la métrique tenseur tracée comme la fonction de $\{N, W\}$, en décrivant les fluctuations dans la configuration des trous noirs chargés nonextremaux $D_2D_6NS_5$ à l'ordre de α' .

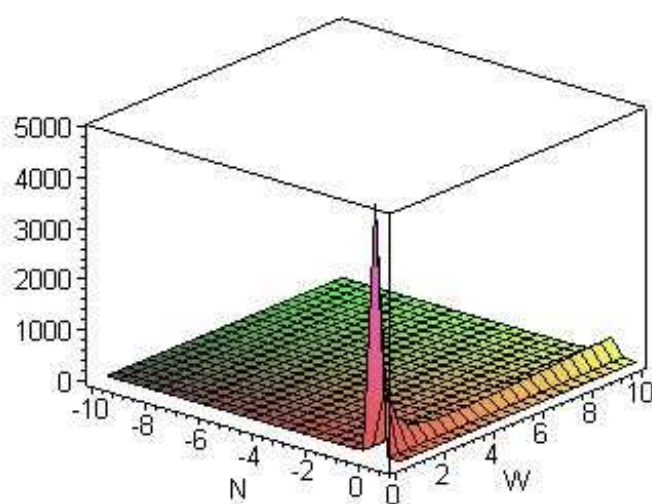


Figure 6.49: Le premier mineur de la métrique tenseure tracée comme la fonction de $\{N, W\}$, en décrivant les fluctuations dans la configuration des trous noirs chargés nonextremaux $D_2D_6NS_5$ à l'ordre de α' .

positivité de premier mineur principe $p_1 := g_{N_2N_2}$. Avec une orientation différente, la vue graphique de premier mineur principe p_1 est montré dans la Fig. (6.49). Le comportement qualitatif ci-dessus de la métrique tenseure de l'espace d'état et la positivité des mineurs principaux décrivent les propriétés statistiques des fluctuations de trous noirs $D_2D_6NS_5$ nonextremaux corrigés de α' .

Donc, avec les valeurs des Γ_{abc} comme nous les avons fournis dans l'annex [A], on peut voir que la courbure scalaire avec ces corrections de α' est:

$$R = \frac{3}{8\pi} (N_2 N_6 N_5^{5/2} N_R^{-1/2}) \frac{r(N_2, N_6, N_5)}{\tilde{g}(N_2, N_6, N_5)^3}, \quad (6.30)$$

où la fonction $r(N_2, N_6, N_5)$ est définie par

$$\begin{aligned} r(N_2, N_6, N_5) = & -114b_1^3(N_2N_6N_5^2)^{12} + 26b_1(N_2N_6N_5^2)^{15} + 178980b_1^7(N_2N_6N_5^2)^6 \\ & + 3837b_1^4(N_2N_6N_5^2)^{21/2} + 604500b_1^8(N_2N_6N_5^2)^{9/2} + 47472b_1^6(N_2N_6N_5^2)^{15/2} \\ & + 17b_1^2(N_2N_6N_5^2)^{27/2} + 565000b_1^9(N_2N_6N_5^2)^3 + 2(N_2N_6N_5^2)^{33/2} \\ & + 20280b_1^5(N_2N_6N_5^2)^9 - 620000b_1^{10}(N_2N_6N_5^2)^{3/2} - 800000b_1^{11}. \end{aligned} \quad (6.31)$$

Nous observons que cette curbure scalaire de Ruppenier est partout régulière pour chaque non-nulle $\tilde{g}(N_2, N_6, N_5)$. En ce cas, il est également simple à noter que cette configuration non-extrémale des branes $D_2D_6NS_5$ a toujours le même nombre des moments à gauche et à droite. De plus, la valeur correspondante de l'entropie est réduite et cell de la curbure scalaire de Ruppenier est devenue certaine fraction des fonctions polynômiales d'une variable N définie comme

$$N := N_2N_6N_5^2. \quad (6.32)$$

En outre, dans le cas des branes noirs de trois charges avec $N_R \rightarrow 0$, nous voyons sans aucune difficulté que, bien que la métrique de Ruppenier est bien-définie, mais la courbure scalaire de Ruppenier agrandit jusqu'à l'infinie. Dans ce cas, il s'agit donc un exemple du système statistique de l'interaction infinie.

Comme mentionné dans la section précédente, la description de l'espace d'état continue à la configuration des trous noirs $D_2D_6NS_5$ nonextremaux corrigés par les dérivés supérieures de α' . En particulier, la courbure scalaire sous-jacente de l'espace d'état offre les propriétés globales des fluctuations statistiques. Dans la gamme de $N \in (-10, 0)$ et $W \in (0, 10)$, on observe de la Fig. (6.50) que la courbure scalaire a un pic positif à l'ordre d'unité. Dans cette gamme de paramètres $\{N_2, N_6, N_5, N_R\}$, les trous noirs $D_1D_6NS_5$ nonextremaux corrigées par les termes de α' correspondent à une configuration statistique avec certaines interactions non-nulles. Comme mentionné précédemment, le signe positif de la courbure scalaire de l'espace d'état signifie que les interactions statistiques sont répulsives dans la leur nature. En outre, la Fig. (6.51) illustre le comportement de la courbure scalaire de l'espace d'état dans la gamme des paramètres $N, W \in (-10, 10)$. Justement, nous voyons qu'il y a découvert de la bande des interactions. L'interaction augmente alors que nous approchons de l'origine. Nous constatons que la courbure scalaire correspondante a un petit pic à l'ordre de 0.35 près de l'origine $(N, W) = (0, 0)$. Dans la gamme de $N, W \in (-10, 10)$, on observe de la Fig. (6.51) que les interactions statistiques globales sont symétriques, dans chaqu'un de quadrant de plan NW . En contraire du sommet de la courbure scalaire apparaissant dans la gamme de $N, W \in (0, 10)$, le pic de la courbure scalaire s'avère plus petit dans la gamme $N, W \in (-10, 10)$. Par les Figs. (6.50, 6.51), nous observons que la courbure scalaire de l'espace d'état reste positif dans les deux intervalles ci-dessus. Qualitativement, les représentations de l'espace d'état indiquent que les trous noirs $D_2D_6NS_5$ nonextremaux corrigés par les termes de α' sont globalement instables et correspondent à une configuration statistique faiblement interactive. En bref, les corrections des dérivées supérieures de α' à l'ordre dominant améliorent la stabilité des fluctuations dans la configuration des trous noirs $D_2D_6NS_5$ nonextremaux en offrant

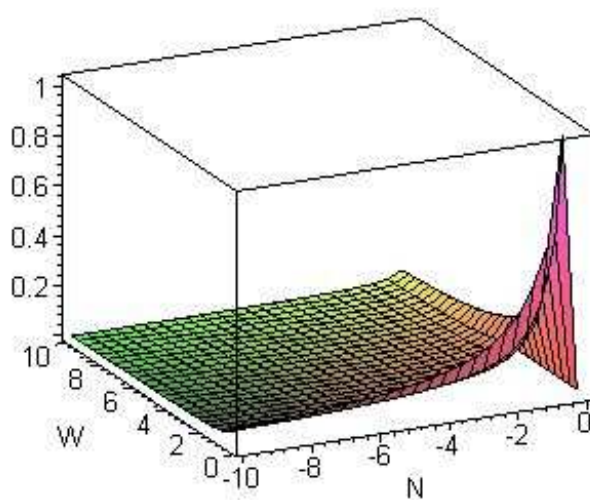


Figure 6.50: La courbure scalaire tracée comme la fonction de $\{N, W\}$, en décrivant les fluctuations dans la configuration des trous noirs chargés nonextremaux $D_2D_6NS_5$ à l'ordre de α' dans la gamme $n \in (-10, 0)$ et $N \in (0, 10)$.

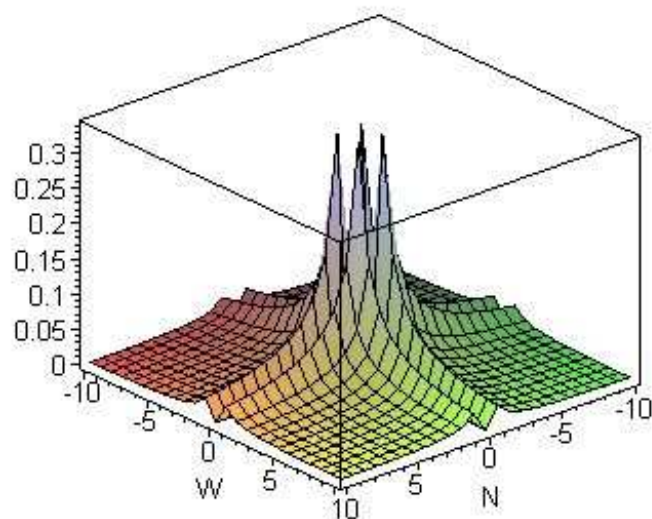


Figure 6.51: La courbure scalaire tracée comme la fonction de $\{N, W\}$, en décrivant les fluctuations dans la configuration des trous noirs chargés nonextremaux $D_2D_6NS_5$ à l'ordre de α' dans la gamme $n, N \in (-10, 10)$.

(i) des valeurs positives aux mineurs principaux et (ii) un petit pic à la courbure scalaire sous-jacente de l'espace d'état.

Chapitre 7

La géométrie de Ruppenier des trous noirs extrémaux en rotation en quatre dimensions

Dans ce chapitre, nous considérons la géométrie thermodynamique des trous noirs en rotation en ayant deux, trois et cinq paramètres. Il y a plusieurs systèmes thermodynamiques des trous noirs en rotation, en particulier le trou noir de Kerr-Newman et ceux de Kaluza-Klein chargé électriquement ou bien chargé électriquement et magnétiquement, qui sont les configurations considérées récemment par Astefanesei, Goldstein, Jena, Sen et Trivedi [14]. Bien sûr, dans le cas simple de la théorie de gravité des deux dérivées, on a des plusieurs exemples qui peuvent être illustrés.

Mais, ici, nous avons particulièrement intéressé le cas des trous noirs en rotation par rapport à la théorie de la gravité des dérivées supérieures, c'est en tous cas, comme les trous noirs extrémaux de Kerr-Newman dans la théorie d'Einstein-Maxwell, ou ceux de Kaluza-Klein dans la théorie d'Einstein-Maxwell, ou bien aussi les trous noirs extrémaux découlant naturellement dans la théorie des cordes hétérotiques compactifiée toroidalement. Un premier niveau de la géométrie thermodynamique nous permet d'envisager la construction d'une méthode pour qu'on puisse voir comme la nature des interactions

thermodynamiques, la transition des phases et la branche d'ergonomie, ... etc. Pour voir clairement toutes ces idées, il faut envisager la métrique tenseure de Ruppenier dans la même forme ce que nous l'avons donnée avant:

$$g_{ij} := -\partial_i \partial_j S(P_1, Q_2, P_3, Q_4, J). \quad (7.1)$$

7.1 Les trous noirs de Kerr-Newman dans la théorie d'Einstein-Maxwell:

Considéons la thorie de la gravité d'Einstein en quatre dimensions associée à un seul champ de jauge de Maxwell A_μ avec la charge q . Puis l'entropie des trous noirs extrémaux sous-jacents de Kerr-Newman est:

$$S_{BH} = \sqrt{J^2 + \left(\frac{q^2}{8\pi}\right)^2} \quad (7.2)$$

et la géométrie de l'espace-temps près de l'horizon de ces trous noirs est une géométrie de la gorge qu'elle à un analogie avec le vide $AdS_2 \times S^2$ de Bertotti-Robinson [87]. Ces trous noirs extrémaux de Kerr-Newman dans la théorie d'Einstein-Maxwell ont la suivante densité lagrangienne:

$$\mathcal{L} = R - \frac{1}{4} F_{\mu\nu} F^{\mu\nu}, \quad (7.3)$$

dont laquelle, on a cet entropie et cette géométrie de l'horizon [14]. Avec cet entropie du trou noir, et ainsi en considérant $\{q, J\}$ comme les variables thermodynamiques, on peut voir que les composantes de la métrique tenseure de Ruppenier sont:

$$\begin{aligned}
 g_{qq} &= -\frac{J^2}{32\pi} \left(J^2 + \left(\frac{q}{8\pi} \right)^2 \right)^{-3/2}, \\
 g_{qJ} &= \frac{qJ}{32\pi} \left(J^2 + \left(\frac{q}{8\pi} \right)^2 \right)^{-3/2}, \\
 g_{JJ} &= -\frac{q^2}{32\pi} \left(J^2 + \left(\frac{q}{8\pi} \right)^2 \right)^{-3/2}.
 \end{aligned} \tag{7.4}$$

Sous la fluctuation des paramètres $\{q, J\}$, les Figs. (7.1, 7.2) dépeignent la nature des composantes $\{g_{qq}, g_{JJ}\}$ de la métrique tenseure thermodynamique. Dans le régime de $q \in (-10, 2)$ et $J \in (-2, 10)$, nous constatons que l'amplitude des capacités de chaleurs $\{g_{qq}\}$ prend une valeur dans l'intervalle $(-0.003, 0)$. Dans cette gamme des paramètres $\{q, J\}$, on peut observer que la composante $\{g_{JJ}\}$ réside dans la gamme de $(-50, 0)$. Dans ce cas, nous voyons que l'amplitudes des deux composantes $\{g_{qq}\}$ et $\{g_{JJ}\}$ reste la plupart du temps sur la ligne $J = 0$. Explicitement, les Figs. (7.1, 7.2) indiquent que la croissance de la composante $\{g_{qq}\}$ prend un place dans la limite d'une petite charge q . Le signe négatif de $\{g_{qq}\}$ signifie que les trous noirs de Kerr-Neumann sont thermodynamiquement instables dans la limite d'une petite charge électrique. Du fait même, la Fig. (7.3) montre que la nature de la composante $\{g_{qJ}\}$ de la métrique tenseure thermodynamique. Nous constatons que la composante mixe $\{g_{qJ}\}$ reste dans l'intervalle $(-0.03, +0.03)$. Dans cette limite de $\{q, J\}$, les compressibilités de chaleurs, qui sont présentées dans les Figs. (7.1, 7.2, 7.3) illustrent les propriétés paramétriques au dessus des fluctuations de la configuration des trous noirs de Kerr-Neumann. Par la présente, nous pouvons voir que les fluctuations d'auto-paires, en impliquant $\{q, J\}$ tel qu'elles sont définies par les composantes de la métrique tenseure $\{g_{ij} \mid i, j = q, J\}$, n'ont que des valeurs négatives, tandis que la composante mixe $\{g_{qJ}\}$ à la fois a les deux signe. À ce stade, nous constatons que les trous noirs de Kerr-Neumann ont des capacités de chaleurs négatives, et donc on a une signature des instabilités statistiques locales.

Maintenant, il est facile d'observer que le déterminant de cette métrique tenseure de Ruppenier est zéro. C'est-à-dire que nous avons

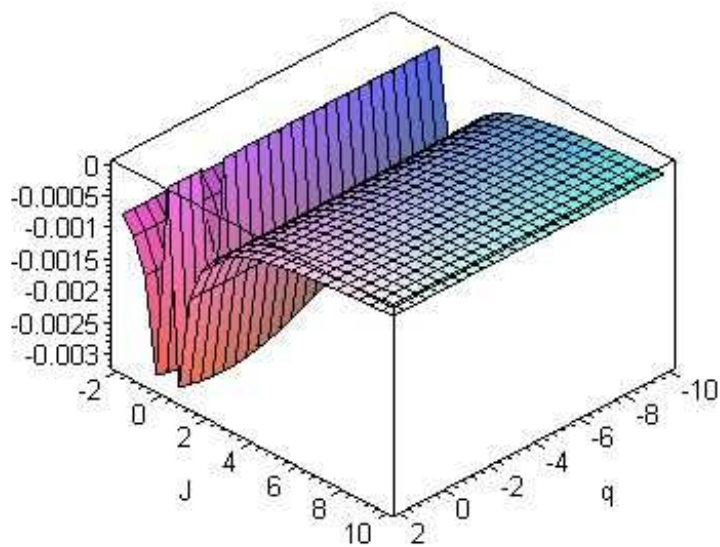


Figure 7.1: La composante qq de la métrique tenseure tracée comme la fonction de $\{q, J\}$, en décrivant les fluctuations dans la configuration des trous noirs de Kerr-Neumann.

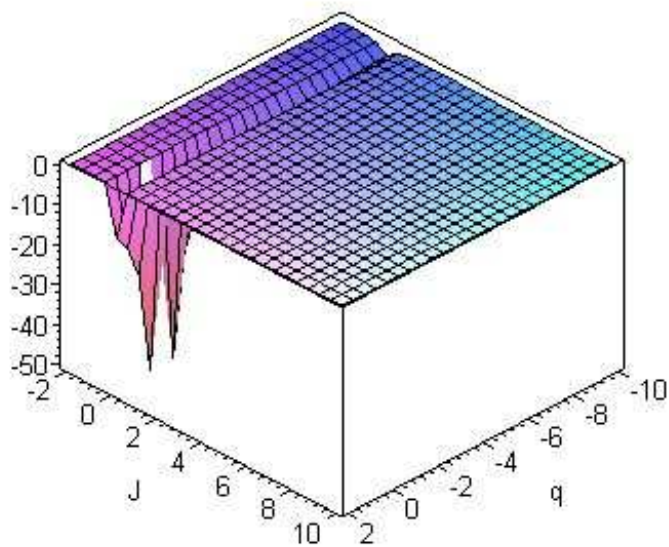


Figure 7.2: La composante JJ de la métrique tenseure tracée comme la fonction de $\{q, J\}$, en décrivant les fluctuations dans la configuration des trous noirs de Kerr-Neumann.

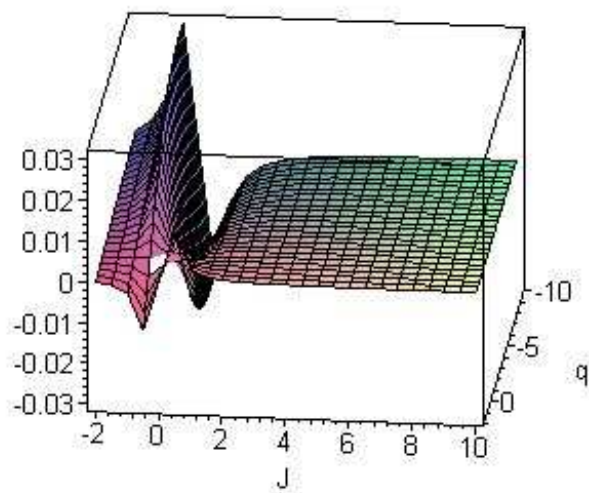


Figure 7.3: La composante qJ de la métrique tenseure tracée comme la fonction de $\{q, J\}$, en décrivant les fluctuations dans la configuration des trous noirs de Kerr-Neumann.

$$\|g_{ij}\| = S_{qq}S_{JJ} - S_{qJ}^2 = 0. \quad (7.5)$$

Avec cette propriété de la métrique tenseure, pour toute géométrie thermodynamique bidimensionnelle, nous avons une observation suivante.

L'observation

Pour n'importe quelle métrique tenseure g_{ij} de Ruppenier définie par une fonction générale de profil comme

$$f(x_1, x_2) = k\sqrt{x_1^2 - \alpha x_2^2}, \quad (7.6)$$

on a une observation simple que le déterminant de la métrique est zéro. Donc, il est une corollaire simple que la variété de Ruppenier pour laquelle la norme du déterminant disparaît, la courbure scalaire thermodynamique est partout infinie dans l'espace d'état [46], parce que les variétés thermodynamiques bidimensionnelles ont une relation:

$$R = \frac{2}{\|g\|} R_{1212}. \quad (7.7)$$

La stabilité d'un ensemble des trous noirs de Kerr-Neumann peut être déterminé en termes des paramètres $\{q, J\}$. Cela découle du comportement de la déterminant de la métrique tenseure thermodynamique. Dans ce cas, puisque le déterminant de la métrique tenseure est identiquement nulle pour toute valeur des $\{q, J\}$. Ainsi, les fluctuations de $\{q, J\}$ introduisent une instabilité dans l'ensemble sous-jacent. Lorsque le seul paramètre q est autorisé à varier, la stabilité de la configuration des trous noirs de Kerr-Neumann est déterminée par la positivité du premier mineur principe $p_1 := g_{qq}$. Une vue rotatée de p_1 est montrée dans la Fig. (7.4). Les représentations graphiques ci-dessus de la géométrie

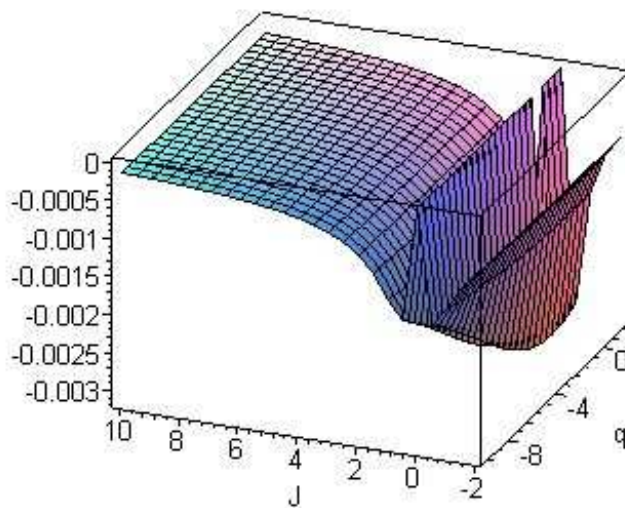


Figure 7.4: Le premier mineur de la métrique tenseure tracée comme la fonction de $\{q, J\}$, en décrivant les fluctuations dans la configuration des trous noirs de Kerr-Neumann.

thermodynamiques fournissent la propriété qualitative des fluctuations de la configuration statistique des trous noirs de Kerr-Neumann de deux paramètres.

Notez bien que la stabilité globale des trous noirs de Kerr-Neumann découle du comportement de la courbure scalaire thermodynamique. Dans ce cas, pour toute valeur des paramètres $\{q, J\}$, on trouve que la courbure scalaire est partout mal définie. Cela montre que la configuration des trous noirs de Kerr-Neumann correspond à mal comportement de base statistique au niveau de la théorie de gravité des deux dérivés. De plus, nous avons fourni les Γ_{abc} de cette configuration des trous noirs sous-jacents dans l'annex [A]. En bref, la géométrie thermodynamique indiquent que les trous noirs de Kerr-Neumann correspondent à une configuration statistique instable en vertu de la fluctuation des paramètres $\{q, J\}$.

7.2 Les trous noirs extrémaux de Kaluza-Klein dans la théorie d'Einstein-Maxwell:

Dans le cas des trous noirs de Kaluza-Klein de $D = 4$ en rotation, nous allons maintenant examiner la théorie de la gravité qui est obtenue par la théorie de la réduction de la gravité pure des cinq dimensions sur un cercle S^1 . Les champs importants en quatre dimensions sont la métrique tenseure $g_{\mu\nu}$ de l'espace-temps, un champ scalaire ϕ associés à la rayon de la cinquième dimension et un champ de jauge A_μ de $U(1)$. Il est bien connu [14] que l'entropie associée à ce système des trous noirs est donnée par:

$$S(P, Q, J) = 2\pi\sqrt{P^2Q^2 - J^2}. \quad (7.8)$$

En ce cas de l'entropie des trois paramètres $\{P, Q, J\}$, la métrique tenseure de Ruppenier, le déterminant de la métrique tenseure et la courbure scalaire de Ruppenier peuvent être écrits facilement, comme nous les avons donnés en générale dans l'annexe [B].

En particulier, nous voyons maintenant que les composantes de la métrique de Ruppenier sont simplement données par:

$$\begin{aligned}
 g_{PP} &= \frac{2\pi P^2 Q^4}{(P^2 Q^2 - J^2)^{3/2}} - \frac{2\pi Q^2}{(P^2 Q^2 - J^2)^{1/2}}, \\
 g_{PQ} &= \frac{2\pi P^3 Q^3}{(P^2 Q^2 - J^2)^{3/2}} - \frac{4\pi PQ}{(P^2 Q^2 - J^2)^{1/2}}, \\
 g_{PJ} &= -\frac{2\pi JPQ^2}{(P^2 Q^2 - J^2)^{3/2}}, \\
 g_{QQ} &= \frac{2\pi P^4 Q^2}{(P^2 Q^2 - J^2)^{3/2}} - \frac{2\pi P^2}{(P^2 Q^2 - J^2)^{1/2}}, \\
 g_{QJ} &= -\frac{2\pi JP^2 Q}{(P^2 Q^2 - J^2)^{3/2}}, \\
 g_{JJ} &= \frac{2\pi J^2}{(P^2 Q^2 - J^2)^{3/2}} + \frac{2\pi}{(P^2 Q^2 - J^2)^{1/2}}.
 \end{aligned} \tag{7.9}$$

Dans ce cas, puisqu'il y a trois variables indépendantes $\{P, Q, J\}$, donc nous sommes tenus à fixer l'une des variables afin d'offrir la vue graphique de trois dimensions des fluctuations sous-jacentes. Nous le faisons en choisissant $P = Q$. Pour une configuration donnée des trous noirs extrémiaux de Kaluza-Klein, les propriétés des fluctuations sont exprimées comme les suivantes. Dans le régime de $Q \in (-10, 10)$ et $J \in (-10, 10)$, on observe que l'amplitude des capacités de chaleurs $\{g_{QQ}, g_{PP}\}$ prend une valeur à l'ordre de 120. Dans cette gamme de $\{Q, J\}$, la capacité de la chaleur $\{g_{JJ}\}$ réside dans la gamme de $(0, 30)$. En conformant à la prédiction de la géométrie de l'espace d'état, nous constatons que les gammes de la première ensemble et la deuxième ensemble des capacités de chaleurs s'éloignent de l'origine, quand nous augmentons les valeurs de paramètres $\{Q, J\}$. Plus précisément, pour $Q \simeq 5$, le pic des capacités de chaleurs $\{g_{QQ}, g_{PP}\}$ augmente au hasard, à mesure que nous augmentons la valeur de J . De plus, pour $Q \simeq 5$, le pic de l'élément g_{JJ} diminue, quand nous augmentons la valeur de J . Dans ce cas, les Figs. (7.5, 7.6) montrent que la croissance des capacités de chaleurs $\{g_{PP}, g_{QQ}\}$ a lieu dans un ensemble des amplitudes aléatoires sur la surface QJ . En outre, la Fig. (7.7) montre que la

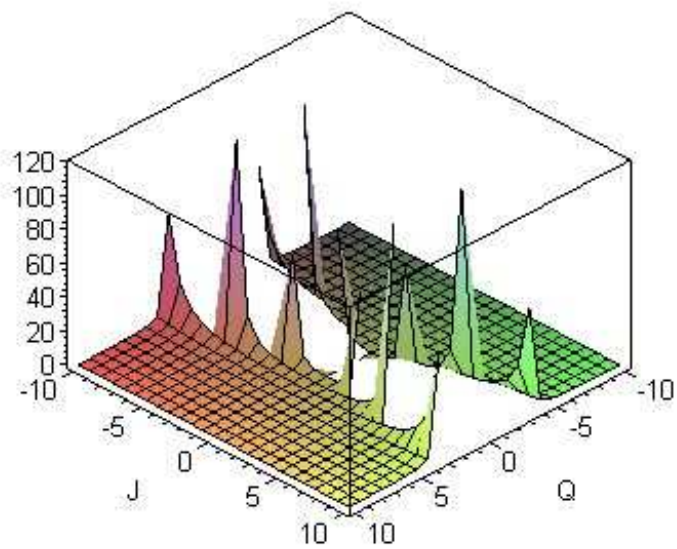


Figure 7.5: La composante PP de la métrique tenseure tracée comme la fonction de $\{Q, J\}$, en décrivant les fluctuations dans la configuration des trous noirs de Kaluza-Klein.

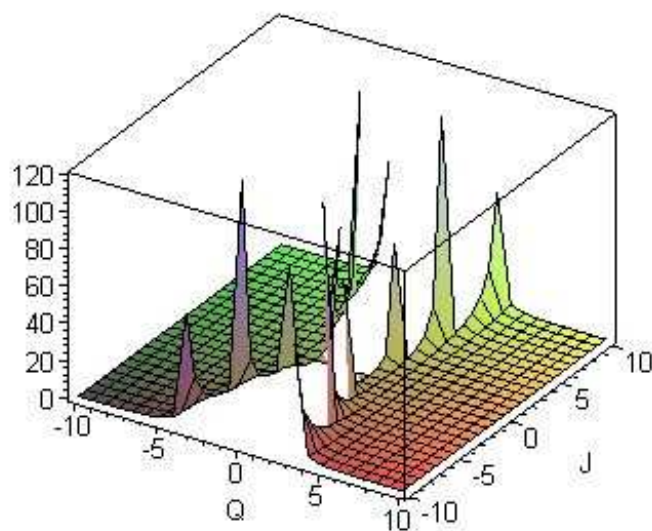


Figure 7.6: La composante QQ de la métrique tenseure tracée comme la fonction de $\{Q, J\}$, en décrivant les fluctuations dans la configuration des trous noirs de Kaluza-Klein.

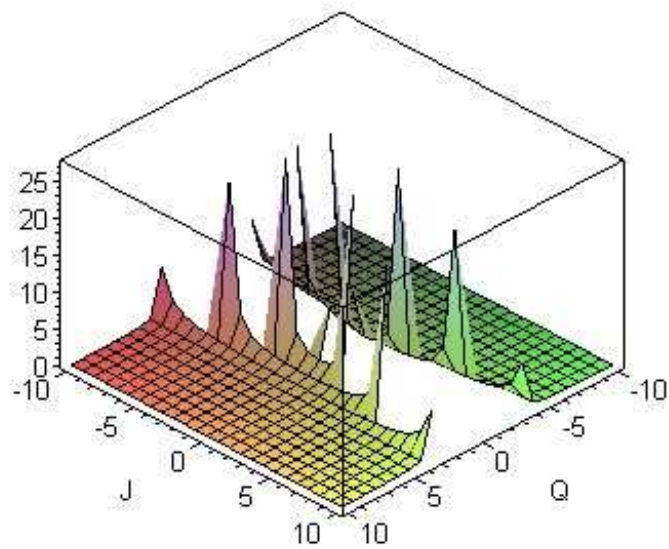


Figure 7.7: La composante JJ de la métrique tenseure tracée comme la fonction de $\{Q, J\}$, en décrivant les fluctuations dans la configuration des trous noirs de Kaluza-Klein.

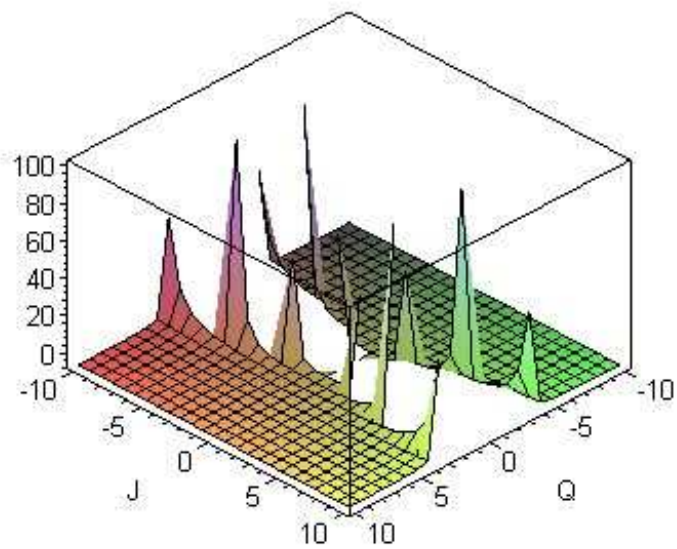


Figure 7.8: La composante PQ de la métrique tenseure tracée comme la fonction de $\{Q, J\}$, en décrivant les fluctuations dans la configuration des trous noirs de Kaluza-Klein.

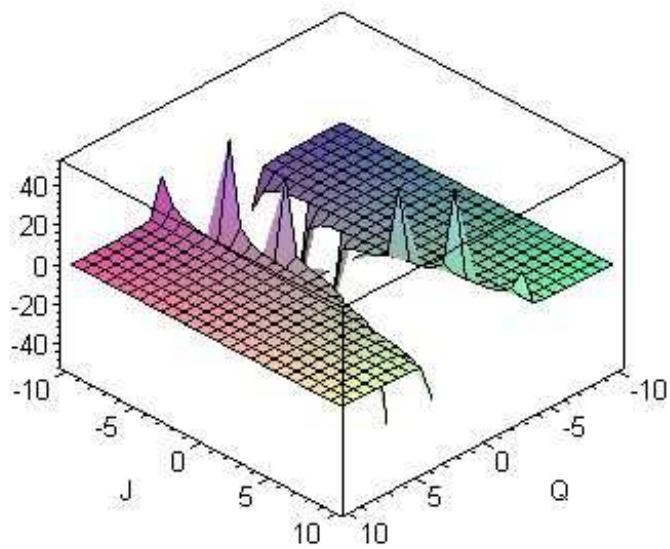


Figure 7.9: La composante PJ de la métrique tenseure tracée comme la fonction de $\{Q, J\}$, en décrivant les fluctuations dans la configuration des trous noirs de Kaluza-Klein.

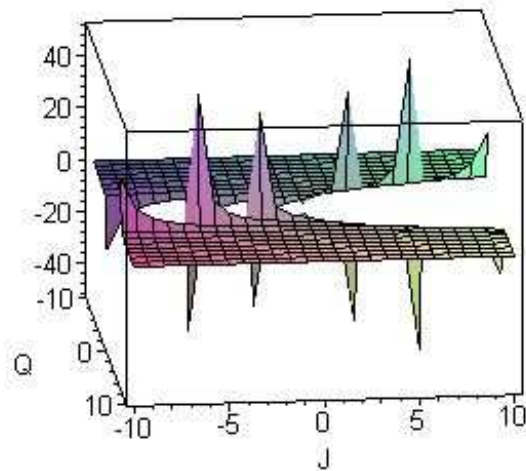


Figure 7.10: La composante QJ de la métrique tenseure tracée comme la fonction de $\{Q, J\}$, en décrivant les fluctuations dans la configuration des trous noirs de Kaluza-Klein.

croissance de la composante $\{g_{JJ}\}$ a lieu dans un ensemble des croissantes amplitudes sur la surface QJ . De même, les compressibilités de chaleurs en impliquant deux paramètres distincts de la configuration des trous noirs de Kaluza-Klein sont représentés dans les Figs. (7.8, 7.9, 7.10). Par la présente, nous constatons que l'amplitude de (i) g_{PQ} reste dans l'intervalle $(0, 100)$, (ii) g_{PJ} se situe dans la gamme de $(-50, 50)$ et (iii) g_{QJ} réside aussi dans l'intervalle $(-50, 50)$. De toute façon, les composantes de la métrique tenseure de l'espace d'état $\{g_{ij} \mid i, j = P, Q, J\}$, comme illustré dans les Figs. (7.5, 7.6, 7.7) montrent que la configuration des trous noirs de Kaluza-Klein correspond à un système statistique localement stable avec un ensemble des capacités thermiques positives par rapport à la géométrie de l'espace d'état.

En ce cas, il s'ensuit que le mineur de surface a la forme suivante

$$p_2 : = -4 \frac{\pi^2 Q^2 P^2 (P^2 Q^2 - 3 J^2)}{(P^2 Q^2 - J^2)^2}. \quad (7.10)$$

Donc, il est précise que le déterminant de la métrique tenseure est:

$$g = -8\pi^3 \frac{(PQ)^4}{(P^2 Q^2 - J^2)^{13/2}} \tilde{g}(P, Q, J), \quad (7.11)$$

où la fonction $\tilde{g}(P, Q, J)$ est définie par

$$\tilde{g}(P, Q, J) := (PQ)^8 - 4(PQ)^6 J^2 + 6(PQ)^4 J^4 - 4(PQ)^2 J^6 + J^8. \quad (7.12)$$

Sous les fluctuations des paramètres $\{P, Q, J\}$, la stabilité d'un ensemble des trous noirs de Kaluza-Klein découle de la positivité du déterminant de la métrique tenseure. Pour le choix du $P = Q$, nous constatons que le déterminant de la métrique tenseure g prend une grande valeur négative, quand nous permetons à fluctuer les paramètres $\{P, Q, J\}$. Dans ce cas, nous voyons que $g \in (-7000, 0)$. Pour une valeur typique de

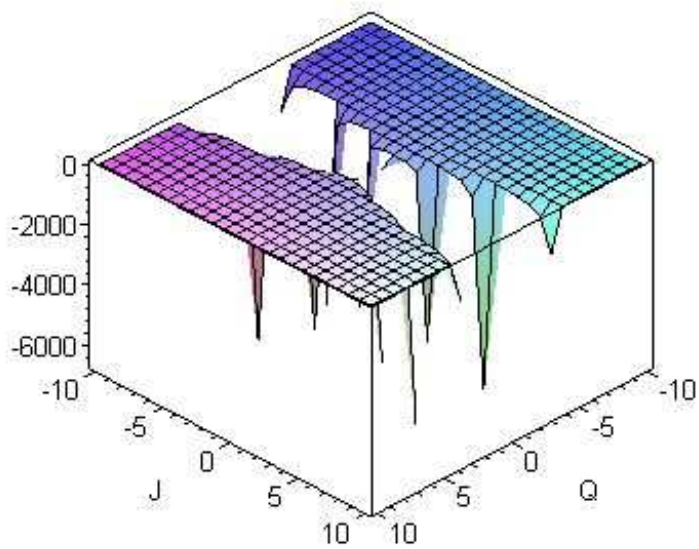


Figure 7.11: Le déterminant de la métrique tenseure tracée comme la fonction de $\{Q, J\}$, en décrivant les fluctuations dans la configuration des trous noirs de Kaluza-Klein.

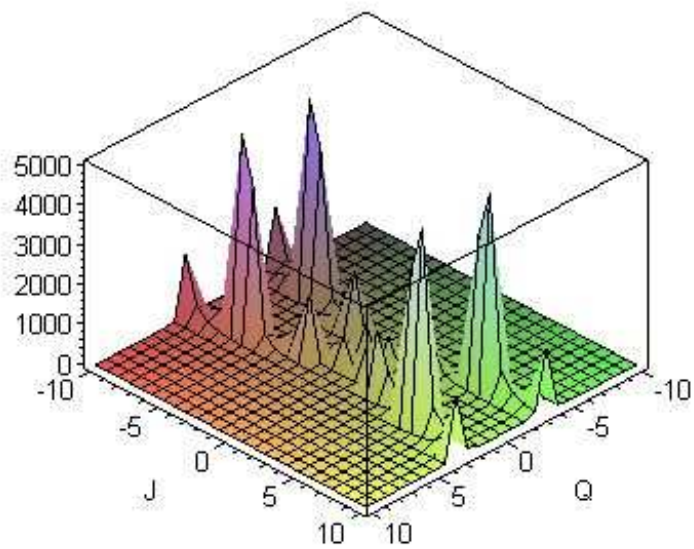


Figure 7.12: Le mineur de surface de la métrique tenseure tracée comme la fonction de $\{Q, J\}$, en décrivant les fluctuations dans la configuration des trous noirs de Kaluza-Klein.

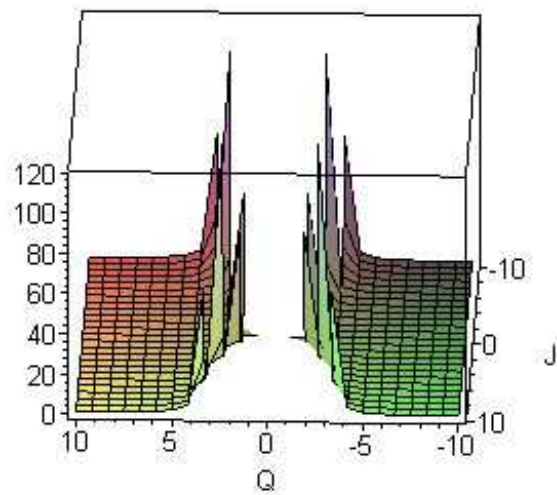


Figure 7.13: Le premier mineur de la métrique tenseure tracée comme la fonction de $\{Q, J\}$, en décrivant les fluctuations dans la configuration des trous noirs de Kaluza-Klein.

$Q \in (-10, 10)$ et $J \in (-10, 10)$, la Fig. (7.11) offre la nature graphique de déterminant de la métrique tenseure g . Par la suite, les fluctuations de $\{P, Q\}$ correspond à une surface stable. De la Fig. (7.12), ce qui suit par-ce que le mineur principe correspondant $p_2 \in (0, 5000)$. Enfin, lorsque le seul paramètre P est autorisé à varier, la stabilité de la configuration des trous noirs de Kaluza-Klein est déterminée par la positivité du premier mineur principe $p_1 := g_{PP}$. Une vue rotatée de p_1 est montré dans la Fig. (7.13). Les propriétés qualitative ci-dessus des mineurs principaux décrivent le comportement des fluctuations statistiques de l'espace d'état des trous noirs de Kaluza-Klein.

Ensuite, comme nous avons fourni les Γ_{abc} dans l'annex [A], nous pouvons voir que la courbure scalaire de Ruppenier dans ce cas des trous noirs de Kaluza-Klein est:

$$R = -\left(\frac{2P^4Q^4 + P^2Q^2J^2 - 3J^4}{4\pi P^2Q^2(P^2Q^2 - J^2)^{3/2}}\right). \quad (7.13)$$

À la valeur $J = 0$, nous voyons que le déterminant de la métrique tenseure est

$$g|_{J=0} = -\frac{8\pi^3}{PQ} \quad (7.14)$$

et également la courbure scalaire de Ruppenier est donnée par

$$R|_{J=0} = -\frac{1}{\pi|PQ|}. \quad (7.15)$$

Donc, cette géométrie de Ruppenier est bien définie et ainsi correspond à une système statistique en interactions pour chaque non-nulle charge électrique Q et celle de la charge magnétique P , et encore ce qui reste la même aussi au point de $J = 0$. En fait, il n'est pas aussi difficile de voir de la limite de $J = 0$ que nous avons

$$R = \frac{2P^2Q^2 + 3J^2}{4\pi P^2Q^2(P^2Q^2 - J^2)^{1/2}}. \quad (7.16)$$

Ensuite, on peut observer qu'il n'y a pas des divergences dans l'espace d'état et cette courbure de Ruppenier est partout régulière, sauf d'une branche d'ergo. Ceci est bien compatible avec le fait que l'espace de modules des trous noirs extrémaux en rotation sont constitués aux deux branches d'ergo, comme discuté pour la première fois dans le Ref. [88]. En d'autres termes, nous voyons que le déterminant et la courbure scalaire de la géométrie de Ruppenier de la configuration des trous noirs extrémaux de Kaluza-Klein dans la théorie d'Einstein-Maxwell sont mal-définis sur la branche d'ergo. En outre, notez bien que la courbure scalaire de Ruppenier devient infinie, c'est-à-dire qu'il y a des très fortes interactions statistiques, si on traverse la frontière d'une succursale de l'ergo.

Comme mentionné dans la section précédente, la courbure scalaire de l'espace d'état décrit les propriétés globales d'un ensemble statistique de ces trous noirs en fluctuant $\{P, Q, J\}$. Sous la fluctuation de $\{P, Q, J\}$, la structure de la stabilité globale des trous noirs de Kaluza-Klein peut être décrit comme la suit. Dans la gamme de $Q, J \in (-10, 10)$, la Fig. (7.14) montre que la courbure scalaire prend une petite amplitude négative à l'ordre de -0.30 . Dans cette gamme de paramètres, nous observons que la configuration de Kaluza-Klein est un système statistique faiblement interactif. Physiquement, le signe négatif de la courbure scalaire signifie que les interactions statistiques sont attrayantes dans leur nature. La Fig. (7.15) illustre le comportement de la courbure scalaire ci-dessus pour la gamme des paramètres $Q \in (-10, 0)$ et $J \in (0, 10)$. En fait, nous voyons que les interactions sont largement présentes près de l'origine. La Fig. (7.15) montre que la courbure scalaire de l'espace d'état acquiert un grand pic à l'ordre de $-3 \times 10^{+15}$ près de l'origine $(Q, J) = (0, 0)$. Par ailleurs, nous remarquons de la Fig. (7.15) que les interactions statistiques globales remplissent la gamme complète $J = 0$, dans la limite de $Q = 0$. En comparaison des interactions apparaissent dans la gamme de $Q, J \in (-10, 10)$, l'amplitude des interactions statistiques globales se révèle d'être

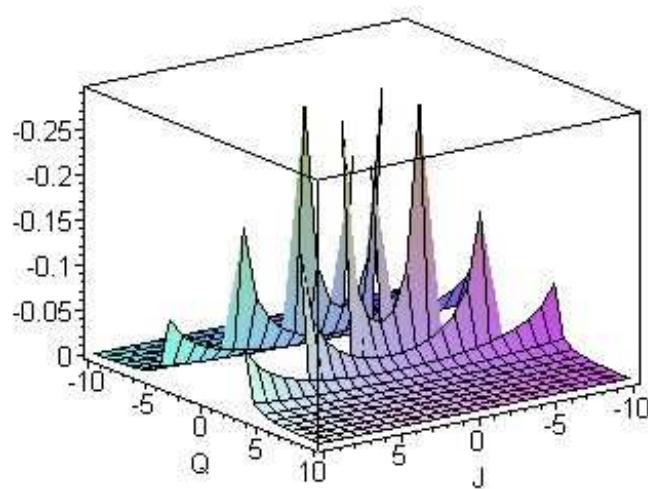


Figure 7.14: La courbure scalaire tracée comme la fonction de $\{Q, J\}$, en décrivant les fluctuations dans la configuration des trous noirs de Kaluza-Klein dans la gamme de $Q, J \in (-10, 10)$.

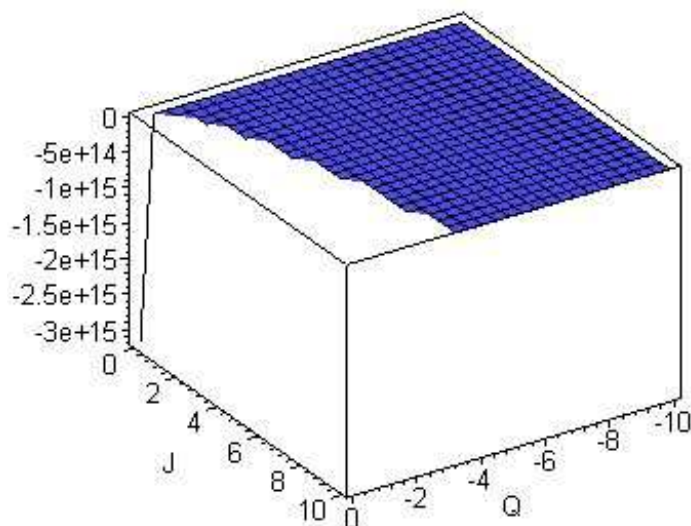


Figure 7.15: La courbure scalaire tracée comme la fonction de $\{Q, J\}$, en décrivant les fluctuations dans la configuration des trous noirs de Kaluza-Klein dans la gamme de $Q \in (-10, 0)$ et $J \in (0, 10)$.

beaucoup plus grande dans la gamme de $Q \in (-10, 0)$ et $J \in (0, 10)$. Précisément, nous constatons que le ratio des valeurs typiques de l'amplitude des courbures scalaire est à l'ordre de 10^{16} . La vue graphique de cette comparaison ci-dessus découle par les Figs. (7.14, 7.15). Qualitativement, de ce qui précède est mentionnés vers la représentation de l'espace d'état, nous observons que la configuration des trous noirs de Kaluza-Klein est globalement instable et correspond à un système statistique interactif, quand elle est pris en compte dans la théorie de la gravité des deux dérivés.

7.3 Les trous noirs extrémaux de la théorie des cordes hétérotiques compactifiée toroidalement:

Dans cette section, nous examinons la géométrie thermodynamiques des trous noirs extrémaux de la théorie de la gravité en quatre dimensions couplée à un champ scalaire complexe

$$S = S_1 + iS_2, \quad (7.17)$$

des quatse champs de jauge de $U(1)$ donné par $\{A_\mu^{(i)}\}_{i=1}^4$, et un champ scalaire M faisant sa valeur de la matrice du type 4×4 avec la contrainte:

$$MLM^T = L, \quad (7.18)$$

où

$$L = \begin{pmatrix} 0 & I_2 \\ I_2 & 0 \end{pmatrix} \quad (7.19)$$

et la I_2 signifie la matrice d'identité de type 2×2 , voir [14, 89] pour des détails de ces solutions de trous noirs en rotation avec un vecteur générale des charges électriques \vec{Q} et

des charges magnétique \vec{P} . De plus, il existe une famille de ces solutions avec les mêmes charges électriques et magnétiques, mais différentes valeurs asymptotiques des champs scalaires dans le cadre de la transformation des dualités entre les charges électriques et magnétiques. Ces trous noirs brisant la supersymétrie et peuvent être construits en considérant les vecteurs de charges comme:

$$Q = \begin{pmatrix} 0 \\ Q_2 \\ 0 \\ Q_4 \end{pmatrix}, \quad P = \begin{pmatrix} P_1 \\ 0 \\ P_3 \\ 0 \end{pmatrix}. \quad (7.20)$$

Pour cette classe des solutions, la masse M d'ADM, les charges électriques et magnétiques $\{Q_i, P_i\}$ et le moment cinétique J , et l'entropie de trou noir associé peut être trouvée en général dans les Refs. [13, 88]. Il s'avère que cette solution a deux type différent des limites extrémales qu'elles sont connues sous le nom de la succursale d'ergo et sans la succursale d'ergo. Dans la limite extrémale correspondante à la succursale d'ergo, l'entropie des trous noirs extrémaux en rotation dans la théorie des cordes hétérotiques compactifiée toroidalement [14] est donnée par:

$$S(P_1, Q_2, P_3, Q_4, J) := 2\pi \sqrt{J^2 + P_1 Q_2 P_3 Q_4}. \quad (7.21)$$

En outre, nous pouvons voir que la valeur absolue de cet entropie reste la même dans la succursale d'ergo ainsi que dehors de la succursale d'ergo.

Selon le cas d'application, nous avons la même forme de la métrique tenseure de Ruppenier $g_{ij}(P_1, Q_2, P_3, Q_4, J)$ ce que nous avons donnée avant, en particulier avec les variables thermodynamique $\{P_1, Q_2, P_3, Q_4, J\}$, l'élément de la ligne de Ruppenier peut être donnée comme:

$$\begin{aligned}
 ds^2 := & -\left(\frac{\partial^2 S(P_1, Q_2, P_3, Q_4, J)}{\partial P_1^2}\right)dP_1^2 - 2\left(\frac{\partial^2 S(P_1, Q_2, P_3, Q_4, J)}{\partial Q_2 \partial P_1}\right)dP_1 dQ_2 \\
 & - 2\left(\frac{\partial^2 S(P_1, Q_2, P_3, Q_4, J)}{\partial P_1 \partial P_3}\right)dP_1 dP_3 - 2\left(\frac{\partial^2 S(P_1, Q_2, P_3, Q_4, J)}{\partial P_1 \partial Q_4}\right)dP_1 dQ_4 \\
 & - 2\left(\frac{\partial^2 S(P_1, Q_2, P_3, Q_4, J)}{\partial P_1 \partial J}\right)dP_1 dJ - \left(\frac{\partial^2 S(P_1, Q_2, P_3, Q_4, J)}{\partial Q_2^2}\right)dQ_2^2 \\
 & - 2\left(\frac{\partial^2 S(P_1, Q_2, P_3, Q_4, J)}{\partial Q_2 \partial P_3}\right)dQ_2 dP_3 - 2\left(\frac{\partial^2 S(P_1, Q_2, P_3, Q_4, J)}{\partial Q_2 \partial Q_4}\right)dQ_2 dQ_4 \\
 & - 2\left(\frac{\partial^2 S(P_1, Q_2, P_3, Q_4, J)}{\partial Q_2 \partial J}\right)dQ_2 dJ - \left(\frac{\partial^2 S(P_1, Q_2, P_3, Q_4, J)}{\partial P_3^2}\right)dP_3^2 \\
 & - 2\left(\frac{\partial^2 S(P_1, Q_2, P_3, Q_4, J)}{\partial Q_4 \partial P_3}\right)dQ_4 dP_3 - 2\left(\frac{\partial^2 S(P_1, Q_2, P_3, Q_4, J)}{\partial P_3 \partial J}\right)dP_3 dJ \\
 & - \left(\frac{\partial^2 S(P_1, Q_2, P_3, Q_4, J)}{\partial Q_4^2}\right)dQ_4^2 - 2\left(\frac{\partial^2 S(P_1, Q_2, P_3, Q_4, J)}{\partial Q_4 \partial J}\right)dQ_4 dJ \\
 & - \left(\frac{\partial^2 S(P_1, Q_2, P_3, Q_4, J)}{\partial J^2}\right)dJ^2.
 \end{aligned} \tag{7.22}$$

Dans ce cas, les formules du déterminant et de la courbure scalaire de Ruppenier sont certaines grandes expressions. Mais, pour le cas particulier de cet entropie d'un trou noir extremal en rottaion en découlant de la théorie des cordes hétérotiques compactifiée toroidalement, il est immédiat d'obtenir que les composantes de la métrique tenseure sont données par:

$$\begin{aligned}
 g_{P_1 P_1} &= \frac{\pi(Q_2 P_3 Q_4)^2}{2(J^2 + P_1 Q_2 P_3 Q_4)^{3/2}}, \\
 g_{P_1 Q_2} &= \frac{\pi P_1 Q_2 P_3^2 Q_4^2}{2(J^2 + P_1 Q_2 P_3 Q_4)^{3/2}} - \frac{\pi P_3 Q_4}{(J^2 + P_1 Q_2 P_3 Q_4)^{1/2}}, \\
 g_{P_1 P_3} &= \frac{\pi P_1 Q_2^2 P_3 Q_4^2}{2(J^2 + P_1 Q_2 P_3 Q_4)^{3/2}} - \frac{\pi Q_2 Q_4}{(J^2 + P_1 Q_2 P_3 Q_4)^{1/2}}, \\
 g_{P_1 Q_4} &= \frac{\pi P_1 Q_2^2 P_3^2 Q_4}{2(J^2 + P_1 Q_2 P_3 Q_4)^{3/2}} - \frac{\pi Q_2 P_3}{(J^2 + P_1 Q_2 P_3 Q_4)^{1/2}}, \\
 g_{P_1 J} &= \frac{\pi J Q_2 P_3 Q_4}{(J^2 + P_1 Q_2 P_3 Q_4)^{3/2}},
 \end{aligned} \tag{7.23}$$

$$\begin{aligned}
 g_{Q_2 Q_2} &= \frac{\pi(P_1 P_3 Q_4)^2}{2(J^2 + P_1 Q_2 P_3 Q_4)^{3/2}}, \\
 g_{Q_2 P_3} &= \frac{\pi P_1^2 Q_2 P_3 Q_4^2}{2(J^2 + P_1 Q_2 P_3 Q_4)^{3/2}} - \frac{\pi P_1 Q_4}{(J^2 + P_1 Q_2 P_3 Q_4)^{1/2}}, \\
 g_{Q_2 Q_4} &= \frac{\pi P_1^2 Q_2 P_3^2 Q_4}{2(J^2 + P_1 Q_2 P_3 Q_4)^{3/2}} - \frac{\pi P_1 P_3}{(J^2 + P_1 Q_2 P_3 Q_4)^{1/2}}, \\
 g_{Q_2 J} &= \frac{\pi J P_1 P_3 Q_4}{(J^2 + P_1 Q_2 P_3 Q_4)^{3/2}}, \tag{7.24}
 \end{aligned}$$

$$\begin{aligned}
 g_{P_3 P_3} &= \frac{\pi(P_1 Q_2 Q_4)^2}{2(J^2 + P_1 Q_2 P_3 Q_4)^{3/2}}, \\
 g_{P_3 Q_4} &= \frac{\pi P_1^2 Q_2^2 P_3 Q_4}{2(J^2 + P_1 Q_2 P_3 Q_4)^{3/2}} - \frac{\pi P_1 Q_2}{(J^2 + P_1 Q_2 P_3 Q_4)^{1/2}}, \\
 g_{P_3 J} &= \frac{\pi J P_1 Q_2 Q_4}{(J^2 + P_1 Q_2 P_3 Q_4)^{3/2}}, \\
 g_{Q_4 Q_4} &= \frac{\pi(P_1 Q_2 P_3)^2}{2(J^2 + P_1 Q_2 P_3 Q_4)^{3/2}}, \\
 g_{Q_4 J} &= \frac{\pi J P_1 Q_2 P_3}{(J^2 + P_1 Q_2 P_3 Q_4)^{3/2}}, \\
 g_{JJ} &= \frac{2\pi J^2}{(J^2 + P_1 Q_2 P_3 Q_4)^{3/2}} - \frac{2\pi}{(J^2 + P_1 Q_2 P_3 Q_4)^{1/2}}. \tag{7.25}
 \end{aligned}$$

Dans ce cas, à l'avis qu'il y a cinq variables indépendantes $\{P_1, Q_2, P_3, Q_4, J\}$ des fluctuations, et ainsi, afin d'offrir d'une vue tridimensionnelle des fluctuations statistiques, nous avons besoin de fixer les trois variables. Nous le faisons en considérant $P_1 = Q$, $Q_2 = Q$, $P_3 = Q$ et $Q_4 = Q$. Pour une configuration donnée des trous noirs hétérotiques, les propriétés des fluctuations peuvent être décrites par un ensemble des graphiques suivantes de trois dimensions. Notamment, dans le régime de $Q, J \in (-10, 10)$, nous voyons que l'amplitude des capacités de chaleurs $\{g_{P_1 P_1}, g_{Q_2 Q_2}, g_{P_3 P_3}, g_{Q_4 Q_4}\}$ réside dans l'intervalle $(0, 1.6)$. Dans cette gamme de Q, J , la capacité de chaleur $\{g_{JJ}\}$ est comprise entre $(-10, 0)$. En conformant à la prédiction de la géométrie de l'espace d'état, nous observons que la gamme de la croissance de la première série et celle de la deuxième série des capacités de chaleurs reste opposée à la sa nature-même. Plus précisément, pour une petite valeur

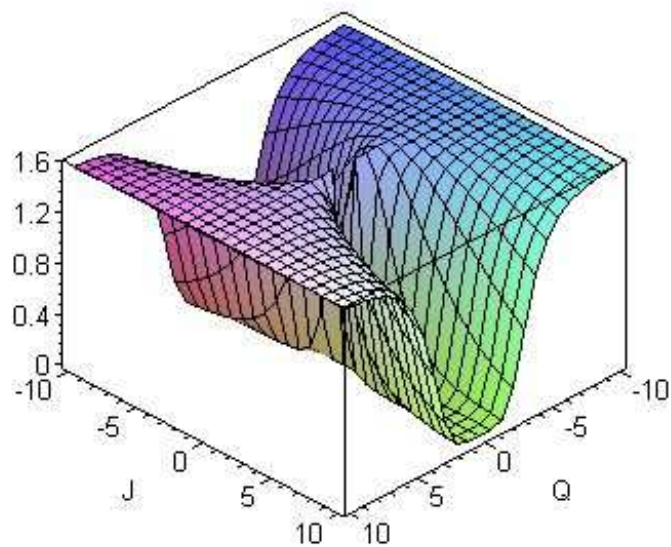


Figure 7.16: La composante P_1P_1 de la métrique tenseure tracée comme la fonction de $\{Q, J\}$, en décrivant les fluctuations dans la configuration des trous noirs de la théorie des cordes hétérotiques.

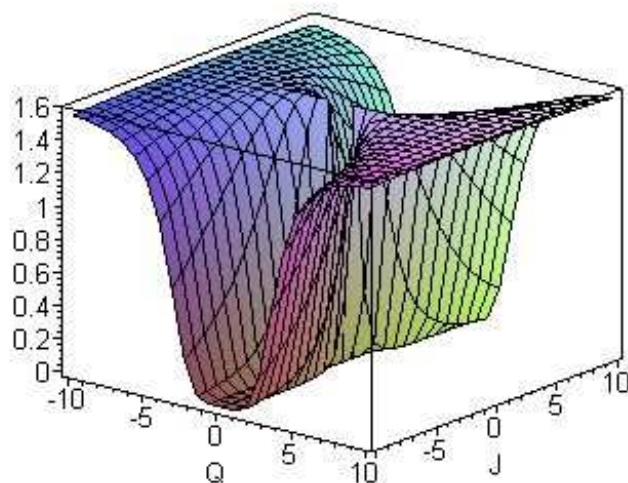


Figure 7.17: La composante Q_2Q_2 de la métrique tenseur tracée comme la fonction de $\{Q, J\}$, en décrivant les fluctuations dans la configuration des trous noirs de la théorie des cordes hétérotiques.

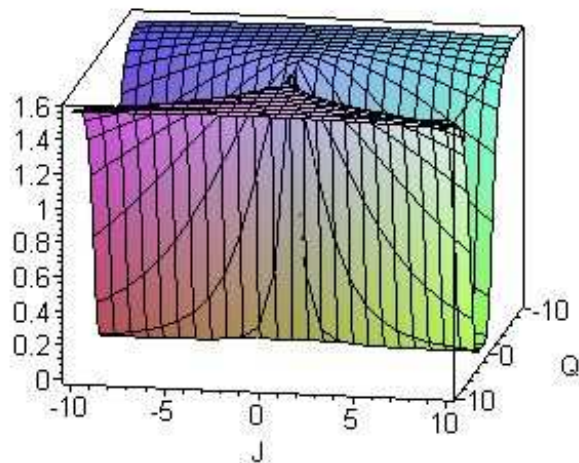


Figure 7.18: La composante P_3P_3 de la métrique tenseur tracée comme la fonction de $\{Q, J\}$, en décrivant les fluctuations dans la configuration des trous noirs de la théorie des cordes hétérotiques.

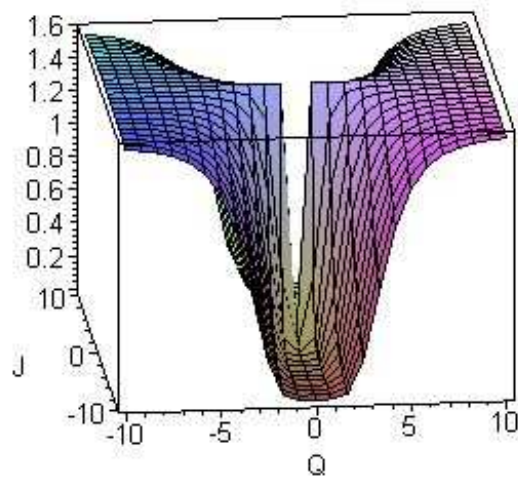


Figure 7.19: La composante Q_4Q_4 de la métrique tenseur tracée comme la fonction de $\{Q, J\}$, en décrivant les fluctuations dans la configuration des trous noirs de la théorie des cordes hétérotiques.

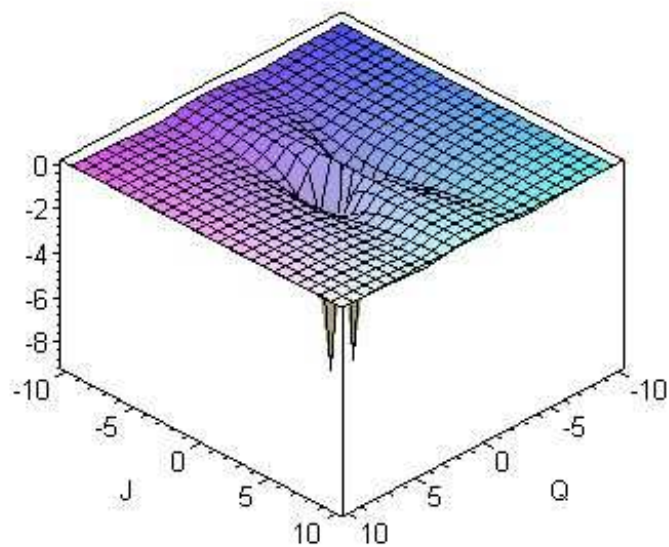


Figure 7.20: La composante JJ de la métrique tenseure tracée comme la fonction de $\{Q, J\}$, en décrivant les fluctuations dans la configuration des trous noirs de la théorie des cordes hétérotiques.

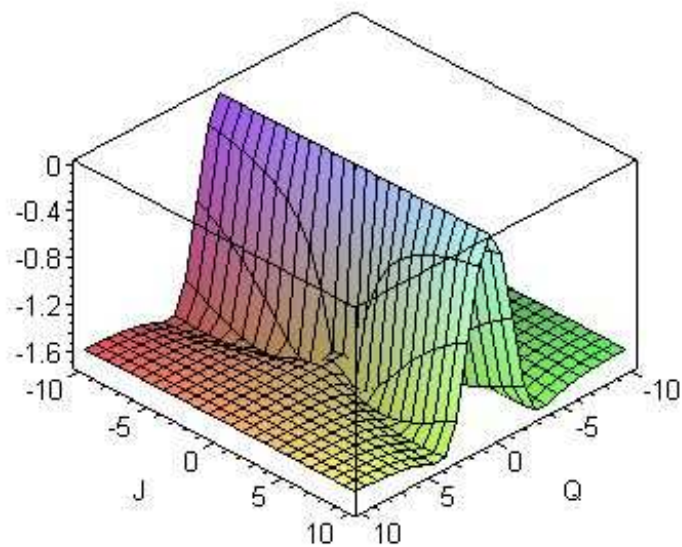


Figure 7.21: La composante P_1Q_2 de la métrique tenseure tracée comme la fonction de $\{Q, J\}$, en décrivant les fluctuations dans la configuration des trous noirs de la théorie des cordes hétérotiques.

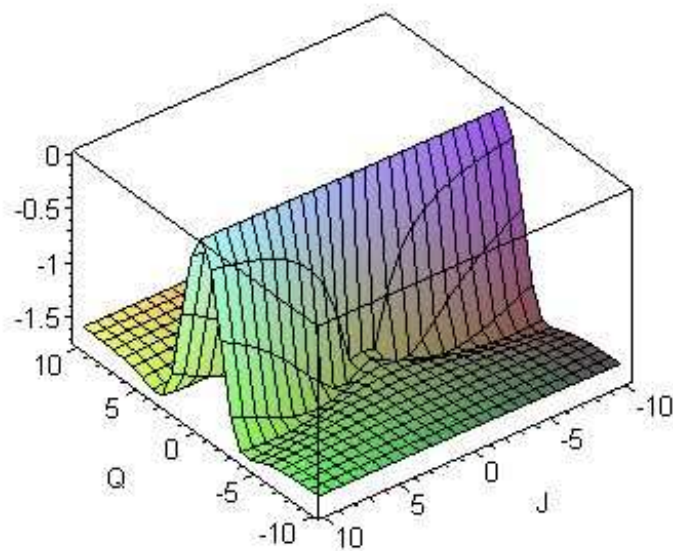


Figure 7.22: La composante P_1P_3 de la métrique tenseure tracée comme la fonction de $\{Q, J\}$, en décrivant les fluctuations dans la configuration des trous noirs de la théorie des cordes hétérotiques.

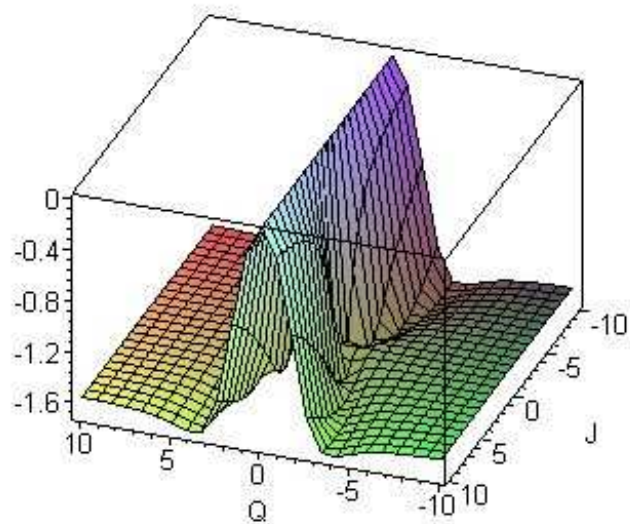


Figure 7.23: La composante P_1Q_4 de la métrique tenseure tracée comme la fonction de $\{Q, J\}$, en décrivant les fluctuations dans la configuration des trous noirs de la théorie des cordes hétérotiques.

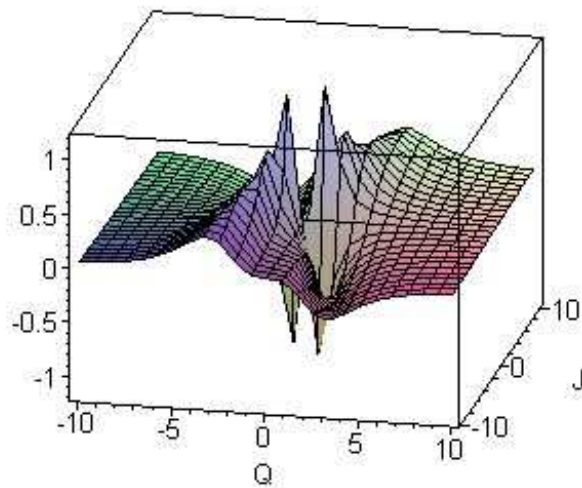


Figure 7.24: La composante $P_1 J$ de la métrique tenseur tracée comme la fonction de $\{Q, J\}$, en décrivant les fluctuations dans la configuration des trous noirs de la théorie des cordes hétérotiques.

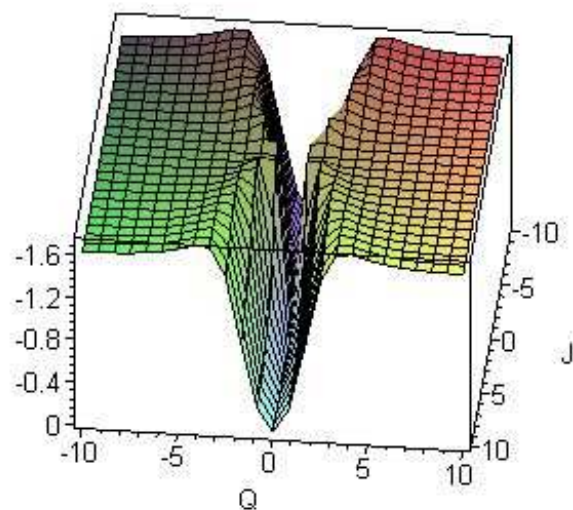


Figure 7.25: La composante Q_2P_3 de la métrique tenseure tracée comme la fonction de $\{Q, J\}$, en décrivant les fluctuations dans la configuration des trous noirs de la théorie des cordes hétérotiques.

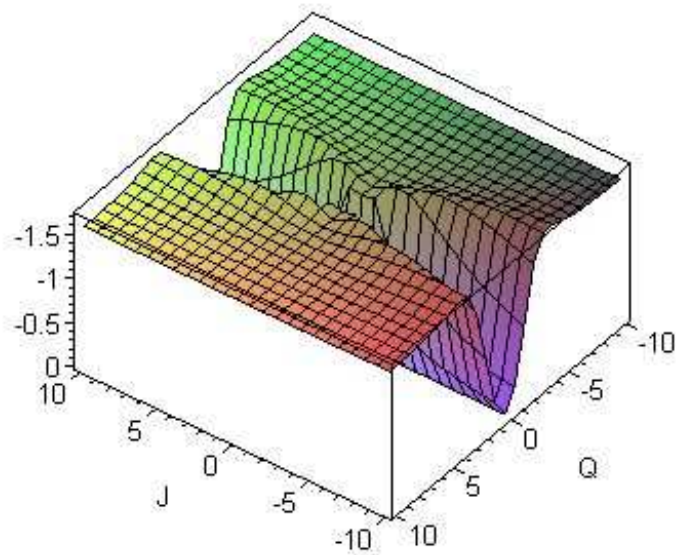


Figure 7.26: La composante Q_2Q_4 de la métrique tenseur tracée comme la fonction de $\{Q, J\}$, en décrivant les fluctuations dans la configuration des trous noirs de la théorie des cordes hétérotiques.

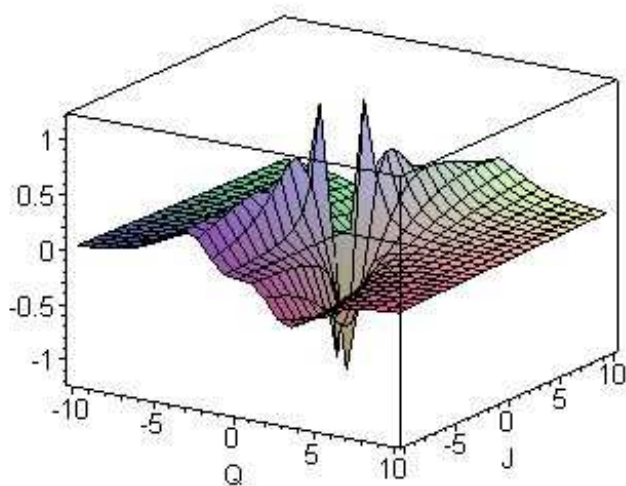


Figure 7.27: La composante Q_2J de la métrique tenseure tracée comme la fonction de $\{Q, J\}$, en décrivant les fluctuations dans la configuration des trous noirs de la théorie des cordes hétérotiques.

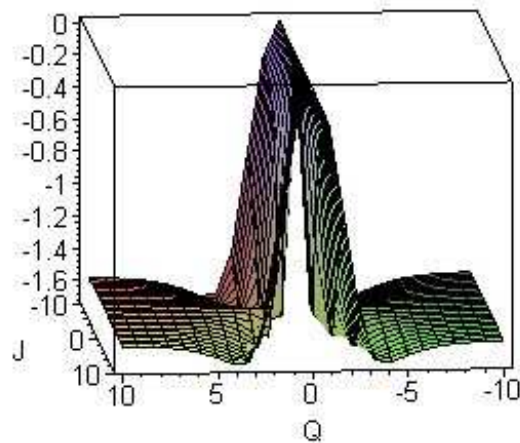


Figure 7.28: La composante P_3Q_4 de la métrique tenseure tracée comme la fonction de $\{Q, J\}$, en décrivant les fluctuations dans la configuration des trous noirs de la théorie des cordes hétérotiques.

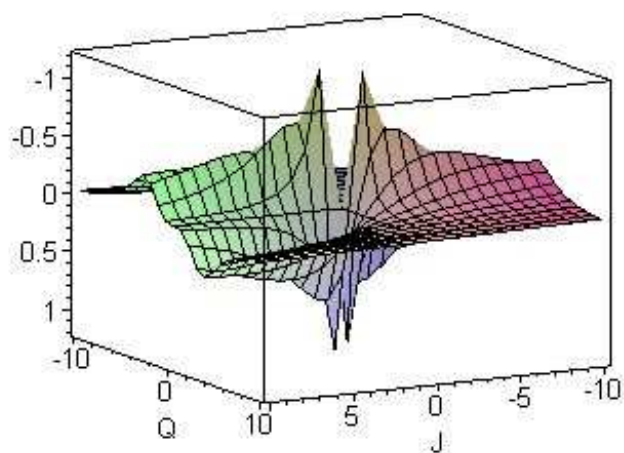


Figure 7.29: La composante P_3J de la métrique tenseure tracée comme la fonction de $\{Q, J\}$, en décrivant les fluctuations dans la configuration des trous noirs de la théorie des cordes hétérotiques.

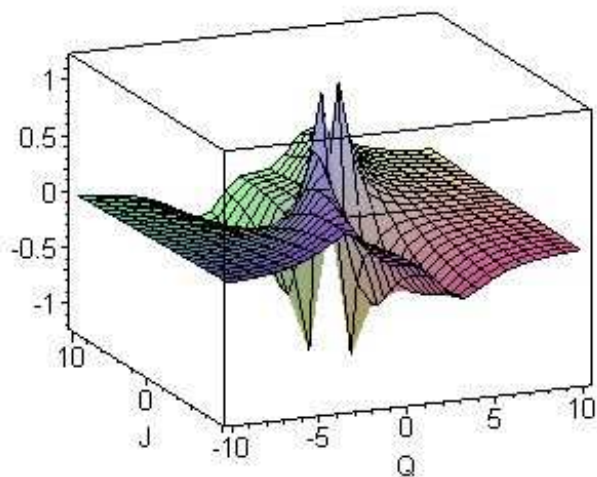


Figure 7.30: La composante $Q_4 J$ de la métrique tenseure tracée comme la fonction de $\{Q, J\}$, en décrivant les fluctuations dans la configuration des trous noirs de la théorie des cordes hétérotiques.

donnée de la charge Q , le premier ensemble des capacités de chaleurs augment lorsque Q augmente. Cependant, pour une petite valeur donnée de la charge Q , la composante $\{g_{JJ}\}$ diminue, lorsque la valeur de Q est augmentée. Dans ce cas, les Figs. (7.16, 7.17, 7.18, 7.19) montrent que la croissance des capacités de chaleurs $\{g_{P_1P_1}, g_{Q_2Q_2}, g_{P_3P_3}, g_{Q_4Q_4}\}$ a lieu loin de l'origine et elles devient plat au sujet de la valeur de $|Q| = 5$. De plus, la Fig. (7.20) montre que la croissance de la composante $\{g_{JJ}\}$ a lieu dans la limite des petits $|Q|$. Fait intéressant, on trouve à rapporte de ces chiffres que l'ensemble des composantes diagonales de la métrique tenseures de l'espace d'état est symétrique par rapport à la ligne $Q = 0$. D'autre part, les compressibilités de chaleurs en comprenant des deux paramètres distincts des trous noirs de la théorie des cordes hétérotiques sont représentés dans les Figs. (7.21,7.22, 7.23, 7.24,7.25, 7.26, 7.27, 7.28,7.29, 7.30). Dans ce cas, nous constatons que les capacités de chaleurs, en impliquant des charges électriques et magnétiques $\{g_{P_1Q_2}, g_{P_1P_3}, g_{P_1Q_4}, g_{Q_2P_3}, g_{Q_2Q_4}, g_{P_3Q_4}\}$ appartiennent à l'intervalle $(-1.7, 0)$ et les capacités de chaleurs, en impliquant le moment angulaire et l'une des charges électriques et magnétiques $\{g_{P_1J}, g_{Q_2J}, g_{P_3J}, g_{Q_4J}\}$ appartiennent à l'intervalle $(-1.2, 1.2)$. De la représentation graphique de lamétrique tenseure de l'espace d'état $\{g_{ij} \mid i, j = P_1, Q_2, P_3, Q_4, J\}$, nous voyons que les trous noirs hétérotiques possèdent les capacités de chaleurs positifs seulement à l'égard des charges électriques magnétiques. Notez bien que la composante en impliquant le moment angulaire $\{g_{JJ}, \}$ a une valeur négative. Ainsi, les fluctuations des trous noirs hétérotiques correspondent une configuration statistique localement instable.

Dans ce cas, nous trouvons que les mineurs principaux $\{p_i \mid i = 1, 2, 3, 4\}$ de la métrique tenseure de l'espace d'état peuvent être écrite comme

$$\begin{aligned}
 p_1 &:= \frac{1}{2} \frac{\pi Q_2^2 P_3^2 Q_4^2}{(J^2 + P_1 Q_2 P_3 Q_4)^{(3/2)}}, \\
 p_2 &:= -\frac{\pi^2 P_3^2 Q_4^2 J^2}{(J^2 + P_1 Q_2 P_3 Q_4)^2}, \\
 p_3 &:= -\frac{1}{2} \frac{(4J^2 + P_1 Q_2 P_3 Q_4) \pi^3 Q_2 P_3 Q_4^3 P_1}{(J^2 + P_1 Q_2 P_3 Q_4)^{(5/2)}}, \\
 p_4 &:= -\frac{\pi^4 Q_2^2 P_3^2 Q_4^2 P_1^2 (3J^2 + P_1 Q_2 P_3 Q_4)}{(J^2 + P_1 Q_2 P_3 Q_4)^3}.
 \end{aligned} \tag{7.26}$$

Nous voyons donc que le déterminant de cette métrique tenseure, comme le dernier mineur principe, $p_5 := g$ est donné par:

$$g = 2\pi^5 \frac{(P_1 Q_2 P_3 Q_4)^3}{(J^2 + P_1 Q_2 P_3 Q_4)^{15/2}} \tilde{g}(P_1, Q_2, P_3, Q_4, J), \tag{7.27}$$

où la fonction $\tilde{g}(P_1, Q_2, P_3, Q_4, J)$ est définie par

$$\begin{aligned}
 \tilde{g}(P_1, Q_2, P_3, Q_4, J) &:= J^8 + 4J^6 P_1 Q_2 P_3 Q_4 + 6J^4 (P_1 Q_2 P_3 Q_4)^2 \\
 &\quad + 4J^2 (P_1 Q_2 P_3 Q_4)^3 + (P_1 Q_2 P_3 Q_4)^4.
 \end{aligned} \tag{7.28}$$

Sous les fluctuations des paramètres $\{P_1, Q_2, P_3, Q_4, J\}$, la stabilité d'un ensemble des trous noirs en rotation dans la théorie des cordes hétérotiques découle de la positivité du déterminant de la métrique tenseure. Pour le choix de $Q_i = Q$ et $P_i = Q$, nous constatons que le déterminant de la métrique tenseure g a le signe positif. En fait, la Fig. (7.31) montre que la valeur numérique de g est dans l'intervalle $(0, 900)$. Par ailleurs, la stabilité de l'hypersurface définie par une valeur constante de J est indiquée dans la Fig. (7.32). Par la présente, nous voyons que le mineur p_4 réside dans la gamme de $(-100, 0)$. Pour une valeur donnée de J , nous remarquons que le mineur p_4 forme une sous porte ce qui est façonné de la région symétriques, comme le paramètre Q est passée de zéro à 5. De

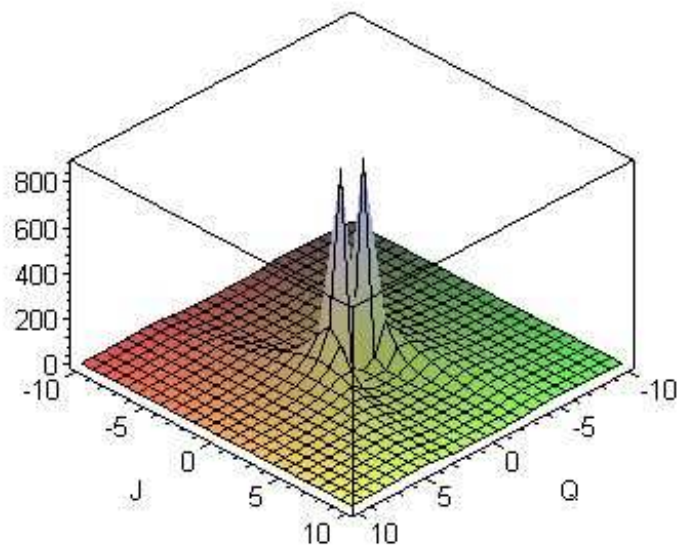


Figure 7.31: Le déterminant de la métrique tenseur tracée comme la fonction de $\{Q, J\}$, en décrivant les fluctuations dans la configuration des trous noirs de la théorie des cordes hétérotiques.

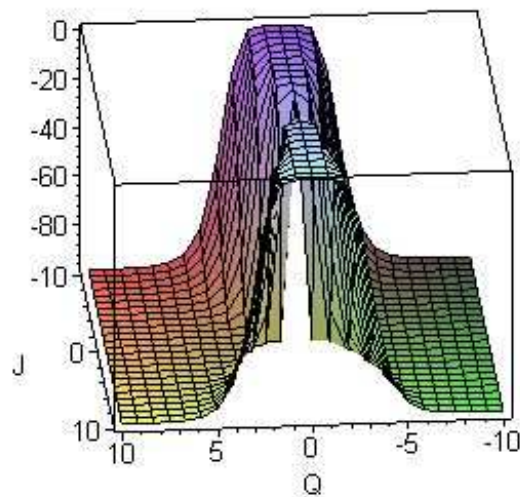


Figure 7.32: Le mineur d'hypersurface p_4 de la métrique tenseure tracée comme la fonction de $\{Q, J\}$, en décrivant les fluctuations dans la configuration des trous noirs de la théorie des cordes hétérotiques.

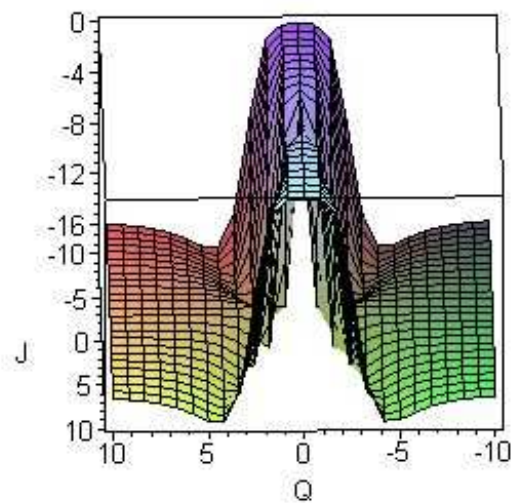


Figure 7.33: Le mineur d'hypersurface p_3 de la métrique tenseure tracée comme la fonction de $\{Q, J\}$, en décrivant les fluctuations dans la configuration des trous noirs de la théorie des cordes hétérotiques.

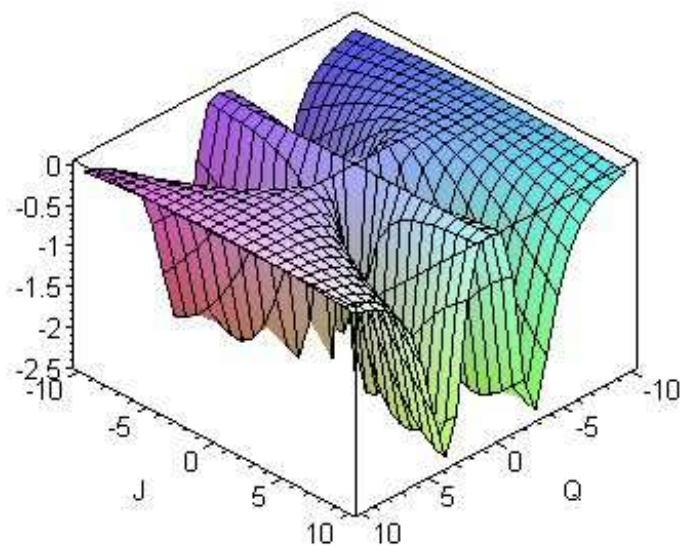


Figure 7.34: Le mineur de surface p_2 de la métrique tenseure tracée comme la fonction de $\{Q, J\}$, en décrivant les fluctuations dans la configuration des trous noirs de la théorie des cordes hétérotiques.

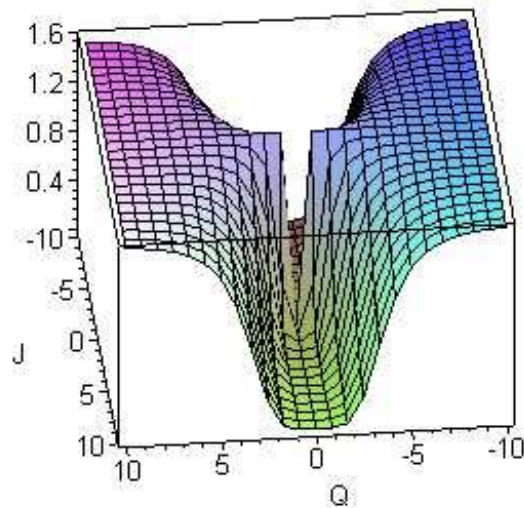


Figure 7.35: Le premier mineur de la métrique tenseure tracée comme la fonction de $\{Q, J\}$, en décrivant les fluctuations dans la configuration des trous noirs de la théorie des cordes hétérotiques.

plus, la stabilité de l'hypersurface définie par une valeur constante de J et P_4 est montré dans la Fig. (7.33). Dans ce cas, nous voyons que le mineur p_3 réside dans la gamme de $(-20, 0)$. Le mineur p_3 aussi forme une sous porte en forme de la région symétrique, mais l'hypersurface est moins lisse. Sur la même ligne d'observation, la surface définie par les fluctuations de $\{P_1, Q_2\}$ est montré dans la Fig. (7.34). Dans ce cas, nous voyons que les mineurs p_2 réside dans la gamme de $(-2.5, 0)$. Le mineur p_2 est également forme une sous porte, mais la forme de la région symétrique avec une hypersurface plus riugueuse des fluctuations. Enfin, lorsque le seul paramètre P_1 est autorisé à varier, la stabilité de la configuration de ces trous noirs est donnée par la positivité du premier mineur principe $p_1 := g_{P_1 P_1}$. Une vue rotatée de p_1 est montrée dans la Fig. (7.35). Le comportement qualitatif ci-dessus de l'espace d'état offrent des propriétés des fluctuations statistiques. Depuis les mineurs principaux $\{p_i \mid i = 2, 3, 4\}$ sont moins que zéro pour certain i . Ainsi, l'exigence que tous les mineurs principaux doit être positif des fluctuations, en invoquant des paramètres $\{P_1, Q_2, P_3, Q_4, J\}$, montre que la configuration des trous noirs en rotation de la théorie des cordes hétérotiques correspondent à un ensemble statistique instables au niveau globale.

Avec les Γ_{abc} ce que nous les avons fournis dans l'annex [A], il est également facile de voir dans ce cas des trous noirs de la théorie des cordes heterotiques compactifiée toroidalement que la courbure scalaire correspondante de Ruppenier est réduite à:

$$R = \frac{1}{2\pi P_1 Q_2 P_3 Q_4} \frac{r_1 r_2^{5/2}}{r_3}, \quad (7.29)$$

où les fonctions $\{r_i(P_1, Q_2, P_3, Q_4, J) \mid i = 1, 2, 3\}$ sont définies par

$$\begin{aligned}
 r_1 &:= 9J^2 + 2P_1Q_2P_3Q_4, \\
 r_2 &:= J^2 + P_1Q_2P_3Q_4, \\
 r_3 &:= J^6 + 3J^4(P_1Q_2P_3Q_4) \\
 &\quad + 3J^2(P_1Q_2P_3Q_4)^2 + (P_1Q_2P_3Q_4)^3.
 \end{aligned} \tag{7.30}$$

On peut observer simplement que cette courbure scalaire de Ruppenier est non-nulle pour toutes valeurs physiquement autorisées des charges électriques, magnétiques et le moment cinétique. Donc, la variété sous-jacente de l'espace état est partout régulière, sauf la branche d'ergo. Ceci est bien compatible avec le fait que l'espace de modules des trous noirs extrémaux en rotation est constitué des deux succursales de l'ergo, ce qu'on puisse aussi voir facilement aux racines réelles du dénominateur de cette courbure scalaire de Ruppenier. En ce cas quand il n'y pas de rotation, c'est-à-dire que le cas de $J = 0$, nous voyons que le déterminant de la métrique tenseure est réduite à la valeur:

$$g|_{J=0} = \frac{2\pi^5}{\sqrt{P_1Q_2P_3Q_4}}, \tag{7.31}$$

et la courbure scalaire correspondante est donnée par:

$$R|_{J=0} = \frac{1}{\pi\sqrt{P_1Q_2P_3Q_4}}. \tag{7.32}$$

Ainsi, cette géométrie thermodynamique de Ruppenier est bien définie et un système statistique en interactions, ceci reste les mêmes au point de $J = 0$. En outre, pour le cas de $Q_2 = Q_4$ et $P_1 = P_3$ nous pouvons voir également que la valeur absolue du déterminant de la métrique tenseure et celle de la courbure scalaire de Ruppenier deviennent les mêmes que le déterminant et la courbure scalaire de Ruppenier des trous noirs de Kaluza-Klein, comme nous les avons vu dans la section précédente. En bref, nous avons montré que la

géométrie thermodynamique des trous noirs extrémaux en rotation en quatre dimensions de la théorie des cordes et celle des trous noirs de Kluza-Klein et de Kerr-Newman dans la théorie d'Einstein Maxwell a certaines instabilités aux points de la branche d'ergo, sinon à un point arbitraire de l'espace d'état, elle est partout bien-définie.

Comme mentionné dans le cas des trous noirs de Kerr-Neumann et des trous noirs de Kaluza-Klein, la courbure scalaire de l'espace d'état signifie des interactions statistiques globales de la fluctuation des charges et le moment angulaire. Ainsi, pour un ensemble donné des paramètres $\{P_1, Q_2, P_3, Q_4, J\}$, la structure de la stabilité globale des trous noirs en rotation de la théorie des cordes hétérotiques peut être décrite comme la suite. Dans la gamme de $Q, J \in (-5, 10)$, la Fig. (7.36) montre que la courbure scalaire a un pic positif à l'ordre de 100. Dans cette gamme de paramètres, on observe que la configuration sous-jacente de ces trous noirs correspondant à un système statistique avec des interactions non-nulles. Physiquement, le signe positif de la courbure scalaire signifie que les interactions statistiques sont répulsives dans leur nature. La Fig. (7.37) illustre le comportement de la courbure scalaire ci-dessus pour la gamme des paramètres $Q \in (-10, 0.01)$ et $J \in (0, 10)$. Dans la gamme de $Q, J \in (-5, 10)$, nous voyons que les interactions sont présentes presque symétriquement sur les lignes $Q = 0$ et $J = 0$. Dans la gamme de $Q \in (-10, 0.01)$ et $J \in (0, 10)$, la courbure scalaire de l'espace d'état acquiert un grand pic à l'ordre de 1.4×10^{09} près de la valeur de $J = 10$. Dans une gamme petite de Q , nous constatons de la Fig. (7.37) que les interactions statistiques globales augmentent quand on augmente la valeur de J de zéro à 10. En comparaison des interactions apparaissant dans la gamme des paramètres $Q, J \in (-5, 10)$, nous voyons que l'amplitude des interactions statistiques globales se révèle d'être beaucoup plus grande dans la gamme de $Q \in (-10, 0.01)$ et $J \in (0, 10)$. Précisément, il s'ensuit que le ratio des valeurs typiques de l'amplitude des courbures scalaires de l'espace d'état est à l'ordre de 10^{+07} . La vue graphique de cette comparaison mentionnée ci-dessus découle des Figs. (7.36, 7.37). Qualitativement, les représentations de l'espace d'état indiquent que les trous noirs en rotation de la théorie des cordes hétérotiques correspondent à une configuration

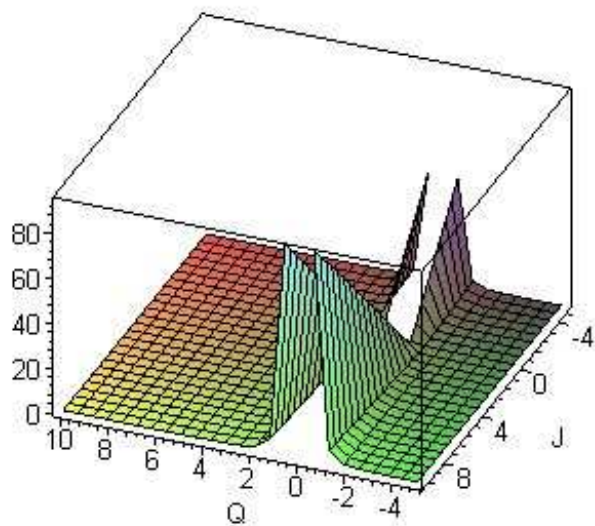


Figure 7.36: La courbure scalaire tracée comme la fonction de $\{Q, J\}$, en décrivant les fluctuations dans la configuration des trous noirs de la théorie des cordes hétérotiques dans la gamme de $Q, J \in (-5, 10)$.

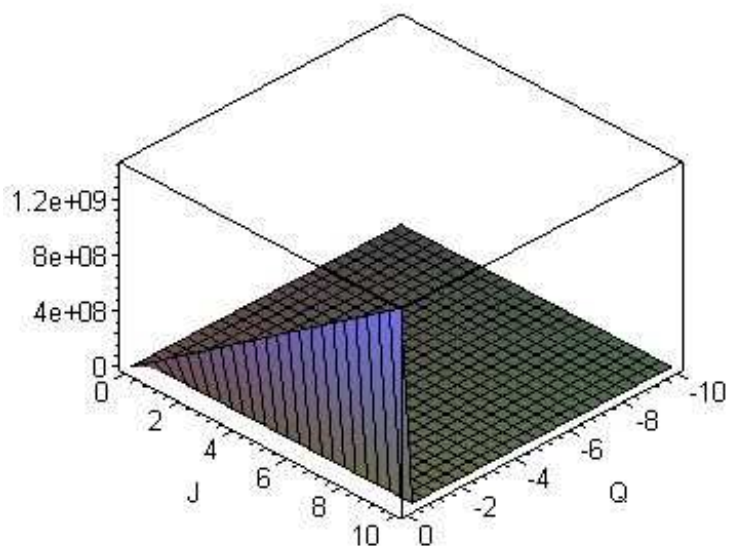


Figure 7.37: La courbure scalaire tracée comme la fonction de $\{Q, J\}$, en décrivant les fluctuations dans la configuration des trous noirs de la théorie des cordes hétérotiques dans la gamme de $Q \in (-10, 0.01)$ et $J \in (0, 10)$.

statistique instable et fortement interactive.

Chapitre 8

Remarques et conclusions

Dans cette recherche, nous avons étudié la géométrie thermodynamique de l'espace d'état pour une classe générale de trous noirs avec les corrections de α' ou bien avec le principe d'incertitude généralisée. Nous avons établi que les inclusions des corrections de α' et du l_p modifient les concepts géométriques thermodynamiques habituels et chacune induit généralement une courbure scalaire différente dans la géométrie de Ruppeiner où celle de Wienhold. Nous avons analysé les corrections de α' de la géométrie de Ruppeiner d'une classe de trous noirs, qui sont bien intégrées dans certains cas intéressants de l'entropie des trous noirs. Cela nous motive à étudier la géométrie thermodynamique de Wienhold et celle de Ruppeiner associée respectivement à la masse et l'entropie des trous noirs. D'autre part, comme dans la perspective du mécanisme d'attracteur, la géométrie de Wienhold est proportionnelle à la géométrie de l'espace des modules aux points fixes de l'attracteur, laquelle nous avons analysé pour le cas de trous noirs dilatoniques topologiques. À ce stade, nous avons constaté que la géométrie de Wienhold associée à la masse du trou noir est bien définie et a non-nulle courbure de Wienhold. Dans certains cas, les courbures de la thermodynamique sont partout régulières dans l'espace d'état, afin qu'il n'y ait pas d'instabilités thermodynamiques dans l'espace d'état d'un ensemble des trous noirs considérés. Nous avons montré que la géométrie thermodynamique du trou noir de Reissner-Nordström dans l' AdS_4 a des singularités qui peuvent correspondre aux insta-

bilités tachyoniques et sont bien connues dans la théorie de jauge supersymétrique. Nos conclusions de l'étude de la géométrie de Weinhold sont donc clarifiantes, compatibles avec l'existence de certaines instabilités dans la variété de sous-espace d'état.

Nous avons constaté que les géométries de Ruppenier d'une classe de trous noirs extrémaux sont en général partout réguliers, exceptés les cas où il y a quelques instabilités dans la variété de l'espace d'état ainsi que les cas où l'entropie des trous noirs considérés ont besoin de plus de contributions de α' . Ces résultats sont vérifiés pour l'entropie des trous noirs supersymétriques avec les corrections de Gauss-Bonnet et aussi pour les divers ordres des corrections de α' à l'entropie des trous noirs non-supersymétriques. Nous avons montré qu'il existe d'autres exemples comme les trous noirs de Kaluza-Klein en rotation, les trous noirs decoulant de la théorie des cordes hétérotiques compactifiée toroidalement, ... etc, qui ont des divergences dans leur courbure de Ruppenier. Ces divergences dans les courbures sclaires de Ruppenier sont en bon accord avec la présence de branche de l'ergo dans les théories des trous noirs en rotation. Les résultats de l'étude géométrique thermodynamique des branes noirs non-extremal des D_1D_5p et $D_2D_6NS_5p$ sont très intéressants. Ici, nous découvrons que les géométries thermodynamiques de Ruppenier associées aux variétés d'espace d'état des branes noirs non-extrémaux des D_1D_5p et $D_2D_6NS_5p$ sont généralement bien définies et partout régulières.

Cependant, nous avons également montré que le trou noir de Reissner-Nordström n'est pas en interaction. Ainsi, le plaisir du jeu géométrique est intact, et nous voyons que la conclusion reste la même bien qu'on ajoute les contributions du principe d'incertitude généralisée à l'entropie du trou noir de Reissner-Nordström. De plus, à partir de la théorie des cordes, nous voyons dans certaines circonstances que les corrections de α' des dérivées supérieures à l'entropie des trous noirs ont modifié la géométrie thermodynamique de manière bien attendues. Par exemple, la géométrie de Ruppenier à l'entropie des trous noirs non-supersymétriques extrémaux avec les corrections des dérivés supérieures est bien définie et courbée. En fait, dans ce cas, nous avons observé une évolution de la courbure de Ruppenier avec l'ajout des corrections des dérivés supérieures à l'entropie de ce trou noir.

Par conséquent, nous avons donné une méthode pour déterminer le degré du déterminant de la métrique tenseur, et ensuite, nous pouvons facilement déterminer le degré de l'autre facteur apparaissant dans la courbure de Ruppenier à l'ordre arbitraire l des corrections de α' . Cette observation du degré de la géométrie de Ruppenier est la mesure du formulaire pour toutes les sous-contributions à l'entropie du trou noir non-supersymétrique extrémal. C'est-à-dire que cet observation de la géométrie thermodynamique reste vraie $\forall l > 1$.

De plus, nous avons donné une reformulation du problème en termes d'énergie libre de la théorie des cordes topologiques du trou noir ainsi que de la fonction de partition d'un ensemble des trous noirs qui indique dans le cas des petits trous noirs que l'ensemble doit être un ensemble mélangé. La géométrie de Ruppenier est peut être l'un des concepts les plus importants pour comprendre les fonctions de corrélations de la théorie des champs conformes à la frontière. De toute manière, la courbure scalaire de Ruppenier est liée aux fonctions de corrélations des deux points de la théorie des champs conformes à la frontière. Dans cette recherche, nous avons considéré certains cas intéressants à l'égard de stabilité des des trous noirs. Ensuite, nous avons vu que la géométrie thermodynamique de Ruppenier est bien définie et partout régulière, avec ou sans les corrections de α' des dérivées supérieures. Par exemple, c'est le cas des trous noirs extrémaux supersymétriques de BPS en $D = 4$ ou celui des non-supersymétriques ou les branes noirs D_1D_5 et $D_2D_6NS_5$ en $D = 10$ non-extrémaux. En effet, ces géométries de l'espace d'état sont partout régulières. Cela est parfaitement en accord avec un autre fait que ces trous noirs ou branes noirs de BPS sont stables, et restent les mêmes objets avec les corrections de α' des dérivés supérieures. En revanche, la géométrie de Ruppenier des trous noirs en rotation en $D = 4$ diverge aux points de la branche d'ergo. Donc, il devrait exister des fonctions de corrélations divergentes des deux points de la théorie des champs conformes à la frontière correspondante à ces systèmes de trous noirs en rotation.

Du point de vue de la géométrie de Weinhold qui est directement associée à la géométrie de l'espace des modules, on peut essayer de comprendre l'origine microscopique des singularités tachyoniques des trous noirs de Reissner-Nordström dans l' AdS_4 en découlant

de la considération d'un grand nombre de M_2 -branes coïncidentes. Autrement dit, l'étude de la géométrie thermodynamique covariante peut éclairer sur la nature des fonctions de corrélations des deux points de la théorie des champs conformes de la frontière correspondante. De cette manière, on peut comprendre du point de vue de la théorie des champs conformes que le système thermique sous-jacent est stable ou instable. Par conséquent, nous pouvons comprendre l'origine microscopique des singularités thermodynamiques de certaines paires d'anti-branes et branes de la théorie des champs conformes. En particulier, le cas des trous noirs non-BPS découlant de la théorie des cordes peuvent être étudiés des points de vu de la géométrie thermodynamique, et les interactions thermodynamiques apparaissent en présence des deux modes gauche et droite, de la duale théorie des champs conformes. En bref, notre étude géométrique peut prévoir la nature des interactions présente dans la duale théorie des champs conformes de certains trous noirs ou branes noirs extrémaux ainsi que ceux de non-extrémaux, découlant de la théorie des cordes ou bien de la M-théorie fondamentale.

Finalement, il est également intéressant de généraliser ces études aux théories des dérivées supérieures arbitraires pour les systèmes de trous noirs. Nous aimerions étudier les propriétés géométriques thermodynamiques pour les solutions de certains branes, comme dans la théorie des cordes ou bien dans la M- théorie, dans les diverses dimensions de l'espace-temps $D \geq 4$ et celles corrigées par les dérivées supérieures de α' . En outre, il est intéressant d'enquêter sur la géométrie thermodynamique loins des points fixes de l'attracteur et aussi sur certaines extensions de l'inclusion des situations de non-équilibre. Dans les cas spécifiques, nous devrions aussi enquêter pour les suites de la géométrie thermodynamique loin des points fixes de l'attracteur. Nous avons l'intention d'aborder ces questions dans une prochaine publication [90]. Dans un proche avenir, nous sommes également intéressés à étudier certaines propriétés géométriques et algébriques de ces systèmes de trous noirs dans la théorie des supercordes ainsi que dans la M-théorie.

Appendix A

Les symboles de Christoffel du premier type

Dans cet appendice, nous allons fournir les formules explicites des symboles de Christoffel du premier type des trous noirs ce que nous avons considéré dans les chapitres 3 – 7. Comme nous avons analysé la configuration de l'espace d'état d'un ensemble des trous noirs, dans cet appendice, nous présentons les symboles de Christoffel du premier type de tous ces configurations considérées précédents de la géométrie thermodynamique de Ruppenier et de Wienhold.

A.1 La gomtrie de Wienhold des trous noirs dilatoniques

Avec la symétrie dans les deux premiers indices, nous constatons que la composante SSS de symbole de Christoffel du premier type peut être exprimée comme

$$\begin{aligned}
\Gamma_{SSS} = & -\frac{1}{32} \frac{(a^2 + 1)}{(S^3 (n-1)^3 \pi)} (32 \pi^2 b^{a^2} Q^2 a_2 a^4 + 2 L b^{a^2} a_1 a^4 \\
& - 3 k b^{-a^2} a_3 n a^2 + 2 L b^{a^2} a_1 n a^2 + k b^{-a^2} a_3 n^2 a^2 \\
& - 6 L b^{a^2} a_1 a^2 - 224 \pi^2 b^{a^2} Q^2 a_2 a^2 + 160 \pi^2 b^{a^2} Q^2 a_2 n a^2 \\
& + 2 k b^{-a^2} a_3 a^2 + 3 k b^{-a^2} a_3 n^2 - 2 k b^{-a^2} a_3 n \\
& - k b^{-a^2} a_3 n^3 + 4 L b^{(a^2)} a_1 + 192 \pi^2 b^{a^2} Q^2 a_2 n^2 \\
& + 384 \pi^2 b^{a^2} Q^2 a_2 - 544 \pi^2 b^{a^2} Q^2 a_2 n - 2 L b^{a^2} a_1 n), \tag{A.1}
\end{aligned}$$

où les facteurs $\{a_i, i = 1, 2, 3\}$ sont donnés par

$$\begin{aligned}
a_1 &= (4S)^{\left(\frac{n-a^2}{n-1}\right)}, \\
a_2 &= (4S)^{\left(-\frac{a^2+n-2}{n-1}\right)}, \\
a_3 &= (4S)^{\left(\frac{a^2+n-2}{n-1}\right)}. \tag{A.2}
\end{aligned}$$

Dans ce cas, les autres symboles de Christoffel du premier type, qui sont non-nulles, sont donnés par

$$\begin{aligned}
\Gamma_{SSQ} &= 2 \frac{\pi (a^2 + 1) b^{a^2} Q (4S)^{\left(-\frac{a^2+n-2}{n-1}\right)} (a^2 + 2n - 3)}{(n-1)^2 S^2}, \\
\Gamma_{SQS} &= 2 \frac{\pi (a^2 + 1) b^{a^2} Q (4S)^{\left(-\frac{a^2+n-2}{n-1}\right)} (a^2 + 2n - 3)}{(n-1)^2 S^2}, \\
\Gamma_{SQQ} &= -2 \frac{\pi (a^2 + 1) b^{a^2} (4S)^{\left(-\frac{a^2+n-2}{n-1}\right)}}{(n-1) S}, \\
\Gamma_{QQS} &= -2 \frac{\pi (a^2 + 1) b^{a^2} (4S)^{\left(-\frac{a^2+n-2}{n-1}\right)}}{(n-1) S}. \tag{A.3}
\end{aligned}$$

A.2 La gomtrie de Wienhold des solutions de M_2 -branes

Avec la symétrie dans les deux premiers indices, nous constatons que les symboles de Christoffel du premier type sont donnés par

$$\begin{aligned}
\Gamma_{SSS} &= -\frac{3}{32\pi^4 L^2 S^6} (S^{12} - S^6 \pi^6 L^6 Q_1^6 + 5 \pi^{12} L^{12} Q_2^6 Q_1^6 + 15 S^4 \pi^8 L^8 Q_1^6 Q_2^2 \\
&\quad + 13 \pi^{10} L^{10} Q_2^6 S^2 Q_1^4 + 13 \pi^{10} L^{10} Q_2^4 Q_1^6 S^2 + 31 S^6 L^6 Q_1^4 \pi^6 Q_2^2 \\
&\quad + 45 S^8 \pi^4 L^4 Q_1^2 Q_2^2 + 5 S^{10} \pi^2 L^2 Q_1^2 + 5 S^{10} \pi^2 L^2 Q_2^2 - 5 S^8 \pi^4 L^4 Q_2^4 \\
&\quad - 5 S^8 \pi^4 L^4 Q_1^4 - S^6 \pi^6 L^6 Q_2^6 + 25 S^4 \pi^8 L^8 Q_1^4 Q_2^4 + 15 S^4 \pi^8 L^8 Q_2^6 Q_1^2 \\
&\quad + 31 S^6 \pi^6 L^6 Q_2^4 Q_1^2) \times \left(\frac{S^4 + \pi^2 L^2 S^2 Q_1^2 + \pi^2 L^2 S^2 Q_2^2 + \pi^4 L^4 Q_1^2 Q_2^2}{\pi S} \right)^{(-5/2)}, \\
\Gamma_{SSQ_1} &= \frac{1}{16\pi^2 S^5} Q_1 (3 \pi^{10} L^{10} Q_2^6 Q_1^4 + 9 L^8 Q_1^4 \pi^8 Q_2^4 S^2 - 6 S^6 \pi^4 L^4 Q_1^2 Q_2^2 \\
&\quad + 5 S^4 \pi^6 L^6 Q_1^4 Q_2^2 + 10 S^4 \pi^6 L^6 Q_2^4 Q_1^2 - 10 S^8 \pi^2 L^2 Q_1^2 + 25 S^8 \pi^2 L^2 Q_2^2 \\
&\quad - S^6 \pi^4 L^4 Q_1^4 + 37 S^6 \pi^4 L^4 Q_2^4 + 3 S^{10} + 6 \pi^8 L^8 Q_2^6 S^2 Q_1^2 + 15 \pi^6 L^6 Q_2^6 S^4) \times \\
&\quad \left(\frac{S^4 + \pi^2 L^2 S^2 Q_1^2 + \pi^2 L^2 S^2 Q_2^2 + \pi^4 L^4 Q_1^2 Q_2^2}{\pi S} \right)^{(-5/2)}, \\
\Gamma_{SSQ_2} &= \frac{1}{16\pi^2 S^5} Q_2 (3 \pi^{10} L^{10} Q_2^4 Q_1^6 + 6 \pi^8 L^8 Q_1^6 S^2 Q_2^2 + 9 L^8 Q_1^4 \pi^8 Q_2^4 S^2 \\
&\quad - 6 S^6 \pi^4 L^4 Q_1^2 Q_2^2 + 10 S^4 \pi^6 L^6 Q_1^4 Q_2^2 + 5 S^4 \pi^6 L^6 Q_2^4 Q_1^2 + 3 S^{10} \\
&\quad + 25 S^8 \pi^2 L^2 Q_1^2 - 10 S^8 \pi^2 L^2 Q_2^2 + 37 S^6 \pi^4 L^4 Q_1^4 - S^6 \pi^4 L^4 Q_2^4 \\
&\quad + 15 \pi^6 L^6 Q_1^6 S^4) \times \left(\frac{S^4 + \pi^2 L^2 S^2 Q_1^2 + \pi^2 L^2 S^2 Q_2^2 + \pi^4 L^4 Q_1^2 Q_2^2}{\pi S} \right)^{(-5/2)}, \\
\Gamma_{SQ_1S} &= \frac{1}{16\pi^2 S^5} Q_1 (3 \pi^{10} L^{10} Q_2^6 Q_1^4 + 9 L^8 Q_1^4 \pi^8 Q_2^4 S^2 - 6 S^6 \pi^4 L^4 Q_1^2 Q_2^2 \\
&\quad + 5 S^4 \pi^6 L^6 Q_1^4 Q_2^2 + 10 S^4 \pi^6 L^6 Q_2^4 Q_1^2 - 10 S^8 \pi^2 L^2 Q_1^2 + 25 S^8 \pi^2 L^2 Q_2^2 \\
&\quad - S^6 \pi^4 L^4 Q_1^4 + 37 S^6 \pi^4 L^4 Q_2^4 + 3 S^{10} + 6 \pi^8 L^8 Q_2^6 S^2 Q_1^2 + 15 \pi^6 L^6 Q_2^6 S^4) \times \\
&\quad \left(\frac{S^4 + \pi^2 L^2 S^2 Q_1^2 + \pi^2 L^2 S^2 Q_2^2 + \pi^4 L^4 Q_1^2 Q_2^2}{\pi S} \right)^{(-5/2)}, \\
\Gamma_{SQ_1Q_1} &= \frac{1}{8\pi^2 S^2} (13 S^4 \pi^4 L^4 Q_1^2 Q_2^2 + 11 \pi^6 L^6 S^2 Q_2^4 Q_1^2 + 5 S^6 \pi^2 L^2 Q_1^2 \\
&\quad - 5 S^6 \pi^2 L^2 Q_2^2 - 7 \pi^4 L^4 S^4 Q_2^4 - S^8 + 3 \pi^8 L^8 Q_2^6 Q_1^2 - 3 \pi^6 L^6 Q_2^6 S^2) \times \\
&\quad \left(\frac{S^4 + \pi^2 L^2 S^2 Q_1^2 + \pi^2 L^2 S^2 Q_2^2 + \pi^4 L^4 Q_1^2 Q_2^2}{\pi S} \right)^{(-5/2)}, \\
\Gamma_{SQ_1Q_2} &= -\frac{1}{8S^4} L^2 Q_1 Q_2 (12 S^4 \pi^4 L^4 Q_1^2 Q_2^2 + 5 S^8 + 4 \pi^6 L^6 S^2 Q_1^4 Q_2^2 \\
&\quad + 4 \pi^6 L^6 S^2 Q_2^4 Q_1^2 + 8 S^6 \pi^2 L^2 Q_1^2 + 8 S^6 \pi^2 L^2 Q_2^2 + 3 \pi^4 L^4 S^4 Q_1^4 \\
&\quad + 3 \pi^4 L^4 S^4 Q_2^4 + \pi^8 L^8 Q_1^4 Q_2^4) \times \\
&\quad \left(\frac{S^4 + \pi^2 L^2 S^2 Q_1^2 + \pi^2 L^2 S^2 Q_2^2 + \pi^4 L^4 Q_1^2 Q_2^2}{\pi S} \right)^{(-5/2)}, \tag{A.4}
\end{aligned}$$

$$\begin{aligned}
\Gamma_{S Q_2 S} &= \frac{1}{16 \pi^2 S^5} Q_2 (3 \pi^{10} L^{10} Q_2^4 Q_1^6 + 6 \pi^8 L^8 Q_1^6 S^2 Q_2^2 + 9 L^8 Q_1^4 \pi^8 Q_2^4 S^2 \\
&\quad - 6 S^6 \pi^4 L^4 Q_1^2 Q_2^2 + 10 S^4 \pi^6 L^6 Q_1^4 Q_2^2 + 5 S^4 \pi^6 L^6 Q_2^4 Q_1^2 + 3 S^{10} \\
&\quad + 25 S^8 \pi^2 L^2 Q_1^2 - 10 S^8 \pi^2 L^2 Q_2^2 + 37 S^6 \pi^4 L^4 Q_1^4 - S^6 \pi^4 L^4 Q_2^4 \\
&\quad + 15 \pi^6 L^6 Q_1^6 S^4) \times \left(\frac{S^4 + \pi^2 L^2 S^2 Q_1^2 + \pi^2 L^2 S^2 Q_2^2 + \pi^4 L^4 Q_1^2 Q_2^2}{\pi S} \right)^{(-5/2)}, \\
\Gamma_{S Q_2 Q_1} &= -\frac{1}{8 S^4} L^2 Q_1 Q_2 (12 S^4 \pi^4 L^4 Q_1^2 Q_2^2 + 5 S^8 + 4 \pi^6 L^6 S^2 Q_1^4 Q_2^2 \\
&\quad + 4 \pi^6 L^6 S^2 Q_2^4 Q_1^2 + 8 S^6 \pi^2 L^2 Q_1^2 + 8 S^6 \pi^2 L^2 Q_2^2 + 3 \pi^4 L^4 S^4 Q_1^4 \\
&\quad + 3 \pi^4 L^4 S^4 Q_2^4 + \pi^8 L^8 Q_1^4 Q_2^4) \times \\
&\quad \left(\frac{S^4 + \pi^2 L^2 S^2 Q_1^2 + \pi^2 L^2 S^2 Q_2^2 + \pi^4 L^4 Q_1^2 Q_2^2}{\pi S} \right)^{(-5/2)}, \\
\Gamma_{S Q_2 Q_2} &= \frac{1}{8 \pi^2 S^2} (3 \pi^8 L^8 Q_1^6 Q_2^2 + 13 S^4 \pi^4 L^4 Q_1^2 Q_2^2 + 11 \pi^6 L^6 S^2 Q_1^4 Q_2^2 \\
&\quad - 5 S^6 \pi^2 L^2 Q_1^2 + 5 S^6 \pi^2 L^2 Q_2^2 - 7 \pi^4 L^4 S^4 Q_1^4 - 3 \pi^6 L^6 Q_1^6 S^2 - S^8) \times \\
&\quad \left(\frac{S^4 + \pi^2 L^2 S^2 Q_1^2 + \pi^2 L^2 S^2 Q_2^2 + \pi^4 L^4 Q_1^2 Q_2^2}{\pi S} \right)^{(-5/2)}, \\
\Gamma_{Q_1 Q_1 S} &= \frac{1}{8 \pi^2 S^2} (13 S^4 \pi^4 L^4 Q_1^2 Q_2^2 + 11 \pi^6 L^6 S^2 Q_2^4 Q_1^2 + 5 S^6 \pi^2 L^2 Q_1^2 - S^8 \\
&\quad - 5 S^6 \pi^2 L^2 Q_2^2 - 7 \pi^4 L^4 S^4 Q_2^4 + 3 \pi^8 L^8 Q_2^6 Q_1^2 - 3 \pi^6 L^6 Q_2^6 S^2) \\
&\quad \left(\frac{S^4 + \pi^2 L^2 S^2 Q_1^2 + \pi^2 L^2 S^2 Q_2^2 + \pi^4 L^4 Q_1^2 Q_2^2}{\pi S} \right)^{(-5/2)}, \\
\Gamma_{Q_1 Q_1 Q_2} &= \frac{1}{4 S} L^2 Q_2 (\pi^6 L^6 Q_2^4 Q_1^2 + 2 S^2 \pi^4 L^4 Q_1^2 Q_2^2 + \pi^4 L^4 Q_2^4 S^2 + S^4 \pi^2 L^2 Q_1^2 \\
&\quad + 2 S^4 \pi^2 L^2 Q_2^2 + S^6) \times \left(\frac{S^4 + \pi^2 L^2 S^2 Q_1^2 + \pi^2 L^2 S^2 Q_2^2 + \pi^4 L^4 Q_1^2 Q_2^2}{\pi S} \right)^{(-5/2)}, \\
\Gamma_{Q_1 Q_1 Q_1} &= -\frac{3}{4} \frac{L^2 Q_1 (S^2 + \pi^2 L^2 Q_2^2)^3}{S \left(\frac{S^4 + \pi^2 L^2 S^2 Q_1^2 + \pi^2 L^2 S^2 Q_2^2 + \pi^4 L^4 Q_1^2 Q_2^2}{\pi S} \right)^{(5/2)}}, \tag{A.5}
\end{aligned}$$

$$\begin{aligned}
\Gamma_{Q_1 Q_2 S} &= -\frac{1}{8S^4} L^2 Q_1 Q_2 (12 S^4 \pi^4 L^4 Q_1^2 Q_2^2 + 5 S^8 + 4 \pi^6 L^6 S^2 Q_1^4 Q_2^2 \\
&\quad + 4 \pi^6 L^6 S^2 Q_2^4 Q_1^2 + 8 S^6 \pi^2 L^2 Q_1^2 + 8 S^6 \pi^2 L^2 Q_2^2 + 3 \pi^4 L^4 S^4 Q_1^4 \\
&\quad + 3 \pi^4 L^4 S^4 Q_2^4 + \pi^8 L^8 Q_1^4 Q_2^4) \times \\
&\quad \left(\frac{S^4 + \pi^2 L^2 S^2 Q_1^2 + \pi^2 L^2 S^2 Q_2^2 + \pi^4 L^4 Q_1^2 Q_2^2}{\pi S} \right)^{(-5/2)}, \\
\Gamma_{Q_1 Q_2 Q_1} &= \frac{1}{4S} L^2 Q_2 (\pi^6 L^6 Q_2^4 Q_1^2 + 2 S^2 \pi^4 L^4 Q_1^2 Q_2^2 + \pi^4 L^4 Q_2^4 S^2 + S^4 \pi^2 L^2 Q_1^2 \\
&\quad + 2 S^4 \pi^2 L^2 Q_2^2 + S^6) \left(\frac{S^4 + \pi^2 L^2 S^2 Q_1^2 + \pi^2 L^2 S^2 Q_2^2 + \pi^4 L^4 Q_1^2 Q_2^2}{\pi S} \right)^{(-5/2)}, \\
\Gamma_{Q_1 Q_2 Q_2} &= \frac{1}{4S} L^2 Q_1 (L^6 Q_1^4 \pi^6 Q_2^2 + 2 S^2 \pi^4 L^4 Q_1^2 Q_2^2 + S^4 \pi^2 L^2 Q_2^2 + \pi^4 L^4 Q_1^4 S^2 \\
&\quad + 2 S^4 \pi^2 L^2 Q_1^2 + S^6) \times \left(\frac{S^4 + \pi^2 L^2 S^2 Q_1^2 + \pi^2 L^2 S^2 Q_2^2 + \pi^4 L^4 Q_1^2 Q_2^2}{\pi S} \right)^{(-5/2)}, \\
\Gamma_{Q_2 Q_2 S} &= \frac{1}{8\pi^2 S^2} (3 \pi^8 L^8 Q_1^6 Q_2^2 + 13 S^4 \pi^4 L^4 Q_1^2 Q_2^2 + 11 \pi^6 L^6 S^2 Q_1^4 Q_2^2 \\
&\quad - 5 S^6 \pi^2 L^2 Q_1^2 + 5 S^6 \pi^2 L^2 Q_2^2 - 7 \pi^4 L^4 S^4 Q_1^4 - 3 \pi^6 L^6 Q_1^6 S^2 - S^8) \times \\
&\quad \left(\frac{S^4 + \pi^2 L^2 S^2 Q_1^2 + \pi^2 L^2 S^2 Q_2^2 + \pi^4 L^4 Q_1^2 Q_2^2}{\pi S} \right)^{(-5/2)}, \\
\Gamma_{Q_2 Q_2 Q_1} &= \frac{1}{4S} L^2 Q_1 (L^6 Q_1^4 \pi^6 Q_2^2 + 2 S^2 \pi^4 L^4 Q_1^2 Q_2^2 + S^4 \pi^2 L^2 Q_2^2 + \pi^4 L^4 Q_1^4 S^2 \\
&\quad + 2 S^4 \pi^2 L^2 Q_1^2 + S^6) \left(\frac{S^4 + \pi^2 L^2 S^2 Q_1^2 + \pi^2 L^2 S^2 Q_2^2 + \pi^4 L^4 Q_1^2 Q_2^2}{\pi S} \right)^{(-5/2)}, \\
\Gamma_{Q_2 Q_2 Q_2} &= -\frac{3}{4} \frac{L^2 Q_2 (S^2 + \pi^2 L^2 Q_1^2)^3}{S \left(\frac{S^4 + \pi^2 L^2 S^2 Q_1^2 + \pi^2 L^2 S^2 Q_2^2 + \pi^4 L^4 Q_1^2 Q_2^2}{\pi S} \right)^{(5/2)}}. \tag{A.6}
\end{aligned}$$

A.3 Les corrections de l_P dans la gomtrie thermodynamique:

A.3.1 La gomtrie de Ruppenier des trous noirs de Reissner-Nordström

Avec la symétrie dans les deux premiers indices, il s'avère que les symboles de Christoffel de première espèce peuvent être exprimés comme

$$\begin{aligned}
 \Gamma_{MMM} &= -3 \frac{\pi d Q^4}{L (M^2 - Q^2)^{(5/2)}}, \\
 \Gamma_{MMQ} &= 3 \frac{\pi d M Q^3}{L (M^2 - Q^2)^{(5/2)}}, \\
 \Gamma_{MQM} &= 3 \frac{\pi d M Q^3}{L (M^2 - Q^2)^{(5/2)}}, \\
 \Gamma_{MQQ} &= -3 \frac{\pi d M^2 Q^2}{L (M^2 - Q^2)^{(5/2)}}, \\
 \Gamma_{QQM} &= -3 \frac{\pi d M^2 Q^2}{L (M^2 - Q^2)^{(5/2)}}, \\
 \Gamma_{QQQ} &= 3 \frac{\pi d M^3 Q}{L (M^2 - Q^2)^{(5/2)}}.
 \end{aligned} \tag{A.7}$$

A.3.2 La gomtrie de Ruppenier des trous noirs chargs magn-tiquement

Avec la symtrie dans les deux premiers indices, il s'ensuit que la composantes non-nulles de symbole de Christoffel du premier type sont

$$\begin{aligned}
 \Gamma_{MMM} &= 12 \frac{Q^2 \zeta(7)}{M^5}, \\
 \Gamma_{MMQ} &= -6 \frac{Q \zeta(7)}{M^4}, \\
 \Gamma_{MQM} &= -6 \frac{Q \zeta(7)}{M^4}, \\
 \Gamma_{MQQ} &= 2 \frac{\zeta(7)}{M^3}, \\
 \Gamma_{QQM} &= 2 \frac{\zeta(7)}{M^3}.
 \end{aligned} \tag{A.8}$$

A.4 Les corrections de α' dans la gomtrie thermodynamique:

A.4.1 La gomtrie de Ruppenier des trous noirs dyoniques extrémaux supersymtriques en quatre dimensions

Avec les propriétés de la symétrie en deux premiers indices, nous constatons que les éléments de symbole de Christoffel du premier type sont donnés par

$$\begin{aligned}
\Gamma_{nnn} &= -\frac{3}{8} \frac{\pi w^3 (NW + 4\hat{\alpha})^3}{(nw(NW + 4\hat{\alpha}))^{(5/2)}}, \\
\Gamma_{nnw} &= \frac{1}{8} \frac{\pi w^2 (NW + 4\hat{\alpha})^3 n}{(nw(NW + 4\hat{\alpha}))^{(5/2)}}, \\
\Gamma_{nnN} &= \frac{1}{8} \frac{\pi w^3 (NW + 4\hat{\alpha})^2 nW}{(nw(NW + 4\hat{\alpha}))^{(5/2)}}, \\
\Gamma_{nnW} &= \frac{1}{8} \frac{\pi w^3 (NW + 4\hat{\alpha})^2 nN}{(nw(NW + 4\hat{\alpha}))^{(5/2)}}, \\
\Gamma_{nwn} &= \frac{1}{8} \frac{\pi w^2 (NW + 4\hat{\alpha})^3 n}{(nw(NW + 4\hat{\alpha}))^{(5/2)}},
\end{aligned} \tag{A.9}$$

$$\begin{aligned}
\Gamma_{nww} &= \frac{1}{8} \frac{\pi w (NW + 4\hat{\alpha})^3 n^2}{(nw(NW + 4\hat{\alpha}))^{(5/2)}}, \\
\Gamma_{nwn} &= -\frac{1}{8} \frac{\pi W w^2 n^2 (N^2 W^2 + 8NW\hat{\alpha} + 16\hat{\alpha}^2)}{(nw(NW + 4\hat{\alpha}))^{(5/2)}}, \\
\Gamma_{nwW} &= -\frac{1}{8} \frac{\pi N w^2 n^2 (N^2 W^2 + 8NW\hat{\alpha} + 16\hat{\alpha}^2)}{(nw(NW + 4\hat{\alpha}))^{(5/2)}}, \\
\Gamma_{nNn} &= \frac{1}{8} \frac{\pi w^3 (NW + 4\hat{\alpha})^2 nW}{(nw(NW + 4\hat{\alpha}))^{(5/2)}}, \\
\Gamma_{nNw} &= -\frac{1}{8} \frac{\pi W w^2 n^2 (N^2 W^2 + 8NW\hat{\alpha} + 16\hat{\alpha}^2)}{(nw(NW + 4\hat{\alpha}))^{(5/2)}},
\end{aligned} \tag{A.10}$$

$$\begin{aligned}
\Gamma_{nNN} &= \frac{1}{8} \frac{\pi n^2 w^3 W^2 (NW + 4\hat{\alpha})}{(nw(NW + 4\hat{\alpha}))^{(5/2)}}, \\
\Gamma_{nNW} &= -\frac{1}{8} \frac{\pi w^3 n^2 (N^2 W^2 + 12NW\hat{\alpha} + 32\hat{\alpha}^2)}{(nw(NW + 4\hat{\alpha}))^{(5/2)}}, \\
\Gamma_{nWn} &= \frac{1}{8} \frac{\pi w^3 (NW + 4\hat{\alpha})^2 nN}{(nw(NW + 4\hat{\alpha}))^{(5/2)}}, \\
\Gamma_{nWw} &= -\frac{1}{8} \frac{\pi N w^2 n^2 (N^2 W^2 + 8NW\hat{\alpha} + 16\hat{\alpha}^2)}{(nw(NW + 4\hat{\alpha}))^{(5/2)}}, \\
\Gamma_{nWN} &= -\frac{1}{8} \frac{\pi w^3 n^2 (N^2 W^2 + 12NW\hat{\alpha} + 32\hat{\alpha}^2)}{(nw(NW + 4\hat{\alpha}))^{(5/2)}}, \tag{A.11}
\end{aligned}$$

$$\begin{aligned}
\Gamma_{nWW} &= \frac{1}{8} \frac{\pi n^2 w^3 N^2 (NW + 4\hat{\alpha})}{(nw(NW + 4\hat{\alpha}))^{(5/2)}}, \\
\Gamma_{wwn} &= \frac{1}{8} \frac{\pi w (NW + 4\hat{\alpha})^3 n^2}{(nw(NW + 4\hat{\alpha}))^{(5/2)}}, \\
\Gamma_{www} &= -\frac{3}{8} \frac{\pi n^3 (NW + 4\hat{\alpha})^3}{(nw(NW + 4\hat{\alpha}))^{(5/2)}}, \\
\Gamma_{wwN} &= \frac{1}{8} \frac{\pi n^3 (NW + 4\hat{\alpha})^2 wW}{(nw(NW + 4\hat{\alpha}))^{(5/2)}}, \\
\Gamma_{wwW} &= \frac{1}{8} \frac{\pi n^3 (NW + 4\hat{\alpha})^2 wN}{(nw(NW + 4\hat{\alpha}))^{(5/2)}}, \tag{A.12}
\end{aligned}$$

$$\begin{aligned}
\Gamma_{wNn} &= -\frac{1}{8} \frac{\pi W w^2 n^2 (N^2 W^2 + 8NW\hat{\alpha} + 16\hat{\alpha}^2)}{(nw(NW + 4\hat{\alpha}))^{(5/2)}}, \\
\Gamma_{wNw} &= \frac{1}{8} \frac{\pi n^3 (NW + 4\hat{\alpha})^2 wW}{(nw(NW + 4\hat{\alpha}))^{(5/2)}}, \\
\Gamma_{wNN} &= \frac{1}{8} \frac{\pi n^3 w^2 W^2 (NW + 4\hat{\alpha})}{(nw(NW + 4\hat{\alpha}))^{(5/2)}}, \\
\Gamma_{wNW} &= -\frac{1}{8} \frac{\pi n^3 w^2 (N^2 W^2 + 12NW\hat{\alpha} + 32\hat{\alpha}^2)}{(nw(NW + 4\hat{\alpha}))^{(5/2)}}, \\
\Gamma_{wWn} &= -\frac{1}{8} \frac{\pi N w^2 n^2 (N^2 W^2 + 8NW\hat{\alpha} + 16\hat{\alpha}^2)}{(nw(NW + 4\hat{\alpha}))^{(5/2)}}, \tag{A.13}
\end{aligned}$$

$$\begin{aligned}
\Gamma_{wWw} &= \frac{1}{8} \frac{\pi n^3 (NW + 4\hat{\alpha})^2 w N}{(nw(NW + 4\hat{\alpha}))^{(5/2)}}, \\
\Gamma_{wWN} &= -\frac{1}{8} \frac{\pi n^3 w^2 (N^2 W^2 + 12NW\hat{\alpha} + 32\hat{\alpha}^2)}{(nw(NW + 4\hat{\alpha}))^{(5/2)}}, \\
\Gamma_{wWW} &= \frac{1}{8} \frac{\pi n^3 w^2 N^2 (NW + 4\hat{\alpha})}{(nw(NW + 4\hat{\alpha}))^{(5/2)}}, \\
\Gamma_{NNn} &= \frac{1}{8} \frac{\pi n^2 w^3 W^2 (NW + 4\hat{\alpha})}{(nw(NW + 4\hat{\alpha}))^{(5/2)}}, \\
\Gamma_{NNw} &= \frac{1}{8} \frac{\pi n^3 w^2 W^2 (NW + 4\hat{\alpha})}{(nw(NW + 4\hat{\alpha}))^{(5/2)}}, \tag{A.14}
\end{aligned}$$

$$\begin{aligned}
\Gamma_{NNN} &= -\frac{3}{8} \frac{\pi n^3 w^3 W^3}{(nw(NW + 4\hat{\alpha}))^{(5/2)}}, \\
\Gamma_{NNW} &= \frac{1}{8} \frac{\pi n^3 w^3 W (NW + 16\hat{\alpha})}{(nw(NW + 4\hat{\alpha}))^{(5/2)}}, \\
\Gamma_{NWn} &= -\frac{1}{8} \frac{\pi w^3 n^2 (N^2 W^2 + 12NW\hat{\alpha} + 32\hat{\alpha}^2)}{(nw(NW + 4\hat{\alpha}))^{(5/2)}}, \\
\Gamma_{NWw} &= -\frac{1}{8} \frac{\pi n^3 w^2 (N^2 W^2 + 12NW\hat{\alpha} + 32\hat{\alpha}^2)}{(nw(NW + 4\hat{\alpha}))^{(5/2)}}, \\
\Gamma_{NWN} &= \frac{1}{8} \frac{\pi n^3 w^3 W (NW + 16\hat{\alpha})}{(nw(NW + 4\hat{\alpha}))^{(5/2)}}, \tag{A.15}
\end{aligned}$$

$$\begin{aligned}
\Gamma_{NWW} &= \frac{1}{8} \frac{\pi n^3 w^3 N (NW + 16\hat{\alpha})}{(nw(NW + 4\hat{\alpha}))^{(5/2)}}, \\
\Gamma_{WWn} &= \frac{1}{8} \frac{\pi n^2 w^3 N^2 (NW + 4\hat{\alpha})}{(nw(NW + 4\hat{\alpha}))^{(5/2)}}, \\
\Gamma_{WWw} &= \frac{1}{8} \frac{\pi n^3 w^2 N^2 (NW + 4\hat{\alpha})}{(nw(NW + 4\hat{\alpha}))^{(5/2)}}, \\
\Gamma_{WWN} &= \frac{1}{8} \frac{\pi n^3 w^3 N (NW + 16\hat{\alpha})}{(nw(NW + 4\hat{\alpha}))^{(5/2)}}, \\
\Gamma_{WWW} &= -\frac{3}{8} \frac{\pi n^3 w^3 N^3}{(nw(NW + 4\hat{\alpha}))^{(5/2)}}. \tag{A.16}
\end{aligned}$$

A.4.2 La gomtrie de Ruppenier des trous noirs dyoniques extrémaux non-supersymtriques en quatre dimensions

À l'ordre de $(\alpha')^0$

Avec les propriétés de la symétrie dans les deux premiers indices, nous constatons que les éléments de symbole de Christoffel du premier type sont

$$\begin{aligned}
 \Gamma_{nnn} &= -\frac{3}{8} \frac{\pi w^3 N^3 W^3}{(nwNW)^{(5/2)}}, \\
 \Gamma_{nnw} &= \frac{1}{8} \frac{\pi w^2 N^3 W^3 n}{(nwNW)^{(5/2)}}, \\
 \Gamma_{nnN} &= \frac{1}{8} \frac{\pi w^3 N^2 W^3 n}{(nwNW)^{(5/2)}}, \\
 \Gamma_{nnW} &= \frac{1}{8} \frac{\pi w^3 N^3 W^2 n}{(nwNW)^{(5/2)}}, \\
 \Gamma_{nwn} &= \frac{1}{8} \frac{\pi w^2 N^3 W^3 n}{(nwNW)^{(5/2)}},
 \end{aligned} \tag{A.17}$$

$$\begin{aligned}
 \Gamma_{nww} &= \frac{1}{8} \frac{\pi w N^3 W^3 n^2}{(nwNW)^{(5/2)}}, \\
 \Gamma_{nwn} &= -\frac{1}{8} \frac{\pi w^2 N^2 W^3 n^2}{(nwNW)^{(5/2)}}, \\
 \Gamma_{nww} &= -\frac{1}{8} \frac{\pi w^2 N^3 W^2 n^2}{(nwNW)^{(5/2)}}, \\
 \Gamma_{nNn} &= \frac{1}{8} \frac{\pi w^3 N^2 W^3 n}{(nwNW)^{(5/2)}}, \\
 \Gamma_{nNw} &= -\frac{1}{8} \frac{\pi w^2 N^2 W^3 n^2}{(nwNW)^{(5/2)}},
 \end{aligned} \tag{A.18}$$

$$\begin{aligned}
\Gamma_{nNN} &= \frac{1}{8} \frac{\pi n^2 w^3 W^3 N}{(nwNW)^{(5/2)}}, \\
\Gamma_{nNW} &= -\frac{1}{8} \frac{\pi n^2 w^3 W^2 N^2}{(nwNW)^{(5/2)}}, \\
\Gamma_{nWn} &= \frac{1}{8} \frac{\pi w^3 N^3 W^2 n}{(nwNW)^{(5/2)}}, \\
\Gamma_{nWw} &= -\frac{1}{8} \frac{\pi w^2 N^3 W^2 n^2}{(nwNW)^{(5/2)}}, \\
\Gamma_{nWN} &= -\frac{1}{8} \frac{\pi n^2 w^3 W^2 N^2}{(nwNW)^{(5/2)}},
\end{aligned} \tag{A.19}$$

$$\begin{aligned}
\Gamma_{nWW} &= \frac{1}{8} \frac{\pi n^2 w^3 N^3 W}{(nwNW)^{(5/2)}}, \\
\Gamma_{wwn} &= \frac{1}{8} \frac{\pi w N^3 W^3 n^2}{(nwNW)^{(5/2)}}, \\
\Gamma_{www} &= -\frac{3}{8} \frac{\pi n^3 N^3 W^3}{(nwNW)^{(5/2)}}, \\
\Gamma_{wwN} &= \frac{1}{8} \frac{\pi n^3 N^2 W^3 w}{(nwNW)^{(5/2)}}, \\
\Gamma_{wwW} &= \frac{1}{8} \frac{\pi n^3 N^3 W^2 w}{(nwNW)^{(5/2)}},
\end{aligned} \tag{A.20}$$

$$\begin{aligned}
\Gamma_{wNn} &= -\frac{1}{8} \frac{\pi w^2 N^2 W^3 n^2}{(nwNW)^{(5/2)}}, \\
\Gamma_{wNw} &= \frac{1}{8} \frac{\pi n^3 N^2 W^3 w}{(nwNW)^{(5/2)}}, \\
\Gamma_{wNN} &= \frac{1}{8} \frac{\pi n^3 w^2 W^3 N}{(nwNW)^{(5/2)}}, \\
\Gamma_{wNW} &= -\frac{1}{8} \frac{\pi n^3 w^2 W^2 N^2}{(nwNW)^{(5/2)}}, \\
\Gamma_{wWn} &= -\frac{1}{8} \frac{\pi w^2 N^3 W^2 n^2}{(nwNW)^{(5/2)}},
\end{aligned} \tag{A.21}$$

$$\begin{aligned}
\Gamma_{wWw} &= \frac{1}{8} \frac{\pi n^3 N^3 W^2 w}{(nwNW)^{(5/2)}}, \\
\Gamma_{wWN} &= -\frac{1}{8} \frac{\pi n^3 w^2 W^2 N^2}{(nwNW)^{(5/2)}}, \\
\Gamma_{wWW} &= \frac{1}{8} \frac{\pi n^3 w^2 N^3 W}{(nwNW)^{(5/2)}}, \\
\Gamma_{NNn} &= \frac{1}{8} \frac{\pi n^2 w^3 W^3 N}{(nwNW)^{(5/2)}}, \\
\Gamma_{NNw} &= \frac{1}{8} \frac{\pi n^3 w^2 W^3 N}{(nwNW)^{(5/2)}}, \tag{A.22}
\end{aligned}$$

$$\begin{aligned}
\Gamma_{NNN} &= -\frac{3}{8} \frac{\pi n^3 w^3 W^3}{(nwNW)^{(5/2)}}, \\
\Gamma_{NNW} &= \frac{1}{8} \frac{\pi n^3 w^3 W^2 N}{(nwNW)^{(5/2)}}, \\
\Gamma_{NWn} &= -\frac{1}{8} \frac{\pi n^2 w^3 W^2 N^2}{(nwNW)^{(5/2)}}, \\
\Gamma_{NWw} &= -\frac{1}{8} \frac{\pi n^3 w^2 W^2 N^2}{(nwNW)^{(5/2)}}, \\
\Gamma_{NWN} &= \frac{1}{8} \frac{\pi n^3 w^3 W^2 N}{(nwNW)^{(5/2)}}, \tag{A.23}
\end{aligned}$$

$$\begin{aligned}
\Gamma_{NWW} &= \frac{1}{8} \frac{\pi n^3 w^3 W N^2}{(nwNW)^{(5/2)}}, \\
\Gamma_{WWn} &= \frac{1}{8} \frac{\pi n^2 w^3 N^3 W}{(nwNW)^{(5/2)}}, \\
\Gamma_{WWw} &= \frac{1}{8} \frac{\pi n^3 w^2 N^3 W}{(nwNW)^{(5/2)}}, \\
\Gamma_{WWN} &= \frac{1}{8} \frac{\pi n^3 w^3 W N^2}{(nwNW)^{(5/2)}}, \\
\Gamma_{WWW} &= -\frac{3}{8} \frac{\pi n^3 w^3 N^3}{(nwNW)^{(5/2)}}. \tag{A.24}
\end{aligned}$$

À l'ordre de $(\alpha')^1$

Avec les propriétés de la symétrie dans les deux premiers indices, nous constatons que les éléments de symbole de Christoffel du premier type sont

$$\begin{aligned}
\Gamma_{nnn} &= -\frac{3}{64} \frac{\pi \sqrt{w} (8NW + 5\hat{\alpha})}{n^{(5/2)} \sqrt{N} \sqrt{W}}, \\
\Gamma_{nnw} &= \frac{1}{64} \frac{\pi (8NW + 5\hat{\alpha})}{n^{(3/2)} \sqrt{w} \sqrt{N} \sqrt{W}}, \\
\Gamma_{nnN} &= -\frac{1}{64} \frac{\pi \sqrt{w} (-8NW + 5\hat{\alpha})}{n^{(3/2)} N^{(3/2)} \sqrt{W}}, \\
\Gamma_{nnW} &= -\frac{1}{64} \frac{\pi \sqrt{w} (-8NW + 5\hat{\alpha})}{n^{(3/2)} \sqrt{N} W^{(3/2)}}, \\
\Gamma_{nwn} &= \frac{1}{64} \frac{\pi (8NW + 5\hat{\alpha})}{n^{(3/2)} \sqrt{w} \sqrt{N} \sqrt{W}}, \tag{A.25}
\end{aligned}$$

$$\begin{aligned}
\Gamma_{nww} &= \frac{1}{64} \frac{\pi (8NW + 5\hat{\alpha})}{\sqrt{n} w^{(3/2)} \sqrt{N} \sqrt{W}}, \\
\Gamma_{nwN} &= \frac{1}{64} \frac{\pi (-8NW + 5\hat{\alpha})}{\sqrt{n} \sqrt{w} N^{(3/2)} \sqrt{W}}, \\
\Gamma_{nwW} &= \frac{1}{64} \frac{\pi (-8NW + 5\hat{\alpha})}{\sqrt{n} \sqrt{w} \sqrt{N} W^{(3/2)}}, \\
\Gamma_{nNn} &= -\frac{1}{64} \frac{\pi \sqrt{w} (-8NW + 5\hat{\alpha})}{n^{(3/2)} N^{(3/2)} \sqrt{W}}, \\
\Gamma_{nNw} &= \frac{1}{64} \frac{\pi (-8NW + 5\hat{\alpha})}{\sqrt{n} \sqrt{w} N^{(3/2)} \sqrt{W}}, \tag{A.26}
\end{aligned}$$

$$\begin{aligned}
\Gamma_{nNN} &= -\frac{1}{64} \frac{\pi \sqrt{w} (-8NW + 15\hat{\alpha})}{\sqrt{n} N^{(5/2)} \sqrt{W}}, \\
\Gamma_{nNW} &= -\frac{1}{64} \frac{\pi \sqrt{w} (8NW + 5\hat{\alpha})}{\sqrt{n} N^{(3/2)} W^{(3/2)}}, \\
\Gamma_{nWn} &= -\frac{1}{64} \frac{\pi \sqrt{w} (-8NW + 5\hat{\alpha})}{n^{(3/2)} \sqrt{N} W^{(3/2)}}, \\
\Gamma_{nWw} &= \frac{1}{64} \frac{\pi (-8NW + 5\hat{\alpha})}{\sqrt{n} \sqrt{w} \sqrt{N} W^{(3/2)}}, \\
\Gamma_{nWN} &= -\frac{1}{64} \frac{\pi \sqrt{w} (8NW + 5\hat{\alpha})}{\sqrt{n} N^{(3/2)} W^{(3/2)}}, \tag{A.27}
\end{aligned}$$

$$\begin{aligned}
\Gamma_{nWW} &= -\frac{1}{64} \frac{\pi \sqrt{w} (-8NW + 15\hat{\alpha})}{\sqrt{n} \sqrt{N} W^{(5/2)}}, \\
\Gamma_{wnn} &= \frac{1}{64} \frac{\pi (8NW + 5\hat{\alpha})}{\sqrt{n} w^{(3/2)} \sqrt{N} \sqrt{W}}, \\
\Gamma_{www} &= -\frac{3}{64} \frac{\pi \sqrt{n} (8NW + 5\hat{\alpha})}{w^{(5/2)} \sqrt{N} \sqrt{W}}, \\
\Gamma_{wwN} &= -\frac{1}{64} \frac{\pi \sqrt{n} (-8NW + 5\hat{\alpha})}{w^{(3/2)} N^{(3/2)} \sqrt{W}}, \\
\Gamma_{wwW} &= -\frac{1}{64} \frac{\pi \sqrt{n} (-8NW + 5\hat{\alpha})}{w^{(3/2)} \sqrt{N} W^{(3/2)}}, \tag{A.28}
\end{aligned}$$

$$\begin{aligned}
\Gamma_{wNn} &= \frac{1}{64} \frac{\pi (-8NW + 5\hat{\alpha})}{\sqrt{n} \sqrt{w} N^{(3/2)} \sqrt{W}}, \\
\Gamma_{wNw} &= -\frac{1}{64} \frac{\pi \sqrt{n} (-8NW + 5\hat{\alpha})}{w^{(3/2)} N^{(3/2)} \sqrt{W}}, \\
\Gamma_{wNN} &= -\frac{1}{64} \frac{\pi \sqrt{n} (-8NW + 15\hat{\alpha})}{\sqrt{w} N^{(5/2)} \sqrt{W}}, \\
\Gamma_{wNW} &= -\frac{1}{64} \frac{\pi \sqrt{n} (8NW + 5\hat{\alpha})}{\sqrt{w} N^{(3/2)} W^{(3/2)}}, \\
\Gamma_{wWn} &= \frac{1}{64} \frac{\pi (-8NW + 5\hat{\alpha})}{\sqrt{n} \sqrt{w} \sqrt{N} W^{(3/2)}}, \tag{A.29}
\end{aligned}$$

$$\begin{aligned}
\Gamma_{wWw} &= -\frac{1}{64} \frac{\pi \sqrt{n} (-8NW + 5\hat{\alpha})}{w^{(3/2)} \sqrt{N} W^{(3/2)}}, \\
\Gamma_{wWN} &= -\frac{1}{64} \frac{\pi \sqrt{n} (8NW + 5\hat{\alpha})}{\sqrt{w} N^{(3/2)} W^{(3/2)}}, \\
\Gamma_{wWW} &= -\frac{1}{64} \frac{\pi \sqrt{n} (-8NW + 15\hat{\alpha})}{\sqrt{w} \sqrt{N} W^{(5/2)}}, \\
\Gamma_{NNn} &= -\frac{1}{64} \frac{\pi \sqrt{w} (-8NW + 15\hat{\alpha})}{\sqrt{n} N^{(5/2)} \sqrt{W}}, \\
\Gamma_{NNw} &= -\frac{1}{64} \frac{\pi \sqrt{n} (-8NW + 15\hat{\alpha})}{\sqrt{w} N^{(5/2)} \sqrt{W}},
\end{aligned} \tag{A.30}$$

$$\begin{aligned}
\Gamma_{NNN} &= \frac{3}{64} \frac{\pi \sqrt{n} \sqrt{w} (-8NW + 25\hat{\alpha})}{N^{(7/2)} \sqrt{W}}, \\
\Gamma_{NNW} &= \frac{1}{64} \frac{\pi \sqrt{n} \sqrt{w} (8NW + 15\hat{\alpha})}{N^{(5/2)} W^{(3/2)}}, \\
\Gamma_{NWn} &= -\frac{1}{64} \frac{\pi \sqrt{w} (8NW + 5\hat{\alpha})}{\sqrt{n} N^{(3/2)} W^{(3/2)}}, \\
\Gamma_{NWw} &= -\frac{1}{64} \frac{\pi \sqrt{n} (8NW + 5\hat{\alpha})}{\sqrt{w} N^{(3/2)} W^{(3/2)}}, \\
\Gamma_{NWN} &= \frac{1}{64} \frac{\pi \sqrt{n} \sqrt{w} (8NW + 15\hat{\alpha})}{N^{(5/2)} W^{(3/2)}},
\end{aligned} \tag{A.31}$$

$$\begin{aligned}
\Gamma_{NWW} &= \frac{1}{64} \frac{\pi \sqrt{n} \sqrt{w} (8NW + 15\hat{\alpha})}{N^{(3/2)} W^{(5/2)}}, \\
\Gamma_{WWn} &= -\frac{1}{64} \frac{\pi \sqrt{w} (-8NW + 15\hat{\alpha})}{\sqrt{n} \sqrt{N} W^{(5/2)}}, \\
\Gamma_{WWw} &= -\frac{1}{64} \frac{\pi \sqrt{n} (-8NW + 15\hat{\alpha})}{\sqrt{w} \sqrt{N} W^{(5/2)}}, \\
\Gamma_{WWN} &= \frac{1}{64} \frac{\pi \sqrt{n} \sqrt{w} (8NW + 15\hat{\alpha})}{N^{(3/2)} W^{(5/2)}}, \\
\Gamma_{WWW} &= \frac{3}{64} \frac{\pi \sqrt{n} \sqrt{w} (-8NW + 25\hat{\alpha})}{\sqrt{N} W^{(7/2)}}.
\end{aligned} \tag{A.32}$$

À l'ordre de $(\alpha')^2$

Avec les propriétés de la symétrie dans les deux premiers indices, nous constatons que les éléments de symbole de Christoffel du premier type sont

$$\begin{aligned}
 \Gamma_{nnn} &= \frac{3}{1024} \frac{\pi \sqrt{w} (-128 N^2 W^2 - 80 \hat{\alpha} N W + 29 \hat{\alpha}^2)}{n^{(5/2)} N^{(3/2)} W^{(3/2)}}, \\
 \Gamma_{nnw} &= -\frac{1}{1024} \frac{\pi (-128 N^2 W^2 - 80 \hat{\alpha} N W + 29 \hat{\alpha}^2)}{n^{(3/2)} \sqrt{w} N^{(3/2)} W^{(3/2)}}, \\
 \Gamma_{nnN} &= \frac{1}{1024} \frac{\pi \sqrt{w} (128 N^2 W^2 - 80 \hat{\alpha} N W + 87 \hat{\alpha}^2)}{n^{(3/2)} N^{(5/2)} W^{(3/2)}}, \\
 \Gamma_{nnW} &= \frac{1}{1024} \frac{\pi \sqrt{w} (128 N^2 W^2 - 80 \hat{\alpha} N W + 87 \hat{\alpha}^2)}{n^{(3/2)} N^{(3/2)} W^{(5/2)}}, \\
 \Gamma_{nwn} &= -\frac{1}{1024} \frac{\pi (-128 N^2 W^2 - 80 \hat{\alpha} N W + 29 \hat{\alpha}^2)}{n^{(3/2)} \sqrt{w} N^{(3/2)} W^{(3/2)}}, \tag{A.33}
 \end{aligned}$$

$$\begin{aligned}
 \Gamma_{nww} &= -\frac{1}{1024} \frac{\pi (-128 N^2 W^2 - 80 \hat{\alpha} N W + 29 \hat{\alpha}^2)}{\sqrt{n} w^{(3/2)} N^{(3/2)} W^{(3/2)}}, \\
 \Gamma_{nwn} &= -\frac{1}{1024} \frac{\pi (128 N^2 W^2 - 80 \hat{\alpha} N W + 87 \hat{\alpha}^2)}{\sqrt{n} \sqrt{w} N^{(5/2)} W^{(3/2)}}, \\
 \Gamma_{nwW} &= -\frac{1}{1024} \frac{\pi (128 N^2 W^2 - 80 \hat{\alpha} N W + 87 \hat{\alpha}^2)}{\sqrt{n} \sqrt{w} N^{(3/2)} W^{(5/2)}}, \\
 \Gamma_{nNn} &= \frac{1}{1024} \frac{\pi \sqrt{w} (128 N^2 W^2 - 80 \hat{\alpha} N W + 87 \hat{\alpha}^2)}{n^{(3/2)} N^{(5/2)} W^{(3/2)}}, \\
 \Gamma_{nNw} &= -\frac{1}{1024} \frac{\pi (128 N^2 W^2 - 80 \hat{\alpha} N W + 87 \hat{\alpha}^2)}{\sqrt{n} \sqrt{w} N^{(5/2)} W^{(3/2)}}, \tag{A.34}
 \end{aligned}$$

$$\begin{aligned}
\Gamma_{nNN} &= \frac{1}{1024} \frac{\pi \sqrt{w} (128 N^2 W^2 - 240 \hat{\alpha} N W + 435 \hat{\alpha}^2)}{\sqrt{n} W^{(3/2)} N^{(7/2)}}, \\
\Gamma_{nNW} &= \frac{1}{1024} \frac{\pi \sqrt{w} (-128 N^2 W^2 - 80 \hat{\alpha} N W + 261 \hat{\alpha}^2)}{\sqrt{n} W^{(5/2)} N^{(5/2)}}, \\
\Gamma_{nWn} &= \frac{1}{1024} \frac{\pi \sqrt{w} (128 N^2 W^2 - 80 \hat{\alpha} N W + 87 \hat{\alpha}^2)}{n^{(3/2)} N^{(3/2)} W^{(5/2)}}, \\
\Gamma_{nWw} &= -\frac{1}{1024} \frac{\pi (128 N^2 W^2 - 80 \hat{\alpha} N W + 87 \hat{\alpha}^2)}{\sqrt{n} \sqrt{w} N^{(3/2)} W^{(5/2)}}, \\
\Gamma_{nWN} &= \frac{1}{1024} \frac{\pi \sqrt{w} (-128 N^2 W^2 - 80 \hat{\alpha} N W + 261 \hat{\alpha}^2)}{\sqrt{n} W^{(5/2)} N^{(5/2)}}, \tag{A.35}
\end{aligned}$$

$$\begin{aligned}
\Gamma_{nWW} &= \frac{1}{1024} \frac{\pi \sqrt{w} (128 N^2 W^2 - 240 \hat{\alpha} N W + 435 \hat{\alpha}^2)}{\sqrt{n} W^{(7/2)} N^{(3/2)}}, \\
\Gamma_{wnn} &= -\frac{1}{1024} \frac{\pi (-128 N^2 W^2 - 80 \hat{\alpha} N W + 29 \hat{\alpha}^2)}{\sqrt{n} w^{(3/2)} N^{(3/2)} W^{(3/2)}}, \\
\Gamma_{w^3} &= \frac{3}{1024} \frac{\pi \sqrt{n} (-128 N^2 W^2 - 80 \hat{\alpha} N W + 29 \hat{\alpha}^2)}{w^{(5/2)} N^{(3/2)} W^{(3/2)}}, \\
\Gamma_{wwN} &= \frac{1}{1024} \frac{\pi \sqrt{n} (128 N^2 W^2 - 80 \hat{\alpha} N W + 87 \hat{\alpha}^2)}{w^{(3/2)} N^{(5/2)} W^{(3/2)}}, \\
\Gamma_{wwW} &= \frac{1}{1024} \frac{\pi \sqrt{n} (128 N^2 W^2 - 80 \hat{\alpha} N W + 87 \hat{\alpha}^2)}{w^{(3/2)} N^{(3/2)} W^{(5/2)}}, \tag{A.36}
\end{aligned}$$

$$\begin{aligned}
\Gamma_{wNn} &= -\frac{1}{1024} \frac{\pi (128 N^2 W^2 - 80 \hat{\alpha} N W + 87 \hat{\alpha}^2)}{\sqrt{n} \sqrt{w} N^{(5/2)} W^{(3/2)}}, \\
\Gamma_{wNw} &= \frac{1}{1024} \frac{\pi \sqrt{n} (128 N^2 W^2 - 80 \hat{\alpha} N W + 87 \hat{\alpha}^2)}{w^{(3/2)} N^{(5/2)} W^{(3/2)}}, \\
\Gamma_{wNN} &= \frac{1}{1024} \frac{\pi \sqrt{n} (128 N^2 W^2 - 240 \hat{\alpha} N W + 435 \hat{\alpha}^2)}{\sqrt{w} W^{(3/2)} N^{(7/2)}}, \\
\Gamma_{wNW} &= \frac{1}{1024} \frac{\pi \sqrt{n} (-128 N^2 W^2 - 80 \hat{\alpha} N W + 261 \hat{\alpha}^2)}{\sqrt{w} W^{(5/2)} N^{(5/2)}}, \\
\Gamma_{wWn} &= -\frac{1}{1024} \frac{\pi (128 N^2 W^2 - 80 \hat{\alpha} N W + 87 \hat{\alpha}^2)}{\sqrt{n} \sqrt{w} N^{(3/2)} W^{(5/2)}}, \tag{A.37}
\end{aligned}$$

$$\begin{aligned}
\Gamma_{wWw} &= \frac{1}{1024} \frac{\pi \sqrt{n} (128 N^2 W^2 - 80 \hat{\alpha} N W + 87 \hat{\alpha}^2)}{w^{(3/2)} N^{(3/2)} W^{(5/2)}}, \\
\Gamma_{wWN} &= \frac{1}{1024} \frac{\pi \sqrt{n} (-128 N^2 W^2 - 80 \hat{\alpha} N W + 261 \hat{\alpha}^2)}{\sqrt{w} W^{(5/2)} N^{(5/2)}}, \\
\Gamma_{wWW} &= \frac{1}{1024} \frac{\pi \sqrt{n} (128 N^2 W^2 - 240 \hat{\alpha} N W + 435 \hat{\alpha}^2)}{\sqrt{w} W^{(7/2)} N^{(3/2)}}, \\
\Gamma_{NNn} &= \frac{1}{1024} \frac{\pi \sqrt{w} (128 N^2 W^2 - 240 \hat{\alpha} N W + 435 \hat{\alpha}^2)}{\sqrt{n} W^{(3/2)} N^{(7/2)}}, \\
\Gamma_{NNw} &= \frac{1}{1024} \frac{\pi \sqrt{n} (128 N^2 W^2 - 240 \hat{\alpha} N W + 435 \hat{\alpha}^2)}{\sqrt{w} W^{(3/2)} N^{(7/2)}}, \tag{A.38}
\end{aligned}$$

$$\begin{aligned}
\Gamma_{NNN} &= -\frac{3}{1024} \frac{\pi \sqrt{n} \sqrt{w} (128 N^2 W^2 - 400 \hat{\alpha} N W + 1015 \hat{\alpha}^2)}{W^{(3/2)} N^{(9/2)}}, \\
\Gamma_{NNW} &= -\frac{1}{1024} \frac{\pi \sqrt{n} \sqrt{w} (-128 N^2 W^2 - 240 \hat{\alpha} N W + 1305 \hat{\alpha}^2)}{W^{(5/2)} N^{(7/2)}}, \\
\Gamma_{NWn} &= \frac{1}{1024} \frac{\pi \sqrt{w} (-128 N^2 W^2 - 80 \hat{\alpha} N W + 261 \hat{\alpha}^2)}{\sqrt{n} W^{(5/2)} N^{(5/2)}}, \\
\Gamma_{NWw} &= \frac{1}{1024} \frac{\pi \sqrt{n} (-128 N^2 W^2 - 80 \hat{\alpha} N W + 261 \hat{\alpha}^2)}{\sqrt{w} W^{(5/2)} N^{(5/2)}}, \\
\Gamma_{NWN} &= -\frac{1}{1024} \frac{\pi \sqrt{n} \sqrt{w} (-128 N^2 W^2 - 240 \hat{\alpha} N W + 1305 \hat{\alpha}^2)}{W^{(5/2)} N^{(7/2)}}, \tag{A.39}
\end{aligned}$$

$$\begin{aligned}
\Gamma_{NWW} &= -\frac{1}{1024} \frac{\pi \sqrt{n} \sqrt{w} (-128 N^2 W^2 - 240 \hat{\alpha} N W + 1305 \hat{\alpha}^2)}{W^{(7/2)} N^{(5/2)}}, \\
\Gamma_{WWn} &= \frac{1}{1024} \frac{\pi \sqrt{w} (128 N^2 W^2 - 240 \hat{\alpha} N W + 435 \hat{\alpha}^2)}{\sqrt{n} W^{(7/2)} N^{(3/2)}}, \\
\Gamma_{WWw} &= \frac{1}{1024} \frac{\pi \sqrt{n} (128 N^2 W^2 - 240 \hat{\alpha} N W + 435 \hat{\alpha}^2)}{\sqrt{w} W^{(7/2)} N^{(3/2)}}, \\
\Gamma_{WWN} &= -\frac{1}{1024} \frac{\pi \sqrt{n} \sqrt{w} (-128 N^2 W^2 - 240 \hat{\alpha} N W + 1305 \hat{\alpha}^2)}{W^{(7/2)} N^{(5/2)}}, \\
\Gamma_{WWW} &= -\frac{3}{1024} \frac{\pi \sqrt{n} \sqrt{w} (128 N^2 W^2 - 400 \hat{\alpha} N W + 1015 \hat{\alpha}^2)}{W^{(9/2)} N^{(3/2)}}. \tag{A.40}
\end{aligned}$$

À l'ordre de $(\alpha')^3$

Avec les propriétés de la symétrie dans les deux premiers indices, à troisième ordre des corrections dérivées supérieures de la théorie des cordes, nous constatons que les éléments de symbole de Christoffel du premier type sont

$$\begin{aligned}
\Gamma_{nnn} &= \frac{3}{8192} \frac{\pi \sqrt{w} (-1024 N^3 W^3 - 640 \hat{\alpha} N^2 W^2 + 232 \hat{\alpha}^2 N W + 119 \hat{\alpha}^3)}{n^{(5/2)} N^{(5/2)} W^{(5/2)}}, \\
\Gamma_{nnw} &= -\frac{1}{8192} \frac{\pi (-1024 N^3 W^3 - 640 \hat{\alpha} N^2 W^2 + 232 \hat{\alpha}^2 N W + 119 \hat{\alpha}^3)}{n^{(3/2)} \sqrt{w} N^{(5/2)} W^{(5/2)}}, \\
\Gamma_{nnN} &= \frac{1}{8192} \frac{\pi \sqrt{w} (1024 N^3 W^3 - 640 \hat{\alpha} N^2 W^2 + 696 \hat{\alpha}^2 N W + 595 \hat{\alpha}^3)}{n^{(3/2)} N^{(7/2)} W^{(5/2)}}, \\
\Gamma_{nnW} &= \frac{1}{8192} \frac{\pi \sqrt{w} (1024 N^3 W^3 - 640 \hat{\alpha} N^2 W^2 + 696 \hat{\alpha}^2 N W + 595 \hat{\alpha}^3)}{n^{(3/2)} N^{(5/2)} W^{(7/2)}}, \\
\Gamma_{nwn} &= -\frac{1}{8192} \frac{\pi (-1024 N^3 W^3 - 640 \hat{\alpha} N^2 W^2 + 232 \hat{\alpha}^2 N W + 119 \hat{\alpha}^3)}{n^{(3/2)} \sqrt{w} N^{(5/2)} W^{(5/2)}}, \quad (\text{A.41})
\end{aligned}$$

$$\begin{aligned}
\Gamma_{nww} &= -\frac{1}{8192} \frac{\pi (-1024 N^3 W^3 - 640 \hat{\alpha} N^2 W^2 + 232 \hat{\alpha}^2 N W + 119 \hat{\alpha}^3)}{\sqrt{n} w^{(3/2)} N^{(5/2)} W^{(5/2)}}, \\
\Gamma_{nwN} &= -\frac{1}{8192} \frac{\pi (1024 N^3 W^3 - 640 \hat{\alpha} N^2 W^2 + 696 \hat{\alpha}^2 N W + 595 \hat{\alpha}^3)}{\sqrt{n} \sqrt{w} N^{(7/2)} W^{(5/2)}}, \\
\Gamma_{nwW} &= -\frac{1}{8192} \frac{\pi (1024 N^3 W^3 - 640 \hat{\alpha} N^2 W^2 + 696 \hat{\alpha}^2 N W + 595 \hat{\alpha}^3)}{\sqrt{n} \sqrt{w} N^{(5/2)} W^{(7/2)}}, \\
\Gamma_{nNn} &= \frac{1}{8192} \frac{\pi \sqrt{w} (1024 N^3 W^3 - 640 \hat{\alpha} N^2 W^2 + 696 \hat{\alpha}^2 N W + 595 \hat{\alpha}^3)}{n^{(3/2)} N^{(7/2)} W^{(5/2)}}, \\
\Gamma_{nNw} &= -\frac{1}{8192} \frac{\pi (1024 N^3 W^3 - 640 \hat{\alpha} N^2 W^2 + 696 \hat{\alpha}^2 N W + 595 \hat{\alpha}^3)}{\sqrt{n} \sqrt{w} N^{(7/2)} W^{(5/2)}}, \quad (\text{A.42})
\end{aligned}$$

$$\begin{aligned}
\Gamma_{nNN} &= \frac{1}{8192} \frac{\pi \sqrt{w} (1024 N^3 W^3 - 1920 \hat{\alpha} N^2 W^2 + 3480 \hat{\alpha}^2 N W + 4165 \hat{\alpha}^3)}{\sqrt{n} W^{(5/2)} N^{(9/2)}}, \\
\Gamma_{nNW} &= \frac{1}{8192} \frac{\pi \sqrt{w} (-1024 N^3 W^3 - 640 \hat{\alpha} N^2 W^2 + 2088 \hat{\alpha}^2 N W + 2975 \hat{\alpha}^3)}{\sqrt{n} W^{(7/2)} N^{(7/2)}}, \\
\Gamma_{nWn} &= \frac{1}{8192} \frac{\pi \sqrt{w} (1024 N^3 W^3 - 640 \hat{\alpha} N^2 W^2 + 696 \hat{\alpha}^2 N W + 595 \hat{\alpha}^3)}{n^{(3/2)} N^{(5/2)} W^{(7/2)}}, \\
\Gamma_{nWw} &= -\frac{1}{8192} \frac{\pi (1024 N^3 W^3 - 640 \hat{\alpha} N^2 W^2 + 696 \hat{\alpha}^2 N W + 595 \hat{\alpha}^3)}{\sqrt{n} \sqrt{w} N^{(5/2)} W^{(7/2)}}, \\
\Gamma_{nWN} &= \frac{1}{8192} \frac{\pi \sqrt{w} (-1024 N^3 W^3 - 640 \hat{\alpha} N^2 W^2 + 2088 \hat{\alpha}^2 N W + 2975 \hat{\alpha}^3)}{\sqrt{n} W^{(7/2)} N^{(7/2)}} \quad (A.43)
\end{aligned}$$

$$\begin{aligned}
\Gamma_{nWW} &= \frac{1}{8192} \frac{\pi \sqrt{w} (1024 N^3 W^3 - 1920 \hat{\alpha} N^2 W^2 + 3480 \hat{\alpha}^2 N W + 4165 \hat{\alpha}^3)}{\sqrt{n} W^{(9/2)} N^{(5/2)}}, \\
\Gamma_{wnn} &= -\frac{1}{8192} \frac{\pi (-1024 N^3 W^3 - 640 \hat{\alpha} N^2 W^2 + 232 \hat{\alpha}^2 N W + 119 \hat{\alpha}^3)}{\sqrt{n} w^{(3/2)} N^{(5/2)} W^{(5/2)}}, \\
\Gamma_{www} &= \frac{3}{8192} \frac{\pi \sqrt{n} (-1024 N^3 W^3 - 640 \hat{\alpha} N^2 W^2 + 232 \hat{\alpha}^2 N W + 119 \hat{\alpha}^3)}{w^{(5/2)} N^{(5/2)} W^{(5/2)}}, \\
\Gamma_{wwN} &= \frac{1}{8192} \frac{\pi \sqrt{n} (1024 N^3 W^3 - 640 \hat{\alpha} N^2 W^2 + 696 \hat{\alpha}^2 N W + 595 \hat{\alpha}^3)}{w^{(3/2)} N^{(7/2)} W^{(5/2)}}, \\
\Gamma_{wwW} &= \frac{1}{8192} \frac{\pi \sqrt{n} (1024 N^3 W^3 - 640 \hat{\alpha} N^2 W^2 + 696 \hat{\alpha}^2 N W + 595 \hat{\alpha}^3)}{w^{(3/2)} N^{(5/2)} W^{(7/2)}}, \quad (A.44)
\end{aligned}$$

$$\begin{aligned}
\Gamma_{wNn} &= -\frac{1}{8192} \frac{\pi (1024 N^3 W^3 - 640 \hat{\alpha} N^2 W^2 + 696 \hat{\alpha}^2 N W + 595 \hat{\alpha}^3)}{\sqrt{n} \sqrt{w} N^{(7/2)} W^{(5/2)}}, \\
\Gamma_{wNw} &= \frac{1}{8192} \frac{\pi \sqrt{n} (1024 N^3 W^3 - 640 \hat{\alpha} N^2 W^2 + 696 \hat{\alpha}^2 N W + 595 \hat{\alpha}^3)}{w^{(3/2)} N^{(7/2)} W^{(5/2)}}, \\
\Gamma_{wNN} &= \frac{1}{8192} \frac{\pi \sqrt{n} (1024 N^3 W^3 - 1920 \hat{\alpha} N^2 W^2 + 3480 \hat{\alpha}^2 N W + 4165 \hat{\alpha}^3)}{\sqrt{w} W^{(5/2)} N^{(9/2)}}, \\
\Gamma_{wNW} &= \frac{1}{8192} \frac{\pi \sqrt{n} (-1024 N^3 W^3 - 640 \hat{\alpha} N^2 W^2 + 2088 \hat{\alpha}^2 N W + 2975 \hat{\alpha}^3)}{\sqrt{w} W^{(7/2)} N^{(7/2)}}, \\
\Gamma_{wWn} &= -\frac{1}{8192} \frac{\pi (1024 N^3 W^3 - 640 \hat{\alpha} N^2 W^2 + 696 \hat{\alpha}^2 N W + 595 \hat{\alpha}^3)}{\sqrt{n} \sqrt{w} N^{(5/2)} W^{(7/2)}}, \quad (A.45)
\end{aligned}$$

$$\begin{aligned}
\Gamma_{wWw} &= \frac{1}{8192} \frac{\pi \sqrt{n} (1024 N^3 W^3 - 640 \hat{\alpha} N^2 W^2 + 696 \hat{\alpha}^2 N W + 595 \hat{\alpha}^3)}{w^{(3/2)} N^{(5/2)} W^{(7/2)}}, \\
\Gamma_{wWN} &= \frac{1}{8192} \frac{\pi \sqrt{n} (-1024 N^3 W^3 - 640 \hat{\alpha} N^2 W^2 + 2088 \hat{\alpha}^2 N W + 2975 \hat{\alpha}^3)}{\sqrt{w} W^{(7/2)} N^{(7/2)}}, \\
\Gamma_{wWW} &= \frac{1}{8192} \frac{\pi \sqrt{n} (1024 N^3 W^3 - 1920 \hat{\alpha} N^2 W^2 + 3480 \hat{\alpha}^2 N W + 4165 \hat{\alpha}^3)}{\sqrt{w} W^{(9/2)} N^{(5/2)}}, \\
\Gamma_{NNn} &= \frac{1}{8192} \frac{\pi \sqrt{w} (1024 N^3 W^3 - 1920 \hat{\alpha} N^2 W^2 + 3480 \hat{\alpha}^2 N W + 4165 \hat{\alpha}^3)}{\sqrt{n} W^{(5/2)} N^{(9/2)}}, \\
\Gamma_{NNw} &= \frac{1}{8192} \frac{\pi \sqrt{n} (1024 N^3 W^3 - 1920 \hat{\alpha} N^2 W^2 + 3480 \hat{\alpha}^2 N W + 4165 \hat{\alpha}^3)}{\sqrt{w} W^{(5/2)} N^{(9/2)}} \quad (\text{A.46})
\end{aligned}$$

$$\begin{aligned}
\Gamma_{NNN} &= -\frac{3}{8192} \frac{\pi \sqrt{n} \sqrt{w} (1024 N^3 W^3 - 3200 \hat{\alpha} N^2 W^2 + 8120 \hat{\alpha}^2 N W + 12495 \hat{\alpha}^3)}{W^{(5/2)} N^{(11/2)}}, \\
\Gamma_{NNW} &= -\frac{1}{8192} \frac{\pi \sqrt{n} \sqrt{w} (-1024 N^3 W^3 - 1920 \hat{\alpha} N^2 W^2 + 10440 \hat{\alpha}^2 N W + 20825 \hat{\alpha}^3)}{W^{(7/2)} N^{(9/2)}}, \\
\Gamma_{NWn} &= \frac{1}{8192} \frac{\pi \sqrt{w} (-1024 N^3 W^3 - 640 \hat{\alpha} N^2 W^2 + 2088 \hat{\alpha}^2 N W + 2975 \hat{\alpha}^3)}{\sqrt{n} W^{(7/2)} N^{(7/2)}}, \\
\Gamma_{NWw} &= \frac{1}{8192} \frac{\pi \sqrt{n} (-1024 N^3 W^3 - 640 \hat{\alpha} N^2 W^2 + 2088 \hat{\alpha}^2 N W + 2975 \hat{\alpha}^3)}{\sqrt{w} W^{(7/2)} N^{(7/2)}}, \\
\Gamma_{NWN} &= -\frac{1}{8192} \frac{\pi \sqrt{n} \sqrt{w} (-1024 N^3 W^3 - 1920 \hat{\alpha} N^2 W^2 + 10440 \hat{\alpha}^2 N W + 20825 \hat{\alpha}^3)}{W^{(7/2)} N^{(9/2)}} \quad (\text{A.47})
\end{aligned}$$

$$\begin{aligned}
\Gamma_{NWW} &= -\frac{1}{8192} \frac{\pi \sqrt{n} \sqrt{w} (-1024 N^3 W^3 - 1920 \hat{\alpha} N^2 W^2 + 10440 \hat{\alpha}^2 N W + 20825 \hat{\alpha}^3)}{W^{(9/2)} N^{(7/2)}}, \\
\Gamma_{WWn} &= \frac{1}{8192} \frac{\pi \sqrt{w} (1024 N^3 W^3 - 1920 \hat{\alpha} N^2 W^2 + 3480 \hat{\alpha}^2 N W + 4165 \hat{\alpha}^3)}{\sqrt{n} W^{(9/2)} N^{(5/2)}}, \\
\Gamma_{WWw} &= \frac{1}{8192} \frac{\pi \sqrt{n} (1024 N^3 W^3 - 1920 \hat{\alpha} N^2 W^2 + 3480 \hat{\alpha}^2 N W + 4165 \hat{\alpha}^3)}{\sqrt{w} W^{(9/2)} N^{(5/2)}}, \\
\Gamma_{WWN} &= -\frac{1}{8192} \frac{\pi \sqrt{n} \sqrt{w} (-1024 N^3 W^3 - 1920 \hat{\alpha} N^2 W^2 + 10440 \hat{\alpha}^2 N W + 20825 \hat{\alpha}^3)}{W^{(9/2)} N^{(7/2)}}, \\
\Gamma_{WWW} &= -\frac{3}{8192} \frac{\pi \sqrt{n} \sqrt{w} (1024 N^3 W^3 - 3200 \hat{\alpha} N^2 W^2 + 8120 \hat{\alpha}^2 N W + 12495 \hat{\alpha}^3)}{W^{(11/2)} N^{(5/2)}} \quad (\text{A.48})
\end{aligned}$$

À l'ordre de $(\alpha')^4$

Avec les propriétés de la symétrie dans les deux premiers indices, nous constatons que les éléments de symbole de Christoffel du premier type sont

$$\begin{aligned}
 \Gamma_{nnn} &= \frac{3}{262144} \frac{\pi \sqrt{w}}{n^{(5/2)} N^{(7/2)} W^{(7/2)}} (-32768 N^4 W^4 - 20480 \hat{\alpha} N^3 W^3 \\
 &\quad + 7424 \hat{\alpha}^2 N^2 W^2 + 3808 \hat{\alpha}^3 N W + 2237 \hat{\alpha}^4), \\
 \Gamma_{nnw} &= -\frac{1}{262144} \frac{\pi}{n^{(3/2)} \sqrt{w} N^{(7/2)} W^{(7/2)}} (-32768 N^4 W^4 - 20480 \hat{\alpha} N^3 W^3 \\
 &\quad + 7424 \hat{\alpha}^2 N^2 W^2 + 3808 \hat{\alpha}^3 N W + 2237 \hat{\alpha}^4), \\
 \Gamma_{nnN} &= \frac{1}{262144} \frac{\pi \sqrt{w}}{n^{(3/2)} N^{(9/2)} W^{(7/2)}} (32768 N^4 W^4 - 20480 \hat{\alpha} N^3 W^3 \\
 &\quad + 22272 \hat{\alpha}^2 N^2 W^2 + 19040 \hat{\alpha}^3 N W + 15659 \hat{\alpha}^4), \\
 \Gamma_{nnW} &= \frac{1}{262144} \frac{\pi \sqrt{w}}{n^{(3/2)} N^{(7/2)} W^{(9/2)}} (32768 N^4 W^4 - 20480 \hat{\alpha} N^3 W^3 \\
 &\quad + 22272 \hat{\alpha}^2 N^2 W^2 + 19040 \hat{\alpha}^3 N W + 15659 \hat{\alpha}^4), \\
 \Gamma_{nwn} &= -\frac{1}{262144} \frac{\pi}{n^{(3/2)} \sqrt{w} N^{(7/2)} W^{(7/2)}} (-32768 N^4 W^4 - 20480 \hat{\alpha} N^3 W^3 \\
 &\quad + 7424 \hat{\alpha}^2 N^2 W^2 + 3808 \hat{\alpha}^3 N W + 2237 \hat{\alpha}^4),
 \end{aligned} \tag{A.49}$$

$$\begin{aligned}
\Gamma_{nww} &= -\frac{1}{262144} \frac{\pi}{\sqrt{n} w^{(3/2)} N^{(7/2)} W^{(7/2)}} (-32768 N^4 W^4 - 20480 \hat{\alpha} N^3 W^3 \\
&\quad + 7424 \hat{\alpha}^2 N^2 W^2 + 3808 \hat{\alpha}^3 N W + 2237 \hat{\alpha}^4), \\
\Gamma_{nwN} &= -\frac{1}{262144} \frac{\pi}{\sqrt{n} \sqrt{w} N^{(9/2)} W^{(7/2)}} (32768 N^4 W^4 - 20480 \hat{\alpha} N^3 W^3 \\
&\quad + 22272 \hat{\alpha}^2 N^2 W^2 + 19040 \hat{\alpha}^3 N W + 15659 \hat{\alpha}^4), \\
\Gamma_{nwW} &= -\frac{1}{262144} \frac{\pi}{\sqrt{n} \sqrt{w} N^{(7/2)} W^{(9/2)}} (32768 N^4 W^4 - 20480 \hat{\alpha} N^3 W^3 \\
&\quad + 22272 \hat{\alpha}^2 N^2 W^2 + 19040 \hat{\alpha}^3 N W + 15659 \hat{\alpha}^4), \\
\Gamma_{nNn} &= \frac{1}{262144} \frac{\pi \sqrt{w}}{n^{(3/2)} N^{(9/2)} W^{(7/2)}} (32768 N^4 W^4 - 20480 \hat{\alpha} N^3 W^3 \\
&\quad + 22272 \hat{\alpha}^2 N^2 W^2 + 19040 \hat{\alpha}^3 N W + 15659 \hat{\alpha}^4), \\
\Gamma_{nNw} &= -\frac{1}{262144} \frac{\pi}{\sqrt{n} \sqrt{w} N^{(9/2)} W^{(7/2)}} (32768 N^4 W^4 - 20480 \hat{\alpha} N^3 W^3 \\
&\quad + 22272 \hat{\alpha}^2 N^2 W^2 + 19040 \hat{\alpha}^3 N W + 15659 \hat{\alpha}^4), \tag{A.50}
\end{aligned}$$

$$\begin{aligned}
\Gamma_{nNN} &= \frac{1}{262144} \frac{\pi \sqrt{w}}{\sqrt{n} W^{(7/2)} N^{(11/2)}} (32768 N^4 W^4 - 61440 \hat{\alpha} N^3 W^3 \\
&\quad + 111360 \hat{\alpha}^2 N^2 W^2 + 133280 \hat{\alpha}^3 N W + 140931 \hat{\alpha}^4), \\
\Gamma_{nNW} &= \frac{1}{262144} \frac{\pi \sqrt{w}}{\sqrt{n} W^{(9/2)} N^{(9/2)}} (-32768 N^4 W^4 - 20480 \hat{\alpha} N^3 W^3 \\
&\quad + 66816 \hat{\alpha}^2 N^2 W^2 + 95200 \hat{\alpha}^3 N W + 109613 \hat{\alpha}^4), \\
\Gamma_{nWn} &= \frac{1}{262144} \frac{\pi \sqrt{w}}{n^{(3/2)} N^{(7/2)} W^{(9/2)}} (32768 N^4 W^4 - 20480 \hat{\alpha} N^3 W^3 \\
&\quad + 22272 \hat{\alpha}^2 N^2 W^2 + 19040 \hat{\alpha}^3 N W + 15659 \hat{\alpha}^4), \\
\Gamma_{nWw} &= -\frac{1}{262144} \frac{\pi}{\sqrt{n} \sqrt{w} N^{(7/2)} W^{(9/2)}} (32768 N^4 W^4 - 20480 \hat{\alpha} N^3 W^3 \\
&\quad + 22272 \hat{\alpha}^2 N^2 W^2 + 19040 \hat{\alpha}^3 N W + 15659 \hat{\alpha}^4), \\
\Gamma_{nWN} &= \frac{1}{262144} \frac{\pi \sqrt{w}}{\sqrt{n} W^{(9/2)} N^{(9/2)}} (-32768 N^4 W^4 - 20480 \hat{\alpha} N^3 W^3 \\
&\quad + 66816 \hat{\alpha}^2 N^2 W^2 + 95200 \hat{\alpha}^3 N W + 109613 \hat{\alpha}^4), \tag{A.51}
\end{aligned}$$

$$\begin{aligned}
\Gamma_{nWW} &= \frac{1}{262144} \frac{\pi \sqrt{w}}{\sqrt{n} W^{(11/2)} N^{(7/2)}} (32768 N^4 W^4 - 61440 \hat{\alpha} N^3 W^3 \\
&\quad + 111360 \hat{\alpha}^2 N^2 W^2 + 133280 \hat{\alpha}^3 N W + 140931 \hat{\alpha}^4), \\
\Gamma_{wnn} &= -\frac{1}{262144} \frac{\pi}{\sqrt{n} w^{(3/2)} N^{(7/2)} W^{(7/2)}} (-32768 N^4 W^4 - 20480 \hat{\alpha} N^3 W^3 \\
&\quad + 7424 \hat{\alpha}^2 N^2 W^2 + 3808 \hat{\alpha}^3 N W + 2237 \hat{\alpha}^4), \\
\Gamma_{www} &= \frac{3}{262144} \frac{\pi \sqrt{n}}{w^{(5/2)} N^{(7/2)} W^{(7/2)}} (-32768 N^4 W^4 - 20480 \hat{\alpha} N^3 W^3 \\
&\quad + 7424 \hat{\alpha}^2 N^2 W^2 + 3808 \hat{\alpha}^3 N W + 2237 \hat{\alpha}^4), \\
\Gamma_{wwN} &= \frac{1}{262144} \frac{\pi \sqrt{n}}{w^{(3/2)} N^{(9/2)} W^{(7/2)}} (32768 N^4 W^4 - 20480 \hat{\alpha} N^3 W^3 \\
&\quad + 22272 \hat{\alpha}^2 N^2 W^2 + 19040 \hat{\alpha}^3 N W + 15659 \hat{\alpha}^4), \\
\Gamma_{wwW} &= \frac{1}{262144} \frac{\pi \sqrt{n}}{w^{(3/2)} N^{(7/2)} W^{(9/2)}} (32768 N^4 W^4 - 20480 \hat{\alpha} N^3 W^3 \\
&\quad + 22272 \hat{\alpha}^2 N^2 W^2 + 19040 \hat{\alpha}^3 N W + 15659 \hat{\alpha}^4), \tag{A.52}
\end{aligned}$$

$$\begin{aligned}
\Gamma_{wNn} &= -\frac{1}{262144} \frac{\pi}{\sqrt{n} \sqrt{w} N^{(9/2)} W^{(7/2)}} (32768 N^4 W^4 - 20480 \hat{\alpha} N^3 W^3 \\
&\quad + 22272 \hat{\alpha}^2 N^2 W^2 + 19040 \hat{\alpha}^3 N W + 15659 \hat{\alpha}^4), \\
\Gamma_{wNw} &= \frac{1}{262144} \frac{\pi \sqrt{n}}{w^{(3/2)} N^{(9/2)} W^{(7/2)}} (32768 N^4 W^4 - 20480 \hat{\alpha} N^3 W^3 \\
&\quad + 22272 \hat{\alpha}^2 N^2 W^2 + 19040 \hat{\alpha}^3 N W + 15659 \hat{\alpha}^4), \\
\Gamma_{wNN} &= \frac{1}{262144} \frac{\pi \sqrt{n}}{\sqrt{w} W^{(7/2)} N^{(11/2)}} (32768 N^4 W^4 - 61440 \hat{\alpha} N^3 W^3 \\
&\quad + 111360 \hat{\alpha}^2 N^2 W^2 + 133280 \hat{\alpha}^3 N W + 140931 \hat{\alpha}^4), \\
\Gamma_{wNW} &= \frac{1}{262144} \frac{\pi \sqrt{n}}{\sqrt{w} W^{(9/2)} N^{(9/2)}} (-32768 N^4 W^4 - 20480 \hat{\alpha} N^3 W^3 \\
&\quad + 66816 \hat{\alpha}^2 N^2 W^2 + 95200 \hat{\alpha}^3 N W + 109613 \hat{\alpha}^4), \\
\Gamma_{wWn} &= -\frac{1}{262144} \frac{\pi}{\sqrt{n} \sqrt{w} N^{(7/2)} W^{(9/2)}} (32768 N^4 W^4 - 20480 \hat{\alpha} N^3 W^3 \\
&\quad + 22272 \hat{\alpha}^2 N^2 W^2 + 19040 \hat{\alpha}^3 N W + 15659 \hat{\alpha}^4), \tag{A.53}
\end{aligned}$$

$$\begin{aligned}
\Gamma_{wWw} &= \frac{1}{262144} \frac{\pi \sqrt{n}}{w^{(3/2)} N^{(7/2)} W^{(9/2)}} (32768 N^4 W^4 - 20480 \hat{\alpha} N^3 W^3 \\
&\quad + 22272 \hat{\alpha}^2 N^2 W^2 + 19040 \hat{\alpha}^3 N W + 15659 \hat{\alpha}^4), \\
\Gamma_{wWN} &= \frac{1}{262144} \frac{\pi \sqrt{n}}{\sqrt{w} W^{(9/2)} N^{(9/2)}} (-32768 N^4 W^4 - 20480 \hat{\alpha} N^3 W^3 \\
&\quad + 66816 \hat{\alpha}^2 N^2 W^2 + 95200 \hat{\alpha}^3 N W + 109613 \hat{\alpha}^4), \\
\Gamma_{wWW} &= \frac{1}{262144} \frac{\pi \sqrt{n}}{\sqrt{w} W^{(11/2)} N^{(7/2)}} (32768 N^4 W^4 - 61440 \hat{\alpha} N^3 W^3 \\
&\quad + 111360 \hat{\alpha}^2 N^2 W^2 + 133280 \hat{\alpha}^3 N W + 140931 \hat{\alpha}^4), \\
\Gamma_{NNn} &= \frac{1}{262144} \frac{\pi \sqrt{w}}{\sqrt{n} W^{(7/2)} N^{(11/2)}} (32768 N^4 W^4 - 61440 \hat{\alpha} N^3 W^3 \\
&\quad + 111360 \hat{\alpha}^2 N^2 W^2 + 133280 \hat{\alpha}^3 N W + 140931 \hat{\alpha}^4), \\
\Gamma_{NNw} &= \frac{1}{262144} \frac{\pi \sqrt{n}}{\sqrt{w} W^{(7/2)} N^{(11/2)}} (32768 N^4 W^4 - 61440 \hat{\alpha} N^3 W^3 \\
&\quad + 111360 \hat{\alpha}^2 N^2 W^2 + 133280 \hat{\alpha}^3 N W + 140931 \hat{\alpha}^4), \tag{A.54}
\end{aligned}$$

$$\begin{aligned}
\Gamma_{NNN} &= -\frac{3}{262144} \frac{\pi \sqrt{n} \sqrt{w}}{W^{(7/2)} N^{(13/2)}} (32768 N^4 W^4 - 102400 \hat{\alpha} N^3 W^3 \\
&\quad + 259840 \hat{\alpha}^2 N^2 W^2 + 399840 \hat{\alpha}^3 N W + 516747 \hat{\alpha}^4), \\
\Gamma_{NNW} &= -\frac{1}{262144} \frac{\pi \sqrt{n} \sqrt{w}}{W^{(9/2)} N^{(11/2)}} (-32768 N^4 W^4 - 61440 \hat{\alpha} N^3 W^3 \\
&\quad + 334080 \hat{\alpha}^2 N^2 W^2 + 666400 \hat{\alpha}^3 N W + 986517 \hat{\alpha}^4), \\
\Gamma_{NWn} &= \frac{1}{262144} \frac{\pi \sqrt{w}}{\sqrt{n} W^{(9/2)} N^{(9/2)}} (-32768 N^4 W^4 - 20480 \hat{\alpha} N^3 W^3 \\
&\quad + 66816 \hat{\alpha}^2 N^2 W^2 + 95200 \hat{\alpha}^3 N W + 109613 \hat{\alpha}^4), \\
\Gamma_{NWw} &= \frac{1}{262144} \frac{\pi \sqrt{n}}{\sqrt{w} W^{(9/2)} N^{(9/2)}} (-32768 N^4 W^4 - 20480 \hat{\alpha} N^3 W^3 \\
&\quad + 66816 \hat{\alpha}^2 N^2 W^2 + 95200 \hat{\alpha}^3 N W + 109613 \hat{\alpha}^4), \\
\Gamma_{NWN} &= -\frac{1}{262144} \frac{\pi \sqrt{n} \sqrt{w}}{W^{(9/2)} N^{(11/2)}} (-32768 N^4 W^4 - 61440 \hat{\alpha} N^3 W^3 \\
&\quad + 334080 \hat{\alpha}^2 N^2 W^2 + 666400 \hat{\alpha}^3 N W + 986517 \hat{\alpha}^4), \tag{A.55}
\end{aligned}$$

$$\begin{aligned}
\Gamma_{NWW} &= -\frac{1}{262144} \frac{\pi \sqrt{n} \sqrt{w}}{W^{(11/2)} N^{(9/2)}} (-32768 N^4 W^4 - 61440 \hat{\alpha} N^3 W^3 \\
&\quad + 334080 \hat{\alpha}^2 N^2 W^2 + 666400 \hat{\alpha}^3 N W + 986517 \hat{\alpha}^4), \\
\Gamma_{WWn} &= \frac{1}{262144} \frac{\pi \sqrt{w}}{\sqrt{n} W^{(11/2)} N^{(7/2)}} (32768 N^4 W^4 - 61440 \hat{\alpha} N^3 W^3 \\
&\quad + 111360 \hat{\alpha}^2 N^2 W^2 + 133280 \hat{\alpha}^3 N W + 140931 \hat{\alpha}^4), \\
\Gamma_{WWw} &= \frac{1}{262144} \frac{\pi \sqrt{n}}{\sqrt{w} W^{(11/2)} N^{(7/2)}} (32768 N^4 W^4 - 61440 \hat{\alpha} N^3 W^3 \\
&\quad + 111360 \hat{\alpha}^2 N^2 W^2 + 133280 \hat{\alpha}^3 N W + 140931 \hat{\alpha}^4), \\
\Gamma_{WWN} &= -\frac{1}{262144} \frac{\pi \sqrt{n} \sqrt{w}}{W^{(11/2)} N^{(9/2)}} (-32768 N^4 W^4 - 61440 \hat{\alpha} N^3 W^3 \\
&\quad + 334080 \hat{\alpha}^2 N^2 W^2 + 666400 \hat{\alpha}^3 N W + 986517 \hat{\alpha}^4), \\
\Gamma_{WWW} &= -\frac{3}{262144} \frac{\pi \sqrt{n} \sqrt{w}}{W^{(13/2)} N^{(7/2)}} (32768 N^4 W^4 - 102400 \hat{\alpha} N^3 W^3 \\
&\quad + 259840 \hat{\alpha}^2 N^2 W^2 + 399840 \hat{\alpha}^3 N W + 516747 \hat{\alpha}^4). \tag{A.56}
\end{aligned}$$

À l'ordre arbitraire de α'

Avec la symétrie dans les deux premiers indices, le symbole de Christoffel du premier type sont donnés par

$$\begin{aligned}
\Gamma_{nmn} &= -\frac{3}{16} \frac{\pi w N W \left(\sum_{k=0}^r c_k \left(\frac{\hat{\alpha}}{N W} \right)^k \right)}{n^2 \sqrt{n w N W}}, \\
\Gamma_{nmw} &= \frac{1}{16} \frac{\pi N W \left(\sum_{k=0}^r c_k \left(\frac{\hat{\alpha}}{N W} \right)^k \right)}{n \sqrt{n w N W}}, \\
\Gamma_{nnN} &= -\frac{1}{16} \frac{\pi w W \left(- \left(\sum_{k=0}^r c_k \left(\frac{\hat{\alpha}}{N W} \right)^k \right) + 2 \left(\sum_{k=0}^r c_k \left(\frac{\hat{\alpha}}{N W} \right)^k k \right) \right)}{n \sqrt{n w N W}}, \\
\Gamma_{nnW} &= -\frac{1}{16} \frac{\pi w N \left(- \left(\sum_{k=0}^r c_k \left(\frac{\hat{\alpha}}{N W} \right)^k \right) + 2 \left(\sum_{k=0}^r c_k \left(\frac{\hat{\alpha}}{N W} \right)^k k \right) \right)}{n \sqrt{n w N W}}, \\
\Gamma_{nwn} &= \frac{1}{16} \frac{\pi N W \left(\sum_{k=0}^r c_k \left(\frac{\hat{\alpha}}{N W} \right)^k \right)}{n \sqrt{n w N W}},
\end{aligned} \tag{A.57}$$

$$\begin{aligned}
\Gamma_{nww} &= \frac{1}{16} \frac{\pi N W \left(\sum_{k=0}^r c_k \left(\frac{\hat{\alpha}}{N W} \right)^k \right)}{w \sqrt{n w N W}}, \\
\Gamma_{nwN} &= \frac{1}{16} \frac{\pi W \left(- \left(\sum_{k=0}^r c_k \left(\frac{\hat{\alpha}}{N W} \right)^k \right) + 2 \left(\sum_{k=0}^r c_k \left(\frac{\hat{\alpha}}{N W} \right)^k k \right) \right)}{\sqrt{n w N W}}, \\
\Gamma_{nwW} &= \frac{1}{16} \frac{\pi N \left(- \left(\sum_{k=0}^r c_k \left(\frac{\hat{\alpha}}{N W} \right)^k \right) + 2 \left(\sum_{k=0}^r c_k \left(\frac{\hat{\alpha}}{N W} \right)^k k \right) \right)}{\sqrt{n w N W}}, \\
\Gamma_{nNn} &= -\frac{1}{16} \frac{\pi w W \left(- \left(\sum_{k=0}^r c_k \left(\frac{\hat{\alpha}}{N W} \right)^k \right) + 2 \left(\sum_{k=0}^r c_k \left(\frac{\hat{\alpha}}{N W} \right)^k k \right) \right)}{n \sqrt{n w N W}}, \\
\Gamma_{nNw} &= \frac{1}{16} \frac{\pi W \left(- \left(\sum_{k=0}^r c_k \left(\frac{\hat{\alpha}}{N W} \right)^k \right) + 2 \left(\sum_{k=0}^r c_k \left(\frac{\hat{\alpha}}{N W} \right)^k k \right) \right)}{\sqrt{n w N W}}, \tag{A.58}
\end{aligned}$$

$$\begin{aligned}
\Gamma_{nNN} &= -\frac{1}{16} \frac{\pi w W \left(- \left(\sum_{k=0}^r c_k \left(\frac{\hat{\alpha}}{N W} \right)^k \right) - 4 \left(\sum_{k=0}^r c_k \left(\frac{\hat{\alpha}}{N W} \right)^k k \right) + 4 \left(\sum_{k=0}^r c_k \left(\frac{\hat{\alpha}}{N W} \right)^k k (k+1) \right) \right)}{N \sqrt{n w N W}}, \\
\Gamma_{nNW} &= -\frac{1}{16} \frac{\pi w \left(\left(\sum_{k=0}^r c_k \left(\frac{\hat{\alpha}}{N W} \right)^k \right) - 4 \left(\sum_{k=0}^r c_k \left(\frac{\hat{\alpha}}{N W} \right)^k k \right) + 4 \left(\sum_{k=0}^r c_k \left(\frac{\hat{\alpha}}{N W} \right)^k k^2 \right) \right)}{\sqrt{n w N W}}, \\
\Gamma_{nWn} &= -\frac{1}{16} \frac{\pi w N \left(- \left(\sum_{k=0}^r c_k \left(\frac{\hat{\alpha}}{N W} \right)^k \right) + 2 \left(\sum_{k=0}^r c_k \left(\frac{\hat{\alpha}}{N W} \right)^k k \right) \right)}{n \sqrt{n w N W}}, \\
\Gamma_{nWw} &= \frac{1}{16} \frac{\pi N \left(- \left(\sum_{k=0}^r c_k \left(\frac{\hat{\alpha}}{N W} \right)^k \right) + 2 \left(\sum_{k=0}^r c_k \left(\frac{\hat{\alpha}}{N W} \right)^k k \right) \right)}{\sqrt{n w N W}}, \\
\Gamma_{nWN} &= -\frac{1}{16} \frac{\pi w \left(\left(\sum_{k=0}^r c_k \left(\frac{\hat{\alpha}}{N W} \right)^k \right) - 4 \left(\sum_{k=0}^r c_k \left(\frac{\hat{\alpha}}{N W} \right)^k k \right) + 4 \left(\sum_{k=0}^r c_k \left(\frac{\hat{\alpha}}{N W} \right)^k k^2 \right) \right)}{\sqrt{n w N W}}, \tag{A.59}
\end{aligned}$$

$$\begin{aligned}
\Gamma_{nWW} &= -\frac{1}{16} \frac{\pi w N \left(- \left(\sum_{k=0}^r c_k \left(\frac{\hat{\alpha}}{N\bar{W}} \right)^k \right) - 4 \left(\sum_{k=0}^r c_k \left(\frac{\hat{\alpha}}{N\bar{W}} \right)^k k \right) + 4 \left(\sum_{k=0}^r c_k \left(\frac{\hat{\alpha}}{N\bar{W}} \right)^k k (k+1) \right) \right)}{W \sqrt{n w N \bar{W}}}, \\
\Gamma_{wnw} &= \frac{1}{16} \frac{\pi N W \left(\sum_{k=0}^r c_k \left(\frac{\hat{\alpha}}{N\bar{W}} \right)^k \right)}{w \sqrt{n w N \bar{W}}}, \\
\Gamma_{www} &= -\frac{3}{16} \frac{\pi n N W \left(\sum_{k=0}^r c_k \left(\frac{\hat{\alpha}}{N\bar{W}} \right)^k \right)}{w^2 \sqrt{n w N \bar{W}}}, \\
\Gamma_{wwN} &= -\frac{1}{16} \frac{\pi n W \left(- \left(\sum_{k=0}^r c_k \left(\frac{\hat{\alpha}}{N\bar{W}} \right)^k \right) + 2 \left(\sum_{k=0}^r c_k \left(\frac{\hat{\alpha}}{N\bar{W}} \right)^k k \right) \right)}{w \sqrt{n w N \bar{W}}}, \\
\Gamma_{wwW} &= -\frac{1}{16} \frac{\pi n N \left(- \left(\sum_{k=0}^r c_k \left(\frac{\hat{\alpha}}{N\bar{W}} \right)^k \right) + 2 \left(\sum_{k=0}^r c_k \left(\frac{\hat{\alpha}}{N\bar{W}} \right)^k k \right) \right)}{w \sqrt{n w N \bar{W}}}, \\
\Gamma_{wNn} &= \frac{1}{16} \frac{\pi W \left(- \left(\sum_{k=0}^r c_k \left(\frac{\hat{\alpha}}{N\bar{W}} \right)^k \right) + 2 \left(\sum_{k=0}^r c_k \left(\frac{\hat{\alpha}}{N\bar{W}} \right)^k k \right) \right)}{\sqrt{n w N \bar{W}}}, \\
\Gamma_{wNw} &= -\frac{1}{16} \frac{\pi n W \left(- \left(\sum_{k=0}^r c_k \left(\frac{\hat{\alpha}}{N\bar{W}} \right)^k \right) + 2 \left(\sum_{k=0}^r c_k \left(\frac{\hat{\alpha}}{N\bar{W}} \right)^k k \right) \right)}{w \sqrt{n w N \bar{W}}}, \\
\Gamma_{wNN} &= -\frac{1}{16} \frac{\pi n W \left(- \left(\sum_{k=0}^r c_k \left(\frac{\hat{\alpha}}{N\bar{W}} \right)^k \right) - 4 \left(\sum_{k=0}^r c_k \left(\frac{\hat{\alpha}}{N\bar{W}} \right)^k k \right) + 4 \left(\sum_{k=0}^r c_k \left(\frac{\hat{\alpha}}{N\bar{W}} \right)^k k (k+1) \right) \right)}{N \sqrt{n w N \bar{W}}}, \\
\Gamma_{wNW} &= -\frac{1}{16} \frac{\pi n \left(\left(\sum_{k=0}^r c_k \left(\frac{\hat{\alpha}}{N\bar{W}} \right)^k \right) - 4 \left(\sum_{k=0}^r c_k \left(\frac{\hat{\alpha}}{N\bar{W}} \right)^k k \right) + 4 \left(\sum_{k=0}^r c_k \left(\frac{\hat{\alpha}}{N\bar{W}} \right)^k k^2 \right) \right)}{\sqrt{n w N \bar{W}}}, \\
\Gamma_{wWn} &= \frac{1}{16} \frac{\pi N \left(- \left(\sum_{k=0}^r c_k \left(\frac{\hat{\alpha}}{N\bar{W}} \right)^k \right) + 2 \left(\sum_{k=0}^r c_k \left(\frac{\hat{\alpha}}{N\bar{W}} \right)^k k \right) \right)}{\sqrt{n w N \bar{W}}},
\end{aligned} \tag{A.60}$$

$$\begin{aligned}
\Gamma_{wWn} &= \frac{1}{16} \frac{\pi N \left(- \left(\sum_{k=0}^r c_k \left(\frac{\hat{\alpha}}{N\bar{W}} \right)^k \right) + 2 \left(\sum_{k=0}^r c_k \left(\frac{\hat{\alpha}}{N\bar{W}} \right)^k k \right) \right)}{\sqrt{n w N \bar{W}}},
\end{aligned} \tag{A.61}$$

$$\begin{aligned}
\Gamma_{wWw} &= -\frac{1}{16} \frac{\pi n N \left(- \left(\sum_{k=0}^r c_k \left(\frac{\hat{\alpha}}{N\bar{W}} \right)^k \right) + 2 \left(\sum_{k=0}^r c_k \left(\frac{\hat{\alpha}}{N\bar{W}} \right)^k k \right) \right)}{w \sqrt{n w N \bar{W}}}, \\
\Gamma_{wWN} &= -\frac{1}{16} \frac{\pi n \left(\left(\sum_{k=0}^r c_k \left(\frac{\hat{\alpha}}{N\bar{W}} \right)^k \right) - 4 \left(\sum_{k=0}^r c_k \left(\frac{\hat{\alpha}}{N\bar{W}} \right)^k k \right) + 4 \left(\sum_{k=0}^r c_k \left(\frac{\hat{\alpha}}{N\bar{W}} \right)^k k^2 \right) \right)}{\sqrt{n w N \bar{W}}}, \\
\Gamma_{wWW} &= -\frac{1}{16} \frac{\pi n N \left(- \left(\sum_{k=0}^r c_k \left(\frac{\hat{\alpha}}{N\bar{W}} \right)^k \right) - 4 \left(\sum_{k=0}^r c_k \left(\frac{\hat{\alpha}}{N\bar{W}} \right)^k k \right) + 4 \left(\sum_{k=0}^r c_k \left(\frac{\hat{\alpha}}{N\bar{W}} \right)^k k (k+1) \right) \right)}{W \sqrt{n w N \bar{W}}}, \\
\Gamma_{NNn} &= -\frac{1}{16} \frac{\pi w W \left(- \left(\sum_{k=0}^r c_k \left(\frac{\hat{\alpha}}{N\bar{W}} \right)^k \right) - 4 \left(\sum_{k=0}^r c_k \left(\frac{\hat{\alpha}}{N\bar{W}} \right)^k k \right) + 4 \left(\sum_{k=0}^r c_k \left(\frac{\hat{\alpha}}{N\bar{W}} \right)^k k (k+1) \right) \right)}{N \sqrt{n w N \bar{W}}}, \\
\Gamma_{NNw} &= -\frac{1}{16} \frac{\pi n W \left(- \left(\sum_{k=0}^r c_k \left(\frac{\hat{\alpha}}{N\bar{W}} \right)^k \right) - 4 \left(\sum_{k=0}^r c_k \left(\frac{\hat{\alpha}}{N\bar{W}} \right)^k k \right) + 4 \left(\sum_{k=0}^r c_k \left(\frac{\hat{\alpha}}{N\bar{W}} \right)^k k (k+1) \right) \right)}{N \sqrt{n w N \bar{W}}} \tag{A.62}
\end{aligned}$$

$$\begin{aligned}
\Gamma_{NNN} &= -\frac{1}{16}\pi n w W \left(3 \left(\sum_{k=0}^r c_k \left(\frac{\hat{\alpha}}{NW} \right)^k \right) + 6 \left(\sum_{k=0}^r c_k \left(\frac{\hat{\alpha}}{NW} \right)^k k \right) \right. \\
&\quad \left. + 12 \left(\sum_{k=0}^r c_k \left(\frac{\hat{\alpha}}{NW} \right)^k k (k+1) \right) - 8 \left(\sum_{k=0}^r c_k \left(\frac{\hat{\alpha}}{NW} \right)^k k (k^2 + 3k + 2) \right) \right) / (N^2 \\
&\quad \sqrt{n w N W}), \\
\Gamma_{NNW} &= -\frac{1}{16}\pi n w \left(- \left(\sum_{k=0}^r c_k \left(\frac{\hat{\alpha}}{NW} \right)^k \right) - 2 \left(\sum_{k=0}^r c_k \left(\frac{\hat{\alpha}}{NW} \right)^k k \right) + 8 \left(\sum_{k=0}^r c_k \left(\frac{\hat{\alpha}}{NW} \right)^k k^2 \right) \right. \\
&\quad \left. + 4 \left(\sum_{k=0}^r c_k \left(\frac{\hat{\alpha}}{NW} \right)^k k (k+1) \right) - 8 \left(\sum_{k=0}^r c_k \left(\frac{\hat{\alpha}}{NW} \right)^k k^2 (k+1) \right) \right) / (N \sqrt{n w N W}), \\
\Gamma_{NWn} &= -\frac{1}{16} \frac{\pi w \left(\left(\sum_{k=0}^r c_k \left(\frac{\hat{\alpha}}{NW} \right)^k \right) - 4 \left(\sum_{k=0}^r c_k \left(\frac{\hat{\alpha}}{NW} \right)^k k \right) + 4 \left(\sum_{k=0}^r c_k \left(\frac{\hat{\alpha}}{NW} \right)^k k^2 \right) \right)}{\sqrt{n w N W}}, \\
\Gamma_{NWw} &= -\frac{1}{16} \frac{\pi n \left(\left(\sum_{k=0}^r c_k \left(\frac{\hat{\alpha}}{NW} \right)^k \right) - 4 \left(\sum_{k=0}^r c_k \left(\frac{\hat{\alpha}}{NW} \right)^k k \right) + 4 \left(\sum_{k=0}^r c_k \left(\frac{\hat{\alpha}}{NW} \right)^k k^2 \right) \right)}{\sqrt{n w N W}}, \\
\Gamma_{NWN} &= -\frac{1}{16}\pi n w \left(- \left(\sum_{k=0}^r c_k \left(\frac{\hat{\alpha}}{NW} \right)^k \right) - 2 \left(\sum_{k=0}^r c_k \left(\frac{\hat{\alpha}}{NW} \right)^k k \right) + 8 \left(\sum_{k=0}^r c_k \left(\frac{\hat{\alpha}}{NW} \right)^k k^2 \right) \right. \\
&\quad \left. + 4 \left(\sum_{k=0}^r c_k \left(\frac{\hat{\alpha}}{NW} \right)^k k (k+1) \right) - 8 \left(\sum_{k=0}^r c_k \left(\frac{\hat{\alpha}}{NW} \right)^k k^2 (k+1) \right) \right) / (N \sqrt{n w N W}).
\end{aligned}$$

$$\begin{aligned}
\Gamma_{NWW} &= -\frac{1}{16}\pi n w \left(- \left(\sum_{k=0}^r c_k \left(\frac{\hat{\alpha}}{NW} \right)^k \right) - 2 \left(\sum_{k=0}^r c_k \left(\frac{\hat{\alpha}}{NW} \right)^k k \right) + 8 \left(\sum_{k=0}^r c_k \left(\frac{\hat{\alpha}}{NW} \right)^k k^2 \right) \right. \\
&\quad \left. + 4 \left(\sum_{k=0}^r c_k \left(\frac{\hat{\alpha}}{NW} \right)^k k (k+1) \right) - 8 \left(\sum_{k=0}^r c_k \left(\frac{\hat{\alpha}}{NW} \right)^k k^2 (k+1) \right) \right) / (W \\
&\quad \sqrt{nwNW}), \\
\Gamma_{WWn} &= -\frac{1}{16} \frac{\pi w N \left(- \left(\sum_{k=0}^r c_k \left(\frac{\hat{\alpha}}{NW} \right)^k \right) - 4 \left(\sum_{k=0}^r c_k \left(\frac{\hat{\alpha}}{NW} \right)^k k \right) + 4 \left(\sum_{k=0}^r c_k \left(\frac{\hat{\alpha}}{NW} \right)^k k (k+1) \right) \right)}{W \sqrt{nwNW}}, \\
\Gamma_{WWw} &= -\frac{1}{16} \frac{\pi n N \left(- \left(\sum_{k=0}^r c_k \left(\frac{\hat{\alpha}}{NW} \right)^k \right) - 4 \left(\sum_{k=0}^r c_k \left(\frac{\hat{\alpha}}{NW} \right)^k k \right) + 4 \left(\sum_{k=0}^r c_k \left(\frac{\hat{\alpha}}{NW} \right)^k k (k+1) \right) \right)}{W \sqrt{nwNW}}, \\
\Gamma_{WWN} &= -\frac{1}{16}\pi n w \left(- \left(\sum_{k=0}^r c_k \left(\frac{\hat{\alpha}}{NW} \right)^k \right) - 2 \left(\sum_{k=0}^r c_k \left(\frac{\hat{\alpha}}{NW} \right)^k k \right) + 8 \left(\sum_{k=0}^r c_k \left(\frac{\hat{\alpha}}{NW} \right)^k k^2 \right) \right. \\
&\quad \left. + 4 \left(\sum_{k=0}^r c_k \left(\frac{\hat{\alpha}}{NW} \right)^k k (k+1) \right) - 8 \left(\sum_{k=0}^r c_k \left(\frac{\hat{\alpha}}{NW} \right)^k k^2 (k+1) \right) \right) / (W \\
&\quad \sqrt{nwNW}), \\
\Gamma_{WWW} &= -\frac{1}{16}\pi n w N \left(3 \left(\sum_{k=0}^r c_k \left(\frac{\hat{\alpha}}{NW} \right)^k \right) + 6 \left(\sum_{k=0}^r c_k \left(\frac{\hat{\alpha}}{NW} \right)^k k \right) \right. \\
&\quad \left. + 12 \left(\sum_{k=0}^r c_k \left(\frac{\hat{\alpha}}{NW} \right)^k k (k+1) \right) - 8 \left(\sum_{k=0}^r c_k \left(\frac{\hat{\alpha}}{NW} \right)^k k (k^2 + 3k + 2) \right) \right) / (W^2 \\
&\quad \sqrt{nwNW}).
\end{aligned}$$

(A.64)

A.5 La gomtrie de Ruppenier des solutions non-extrmales de branes D_1D_5 et $D_2D_6NS_5$ en dimensions $D = 10$:

A.5.1 La gomtrie de Ruppenier des solutions non-extrmales de branes D_1D_5

À l'ordre de $(\alpha')^0$

Avec la symétrie dans les deux premiers indices, les éléments de symbole de Christoffel du premier type peuvent être réduite comme les suivants

$$\begin{aligned}
 \Gamma_{N_1 N_1 N_1} &= -\frac{3}{4} \frac{\pi N_5^3 N_R^3}{(N_1 N_5 N_R)^{(5/2)}}, \\
 \Gamma_{N_1 N_1 N_5} &= \frac{1}{4} \frac{\pi N_5^2 N_R^3 N_1}{(N_1 N_5 N_R)^{(5/2)}}, \\
 \Gamma_{N_1 N_1 N_R} &= \frac{1}{4} \frac{\pi N_5^3 N_R^2 N_1}{(N_1 N_5 N_R)^{(5/2)}}, \\
 \Gamma_{N_1 N_5 N_1} &= \frac{1}{4} \frac{\pi N_5^2 N_R^3 N_1}{(N_1 N_5 N_R)^{(5/2)}}, \\
 \Gamma_{N_1 N_5 N_5} &= \frac{1}{4} \frac{\pi N_5 N_R^3 N_1^2}{(N_1 N_5 N_R)^{(5/2)}}, \\
 \Gamma_{N_1 N_5 N_R} &= -\frac{1}{4} \frac{\pi N_5^2 N_R^2 N_1^2}{(N_1 N_5 N_R)^{(5/2)}}, \tag{A.65}
 \end{aligned}$$

$$\begin{aligned}
 \Gamma_{N_1 N_R N_1} &= \frac{1}{4} \frac{\pi N_5^3 N_R^2 N_1}{(N_1 N_5 N_R)^{(5/2)}}, \\
 \Gamma_{N_1 N_R N_5} &= -\frac{1}{4} \frac{\pi N_5^2 N_R^2 N_1^2}{(N_1 N_5 N_R)^{(5/2)}}, \\
 \Gamma_{N_1 N_R N_R} &= \frac{1}{4} \frac{\pi N_5^3 N_R N_1^2}{(N_1 N_5 N_R)^{(5/2)}}, \\
 \Gamma_{N_5 N_5 N_1} &= \frac{1}{4} \frac{\pi N_5 N_R^3 N_1^2}{(N_1 N_5 N_R)^{(5/2)}}, \\
 \Gamma_{N_5 N_5 N_5} &= -\frac{3}{4} \frac{\pi N_1^3 N_R^3}{(N_1 N_5 N_R)^{(5/2)}}, \\
 \Gamma_{N_5 N_5 N_R} &= \frac{1}{4} \frac{\pi N_1^3 N_R^2 N_5}{(N_1 N_5 N_R)^{(5/2)}}, \tag{A.66}
 \end{aligned}$$

$$\begin{aligned}
 \Gamma_{N_5 N_R N_1} &= -\frac{1}{4} \frac{\pi N_5^2 N_R^2 N_1^2}{(N_1 N_5 N_R)^{(5/2)}}, \\
 \Gamma_{N_5 N_R N_5} &= \frac{1}{4} \frac{\pi N_1^3 N_R^2 N_5}{(N_1 N_5 N_R)^{(5/2)}}, \\
 \Gamma_{N_5 N_R N_R} &= \frac{1}{4} \frac{\pi N_1^3 N_R N_5^2}{(N_1 N_5 N_R)^{(5/2)}}, \\
 \Gamma_{N_R N_R N_1} &= \frac{1}{4} \frac{\pi N_5^3 N_R N_1^2}{(N_1 N_5 N_R)^{(5/2)}}, \\
 \Gamma_{N_R N_R N_5} &= \frac{1}{4} \frac{\pi N_1^3 N_R N_5^2}{(N_1 N_5 N_R)^{(5/2)}}, \\
 \Gamma_{N_R N_R N_R} &= -\frac{3}{4} \frac{\pi N_1^3 N_5^3}{(N_1 N_5 N_R)^{(5/2)}}. \tag{A.67}
 \end{aligned}$$

À l'ordre de $(\alpha')^1$

Avec la symétrie dans les deux premiers indices, il s'ensuit que les éléments de symbole de Christoffel du premier type sont

$$\begin{aligned}
 \Gamma_{N_1 N_1 N_1} &= -\frac{3}{4} \frac{\pi (N_5^4 N_R^3 N_1^4 + 16 b \sqrt{N_R} (N_1 N_5 N_R)^{(5/2)})}{(N_1 N_5 N_R)^{(5/2)} N_1^4 N_5}, \\
 \Gamma_{N_1 N_1 N_5} &= \frac{1}{4} \frac{\pi (N_5^4 N_R^3 N_1^4 - 16 b \sqrt{N_R} (N_1 N_5 N_R)^{(5/2)})}{(N_1 N_5 N_R)^{(5/2)} N_1^3 N_5^2}, \\
 \Gamma_{N_1 N_1 N_R} &= \frac{1}{4} \frac{\pi (N_5^4 N_R^{(5/2)} N_1^4 + 8 b (N_1 N_5 N_R)^{(5/2)})}{(N_1 N_5 N_R)^{(5/2)} \sqrt{N_R} N_1^3 N_5}, \\
 \Gamma_{N_1 N_5 N_1} &= \frac{1}{4} \frac{\pi (N_5^4 N_R^3 N_1^4 - 16 b \sqrt{N_R} (N_1 N_5 N_R)^{(5/2)})}{(N_1 N_5 N_R)^{(5/2)} N_1^3 N_5^2}, \\
 \Gamma_{N_1 N_5 N_5} &= \frac{1}{4} \frac{\pi (N_5^4 N_R^3 N_1^4 - 16 b \sqrt{N_R} (N_1 N_5 N_R)^{(5/2)})}{(N_1 N_5 N_R)^{(5/2)} N_1^2 N_5^3}, \\
 \Gamma_{N_1 N_5 N_R} &= \frac{1}{4} \frac{\pi (-N_5^4 N_R^{(5/2)} N_1^4 + 4 b (N_1 N_5 N_R)^{(5/2)})}{(N_1 N_5 N_R)^{(5/2)} N_5^2 N_1^2 \sqrt{N_R}}, \tag{A.68}
 \end{aligned}$$

$$\begin{aligned}
 \Gamma_{N_1 N_R N_1} &= \frac{1}{4} \frac{\pi (N_5^4 N_R^{(5/2)} N_1^4 + 8 b (N_1 N_5 N_R)^{(5/2)})}{(N_1 N_5 N_R)^{(5/2)} \sqrt{N_R} N_1^3 N_5}, \\
 \Gamma_{N_1 N_R N_5} &= \frac{1}{4} \frac{\pi (-N_5^4 N_R^{(5/2)} N_1^4 + 4 b (N_1 N_5 N_R)^{(5/2)})}{(N_1 N_5 N_R)^{(5/2)} N_5^2 N_1^2 \sqrt{N_R}}, \\
 \Gamma_{N_1 N_R N_R} &= \frac{1}{4} \frac{\pi (N_5^4 N_R^{(5/2)} N_1^4 + 2 b (N_1 N_5 N_R)^{(5/2)})}{(N_1 N_5 N_R)^{(5/2)} N_R^{(3/2)} N_1^2 N_5}, \\
 \Gamma_{N_5 N_5 N_1} &= \frac{1}{4} \frac{\pi (N_5^4 N_R^3 N_1^4 - 16 b \sqrt{N_R} (N_1 N_5 N_R)^{(5/2)})}{(N_1 N_5 N_R)^{(5/2)} N_1^2 N_5^3}, \\
 \Gamma_{N_5 N_5 N_5} &= -\frac{3}{4} \frac{\pi (N_5^4 N_R^3 N_1^4 + 16 b \sqrt{N_R} (N_1 N_5 N_R)^{(5/2)})}{(N_1 N_5 N_R)^{(5/2)} N_1 N_5^4}, \\
 \Gamma_{N_5 N_5 N_R} &= \frac{1}{4} \frac{\pi (N_5^4 N_R^{(5/2)} N_1^4 + 8 b (N_1 N_5 N_R)^{(5/2)})}{(N_1 N_5 N_R)^{(5/2)} \sqrt{N_R} N_1 N_5^3}, \tag{A.69}
 \end{aligned}$$

$$\begin{aligned}
 \Gamma_{N_5 N_R N_1} &= \frac{1}{4} \frac{\pi (-N_5^4 N_R^{(5/2)} N_1^4 + 4b (N_1 N_5 N_R)^{(5/2)})}{(N_1 N_5 N_R)^{(5/2)} N_5^2 N_1^2 \sqrt{N_R}}, \\
 \Gamma_{N_5 N_R N_5} &= \frac{1}{4} \frac{\pi (N_5^4 N_R^{(5/2)} N_1^4 + 8b (N_1 N_5 N_R)^{(5/2)})}{(N_1 N_5 N_R)^{(5/2)} \sqrt{N_R} N_1 N_5^3}, \\
 \Gamma_{N_5 N_R N_R} &= \frac{1}{4} \frac{\pi (N_5^4 N_R^{(5/2)} N_1^4 + 2b (N_1 N_5 N_R)^{(5/2)})}{(N_1 N_5 N_R)^{(5/2)} N_R^{(3/2)} N_1 N_5^2}, \\
 \Gamma_{N_R N_R N_1} &= \frac{1}{4} \frac{\pi (N_5^4 N_R^{(5/2)} N_1^4 + 2b (N_1 N_5 N_R)^{(5/2)})}{(N_1 N_5 N_R)^{(5/2)} N_R^{(3/2)} N_1^2 N_5}, \\
 \Gamma_{N_R N_R N_5} &= \frac{1}{4} \frac{\pi (N_5^4 N_R^{(5/2)} N_1^4 + 2b (N_1 N_5 N_R)^{(5/2)})}{(N_1 N_5 N_R)^{(5/2)} N_R^{(3/2)} N_1 N_5^2}, \\
 \Gamma_{N_R N_R N_R} &= \frac{3}{4} \frac{\pi (-N_5^4 N_R^{(5/2)} N_1^4 + b (N_1 N_5 N_R)^{(5/2)})}{(N_1 N_5 N_R)^{(5/2)} N_R^{(5/2)} N_1 N_5}. \tag{A.70}
 \end{aligned}$$

A.5.2 La gomtrie de Ruppenier des solutions non-extrmales de branes $D_2D_6NS_5$

À l'ordre de $(\alpha')^0$

Avec la symétrie dans les deux premiers indices, les éléments de symbole de Christoffel du premier type sont

$$\begin{aligned}
\Gamma_{N_2 N_2 N_2} &= -\frac{3}{4} \frac{\pi N_6^3 N_5^3 N_R^3}{(N_2 N_6 N_5 N_R)^{(5/2)}}, \\
\Gamma_{N_2 N_2 N_6} &= \frac{1}{4} \frac{\pi N_6^2 N_5^3 N_R^3 N_2}{(N_2 N_6 N_5 N_R)^{(5/2)}}, \\
\Gamma_{N_2 N_2 N_5} &= \frac{1}{4} \frac{\pi N_6^3 N_5^2 N_R^3 N_2}{(N_2 N_6 N_5 N_R)^{(5/2)}}, \\
\Gamma_{N_2 N_2 N_R} &= \frac{1}{4} \frac{\pi N_6^3 N_5^3 N_R^2 N_2}{(N_2 N_6 N_5 N_R)^{(5/2)}}, \\
\Gamma_{N_2 N_6 N_2} &= \frac{1}{4} \frac{\pi N_6^2 N_5^3 N_R^3 N_2}{(N_2 N_6 N_5 N_R)^{(5/2)}}, \tag{A.71}
\end{aligned}$$

$$\begin{aligned}
\Gamma_{N_2 N_6 N_6} &= \frac{1}{4} \frac{\pi N_6 N_5^3 N_R^3 N_2^2}{(N_2 N_6 N_5 N_R)^{(5/2)}}, \\
\Gamma_{N_2 N_6 N_5} &= -\frac{1}{4} \frac{\pi N_6^2 N_5^2 N_R^3 N_2^2}{(N_2 N_6 N_5 N_R)^{(5/2)}}, \\
\Gamma_{N_2 N_6 N_R} &= -\frac{1}{4} \frac{\pi N_6^2 N_5^3 N_R^2 N_2^2}{(N_2 N_6 N_5 N_R)^{(5/2)}}, \\
\Gamma_{N_2 N_5 N_2} &= \frac{1}{4} \frac{\pi N_6^3 N_5^2 N_R^3 N_2}{(N_2 N_6 N_5 N_R)^{(5/2)}}, \\
\Gamma_{N_2 N_5 N_6} &= -\frac{1}{4} \frac{\pi N_6^2 N_5^2 N_R^3 N_2^2}{(N_2 N_6 N_5 N_R)^{(5/2)}}, \tag{A.72}
\end{aligned}$$

$$\begin{aligned}
 \Gamma_{N_2 N_5 N_5} &= \frac{1}{4} \frac{\pi N_6^3 N_5 N_R^3 N_2^2}{(N_2 N_6 N_5 N_R)^{(5/2)}}, \\
 \Gamma_{N_2 N_5 N_R} &= -\frac{1}{4} \frac{\pi N_6^3 N_5^2 N_R^2 N_2^2}{(N_2 N_6 N_5 N_R)^{(5/2)}}, \\
 \Gamma_{N_2 N_R N_2} &= \frac{1}{4} \frac{\pi N_6^3 N_5^3 N_R^2 N_2}{(N_2 N_6 N_5 N_R)^{(5/2)}}, \\
 \Gamma_{N_2 N_R N_6} &= -\frac{1}{4} \frac{\pi N_6^2 N_5^3 N_R^2 N_2^2}{(N_2 N_6 N_5 N_R)^{(5/2)}}, \\
 \Gamma_{N_2 N_R N_5} &= -\frac{1}{4} \frac{\pi N_6^3 N_5^2 N_R^2 N_2^2}{(N_2 N_6 N_5 N_R)^{(5/2)}}, \tag{A.73}
 \end{aligned}$$

$$\begin{aligned}
 \Gamma_{N_2 N_R N_R} &= \frac{1}{4} \frac{\pi N_6^3 N_5^3 N_R N_2^2}{(N_2 N_6 N_5 N_R)^{(5/2)}}, \\
 \Gamma_{N_6 N_6 N_2} &= \frac{1}{4} \frac{\pi N_6 N_5^3 N_R^3 N_2^2}{(N_2 N_6 N_5 N_R)^{(5/2)}}, \\
 \Gamma_{N_6 N_6 N_6} &= -\frac{3}{4} \frac{\pi N_2^3 N_5^3 N_R^3}{(N_2 N_6 N_5 N_R)^{(5/2)}}, \\
 \Gamma_{N_6 N_6 N_5} &= \frac{1}{4} \frac{\pi N_2^3 N_5^2 N_R^3 N_6}{(N_2 N_6 N_5 N_R)^{(5/2)}}, \\
 \Gamma_{N_6 N_6 N_R} &= \frac{1}{4} \frac{\pi N_2^3 N_5^3 N_R^2 N_6}{(N_2 N_6 N_5 N_R)^{(5/2)}}, \tag{A.74}
 \end{aligned}$$

$$\begin{aligned}
 \Gamma_{N_6 N_5 N_2} &= -\frac{1}{4} \frac{\pi N_6^2 N_5^2 N_R^3 N_2^2}{(N_2 N_6 N_5 N_R)^{(5/2)}}, \\
 \Gamma_{N_6 N_5 N_6} &= \frac{1}{4} \frac{\pi N_2^3 N_5^2 N_R^3 N_6}{(N_2 N_6 N_5 N_R)^{(5/2)}}, \\
 \Gamma_{N_6 N_5 N_5} &= \frac{1}{4} \frac{\pi N_2^3 N_6^2 N_R^3 N_5}{(N_2 N_6 N_5 N_R)^{(5/2)}}, \\
 \Gamma_{N_6 N_5 N_R} &= -\frac{1}{4} \frac{\pi N_2^3 N_6^2 N_R^2 N_5^2}{(N_2 N_6 N_5 N_R)^{(5/2)}}, \\
 \Gamma_{N_6 N_R N_2} &= -\frac{1}{4} \frac{\pi N_6^2 N_5^3 N_R^2 N_2^2}{(N_2 N_6 N_5 N_R)^{(5/2)}}, \tag{A.75}
 \end{aligned}$$

$$\begin{aligned}
 \Gamma_{N_6 N_R N_6} &= \frac{1}{4} \frac{\pi N_2^3 N_5^3 N_R^2 N_6}{(N_2 N_6 N_5 N_R)^{(5/2)}}, \\
 \Gamma_{N_6 N_R N_5} &= -\frac{1}{4} \frac{\pi N_2^3 N_6^2 N_R^2 N_5^2}{(N_2 N_6 N_5 N_R)^{(5/2)}}, \\
 \Gamma_{N_6 N_R N_R} &= \frac{1}{4} \frac{\pi N_2^3 N_5^3 N_R N_6^2}{(N_2 N_6 N_5 N_R)^{(5/2)}}, \\
 \Gamma_{N_5 N_5 N_2} &= \frac{1}{4} \frac{\pi N_6^3 N_5 N_R^3 N_2^2}{(N_2 N_6 N_5 N_R)^{(5/2)}}, \\
 \Gamma_{N_5 N_5 N_6} &= \frac{1}{4} \frac{\pi N_2^3 N_6^2 N_R^3 N_5}{(N_2 N_6 N_5 N_R)^{(5/2)}}, \tag{A.76}
 \end{aligned}$$

$$\begin{aligned}
 \Gamma_{N_5 N_5 N_5} &= -\frac{3}{4} \frac{\pi N_2^3 N_6^3 N_R^3}{(N_2 N_6 N_5 N_R)^{(5/2)}}, \\
 \Gamma_{N_5 N_5 N_R} &= \frac{1}{4} \frac{\pi N_2^3 N_6^3 N_R^2 N_5}{(N_2 N_6 N_5 N_R)^{(5/2)}}, \\
 \Gamma_{N_5 N_R N_2} &= -\frac{1}{4} \frac{\pi N_6^3 N_5^2 N_R^2 N_2^2}{(N_2 N_6 N_5 N_R)^{(5/2)}}, \\
 \Gamma_{N_5 N_R N_6} &= -\frac{1}{4} \frac{\pi N_2^3 N_6^2 N_R^2 N_5^2}{(N_2 N_6 N_5 N_R)^{(5/2)}}, \\
 \Gamma_{N_5 N_R N_5} &= \frac{1}{4} \frac{\pi N_2^3 N_6^3 N_R^2 N_5}{(N_2 N_6 N_5 N_R)^{(5/2)}}, \tag{A.77}
 \end{aligned}$$

$$\begin{aligned}
 \Gamma_{N_5 N_R N_R} &= \frac{1}{4} \frac{\pi N_2^3 N_6^3 N_R N_5^2}{(N_2 N_6 N_5 N_R)^{(5/2)}}, \\
 \Gamma_{N_R N_R N_2} &= \frac{1}{4} \frac{\pi N_6^3 N_5^3 N_R N_2^2}{(N_2 N_6 N_5 N_R)^{(5/2)}}, \\
 \Gamma_{N_R N_R N_6} &= \frac{1}{4} \frac{\pi N_2^3 N_5^3 N_R N_6^2}{(N_2 N_6 N_5 N_R)^{(5/2)}}, \\
 \Gamma_{N_R N_R N_5} &= \frac{1}{4} \frac{\pi N_2^3 N_6^3 N_R N_5^2}{(N_2 N_6 N_5 N_R)^{(5/2)}}, \\
 \Gamma_{N_R N_R N_R} &= -\frac{3}{4} \frac{\pi N_2^3 N_6^3 N_5^3}{(N_2 N_6 N_5 N_R)^{(5/2)}}. \tag{A.78}
 \end{aligned}$$

À l'ordre de $(\alpha')^1$

Dans ce cas, en suivant les propriétés de symétrie dans les deux premiers indices, nous observons que les composantes de symbole de Christoffel du premier type sont

$$\begin{aligned}
 \Gamma_{N_2 N_2 N_2} &= -\frac{3}{4} \frac{\pi (N_6^4 N_5^{(11/2)} N_R^3 N_2^4 + 16 b_1 \sqrt{N_R} (N_2 N_6 N_5 N_R)^{(5/2)})}{(N_2 N_6 N_5 N_R)^{(5/2)} N_2^4 N_6 N_5^{(5/2)}}, \\
 \Gamma_{N_2 N_2 N_6} &= -\frac{1}{4} \frac{\pi (-N_6^4 N_5^{(11/2)} N_R^3 N_2^4 + 16 b_1 \sqrt{N_R} (N_2 N_6 N_5 N_R)^{(5/2)})}{(N_2 N_6 N_5 N_R)^{(5/2)} N_2^3 N_6^2 N_5^{(5/2)}}, \\
 \Gamma_{N_2 N_2 N_5} &= -\frac{1}{4} \frac{\pi (-N_6^4 N_5^{(11/2)} N_R^3 N_2^4 + 40 b_1 \sqrt{N_R} (N_2 N_6 N_5 N_R)^{(5/2)})}{(N_2 N_6 N_5 N_R)^{(5/2)} N_2^3 N_6 N_5^{(7/2)}}, \\
 \Gamma_{N_2 N_2 N_R} &= \frac{1}{4} \frac{\pi (N_6^4 N_5^{(11/2)} N_R^{(5/2)} N_2^4 + 8 b_1 (N_2 N_6 N_5 N_R)^{(5/2)})}{(N_2 N_6 N_5 N_R)^{(5/2)} \sqrt{N_R} N_2^3 N_6 N_5^{(5/2)}}, \\
 \Gamma_{N_2 N_6 N_2} &= -\frac{1}{4} \frac{\pi (-N_6^4 N_5^{(11/2)} N_R^3 N_2^4 + 16 b_1 \sqrt{N_R} (N_2 N_6 N_5 N_R)^{(5/2)})}{(N_2 N_6 N_5 N_R)^{(5/2)} N_2^3 N_6^2 N_5^{(5/2)}} \quad (A.79)
 \end{aligned}$$

$$\begin{aligned}
 \Gamma_{N_2 N_6 N_6} &= -\frac{1}{4} \frac{\pi (-N_6^4 N_5^{(11/2)} N_R^3 N_2^4 + 16 b_1 \sqrt{N_R} (N_2 N_6 N_5 N_R)^{(5/2)})}{(N_2 N_6 N_5 N_R)^{(5/2)} N_2^2 N_6^3 N_5^{(5/2)}}, \\
 \Gamma_{N_2 N_6 N_5} &= -\frac{1}{4} \frac{\pi (N_6^4 N_5^{(11/2)} N_R^3 N_2^4 + 20 b_1 \sqrt{N_R} (N_2 N_6 N_5 N_R)^{(5/2)})}{(N_2 N_6 N_5 N_R)^{(5/2)} N_2^2 N_6^2 N_5^{(7/2)}}, \\
 \Gamma_{N_2 N_6 N_R} &= \frac{1}{4} \frac{\pi (-N_6^4 N_5^{(11/2)} N_R^{(5/2)} N_2^4 + 4 b_1 (N_2 N_6 N_5 N_R)^{(5/2)})}{(N_2 N_6 N_5 N_R)^{(5/2)} \sqrt{N_R} N_2^2 N_6^2 N_5^{(5/2)}}, \\
 \Gamma_{N_2 N_5 N_2} &= -\frac{1}{4} \frac{\pi (-N_6^4 N_5^{(11/2)} N_R^3 N_2^4 + 40 b_1 \sqrt{N_R} (N_2 N_6 N_5 N_R)^{(5/2)})}{(N_2 N_6 N_5 N_R)^{(5/2)} N_2^3 N_6 N_5^{(7/2)}}, \\
 \Gamma_{N_2 N_5 N_6} &= -\frac{1}{4} \frac{\pi (N_6^4 N_5^{(11/2)} N_R^3 N_2^4 + 20 b_1 \sqrt{N_R} (N_2 N_6 N_5 N_R)^{(5/2)})}{(N_2 N_6 N_5 N_R)^{(5/2)} N_2^2 N_6^2 N_5^{(7/2)}}, \quad (A.80)
 \end{aligned}$$

$$\begin{aligned}
 \Gamma_{N_2 N_5 N_5} &= -\frac{1}{4} \frac{\pi (-N_6^4 N_5^{(11/2)} N_R^3 N_2^4 + 70 b_1 \sqrt{N_R} (N_2 N_6 N_5 N_R)^{(5/2)})}{(N_2 N_6 N_5 N_R)^{(5/2)} N_2^2 N_6 N_5^{(9/2)}}, \\
 \Gamma_{N_2 N_5 N_R} &= \frac{1}{4} \frac{\pi (-N_6^4 N_5^{(11/2)} N_R^{(5/2)} N_2^4 + 10 b_1 (N_2 N_6 N_5 N_R)^{(5/2)})}{(N_2 N_6 N_5 N_R)^{(5/2)} \sqrt{N_R} N_2^2 N_6 N_5^{(7/2)}}, \\
 \Gamma_{N_2 N_R N_2} &= \frac{1}{4} \frac{\pi (N_6^4 N_5^{(11/2)} N_R^{(5/2)} N_2^4 + 8 b_1 (N_2 N_6 N_5 N_R)^{(5/2)})}{(N_2 N_6 N_5 N_R)^{(5/2)} \sqrt{N_R} N_2^3 N_6 N_5^{(5/2)}}, \\
 \Gamma_{N_2 N_R N_6} &= \frac{1}{4} \frac{\pi (-N_6^4 N_5^{(11/2)} N_R^{(5/2)} N_2^4 + 4 b_1 (N_2 N_6 N_5 N_R)^{(5/2)})}{(N_2 N_6 N_5 N_R)^{(5/2)} \sqrt{N_R} N_2^2 N_6^2 N_5^{(5/2)}}, \\
 \Gamma_{N_2 N_R N_5} &= \frac{1}{4} \frac{\pi (-N_6^4 N_5^{(11/2)} N_R^{(5/2)} N_2^4 + 10 b_1 (N_2 N_6 N_5 N_R)^{(5/2)})}{(N_2 N_6 N_5 N_R)^{(5/2)} \sqrt{N_R} N_2^2 N_6 N_5^{(7/2)}}, \tag{A.81}
 \end{aligned}$$

$$\begin{aligned}
 \Gamma_{N_2 N_R N_R} &= \frac{1}{4} \frac{\pi (N_6^4 N_5^{(11/2)} N_R^{(5/2)} N_2^4 + 2 b_1 (N_2 N_6 N_5 N_R)^{(5/2)})}{(N_2 N_6 N_5 N_R)^{(5/2)} N_R^{(3/2)} N_2^2 N_6 N_5^{(5/2)}}, \\
 \Gamma_{N_6 N_6 N_2} &= -\frac{1}{4} \frac{\pi (-N_6^4 N_5^{(11/2)} N_R^3 N_2^4 + 16 b_1 \sqrt{N_R} (N_2 N_6 N_5 N_R)^{(5/2)})}{(N_2 N_6 N_5 N_R)^{(5/2)} N_2^2 N_6^3 N_5^{(5/2)}}, \\
 \Gamma_{N_6 N_6 N_6} &= -\frac{3}{4} \frac{\pi (N_6^4 N_5^{(11/2)} N_R^3 N_2^4 + 16 b_1 \sqrt{N_R} (N_2 N_6 N_5 N_R)^{(5/2)})}{(N_2 N_6 N_5 N_R)^{(5/2)} N_2 N_6^4 N_5^{(5/2)}}, \\
 \Gamma_{N_6 N_6 N_5} &= -\frac{1}{4} \frac{\pi (-N_6^4 N_5^{(11/2)} N_R^3 N_2^4 + 40 b_1 \sqrt{N_R} (N_2 N_6 N_5 N_R)^{(5/2)})}{(N_2 N_6 N_5 N_R)^{(5/2)} N_2 N_6^3 N_5^{(7/2)}}, \\
 \Gamma_{N_6 N_6 N_R} &= \frac{1}{4} \frac{\pi (N_6^4 N_5^{(11/2)} N_R^{(5/2)} N_2^4 + 8 b_1 (N_2 N_6 N_5 N_R)^{(5/2)})}{(N_2 N_6 N_5 N_R)^{(5/2)} \sqrt{N_R} N_2 N_6^3 N_5^{(5/2)}}, \tag{A.82}
 \end{aligned}$$

$$\begin{aligned}
 \Gamma_{N_6 N_5 N_2} &= -\frac{1}{4} \frac{\pi (N_6^4 N_5^{(11/2)} N_R^3 N_2^4 + 20 b_1 \sqrt{N_R} (N_2 N_6 N_5 N_R)^{(5/2)})}{(N_2 N_6 N_5 N_R)^{(5/2)} N_2^2 N_6^2 N_5^{(7/2)}}, \\
 \Gamma_{N_6 N_5 N_6} &= -\frac{1}{4} \frac{\pi (-N_6^4 N_5^{(11/2)} N_R^3 N_2^4 + 40 b_1 \sqrt{N_R} (N_2 N_6 N_5 N_R)^{(5/2)})}{(N_2 N_6 N_5 N_R)^{(5/2)} N_2 N_6^3 N_5^{(7/2)}}, \\
 \Gamma_{N_6 N_5 N_5} &= -\frac{1}{4} \frac{\pi (-N_6^4 N_5^{(11/2)} N_R^3 N_2^4 + 70 b_1 \sqrt{N_R} (N_2 N_6 N_5 N_R)^{(5/2)})}{(N_2 N_6 N_5 N_R)^{(5/2)} N_2 N_6^2 N_5^{(9/2)}}, \\
 \Gamma_{N_6 N_5 N_R} &= \frac{1}{4} \frac{\pi (-N_6^4 N_5^{(11/2)} N_R^{(5/2)} N_2^4 + 10 b_1 (N_2 N_6 N_5 N_R)^{(5/2)})}{(N_2 N_6 N_5 N_R)^{(5/2)} \sqrt{N_R} N_2 N_6^2 N_5^{(7/2)}}, \\
 \Gamma_{N_6 N_R N_2} &= \frac{1}{4} \frac{\pi (-N_6^4 N_5^{(11/2)} N_R^{(5/2)} N_2^4 + 4 b_1 (N_2 N_6 N_5 N_R)^{(5/2)})}{(N_2 N_6 N_5 N_R)^{(5/2)} \sqrt{N_R} N_2^2 N_6^2 N_5^{(5/2)}}, \tag{A.83}
 \end{aligned}$$

$$\begin{aligned}
 \Gamma_{N_6 N_R N_6} &= \frac{1}{4} \frac{\pi (N_6^4 N_5^{(11/2)} N_R^{(5/2)} N_2^4 + 8 b_1 (N_2 N_6 N_5 N_R)^{(5/2)})}{(N_2 N_6 N_5 N_R)^{(5/2)} \sqrt{N_R} N_2 N_6^3 N_5^{(5/2)}}, \\
 \Gamma_{N_6 N_R N_5} &= \frac{1}{4} \frac{\pi (-N_6^4 N_5^{(11/2)} N_R^{(5/2)} N_2^4 + 10 b_1 (N_2 N_6 N_5 N_R)^{(5/2)})}{(N_2 N_6 N_5 N_R)^{(5/2)} \sqrt{N_R} N_2 N_6^2 N_5^{(7/2)}}, \\
 \Gamma_{N_6 N_R N_R} &= \frac{1}{4} \frac{\pi (N_6^4 N_5^{(11/2)} N_R^{(5/2)} N_2^4 + 2 b_1 (N_2 N_6 N_5 N_R)^{(5/2)})}{(N_2 N_6 N_5 N_R)^{(5/2)} N_R^{(3/2)} N_2 N_6^2 N_5^{(5/2)}}, \\
 \Gamma_{N_5 N_5 N_2} &= -\frac{1}{4} \frac{\pi (-N_6^4 N_5^{(11/2)} N_R^3 N_2^4 + 70 b_1 \sqrt{N_R} (N_2 N_6 N_5 N_R)^{(5/2)})}{(N_2 N_6 N_5 N_R)^{(5/2)} N_2^2 N_6 N_5^{(9/2)}}, \\
 \Gamma_{N_5 N_5 N_6} &= -\frac{1}{4} \frac{\pi (-N_6^4 N_5^{(11/2)} N_R^3 N_2^4 + 70 b_1 \sqrt{N_R} (N_2 N_6 N_5 N_R)^{(5/2)})}{(N_2 N_6 N_5 N_R)^{(5/2)} N_2 N_6^2 N_5^{(9/2)}} \quad (A.84)
 \end{aligned}$$

$$\begin{aligned}
 \Gamma_{N_5 N_5 N_5} &= -\frac{3}{4} \frac{\pi (N_6^4 N_5^{(11/2)} N_R^3 N_2^4 + 105 b_1 \sqrt{N_R} (N_2 N_6 N_5 N_R)^{(5/2)})}{(N_2 N_6 N_5 N_R)^{(5/2)} N_2 N_6 N_5^{(11/2)}}, \\
 \Gamma_{N_5 N_5 N_R} &= \frac{1}{4} \frac{\pi (N_6^4 N_5^{(11/2)} N_R^{(5/2)} N_2^4 + 35 b_1 (N_2 N_6 N_5 N_R)^{(5/2)})}{(N_2 N_6 N_5 N_R)^{(5/2)} \sqrt{N_R} N_2 N_6 N_5^{(9/2)}}, \\
 \Gamma_{N_5 N_R N_2} &= \frac{1}{4} \frac{\pi (-N_6^4 N_5^{(11/2)} N_R^{(5/2)} N_2^4 + 10 b_1 (N_2 N_6 N_5 N_R)^{(5/2)})}{(N_2 N_6 N_5 N_R)^{(5/2)} \sqrt{N_R} N_2^2 N_6 N_5^{(7/2)}}, \\
 \Gamma_{N_5 N_R N_6} &= \frac{1}{4} \frac{\pi (-N_6^4 N_5^{(11/2)} N_R^{(5/2)} N_2^4 + 10 b_1 (N_2 N_6 N_5 N_R)^{(5/2)})}{(N_2 N_6 N_5 N_R)^{(5/2)} \sqrt{N_R} N_2 N_6^2 N_5^{(7/2)}}, \\
 \Gamma_{N_5 N_R N_5} &= \frac{1}{4} \frac{\pi (N_6^4 N_5^{(11/2)} N_R^{(5/2)} N_2^4 + 35 b_1 (N_2 N_6 N_5 N_R)^{(5/2)})}{(N_2 N_6 N_5 N_R)^{(5/2)} \sqrt{N_R} N_2 N_6 N_5^{(9/2)}} \quad (A.85)
 \end{aligned}$$

$$\begin{aligned}
 \Gamma_{N_5 N_R N_R} &= \frac{1}{4} \frac{\pi (N_6^4 N_5^{(11/2)} N_R^{(5/2)} N_2^4 + 5 b_1 (N_2 N_6 N_5 N_R)^{(5/2)})}{(N_2 N_6 N_5 N_R)^{(5/2)} N_R^{(3/2)} N_2 N_6 N_5^{(7/2)}}, \\
 \Gamma_{N_R N_R N_2} &= \frac{1}{4} \frac{\pi (N_6^4 N_5^{(11/2)} N_R^{(5/2)} N_2^4 + 2 b_1 (N_2 N_6 N_5 N_R)^{(5/2)})}{(N_2 N_6 N_5 N_R)^{(5/2)} N_R^{(3/2)} N_2^2 N_6 N_5^{(5/2)}}, \\
 \Gamma_{N_R N_R N_6} &= \frac{1}{4} \frac{\pi (N_6^4 N_5^{(11/2)} N_R^{(5/2)} N_2^4 + 2 b_1 (N_2 N_6 N_5 N_R)^{(5/2)})}{(N_2 N_6 N_5 N_R)^{(5/2)} N_R^{(3/2)} N_2 N_6^2 N_5^{(5/2)}}, \\
 \Gamma_{N_R N_R N_5} &= \frac{1}{4} \frac{\pi (N_6^4 N_5^{(11/2)} N_R^{(5/2)} N_2^4 + 5 b_1 (N_2 N_6 N_5 N_R)^{(5/2)})}{(N_2 N_6 N_5 N_R)^{(5/2)} N_R^{(3/2)} N_2 N_6 N_5^{(7/2)}}, \\
 \Gamma_{N_R N_R N_R} &= \frac{3}{4} \frac{\pi (-N_6^4 N_5^{(11/2)} N_R^{(5/2)} N_2^4 + b_1 (N_2 N_6 N_5 N_R)^{(5/2)})}{(N_2 N_6 N_5 N_R)^{(5/2)} N_R^{(5/2)} N_2 N_6 N_5^{(5/2)}} \quad (A.86)
 \end{aligned}$$

A.6 La gomtrie de Ruppenier des trous noirs extrémaux en rotation en quatre dimensions

A.6.1 Les trous noirs de Kerr-Newman dans la thorie d'Einstein- Maxwell:

Avec la symétrie dans les deux premiers indices, les éléments de symbole de Christoffel du premier type sont donnés par

$$\begin{aligned}
 \Gamma_{qqq} &= 12 \frac{q J^2}{(64 J^2 \pi^2 + q^2)^2 \sqrt{\frac{64 J^2 \pi^2 + q^2}{\pi^2}}}, \\
 \Gamma_{qqJ} &= 8 \frac{J (-q^2 + 32 J^2 \pi^2)}{(64 J^2 \pi^2 + q^2)^2 \sqrt{\frac{64 J^2 \pi^2 + q^2}{\pi^2}}}, \\
 \Gamma_{qJq} &= 8 \frac{J (-q^2 + 32 J^2 \pi^2)}{(64 J^2 \pi^2 + q^2)^2 \sqrt{\frac{64 J^2 \pi^2 + q^2}{\pi^2}}}, \\
 \Gamma_{qJJ} &= -4 \frac{q (128 J^2 \pi^2 - q^2)}{(64 J^2 \pi^2 + q^2)^2 \sqrt{\frac{64 J^2 \pi^2 + q^2}{\pi^2}}}, \\
 \Gamma_{JJq} &= -4 \frac{q (128 J^2 \pi^2 - q^2)}{(64 J^2 \pi^2 + q^2)^2 \sqrt{\frac{64 J^2 \pi^2 + q^2}{\pi^2}}}, \\
 \Gamma_{JJJ} &= 768 \frac{J q^2 \pi^2}{(64 J^2 \pi^2 + q^2)^2 \sqrt{\frac{64 J^2 \pi^2 + q^2}{\pi^2}}}.
 \end{aligned} \tag{A.87}$$

A.6.2 Les trous noirs de Kaluza-Klein dans la thorie d'Einstein-Maxwell:

Avec la symétrie dans les deux premiers indices, nous voyons que les éléments de symbole de Christoffel du premier type sont donn'es par

$$\begin{aligned}
 \Gamma_{PPP} &= -3 \frac{\pi P Q^4 J^2}{(P^2 Q^2 - J^2)^{(5/2)}}, \\
 \Gamma_{PPQ} &= -\frac{\pi Q J^2 (P^2 Q^2 + 2 J^2)}{(P^2 Q^2 - J^2)^{(5/2)}}, \\
 \Gamma_{PPJ} &= \frac{\pi Q^2 J (2 P^2 Q^2 + J^2)}{(P^2 Q^2 - J^2)^{(5/2)}}, \\
 \Gamma_{PQP} &= -\frac{\pi Q J^2 (P^2 Q^2 + 2 J^2)}{(P^2 Q^2 - J^2)^{(5/2)}}, \\
 \Gamma_{PQQ} &= -\frac{\pi P J^2 (P^2 Q^2 + 2 J^2)}{(P^2 Q^2 - J^2)^{(5/2)}}, \\
 \Gamma_{PQJ} &= \frac{\pi P Q J (P^2 Q^2 + 2 J^2)}{(P^2 Q^2 - J^2)^{(5/2)}}, \tag{A.88}
 \end{aligned}$$

$$\begin{aligned}
 \Gamma_{PJP} &= \frac{\pi Q^2 J (2 P^2 Q^2 + J^2)}{(P^2 Q^2 - J^2)^{(5/2)}}, \\
 \Gamma_{PJQ} &= \frac{\pi P Q J (P^2 Q^2 + 2 J^2)}{(P^2 Q^2 - J^2)^{(5/2)}}, \\
 \Gamma_{PJJ} &= -\frac{\pi P Q^2 (P^2 Q^2 + 2 J^2)}{(P^2 Q^2 - J^2)^{(5/2)}}, \\
 \Gamma_{QQP} &= -\frac{\pi P J^2 (P^2 Q^2 + 2 J^2)}{(P^2 Q^2 - J^2)^{(5/2)}}, \\
 \Gamma_{QQQ} &= -3 \frac{\pi P^4 Q J^2}{(P^2 Q^2 - J^2)^{(5/2)}}, \\
 \Gamma_{QQJ} &= \frac{\pi P^2 J (2 P^2 Q^2 + J^2)}{(P^2 Q^2 - J^2)^{(5/2)}}, \tag{A.89}
 \end{aligned}$$

$$\begin{aligned}
 \Gamma_{QJP} &= \frac{\pi P Q J (P^2 Q^2 + 2 J^2)}{(P^2 Q^2 - J^2)^{(5/2)}}, \\
 \Gamma_{QJQ} &= \frac{\pi P^2 J (2 P^2 Q^2 + J^2)}{(P^2 Q^2 - J^2)^{(5/2)}}, \\
 \Gamma_{QJJ} &= -\frac{\pi P^2 Q (P^2 Q^2 + 2 J^2)}{(P^2 Q^2 - J^2)^{(5/2)}}, \\
 \Gamma_{JJP} &= -\frac{\pi P Q^2 (P^2 Q^2 + 2 J^2)}{(P^2 Q^2 - J^2)^{(5/2)}}, \\
 \Gamma_{JJQ} &= -\frac{\pi P^2 Q (P^2 Q^2 + 2 J^2)}{(P^2 Q^2 - J^2)^{(5/2)}}, \\
 \Gamma_{JJJ} &= 3 \frac{\pi J P^2 Q^2}{(P^2 Q^2 - J^2)^{(5/2)}}.
 \end{aligned} \tag{A.90}$$

A.6.3 Les trous noirs de la thorie des cordes hétérotiques compactifie toroidalement:

Avec la symétrie dans les deux premiers indices, les éléments de symbole de Christoffel du premier type sont donnés comme les suivants

$$\begin{aligned}
 \Gamma_{P_1 P_1 P_1} &= -\frac{3}{8} \frac{\pi Q_2^3 P_3^3 Q_4^3}{(J^2 + P_1 Q_2 P_3 Q_4)^{(5/2)}}, \\
 \Gamma_{P_1 P_1 Q_2} &= \frac{1}{8} \frac{\pi Q_2 P_3^2 Q_4^2 (P_1 Q_2 P_3 Q_4 + 4 J^2)}{(J^2 + P_1 Q_2 P_3 Q_4)^{(5/2)}}, \\
 \Gamma_{P_1 P_1 P_3} &= \frac{1}{8} \frac{\pi Q_2^2 P_3 Q_4^2 (P_1 Q_2 P_3 Q_4 + 4 J^2)}{(J^2 + P_1 Q_2 P_3 Q_4)^{(5/2)}}, \\
 \Gamma_{P_1 P_1 Q_4} &= \frac{1}{8} \frac{\pi Q_2^2 P_3^2 Q_4 (P_1 Q_2 P_3 Q_4 + 4 J^2)}{(J^2 + P_1 Q_2 P_3 Q_4)^{(5/2)}}, \\
 \Gamma_{P_1 P_1 J} &= -\frac{3}{4} \frac{\pi Q_2^2 P_3^2 Q_4^2 J}{(J^2 + P_1 Q_2 P_3 Q_4)^{(5/2)}}, \tag{A.91}
 \end{aligned}$$

$$\begin{aligned}
 \Gamma_{P_1 Q_2 P_1} &= \frac{1}{8} \frac{\pi Q_2 P_3^2 Q_4^2 (P_1 Q_2 P_3 Q_4 + 4 J^2)}{(J^2 + P_1 Q_2 P_3 Q_4)^{(5/2)}}, \\
 \Gamma_{P_1 Q_2 Q_2} &= \frac{1}{8} \frac{\pi P_3^2 Q_4^2 P_1 (P_1 Q_2 P_3 Q_4 + 4 J^2)}{(J^2 + P_1 Q_2 P_3 Q_4)^{(5/2)}}, \\
 \Gamma_{P_1 Q_2 P_3} &= -\frac{1}{8} \frac{\pi Q_4 (P_1^2 Q_2^2 P_3^2 Q_4^2 + 2 J^2 P_1 Q_2 P_3 Q_4 + 4 J^4)}{(J^2 + P_1 Q_2 P_3 Q_4)^{(5/2)}}, \\
 \Gamma_{P_1 Q_2 Q_4} &= -\frac{1}{8} \frac{\pi P_3 (P_1^2 Q_2^2 P_3^2 Q_4^2 + 2 J^2 P_1 Q_2 P_3 Q_4 + 4 J^4)}{(J^2 + P_1 Q_2 P_3 Q_4)^{(5/2)}}, \\
 \Gamma_{P_1 Q_2 J} &= -\frac{1}{4} \frac{\pi P_3 Q_4 J (P_1 Q_2 P_3 Q_4 - 2 J^2)}{(J^2 + P_1 Q_2 P_3 Q_4)^{(5/2)}}, \tag{A.92}
 \end{aligned}$$

$$\begin{aligned}
 \Gamma_{P_1 P_3 P_1} &= \frac{1}{8} \frac{\pi Q_2^2 P_3 Q_4^2 (P_1 Q_2 P_3 Q_4 + 4 J^2)}{(J^2 + P_1 Q_2 P_3 Q_4)^{(5/2)}}, \\
 \Gamma_{P_1 P_3 Q_2} &= -\frac{1}{8} \frac{\pi Q_4 (P_1^2 Q_2^2 P_3^2 Q_4^2 + 2 J^2 P_1 Q_2 P_3 Q_4 + 4 J^4)}{(J^2 + P_1 Q_2 P_3 Q_4)^{(5/2)}}, \\
 \Gamma_{P_1 P_3 P_3} &= \frac{1}{8} \frac{\pi Q_2^2 Q_4^2 P_1 (P_1 Q_2 P_3 Q_4 + 4 J^2)}{(J^2 + P_1 Q_2 P_3 Q_4)^{(5/2)}}, \\
 \Gamma_{P_1 P_3 Q_4} &= -\frac{1}{8} \frac{Q_2 \pi (P_1^2 Q_2^2 P_3^2 Q_4^2 + 2 J^2 P_1 Q_2 P_3 Q_4 + 4 J^4)}{(J^2 + P_1 Q_2 P_3 Q_4)^{(5/2)}}, \\
 \Gamma_{P_1 P_3 J} &= -\frac{1}{4} \frac{\pi Q_2 Q_4 J (P_1 Q_2 P_3 Q_4 - 2 J^2)}{(J^2 + P_1 Q_2 P_3 Q_4)^{(5/2)}}, \tag{A.93}
 \end{aligned}$$

$$\begin{aligned}
 \Gamma_{P_1 Q_4 P_1} &= \frac{1}{8} \frac{\pi Q_2^2 P_3^2 Q_4 (P_1 Q_2 P_3 Q_4 + 4 J^2)}{(J^2 + P_1 Q_2 P_3 Q_4)^{(5/2)}}, \\
 \Gamma_{P_1 Q_4 Q_2} &= -\frac{1}{8} \frac{\pi P_3 (P_1^2 Q_2^2 P_3^2 Q_4^2 + 2 J^2 P_1 Q_2 P_3 Q_4 + 4 J^4)}{(J^2 + P_1 Q_2 P_3 Q_4)^{(5/2)}}, \\
 \Gamma_{P_1 Q_4 P_3} &= -\frac{1}{8} \frac{Q_2 \pi (P_1^2 Q_2^2 P_3^2 Q_4^2 + 2 J^2 P_1 Q_2 P_3 Q_4 + 4 J^4)}{(J^2 + P_1 Q_2 P_3 Q_4)^{(5/2)}}, \\
 \Gamma_{P_1 Q_4 Q_4} &= \frac{1}{8} \frac{\pi Q_2^2 P_3^2 P_1 (P_1 Q_2 P_3 Q_4 + 4 J^2)}{(J^2 + P_1 Q_2 P_3 Q_4)^{(5/2)}}, \\
 \Gamma_{P_1 Q_4 J} &= -\frac{1}{4} \frac{\pi Q_2 P_3 J (P_1 Q_2 P_3 Q_4 - 2 J^2)}{(J^2 + P_1 Q_2 P_3 Q_4)^{(5/2)}}, \tag{A.94}
 \end{aligned}$$

$$\begin{aligned}
 \Gamma_{P_1 J P_1} &= -\frac{3}{4} \frac{\pi Q_2^2 P_3^2 Q_4^2 J}{(J^2 + P_1 Q_2 P_3 Q_4)^{(5/2)}}, \\
 \Gamma_{P_1 J Q_2} &= -\frac{1}{4} \frac{\pi P_3 Q_4 J (P_1 Q_2 P_3 Q_4 - 2 J^2)}{(J^2 + P_1 Q_2 P_3 Q_4)^{(5/2)}}, \\
 \Gamma_{P_1 J P_3} &= -\frac{1}{4} \frac{\pi Q_2 Q_4 J (P_1 Q_2 P_3 Q_4 - 2 J^2)}{(J^2 + P_1 Q_2 P_3 Q_4)^{(5/2)}}, \\
 \Gamma_{P_1 J Q_4} &= -\frac{1}{4} \frac{\pi Q_2 P_3 J (P_1 Q_2 P_3 Q_4 - 2 J^2)}{(J^2 + P_1 Q_2 P_3 Q_4)^{(5/2)}}, \\
 \Gamma_{P_1 J J} &= \frac{1}{2} \frac{Q_4 \pi Q_2 P_3 (P_1 Q_2 P_3 Q_4 - 2 J^2)}{(J^2 + P_1 Q_2 P_3 Q_4)^{(5/2)}}, \tag{A.95}
 \end{aligned}$$

$$\begin{aligned}
 \Gamma_{Q_2 Q_2 P_1} &= \frac{1}{8} \frac{\pi P_3^2 Q_4^2 P_1 (P_1 Q_2 P_3 Q_4 + 4 J^2)}{(J^2 + P_1 Q_2 P_3 Q_4)^{(5/2)}}, \\
 \Gamma_{Q_2 Q_2 Q_2} &= -\frac{3}{8} \frac{\pi P_1^3 P_3^3 Q_4^3}{(J^2 + P_1 Q_2 P_3 Q_4)^{(5/2)}}, \\
 \Gamma_{Q_2 Q_2 P_3} &= \frac{1}{8} \frac{\pi P_1^2 P_3 Q_4^2 (P_1 Q_2 P_3 Q_4 + 4 J^2)}{(J^2 + P_1 Q_2 P_3 Q_4)^{(5/2)}}, \\
 \Gamma_{Q_2 Q_2 Q_4} &= \frac{1}{8} \frac{\pi P_1^2 P_3^2 Q_4 (P_1 Q_2 P_3 Q_4 + 4 J^2)}{(J^2 + P_1 Q_2 P_3 Q_4)^{(5/2)}}, \\
 \Gamma_{Q_2 Q_2 J} &= -\frac{3}{4} \frac{\pi P_1^2 P_3^2 Q_4^2 J}{(J^2 + P_1 Q_2 P_3 Q_4)^{(5/2)}}, \tag{A.96}
 \end{aligned}$$

$$\begin{aligned}
 \Gamma_{Q_2 P_3 P_1} &= -\frac{1}{8} \frac{\pi Q_4 (P_1^2 Q_2^2 P_3^2 Q_4^2 + 2 J^2 P_1 Q_2 P_3 Q_4 + 4 J^4)}{(J^2 + P_1 Q_2 P_3 Q_4)^{(5/2)}}, \\
 \Gamma_{Q_2 P_3 Q_2} &= \frac{1}{8} \frac{\pi P_1^2 P_3 Q_4^2 (P_1 Q_2 P_3 Q_4 + 4 J^2)}{(J^2 + P_1 Q_2 P_3 Q_4)^{(5/2)}}, \\
 \Gamma_{Q_2 P_3 P_3} &= \frac{1}{8} \frac{\pi P_1^2 Q_2 Q_4^2 (P_1 Q_2 P_3 Q_4 + 4 J^2)}{(J^2 + P_1 Q_2 P_3 Q_4)^{(5/2)}}, \\
 \Gamma_{Q_2 P_3 Q_4} &= -\frac{1}{8} \frac{\pi P_1 (P_1^2 Q_2^2 P_3^2 Q_4^2 + 2 J^2 P_1 Q_2 P_3 Q_4 + 4 J^4)}{(J^2 + P_1 Q_2 P_3 Q_4)^{(5/2)}}, \\
 \Gamma_{Q_2 P_3 J} &= -\frac{1}{4} \frac{\pi P_1 Q_4 J (P_1 Q_2 P_3 Q_4 - 2 J^2)}{(J^2 + P_1 Q_2 P_3 Q_4)^{(5/2)}}, \tag{A.97}
 \end{aligned}$$

$$\begin{aligned}
 \Gamma_{Q_2 Q_4 P_1} &= -\frac{1}{8} \frac{\pi P_3 (P_1^2 Q_2^2 P_3^2 Q_4^2 + 2 J^2 P_1 Q_2 P_3 Q_4 + 4 J^4)}{(J^2 + P_1 Q_2 P_3 Q_4)^{(5/2)}}, \\
 \Gamma_{Q_2 Q_4 Q_2} &= \frac{1}{8} \frac{\pi P_1^2 P_3^2 Q_4 (P_1 Q_2 P_3 Q_4 + 4 J^2)}{(J^2 + P_1 Q_2 P_3 Q_4)^{(5/2)}}, \\
 \Gamma_{Q_2 Q_4 P_3} &= -\frac{1}{8} \frac{\pi P_1 (P_1^2 Q_2^2 P_3^2 Q_4^2 + 2 J^2 P_1 Q_2 P_3 Q_4 + 4 J^4)}{(J^2 + P_1 Q_2 P_3 Q_4)^{(5/2)}}, \\
 \Gamma_{Q_2 Q_4 Q_4} &= \frac{1}{8} \frac{\pi P_1^2 P_3^2 Q_2 (P_1 Q_2 P_3 Q_4 + 4 J^2)}{(J^2 + P_1 Q_2 P_3 Q_4)^{(5/2)}}, \\
 \Gamma_{Q_2 Q_4 J} &= -\frac{1}{4} \frac{\pi P_1 P_3 J (P_1 Q_2 P_3 Q_4 - 2 J^2)}{(J^2 + P_1 Q_2 P_3 Q_4)^{(5/2)}}, \tag{A.98}
 \end{aligned}$$

$$\begin{aligned}
 \Gamma_{Q_2 J P_1} &= -\frac{1}{4} \frac{\pi P_3 Q_4 J (P_1 Q_2 P_3 Q_4 - 2 J^2)}{(J^2 + P_1 Q_2 P_3 Q_4)^{(5/2)}}, \\
 \Gamma_{Q_2 J Q_2} &= -\frac{3}{4} \frac{\pi P_1^2 P_3^2 Q_4^2 J}{(J^2 + P_1 Q_2 P_3 Q_4)^{(5/2)}}, \\
 \Gamma_{Q_2 J P_3} &= -\frac{1}{4} \frac{\pi P_1 Q_4 J (P_1 Q_2 P_3 Q_4 - 2 J^2)}{(J^2 + P_1 Q_2 P_3 Q_4)^{(5/2)}}, \\
 \Gamma_{Q_2 J Q_4} &= -\frac{1}{4} \frac{\pi P_1 P_3 J (P_1 Q_2 P_3 Q_4 - 2 J^2)}{(J^2 + P_1 Q_2 P_3 Q_4)^{(5/2)}}, \\
 \Gamma_{Q_2 J J} &= \frac{1}{2} \frac{\pi P_1 P_3 Q_4 (P_1 Q_2 P_3 Q_4 - 2 J^2)}{(J^2 + P_1 Q_2 P_3 Q_4)^{(5/2)}}, \tag{A.99}
 \end{aligned}$$

$$\begin{aligned}
 \Gamma_{P_3 P_3 P_1} &= \frac{1}{8} \frac{\pi Q_2^2 Q_4^2 P_1 (P_1 Q_2 P_3 Q_4 + 4 J^2)}{(J^2 + P_1 Q_2 P_3 Q_4)^{(5/2)}}, \\
 \Gamma_{P_3 P_3 Q_2} &= \frac{1}{8} \frac{\pi P_1^2 Q_2 Q_4^2 (P_1 Q_2 P_3 Q_4 + 4 J^2)}{(J^2 + P_1 Q_2 P_3 Q_4)^{(5/2)}}, \\
 \Gamma_{P_3 P_3 P_3} &= -\frac{3}{8} \frac{\pi P_1^3 Q_2^3 Q_4^3}{(J^2 + P_1 Q_2 P_3 Q_4)^{(5/2)}}, \\
 \Gamma_{P_3 P_3 Q_4} &= \frac{1}{8} \frac{\pi P_1^2 Q_2^2 Q_4 (P_1 Q_2 P_3 Q_4 + 4 J^2)}{(J^2 + P_1 Q_2 P_3 Q_4)^{(5/2)}}, \\
 \Gamma_{P_3 P_3 J} &= -\frac{3}{4} \frac{\pi P_1^2 Q_2^2 Q_4^2 J}{(J^2 + P_1 Q_2 P_3 Q_4)^{(5/2)}}, \tag{A.100}
 \end{aligned}$$

$$\begin{aligned}
 \Gamma_{P_3 Q_4 P_1} &= -\frac{1}{8} \frac{Q_2 \pi (P_1^2 Q_2^2 P_3^2 Q_4^2 + 2 J^2 P_1 Q_2 P_3 Q_4 + 4 J^4)}{(J^2 + P_1 Q_2 P_3 Q_4)^{(5/2)}}, \\
 \Gamma_{P_3 Q_4 Q_2} &= -\frac{1}{8} \frac{\pi P_1 (P_1^2 Q_2^2 P_3^2 Q_4^2 + 2 J^2 P_1 Q_2 P_3 Q_4 + 4 J^4)}{(J^2 + P_1 Q_2 P_3 Q_4)^{(5/2)}}, \\
 \Gamma_{P_3 Q_4 P_3} &= \frac{1}{8} \frac{\pi P_1^2 Q_2^2 Q_4 (P_1 Q_2 P_3 Q_4 + 4 J^2)}{(J^2 + P_1 Q_2 P_3 Q_4)^{(5/2)}}, \\
 \Gamma_{P_3 Q_4 Q_4} &= \frac{1}{8} \frac{\pi P_1^2 Q_2^2 P_3 (P_1 Q_2 P_3 Q_4 + 4 J^2)}{(J^2 + P_1 Q_2 P_3 Q_4)^{(5/2)}}, \\
 \Gamma_{P_3 Q_4 J} &= -\frac{1}{4} \frac{\pi P_1 Q_2 J (P_1 Q_2 P_3 Q_4 - 2 J^2)}{(J^2 + P_1 Q_2 P_3 Q_4)^{(5/2)}}, \tag{A.101}
 \end{aligned}$$

$$\begin{aligned}
 \Gamma_{P_3 J P_1} &= -\frac{1}{4} \frac{\pi Q_2 Q_4 J (P_1 Q_2 P_3 Q_4 - 2 J^2)}{(J^2 + P_1 Q_2 P_3 Q_4)^{(5/2)}}, \\
 \Gamma_{P_3 J Q_2} &= -\frac{1}{4} \frac{\pi P_1 Q_4 J (P_1 Q_2 P_3 Q_4 - 2 J^2)}{(J^2 + P_1 Q_2 P_3 Q_4)^{(5/2)}}, \\
 \Gamma_{P_3 J P_3} &= -\frac{3}{4} \frac{\pi P_1^2 Q_2^2 Q_4^2 J}{(J^2 + P_1 Q_2 P_3 Q_4)^{(5/2)}}, \\
 \Gamma_{P_3 J Q_4} &= -\frac{1}{4} \frac{\pi P_1 Q_2 J (P_1 Q_2 P_3 Q_4 - 2 J^2)}{(J^2 + P_1 Q_2 P_3 Q_4)^{(5/2)}}, \\
 \Gamma_{P_3 J J} &= \frac{1}{2} \frac{\pi P_1 Q_2 Q_4 (P_1 Q_2 P_3 Q_4 - 2 J^2)}{(J^2 + P_1 Q_2 P_3 Q_4)^{(5/2)}}, \tag{A.102}
 \end{aligned}$$

$$\begin{aligned}
 \Gamma_{Q_4 Q_4 P_1} &= \frac{1}{8} \frac{\pi Q_2^2 P_3^2 P_1 (P_1 Q_2 P_3 Q_4 + 4 J^2)}{(J^2 + P_1 Q_2 P_3 Q_4)^{(5/2)}}, \\
 \Gamma_{Q_4 Q_4 Q_2} &= \frac{1}{8} \frac{\pi P_1^2 P_3^2 Q_2 (P_1 Q_2 P_3 Q_4 + 4 J^2)}{(J^2 + P_1 Q_2 P_3 Q_4)^{(5/2)}}, \\
 \Gamma_{Q_4 Q_4 P_3} &= \frac{1}{8} \frac{\pi P_1^2 Q_2^2 P_3 (P_1 Q_2 P_3 Q_4 + 4 J^2)}{(J^2 + P_1 Q_2 P_3 Q_4)^{(5/2)}}, \\
 \Gamma_{Q_4 Q_4 Q_4} &= -\frac{3}{8} \frac{\pi P_1^3 Q_2^3 P_3^3}{(J^2 + P_1 Q_2 P_3 Q_4)^{(5/2)}}, \\
 \Gamma_{Q_4 Q_4 J} &= -\frac{3}{4} \frac{\pi P_1^2 Q_2^2 P_3^2 J}{(J^2 + P_1 Q_2 P_3 Q_4)^{(5/2)}}, \tag{A.103}
 \end{aligned}$$

$$\begin{aligned}
 \Gamma_{Q_4 J P_1} &= -\frac{1}{4} \frac{\pi Q_2 P_3 J (P_1 Q_2 P_3 Q_4 - 2 J^2)}{(J^2 + P_1 Q_2 P_3 Q_4)^{(5/2)}}, \\
 \Gamma_{Q_4 J Q_2} &= -\frac{1}{4} \frac{\pi P_1 P_3 J (P_1 Q_2 P_3 Q_4 - 2 J^2)}{(J^2 + P_1 Q_2 P_3 Q_4)^{(5/2)}}, \\
 \Gamma_{Q_4 J P_3} &= -\frac{1}{4} \frac{\pi P_1 Q_2 J (P_1 Q_2 P_3 Q_4 - 2 J^2)}{(J^2 + P_1 Q_2 P_3 Q_4)^{(5/2)}}, \\
 \Gamma_{Q_4 J Q_4} &= -\frac{3}{4} \frac{\pi P_1^2 Q_2^2 P_3^2 J}{(J^2 + P_1 Q_2 P_3 Q_4)^{(5/2)}}, \\
 \Gamma_{Q_4 J J} &= \frac{1}{2} \frac{\pi P_1 Q_2 P_3 (P_1 Q_2 P_3 Q_4 - 2 J^2)}{(J^2 + P_1 Q_2 P_3 Q_4)^{(5/2)}}, \tag{A.104}
 \end{aligned}$$

$$\begin{aligned}
 \Gamma_{JJ P_1} &= \frac{1}{2} \frac{Q_4 \pi Q_2 P_3 (P_1 Q_2 P_3 Q_4 - 2 J^2)}{(J^2 + P_1 Q_2 P_3 Q_4)^{(5/2)}}, \\
 \Gamma_{JJ Q_2} &= \frac{1}{2} \frac{\pi P_1 P_3 Q_4 (P_1 Q_2 P_3 Q_4 - 2 J^2)}{(J^2 + P_1 Q_2 P_3 Q_4)^{(5/2)}}, \\
 \Gamma_{JJ P_3} &= \frac{1}{2} \frac{\pi P_1 Q_2 Q_4 (P_1 Q_2 P_3 Q_4 - 2 J^2)}{(J^2 + P_1 Q_2 P_3 Q_4)^{(5/2)}}, \\
 \Gamma_{JJ Q_4} &= \frac{1}{2} \frac{\pi P_1 Q_2 P_3 (P_1 Q_2 P_3 Q_4 - 2 J^2)}{(J^2 + P_1 Q_2 P_3 Q_4)^{(5/2)}}, \\
 \Gamma_{JJJ} &= 3 \frac{\pi J P_1 Q_2 P_3 Q_4}{(J^2 + P_1 Q_2 P_3 Q_4)^{(5/2)}}.
 \end{aligned} \tag{A.105}$$

Appendix B

La géométrie thermodynamique de Ruppenier des trous noirs de trois paramètres

Dans cet appendice, nous allons fournir les coefficients de la courbure scalaire de la géométrie thermodynamique de Ruppenier d'un ensemble des trous noirs de trois paramètres $\{P, Q, J\} \in \mathcal{M}_3$. Il s'avère que les fonctions $\{r_i, \tilde{r}_j \mid i = 1, 2, 3, 4, 6, j = 1, 2, 3\}$ apparaissant dans l'Eqn. (3.8) de numérateur de la courbure scalaire de Ruppenier sont données par:

$$\begin{aligned}
r_1 = & \frac{\partial^2 S}{\partial P^2} \frac{\partial^2 S}{\partial Q^2} \frac{\partial^3 S}{\partial Q^2 \partial P} \frac{\partial^3 S}{\partial P \partial J^2} \frac{\partial^2 S}{\partial J^2} + \frac{\partial^2 S}{\partial P^2} \frac{\partial^3 S}{\partial Q^3} \frac{\partial^2 S}{\partial Q \partial P} \frac{\partial^2 S}{\partial P \partial J} \frac{\partial^3 S}{\partial J^3} \\
& + \frac{\partial^2 S}{\partial P^2} \frac{\partial^3 S}{\partial P^2 \partial J} \frac{\partial^3 S}{\partial Q^2 \partial J} \frac{\partial^2 S}{\partial Q^2} \frac{\partial^2 S}{\partial J^2} + \frac{\partial^2 S}{\partial P^2} \frac{\partial^3 S}{\partial Q \partial P^2} \frac{\partial^3 S}{\partial Q \partial J^2} \frac{\partial^2 S}{\partial Q^2} \frac{\partial^2 S}{\partial J^2} \\
& + \frac{\partial^2 S}{\partial P^2} \left(\frac{\partial^3 S}{\partial Q^2 \partial J} \right)^2 \left(\frac{\partial^2 S}{\partial P \partial J} \right)^2 + \frac{\partial^2 S}{\partial P^2} \left(\frac{\partial^3 S}{\partial Q \partial J^2} \right)^2 \left(\frac{\partial^2 S}{\partial Q \partial P} \right)^2 \\
& + \frac{\partial^3 S}{\partial P^3} \frac{\partial^2 S}{\partial Q \partial P} \frac{\partial^2 S}{\partial Q \partial J} \frac{\partial^3 S}{\partial J^3} \frac{\partial^2 S}{\partial Q^2} + \left(\frac{\partial^3 S}{\partial Q^2 \partial P} \right)^2 \frac{\partial^2 S}{\partial J^2} \left(\frac{\partial^2 S}{\partial P \partial J} \right)^2 \\
& + \left(\frac{\partial^3 S}{\partial P^2 \partial J} \right)^2 \frac{\partial^2 S}{\partial Q^2} \left(\frac{\partial^2 S}{\partial Q \partial J} \right)^2 + \left(\frac{\partial^3 S}{\partial P \partial J^2} \right)^2 \frac{\partial^2 S}{\partial Q^2} \left(\frac{\partial^2 S}{\partial Q \partial P} \right)^2 \\
& + \left(\frac{\partial^3 S}{\partial Q \partial P^2} \right)^2 \frac{\partial^2 S}{\partial J^2} \left(\frac{\partial^2 S}{\partial Q \partial J} \right)^2 + \frac{\partial^3 S}{\partial P^3} \frac{\partial^2 S}{\partial P \partial J} \frac{\partial^2 S}{\partial Q \partial J} \frac{\partial^3 S}{\partial Q^3} \frac{\partial^2 S}{\partial J^2} \\
& + \frac{\partial^3 S}{\partial P^2 \partial J} \left(\frac{\partial^2 S}{\partial Q^2} \right)^2 \frac{\partial^3 S}{\partial P \partial J^2} \frac{\partial^2 S}{\partial P \partial J} + \frac{\partial^3 S}{\partial Q \partial P^2} \left(\frac{\partial^2 S}{\partial J^2} \right)^2 \frac{\partial^3 S}{\partial Q^2 \partial P} \frac{\partial^2 S}{\partial Q \partial P} \\
& + \frac{\partial^3 S}{\partial P^3} \frac{\partial^3 S}{\partial P \partial J^2} \left(\frac{\partial^2 S}{\partial Q^2} \right)^2 \frac{\partial^2 S}{\partial J^2} + \frac{\partial^3 S}{\partial P^3} \frac{\partial^3 S}{\partial Q^2 \partial P} \left(\frac{\partial^2 S}{\partial J^2} \right)^2 \frac{\partial^2 S}{\partial Q^2} \\
& + \left(\frac{\partial^2 S}{\partial P^2} \right)^2 \frac{\partial^3 S}{\partial Q^2 \partial J} \frac{\partial^3 S}{\partial Q \partial J^2} \frac{\partial^2 S}{\partial Q \partial J} + \left(\frac{\partial^2 S}{\partial P^2} \right)^2 \frac{\partial^3 S}{\partial Q^3} \frac{\partial^3 S}{\partial Q \partial J^2} \frac{\partial^2 S}{\partial J^2} \\
& + \left(\frac{\partial^2 S}{\partial P^2} \right)^2 \frac{\partial^2 S}{\partial Q^2} \frac{\partial^3 S}{\partial Q^2 \partial J} \frac{\partial^3 S}{\partial J^3} + \frac{\partial^2 S}{\partial P^2} \frac{\partial^3 S}{\partial P^2 \partial J} \left(\frac{\partial^2 S}{\partial Q^2} \right)^2 \frac{\partial^3 S}{\partial J^3} \\
& + \frac{\partial^2 S}{\partial P^2} \frac{\partial^3 S}{\partial Q \partial P^2} \left(\frac{\partial^2 S}{\partial J^2} \right)^2 \frac{\partial^3 S}{\partial Q^3}, \tag{B.1}
\end{aligned}$$

$$\begin{aligned}
r_2 = & \frac{\partial^2 S}{\partial P^2} \frac{\partial^2 S}{\partial Q^2} \frac{\partial^3 S}{\partial Q \partial J^2} \frac{\partial^2 S}{\partial Q \partial P} \frac{\partial^3 S}{\partial P \partial J^2} + \frac{\partial^3 S}{\partial P^2 \partial J} \frac{\partial^3 S}{\partial Q \partial P^2} \frac{\partial^2 S}{\partial Q \partial J} \frac{\partial^2 S}{\partial Q^2} \frac{\partial^2 S}{\partial J^2} \\
& + \frac{\partial^2 S}{\partial P^2} \frac{\partial^3 S}{\partial Q^2 \partial P} \frac{\partial^2 S}{\partial P \partial J} \frac{\partial^3 S}{\partial Q^2 \partial J} \frac{\partial^2 S}{\partial J^2} + \frac{\partial^3 S}{\partial Q \partial P \partial J} \left(\frac{\partial^2 S}{\partial Q \partial P} \right)^3 \frac{\partial^3 S}{\partial J^3} \\
& + \frac{\partial^3 S}{\partial Q \partial P \partial J} \left(\frac{\partial^2 S}{\partial P \partial J} \right)^3 \frac{\partial^3 S}{\partial Q^3} + \frac{\partial^3 S}{\partial P^3} \frac{\partial^3 S}{\partial Q \partial P \partial J} \left(\frac{\partial^2 S}{\partial Q \partial J} \right)^3 \\
& + \frac{\partial^3 S}{\partial Q \partial P^2} \frac{\partial^3 S}{\partial Q \partial J^2} \left(\frac{\partial^2 S}{\partial Q \partial P} \right)^2 \frac{\partial^2 S}{\partial J^2} + \frac{\partial^3 S}{\partial P^2 \partial J} \frac{\partial^3 S}{\partial Q^2 \partial J} \left(\frac{\partial^2 S}{\partial P \partial J} \right)^2 \frac{\partial^2 S}{\partial Q^2} \\
& + \frac{\partial^2 S}{\partial Q^2} \frac{\partial^3 S}{\partial Q^2 \partial P} \left(\frac{\partial^2 S}{\partial P \partial J} \right)^2 \frac{\partial^3 S}{\partial P \partial J^2} + \frac{\partial^3 S}{\partial Q^2 \partial P} \frac{\partial^3 S}{\partial P \partial J^2} \left(\frac{\partial^2 S}{\partial Q \partial P} \right)^2 \frac{\partial^2 S}{\partial J^2} \\
& + \frac{\partial^2 S}{\partial P^2} \frac{\partial^3 S}{\partial P^2 \partial J} \frac{\partial^3 S}{\partial Q^2 \partial J} \left(\frac{\partial^2 S}{\partial Q \partial J} \right)^2 + \frac{\partial^2 S}{\partial P^2} \frac{\partial^3 S}{\partial Q \partial P^2} \frac{\partial^3 S}{\partial Q \partial J^2} \left(\frac{\partial^2 S}{\partial Q \partial J} \right)^2, \tag{B.3}
\end{aligned}$$

$$r_6 = \left(\frac{\partial^3 S}{\partial Q \partial P \partial J}\right)^2 \frac{\partial^2 S}{\partial Q \partial P} \frac{\partial^2 S}{\partial P \partial J} \frac{\partial^2 S}{\partial Q \partial J}. \quad (\text{B.8})$$

Appendix C

La géométrie thermodynamique de Ruppenier des trous noirs dyoniques extrémaux non-supersymétriques

À la fin, dans cet appendice, nous terminons en donnant seulement les coefficients du déterminant de la métrique tenseure de Ruppenier et celles de la numérateur et dénominateur de la courbure scalaire de Ruppenier pour les trous noirs dyoniques extrémaux non-supersymétriques en quatre dimensions avec quatre paramètres $\{n, w, N, W\}$. Ces résultats sont donnés comme ci-dessous:

C.1 À l'ordre de $(\alpha')^2$

L'entropie de trou noir dyonique non-supersymétrique extrémal [11] est modifiée par les corrections de α' à:

$$S_{BH}^{ns} = 2\pi\sqrt{nwNW} + \frac{5\pi\hat{\alpha}}{4}\sqrt{\frac{nw}{NW}} - \frac{29\pi\hat{\alpha}^2}{64}\frac{\sqrt{nw}}{(NW)^{3/2}}. \quad (\text{C.1})$$

Les coefficients du déterminant de la métrique tenseure de Ruppenier sont:

$$\begin{aligned}
a_0^{(2)} &= 268435465, \\
a_1^{(2)} &= 335544320, \\
a_2^{(2)} &= 486539264, \\
a_3^{(2)} &= 96993280, \\
a_4^{(2)} &= 78020608, \\
a_5^{(2)} &= 303493120, \\
a_6^{(2)} &= 193766400, \\
a_7^{(2)} &= 105360480, \\
a_8^{(2)} &= 19096587.
\end{aligned} \tag{C.2}$$

Les coefficients de la numérateur de la courbure scalaire sont données par:

$$\begin{aligned}
b_0^{(2)} &= 151115727451828646838272, \\
b_1^{(2)} &= 566683977944357425643520, \\
b_2^{(2)} &= 1554839164484830686609408, \\
b_3^{(2)} &= 2691748895235697771806720, \\
b_4^{(2)} &= 3644680023967422643961856, \\
b_5^{(2)} &= 3238521918795494950174720, \\
b_6^{(2)} &= 1636571571386261016937348, \\
b_7^{(2)} &= 1035072750709696595230720, \\
b_8^{(2)} &= 3114495211372010736189440, \\
b_9^{(2)} &= 4045312154131246560051200, \\
b_{10}^{(2)} &= 3284271220150290939379712, \\
b_{11}^{(2)} &= 1744948376062537655989760,
\end{aligned} \tag{C.3}$$

$$\begin{aligned}
b_{12}^{(2)} &= 207642369296456823078912, \\
b_{13}^{(2)} &= 692817104454622568775680, \\
b_{14}^{(2)} &= 955612819719829254569984, \\
b_{15}^{(2)} &= 767575904726157235322880, \\
b_{16}^{(2)} &= 471544676657505597652992, \\
b_{17}^{(2)} &= 226753453528839573995520, \\
b_{18}^{(2)} &= 88474584103006770708480, \\
b_{19}^{(2)} &= 27086263837548753715200, \\
b_{20}^{(2)} &= 6342041422831849879680, \\
b_{21}^{(2)} &= 1030497125534844337440, \\
b_{22}^{(2)} &= 80047544572795944069.
\end{aligned} \tag{C.4}$$

C.2 À l'ordre de $(\alpha')^3$

Pour le cas d'un trou noir dyonique non-supersymétrique extrémal [11], l'entropie est modifié par les corrections de α' à:

$$S_{BH}^{ns} = 2\pi\sqrt{nwNW} + \frac{5\pi\hat{\alpha}}{4}\sqrt{\frac{nw}{NW}} - \frac{29\pi\hat{\alpha}^2}{64}\frac{\sqrt{nw}}{(NW)^{3/2}} - \frac{119\pi\hat{\alpha}^3}{512}\frac{\sqrt{nw}}{(NW)^{5/2}}. \tag{C.5}$$

Avec cet entropie d'un trou noir dyonique non-supersymétrique extrémal, les coefficients du déterminant de la métrique tenseure de Ruppenier sont données par:

$$\begin{aligned} a_0^{(3)} &= 1099511627776, \\ a_1^{(3)} &= 1374389534720, \\ a_2^{(3)} &= 1992864825344, \\ a_3^{(3)} &= 1391569403904, \\ a_4^{(3)} &= 1278886984288, \\ a_5^{(3)} &= 2255327592548, \\ a_6^{(3)} &= 1464860672000, \\ a_7^{(3)} &= 461107888128, \\ a_8^{(3)} &= 634608734208, \\ a_9^{(3)} &= 665576375296, \\ a_{10}^{(3)} &= 58692247040, \\ a_{11}^{(3)} &= 136834910800, \\ a_{12}^{(3)} &= 25066740125. \end{aligned} \tag{C.6}$$

Bien aussi, il n'est pas difficile de voir que les coefficients de la numérateur de la courbure scalaire de Ruppenier sont données par:

$$\begin{aligned} b_0^{(3)} &= 649037107316853453566312041152512, \\ b_1^{(3)} &= 2433889152438200450873670154321920, \\ b_2^{(3)} &= 6677983362002312487084722485920768, \\ b_3^{(3)} &= 8543965045538266166087779604234240, \\ b_4^{(3)} &= 6319911781519094813330610602477216, \\ b_5^{(3)} &= 8708789334128878837408948599914496, \\ b_6^{(3)} &= 18230100923527726839673006109032348, \\ b_7^{(3)} &= 22809819400585199659705778867011584, \\ b_8^{(3)} &= 2746351837763049207854079383339008, \\ b_9^{(3)} &= 16937512378050136058388695759192064, \\ b_{10}^{(3)} &= 30517688854243991263286936364646400, \\ b_{11}^{(3)} &= 2508737031650084816936415262670848, \end{aligned} \tag{C.7}$$

$$\begin{aligned}
b_{12}^{(3)} &= 9629297583980539505359169477748496, \\
b_{13}^{(3)} &= 25211656500328085471145776853811200, \\
b_{14}^{(3)} &= 5407819854530319998576788728971264, \\
b_{15}^{(3)} &= 3749882437884342477964040659271680, \\
b_{16}^{(3)} &= 13851750383627352823985220593123328, \\
b_{17}^{(3)} &= 5766328052238059630405461534048256, \\
b_{18}^{(3)} &= 1038344759870860112999123740786688, \\
b_{19}^{(3)} &= 4661048705501894434971872635387904, \\
b_{20}^{(3)} &= 2961846280760197698290172148318208, \\
b_{21}^{(3)} &= 262052090914124663980773435506688, \\
b_{22}^{(3)} &= 532141532156927676742073219022848,
\end{aligned} \tag{C.8}$$

$$\begin{aligned}
b_{23}^{(3)} &= 653026803815080556684824460831680, \\
b_{24}^{(3)} &= 90468645291400164777502546815360, \\
b_{25}^{(3)} &= 134002466479224335657801326002176, \\
b_{26}^{(3)} &= 9021455727154467926565390909440, \\
b_{27}^{(3)} &= 4020769267782650664879066147200, \\
b_{28}^{(3)} &= 31430414379123419878684254208000, \\
b_{29}^{(3)} &= 8200267068308569622317875200000, \\
b_{30}^{(3)} &= 2847141179673614813181320800000, \\
b_{31}^{(3)} &= 1910264928325154051312578000000, \\
b_{32}^{(3)} &= 376738924490002189299286562500, \\
b_{33}^{(3)} &= 26471381680627221066140234375.
\end{aligned} \tag{C.9}$$

C.3 À l'ordre de $(\alpha')^4$

Pour le cas de ces trous noirs dyoniques non-supersymétriques [11], la prochaine correction de α' donne que l'entropie est modifié à:

$$\begin{aligned}
S_{BH}^{ns} = & 2\pi\sqrt{nwNW} + \frac{5\pi\hat{\alpha}}{4}\sqrt{\frac{nw}{NW}} - \frac{29\pi\hat{\alpha}^2}{64}\frac{\sqrt{nw}}{(NW)^{3/2}}, \\
& - \frac{119\pi\hat{\alpha}^3}{512}\frac{\sqrt{nw}}{(NW)^{5/2}} - \frac{2237\pi\hat{\alpha}^4}{16384}\frac{\sqrt{nw}}{(NW)^{7/2}}.
\end{aligned} \tag{C.10}$$

Cette fois, on voit que les coefficients du déterminant de la métrique tenseure de Ruppenier sont données par:

$$\begin{aligned}
a_0^{(4)} &= 1152921504606846976, \\
a_1^{(4)} &= 1441151880758558720, \\
a_2^{(4)} &= 2089670227099910144, \\
a_3^{(4)} &= 979532918953082880, \\
a_4^{(4)} &= 234187180623265792, \\
a_5^{(4)} &= 1479423681498185728, \\
a_6^{(4)} &= 2510022318491697152, \\
a_7^{(4)} &= 2199463953556307968, \\
a_8^{(4)} &= 812853409370603220,
\end{aligned} \tag{C.11}$$

$$\begin{aligned}
a_9^{(4)} &= 1246334434907521024, \\
a_{10}^{(4)} &= 1215464551613464576, \\
a_{11}^{(4)} &= 726005331231698944, \\
a_{12}^{(4)} &= 034314950444056576, \\
a_{13}^{(4)} &= 2215248589143760896, \\
a_{14}^{(4)} &= 156587249836638208, \\
a_{15}^{(4)} &= 45952977111390272, \\
a_{16}^{(4)} &= 8589305631532423.
\end{aligned} \tag{C.12}$$

Et à la fin, les coefficients de numérateur de la courbure scalaire de Ruppenier sont données par les chiffres suivants:

$$\begin{aligned}
b_0^{(4)} &= 46768052394588893382517914646921056628989841375232, \\
b_1^{(4)} &= 175380196479708350184442179925953962358711905157120, \\
b_2^{(4)} &= 481199414091199785818563231171836184221715789774848, \\
b_3^{(4)} &= 615657564625642854293302235781734222030061583728640, \\
b_4^{(4)} &= 637384656351705681562652523094663886491216165585792, \\
b_5^{(4)} &= 060820733176971774471417808302120785742814365635136, \\
b_6^{(4)} &= 0077048952208353002394255318308460838088289093156864, \\
b_7^{(4)} &= 0443744186342635078455885344779150492330265629091840, \\
b_8^{(4)} &= 0864040385201805067882130888101945037607762200100864, \\
b_9^{(4)} &= 0855743962072769399183762667350572626065261582090240, \\
b_{10}^{(4)} &= 0802529236762125001988159352915846580454829854818304, \\
b_{11}^{(4)} &= 2026775198773356990263556464280348396045520781443072,
\end{aligned} \tag{C.13}$$

$$\begin{aligned}
b_{12}^{(4)} &= 2096731906862568699651717922259444429118837182431232, \\
b_{13}^{(4)} &= 2324109887273868838712894878693476608217546091397120, \\
b_{14}^{(4)} &= 2797777769811171064406130693911625639461518546305024, \\
b_{15}^{(4)} &= 3622307603470438724188590741401428018893705942401024, \\
b_{16}^{(4)} &= 3665698356418889118579219304523819611771281577345024, \\
b_{17}^{(4)} &= 3624389311532945863716153745037071794279169208090624, \\
b_{18}^{(4)} &= 3831621642269134782872780673110822294119917620822016, \\
b_{19}^{(4)} &= 3843012033931158955192963205078391212165860968890368, \\
b_{20}^{(4)} &= 3450888575537611067717273382630071777087873706098688, \\
b_{21}^{(4)} &= 2920094688950407202576681898568787360082046012620800, \\
b_{22}^{(4)} &= 2530314181244638688443185152839855368523618610839552, \quad (C.14)
\end{aligned}$$

$$\begin{aligned}
b_{23}^{(4)} &= 2060262521862868209174087375508534964309286591659032, \\
b_{24}^{(4)} &= 1506502362206011452182123478366304057101956790878208, \\
b_{25}^{(4)} &= 984072537550755464015334416868308706081412342611968, \\
b_{26}^{(4)} &= 621765478312283229911533088828495492879078783975424, \\
b_{27}^{(4)} &= 352083963380280094062497709887336317749357668197376, \\
b_{28}^{(4)} &= 146330752373459779698349421015666003863563290017792, \\
b_{29}^{(4)} &= 09128172259270687221507807655448399941011853279232, \\
b_{30}^{(4)} &= 48023312244500156708180631382366007707750545489920, \\
b_{31}^{(4)} &= 56370382548564130581981727328424516260004003577856, \\
b_{32}^{(4)} &= 46355823168213271740530182249587875436148218134520, \\
b_{33}^{(4)} &= 33083206640482065324748063883196832504443664596992, \quad (C.15)
\end{aligned}$$

$$\begin{aligned} b_{34}^{(4)} &= 19321780018124819160678130801246451249327542108160, \\ b_{35}^{(4)} &= 7920138128575941265649284673523148226080591052800, \\ b_{36}^{(4)} &= 1082302697430499687284237313025913398838727540736, \\ b_{37}^{(4)} &= 1318770984813484642751201210488106765919135465472, \\ b_{38}^{(4)} &= 1314807040648907849090453195327342265965047971840, \\ b_{39}^{(4)} &= 699936020368298093598774337935303126571573837824, \\ b_{40}^{(4)} &= 259442774629683397001379161614980699008334987264, \\ b_{41}^{(4)} &= 69842592165759724840743271178491287103706505216, \\ b_{42}^{(4)} &= 13528781821295168537413764813477641410656245504, \\ b_{43}^{(4)} &= 1732031270443498437016143778215638456349779456, \\ b_{44}^{(4)} &= 121403553809599745266704345918335871496525839. \end{aligned} \tag{C.16}$$

Bibliography

- [1] A. Sen, “Black Hole Entropy Function and the Attractor Mechanism in Higher Derivative Gravity”, JHEP **0509**, 038, (2005), [hep-th/0506177](#).
- [2] J. Maldacena, “The Large N Limit of Superconformal Field Theories and Supergravity”, Adv. Theor. Math. Phys. **2**, 231 (1998), [hep-th/9711200](#).
- [3] S. Ferrara, R. Kallosh, A. Strominger, “N=2 Extremal Black Holes”, Phys. Rev. D **52**, 5412, (1995), [hep-th/9508072](#).
- [4] A. Strominger, “Macroscopic Entropy of $N = 2$ Extremal Black Holes”, Phys. Lett. B **383**, 39, (1996), [hep-th/9602111](#).
- [5] J. Maldacena, A. Strominger, E. Witten, “Black Hole Entropy in M-Theory”, JHEP **9712**, 002, (1997), [hep-th/9711053](#).
- [6] H. Ooguri, A. Strominger, C. Vafa, “Black Hole Attractors and the Topological String”, Phys. Rev. D **70**, 106007, (2004), [arXiv:hep-th/0405146 v2](#).
- [7] G. L. Cardoso, B. de Wit, J. Käppeli, T. Mohaupt, “Examples of stationary BPS solutions in N=2 supergravity theories with R^2 -interactions”, Fortsch. Phys. **49**, 557, (2001), [hep-th/0012232](#).
- [8] G. L. Cardoso, B. de Wit, J. Käppeli, T. Mohaupt, “Stationary BPS Solutions in N=2 Supergravity with R^2 -Interactions”, JHEP **0012**, 019, (2000), [hep-th/0009234](#).

-
- [9] G. L. Cardoso, B. de Wit, T. Mohaupt, “Deviations from the Area Law for Supersymmetric Black Holes”, *Fortsch. Phys.* **48**, 49, (2000), [hep-th/9904005](#).
- [10] T. Mohaupt, “Black Hole Entropy, Special Geometry and Strings”, *Fortsch. Phys.* **49**, 3, (2001), [hep-th/0007195](#).
- [11] A. Sen, “Black Hole Entropy Function, Attractors and Precision Counting of Microstates”, [arXiv:0708.1270v3 \[hep-th\]](#).
- [12] H. K. Kunduri, J. Lucietti, H. S. Reall, “Near horizon symmetries of extremal black holes”, [arXiv:0705.4214 \[hep-th\]](#).
- [13] M. Cvetič, D. Youm, “Entropy of Non-Extreme Charged Rotating Black Holes in String Theory”, *Phys. Rev. D* **54**, 2612, (1996), [arXiv:hep-th/9603147](#).
- [14] D. Astefanesei, K. Goldstein, R. P. Jena, A. Sen, S. P. Trivedi, “Rotating Attractors”, *JHEP* **0610**, 058, (2006), [arXiv:hep-th/0606244v2](#).
- [15] R. Kallosh, N. Sivanandam, M. Soroush, “The Non-BPS Black Hole Attractor Equation”, *JHEP* **0603**, 060, (2006), [arXiv:hep-th/0602005](#).
- [16] M. R. Garousi, A. Ghodsi, “Entropy Function for Non-extremal D1D5 and D2D6NS5-branes”, [arXiv:0705.2149v2 \[hep-th\]](#).
- [17] R. -G. Cai, D.-W. Pang, “Entropy Function for Non-Extremal Black Holes in String Theory”, [arXiv:hep-th/0701158v2](#).
- [18] M. R. Garousi, A. Ghodsi, “On attractor mechanism and entropy function for non extremal black holes/branes”, *JHEP* **04**, 043, (2007), [arXiv:hep-th/0703260](#).
- [19] A. Fotopoulos, T. R. Taylor, “Remarks on Two-Loop Free Energy in N=4 Supersymmetric Yang-Mills Theory at Finite Temperature”, *Phys. Rev. D* **59**, 061701, (1999), [arXiv:hep-th/9811224v3](#).

-
- [20] A. Connes, “Noncommutative geometry”, Academic Press, <http://www.alainconnes.org/downloads.html>.
- [21] B. N. Tiwari, “On Generalized Uncertainty Principle”, [arXiv:0801.3402](https://arxiv.org/abs/0801.3402).
- [22] E. Witten, “Reflections on the Fate of Spacetime”, *Physics Today*, **24**, April (1996), <http://www.sns.ias.edu/witten/papers/Reflections.pdf>.
- [23] E. Witten, “Duality, Spacetime and Quantum Mechanics”, *Physics Today*, **28**, May (1997), <http://www.sns.ias.edu/witten/papers/duality.pdf>.
- [24] D. J. Gross, P. F. Mende, *Nucl. Phys. B* **303**, 407 (1988) et *Phys. Lett. B* **197**, 129, (1987).
- [25] K. Konishi, G. Pauti, P. Provero, *Phys. Lett. B* **234**, 276, (1990).
- [26] D. Amati, M. Ciafaloni, G. Veneziano, *Phys. Lett. B* **197**, 81, (1987).
- [27] G. Veneziano, *Europhys. Lett.* **2**, 199, (1986).
- [28] M. Maggiore, “A Generalized Uncertainty Principle in Quantum Gravity”, *Phys. Lett. B* **304**, 65, (1993), [arXiv:hep-th/9301067](https://arxiv.org/abs/hep-th/9301067).
- [29] H. S. Snyder, *Phys. Rev.* **71**, 38, (1947).
- [30] E. Witten, “On background-independent open-string field theory”, *Phys. Rev. D* **46**, 5467, (1992).
- [31] E. Witten, “Some computations in background-independent off-shell string theory” *Phys. Rev. D* **47**, 3405, (1993).
- [32] S. S. Gubser, I. Mitra, “Instability of charged black holes in anti-de Sitter space”, [hep-th/0009126](https://arxiv.org/abs/hep-th/0009126).
- [33] S. S. Gubser, I. Mitra, “The evolution of unstable black holes in anti-de Sitter space”, *JHEP* **0108**, 018, (2001), [hep-th/0011127](https://arxiv.org/abs/hep-th/0011127) .

-
- [34] A. Strominger, C. Vafa, “Microscopic Origin of the Bekenstein-Hawking Entropy”, *Phys. Lett. B* **379**, 99, (1996), [hep-th/9601029](#).
- [35] O. Aharony, S. S. Gubser, J. Maldacena, H. Ooguri, Y. Oz, “Large N Field Theories, String Theory and Gravity” *Phys. Rept.* **323**, 183, (2000), [hep-th/9905111](#).
- [36] E. Witten, “Anti De Sitter Space And Holography”, *Adv. Theor. Math. Phys.* **2**, 253, (1998), [hep-th/9802150](#).
- [37] J. de Boer, L. Maoz, A. Naqvi, “Some Aspects of the AdS/CFT Correspondence”, [arXiv:hep-th/0407212](#).
- [38] J. de Boer, A. Pasquinucci, K. Skenderis, “AdS/CFT dualities involving large 2d N=4 superconformal symmetry”, *Adv. Theor. Math. Phys.* **3**, 577, (1999), [arXiv:hep-th/9904073](#).
- [39] S. D. Mathur, “The quantum structure of black holes”, *Class. Quant. Grav.* **23**, R115, (2006), [arXiv:hep-th/0510180](#).
- [40] S. D. Mathur, A. Saxena, Y. K. Srivastava, “Constructing ”hair” for the three charge hole”, *Nucl. Phys. B* **680**, 415, (2004), [arXiv:hep-th/0311092](#).
- [41] S. S. Gubser, “Thermodynamics of spinning D3-branes”, *Nucl. Phys. B* **551**, (1999), 667, [hep-th/9810225](#).
- [42] C. Csaki, H. Ooguri, Y. Oz, J. Terning, “Glueball Mass Spectrum From Supergravity”, *JHEP* **01**, 017, (1999), [hep-th/9806021](#).
- [43] R. Gregory, R. Laflamme, “Black Strings and p-Branes are Unstable”, *Phys. Rev. Lett.* **70**, 2837, (1993), [hep-th/9301052](#).
- [44] G. Ruppeiner, *Rev. Mod. Phys* **67** (1995) 605, [Erratum **68** (1996) 313].
- [45] J. E. Aman, N. Pidokrajt, “Geometry of Higher-Dimensional Black Hole Thermodynamics”, *Phys. Rev. D* **73**, 024017, (2006), [hep-th/0510139](#).

-
- [46] T. Sarkar, G. Sengupta, B. N. Tiwari, “On the Thermodynamic Geometry of BTZ Black Holes”, JHEP **0611**, 015, (2006), [hep-th/0606084](#).
- [47] T. Sarkar, G. Sengupta, B. N. Tiwari, “Thermodynamic Geometry and Extremal Black Holes in String Theory”, [Dans la communication].
- [48] K. Huang, “Statistical Mechanics”, Wiley; 2 edition.
- [49] K Pathria, “Statistical Mechanics”, Butterworth-Heinemann; 2 edition.
- [50] F. Weinhold, J. Chem. Phys **63**, 2479, (1975).
- [51] M. H. Dehghani, H. KhajehAzad, “Thermodynamics of a Kerr Newman de Sitter Black Hole”, Can. J. Phys. **81**, 1363, (2003), [hep-th/0209203](#).
- [52] J. Y. Shen, R. G. Cai, B. Wang, R. K. Su, “Thermodynamic geometry and critical behavior of black holes”, Int. J. Mod. Phys. A **22**, 11, (2007), [gr-qc/0512035](#).
- [53] J. D. Bekenstein, “Black holes and entropy”, Phys. Rev. D **7**, 2333, (1973).
- [54] S. W. Hawking, “Particle creation by black holes”, Commun. Math. Phys. **43**, 199, (1975).
- [55] J. M. Bardeen, B. Carter, S. W. Hawking, “The four laws of black hole mechanics”, Commun. Math. Phys. **31**, 161, (1973).
- [56] M. B. Green, J. H. Schwarz, E. Witten, “Superstring Theory”, Vol: 1, 2, Cambridge Monographs on Mathematical Physics.
- [57] J. Polchinski, “String Theory”, Vol. 1: An Introduction to the Bosonic String, Vol. 2: Superstring Theory and Beyond. Cambridge Monographs on Mathematical Physics.
- [58] A. Sen, “Stretching the Horizon of a Higher Dimensional Small Black Hole”, JHEP **0507**, 073, (2005), [arXiv:hep-th/0505122](#).

-
- [59] A. Sen, “How Does a Fundamental String Stretch its Horizon?”, *JHEP* **0505**, 059, (2005), [arXiv:hep-th/0411255](#).
- [60] G. Horowitz, A. Strominger, “Counting States of Near-Extremal Black Holes”, *Phys. Rev. Lett.* **77**, 2368, (1996), [arXiv:hep-th/9602051](#).
- [61] S. Gukov, C. Gukov, E. Witten, “CFT’s From Calabi-Yau Four-folds”, *Nucl. Phys. B* **584**, 69, (2000), [Erratum-ibid. B608, 477, (2001)], [arXiv:hep-th/9906070](#).
- [62] A. Dabholkar, “Exact Counting of Black Hole Microstates”, *Phys. Rev. Lett.* **94**, 241301, (2005), [arXiv:hep-th/0409148v2](#).
- [63] S. Ferrara, G. W. Gibbons, R. Kallosh, “Black Holes and Critical Points in Moduli Space”, *Nucl. Phys. B* **500**, 75, (1997), [hep-th/9702103](#).
- [64] J. E. Aman, I. Bengtsson, N. Pidokrajt, “Flat Information Geometries in Black Hole Thermodynamics”, *Gen. Rel. Grav.* **38**, 1305, (2006), [gr-qc/0601119](#).
- [65] J. E. Aman, N. Pidokrajt, “Geometry of Black Hole Thermodynamics”, *Gen. Rel. Grav.* **35**, 1733, (2003), [gr-qc/0304015](#).
- [66] G. Arcioni, E. Lozano-Tellechea, “Stability and Critical Phenomena of Black Holes and Black Rings”, *Phys. Rev. D* **72**, 104021, (2005), [hep-th/0412118](#).
- [67] A. Sheykhi, “Thermodynamics of charged topological dilaton black holes”, [arXiv:0709.3619](#).
- [68] P. K. Townsend, “Black Holes”, Lecture notes for a ‘Part III’ course ‘Black Holes’ given in DAMTP, Cambridge, [arXiv:gr-qc/9707012v1](#).
- [69] A. Chamblin, R. Emparan, C. V. Johnson, R. C. Myers, “Charged AdS Black Holes and Catastrophic Holography”, *Phys. Rev. D* **60**, 064018, (1999), [hep-th/9902170](#).
- [70] B. de Wit, H. Nicolai, *Nucl. Phys. B* **281**, 211, (1987).

-
- [71] M. Cvetič, S. S. Gubser, “Thermodynamic Stability and Phases of General Spinning Branes”, JHEP **07**, 010, (1999), [hep-th/9903132](#).
- [72] K. Nozari, S. Hamid Mehdipour, “Gravitational Uncertainty Principle and Black Hole Remnants”, Mod. Phys. Lett. A **20**, 38, 2937, (2005).
- [73] L. Garay, “Quantum gravity and minimum length”, Int. Jour. Mod. Phys. A **10**, 145, (1995), [arXiv:gr-qc/9403008](#).
- [74] A. Kempf, G. Mangano, “Minimal Length Uncertainty and Ultraviolet Regularization”, Phys. Rev. D **55**, 7909, (1997), [arXiv:hep-th/9612084](#).
- [75] G. Amelino-Camelia, J. Lukierski, A. Nowicki, “ κ - Deformed Covariant Phase Space and Quantum-Gravity Uncertainty Relations”, Phys. Atom. Nucl. **61**, 1811, (1998); Yad. Fiz. **61**, 1925, (1998), [arXiv:hep-th/9706031](#).
- [76] M. Yoon, J. Ha, W. Kim, “Entropy of Reissner-Nordstrom Black Holes with Minimal Length Revisited” [arXiv:0706.0364 v1](#).
- [77] G. t’Hooft, Nucl. Phys. B **265**, 727, (1985).
- [78] W. Kim, John J. Oh, “Determining the Minimal Length Scale of the Generalized Uncertainty Principle from the Entropy-Area Relationship”, [arXiv:0709.0581v1 \[hep-th\]](#) .
- [79] R. M. Wald, “Black Hole Entropy is Noether Charge”, Phys. Rev. D **48**, 3427, (1993), [gr-qc/9307038](#).
- [80] V. Iyer, R. M. Wald, “Some Properties of Noether Charge and a Proposal for Dynamical Black Hole Entropy”, Phys. Rev. D **50**, 846, (1994), [gr-qc/9403028](#).
- [81] R. M. Wald, “The Thermodynamics of Black Holes”, Living Rev. Rel. **4**, 6, (2001), [arXiv:gr-qc/9912119](#).

-
- [82] R. M. Wald, “Gravitation, Thermodynamics, and Quantum Theory”, *Class. Quant. Grav.* **16**, A177, (1999), [arXiv:gr-qc/9901033v1](#).
- [83] J. R. David, D. P. Jatkar, A. Sen, “Dyon spectrum in generic $N = 4$ supersymmetric $Z(N)$ orbifolds”, *JHEP* **0701**, 016, (2007), [arXiv:hep-th/0609109](#).
- [84] B. Sahoo, A. Sen, “Higher Derivative Corrections to Non-supersymmetric Extremal Black Holes in $N=2$ Supergravity”, *JHEP* **0609**, 029, (2006), [arXiv:hep-th/0603149v2](#).
- [85] G. T. Horowitz, D. L. Welch, “Exact Three Dimensional Black Holes in String Theory”, *Phys. Rev. Lett.* **71**, 328, (1993), [arXiv:hep-th/9302126](#).
- [86] K. Sfetsos, K. Skenderis, “Gauge Invariance of QED_{2+1} ”, *Nucl. Phys. B* **517**, 179, (1998), [arXiv:hep-th/9711137](#).
- [87] J. M. Bardeen, G. T. Horowitz, “The extreme Kerr throat geometry: A vacuum analog of $AdS_2 \times S^2$ ”, *Phys. Rev. D* **60**, 104030, (1999), [arXiv:hep-th/9905099](#).
- [88] D. Rasheed, “The rotating dyonic black holes of kaluza-klein theory”, *Nucl. Phys. B* **454**, 379, (1995), [arXiv:hep-th/9505038](#).
- [89] F. Larsen, “Rotating kaluza-klein black holes”, *Nucl. Phys. B* **575**, 211, (2000), [arXiv:hep-th/9909102](#).
- [90] B. N. Tiwari, “Geometric Perspective of Entropy Function: Embeddings, Spectrum and Convexity”, [Au titre de la publication et pour figurer sur l’arXiv.org].